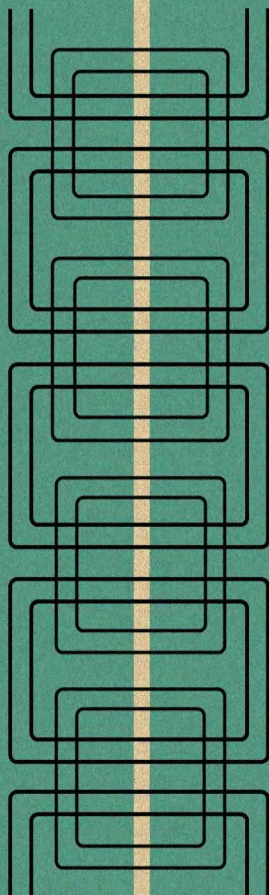


# cartea bobinatorului de mașini electrice

c. bălă  
a. fetița  
v. lefter



**Cartea  
bobinatorului de  
mașini electrice**

**Coperta : arh. T. STANCU**

**C. Bălă, A. Fetiță, V. Lefter**

# **cartea bobinatorului de mașini electrice**

**Ediția a II-a  
revăzută**



**EDITURA TEHNICĂ  
București — 1967**

După o scurtă descriere a construcției mașinilor electrice, se prezintă materialele electroizolante utilizate în construcția înfășurărilor mașinilor electrice.

Pe capitole distincte sunt tratate înfășurările concentrate, înfășurările tip inducție de curent continuu, înfășurările de curent alternativ, toate aceste tipuri fiind însoțite de numeroase scheme tipice de bobinaj cu caracteristicile și domeniul lor de utilizare, cu exemple de calcul și de recalculare. Separat sunt tratate înfășurările de curent alternativ cu schimbarea numărului de poli și înfășurările mașinilor mici de curent continuu și alternativ. În ultimele capitole sunt tratate construcția și execuția înfășurărilor, defectele tehnologia și utilajele necesare bobinării înfășurărilor.

În tabelele din text și din anexe sunt cuprinse caracteristicile materialelor uzuale și indicații de utilizare a lor în construcția diferitelor tipuri de înfășurări etc.

Lucrarea se adresează lucrătorilor din secțiile de bobinaj ale fabricilor constructoare de mașini electrice, bobinatorilor din atelierele de reparare a mașinilor electrice din întreprinderile industriale, din atelierele de reparații și din cooperativa de producție, putând fi utilă și altor categorii de cititori care lucrează în domeniile construcției, exploatareii, reparării și încercării mașinilor electrice.

## *Prefață*

### *la ediția a II-a*

*In ediția a II-a, revăzută și completată a lucrării „CARTEA BOBINATORULUI DE MAȘINI ELECTRICE“ sint prezentate schemele și elementele necesare înțelegerei construcției și funcționării înfășurărilor, elementele de calcul, încercare și de reparare a acestora, procesele tehnologice de execuție a înfășurărilor și caracteristicile materialelor electroizolante utilizate în construcția bobinajelor.*

*Lucrarea de față cuprinde 356 scheme ale înfășurărilor celor mai uzuale, 578 fotografii și schițe ale înfășurărilor în fază de execuție și ale utilajelor și dispozitivelor auxiliare utilizate în confectionarea lor, 54 tabele integrate în text conținând caracteristicile materialelor electroizolante și ale înfășurărilor și 8 tabele prezentate în anexă cu principalele scheme de izolație ale înfășurărilor (în crestătură) și dimensiunile conductoarelor de bobinaj standardizate în țara noastră.*

*In noua redactare, primele două capitole au fost restrinse. Astfel, capitolul 1 cuprinde numai o scurtă descriere a tipurilor principale de mașini electrice, iar în capitolul 2 sunt prezentate materialele electroizolante utilizate la izolarea conductoarelor și în construcția înfășurărilor. Înfășurările concentrate și repartizate de curent continuu formează obiectul capitolelor 3 și 4, în care s-au adus completări privind tipurile de înfășurări. În capitolul 5, complet restructurat, sunt prezentate într-o formă deductivă înfășurările de curent alternativ, pornindu-se de la elementele constructive de bază și de la dispunerea capetelor de bobină. În completarea acestui capitol sunt expuse înfășurările de curent alternativ ondulate (în bare). Capitolele 6, 7 și 8, în care sunt tratate înfășurările de curent alternativ ale mașinilor electrice cu schimbarea numărului de poli, ale mașinilor electrici de mică putere, precum și elementele constructive ale circuitului înfășurărilor, cuprind în plus în actuala ediție o varietate mai mare de scheme și indicații suplimentare privind echivalența diferitelor sorturi de perii utilizate la mașinile electrice. În capitolele 9 și 10, în care se tratează problemele construcției și execuției înfășurărilor*

concentrate, respectiv repartizate, încercările înfăşurărilor și identificarea defectelor, s-au extins părțile privitoare la calculul dimensiunilor înfăşurărilor și ale şabloanelor și s-a adăncit expunerea metodelor de bobinare în scopul realizării unei legături firești cu capituloanele precedente ușurîndu-se astfel însușirea proceselor tehnologice utilizate în prezent la execuția înfăşurărilor. În ultimul capitol, la fel ca în ediția precedentă, se dau cîteva indicații privind utilajele și aparatelor de dotare curentă pentru atelierele de bobinat mașini electrice de puteri mici și mijlocii.

Prin noua redactare a ediției de față, lucrarea se concentrează și mai mult asupra înfăşurărilor mașinilor electrice și crează premizele de a atrage în procesul de concepție a schemelor și de elaborare a soluțiilor constructive ale înfăşurărilor pe bobinatorii de mașini electrice. În acest fel lucrarea îngăduie însușirea cunoștințelor din specialitatea domeniului tratat și contribuie la creșterea nivelului tehnic al masei de lucrători din atelierele de bobinaj, care și aduce aportul la realizarea sarcinilor actuale sporite ale industriei noastre electro-tehnice și ale exploatarii mașinilor electrice.

Autorii adresează mulțumiri tuturor acelora care prin sugestiile făcute, au avut amabilitatea de a contribui la îmbunătățirea conținutului lucrării.

AUTORII

*Prefață  
la ediția intâia*

*Este în același timp o datorie și o placere să scriu o prefăță pentru lucrarea unor autori care și-au fost nu de mult elevi, apoi colaboratori apropiati și în sfîrșit colegi.*

A scrie o carte a bobinilor de mașini electrice este o sarcină dificilă, deoarece pe de o parte materialul, prin însăși natura lui, se pretează să fie tratat mai ușor pe viu decât de a fi descris într-o carte, iar pe de altă parte, din cauza dezvoltării impetuioase a tehnicii în acest domeniu, materialul uriaș care stă la dispoziție impune autorului un discernămînt sever în trierea și prezentarea lui.

Autorii lucrării, care îmbină în mod fericit activitatea practică cu cea didactică, au reușit în ciuda dificultăților menționate, să scrie o carte care fără îndoială va trezi interes în primul rînd în cercul larg al bobinilor care lucrează în atelierele de reparare a mașinilor electrice. Secretul lor constă în aceea că situindu-se la nivelul bobinatorului de mașini electrice (unul dintre autori a fost el însuși bobinator), au înțeles că acesta nu este un simplu executant, ci un tehnician care gîndește și creează în acest domeniu, unde tehnica se îmbină cu arta. Cu entuziasmul tineresc ce-i caracterizează au pornit din aproape în aproape, de la bazele teoretice pînă la cele mai elementare operații practice de bobinare și le-au lămurit, atît pe calea descrierii, cît — în special — cu ajutorul schemelor și desenelor..

Un merit esențial al lucrării constă în aceea că, deși scrisă la un nivel mediu, autori nu au lăsat de o parte problemele spinoase ale meseriei de bobinator. În carte se găsesc tratate, cu competența necesară, conexiunile echipotențiale și înfășurările combinate de curent

*continuu, înfășurările de curent alternativ cu schimbarea numărului de poli, înfășurările speciale pentru mașini mici, înfășurările impriimate etc. De asemenea este de menționat numărul mare și cu competență ales al exemplificării numerice.*

*Este sigur că pentru toate acestea autorii au depus o muncă migăloasă și de lungă durată, dar fără îndoială că rezultatul activității lor va contribui la formarea și specializarea multor bobinatori și la ridicarea nivelului tehnic în domeniul mașinilor electrice din țara noastră.*

Acad. Prof. I. S. GHEORGHIU

## Cuprins

<b>1. Construcția mașinilor electrice</b>	15
1.1. Caracteristicile constructive ale mașinilor electrice	15
1.1.1. Tipurile de mașini electrice	15
1.1.2. Elementele constructive ale mașinilor electrice	17
1.2. Tipurile de înfășurări	23
<b>2. Conductoare și materiale izolante folosite în construcția mașinilor electrice</b>	24
2.1. Conductoare de bobinaj izolate	24
2.2. Materiale electroizolante întrebuințate la izolarea înfășurărilor	33
2.2.1. Materiale electroizolante întrebuințate pentru impregnarea și acoperirea înfășurărilor mașinilor electrice	42
2.2.2. Alegerea schemei de izolație a mașinii, în funcție de solicitările termice care se produc	47
<b>3. Înfășurări concentrate</b>	52
3.1. Tipuri de înfășurări concentrate și elementele lor componente	52
3.2. Funcțiunile înfășurărilor concentrate	53
3.2.1. Funcțiunile înfășurărilor de excitație	53
3.2.2. Funcțiunile înfășurărilor polilor auxiliari și ale înfășurărilor de compensare	56
3.3. Înfășurările statorului mașinilor de curent continuu	56
3.4. Înfășurările concentrate ale mașinilor sincrone	59
3.5. Determinarea dimensiunilor înfășurărilor concentrate	60
<b>4. Înfășurările tip indus de curent continuu</b>	64
4.1. Tipuri de înfășurări	64
4.1.1. Descriere. Domeniu de utilizare	64
4.2. Construcția înfășurărilor tip indus de curent continuu. Tipuri de înfășurări	66
4.2.1. Elementele componente	66
4.2.2. Reprezentarea schematică a înfășurărilor. Calea de curent	69
4.2.3. Pașii înfășurării	71
4.2.4. Clasificarea înfășurărilor tip indus de curent continuu	73

4.2.5. Poziția diametrală a perilor pe colector . . . . .	79
4.2.6. Condițiile generale pe care trebuie să le îndeplinească înfășurările tip indus de curent continuu . . . . .	81
<b>4.3. Înfășurările în tambur . . . . .</b>	<b>81</b>
4.3.1. Înfășurările buclate . . . . .	82
4.3.2. Înfășurările ondulate . . . . .	92
4.3.3. Conexiunile echipotențiale . . . . .	102
4.3.4. Înfășurările combinate . . . . .	106
4.3.5. Alegerea tipului de înfășurare . . . . .	109
<b>4.4. Rebobinarea indusului mașinilor de curent continuu . . . . .</b>	<b>112</b>
4.4.1. Determinarea schemei și a caracteristicilor înfășurării tip indus de curent continuu . . . . .	112
4.4.2. Calculul dimensiunilor înfășurării indusului mașinii de curent continuu . . . . .	114
4.4.3. Rebobinarea în vederea schimbării caracteristicilor unei mașini de curent continuu . . . . .	118
<b>5. Înfășurările de curent alternativ . . . . .</b>	<b>123</b>
5.1. Definiție. Clasificarea înfășurărilor după numărul de faze și după construcție. Domenii de utilizare. . . . .	123
5.2. Înfășurările bobinate . . . . .	124
5.2.1. Elemente constructive ale înfășurărilor și reprezentarea lor în scheme. Tipuri de înfășurări . . . . .	124
5.2.2. Caracteristice și funcțiunile înfășurărilor de curent alternativ, bobinate . . . . .	131
5.2.3. Înfășurările de curent alternativ într-un strat. Definiție, număr de bobine, clasificări . . . . .	156
5.2.4. Înfășurări de curent alternativ în două straturi. Definiție, număr de bobine, clasificări . . . . .	203
5.2.5. Înfășurări de curent alternativ în două straturi având bobine cu numere diferite de spire . . . . .	249
5.2.6. Înfășurări de curent alternativ trifazate dispuse parțial într-un strat și parțial în două straturi ( $q>1$ ) . . . . .	250
5.3. Înfășurări în bare . . . . .	254
5.3.1. Înfășurări cu legături de întoarcere . . . . .	258
5.3.2. Înfășurări fără legături de întoarcere . . . . .	261
5.3.3. Tabele cu conexiunile între elementele înfășurării pe fază, la înfășurările cu legături de întoarcere . . . . .	262
5.3.4. Schemele frontale ale înfășurărilor ondulate, cu legături de întoarcere . . . . .	268
5.4. Înfășurări în colivie . . . . .	274
5.4.1. Generalități. Domeniul de utilizare . . . . .	274
5.4.2. Înfășurările în colivie ale motoarelor asincrone . . . . .	274
a. Tipuri constructive de colivii . . . . .	275
b. Elementele înfășurării în colivie . . . . .	278
5.4.3. Înfășurări de amortizare . . . . .	279
5.5. Recalcularea înfășurărilor repartizate de curent alternativ . . . . .	280
5.5.1. Introducere și relații de calcul . . . . .	280

5.5.2. Exemplu de recalculare a unei înfășurări de curent alternativ . . . . .	286
5.5.3. Recalcularea înfășurărilor de curent alternativ la alte caracteristici de funcționare ale mașinii . . . . .	289
a. Recalcularea înfășurării pentru altă tensiune, celelalte caracteristici rămânind constante. . . . .	289
Exemplu de calcul . . . . .	289
b. Recalcularea înfășurării pentru un număr de poli mai mic decât cel inițial . . . . .	290
c. Recalcularea înfășurării pentru un număr de poli mai mari decât cel inițial . . . . .	294
5.5.4. Schimbarea înfășurărilor din cupru cu înfășurări din aluminiu . . . . .	296
<b>6. Înfășurări de curent alternativ cu schimbarea numărului de poli . . . . .</b>	<b>298</b>
6.1. Generalități . . . . .	298
6.1.1. Principiul după care se execută înfășurările cu schimbarea numărului de poli . . . . .	299
6.1.2. Caracteristicile mașinii înainte și după schimbarea numărului de poli . . . . .	302
6.2. Înfășurări cu schimbarea numărului de poli, în raportul 2 : 1 . . . . .	306
6.2.1. Înfășurări într-un strat . . . . .	306
6.2.2. Înfășurări în două straturi . . . . .	310
6.3. Înfășurări cu schimbarea numărului de poli în rapoarte diferite de 2 : 1 . . . . .	316
<b>7. Înfășurările mașinilor electrice de puteri mici . . . . .</b>	<b>321</b>
7.1. Înfășurări concentrate . . . . .	321
7.1.1. Înfășurări de excitație . . . . .	321
7.1.2. Înfășurări în scurtcircuit . . . . .	322
7.2. Înfășurări repartizate . . . . .	323
7.2.1. Înfășurările mașinilor cu colector . . . . .	323
7.2.2. Înfășurările mașinilor fără colector . . . . .	330
7.3. Înfășurări imprimate . . . . .	346
<b>8. Elementele constructive ale circuitului înfășurărilor mașinilor electrice . . . . .</b>	<b>349</b>
8.1. Elementele auxiliare ale circuitului electric . . . . .	349
8.2. Conductoarele de legătură . . . . .	352
8.3. Bornele și placa de borne . . . . .	354
8.4. Colectoarele și inelele de contact . . . . .	359
8.4.1. Colectoarele . . . . .	359
8.4.2. Colectoarele mașinilor mici și micromășinilor . . . . .	362
8.4.3. Inelele de contact . . . . .	364
8.5. Perile mașinilor electrice . . . . .	365
8.5.1. Condițiile pe care trebuie să le îndeplinească perile . . . . .	365
8.5.2. Tipuri de perii. Caracteristici . . . . .	365
8.5.3. Formele constructive ale perilor . . . . .	368

8.5.4. Dimensiunile periilor . . . . .	370
8.5.5. Alegerea periilor . . . . .	371
8.5.6. Montarea și întreținerea periilor mașinilor electrice . . . . .	377
<b>9. Construcția și execuția înfășurărilor concentrate . . . . .</b>	<b>379</b>
9.1. Construcția și execuția înfășurărilor concentrate, ca bobine polare . . . . .	379
9.1.1. Tipuri constructive . . . . .	379
9.1.2. Bobine polare cu conductor rotund . . . . .	381
9.1.3. Bobine polare cu conductor dreptunghiular . . . . .	386
9.1.4. Bobine polare din două sau mai multe bobine elementare, din conductoare de secțiuni diferite . . . . .	390
9.1.5. Bornele bobinelor polare . . . . .	391
9.1.6. Execuția bobinelor polare . . . . .	393
9.2. Înfășurări concentrate dispuse în crestături . . . . .	407
9.3. Execuția circuitului înfășurărilor concentrate . . . . .	410
9.3.1. Asamblarea polilor . . . . .	410
9.3.2. Montarea polilor pe jugul feromagnetic . . . . .	410
9.3.3. Execuția legăturilor (conexiunilor) între bobinele polare și a legăturilor la borne sau placă de borne a mașinii . . . . .	411
9.4. Încercările înfășurărilor concentrate . . . . .	412
9.4.1. Încercările asupra materialelor . . . . .	412
9.4.2. Încercările în timpul fabricației . . . . .	412
9.4.3. Încercări finale . . . . .	416
9.5. Defectele înfășurărilor concentrate . . . . .	418
9.5.1. Rezistența de izolație mică față de corpul mașinii . . . . .	419
9.5.2. Scurtcircuitul între spire sau scurtcircuitarea unei bobine . . . . .	420
9.5.3. Întreruperea înfășurării . . . . .	421
9.5.4. Conexiuni greșite între bobinele polare ale înfășurării . . . . .	421
<b>10. Construcția și execuția înfășurărilor repartizate . . . . .</b>	<b>422</b>
10.1. Tipuri constructive de înfășurări repartizate ; elementele constructive ale înfășurării . . . . .	423
10.2. Elementele active : conductorul, spira, bobina ; tipuri de bobine . . . . .	423
10.3. Izolația înfășurărilor repartizate . . . . .	426
10.3.1. Elementele componente ale izolației ; schema de izolație a înfășurării . . . . .	426
10.3.2. Elementele componente ale izolației în crestătură și izolația la capul de bobină . . . . .	430
10.3.3. Izolația înfășurărilor tip inducție de curent continuu . . . . .	431
10.3.4. Izolația înfășurărilor de curent alternativ de joasă tensiune . . . . .	437
10.3.5. Izolația înfășurărilor de curent alternativ de înaltă tensiune . . . . .	441
10.4. Dimensiunile înfășurărilor . . . . .	453
10.4.1. Dimensiunile conductorului de bobinaj . . . . .	454
10.4.2. Dimensiunile mărunchiului bobinei . . . . .	455
10.4.3. Dimensiunile bobinelor înfășurărilor tip inducție de curent continuu . . . . .	462
10.4.4. Dimensiunile bobinelor înfășurărilor de curent alternativ . . . . .	470

<b>10.5. Executarea bobinelor</b>	<b>483</b>
10.5.1. Confectionarea bobinelor ; şabloane şi dispozitive	483
10.5.2. Confectionarea bobinelor moi ; şabloane de bobinaj	484
10.5.3. Confectionarea bobinelor semitari ; şabloane şi dispozitive	495
10.5.4. Confectionarea bobinelor fari (rigide) ; şabloane şi dispozitive	500
10.5.5. Confectionarea bobinelor cu transpoziţii	504
<b>10.6. Izolare bobinelor înainte de introducerea lor în crestătură</b>	<b>507</b>
10.6.1. Izolare bobinelor cu bandă	507
10.6.2. Izolare cu folii a porţiunii drepte a bobinelor	512
<b>10.7. Introducerea bobinelor în crestătură ; bobinarea</b>	<b>516</b>
10.7.1. Etapele procesului tehnologic de bobinare	516
10.7.2. Pregătirea miezului magnetic în vederea bobinării	516
10.7.3. Izolare miezului feromagnetic	517
10.7.4. Introducerea bobinelor în crestături	523
<b>10.8. Executarea legăturilor şi conexiunilor înfăşurărilor</b>	<b>539</b>
10.8.1. Executarea legăturilor la colectorul maşinilor de curent continuu	539
10.8.2. Executarea legăturilor şi conexiunilor înfăşurărilor de curent alternativ	540
<b>10.9. Consolidarea înfăşurărilor</b>	<b>546</b>
10.9.1. Sisteme de consolidare a înfăşurărilor	546
10.9.2. Construcţia, calculul şi executarea bandajelor de consolidare	551
<b>10.10. Încercări la execuţia înfăşurărilor</b>	<b>553</b>
10.10.1. Încercarea şi controlul izolaţiei	554
10.10.2. Încercarea izolaţiei conductorului de bobinaj	554
10.10.3. Controlul bobinelor prefabricate	555
10.10.4. Verificarea legăturilor între bobinele aceleiaşi căi de curent în timpul execuţiei	557
10.10.5. Încercarea izolaţiei înfăşurărilor aşezate în crestături	563
<b>10.11. Defectele înfăşurărilor repartizate şi repararea acestora în timpul execuţiei</b>	<b>568</b>
10.11.1. Scurtcircuitul între spire	568
10.11.2. Punerea la masă	569
<b>10.12. Impregnarea, acoperirea şi compundarea bobinelor şi înfăşurărilor maşinilor electrice</b>	<b>569</b>
10.12.1. Pregătirea bobinelor si înfăşurărilor pentru operaţiile de impregnare sau compundare	571
10.12.2. Impregnarea şi acoperirea înfăşurărilor	575
10.12.3. Compundarea bobinelor	583
<b>10.13. Stabilirea defectelor înfăşurărilor repartizate la maşinile montate</b>	<b>587</b>
10.13.1. Influenţa defectelor înfăşurărilor asupra caracteristicilor de funcţionare ale maşinilor electrice	588
10.13.2. Stabilirea tipului de defect, a locului defectului şi înălăturarea acestuia	593

<b>10.14. Echilibrarea rotoarelor</b>	597
10.14.1. Echilibrarea statică	598
10.14.2. Echilibrarea dinamică	600
10.14.3. Gradul de echilibrare al rotoarelor	602
<b>11. Utilajele atelierului de bobinat mașini electrice de puteri mici și mijlocii</b>	603
11.1. Aparate de măsurat, instalații auxiliare și dispozitive pentru executarea și încercarea înfășurărilor mașinilor electrice	604
11.2. Sculele și utilajele principale ale atelierului de bobinaj	610
11.3. Surse de alimentare cu energie electrică	612
11.4. Organizarea lucrului în ateliere	613
<b>Anexe</b>	615
<b>Bibliografie</b>	659

# 1. Construcția mașinilor electrice

## 1.1. CARACTERISTICILE CONSTRUCTIVE ALE MAȘINILOR ELECTRICE

### 1.1.1. Tipurile de mașini electrice

Mașinile electrice folosite pentru producerea energiei electrice sunt denumite *generatoare electrice*. Mașinile electrice utilizate pentru transformarea energiei electrice în energie mecanică, sunt denumite *motoare electrice*.

Mașina electrică este reversibilă : poate lucra fie în regim de generator electric, fie în regim de motor electric.

O mașină electrică poate funcționa și în *regim de frână* ; în acest caz mașina primește putere mecanică și putere electrică și le transformă în căldură.

După felul tensiunii de alimentare sau a tensiunii pe care o produc la borne, mașinile electrice se clasifică astfel :

- *mașini electrice de curent continuu*, utilizate în rețelele de curent continuu ;
- *mașini electrice de curent alternativ*, utilizate în rețelele de curent alternativ ;
- *mașini electrice universale*, care se pot utiliza atât în rețelele de curent continuu, cât și în rețelele de curent alternativ.

Mașinile de curent continuu și mașinile de curent alternativ se utilizează fie ca generatoare, fie ca motoare. Mașinile electrice universale funcționează de obicei ca motoare.

În cadrul fiecăreia dintre grupele arătate, mașinile electrice generatoare și cele motoare pot差别i între ele după schema de conexiuni a înfășurărilor, după principiul de funcționare sau după construcția lor. Astfel, mașinile de curent continuu au caracteristici de funcționare diferite, corespunzătoare schemei de conexiuni a înfășurării de excitație în raport cu circuitul indușului.

Mașinile de curent alternativ la care inductorul se învîrtește sincron cu cîmpul magnetic învîrtitor se numesc *mașini sincrone* ; tura-

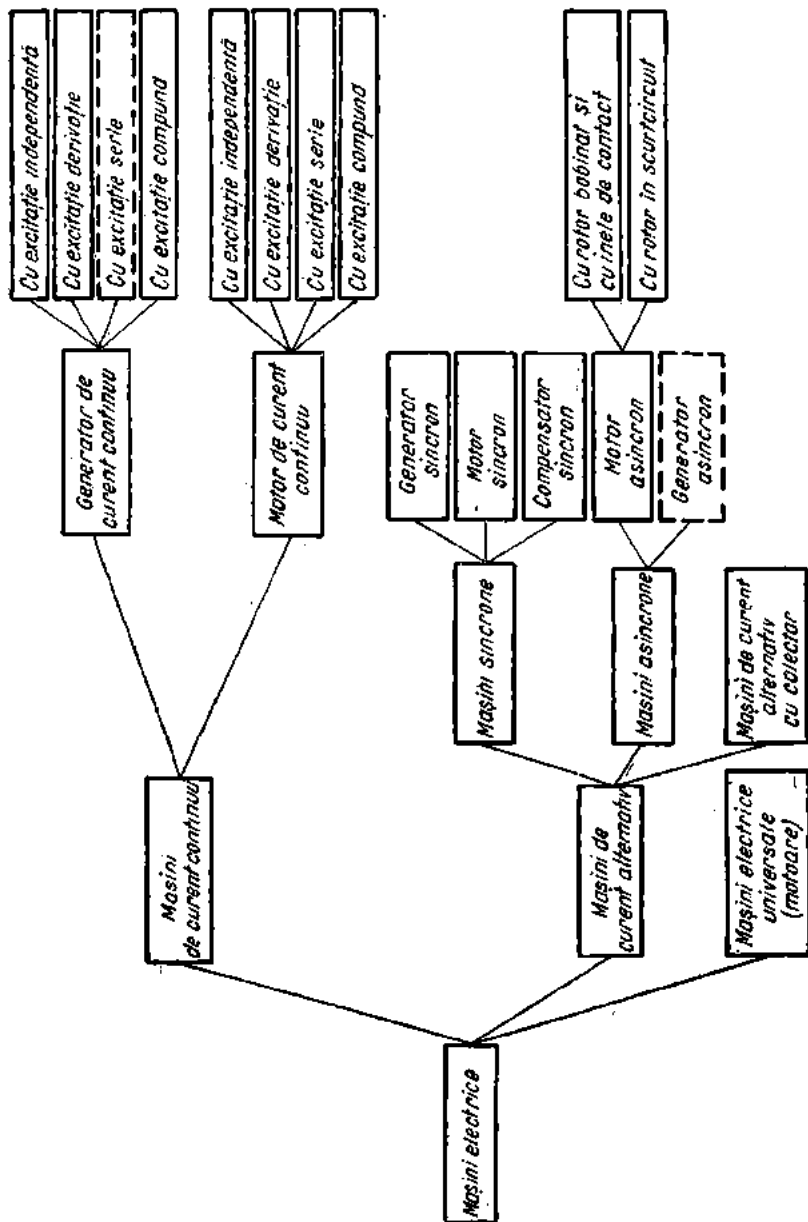


Fig. 1.1. Clasificarea principalelor tipuri de masini electrice.

ția mașinii sincrone depinde numai de frecvența tensiunii alternative la bornele indusului și de numărul de poli ai mașinii.

Mașinile de curenț alternativ la care rotorul se învîrtește cu o turație diferită de turația cîmpului magnetic inductor (mai mică sau mai mare decît turația sincronă) se numesc *mașini asincrone*. Turația mașinilor asincrone variază cu sarcina.

În schema din fig. 1.1 este reprezentată o clasificare a principalelor tipuri de mașini electrice normale, după felul tensiunii de alimentare și după principiul lor de funcționare. Tipurile de mașini electrice încadrate în dreptunghiuri din linii întrerupte se întâlnesc mai rar în exploatare.

### 1.1.2. Elementele constructive ale mașinilor electrice

Din punct de vedere constructiv mașinile electrice sunt construite din două subansamblu principale : statorul și rotorul ; excepție fac mașinile cu o singură armătură. Diferitele piese sau subansamblu care compun mașinile electrice pot fi subîmpărțite astfel :

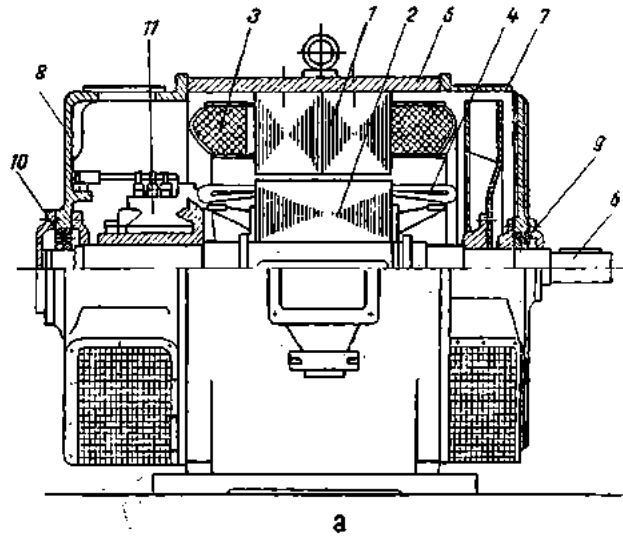
- părțile active ale mașinii, în care au loc procesele magnetice și electrice pentru producerea cuplului în mașină ;
- părțile inactive ale mașinii, care asigură asamblarea, susținerea, consolidarea și protecția mecanică a părților active.

Părțile active ale mașinilor electrice sunt :

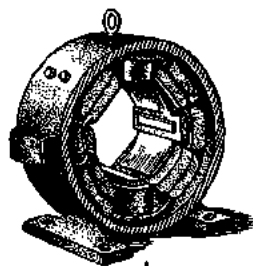
- miezurile feromagnetic, care se execută din tablă silicioasă sau din oțel turnat (miezul polilor, jugul polilor) sau chiar din fontă (jugul polilor la mașinile de curenț continuu), formând circuitul magnetic al mașinii ;
- înfășurările, care se execută din conductoare de cupru sau de aluminiu, formând circuitul electric al mașinii.

Mașinile electrice, indiferent de tip, au în componența lor o serie de elemente (sau subansamblu) similare din punct de vedere constructiv sau funcțional. În figurile 1.2, 1.3 și 1.4 sunt reprezentate subansamblele constructive principale și secțiunile longitudinale prin cîteva mașini electrice de putere mijlocie.

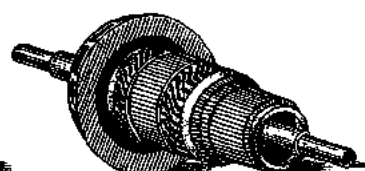
Miezul feromagnetic al unei mașini este format din miezul statorului 1 și miezul rotorului 2 ; prin miezul feromagnetic se închide cîmpul magnetic din mașină.



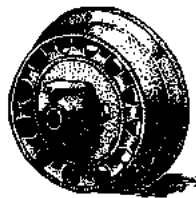
a



b



c



d



e



f

Fig. 1.2. Mașină de curent continuu :

a — secțiune longitudinală; b — stator; c — rotor; d și e — scuturi;  
f — suportul portperillor.

Între stator și rotor se prevede un spațiu liber, denumit întrefier, pentru a permite mișcarea rotorului; lărgimea întrefierului se stabiliește în funcție de tipul și puterea mașinii.

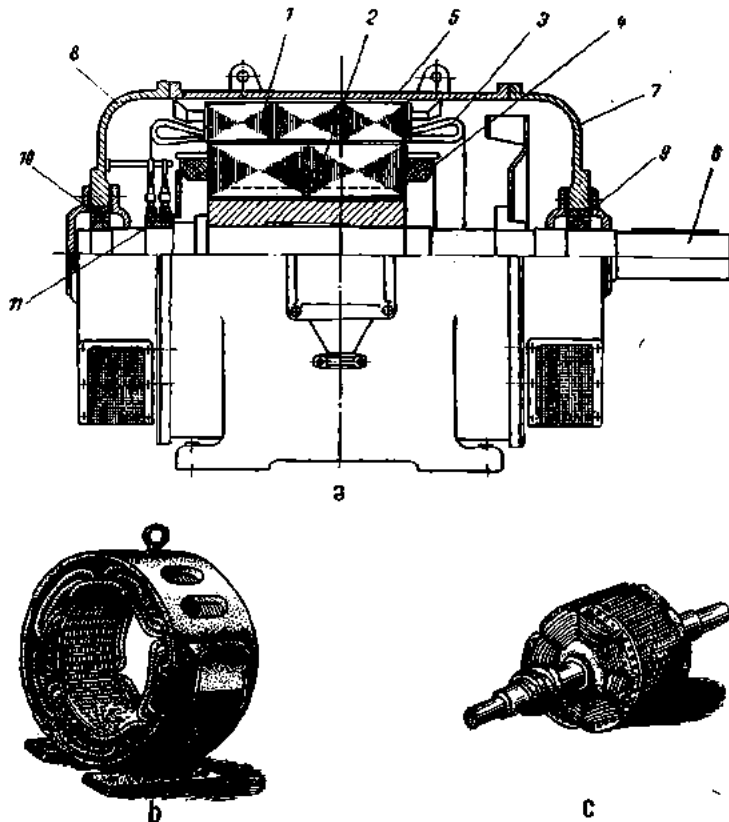


Fig. 1.3. Mașină sincronă :  
a — secțiune longitudinală; b — stator; c — rotor.

Diferite forme constructive de tole din tablă silicioasă utilizate în construcția miezului feromagnetic al mașinilor electrice sunt reprezentate în fig. 1.5.

La mașina de curent continuu reprezentată în fig. 1.2, statorul are miezul feromagnetic format din polii principali, polii auxiliari și din jug. Polii se pot executa din oțel turnat sau din tole care au de cele mai multe ori forma reprezentată în fig. 1.5, a. Rotorul

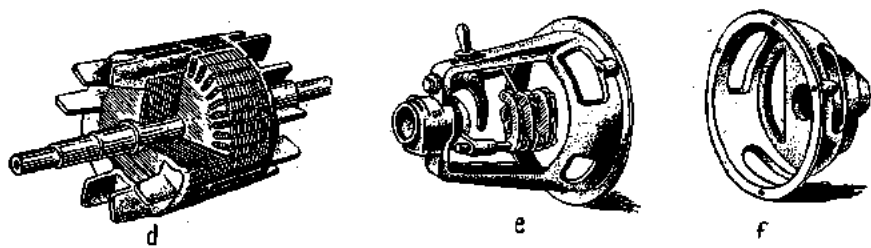
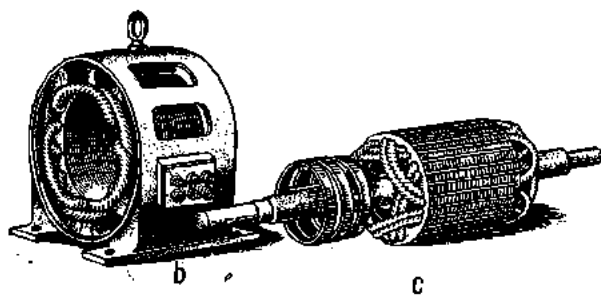
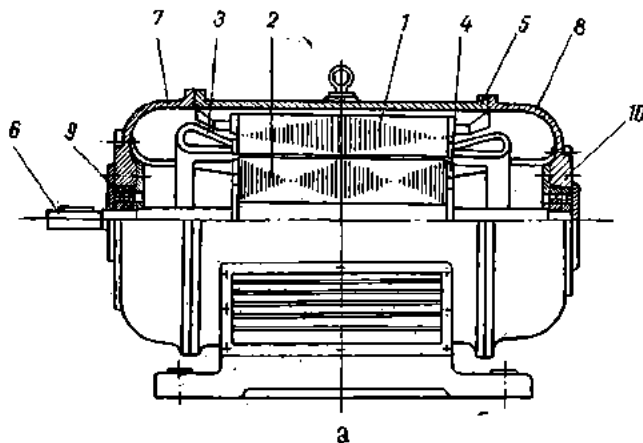


Fig. 1.4. Mașină asincronă:

a — secțiune longitudinală; b — stator; c — rotor bobinat; d — rotor în scurtcircuit; e și f — scuturi porțpalier.

aceleiași mașini are miezul feromagnetic format dintr-unul sau din mai multe pachete de tole circulare (fig. 1.5, b). Tolele rotorului sunt așezate pe arbore, direct sau prin intermediul unui butuc, iar pe periferia lor, la unghiuri egale, sunt practicate crestăturile.

Pe miezul polilor este așezată înfășurarea de excitație 3, formând împreună cu acesta *inductorul* mașinii; în crestăturile miezului magnetic din rotor este așezată înfășurarea 4, legată la colectorul 11 împreună cu care formează *indusul* mașinii.

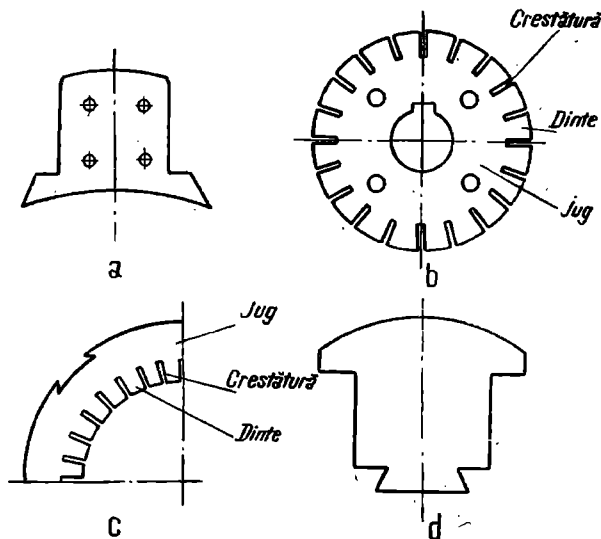


Fig. 1.5. Tipuri de tole pentru confectionarea miezurilor feromagnetice la mașinile electrice.

La mașinile sincrone, de construcție normală (fig. 1.3), miezul feromagnetic al statorului este construit din tole circulare întregi sau secționate (segmente), prevăzute cu crestături pe circumferință interioară (fig. 1.5, c), iar miezul rotorului se execută din tole având forma din fig. 1.5, d. În crestăturile toanelor pachetului din stator este așezată înfășurarea indușului. Pe miezul polilor din rotor este așezată înfășurarea de excitație 4.

În cazul construcției inverse (cu polii pe stator), miezul polilor este confectionat din tole de forma celor utilizate la mașinile de curent continuu (fig. 1.5, a), fixate de jugul inductor, care este ex-

cutat de cele mai multe ori din oțel turnat formînd și carcasa mașinii. Rotorul are miezul din tole de forma celor din fig. 1.5, b, utilizate și la mașinile de curent continuu, în crestăturile rotorului este așezată înfășurarea de curent alternativ.

Miezul feromagnetic al *motorului asincron* (fig. 1.4) este executat din tole circulare de forma celor indicate în fig. 1.5, c (pentru stator) și fig. 1.5, b (pentru rotor). În crestăturile celor două pachete de tole sînt introduse înfășurările motorului.

*Colectorul 11* al mașinilor de curent continuu (fig. 1.2) servește la redresarea tensiunii alternative ce se produce în înfășurarea indușului (transformînd-o într-o tensiune continuă). În construcția mașinilor de curent alternativ cu colector și a mașinilor universale de asemenea se folosesc colectoare.

*Inelele de contact 11* (fig. 1.3) se folosesc la orice mașină electrică unde este necesar să se transmită curentul electric prin conducție de la piese fixe la înfășurări în mișcare. Astfel, la mașinile de curent alternativ trifazate cu rotorul bobinat (sincrone de construcție inversă și asincrone cu rotorul bobinat) există trei inele pentru cele trei faze; ele sunt parcuse de curentul alternativ rotoric. Mașinile sincrone de construcție normală, adică cele cu polii inductorului pe rotor, sînt prevăzute cu două inele de contact pentru alimentarea înfășurării de excitație de la sursa de curent continuu.

Tipurile de colectoare ca și periile mașinilor electrice și inelele de contact se tratează în cap. 8.

Elementele inactive cele mai importante, întîlnite de regulă în construcția mașinilor electrice, sînt: carcasa, arborele, scuturile, lagărele și ventilatorul.

*Carcasa 5* (fig. 1.2, 1.3 și 1.4) servește la fixarea pachetului de tole din stator. La mașinile de curent continuu (fig. 1.2, b) și la mașinile sincrone de construcție inversă, carcasele îndeplinesc și rolul de jug magnetic. La mașinile asincrone sau la mașinile sincrone de construcție normală, carcasele nu fac parte din circuitul magnetic și se execută fie din fontă (sau aluminiu turnat la mașinile mici), fie din tablă groasă sudată.

*Arborele mașinii* notat cu 6 servește la transmiterea cuplului mecanic. Pe el este fixat miezul magnetic al rotorului care poartă înfășurarea de excitație sau înfășurarea rotorului; împreună cu acestea el constituie rotorul mașinii.

*Scuturile 7 și 8* sînt dispuse în părțile frontale ale carcsei. La mașinile electrice de puteri mici și mijlocii, pe scuturi sînt montate

*lagărele 9 și 10.* În aceste cazuri, scuturile servesc totodată și la centrarea rotorului mașinii.

*Ventilatoarele 12* asigură circulația mediului de răcire (aer, hidrogen), prin mașină.

## 1.2. TIPURILE DE ÎNFĂȘURĂRI

După rolul lor în funcționarea mașinilor electrice, înfășurările sunt denumite :

a) înfășurări de excitație care servesc la producerea cîmpului magnetic inductor ;

b) înfășurări ale indusului, în care se induc tensiuni electro-motoare.

Înfășurările de excitație ale mașinilor de curent continuu se dispun concentrat pe miezul polilor așezăți în statorul mașinii și se numesc *înfășurări concentrate*.

Înfășurările concentrate se întâlnesc și în construcția mașinilor sincrone, avînd de asemenea funcțunea de înfășurări de excitație. În construcția mașinilor sincrone înfășurările de excitație pot fi așezate pe rotor sau pe stator (construcție inversă).

În construcția mașinilor sincrone, înfășurările de excitație pot fi așezate și în crestături dispuse simetric în raport cu axa polului, după cum se arată în fig. 1.6.

Asemenea poli se numesc *poli înecați* și se folosesc de obicei în construcția mașinilor sincrone cu o singură pereche de poli ( $n = 3\ 000$  rot/min) (turbogeneratoare).

Înfășurările indusului mașinii de curent continuu, ale indusului mașinii sincrone, ca și înfășurările din statorul și rotorul mașinilor asincrone, sunt distribuite în crestăturile practicate în miezurile magnetice ; ele se numesc *înfășurări repartizate*.

După conexiunile care se realizează între bobine, înfășurările indusului mașinilor de curent continuu se deosebesc de înfășurările

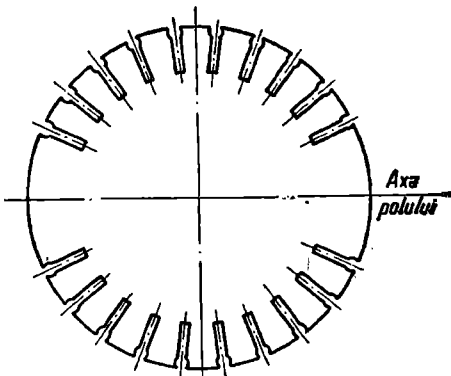


Fig. 1.6. Dispunerea crestăturilor la turbogeneratoarele sincrone.

de curent alternativ ale mașinilor sincrone și asincrone. Din această cauză, înfășurările rotoarelor mașinilor de curent continuu ca și ale rotoarelor mașinilor de curent alternativ cu colector se numesc *înfășurări tip inducție de curent continuu*.

După construcția lor, înfășurările se pot clasifica deci în următoarele tipuri constructive :

- înfășurări concentrate ;
- înfășurări tip inducție de curent continuu ;
- înfășurări tip de curent alternativ.

## 2. Conductoare și materiale izolante folosite la construcția înfășurărilor

### 2.1. CONDUCTOARE DE BOBINAJ IZOLATE

În construcția înfășurărilor se folosesc conductoare de bobinaj cu următoarele tipuri de izolație :

- izolație textilă ;
- izolație din hârtie ;
- email izolant ;
- combinații de izolație textilă și email izolant.

#### *Izolația textilă*

Izolația textilă a conductoarelor se realizează din fire sau țesături de bumbac, mătase naturală, sticlă sau azbest.

**Izolații din fire sau țesături de bumbac.** Sunt standardizate următoarele tipuri de izolații continue realizate din fire de bumbac :

B : Izolație într-un strat, realizată prin înfășurarea fir lîngă fir a firelor textile de-a lungul conductorului.

BB : Izolație în două straturi, fiecare din acestea fiind obținute prin înfășurarea firelor textile de-a lungul conductorului, fir lîngă fir. În cele două straturi, sensul de înfășurare al firelor este diferit.

3B : Izolație în trei straturi, realizată prin adăugarea unui strat de bumbac peste izolația BB, sensul de înfășurare al acestui strat fiind invers cu acel al stratului precedent.

T : Izolație sub formă de țesătură din fire de bumbac, îmbrăcind în mod uniform și continuu conductorul.

BT : Izolație din țesătură din fire de bumbac așezată peste o izolație de tipul B.

BBT : Izolație realizată din țesătură din fire de bumbac așezată peste o izolație de tipul BB.

Prin învelirea conductorului cu fire de bumbac, dimensiunile acestuia cresc în raport cu acelea ale conductorului neizolat (blanc), aşa cum se arată în fig. 2.1.

În tabelele 2.1 și 2.2 sunt date grosimile izolației de bumbac pentru conductoarele rotunde, respectiv dreptunghiulare ; dimensiunile  $d$ ,  $d_1$ ,  $a$ ,  $a_1$ ,  $b$ ,  $b_1$  au semnificația din fig. 2.1.

Izolația din țesătură de bumbac (bandă) este o izolație discontinuă, care se aplică după caz prin învelirea conductorului (de obicei de secțiune mare). Deoarece în timpul execuției anumitor bobine rezistența mecanică a izolației nu este suficientă, existând pericolul ca ea să se deterioreze, se obișnuiește ca izolarea cu bandă de bumbac să se facă după formarea bobinei.

Benzile de bumbac sunt țesături de lățime 15—50 mm subțiri și de rezistență mecanică ridicată.

Izolație din fire de mătase. Cu fire de mătase se pot realiza, în general, aceleași tipuri de izolații ca și în cazul bumbacului ; în mod ușual se întâlnesc următoarele tipuri :

— izolația tip M, la care conductorul este acoperit cu un strat de fir de mătase înfășurat în jurul conductorului ;

— izolația tip MM, la care izolația se compune din două straturi executate la fel ca izolația BB, prin înfășurarea în sensuri opuse a firelor textile de mătase.

În tabela 2.3 sunt date supraîngrosările conductoarelor izolate cu mătase în ambele variante M și MM, notațiile din tabelă având semnificația din fig. 2.1.

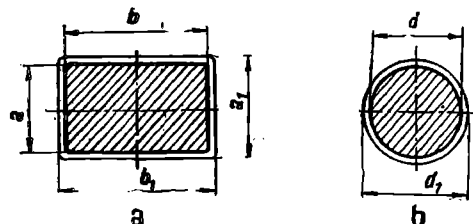


Fig. 2.1. Conductor cu izolație din fire de bumbac.

Tabela 2.1

**Grosimea izolației de bumbac a conductoarelor rotunde de bobinaj  
(extras din STAS 541-59)**

Izolația		Diametrul $d$ al conductorului, mm (fig. 2.1)							
		0,10— 0,18	0,19— 0,29	0,30— 0,48	0,50— 0,75	0,80— 1,45	1,50— 2,90	3,00— 3,80	4,0— 6,0
Compunerea izolației	Simbolul	Grosimea izolației: $d_1-d$ mm (fig. 2.1)							
1×înfășurare	B	0,1	0,1	0,12	0,12	0,12	0,15	—	—
2×înfășurare	BB	0,16	0,16	0,20	0,22	0,22	0,26	0,30	0,40
3×înfășurare	3B	—	—	—	—	0,36	0,40	0,50	0,50
1×impletitură	T	—	—	—	—	0,45	0,45	0,50	0,50
1×înfășurare 1×impletitură	BT	—	—	—	—	0,55	0,60	0,60	0,60
2×înfășurare 1×impletitură	BBT	—	—	—	—	0,70	0,70	0,80	0,90

Tabela 2.2

**Grosimea izolației de bumbac a conductoarelor dreptunghiulare de bobinaj  
(extras din STAS 541-59)**

Izolația		Grosimea $a$ (fig. 2.1), în mm		
		0,85—1,95	2,0—3,8	4,0—6,0
Compunerea izolației	Simbolul	Grosimea izolației $a_1-a$ sau $b_1-b$ (fig. 2.2), în mm		
1×înfășurare	B	0,14	0,175	0,23
2×înfășurare	BB	0,25	0,30	0,40
3×înfășurare	3B	0,41	0,53	0,54
1×impletitură	T	0,45	0,50	0,50
1×înfășurare	BT	0,73	0,73	0,73
1×impletitură				
2×înfășurare	BBT	0,88	0,88	0,88
1×impletitură				

**Izolația din fire de sticlă.** Firele de sticlă au o rezistență de rugere mare la întindere, în schimb rezistența la forfecare este redusă.

Pentru izolare conductoarelor se folosesc firele și benzile de sticlă.

Tabela 2.3

**Grosimea izolației de mătase a conductorilor de bobinaj  
(extras din STAS 541-59)**

Izolația		Grosimea $a$ sau diametrul $d$ al conductorului, mm (fig. 2.1)		
		0,30—0,18	0,19—0,48	0,5—0,75
Componerea izolației	Simbolul	Grosimea medie a izolației: $a_1—a$ ; $d_1—d$ , mm (fig. 2.1)		
1×înfășurare	M	0,035	0,040	0,040
2×înfășurare	MM	0,070	0,070	0,080

Din fire de sticlă se realizează următoarele tipuri de izolații pentru conductorile de bobinaj (conform N. I. 1046-61):

2S — Izolație în două straturi realizată prin înfășurarea firului de sticlă în două straturi a conductorului de secțiune circulară.

P2S — Izolație în două straturi a conductorului de secțiune dreptunghiulară.

PST — Izolație în două straturi realizată prin înfășurarea unui strat din fire de sticlă și învelirea într-un strat a țesăturii de sticlă pentru conductorul de secțiune dreptunghiulară.

În tabela 2.4 sunt date grosimile maxime ale izolațiilor cu fire de sticlă la conductorul rotund, respectiv dreptunghiular, notațiile din tabelă fiind explicate în fig. 2.1.

Tabela 2.4

**Grosimea maximă a izolației din fire de sticlă la conductorale rotunde,  
respectiv dreptunghiulare**

Dimensiunile $d$ , $a$ și $b$ ale conductorului (fig. 2.1) mm	Tipul izolației		
	2S	P2S	PST
	Grosimea maximă a izolației, în mm ( $d_1—d$ )	( $a_1—a$ ) sau ( $b_1—b$ )	
0,8 ... 1,0	0,23	—	—
1,05 ... 1,55	0,27	—	—
1,60 ... 2,10	0,27	—	—
2,20 și mai mare	0,33	—	—
0,9 ... 1,95	—	0,27	0,5
2,10 ... 3,80	—	0,33	—
4,10 ... 5,50	—	0,40	—

Pentru ca izolația din firele de sticlă a conductoarelor să nu se distrugă în timpul manipulării, se utilizează ca liant un lac termo-rezistent, din clasa de izolație B, F sau H.

Benzile din fire de sticlă utilizate la izolarea conductoarelor profilate au grosimea de 0,1 mm, iar lățimea cuprinsă între 8 și 25 mm.

### *Izolația din hîrtie*

Hîrtia întrebuiențată pentru izolarea conductoarelor de bobinaj este hîrtia de cablu sau hîrtia telefonică.

Izolația din hîrtie se obține prin infășurarea de-a lungul conductorului a două sau mai multe straturi de hîrtie fiecare strat formind, ca și izolația din bandă de țesătură, o izolație discontinuă.

Straturile de hîrtie se infășoară pe conductor în același sens, pentru a-i da conductorului o flexibilitate mai mare. În cazul unui număr mai mare de straturi de hîrtie (peste trei) și atunci cînd conductorul izolat urmează să fie folosit la tensiuni de serviciu nominale ridicate, pentru evitarea eventualelor discontinuități în izolație prin derularea hîrtiei izolante, straturile de hîrtie se infășoară în sensuri diferite de la strat la strat.

Izolația din hîrtie a conductoarelor de secțiune dreptunghiulară este consolidată printr-un fir de bumbac infășurat în sens invers sensului de infășurare al hîrtiei.

Grosimea izolației de hîrtie pentru conductoarele rotunde utilizate în construcția infășurărilor mașinilor electrice este indicată în tabela 2.5, conform STAS 6163-60.

*Tabela 2.5*

**Grosimea izolației de hîrtie la conductoarele rotunde de cupru  
(extras din STAS 6163-60)**

Numărul×grosimea benzilor de hîrtie mm	Diametrul conductorului, mm (fig. 2.1)	
	1,00–2,10	2,20–5,20
	Grosimea izolației ( $d_1-d$ ), în mm	
2×0,05	0,20±0,03	—
2×0,05 + 1×0,12	0,44±0,05	0,44±0,05
3×0,05	0,30±0,06	0,30±0,06
3×0,05 + 1×0,12	0,45±0,08	0,54±0,08

## *Conductoare emailate și emailuri pentru izolare conductoarelor*

Izolația de email a conductoarelor de bobinaj de bună calitate trebuie să îndeplinească următoarele condiții :

- grosimea să fie uniformă și corespunzătoare valorilor garantate ;
- pelicula de email să fie continuă ;
- culoarea să fie uniformă ;
- să prezinte rezistență la acțiunea acizilor sau bazelor, cu excepția solvenților indicați pentru fiecare caz în parte ;
- caracteristicile electrice (în special rigiditate dielectrică) și fizico-mecanice (elasticitate, aderență și.a.) să fie uniforme și corespunzătoare valorilor garantate.

După natura lacului din care se execută, emailurile pentru izolare conductoarelor de bobinaj se împart în două grupe mari :

- emailuri pe bază de uleiuri vegetale ;
- emailuri pe bază de rășini sintetice.

**Emailuri pe bază de uleiuri vegetale.** În această categorie intră emailurile ce au la bază uleiurile vegetale și anume : uleiul de tung, uleiul de in, uleiul de ricin și combinații ale acestora.

La fabricarea lacurilor pentru emailuri, uleiurile vegetale se amestecă cu substanțe siccative (care usurează uscarea) și cu pigmenți coloranți.

Emailurile realizate cu aceste lacuri fac parte din clasa de izolație A.

Cel mai răspândit email din această grupă este emailul pe bază de ulei de tung amestecat cu ulei de in ; el se folosește la conductoare rotunde de bobinaj, pentru toată gama dimensiunilor standardizate.

Pentru conductoarele de bobinaj de secțiuni reduse, cu diametrul cuprins între 0,05 și 0,30 mm, se folosește emailul pe bază de ulei de ricin.

La conductoarele rotunde grosimea peliculei de email pe bază de uleiuri vegetale corespunde valorilor date în tabela 2.6.

**Emailuri pe bază de rășini sintetice.** Aceste emailuri au înlocuit în ultimul timp o mare parte din emailurile pe bază de uleiuri vegetale datorită proprietăților lor termice și mecanice superioare.

La fabrica de cabluri și Materiale Electroizolante FCME din București se produc următoarele sortimente de conductoare de bobinaj izolate :

Tabelă 2.6

**Grosimea maximă a izolației de email, la conductoarele rotunde  
de bobinaj (NI 732-60)**

Izolația conductorului	Simbol	Diametrul conductorului mm	Grosimea izolației $d_1 d_2$ în mm (fig. 2.1)
Email tereftalic	ET	0,10–0,21	0,02
		0,22–0,26	0,03
		0,27–0,48	0,04
Email poliamidic și Email poliuretanic	EP și EU	0,40–0,48	0,04
Email tereftalic Email poliamidic și Email poliuretanic	ET EP și EU	0,50–0,70	0,05
		0,75–0,95	0,06
		1,00–1,75	0,08
		1,80–1,95	0,09
		2,00–2,40	0,10

- cu email poliamidic (de tipul izorelon, care are o aderență foarte bună și pe aluminiu) ;
- cu email poliuretanic ;
- cu email tereftalic.

Grosimile peliculei de email pentru aceste tipuri de conductoare sunt date în tabelă 2.6 pentru conductoare rotunde și în tabelă 2.7 pentru conductoare dreptunghiulare.

#### *Conductoare izolate cu email și izolație textilă*

Conductoare de bobinaj se izolează uneori cu o izolație mixtă : email și izolație textilă (bumbac, mătase sau sticlă). Emailul utilizat pentru izolație este pe bază de uleiuri vegetale sau rășini sintetice.

În tabelă 2.8 sunt date grosimile izolației unor conductoare de bobinaj rotunde izolate cu email și mătase care se fabrică la FCME.

Pentru scopuri speciale se pot executa conductoare cu izolație formată dintr-o peliculă de email pe bază de rășini sintetice cu un strat superior de izolație din fire de sticlă. În acest caz se utilizează un email pe bază de rășini sintetice, ansamblul încadrindu-se în clasele de izolație B, F sau H.

Tabelă 2.7

Grosimea maximă  $a_1a$  sau  $b_1b$  a izolației de email a conductorelor dreptunghulare (C.S. 1004-61)

Izolația conduc- torului	Simbol	Lățimea $b$ a conduc- torului mm	Grosimea $a$ a conductorului, mm (fig. 2.1)											
			2,1	2,25	2,44	2,63	2,83	3,05	3,28	3,53	3,80	4,10	4,40	4,50
		2,1	-	-	-	-	-	-	-	-	-	-	-	-
		2,25	-	-	-	-	-	-	-	-	-	-	-	-
		2,44	-	-	-	-	-	-	-	-	-	-	-	-
		2,63	-	-	-	-	-	-	-	-	-	-	-	-
		2,83	-	-	-	-	-	-	-	-	-	-	-	-
		3,05	0,09	-	-	-	-	-	-	-	-	-	-	-
		3,28	-	-	-	-	-	-	-	-	-	-	-	-
		3,53	-	-	-	-	-	-	-	-	-	-	-	-
		3,80	-	-	-	-	-	-	-	-	-	-	-	-
		4,10	-	-	-	-	-	-	-	-	-	-	-	-
		4,40	-	-	-	-	-	-	-	-	-	-	-	-
		4,50	-	-	-	-	-	-	-	-	-	-	-	-

Tabela 2.8

**Grosimea izolației conductoarelor rotunde de bobinaj,  
izolate cu email și mătase**

Componerea izolației	Simbol	Diametrul $d$ al conductorului, mm (fig. 2.1)			
		0,15	0,16–0,2	0,21–0,4	0,42–0,5
Grosimea maximă a izolației (stratul de email+stratul de mătase) $d_1, d_2$ , mm (fig. 2.1)					
Email + mătase 1×înfașurare	EM	0,06	0,07	0,08	0,09
Email + mătase 2×înfașurare	EMM	0,10	0,10	0,11	0,12

În tabela 2.9 sunt date grosimile izolației conductoarelor de bobinaj (cu izolație de email și fire de sticlă) de secțiune circulară și respectiv de secțiune dreptunghiulară fabricate de FCME.

Tabela 2.9

**Grosimea maximă (mm), a izolației conductorului de bobinaj  
cu izolație email și sticlă**  
(N.I. 1046-61); notările  $d_1, d, a_1, a, b_1, b$  sunt conform fig. 2.1

Dimensiunile conductorului $d, a, b$ , (fig. 2.1)	Tipul izolației			
	ES	E2S	PE2S	
	Grosimea maximă a izolației mm			
	$(d_1, d)$	$(a_1, a)$	$(b_1, b)$	
0,8 ... 1,0	0,24	0,27	—	—
1,05 ... 1,55	0,24	0,30	—	—
1,60 ... 2,10	0,27	0,30	—	—
2,20 și mai mare	—	—	—	—
0,9 ... 1,95	—	—	0,5	—
2,10 ... 3,80	—	—	0,5	—
4,10 ... 5,50	—	—	—	—

**Conductoare de bobinaj cu izolație din polietilenă**

Pentru utilizări speciale, de exemplu pentru motoare submersibile (la pompe submersibile de apă) se folosesc conductoare de bobinaj cu izolație din polietilenă, produsul având o mare rezistență la acțiunea apei.

## **2.2. MATERIALE ELECTROIZOLANTE ÎNTREBUINȚATE LA IZOLAREA ÎNFĂȘURĂRILOR**

### *Tipuri și clasificări*

Materialele electroizolante utilizate la confectionarea înfășurărilor se prezintă sub formă de foi sau plăci, țesături sau benzi textile, materiale stratificate, prafuri de presare etc.

După natura lor, ele pot fi grupate astfel :

- hîrtia și cartonul electrotehnic ;
- țesături și benzi textile neimpregnate și impregnate ;
- folii și benzi sintetice ;
- prafuri de presare ;
- materiale plastice stratificate ;
- lemnul ;
- mica și produsele din mică ;
- izolații combinate.

### *Hîrtia și cartonul electrotehnic*

#### **Hîrtia electroizolantă**

Tipurile de hîrtii electrotehnice neimpregnate utilizate în mașinile electrice sunt : hîrtia de cablu, hîrtia telefonică, hîrtia pentru pertinax și hîrtia pentru micabandă și pentru micafoliu.

Cu excepția hîrtiei pentru micabandă, care se obține mai ales din fibre de bumbac, toate celelalte sortimente de hîrtii electrotehnice se fabrică din celuloză sulfat fără adaosuri.

Hîrtiile de cablu se fabrică în grosimi de 0,04 ... 0,12 mm. Datorită caracteristicilor lor mecanice bune, ele se folosesc ca izolații pentru conductoarele în bare, pentru bobine concentrate etc.

Hîrtia folosită pentru confectionarea pertinaxului sub formă de plăci, de piese izolante cu profile speciale sau tuburi, are o rezistență mare la îndoiri și o capacitate mare de absorbție a lacului de impregnare. Ea se fabrică în grosimi de 0,05, 0,07 și 0,13 mm.

Hîrtia pentru micafoliu și micabandă ca și hîrtia de cablu trebuie să aibă caracteristici mecanice bune. La hîrtia pentru micabandă se cere și o bună rezistență la sfîșiere. Ele se fabrică cu grosimea de 0,02 mm.

În general hîrtiile se folosesc impregnate, impregnarea executându-se de regulă o dată cu impregnarea bobinelor sau înfășurări-

lor gata confectionate. Uneori hîrtiile se impregnează în prealabil, cum este cazul hîrtiilor lăcuite (cu lacuri uleioase sau oleo-răšinoase) și a hîrtiilor bachelizate (hîrtii de pertinax); prelucrarea lor se face între plăci calde, pentru piese mici (fierul de călcat), urmînd apoi întărirea la temperaturi pînă la 140 °C. Grosimile hîrtiilor gata impregnate variază între 0,03 și 0,12 mm.

Pentru reducerea higroscopicității, hîrtia sulfat se acetilează, obținîndu-se sortimentul cunoscut sub denumirea de hîrtie acetilată. Acest tip de hîrtie este folosit pentru confectionarea izolațiilor în crestătură ale înfășurărilor mașinilor electrice, pentru izolații la capetele de bobină, precum și în construcția bobinelor polare. Hîrtia acetilată se fabrică în grosimi de 0,06 pînă la 0,12 mm.

**Preșpanul sau cartonul electrotehnic.** Preșpanul se obține din celuloză sulfat. El se fabrică sub forme de foi (coale) de grosime 0,25—2 mm de culoare cenușie (tipul C, utilizat pentru izolații de crestătură în mașinile electrice), de culoare galbenă (tipul M, utilizat în general în mașinile electrice) sau de culoarea corespunzătoare materialului fibros (tipul T, utilizat pentru transformatoare).

Ca aspect, preșpanul este bine presat și lustruit. Fiind un material pe bază de celuloză, preșpanul neimpregnat se încadrează în clasa de izolație Y, iar cel impregnat în clasa de izolație A. Poate fi folosit ca atare în cadrul izolațiilor de clasă A, precum și în componentă unor izolații de clasă superioară clasei A, dar numai ca suport mecanic și impregnat cu lacuri corespunzătoare clasei de izolație respective.

### *Țesături și benzi textile*

Țesăturile și benzile textile se obțin din fire de bumbac, de mătase naturală, de mătase artificială, din fire poliamidice, poliesterice, din fire de sticlă și din fire de azbest.

### *Țesături și benzi neimpregnate*

Principalele tipuri de țesături și benzi din fire de bumbac sunt următoarele :

- țesătură de serj, cu grosimea de 0,54 mm ;
- țesătură de pînză, cu grosimea de 0,26 mm ;
- țesătura de batist, cu grosimea de 0,22 mm.

Din fire de mătase se execută țesătura de mătase *excelsior*, cu grosimea de 0,15 mm. Țesăturile de mătase naturală și artificială, pot avea și grosimi mai mici (pînă la 0,04 mm).

Țesăturile și benzile din fire poliamidice (de tip nailon, capron, perlon) se remarcă printr-o mare rezistență la abraziune, au o rezistență mecanică mai mare ca bumbacul și mătasea și o mare elasticitate. Se fabrică în grosimi de 0,03—0,05 mm.

Țesăturile și benzile din fire poliesterice (terilen) au grosimea minimă de 0,07 mm. Ele au o mare elasticitate și rezistență mecanică, o bună comportare la umiditate ridicată și prezintă o stabilitate termică superioară.

Țesăturile și benzile din fire de sticlă au o largă utilizare la înfășurările cu temperaturi de funcționare ridicate, cu solicitări mecanice (la întindere) mari și condiții de umiditate ridicate. Se fabrică în grosimi de la 0,05—0,80 mm.

Țesăturile și benzile din fire de azbest se folosesc la temperaturi de funcționare ridicate, acolo unde grosimile de izolație pot fi mai mari și solicitările mecanice nu sunt prea ridicate. Se fabrică în grosimi de 0,75 ... 1,30 mm.

#### Țesături și benzi impregnate

Principalele tipuri de țesături impregnate și lăcuite sunt date în tabela 2.10.

Tipurile de lacuri electroizolante utilizate la impregnarea diferitelor sortimente de țesături depind de natura materialului țesăturii și de clasa de izolație dorită. De obicei, se folosesc tipuri de lacuri indicate în tabela 2.14.

Benzile impregnate și lăcuite se obțin din țesături late impregnate și lăcuite, tăiate la lățimea dorită.

Lățimile benzilor sunt cuprinse între 10 și 30 mm.

**Tuburile din țesături textile.** Tuburile din țesături textile se realizează din fire de bumbac, mătase sau fire de sticlă, prin țesere sau împletire pe mașini speciale la diametre interioare de la 1 pînă la 12 mm.

Tuburile din țesături textile au caracteristicile firelor din care sunt confectionate. În plus, ele au capacitatea de a rezista mai bine la eforturi de întindere și la un număr mare de îndoiri.

Ca și țesăturile textile, tuburile se pot utiliza la izolarea înfășurărilor fie neimpregnate, fie impregnate, fie impregnate și lăcuite. În cazul folosirii tuburilor din țesături neimpregnate este neapărat necesară executarea impregnării înfășurării respective, o dată cu aceasta executîndu-se și impregnarea tuburilor. Ca și în cazul țesăturilor, clasa de izolație a tuburilor din țesături textile impregnate este determinată de natura lacului folosit.

Tabelă 2.10

## Tesături impregnate

Tesătură	Lacul de impregnare	Clasa de izolație a materialului impregnat
Țesătura de bumbac	lacuri pe bază de uleiuri vegetale lacuri oleo-bituminoase	A A
Țesătura din mătase naturală	lacuri pe bază de uleiuri vegetale lacuri pe bază de rășini poliesterice	A E
Țesătura din mătase artificială	lacuri pe bază de uleiuri vegetale	A
Țesătura din poliamidice	lacuri pe bază de rășini oleo-gliptalice	E
Țesătura din fire de sticlă	lacuri pe bază de rășini oleo-gliptalice lacuri pe bază de rășini epoxidice lacuri pe bază de rășini poliesterice lacuri siliconice elastomeri siliconici	E E B, F B, F, H F, H
Țesătura din fire de azbest	lacuri pe bază de rășini oleo-gliptalice lacuri pe bază de rășini poliesterice	E B, F

*Materiale plastice*

Materialele plastice se folosesc în construcția înfășurărilor în următoarele forme :

- folii (pelicule) electroizolante ;
- piese izolante din materiale sub formă de prafuri sau granule presate ;
- plăci sau piese cu profile determinante, distanțare electroizolante din materiale stratificat-presate ;
- izolații pentru conductoare și cabluri de conexiune.

**Folii electroizolante.** Materialele plastice sub formă de folii izolante se folosesc pentru confectionarea izolației înfășurărilor și în special pentru executarea izolației în crestătură.

Grosimea la care se fabrică aceste folii variază între 0,01 și 0,5 mm ; frecvent se utilizează foliile având grosimea de 0,025 și 0,04 mm.

Foliile electroizolante sintetice pot suporta pentru scurt timp tensiuni foarte ridicate. Însă numai în cazul utilizării foliilor în com-

binație cu materiale electroizolante de umplere sau de înkleiere cu caracteristici electrice corespunzătoare, se pot supune foliile la tensiuni de serviciu ridicate.

În tabela 2.11 sunt indicate temperaturile maxime admisibile și comportarea la acțiunea descăr cărilor superficiale a foliilor electroizolante uzuale.

**Tabela 2.11**

**Temperatura maximă admisibilă (°C) și comportarea la acțiunea descăr cărilor electrice ale foliilor electroizolante din materiale plastice uzuale**

Materialul foliilor	Temperatura maximă admisibilă °C	Comportarea la descăr cările electrice superficiale
Triacetat de celuloză	120	nestabil
Acetobutirat de celuloză	120	nestabil
Polietylénă	60	relativ bun
Polistiren	70	relativ bun
Policlorură de vinil (PVC)	80	relativ stabil
Poliamidă	105	nestabil
Policarbonat	120	nestabil
Tereftalat de polietilenă (mylar, hostaphan, terfan)	130 (la 150 °C timp scurt)	nestabil
Polimonoclortrifluoretilenă	180 (pe cupru numai 100 °C)	nestabil
Politetrafluoretilenă (teflon)	200	nestabil

Atât foliile, cât și mai ales benzile din materiale plastice cu un material de înkleiere pe una din suprafețe sunt denumite folii, respectiv benzi cu autolipire.

După natura foliei, se folosesc ca material de înkleiere rășini poliesterice sau rășini, respectiv elastomeri, siliconici.

Benzile cu autolipire se folosesc îndeosebi la izolarea capetelor de bobină, la izolarea suportilor capetelor de bobină, la consolidarea ieșirilor și legăturilor bobinelor și în general la mașinile de tensiune joasă.

#### **Materiale de presare**

La confectionarea pieselor izolante de dimensiuni determinate ca : profile, distanțoare, plăci, plăci de borne, se folosesc materiale sub formă de pulberi sau granule care se presează la cald în forme (ma-

trițe). Aceste materiale, denumite ușual și prafuri de presare, sunt un amestec de rășini sintetice termoreactive cu un material de umplutură.

Caracteristicile electrice și mecanice ale materialelor de presare depind de proporția amestecului dintre rășină și materialul de umplutură. Proportia de rășină ușual folosită este de 45—50%.

### Materiale stratificate

Materialele stratificate se obțin din hîrtie electrotehnică sau țesături asociate cu o rășină electroizolantă termoreactivă ca material de legătură. Prin presarea ansamblului la temperaturi ce se stabilesc după natura materialului de umplere și a rășinii fie între platanele unei prese, fie în mătrițe cu forme diferite, se obține materialul stratificat în formă de plăci, bare, tuburi sau piese izolante de forme determinate.

În tabela 2.12 se indică tipurile de pertinax, textolit și sticlotextolit în plăci ce se fabrică la FCME și domeniile principale de utilizare. Pertinaxul și textolitul se fabrică în grosimi de 0,5...80 mm, iar sticlotextolitul de la 0,5 la 20 mm.

Tabela 2.12

#### Tipurile de pertinax, textolit și sticlotextolit ce se fabrică la FCME și domeniul lor de utilizare

Materialul	Simbol	Domeniul de utilizare	Clasa de izolație	Marca internă
Pertinax	EUT	Pentru utilizare în ulei mineral	E	N.I. 679-60
	EA	Pentru a lucra în aer	E	
	EAU	Pentru a lucra în aer la umiditate ridicată	E	
	EIF	Pentru utilizare la înaltă frecvență (telefonie)	E	
Textolit	E	Pentru a lucra în ulei mineral sau aer	E	N.I. 879-63
	M	Cu proprietăți mecanice ridicate		
Sticlotextolit cu rășină bachelitică			B	N.I. 1326-63
Sticlotextolit cu rășină epoxidică			F	N.I. 1126-63
Sticlotextolit cu rășină siliconică			H	N.I. 1246-63

## *Mica și produsele de mică*

Mica se folosește ca material electroizolant numai în două calități: mica muscovit (care este un silicat dublu de aluminiu și potasiu) și mica flogopit (care este un silicat dublu de aluminiu și magneziu). Aceasta din urmă se găsește însă în cantități foarte mici în natură.

În țara noastră este utilizată mica albă (muscovit), conform STAS 2290-55, clasificată după mărimea plăcilor sau foișelor și după grosime.

Plăcuțele și foișele de mică se întrebunează ca atare în construcția de piese izolante pentru borne și lamele izolante de colecțoare. În executarea izolațiilor în crestătură se folosesc produsele de mică.

**Produsele de mică.** Se întâlnesc următoarele tipuri de produse pe bază de mică: micanita, micafoliu, micabanda, hîrtia de mică, micalexul.

*Micanita* este materialul electroizolant care se obține prin încleierea foișelor de mică cu un liant organic sau anorganic.

În funcție de domeniul de utilizare, micanita se fabrică în următoarele variante principale: micanita de colector, micanita de formare, micanita de căptușire, micanita rezistentă la căldură (termo-rezistentă) și micanita flexibilă.

*Micanita de colector* se fabrică folosind ca lac de încleiere pentru foișele de mică fie un lac gliptalic, fie șerlacul, fie un lac melamino-gliptalic. Conținutul de lac al micanitei de colector este de la 3 la 6%. Micanita se prezintă sub formă de plăci sau de foi cu grosimea cuprinsă între 0,1 și 2 mm.

Datorită condițiilor speciale de fabricație (calibrare etc.), micanita de colector are un preț de cost ridicat.

*Micanita de formare* se fabrică prin lipirea foișelor de mică muscovit cu șerlac sau lac gliptalic, în colii cu grosimea cuprinsă între 0,2 și 3 mm.

Micanita de formare conține mai mult lac decât micanita de colector (între 10 și 30%) aceasta dându-i proprietatea de a se înmui la cald și de a lua o formă determinată.

Datorită acestei proprietăți, micanita de formare se folosește pentru executarea de piese izolante de configurații speciale (rame, casețe izolante, teci, jgheaburi etc.).

*Micanita de căptușire* este un produs similar cu micanita de formare, cu deosebire că nu mai poate fi modelată la cald. Din mica-

nită de căptușire se confectionează șaibe izolante, rame izolante, pereți izolați.

*Micanita rezistentă la căldură* se deosebește de celelalte tipuri de micanite prin aceea că, folosind un liant de natură anorganică sau un lac gliptalic cu punct de topire ridicat, poate fi folosită la temperaturi de serviciu ridicate. Se utilizează la confectionarea de suporturi izolante pentru rezistențe electrice de încălzire, pereți izolați la cuptoare de uscare etc.

*Micanita flexibilă* este unul din produsele de mică cu mare utilitate în confectionarea de elemente ale izolației înfășurărilor (teci izolante, izolație între straturi, izolație la capete de bobine).

La fabricarea micanitei flexibile se folosește un procent ridicat de lac de încleiere (30—40%), pentru a se putea realiza elasticitatea și flexibilitatea materialului.

Micanita flexibilă se fabrică de obicei cu un suport mecanic, acesta fiind fie hîrtia-foită, fie o țesătură de mătase naturală sau pînză de sticlă, fie în sfîrșit un foliu sintetic.

Grosimea micanitei flexibile variază între 0,15 și 0,3 mm, mai rar 0,5 mm.

*Micafoliul* este un material electroizolant care se obține prin lipirea unui strat sau a mai multor straturi de foile de mică pe o hîrtie electroizolantă foarte rezistentă sau pe o pînză de sticlă (sticlo-micafoliu) sau pe un foliu sintetic.

Micafoliul se prezintă sub formă de coale sau rulouri, cu lățimea de 400 mm și grosimea de 0,15, 0,20 sau 0,30 mm.

Micafoliul se întrebunează pentru confectionarea prin micanizare a izolației elementelor de înfășurare sau pentru executarea de piese izolante (izolația bobinelor polilor, izolația bornelor etc.). În unele cazuri, micafoliul poate fi prelucrat prin ruluirea sub formă de tuburi izolante.

*Micabanda* este un material electroizolant obținut prin lipirea unui strat de foile de mică pe o bandă suport confectionată fie din hîrtie electroizolantă, fie din țesături din fire de mătase naturală sau din fire de sticlă (sticlo-micabandă) sau o folie sintetică.

Dimensiunile uzuale ale micabenzilor sunt următoarele : grosimea este cuprinsă între 0,08 și 0,17 mm, iar lățimea benzilor între 12 și 35 mm. Micabenzile se livrează sub formă de role (30—50 m).

Micabanda se utilizează curent la confectionarea izolației înfășurărilor. Astfel, cu micabandă pe hîrtie, se izolează conductoarele sub formă de bară și bobinele polare ale mașinilor electrice de tensiune joasă și înaltă (mașini de curent continuu sau mașini de curent alter-

nativ), iar cu micabandă pe țesătură de sticlă se izolează conductoarele sub formă de bare ale înfășurărilor mașinilor de curenț continuu sau de curenț alternativ destinate regimurilor grele de funcționare (la temperaturi ridicate), precum și capetele de bobină ale înfășurărilor mașinilor de înaltă tensiune (mașini sincrone și asincrone).

*Hirtia de mică* de grosime 0,02—0,2 mm se fabrică din deșeuri de mică sau foițe de mică de dimensiuni mici, procedeul de fabricație fiind analog aceluia de fabricație a hîrtiilor celulozice. Hirtia de mică se folosește ca atare după o prealabilă preparare cu un liant electroizolant, în foi subțiri, precum și sub formă de micafoliu și micabandă. Rezistența la temperaturi este de peste 200 °C.

*Micalexul* este un material electroizolant compact pe bază de mică, care se obține prin presare la temperaturi ridicate (+600 °C) a unui amestec de pulbere de mică și sticlă ușor fuzibilă (sticlă de bor și plumb sau sticlă de bor și litiu). Prin presarea materialului se obțin bare, tuburi sau plăci, care pot fi prelucrate mecanic la forma și dimensiunile dorite.

Micalexul se întrebuințează pentru executarea de piese izolante, distanțoare sau rame și casete la înfășurările polilor mașinilor de curenț continuu sau sincrone și. a.

### *Materiale electroizolante combinate*

Acestea se fabrică în formă de foi având grosimea 0,1—0,5 mm.

Prin asocierea a două sau trei materiale (țesături lăcuite, folii) cu ajutorul unui clei electroizolant și după presarea sub formă de foi (coale) se obțin materiale electroizolante combinate.

Datorită asocierii prin înkleiere, materialul rezultă mult mai compact, motiv pentru care pentru utilizări similare, prin folosirea de materiale combinate, se aleg grosimi mai mici de izolație decât la utilizarea materialelor individuale. De exemplu, la motoarele asincrone trifazate de puteri pînă la 10 kW, izolația din preșpan și pînză uleiată (de grosime 0,5 mm) a fost înlocuită cu o izolație combinată (preșpan tereftalat de polietilenă — preșpan, denumită Nuvolit de grosime 0,25 mm).

### *Lemnul*

Lemnul are proprietăți electroizolante relativ slabe, totuși este utilizat la confectionarea penelor ; se folosește, în general, lemnul de fag fierb în ulei de in.

## 2.2.1. Materiale electroizolante întrebuințate pentru impregnarea și acoperirea înfășurărilor mașinilor electrice

### *Tipuri de materiale*

Pentru impregnarea și acoperirea înfășurărilor mașinilor electrice se utilizează materiale electroizolante în stare lichidă sau viscoasă, care au proprietatea de a pătrunde în interstițiile din crestătură și din izolația înfășurării, astfel încât prin uscare (întărire) se realizează în interior o izolație compactă în care să fie înglobată înfășurarea, fără goluri de aer, iar în exterior să formeze o peliculă continuă cu proprietăți electrice și fizico-mecanice bune.

În acest scop se folosesc următoarele grupe de materiale :

- lacuri electroizolante ;
- compunduri electroizolante ;
- rășini poliesterice nesaturate și epoxidice.

### *Lacurile electroizolante de impregnare și de acoperire*

Lacurile de impregnare și de acoperire se compun din materialul de bază al lacului ca rășină electroizolantă sau bitum și un diluant sau solvent. În plus, aceste lacuri mai conțin substanțe auxiliare, ca pigmenti pentru obținerea unei anumite culori, siccative etc.

După natura materialelor care servesc ca material de bază, lacurile de impregnare și de acoperire sunt de următoarele tipuri :

- lacuri pe bază de rășini naturale (șerlăc, copal) ;
- lacuri oleo-rășinoase ;
- lacuri oleo-bituminoase ;
- lacuri pe bază de rășini sintetice nemodificate ;
- lacuri pe bază de rășini sintetice modificate cu ulei.

După temperatură la care se usucă, se deosebesc următoarele tipuri de lacuri :

— lacuri cu uscare în cuptor, la temperaturi de peste +110 °C, valoarea temperaturii fiind dependentă de natura materialului de bază ;

— lacuri cu uscare în aer, la temperatură ambientă (20—40 °C).

În tabela 2.13 sunt indicate lacurile de impregnare și acoperire de clasa A și B ce se fabrică în prezent la FCME București.

Lacuri de impregnare pentru clasele E și B se realizează pe bază de rășini sintetice (poliesteri tereftalici) sau rășini poliesterice modificate cu ulei siccativat, iar lacurile pentru clasele F și H se realizează pe bază de rășini siliconice.

Tabelă 2.13

**Lacuri de impregnare și acoperire**

Denumirea lacului	Compoziția		Culoarea	Regimul de uscare		Clasa de izolație	Indicații de utilizare
	Materialelul de bază	Diluantul		Temperatura °C	Timpul ore		
<b>1. Lacuri uleiodase (pe bază de ulei)</b>							
Lac 802	Ulei de in	Amestec de benzina și benzen, xilen, toluen	Galben	150	3	A	Impregnarea țesăturilor de culoare deschisă (pinză lăcuită, benzini brute)
Lac Sterling	Ulei de in	White-spirit	Galben	105 20	8–10 30–40	A	Impregnarea țesăturilor de culoare deschisă (pinză lăcuită, benzini brute)
Lac C-21 (202)	Ulei de in	White-spirit, terpenină, petroliumă	Galben brun	105 210	2 1/5	A	Special
<b>2. Lacuri oleo-bituminioase</b>							
Lac C-41 (441)	Ulei de in siciativat și bitum special	White-spirit și solvent nafta	neagră	120–130	12–18	A	Impregnarea înfășurărilor mașinilor electrice
Lac C-42 (458)	Ulei vegetal și bitum special	Amestec de white-spirit și solvent nafta	neagră	110–130	8–15	A	Se foloseste la impregnarea înfășurărilor și a conductoarelor izolate cu fir textile
Lac C-43 (460)	Ulei vegetal și bitum special	Amestec de white-spirit și solvent nafta	neagră	120–130	18–24	A	Impregnarea înfășurărilor, eventual peste o peliculă de lac C-42 (458)

Tabelă 2.13 (continuare)

Denumirea lacului	Compoziția		Culoarea	Regimul de uscare		Clasa de izolație	Indicații de utilizare
	Materișul de bază	Difuantul		Temperatura °C	Timpul ore		
<b>3. Lacuri oleo-răšinoase (pe bază de răšini sintetice modificăte cu ulei)</b>							
Lac C-51 (1154)	Răšină alhidalică (răšină gliptalică modificată cu acizi grasi ai uleiului de in)	Amestec de white-spirit și benzen (1/1)	Galben-brun	120—130	14—16	A	Impregnarea înfășurărilor care lucrează în ulei mineral (transformatoare, regulatoare de inducție)
Lac AA-61 (SVD)	Răšină alhidalică (gliptal modificat cu ulei)	Amestec de white-spirit și benzen (1/1)	Gri	105 20±2	6 24	A	Acoperirea înfășurărilor cu uscare în aer
Lac CA 62 (SPD)	Răšină alhidalică (gliptal modificat cu ulei)	Amestec de white-spirit și benzen (1/1)	Gri	105	10	A	Acoperirea înfășurărilor cu uscare în cupitor
Lac AA-63 (KVD)	Răšină alhidalică (răšină gliptalică modificată cu acizi grasi ori ulei de in)	Amestec de white-spirit și benzen (1/1)	Roșu	105	10	A	Acoperire cu pigmentii de culoare roșie
<b>4. Lacuri pe bază de răšini sintetice</b>							
Lac C-51 M (ALM)	Amestec de răšină gliptalică cu răšină melaminică	Tip ALM-1A	Galben incis	120—130	8—15	B	Pentru impregnarea și acoperirea înfășurărilor cu conductoare emailate și la transformătoare

## *Compundurile electroizolante*

Compundurile sănt amestecuri de bitum, rășini și uleiuri sicative (ulei de in), care se întrebunțează pentru izolarea înfășurărilor și totodată umplerea tuturor golurilor și interstițiilor din înfășurare. Prin compundare, înfășurarea devine un corp compact, cu proprietăți mecanice ridicate și cu proprietăți termice (transmisia de căldură) mult îmbunătățite, întrucât compundurile nu folosesc solventi care prin evaporare să producă goluri în material.

După domeniul de utilizare, compundurile sănt : de impregnare, de acoperire, de turnare.

**Compundurile de impregnare.** Aceste compunduri se realizează fie din bitum special, fie dintr-un amestec de bitum cu ulei siccant ; cel din urmă servește la impregnarea bobinelor cu goluri și cu interstiții mici. În unele cazuri, impregnarea înfășurărilor cu compunduri se face în autoclave, în vid, pentru a mări pătrunderea lor în interstiții.

**Compundurile de acoperire.** Acestea se realizează cu amestecuri de bitum, ulei de in și un adăos de rășini sintetice, cu umpluturi anorganice (talc, cretă, azbest etc.). Aceste compunduri au în general proprietatea de a se usca (de a se întări) într-un timp foarte scurt. Prin uscare ele dă o peliculă continuă, care închide ermetic înfășurarea și o consolidează foarte bine mecanic.

**Compundurile de turnare (de umplere).** Aceste compunduri sănt amestecuri de bitum și praf anorganic (cuarț), care au temperatură de serviciu foarte ridicată. Datorită proprietății lor de a umple golurile din înfășurări, ele asigură o transmisie foarte bună a căldurii și de aceea se întrebunțează la izolarea înfășurărilor mașinilor electrice destinate să funcționeze la temperaturi ridicate.

În tabela 2.14 sănt prezentate caracteristicile compundurilor principale.

## *Rășinile poliesterice nesaturate și rășinile epoxidice*

În construcția înfășurărilor mașinilor electrice, rășinile poliestericice nesaturate și rășinile epoxidice (etoxilinice) substituie cu succes în ultima vreme materialele folosite pentru impregnare și acoperire (lacurile și compundurile electroizolante). Sub influența unui catalizator (denumit în practică întăritor), la temperatura mediului ambient sau la o temperatură superioară acesteia, aceste rășini se întăresc, procesul de întărire fiind însotit de cedare de căldură (exoterm).

Tabelă 2.14

## Compounduri pentru impregnarea, acoperirea și umplerea bobinelor mașinilor electrice

Denumirea	Elemente componente	Solventul	Caracteristicile	Indicații de utilizare
Compound de impregnare	Bitumuri speciale cu temperatură de înmumiere peste 105 °C Amestecuri de bitumuri naturale și petroliere, cu uleiuri sintetice și cu colofoniu	Bitumuri cu punct de înmumiere de 60—70 °C, lichide la 110 °C și punct de aprindere de 230 °C	Punctul de înmumiere de 105 °C Suprafața și spărtura lui ciosă Culcarea neagră	Impregnarea bobinelor mașinilor electrice (eventual în vid)
Compound de acoperire prin turfare	Amestecuri de lacuri oleobituminoase și de rășini fenolice modificate cu $\frac{1}{2}$ material de umplere : talc și ciment	—	Punctul de înmumiere de peste 120 °C ; se solidifică la 100 °C în 4 h ; nu se înmormăie la 100—120 °C Culcare închisă	Acoperirea bobinelor mașinilor electrice
Compound de acoperire	Amestecuri de lacuri ulei-glicipal-nitroceluloză și cu umplutură de cretă, fire de azbest și oxizi de zinc	—	Punctul de înmumiere de peste 120 °C ; se solidifică la 100 °C în 4 h Culcare deschisă	Idem
Compounduri cu quart pentru acoperire și umplere	20—30 % bitum topit, cu punctul de înmumiere de 100 °C, amestecat cu 80—75 % nisip de quart în vase cu amestecător	—	Punctul de înmumiere de 130—135 °C	Acoperirea izolației și umplării spațiilor în jurul bobinelor

După natura utilizării, se deosebesc :

- rășini de impregnare ;
- rășini de turnare.

De asemenea, în construcția înfășurărilor atât răsinile poliesterice nesaturate, cît și răsinile epoxidice se mai folosesc uneori ca masă electroizolantă de turnare (la borne, la cutia terminală).

— Răsinile de impregnare în stare fluidă servesc la impregnarea înfășurărilor ; în stare mai viscoasă se folosesc ca materiale de acoperire. Pentru realizarea izolației la mașinile electrice de înaltă tensiune (6 000 V) o mare dezvoltare o are folosirea răsinilor epoxidice (Araldit F) asociate cu materiale electroizolante pe bază de mică hîrtie de mică și țesături din fire de sticlă.

Răsinile de impregnare au marele avantaj în raport cu lacurile de impregnare de a realiza o masă compactă în regiunea înfășurării, de a elimina complet aerul dintre spire și de a realiza o rigidizare mecanică foarte bună.

— Răsinile de turnare servesc pentru înglobarea completă a înfășurărilor montate pe miez, astfel încit după aplicarea lor, înfășurările sănătate complet separate de acțiunea agenților externi. Rășina amestecată cu materialul de întărire, se toarnă în forme de tablă.

### **2.2.2. Alegerea schemei de izolație a mașinii în funcție de solicitările termice care se produc**

După poziția pe care o ocupă diferitele elemente ce compun schemele de izolație ale înfășurărilor, materialele electroizolante folosite la realizarea acestor elemente sănătate solicitate electric, termic și mecanic în timpul funcționării mașinii, în mod diferit.

Alegerea materialelor electroizolante pentru compunerea schemeelor de izolație impune cunoașterea acestor solicitări, deoarece elementul cel mai slab din schema de izolație determină modul în care va funcționa mașina. Astfel, trebuie cunoscute încălzirile produse în diferitele puncte ale mașinii pentru a se evita suprasolicitarea materialelor electroizolante. Solicitările termice maxim admisibile ale înfășurărilor se aleg curent cu 5—20 °C sub limita admisă pentru clasele respective de izolație. În tabela 2.15 sănătate indicate încălzirile admise uzuale în funcționarea mașinilor electrice conform recomandărilor CEI (Publicația 34-1, 1960), pentru diferitele tipuri de înfășurări în clasele de izolație A, E, B, F, H. Valorile din tabela 2.15 presupun o temperatură a mediului ambiant de maximum +40 °C.

**Limitele admisibile de încălzire în funcționarea mașinilor electrice (conform**

Partea componentă a mașinii	Izolații clasa A			Izolații clasa E		
	Metoda termometrului	Metoda rezistenței	Metoda indicatoarei or interne de tempera- tură situată între bobine într-o cres- tătură	Metoda termometrului	Metoda rezistenței	Metoda indicatoarei or interne de tempera- tură situată între bobine într-o cres- tătură
a) Înfășurările de curent alternativ ale turbo-alternatoarelor având puterea mai mare sau egală cu 5 000 kVA.	—	60°C	60°C	—	70°C	70°C
b) Înfășurările de curent alternativ ale mașinilor cu poli înecați și ale mașinilor asincrone de 5 000 kVA sau mai mari, sau având o lungime axială a fierului activ de cel puțin 1 m.	50°C	60°C	—	65°C	75°C	—
a) Înfășurările de curent alternativ ale mașinilor mai mici decât cele de mai sus.	—	—	—	—	—	—
b) Înfășurările de excitație de curent continuu ale mașinilor de curent alternativ și de curent continuu.	60°C	60°C	—	75°C	75°C	—
c) Înfășurările tip induș de curent continuu racordate la colector.	—	—	—	—	—	—
Înfășurările de excitație de curent continuu ale turbomașinilor.	—	—	—	—	—	—
a) Înfășurările de excitație în două sau mai multe straturi și având o rezistență electrică mică; înfășurări de compensare.	—	—	—	—	—	—

Tabelă 2.15

publicației CEI-34-1/1960) în funcție de clasa de izolație și metoda de măsură

Izolații clasa B			Izolații clasa F**)			Izolații clasa H**)		
Metoda termometrului	Metoda rezistenței	Metoda indicatoarelor interne de temperatură situate între bobine într-o creștere	Metoda termometrului	Metoda rezistenței	Metoda indicatoarelor interne de temperatură situate între bobine într-o creștere	Metoda termometrului	Metoda rezistenței	Metoda indicatoarelor interne de temperatură situate între bobine într-o creștere
—	80°C	-80°C	—	100°C	100°C	—	125°C	125°C
70°C*)	80°C	—	80°C*)	100°C	—	105°C	125°C	—
—	90°C	—	—	110°C	—	—	—	—
80°C	80°C	—	100°C	100°C	—	125°C	125°C	—

Partea componentă a mașinii	Izolații clasa A			Izolații clasa E		
	Metoda termometrului	Metoda rezistenței	Metoda indicatoarelor interne de temperatură situată între bobine într-o creștere	Metoda termometrului	Metoda rezistenței	Metoda indicatoarelor interne de temperatură situată între bobine într-o creștere
b) Înfășurările într-un strat cu suprafața expusă neizolată.	65°C	65°C	—	80°C	80°C	—
Înfășurările izolate legate în scurtcircuit	60°C	—	—	75°C	—	—
Înfășurările neizolate legate în scurtcircuit.	Încălzirile acestor părți nu trebuie să atingă inadmisibile ale materialelor izolante					
Miezuri de fier și alte părți, care nu sunt în contact cu înfășurările.						
Miezuri de fier și alte părți, în contact cu înfășurările.	60°C	—	—	75°C	—	—
Colectoare și inele de contact.	60°C	—	—	70°C	—	—
Lagăre	Lagăre de alunecare sau rulmenti, cu unsori uzuale	45°C	—	45°C	—	—
	Rulmenti, cu unsori speciale (punctul de picurare +160°C)	55°C	—	55°C	—	—
Toate celelalte părți	Încălzirile acestor părți nu trebuie în nici un risc de deteriorare pentru materialele					

\*) Pentru înfășurările de curent alternativ, izolate complet cu tensiuni să fie reduse cu 1,5 °C pentru fiecare kilovolt sau fracțiune de kilovolt cu care

Pentru limitele de încălzire ale înfășurărilor cu tensiuni nominale peste

\*\*) Dacă nu se convine în alt fel între întreprinderea producătoare și având lungimi ale fierului activ de peste 1 metru, izolate cu materiale din izolante din clasa B.

Tabelă 2.15 (continuare)

Izoiajii clasa B			Izoiajii clasa F**)			Izoiajii clasa H**)		
Metoda termometrului	Metoda rezistenței	Metoda indicatoarei de temperatură situate între bobine într-o creștere	Metoda termometrului	Metoda rezistenței	Metoda indicatoarei de temperatură situate între bobine într-o creștere	Metoda termometrului	Metoda rezistenței	Metoda indicatoarei de temperatură situate între bobine într-o creștere
90°C	90°C	—	110°C	110°C	—	135°C	135°C	—
80°C	—	—	100°C	—	—	125°C	—	—

valori care să conducă la încălziri sau neizolante învecinate.

80°C	—	—	100°C	—	—	125°C	—	—
80°C	—	—	90°C	—	—	100°C	—	—
45°C	—	—	45°C	—	—	45°C	—	—
55°C	—	—	55°C	—	—	55°C	—	—

un caz să atingă valori care să prezinte învecinătate izolante sau neizolante.

nominale peste 11 kV, limitele de încălzire măsurate cu termometrul trebuie tensiunea nominală este mai mare decât valoarea de 11 kV.

16,5 kV, sunt valabile convenții speciale.

beneficiar, încălzirea părților mașinilor cu o putere mai mare de 5 MVA sau clasele F și H, nu trebuie să depășească încălzirile admise pentru materialele

Clasa de izolație a mașinii este dată de clasa de izolație a izolației înfășurării propriu-zise. Pentru celelalte elemente ale mașinii a căror izolație intră în compunerea schemei, se aleg materiale electroizolante care să corespundă solicitărilor locale din clase de izolație diferite în general de aceea a izolației înfășurării propriu-zise.

### 3. Înfășurări concentrate

#### 3.1. TIPURI DE ÎNFĂȘURĂRI CONCENTRATE ȘI ELEMENTELE LOR COMPOUNTE

Înfășurările concentrate sunt realizate din spire (formate din conductoare izolate) grupate în bobine. Bobinele sunt așezate pe miezurile feromagnetice ale polilor, formind împreună cu acestea polii mașinii. Acesta este motivul pentru care bobinele înfășurărilor concentrate se mai numesc și bobine polare.

Înfășurările de acest tip se utilizează atât în construcția mașinilor electrice de curent continuu, cât și în construcția unor mașini de curent alternativ (mașinile sincrone cu poli aparenti, diferite generatoare cu utilizări speciale etc.), ele fiind folosite în ambele cazuri pentru producerea cîmpului magnetic inductor sau a cîmpului din zona de comutație de la mașinile cu colector.

Corespunzător acestor funcțiuni, înfășurările concentrate utilizate în construcția mașinilor de curent continuu se împart în înfășurări de excitație și înfășurări ale polilor auxiliari (de comutație).

În mașina de curent continuu, înfășurările de excitație și cele ale polilor auxiliari sunt așezate exclusiv pe stator. În construcția mașinilor sincrone cu poli aparenti (cu poli ieșită), înfășurările concentrate se utilizează ca înfășurări de excitație așezate fie pe rotor, ca în cazul mașinilor de construcție normală, fie pe stator, ca în cazul mașinilor sincrone în construcție inversă (cu polii pe stator). În fig. 3.1 este reprezentată o bobină concentrată montată pe miezul feromagnetic. În figură s-au notat dimensiunile principale ale bobinei.

În cazul în care înfășurările concentrate sunt parcuse de curenți mici, ele se execută cu conductor de secțiune circulară (conductor rotund); cind sunt parcuse de curenți mari ele se execută cu conductor de secțiune dreptunghiulară. Astfel, mașinile de curent continuu de putere mică și mijlocie cu excitație independentă, derivație sau compund, ca și mașinile sincrone de putere mică, au înfășurările

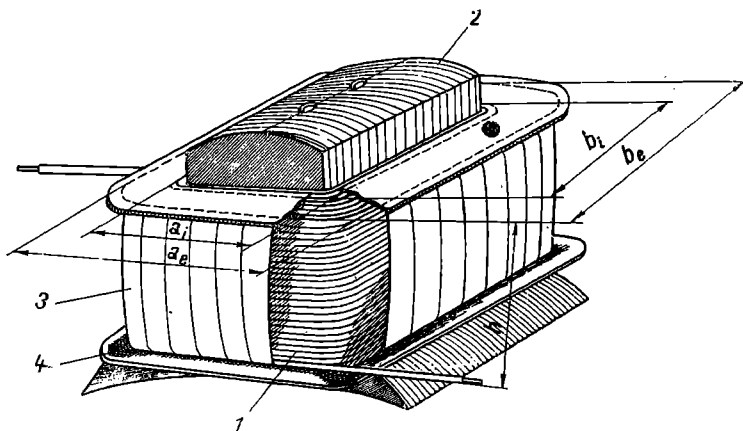


Fig. 3.1. Pol inductor:  
1 — bobina; 2 — miezul feromagnetic; 3 — izolația exterioară; 4 — carcasa bobinei.

concentrate confectionate din conductoare de secțiune circulară; înfășurarea de excitație serie a mașinilor de curent continuu, înfășurarea serie a mașinilor de curent continuu compundate, înfășurările polilor auxiliari și înfășurările de excitație ale mașinilor sincrone de putere mijlocie și mare se execută cu conductor de secțiune dreptunghiulară.

### 3.2. FUNCȚIUNILE ÎNFĂȘURĂRILOR CONCENTRATE

#### 3.2.1. Funcțiunile înfășurărilor de excitație

Înfășurările de excitație, parcuse de curenți electrici produc cîmpuri magnetice.

În fig. 3.2 este reprezentată schematic o mașină bipolară de curent continuu. Înfășurarea de excitație este parcursă de curent în așa fel încît cîmpul magnetic sub un pol este îndreptat dinspre pol

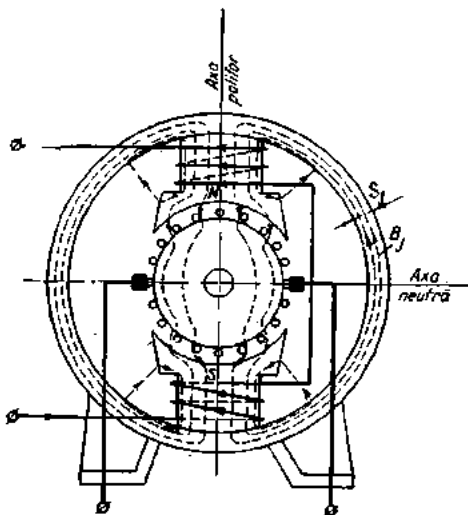


Fig. 3.2. Circuitul magnetic și liniile cimpului magnetic inducție în mașina de curent continuu.

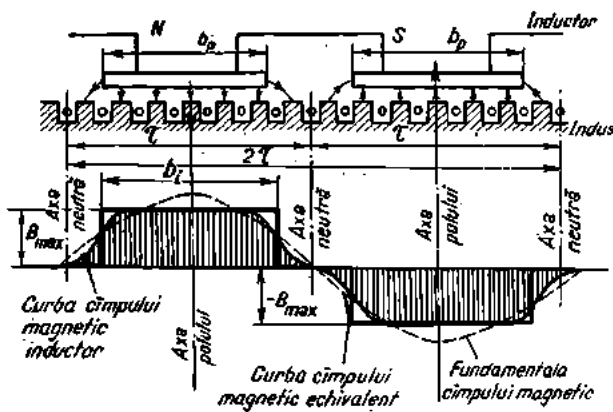


Fig. 3.3. Cimpul magnetic inducție al mașinii de curent continuu (rezolvare desfășurată după întrefier).

spre indus, iar sub celălalt pol dinspre indus spre pol (se formează astfel doi poli : un pol nord (polul de sus) și un pol sud (polul de jos). În figură s-au reprezentat cu linie întreruptă, liniile cîmpului magnetic util (cîmpul magnetic util este cîmpul care îmbrățișează înfășurarea indusului). Liniile de cîmp se închid prin întrefier, dinții din rotor, jugul indusului, miezul polilor principali și jugul inductor. Din fig. 3.3, în care s-au reprezentat polii principali desfășurați și liniile cîmpului magnetic în întrefier, rezultă că porțiunea în care cîmpul magnetic este aproape constant nu se extinde pe întreg pasul polar  $\tau$ , ci pe o distanță mai mică notată cu  $b_l$ , denumită lățimea ideală a piesei polare. Această lățime este mai mică la mașinile cu poli auxiliari și are valoarea  $b_l = (0,65 \dots 0,75) \tau$ , comparativ cu mașinile fără poli auxiliari, la care lățimea ideală se apropie ceva mai mult de pasul polar  $b_l = (0,7 \dots 0,85) \tau$ . De aici se desprinde o concluzie importantă : deschiderea bobinei înfășurării indusului poate fi mai mică decât pasul polar, dar fluxul maxim printr-o spiră este aproape egal cu fluxul unui pol.

Producerea cîmpului magnetic inductor într-o mașină sincronă are loc în același mod ca la mașina de curent continuu.

La funcționarea în gol a mașinii, înfășurarea de excitație, care are  $w_e$  spire ( $w_e = 2 p w_b$ , unde  $w_b$  este numărul de spire pe bobină, respectiv pe pol, iar  $p$  numărul de pernechi de poli) și este parcursă de curentul  $i_e$ , produce cîmpul magnetic principal prin mașină. Acest cîmp depinde de produsul  $w_e i_e$ , de mărimea întrefierului și de lungimile celorlalte porțiuni ale circuitului magnetic (lungimile jugurilor și înălțimile dinților). Cîmpul magnetic variază de la o porțiune a circuitului magnetic la alta, de la dintre la jug, de la întrefier la miezul polului ; ceea ce rămîne însă aproximativ constant este fluxul magnetic, adică produsul dintre inducția magnetică  $B$  și suprafața  $S$  pe care cîmpul magnetic este perpendicular. De exemplu în jugul inductor din fig. 3.2 fluxul magnetic este produsul dintre inducția  $B_j$  și aria secțiunii jugului  $S_j$ .

În fig. 3.4 este reprezentată curba inducției magnetice din întrefier  $B_\delta$  în funcție de curentul de excitație  $i_e$ , la funcționarea în gol a mașinii.

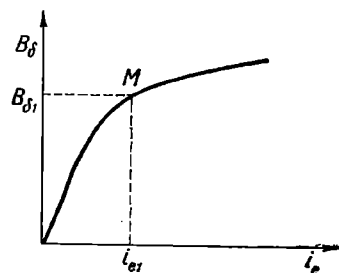


Fig. 3.4. Curba inducției magnetice  $B_\delta$  în întrefierul mașinii de curent continuu, în funcție de curentul de excitație  $i_e$ , la funcționarea în gol a mașinii.

La funcționarea în sarcină a mașinii intervine și cîmpul magnetic produs de infășurarea indușului. Acest cîmp magnetic, numit cîmp de reacție, este magnetizant sau demagnetizant în funcție de poziția periilor față de polii inductori, la mașina de curent continuu sau de natura sarcinii (inductivă sau capacativă) la mașina sincronă. Compensarea efectului acestui cîmp de reacție se poate realiza tot prin infășurarea de excitație, micșorînd sau mărînd corespunzător curentul  $i_e$ .

În figurile 3.2 și 3.3 s-au mai reprezentat axa polilor și axa neutră a cîmpului magnetic; la funcționarea în gol axa neutră a cîmpului magnetic coincide cu axa neutră a polilor principali ai mașinii.

### 3.2.2. Funcțiile infășurărilor polilor auxiliari și ale infășurărilor de compensare

Mașinile cu colector de puteri mijlocii și mari sunt prevăzute în stator cu poli auxiliari, situați între polii principali și echipați cu infășurări de tip concentrat. Polii auxiliari produc un cîmp magnetic orientat perpendicular pe laturile bobinelor pe care le scurtcircuitează la un moment dat periile; acest cîmp induce tensiuni electro-motoare în bobinele care comută (adică în acele secții în care are loc schimbarea curentului de la  $+I_a$  la  $-I_a$ , cînd lamelele colectorului la care sunt conectate capetele acestor bobine trec pe sub peri); tensiunile induse de polii de comutație compensează tensiunea de comutație, îmbunătățind comutația.

Mașinile de puteri mari mai prezintă pe stator și o infășurare de compensare (fig. 3.5) repartizată în crestăturile prevăzute special în acest scop pe piesele polare ale polilor principali. Această infășurare are rol de a compensa cîmpul magnetic de reacție transversal, al indușului; în acest fel se reduce posibilitatea apariției scînteilor la colector.

## 3.3. INFĂȘURĂRILE STATORULUI MAȘINILOR DE CURENT CONTINUU

În statorul mașinilor de curent continuu sunt așezate, pe miezuri polare atît infășurările de excitație, cît și infășurările polilor auxiliari și de compensare (dacă acestea din urmă există).

În fig. 3.5 este reprezentat schematic statorul unei mașini de curent continuu avînd infășurarea de excitație 1 așezată pe polii princi-

pali 2, înfăşurarea polilor auxiliari 3 aşezată pe polii auxiliari 4 și înfăşurarea de compensare 5 aşezată în crestăturile pieselor polare ale polilor principali 2.

Schema de conexiuni a înfăşurărilor de excitație determină caracteristicile de funcționare ale mașinilor de curenț continuu.

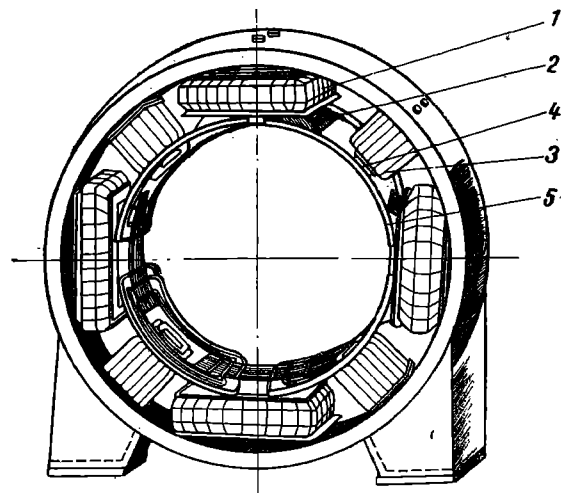


Fig. 3.5. Statorul unei mașini de c.c. :  
 1 — înfăşurarea de excitație; 2 — miezul polului principal;  
 3 — înfăşurarea polului auxiliar; 4 — miezul polului auxiliar;  
 5 — înfăşurarea de compensare.

Tipurile de înfăşurări se pot identifica într-o mașină de curenț continuu direct în funcție de numărul de spire pe bobină și de grosimea conductorului în raport cu conductorul înfăşurării indusului. De exemplu, înfăşurarea de excitație derivată are spire multe, iar secțiunea conductorului ei este de obicei mai mică decât secțiunea conductorului înfăşurării indusului, deoarece înfăşurarea de excitație este parcursă de curențul  $i_e$  care chiar la mașinile de puteri mici este mai mic decât  $\frac{1}{10} I_n$ , unde  $I_n$  este curențul nominal al mașinii ; conductorul înfăşurării indusului are secțiunea mai mare, deoarece, este parcurs de curențul  $I_a = \frac{I_n}{2a}$  (2a fiind numărul de căi de curenț în pa-

ralel ale înfășurării indusului). La micromasini cu excitație derivativă curentul de excitație este comparabil ca valoare cu curentul din inducție.

La mașinile de puteri mijlocii și mari, înfășurările de excitație serie ale polilor auxiliari și cea de compensare fiind legate în serie cu înfășurarea inducției și parcuse de curentul principal, se execută

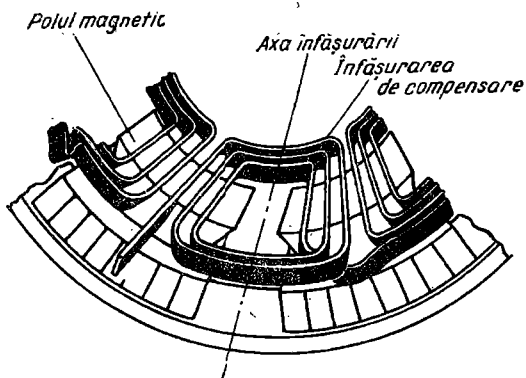


Fig. 3.6. Portiune din înfășurările de compensare situate în piesele polare ale polilor principali, la o mașină de curent continuu.

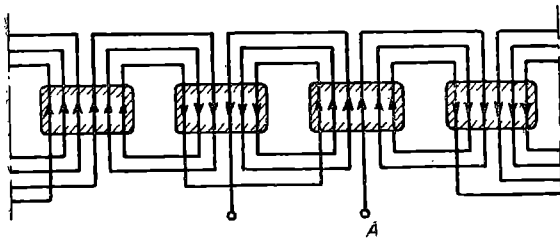


Fig. 3.7. Schema desfășurată a înfășurărilor de compensare ale unei mașini de curent continuu.

a compensa cîmpul magnetic de reacție transversal al înfășurării inducției, îmbunătățind astfel funcționarea mașinii.

În fig. 3.7 este reprezentată schema de legături a spirelor înfășurării de compensare pentru o mașină tetrapolară, reprezentată parțial în fig. 3.6. Legăturile între diferitele laturi de bobină trebuie astfel executate, încît toate conductoarele situate într-o piesă polară să fie parcuse de curent în același sens.

din conductoare de secțiune dreptunghiulară (cînd secțiunea are aria mai mare decît  $4 \sim 6 \text{ mm}^2$ ) și cu un număr relativ mic de spire.

*Înfășurarea de compensare* se întilnește la mașinile de curent continuu de putere relativ mare, la mașinile de curent alternativ monofazate cu colector și la mașinile amplificatoare speciale : amplidina, rototrolul etc. Această înfășurare este construită din spire sau bobine așezate într-un singur strat, avînd una din laturi așezată într-una din creștăturile unei piese polare, iar cealaltă latură într-o creștătură a unei piese polare vecine (fig. 3.6).

Înfășurarea de compensare se conectează în serie cu înfășurarea inducției și are rolul de

Din fig. 3.6 și 3.7 rezultă de asemenea că axa înfășurării de compensare corespunde cu axa neutră a mașinii.

Din punct de vedere constructiv, înfășurarea de compensare se prezintă în general ca o înfășurare repartizată, așezată în crestăturile inchise sau semiînchise prevăzute în acest scop în piesele polare ale polilor statorului; înfășurarea de compensare, fiind parcursă de curentul principal al mașinii de curent continuu, se realizează din conductoare izolate de secțiune dreptunghiulară.

### 3.4. INFĂȘURARILE CONCENTRATE ALE MAȘINILOR SINCRONE

Mașinile sincrone cu poli aparenți au înfășurarea de excitație de tipul înfășurărilor concentrate. În funcție de secțiunea conductorului, bobinele sunt executate din sîrmă, din bară sau din bandă, construcția lor fiind asemănătoare cu cea întilnită la bobinele de excitație ale mașinilor de curent continuu.

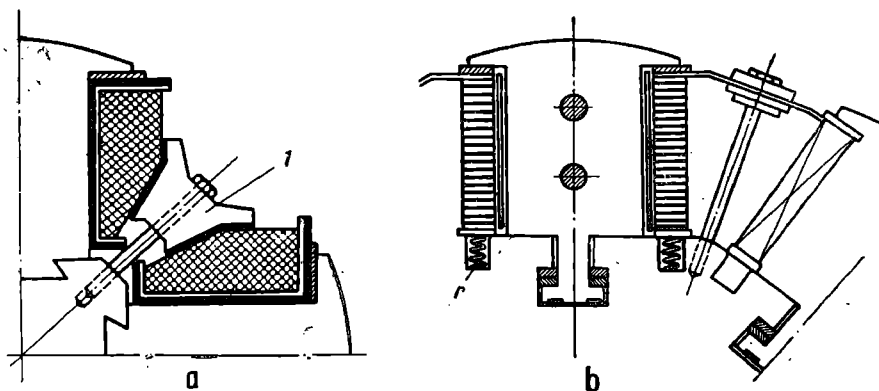


Fig. 3.8. Bobine polare folosite în construcția mașinilor sincrone :  
a — executată cu conductor rotund; b — executată cu conductor de secțiune dreptunghiulară.

În fig. 3.8, a este reprezentată o secțiune transversală, parțială printr-un rotor al unei mașini sincrone de construcție normală. Bobina este executată din conductor de secțiune circulară. Forma bobinei este impusă de spațiul liber dintre poli. Bobina este construită cu sau fără casetă.

De remarcat că atât bobinele înfășurării de excitație ale mașinii sincrone cu poli așezați pe rotor, cît și legăturile dintre bobine se consolidă corepunzător pentru a rezista la forțele care se exercită asupra lor în timpul învîrtirii rotorului. Bobina este consolidată față de poli prin intermediul unei piese distanțoare 1, din bronz turnat sau din aliaj de aluminiu, care au rolul de a menține bobina pe pol și de a împiedica deșirarea ei.

În fig. 3.8, b este reprezentată o secțiune printr-o bobină polară executată din bandă de cupru. Se observă că în acest caz bobina este presată axial de către un resort  $r$ , prin intermediul unei piese izolante, asigurîndu-se astfel consolidarea bobinei.

Înfășurările de excitație ale mașinilor sincrone cu poli așezați pe stator au forme constructive similare cu cele întâlnite la mașina de curent continuu.

### 3.5. DETERMINAREA DIMENSIUNILOR ÎNFAȘURĂRILOR CONCENTRATE

La repararea înfășurărilor de tip concentrat sau la rebobinarea mașinilor electrice pentru alte caracteristici decît cele pentru care au fost construite inițial, se pune problema calculului înfășurărilor de excitație.

Prin calcul trebuie să se determine :

- numărul de spire ale bobinei,  $w_e$ ;
- secțiunea conductorului,  $S_c$  ;
- dimensiunile constructive ale bobinei ;
- curentul de excitație  $i_e$ .

**Determinarea numărului de spire și calculul secțiunii conducto-rului.** Înfășurarea de excitație parcursă de curentul  $i_e$  trebuie să producă cîmpul magnetic inductor necesar ; solenăția de excitație (am-perspirele de excitație)  $w_e i_e$  pe polul inductor este determinată de cîmpul magnetic inductor, în conformitate cu relația aproximativă

$$w_e i_e \approx 1600 \delta B_s, \quad (3.1)$$

în care  $\delta$  este întrefierul sub polul principal, măsurat în milimetri, iar  $B_s$  este inducția magnetică în întrefierul mașinii, care se alege între valorile 0,4 și 0,7 Wb/m<sup>2</sup>, în funcție de puterea mașinii.

Pentru calculul numărului de spire  $w_e$  pe pol și al curentului  $i_e$  trebuie să se mai cunoască tensiunea la bornele înfășurării de excitație,  $U_b$ , așa cum este cazul la înfășurările de excitație ale mașinilor

sincrone și ale celor de curent continuu cu excitație independentă sau derivație; înfășurarea trebuie executată astfel încât să aibă o rezistență potrivită pentru ca, la un număr de spire dat, să permită treacerea unui curent care rezultă din relația (3.1).

Aria secțiunii conductorului se calculează cu relația

$$S_c = \rho \frac{2pl_m(w_e i_e)}{U_b} \quad (3.2a)$$

în care  $l_m$  este lungimea spirei medii a bobinei polare.

De regulă, secțiunea conductorului se ia ceva mai mare pentru a se obține o rezistență  $R$  mai mică și totodată, o tensiune la bornele înfășurării de excitație mai mică, deoarece o parte din tensiunea  $U_b$  (aproximativ 0,2  $U_b$ ) este preluată de reostatul de reglaj al excitației. Astfel, pentru secțiunea conductorului rezultă relația

$$\boxed{S_c = \rho \frac{2pl_m(w_e i_e)}{0,8 U_b}} \quad (3.2b)$$

Cunoscând pe  $S_c$  se alege densitatea curentului prin înfășurarea de excitație  $J = 1,5 \dots 2,5 \text{ A/mm}^2$  și se obține curentul de excitație

$$\boxed{i_e = S_c J} \quad (3.3a)$$

iar cu acesta, din produsul  $w_e i_e$ , se obține numărul de spire pe bobină polară

$$\boxed{w_e = \frac{(w_e i_e)}{l_e} \approx \frac{1600 \delta B_0}{i_e}} \quad (3.4)$$

Există și înfășurări la care nu se cunoaște tensiunea  $U_b$  la borne, ci curentul  $i_e$ . Din această categorie fac parte înfășurările de excitație serie, înfășurările polilor auxiliari și înfășurările de compensare, la care curentul de excitație  $i_e$  este egal cu curentul  $I$  din induc. Numărul de spire pe bobină la aceste înfășurări se determină imediat din produsul  $w_e i_e$ , cu ajutorul relației (3.4).

Secțiunea conductorului se determină astfel :

— se alege densitatea de curent  $J = (2,5 \dots 4) \text{ A/mm}^2$  (valorile mai mici corespund înfășurărilor cu spire multe și cu izolație exterioară, iar valorile mari corespund înfășurărilor cu spire puține și realizate cu conductor neizolat);

— apoi din relația

$$S_e = \frac{i_e}{J}. \quad (3.3b)$$

se calculează secțiunea  $S_e$  a conductorului, împărțind curentul  $i_e$  densitatea de curent  $J$  aleasă.

### Determinarea dimensiunilor bobinei ; calculul rezistenței înfășurărilor.

Numărul de spire și secțiunea conductorului fiind astfel determinate, iar dimensiunile bobinei rezultând din dimensiunile miezului polar, după ce se aleg și dimensiunile conductorului, se poate determina numărul de spire pe strat. Până la o secțiune a conductorului egală cu  $4-6 \text{ mm}^2$  se alege un conductor de secțiune rotundă, iar peste  $4-6 \text{ mm}^2$  se alege conductor de secțiune dreptunghiulară.

Să notăm dimensiunile exterioare (de gabarit) ale unei bobine polare astfel (v. fig. 3.1) :  $a_e$  — lățimea exterioară ;  $b_e$  — lungimea exterioară ;  $h$  — înălțimea și corespunzător pe cele interioare ;  $a_i$  — lățimea interioară ;  $b_i$  — lungimea interioară.

În cazul folosirii conductorului de secțiune rotundă, care are diametrul izolat  $d_{iz}$ , pe un strat al bobinei rezultă un număr de spire egal cu

$$w_{str} = \frac{h}{a_{iz}} - 1, \quad (3.5)$$

iar numărul de straturi este

$$n_{str} = \frac{w_e}{w_{str}}. \quad (3.6)$$

Cunoscind numărul de straturi se pot determina dimensiunile exterioare  $a_e$  și  $b_e$  ale bobinei, cele interioare  $a_i$ ,  $b_i$  și  $h$  fiind cunoscute, deoarece sunt date de dimensiunile polului la care se adaugă grosimea carcasei izolante a bobinei și mărimea jocului dintre pol și casetă. Se obține astfel :

$$b_e = b_i + 2n_{str}(d_{iz} + \Delta_{iz}); \quad (3.7a)$$

$$a_e = a_i + 2n_{str}(d_{iz} + \Delta_{iz}), \quad (3.7b)$$

unde  $\Delta_{iz}$  reprezintă grosimea izolației suplimentare dintre straturi.

În mod asemănător se determină și caracteristicile bobinei cind conductorul este de secțiune dreptunghiulară.

Pentru calculul lungimii conductorului în vederea determinării rezistenței electrice a înfășurărilor, precum și pentru calculul greutății de cupru a bobinei polare, se utilizează dimensiunile medii  $a$  și  $b$  ale bobinei, exprimate în funcție de  $a_e$ ,  $a_l$  și  $b_e$ ,  $b_l$ , adică

$$a = \frac{a_e + a_l}{2}, \quad (3.8)$$

$$b = \frac{b_e + b_l}{2}. \quad (3.9)$$

Cu ajutorul acestor dimensiuni medii se determină lungimea spirei medii

$$l_m = 2a + 2b, \quad (3.10)$$

iar lungimea totală a conductorului utilizat pentru confectionarea bobinei polare este

$$l_p = l_m w_e. \quad (3.11)$$

Rezistența electrică a înfășurării unui pol este

$$R_p = \rho \frac{l_p}{S_c} = \rho w_e \frac{l_m}{S_c} [\Omega], \quad (3.12)$$

unde :  $\rho$  este rezistivitatea materialului din care este executat conductorul, în  $[\Omega \cdot \text{mm}^2/\text{m}]$  ;

$l_m$  — lungimea spirei, medii, în m ;  
 $S_c$  — secțiunea conductorului, în  $\text{mm}^2$  ;

dacă conductorul este rotund, cu diametrul  $d$ , secțiunea sa este

$$S_c = \frac{3,14 d^2}{4} = 0,785 d^2,$$

dacă conductorul este dreptunghiular, având dimensiunile  $a_e$  și  $b_e$ , secțiunea sa este

$$S_c = a_e b_e.$$

Rezistența electrică a întregii înfășurări de excitație a celor  $2p$  poli va fi

$$R_e = 2pw_e \rho \frac{l_m}{S_c} [\Omega]. \quad (3.13)$$

## 4. Înfășurările tip indus de curent continuu

### 4.1. TIPURI DE ÎNFĂȘURĂRI

#### 4.1.1. Descriere. Domeniu de utilizare

Înfășurările tip indus de curent continuu sunt denumite în acest fel deoarece sunt așezate pe rotorul (indusul) tuturor mașinilor de curent continuu cu colector. Ele sunt de asemenea utilizate și în construcția mașinilor de curent alternativ cu colector, cum sunt : motoarele asincrone serie cu colector, motoarele asincrone cu repulsie, motoarele asincrone derivație și altele.

Înfășurările tip indus de curent continuu sunt înfășurări repartizate, deoarece sunt așezate în crestăturile repartizate uniform la periferia miezului feromagnetic.

În construcția mașinilor electrice de curent continuu a apărut la început un tip de înfășurare de curent continuu, denumit *înfășurare în inel*, reprezentată schematic în fig. 4.1.

Legătura electrică dintre conductoarele 1, 2, 3, 4, ..., 16, așezate pe periferia exterioară a pachetului de tole în formă de inel, este realizată de conductoarele 1', 2', 3', 4', ..., 16', așezate pe suprafața interioară a inelului.

Conductoarele 1, 2, 3, 4, ..., 16 se numesc *conductoare active*, deoarece, fiind situate în cimpul inductor, în timpul învărtirii rotorului în ele se vor induce tensiuni electromotoare, spre deosebire de conductoarele 1', 2', 3', 4', ..., 16', care au numai rolul de conductoare de legătură. În fig. 4.1, între două lamele consecutive ale colectorului, de exemplu între lamelele 1 și 2, se află astfel numai un singur conductor activ, conductorul 2.

În prezent la mașinile de curent continuu se folosesc un alt tip de înfășurare, denumit *înfășurare în tambur sau în tobă*. În fig. 4.2, sunt reprezentate schematic două rotoare de mașini de curent continuu având înfășurarea indusului în inel (fig. 4.2, a) și în tobă sau în tambur (fig. 4.2, b). Spira reprezentată la rotorul în inel se compune dintr-un singur conductor de ducere activ (notat cu a în fig. 4.2,a) și un conductor de întoarcere inactiv (notat cu i în fig. 4.2,a). La rotorul în tobă ambele conductoare care formează spira sunt active (fig. 4.2,b) și anume conductoarele active de ducere sunt legate în serie cu conductoarele ac-

tive de întoarcere ; aceste conductoare se aşază întotdeauna sub poli de nume contrar. În acest fel, între două lamele ale colectorului, la înfăşările în tobă se află întotdeauna minimum două conductoare active.

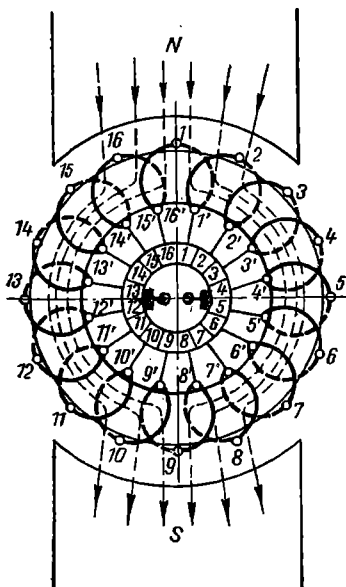


Fig. 4.1. Înfăşurarea tip induş de curent continuu în inel.

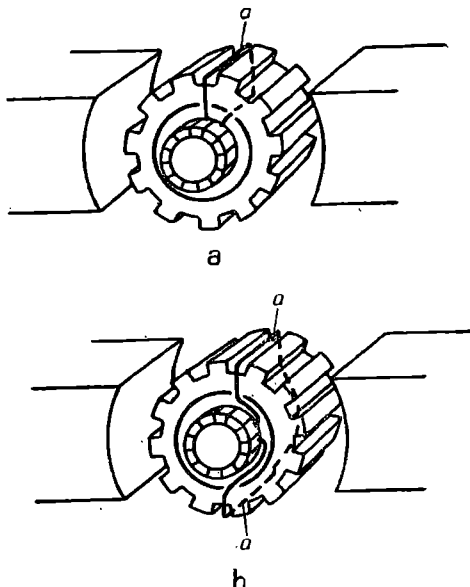


Fig. 4.2. Așezarea unei secții :  
a — la o înfăşurare în inel ; b — la o înfăşurare  
în tambur.

În fig. 4.3 este reprezentat un rotor de maşină de curent continuu cu înfăşurarea în tambur. Aşa cum se vede în această figură, bobinele înfăşurării (notate cu 1) sunt așezate în crestături uniform repartizate pe suprafaţa exterioară a pachetului de tole 2 al rotoriului. Înfăşurarea este legată prin intermediul conductoarelor 3 la lamelele colectorului 4.

Înfăşurările în tobă au luat locul celor în inel, datorită dezavantajelor pe care le prezintă înfăşurările în inel ; dintre aceste dezvantaje, cele mai importante sint :

- la rotoarele cu înfăşurări în inel, miezul magnetic al induşului se fixează greu pe arbore ;
- înfăşurarea trebuie executată spiră lingă spiră, direct pe induş, procesul tehnologic de execuţie devenind foarte greoi ;

— conductoarele din interiorul inelului (conductoare de legătură) se răcesc mai greu;

— tensiunea electromotoare culeasă la perii este produsă numai de jumătate din conductoarele înfășurării (conductoare active), ceea ce

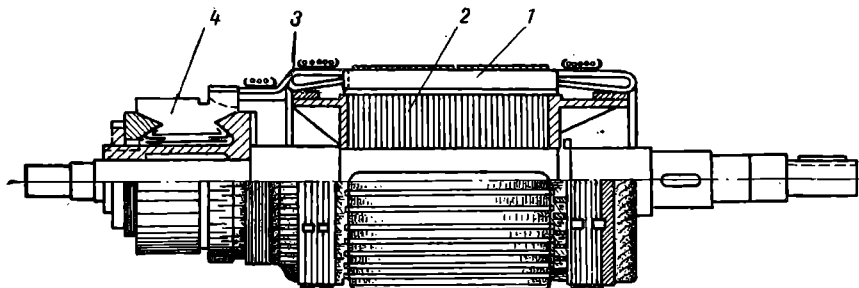


Fig. 4.3. Rotorul unei mașini de curent continuu cu înfășurare tip inducție de curent continuu în tambur.

ce înseamnă că la aceeași valoare a tensiunii electromotoare, cantitatea de cupru la înfășurarea în inel este mai mare decât la înfășurarea în tobă.

Un avantaj însemnat al înfășurării în inel constă în aceea că poate fi folosit pentru orice număr de poli.

De asemenea, în cazul mașinilor bipolare scurte și având diametrul inducției mari (de exemplu la compensatoarele de fază ale motoarelor asincrone), înfășurarea în inel necesită o cantitate mai redusă de material conductor.

În cele ce urmează ne vom ocupa numai de înfășurările în tambur.

## 4.2. CONSTRUCȚIA ÎNFĂȘURĂRILOR TIP INDUS DE CURENT CONTINUU. TIPURI DE ÎNFĂȘURĂRI

### 4.2.1. Elementele componente

#### a. *Conductorul și spira*

Înfășurările tip inducție de curent continuu sunt alcătuite din conductoare așezate în crestăturile situate la periferia exteroară a pachetului de tole al rotorului.

Partea activă a conductorului o reprezintă numai porțiunea situată în crestătura indusului.

*Spira* este alcătuită din două conductoare, unul fiind de ducere și celălalt de întoarcere (corespunzător sensului săgeților din fig. 4.4), legate între ele la capete. Deschiderea Y a spirei este aproximativ egală cu pasul polar  $\tau$ .

#### b. Bobina

În cazul mașinilor de curent continuu de putere mică și tensiuni ridicate, între două lamele ale colectorului sunt cuprinse mai multe spire grupate din punct de vedere constructiv în aceleasi crestături sau în crestături apropiate și legate în serie, așa cum s-au reprezentat în fig. 4.5.

Totalitatea spirelor inseriate cuprinse între două lamele succesive ale colectorului constituie o bobină.

În fig. 4.5, a este reprezentată o bobină cu mai multe spire având latura de ducere (latura din stînga) așezată într-o crestătură, iar latura de întoarcere (latura din dreapta) în altă crestătură; în fig. 4.5,b, latura de întoarcere a bobinei este dispusă în două crestături alăturate.

Bobinele reprezentate în fig. 4.5, a și b au cîte două laturi noteate cu I și II. Latura I conține conductoare de ducere și se numește *latură de ducere*, iar latura II conține conductoare de întoarcere și se numește *latură de întoarcere*.

În fig. 4.6, a este reprezentată o bobină, iar în fig. 4.6, b sunt reprezentate două bobine conectate în serie între două lamele consecutive.

Oricare ar fi tipul de infășurare de curent continuu, o bobină are un număr par (cu soț) de laturi.

În fig. 4.7 sunt notate cu 1 — lungimea de conductor activ, cu 2 a, respectiv 2 b — lungimile capetelor de bobine.

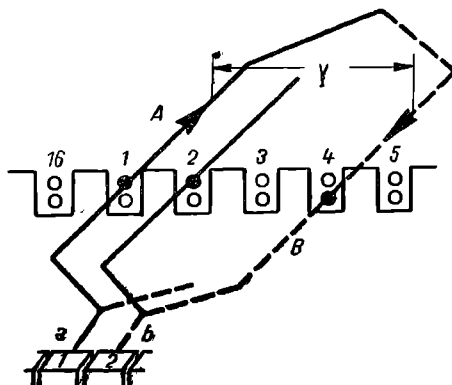


Fig. 4.4. Spira :  
A — conductorul de ducere; B — conductorul de întoarcere.

Fig. 4.5. Bobina :

a — porțiunea de înăsurare dintr-o singură bobină; b — porțiunea de înăsurare dintră două lamele, formată dintr-o bobină; I — latura de ducerie; II — latura de înșurcare.

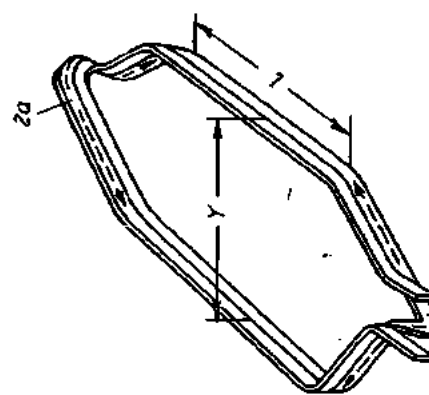
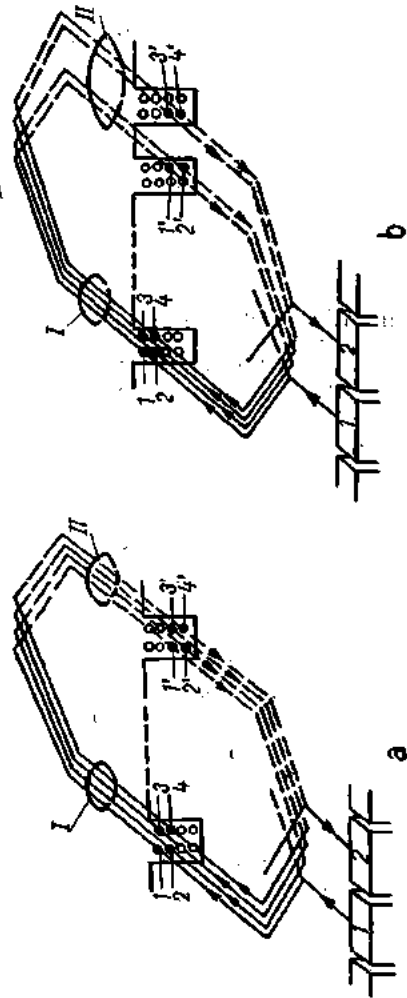


Fig. 4.7. Elementele componente ale bobinei,

a — cu două laturi; b — cu patru laturi.

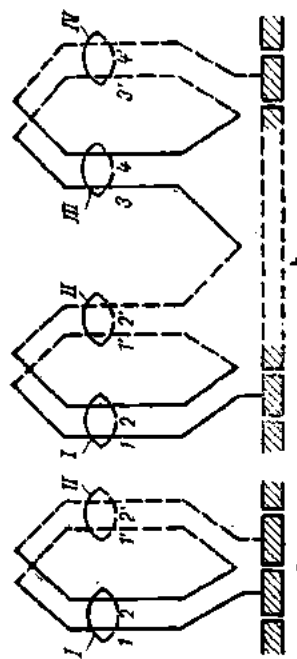


Fig. 4.6. Bobine :

#### 4.2.2. Reprezentarea schematică a înfăşurărilor. Calea de curent

În practica curentă, înfăşurările se reprezintă schematic ; se folosesc două tipuri de scheme : schema în evolventă și schema desfășurată în plan.

În fig. 4.8 este reprezentată schema în evolventă a unei înfăşurări în tambur tip inducție de curent continuu, a unei mașini cu patru poli. În această figură, în afară de conductoarele înfăşurării mai sunt re-

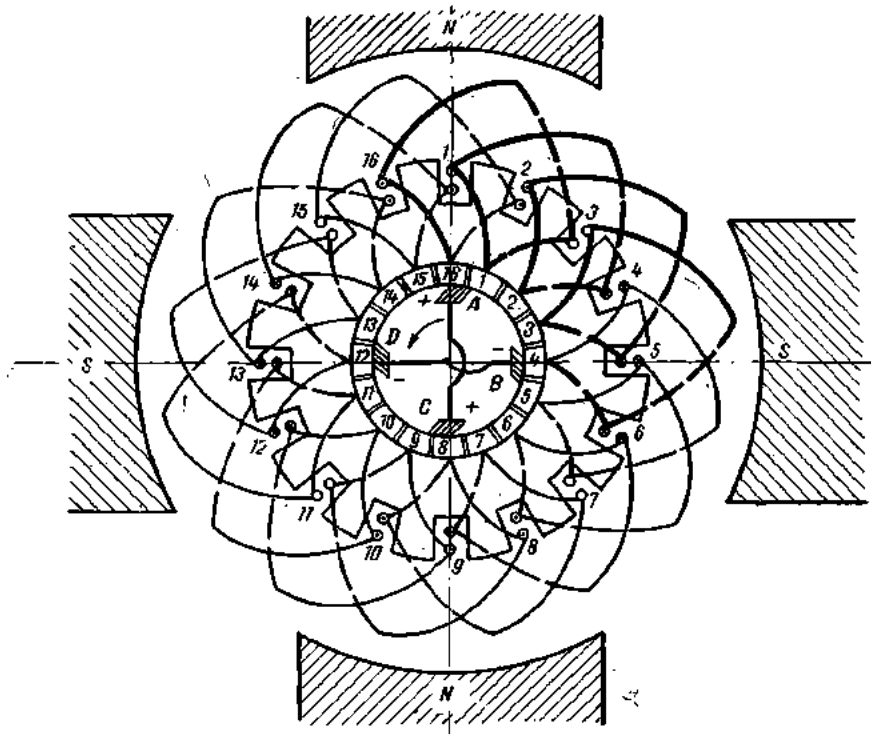


Fig. 4.8. Schema de evolventă a unei înfăşurări tip inducție de curent continuu, având  $Z=16$  creștături ;  $K=16$  lamele și  $2p=4$  poli.

prezentate tola rotorului și lamelele colectorului. Conductoarele de legătură sunt reprezentate prin segmente de cerc, astfel : legăturile la colector sunt duse în interiorul perimetrului tolei, iar legăturile

din partea opusă colectorului sînt trasate în exteriorul tolei. Această reprezentare corespunde vederii dinspre colector a înfăşurării.

Capetele fiecărei bobine sînt legate în fig. 4.8 la două lamele successive ale colectorului, aşa că la fiecare lamelă a colectorului sînt răcordate capetele a două bobine și anume : ieșirea din bobina parcursă și intrarea în bobina ce urmează a fi parcursă.

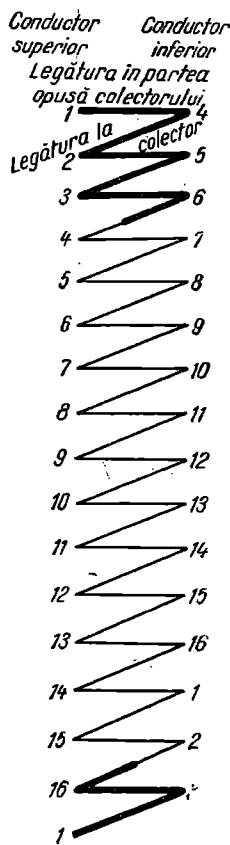


Fig. 4.9. Succesiunea conductoarelor în cîrcurile de înfăşurare.

Înfăşunarea reprezentată în fig. 4.8 se parcurge astfel : se pornește de exemplu de la crestătura 1, se urmărește conductorul activ superior legat la lamela 1 a colectorului, se trece prin conductorul de legătură din partea opusă colectorului și se ajunge la conductorul inferior din crestătura 4, care este legat la lamela 2 a colectorului, de la care se ajunge apoi la conductorul superior din crestătura 2 și aşa mai departe. În felul acesta se parcurge întreaga înfăşurare, ajungindu-se în celă din urmă din nou la lamela 1, de unde s-a pornit și înfăşurarea se închide.

În fig. 4.9 se arată succesiunea conductoarelor active așezate în cele 16 crestături ale înfăşurării reprezentate în fig. 4.8.

Considerind periile A, B, C, D, așezate pe colector, cu polaritatea reprezentată în fig. 4.8, între două perii consecutive există trei lamele de colector și o porțiune de înfăşurare formată din patru bobine. Cum toată înfăşurarea la care ne-am referit are 16 bobine, rezultă că cele patru perii împart înfăşurarea în patru porțiuni egale.

*Porțiunea de înfăşurare cuprinsă la un moment dat între două perii consecutive și de polarități diferite (de exemplu între periile A și B), se numește cale de curent.*

Între două perii consecutive pot fi cuprinse mai multe căi de curent : de exemplu la înfăşurarea bipolară simplă între perii sînt cuprinse două căi de curent.

Numărul căilor de curent în care este împărtită o înfăşurare este întotdeauna un număr cu soț (de aceea se notează cu 2 a, a fiind numărul de perechi de căi de curent). Numărul minim de căi de curent ale unei înfăşurări tip inducător continuu este doi ( $a=1$ ). În

fig. 4.8 și 4.9 s-a reprezentat prin linii îngroșate calea de curent cuprinsă între perilele  $A$  și  $B$ .

Un alt mod de reprezentare a înfășurării tip inducute de curent continuu este indicat în fig. 4.10 în care s-a desenat o înfășurare desfă-

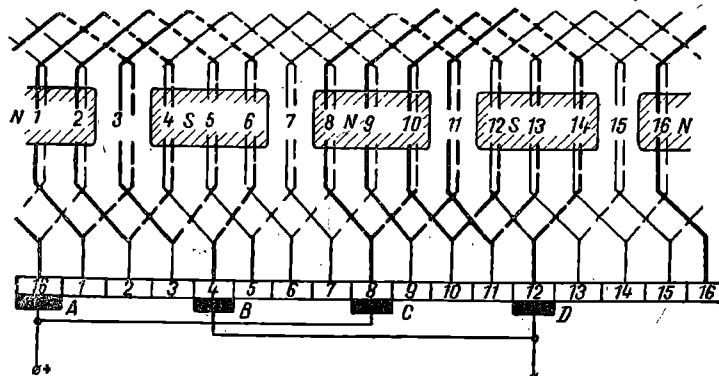


Fig. 4.10. Reprezentarea desfășurată a unei înfășurări tip inducute de curent continuu, având  $Z=16$  crestături,  $K=16$  lamele și  $2p=4$  poli.

surată în plan ; înfășurarea din această figură are aceleași caracteristici cu înfășurarea reprezentată în fig. 4.8. S-au reprezentat cu linii pline laturile de ducere ale spirelor care poartă același număr cu lamela de colector la care sunt legate, iar cu linii întrerupte s-au reprezentat laturile de întoarcere ; cu linii îngroșate s-au reprezentat căile de curent cuprinse între perilele  $A$  și  $B$ , respectiv  $C$  și  $D$ . În aceste scheme, în cazul bobinelor constituite din mai multe spire, nu se reprezintă conductoarele și nici spirele, ci laturile bobinelor.

Pe schema desfășurată se mai reprezintă polii mașinii precum și perile.

Reprezentarea desfășurată a înfășurărilor este mai simplă și în cele ce urmează se va folosi cu preferință această reprezentare.

#### 4.2.3. Pașii înfășurării

##### a. Pasul bobinelor

În fig. 4.7 s-a notat cu  $Y$  deschiderea bobinei. După cum deschiderea  $Y$  a bobinei este egală sau diferită de pasul polar  $\tau$ , se disting două tipuri de înfășurări de curent continuu, și anume : *înfășurări cu pas diametral* și *înfășurări cu pas scurtat*.

Înfășurările cu pas diametral (fig. 4.11, a, în care s-a considerat că bobina se compune dintr-o singură spiră) au deschiderea Y a bobinei egală cu pasul polar  $\tau$ .

Înfășurările cu pas scurtat au deschiderea bobinei diferită de pasul polar  $\tau$ , aşa cum este cazul înfășurării reprezentate în fig. 4.11, b,

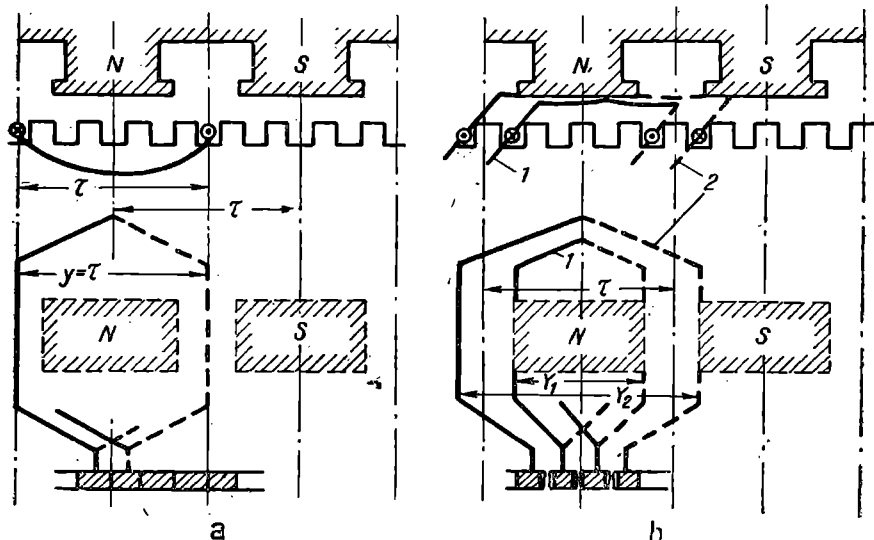


Fig. 4.11. Tipuri de bobine :

a — bobina la înfășurări cu pas diametral; b — respectiv la înfășurări cu pas scurtat.

pentru bobina 1 sau 2. În cazul cînd deschiderea  $Y_1$  este mai mică decît pasul polar  $\tau$  (bobina 1 din fig. 4.11, b), înfășurarea este cu pas scurtat. În cazul cînd deschiderea  $Y_2$  este mai mare decît pasul polar  $\tau$ , înfășurarea este numită cu pas lungit (bobina 2 din fig. 4.11, b).

Prin creșterea deschiderii bobinei față de pasul polar, fluxul îmbrățișat de bobină scade și efectul creșterii deschiderii este același ca în cazul scurtării ; înfășurările cu pas lungit se comportă ca și înfășurările cu pas scurtat și fac parte din aceeași categorie de înfășurări, denumite înfășurări cu pas scurtat. Prin creșterea deschiderii bobinei față de pasul polar, se lungesc capetele de bobină și înfășurarea neceșită o cantitate mai mare de material conductor.

### b. Crestătura elementară. Definirea pașilor înfășurării

Deschiderea bobinei, notată în fig. 4.7 cu Y, se măsoară în milimetri sau centimetri, adică în aceleasi unități în care se măsoară și pasul polar  $\tau$ . Ea servește pentru executarea bobinelor. La bobinare însă nu se poate aplica măsurarea periferiei rotorului și a poziției conductoarelor în unități de lungime. De aceea, în practică, pentru întocmirea și citirea schemelor de bobinaj și pentru executarea înfășurărilor, pasul bobinei se măsoară fie *în număr de crestături*, fie *în număr de lamele la colector*, corespunzător laturilor de bobine dintr-un strat cuprinse între laturile unei bobine.

În teoria înfășurărilor se întâlnește și noțiunea de crestături elementare, care diferă de crestăturile reale (geometrice).

Perechea de laturi (apărând la două bobine diferite) formată dintr-o latură superioară și una inferioară din aceeași crestătură a fost denumită *crestătură elementară*. În fig. 4.12, a crestătura reală conține numai o pereche de laturi (una superioară și alta inferioară) și de aceea ea coincide cu o crestătură elementară; crestăturile reale din fig. 4.12, b și c, conțin mai mult decât o pereche de laturi și sunt formate din două, respectiv trei crestături elementare.

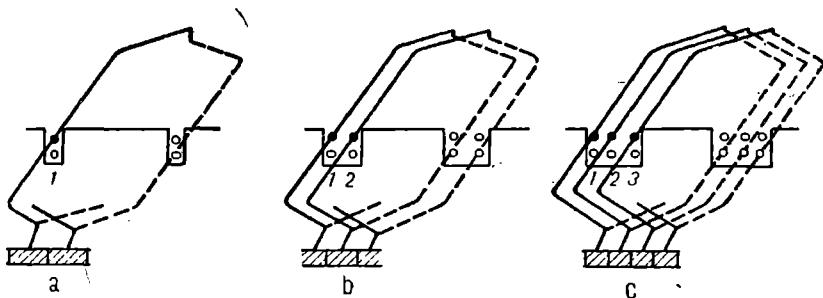


Fig. 4.12. Crestături reale (geometrice) conținind :  
a — o crestătură elementară; b — două crestături elementare; c — trei crestături elementare.

De obicei, pasul bobinei se exprimă în număr de crestături reale, iar pașii de înfășurare, în număr de lamele la colector (la înfășurările la care numărul de lamele la colector este egal cu numărul crestăturilor, pasul exprimat în număr de lamele este egal cu pasul exprimat în crestături).

La înfășurările obișnuite, între numărul de crestături geometrice  $Z$ , numărul  $u$  de laturi de ducere ale bobinelor dintr-o

crestătură (egal cu numărul de crestături elementare dintr-o crestătură reală) și numărul  $K$  de lamele la colector există relația

$$Z_u = K. \quad (4.1)$$

Pasul dintre latura de ducere (latura din stînga) și latura de întoarcere a aceleiași bobine (latura din dreapta) este denumit *pasul la spate* al înfășurării, *pasul de întoarcere* sau *primul pas al înfășurării*.

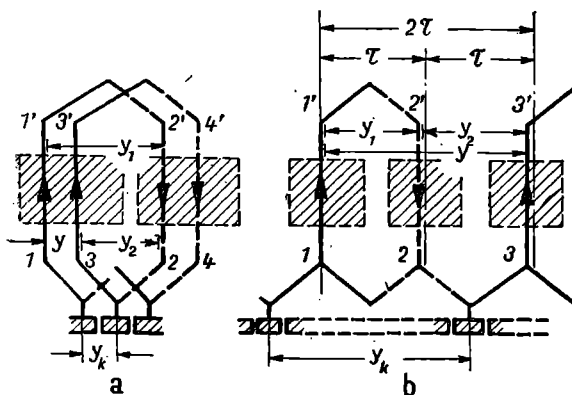


Fig. 4.13. Pașii înfășurării tip induc de curent continuu:  
a — înfășurarea buclată (avind  $y=y_1-y_2$ ); b — înfășurare ondulată (avind  $y=y_1+y_2$ ).

Acesta corespunde pasului bobinei și se notează cu  $y_1$ , așa cum se indică în figura 4.13; pasul  $y$  se măsoară între laturile aceleiași bobine (latura 1-1' și latura 2-2' în fig. 4.13). Pe această figură s-au reprezentat sensurile de parcursare a conductorilor; laturile 1-1' și 3-3' sunt laturi de ducere, iar laturile 2-2' și 4-4' sunt laturi de întoarcere.

Pasul legăturii dintre latura de întoarcere a unei bobine și latura de ducere a bobinei următoare, exprimat prin numărul de crestături elementare (respectiv de lamele de colector), se numește *pasul în față*, *pasul la ducere* sau *al doilea pas al înfășurării*. Acest pas se notează cu  $y_2$  (fig. 4.13) și se măsoară între latura 2-2' a bobinei 1-1', 2-2' și latura 3-3' a bobinei 3-3', 4-4' din fig. 4.13.

Este foarte important de reținut sensul de parcursare a periferiei rotorului la măsurarea pasului la spate și a pasului în față, pentru a putea da semnul corespunzător valorii pașilor respectivi. Pasul la spate  $y_1$  măsurat de la latura 1-1' la latura 2-2' (fig. 4.13, a și b) se ia întotdeauna cu semn pozitiv. Dacă sensul de parcursare de la latura 2-2' pînă la latura 3-3' este invers sensului de parcursare de la latura 1-1' la latura 2-2' (luat ca sens pozitiv), atunci pasul în față este negativ, adică valoarea sa este  $-y_2$ , așa cum este cazul în fig. 4.13, a. Cînd pentru a măsura pasul  $y_2$  se parcurge înfășurarea de la latura 2-2' la latura 3-3' în același sens ca pentru măsurarea pasului la

spate  $y_1$  (aşa cum este cazul în fig. 4.13, b), pasul  $y_2$  este pozitiv, iar valoarea sa este  $y_2$ .

Se numeşte *pasul resultant* al înfăşurării și se notează cu  $y$ , intervalul dintre laturile de ducere ale bobinelor care se succed la colector (în circuitul înfăşurării).

Valoarea pasului resultant se exprimă de asemenea în număr de lamele de colector sau de creştături elementare, aşa cum au fost exprimate și valorile pașilor  $y_1$  și  $y_2$ .

Pentru exemplul din fig. 4.13, a, pasul resultant se calculează cu relația

$$y = y_1 - y_2, \quad (4.2)$$

iar înfăşurarea la care pasul în faţă este de semn contrar pasului la spate se numeşte *înfăşurare buclată*.

Pasul resultant  $y$  poate fi egal cu 1, 2 sau 3. Dacă  $y=1$  înfăşurarea se numeşte *buclată simplă*; la aceasta, o dată cu primul înconjur al rotorului se ocupă toate creştăturile. Dacă  $y=2$ , înfăşurarea se numeşte *buclată dublă*; în acest caz, pentru ocuparea tuturor creştăturilor trebuie înconjurată periferia rotorului (sau a colectorului) de două ori. Valoarea pasului resultant se notează cu  $m$  și se numeşte ordinul de multiplicitate al înfăşurării.

Pentru exemplul din fig. 4.13, b, pasul resultant este

$$y = y_1 + y_2, \quad (4.3)$$

iar înfăşurarea la care pasul  $y_2$  are același semn cu pasul  $y_1$  se numeşte *înfăşurare ondulată*.

Dacă după primul înconjur se ajunge cu o lamelă în urma lamelei de la care s-a pornit, rezultă o înfăşurare *ondulată simplă*; în cazul în care după efectuarea primului înconjur se ajunge cu 2, 3 sau mai multe lamele în urma lamelei de la care s-a început schema, rezultă o înfăşurare *ondulată multiplă*.

### c. Înfăşurări încrucișate și neîncrucișate

*La înfăşurările buclate*, la care pasul resultant  $y$  este egal cu diferența pașilor de înfăşurare  $y_1$  și  $y_2$ , pasul în față  $y_2$  trebuie să fie diferit de pasul la spate  $y_1$ . În cazul în care  $y_2$  are o valoare mai mică decât  $y_1$  (cazul din fig. 4.14, a), pasul resultant  $y$  din relația (4.2) este pozitiv, iar sensul de parcurs (de urmărire) a înfăşurării pe pachetul de tole din rotor sau la colector va fi același cu sensul luat pentru  $y_1$ ; înfăşurarea este *neîncrucișată*; deoarece capetele aceleiași bobine de partea colectorului nu se încrucișează între ele. În cazul în care  $y_2$  are o valoare mai mare decât  $y_1$  (cazul din fig. 4.15, a), pasul resultant  $y$  din relația (4.2) este negativ, iar sensul de parcurs

(de urmărire) a înfăşurării pe suprafaţa pachetului de tole din rotor sau la colector va fi invers (contrar) celui luat pentru  $y_1$ . În acest caz, legăturile la colector ale aceleiaşi secţiilor ca şi capetele de bobină dinspre colector se vor încrucişa (se vor suprapune), motiv pentru care acest tip de înfăşurare buclată se numeşte *înfăşurare încrucişată*.

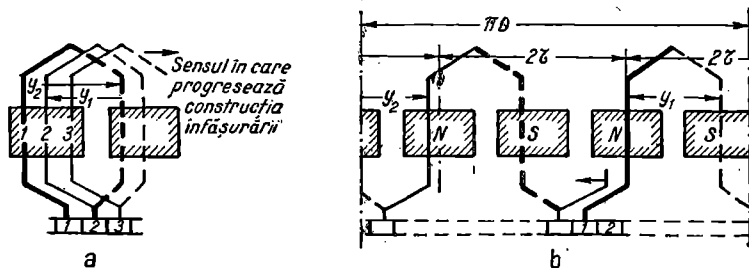


Fig. 4.14. Înfăşurări neîncrucişate :  
a — buclată; b — ondulată.

La *înfăşurările ondulate*, la care pasul rezultant  $y$  este egal cu suma paşilor parţiali  $y_1$  și  $y_2$ , pasul rezultant trebuie să difere de dublul pas polar  $\frac{Zu}{p}$  pentru ca înfăşurarea să poată fi executată. Dacă pasul rezultant ar fi egal cu dublul pasului polar ( $y = \frac{Zu}{p}$ ), atunci după ce rotorul a fost parcurs o dată s-ar ajunge la lamela de plecare, iar înfăşurarea s-ar închide fără a se fi ocupat toate crestăturile.

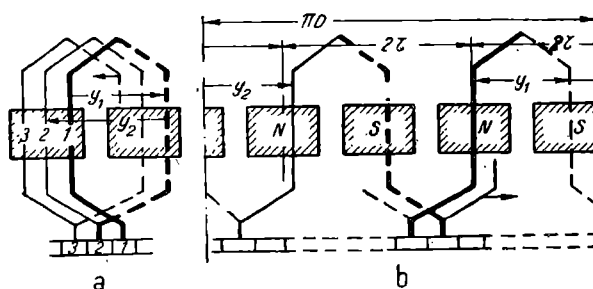


Fig. 4.15. Înfăşurări încrucişate :  
a — buclată; b — ondulată.

În cazul în care pasul rezultant este mai mic decât dublul pas polar, legăturile la lamelele de colector ale înconjururilor succesive (în circuitul înfăşurării) nu se vor încrucişa și înfăşurarea se numeşte *înfăşurare ondulată neîncrucişată* (fig. 4.14, b).

Cind pasul rezultant al înfăşurării este mai mare decit dublul pas polar (fig. 4.15, b), legăturile la lamelele înconjururilor succesive se vor încrucişa ; atunci înfăşurarea ondulată respectivă se numeşte *înfăşurare ondulată încrucişată*.

Sensul în care progresează înfăşurarea încrucişată este acelaşi cu sensul pozitiv al paşilor  $y_1$ ,  $y_2$  şi  $y$ , în timp ce la înfăşurarea neîncrucişată sensul în care progresează înfăşurarea este invers.

d. *Înfăşurări cu bobine egale (denumite și înfăşurări obişnuite sau normale) și înfăşurări în trepte*

La înfăşurările cu mai multe bobine pe crestătura geometrică, se întâlnesc construcţii deosebite între ele.

Unele înfăşurări sint executate din bobine identice, toate având aceeaşi deschidere şi grupate de fapt într-o singură bobină cu mai multe prize pentru execuţia legăturilor la colector. Laturile de duere dintr-o crestătură sunt conectate în serie cu laturile de întoarcere,

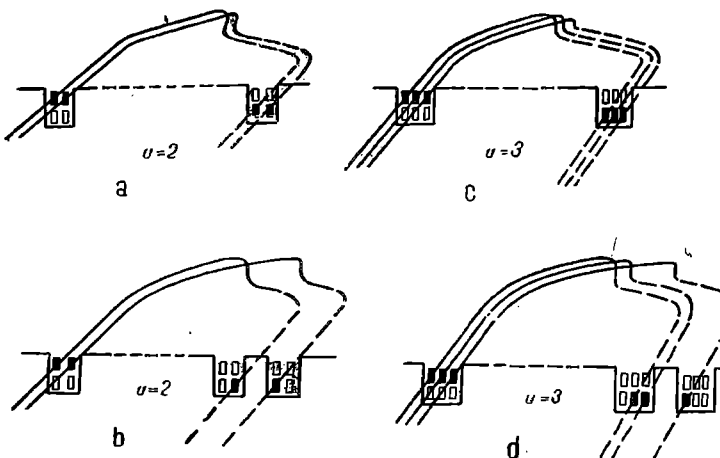


Fig. 4.16. Porţiune de înfăşurare:  
a şi c — cu bobine egale; b şi d — în trepte.

situate de asemenea într-o singură crestătură, (fig. 4.16, a şi c). Înfăşurarea executată astfel, cu bobine egale, este denumită *înfăşurare obişnuită, normală* sau *cu bobine egale* și prezintă avantajul simplătății pentru tehnologia de execuție.

După cum se vede în fig. 4.16, a şi c, la înfăşurările cu bobine egale, pasul  $y_1$  se imparte exact la numărul de laturi  $u$  dintr-un strat al unei crestături.

Există însă și înfășurări la care o parte din bobine cu laturile de ducere situate în aceeași creștătură au deschideri diferite; în acest caz laturile de întoarcere ale acestor bobine sunt așezate în creștături vecine (fig. 4.16, b și d). Deschiderea secțiilor diferă, de obicei, cu un pas de creștătură. Înfășurarea executată în acest fel se numește **înfășurare în trepte**. La înfășurările în trepte, pasul  $y_1$  nu se împarte exact la numărul de laturi de bobină dintr-un strat situate în aceeași creștătură. Înfășurarea în trepte, deși mai greu de realizat tehnologic, prezintă avantaje în ceea ce privește comutația, permitând o suprimare mai ușoară a scînteilor la colector.

#### 4.2.4. Clasificarea înfășurărilor tip indus de curent continuu

Din cele prezentate mai înainte rezultă următoarea clasificare a înfășurărilor tip indus de curent continuu utilizate la mașinile de curent continuu și la mașinile de curent alternativ cu colector, prezentată în fig. 4.17.

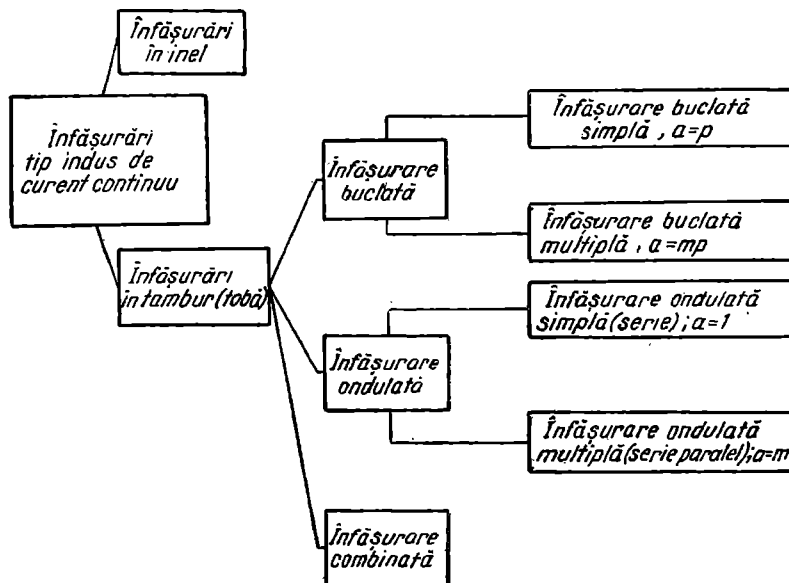


Fig. 4.17. Clasificarea înfășurărilor tip indus de curent continuu.

#### 4.2.5. Poziția diametrală a periilor de colector

Valoarea tensiunii culeasă la perii depinde pentru o mașină dată de poziția periilor pe colector, în raport cu axa polilor.

Să considerăm o poziție oarecare a unui rotor în mișcare (fig. 4.18, a) și să stabilim repartitia tensiunii electromotoare induse

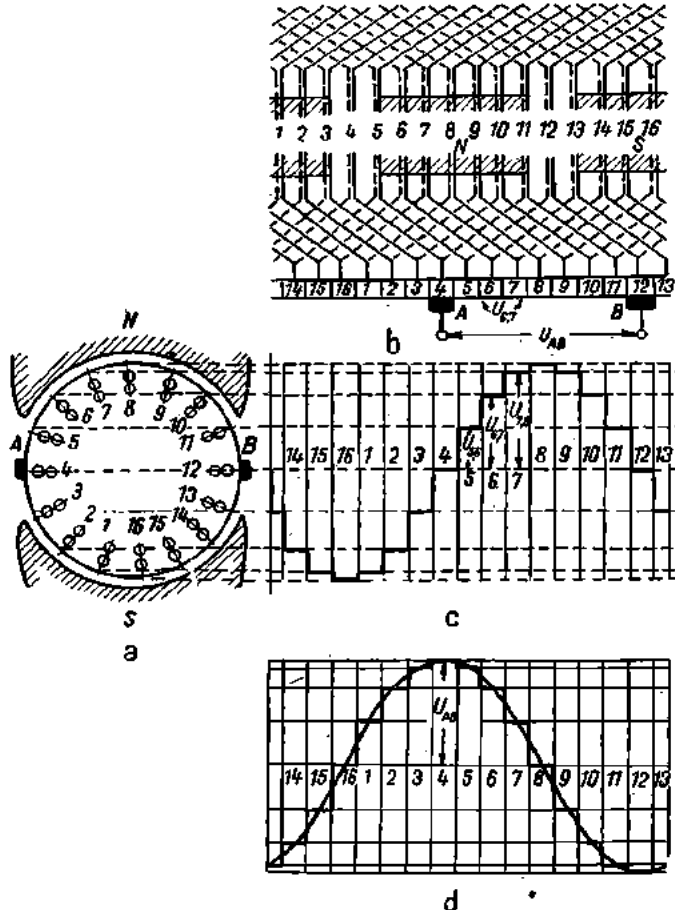


Fig. 4.18. Curba repartiției tensiunii electromotoare pe colector pentru o înfășurare tip induș de curent continuu, avind  $Z=16$ ,  $2p=2$ ,  $K=16$  și  $y=1$ :

a — rotorul în poziția cu creștăturile 4 și 12 în axa neutră; b — schema desfășurată a unei înfășurări buclate bipolară; c — curba tensiunii între lamelele vecine; d — curba tensiunii la peri.

în diferitele conductoare ; rotorul situat în cîmpul magnetic inductor repartizat sinusoidal în spațiu se învîrtește cu viteză constantă și trece prin această poziție.

În fig. 4.18, b este reprezentată desfășurarea rotorului avînd  $2p=2$  poli ;  $Z=16$  crestături ;  $K=16$  lamele ;  $y=1$ . Între lamele luate două cîte două se obțin tensiunile conform diagramei din fig. 4.18, c. Din diagramă rezultă că între lamelele 4 și 5 se obține o tensiune nulă ; la aceste lamele este legată bobina avînd conductoare active 4 (ducere) și 12 (întoarcere), care sunt situate pentru această poziție, chiar în axa neutră a mașinii. De asemenea, se obține o tensiune nulă între lamelele 12 și 13, la care sunt legate extremitățile bobinei formată din conductoarele 12 (ducere) și 4 (întoarcere). Din această diagramă a repartiției tensiunilor între lamele rezultă că, pentru a obține la perii o tensiune maximă, acestea trebuie să fie așezate în dreptul lamelelor 4 și 12. Din fig. 4.18 mai rezultă că din cauza legăturilor în față ale spirelor, poziția lamelelor 4 și 12 pe care sunt așezate periile corespunde cu axa polilor.

În fig. 4.18, d s-a reprezentat, prin curba în trepte, tensiunea la perii pentru diferite poziții ale periilor pe colector (periile fiind dispuse diametral, adică la interval de un pas polar raportat la colector), rotorul avînd poziția indicată în fig. 4.18, a ; din aceasta rezultă că

dacă decalăm periile din axa neutră, tensiunea la perii scade ajungînd la zero cînd periile calcă pe lamelele 8-16. Cînd periile sunt așezate pe lamelele de colector conectate la bobinele din axa neutră a polilor, tensiunea între două perii de polaritate diferită este maximă ; în acest caz se spune că periile sunt așezate în axa neutră a mașinii.

Axa periilor poate să nu coincidă cu axa polilor, dacă bobina este executată cu capete nesimetrice, aşa cum este reprezentată în fig. 4.19. Astfel

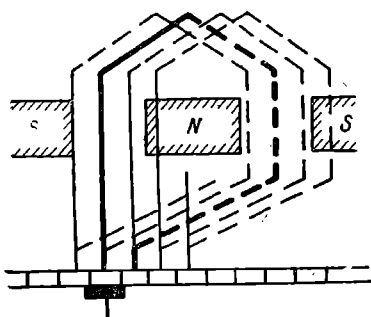


Fig. 4.19. Bobina cu capete nesimetrice.

de infășurări nu se execută la mașinile mari, din cauză că acest tip de infășurare necesită un consum mai mare de material conductor pentru capetele de bobină (capete de bobină se obțin mai scurte la bobinele cu capete simetrice).

#### **4.2.6. Condițiile generale pe care trebuie să le îndeplinească înfășurările tip indus de curent continuu**

Pentru ca mașina să aibă o funcționare bună, înfășurările tip indus de curent continuu trebuie să îndeplinească următoarele condiții :

— înfășurarea trebuie să fie închisă ; la înfășurările deschise, o cale de curent este scoasă succesiv din circuit ; prin aceasta se reduce puterea mașinii, iar zona în care au loc intreruperea sau închiderea circuitului înfășurării prin perie este însotită de scânteie la colector ; de aceea, intreruperea înfășurării indusului constituie unul dintre defectele înfășurărilor ;

— înfășurarea trebuie să fie simetrică ; la înfășurările nesimetrice se produc curenți de circulație prin înfășurare, care tind să simetrizeze tensiunile induse ; acești curenți produc pierderi suplimentare în înfășurare, micșorează randamentul mașinii și surtează durata de viață a izolației ; comutația mașinii este înrăutățită ;

— conectarea în serie a bobinelor trebuie realizată astfel încât tensiunile induse pe calea de curent să se adune ; inserierea se realizează ușor știind că începuturile bobinelor care se succed în schema de conexiuni ocupă poziții foarte apropiate sub același pol sau poziții foarte apropiate față de diferenți poli de aceeași polaritate.

Pentru a realiza o înfășurare economică trebuie respectate următoarele condiții :

— înfășurarea trebuie să aibă capetele de bobină neîncrucisate ; în cele ce urmează ne vom ocupa îndeosebi de aceste tipuri de înfășurări ;

— deschiderea bobinei la înfășurările în tambur trebuie să fie aproximativ egală cu pasul polar, pentru ca tensiunea indusă în înfășurare să fie maximă.

#### **4.3. INFĂȘURĂRILE ÎN TAMBUR**

Înfășurările în tambur (sau tobă) se execută de obicei ca înfășuări în două straturi. Laturile de bobină sunt aşezate (fig. 4.20) una la fundul creștăturii, iar alta în partea superioară a acesteia.

Când s-au definit pașii în § 4.2.3, b, s-a văzut că se pot construi mai multe tipuri de înfășurări în tambur, ele diferind după felul cum sunt legate bobinele la colector ; astfel se disting :

— *înfășurările buclate*, avind capetele unei bobine legate la lamele vecine sau la lamele apropiate (v. fig. 4.14, a și 4.15, a) ;

— *înfășurările ondulate*, având capetele unei bobine legate la lamele distanțate una față de alta cu aproape dublul pasului polar (v. fig. 4.14, b și 4.15, b) ;

— *înfășurările combineate*, care constă din cîte o înfășurare buclată și una ondulată, situate în aceleasi crestături sau în crestături vecine.

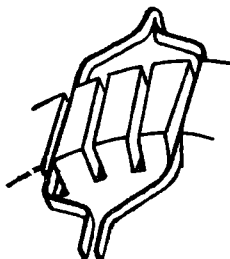


Fig. 4.20 Bobina unei înfășurări tip indus de curent continuu în tambur.

la care pasul în față  $y_2$  este de semn contrar cu pasul în spate  $y_1$ , astfel încît pasul rezultant al înfășurărilor de acest tip este [v. relația (4.2)]

$$y = y_1 - y_2.$$

Deschiderea bobinelor și corespunzător acesteia, pasul la spate sunt egale sau aproape egale cu pasul polar  $\tau$  ; la un pas polar corespund  $\frac{Z}{2p}$  crestături, respectiv  $\frac{K}{2p}$  lamele ale colectorului ( $K$  fiind numărul total de lamele ale colectorului) ; de aceea, pasul la spate  $y_1$  este dat de oricare din relațiile

$$y_1 = \frac{Z}{2p}, \text{ exprimat în crestături geometrice,}$$

sau

$$y_1 = \frac{K}{2p}, \text{ exprimat în lamele la colector (sau crestături elementare).}$$

În cazul în care numărul total de crestături  $Z$  ale rotorului se împarte exact la numărul de poli  $2p$  ai mașinii, raportul  $\frac{Z}{2p}$  este un număr întreg, iar înfășurarea se poate executa ca înfășurare cu pas diametral.

Pentru a rezulta o înfăşurare simetrică cu același număr de bobine pe perechea de poli (la înfăşurările nesimetrice apar curenti de circulație în înfăşurare), numărul de crestături pe perechea de poli  $\frac{Z}{p}$  trebuie să fie un număr întreg. La înfăşurările avînd  $u > 1$ , se recomandă ca  $\frac{Z}{p}$  și  $\frac{uZ}{p}$  să fie numere fără soț (impare).

Dacă într-o crestătură a rotorului sînt  $u$  crestături elementare, numărul total de crestături elementare este  $Zu$ ; pentru exprimarea pasului la spate în număr de crestături elementare se poate scrie :

$$y_1 = \frac{Zu}{2p}. \quad (4.4)$$

O dată ales pasul rezultant  $y$  în funcție de tipul de înfăşurare (simplă sau multiplă), pasul în față  $y_2$  se calculează cu relația

$$y_2 = y_1 - y. \quad (4.5)$$

**Valorile pașilor de înfăşurare  $y_1$ ,  $y_2$  și  $y$ , exprimate fie în număr de crestături elementare, fie în număr de lamele la colector, trebuie să fie numere întregi.**

Toate mașinile de curent continuu echipate cu înfăşurări bucate în inducție au un număr de tije portperii egal cu numărul de poli ai mașinii; pe schemă se reprezintă prin urmare  $2p$  perii.

În funcție de valoarea pasului rezultant  $y$  și de numărul de căi de curent  $2a$ , înfăşurările bucate sunt de două tipuri :

- a) înfăşurări bucate simple ;
- b) înfăşurări bucate multiple.

#### a. *Infăşurările bucate simple*

Înfăşurările bucate simple se închid o singură dată. La aceste înfăşurări, pasul rezultant  $y$ , măsurat în număr de lamele de colector, este egal cu 1. Între pașii parțiali ai acestor înfăşurări există relația

$$y_1 - y_2 = 1. \quad (4.6)$$

La înfăşurările bucate simple, capetele fiecărei bobine se leagă la lamele de colector vecine și anume: începutul se leagă la lamela la care s-a conectat sfîrșitul bobinei precedente, iar sfîrșitul la lamela vecină la care se va lega începutul bobinei următoare.

Datorită legăturilor dintre perile cu aceeași polaritate, numărul căilor de curent ale înfășurărilor bucate simple este egal cu numărul de poli ai mașinii ( $a = p$ ), la fel ca la înfășurările în inel.

**Înfășurări bucate simple cu o bobină pe crestături.** În fig. 4.21 este reprezentată o înfășurare bucată simplă având  $Z=20$  crestături,

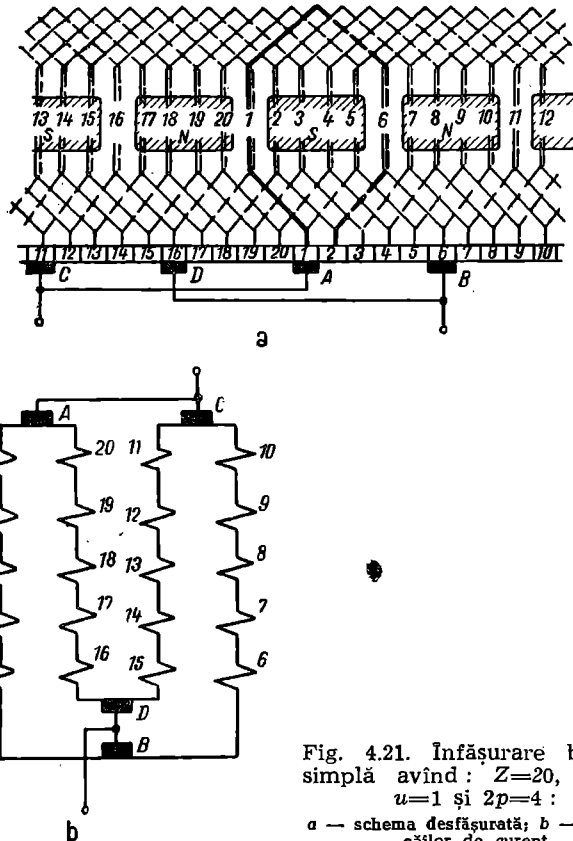


Fig. 4.21. Înfășurare bucată simplă avind:  $Z=20$ ,  $K=20$ ,  
 $u=1$  și  $2p=4$ :  
a — schema desfășurată; b — schema căilor de curent.

$u=1$  bobină pe crestături și  $2p=4$  poli. Înfășurarea fiind bucată simplă, pasul resultant este  $y=1$ . Numărul de lamele la colector este  $K=zu=20$ . Numărul total de crestături ale rotorului este  $Zu=20$ .

Pasul la spate, exprimat în număr de lamele la colector, este

$$y_1 = \frac{Zu}{2p} = \frac{20}{4} = 5.$$

Pasul la spate fiind egal cu pasul polar, înfăşurarea este diametrală.

Pasul în faţă rezultă :

$$y_2 = y_1 - y = 5 - 1 = 4.$$

Numărul de lamele fiind egal cu numărul de crestături, pașii  $y_1 = 5$  și  $y_2 = 4$  reprezintă și pașii în numere de crestături ale rotorului. Bobina desenată îngroșat în fig. 4.21,a reprezintă tipul de bobină utilizat la aceste înfăşurări. Pentru claritate, schema desfăşurată s-a reprezentat pe laturi de bobine și nu pe spire (adică, pornind de la crestătura 1 și revenind prin crestătura 6, nu se va lega conductorul la lamela 2 decât după ce s-au parcurs toate spirele bobinei 1-6). De asemenea s-a convenit ca lamelele de colector să poarte numărul laturii de ducere cu care este legată.

În fig. 4.21,b sunt reprezentate inserierea bobinelor înfăşurării și poziția periilor; din schemă se deduce numărul de căi de curent,  $2a = 2p = 4$ .

**Înfăşurări buclate simple cu mai multe bobine pe crestătură.** În fig. 4.22 este reprezentată o înfăşurare buclată simplă bipolară cu pas scurtat având  $Z = 37$  crestături și  $u = 2$  crestături elementare, executată cu bobine egale, respectiv în treptă. Înfăşurarea fiind buclată simplă pasul rezultant este  $y = 1$ .

Numărul de lamele de colector este  $K = Zu = 37 \cdot 2 = 74$  lamele.

La înfăşurarea cu bobine egale, pasul la spate este  $y_1 = \frac{K-\epsilon}{2p} = \frac{74-2}{2} = 36$ , măsurat în număr de lamele; s-a luat  $\epsilon = 2$  și s-a obținut în acest caz o înfăşurare cu pas scurtat cu bobine egale (deoarece  $y_1 = 36$  se împarte exact la  $u = 2$ ).

Pasul în față este  $y_2 = y_1 - y = 36 - 1 = 35$ .

În fig. 4.22, a este reprezentată parțial schema în evolventă a înfăşurării; se observă că în fiecare crestătură sunt două bobine, numerotate individual. Conform pașilor stabiliți mai înainte, conductorul 1 se leagă cu conductorul  $(1+36) = 37$ , iar acesta din urmă cu conductorul  $(37-35) = 2$  și aşa mai departe. În fig. 4.22, b s-au reprezentat schematic bobinele ale acestei înfăşurări. Bobinele înfăşurării au aceeași deschidere (egală cu 18 crestături).

Dacă înfăşurarea se execută *în trepte*, cu același număr de crestături și același număr de lamele, se poate lua  $\epsilon = 4$ . Pasul la spate este  $y_1 = \frac{K-4}{2p} = \frac{74-4}{2} = 35$ ;  $y_2 = y_1 - y = 35 - 1 = 34$ .

In acest caz, pasul  $y_1=35$  al înfăşurării nu se mai împarte exact la numărul  $n=2$  și înfăşurarea nu se mai poate executa cu bobine egale.

După cum rezultă din fig. 4.22, c înfăşurarea nu mai are bobinele cu deschidere egală; astfel, bobina 1-36 cuprinde 17 crestături, iar bobina 2-38 cuprinde 18 crestături, adică la laturile de sus 1-2 situate în aceeași crestătură corespund laturile de întors 36 și 37, situate în crestături diferite. O asemenea înfăşurare poartă denumirea de înfăşurare în trepte și se comportă mai bine la comutație decât înfăşurarea precedentă. În acest caz jumătate din bobine au deschiderea egală cu 17 crestături, iar cealaltă jumătate din numărul de

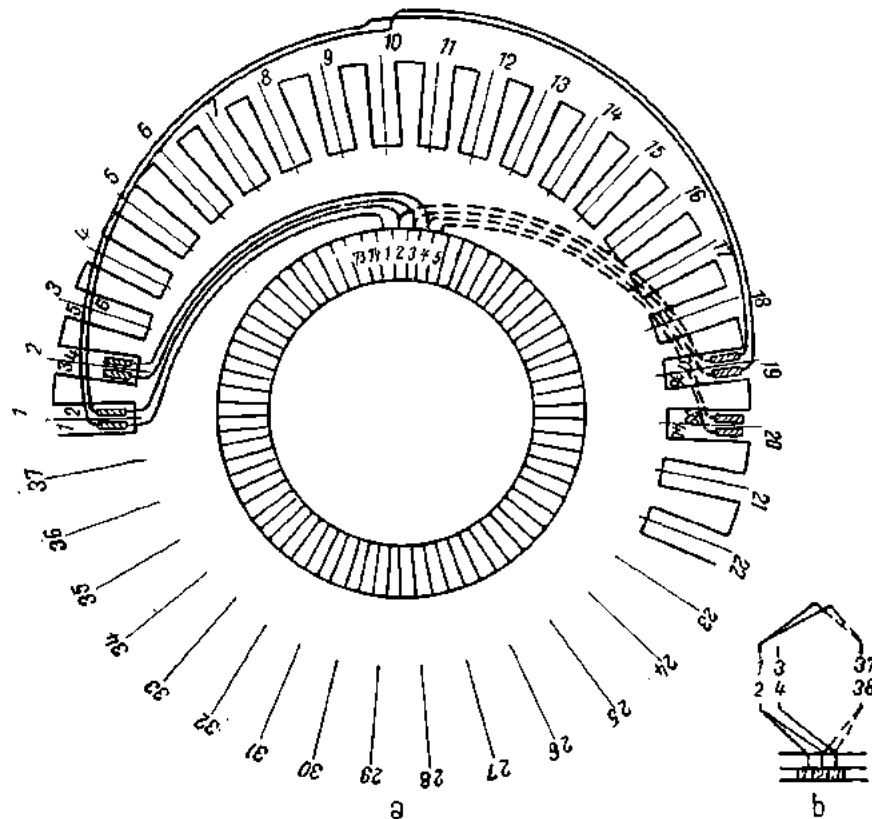
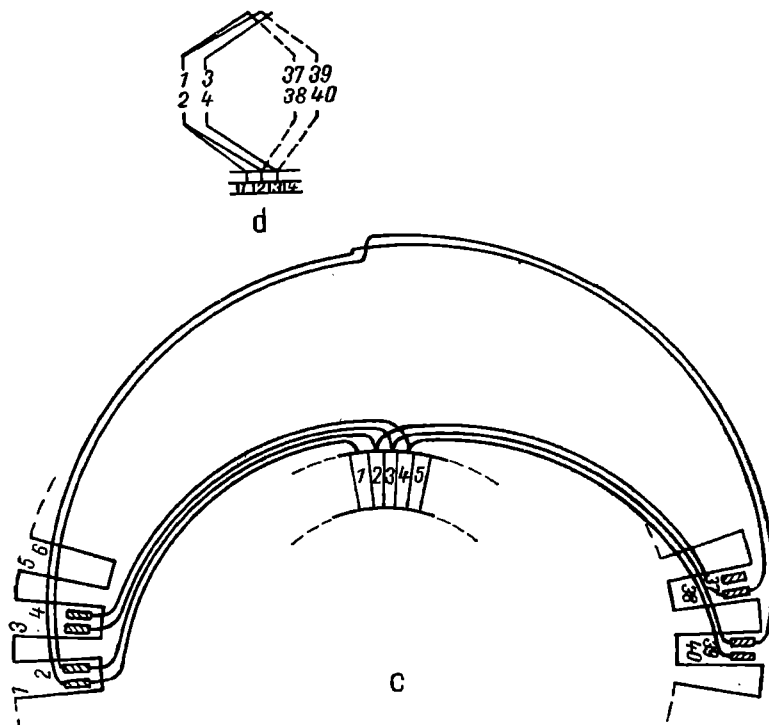


Fig. 4.22. Schema înfășurării bucate  
a — schema în evolvență a înfășurării bucate simple bipolare, avind  $Z=37$ ,  $K=74$ ,  $y_1=36$ ;  
bipolare în trepte, avind  $Z=37$ ,  $K=74$ ,

bobine au deschiderea egală cu 18 crestături. În consecință această înfășurare necesită un consum mai redus de cupru decât înfășurarea precedentă; în schimb înfășurarea se execută cu două tipuri de bobine. În fig. 4.22, d s-au reprezentat schematic bobine ale acestei înfășurări.

În fig. 4.23, a și b s-au reprezentat desfășurat o înfășurare executată cu bobine egale (fig. 4.23, a) și respectiv cu bobine în trepte (fig. 4.23, b). De observat că la executarea înfășurării reprezentate în fig. 4.23, b se folosesc două tipuri de bobine; jumătate din bobine au deschiderea egală cu cinci crestături, iar cealaltă jumătate, săse crestături.

În cazul înfășurării reprezentate în fig. 4.24, la care numărul laterilor de bobină ce revine unei crestături este egal cu 6, iar înfășu-



simple bipolare, cu bobine egale :

b — schema unei bobine a înfășurării; c — schema în evolventă a înfășurării bucate  $y_1=35$ ; d — schema unei bobine a înfășurării.

rarea este executată în trepte, deschiderea bobinelor componente este egală cu trei crestături pentru două treimi din numărul bobinelor și respectiv cu patru crestături pentru o treime din numărul bobinelor.

De observat că raportul  $y_1/u$  determină deschiderea bobinelor exprimată în numere de crestături. La înfășurările cu bobine egale,  $y_1/u$  este un număr întreg (de exemplu la înfășurarea 4.22 a,  $y_1=36$ ,  $u=2$  și prin urmare deschiderea bobinei este  $y_1/u=18$  crestături).

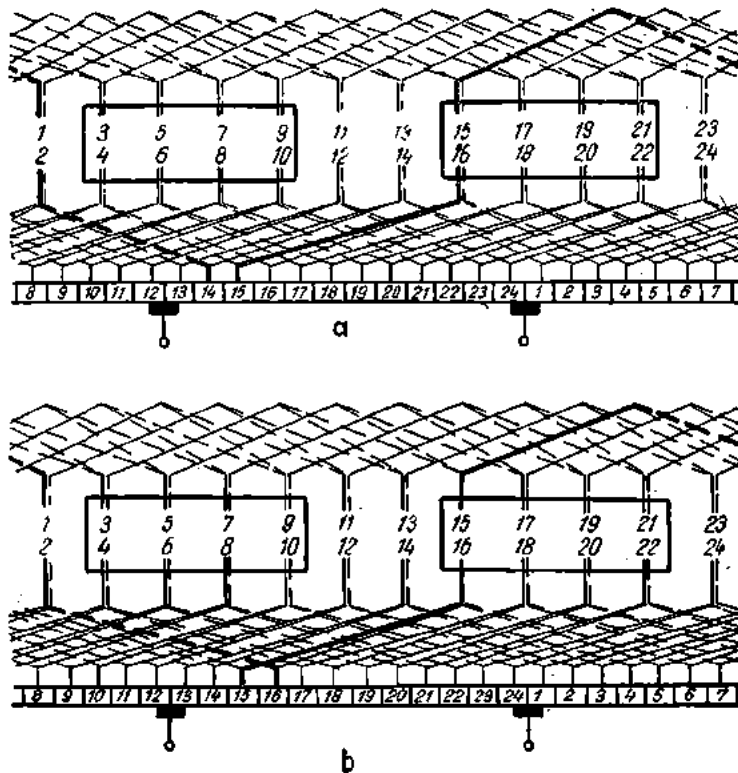


Fig. 4.23. Înfășurare buclată simplă bipolară :  $Z=12$ ,  $u=2$ ,  $K=24$  :  
a — înfășurare cu bobine egale ( $y_1=12$ ); b — înfășurare cu bobine în trepte ( $y_1=11$ ).

La înfășurările în trepte,  $y_1/u$  este un număr fracțional ; media deschiderilor celor  $u$  bobine, măsurată în crestături, este egală cu raportul  $y_1/u$  (de exemplu la înfășurarea 4.22 c, deschiderile bobinelor

sint egale cu 17 si respectiv 18 crestaturi, iar media lor este egală cu  $y_1/u = 17^{1/2}$ ; la înfășurarea 4.24, deschiderile bobinelor sint egale cu 3,3 și 4 crestaturi, iar media lor este  $y_1/u = 10/3 = 3^{1/3}$ .

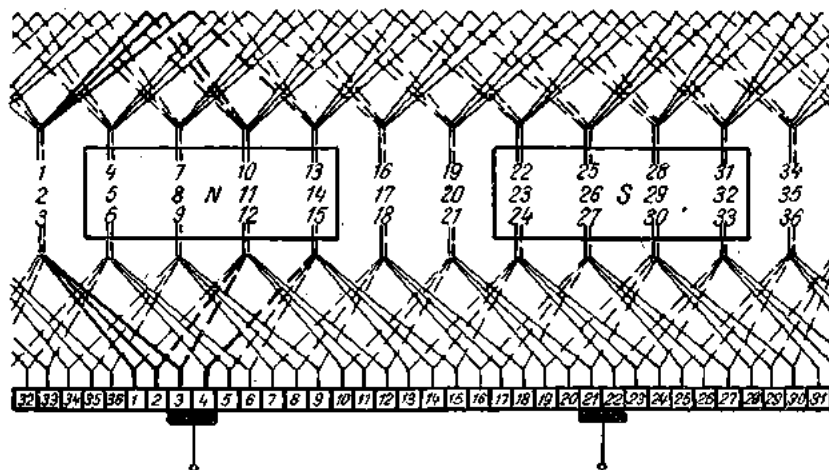


Fig. 4.24. Înfășurare buclată simplă în trepte :  $Z=12$ ,  $K=36$ ,  $p=2$ ,  $u=3$ ,  $y_1=10$ .

### b. Înfășurările buclate multiple

Înfășurările buclate la care pasul resultant  $y$  diferă de 1 se numesc înfășurări buclate multiple; de exemplu înfășurarea avind  $y=2$  se numește înfășurarea buclată dublă. La aceste înfășurări numărul căilor de curent se mărește de  $m$  ori față de numărul căilor de curent de la înfășurările buclate simple. Deci, numărul perechilor de căi de curent este  $a=mp$ .

Intre pașii parțiali există deci relația

$$y_1 - y_2 = m, \quad (4.7)$$

$m$  fiind denumit ordin de multiplicitate și de obicei are valoarea 2.

Înfășurările buclate multiple se pot executa pentru oricare număr uzuial de lamele de colector și pot fi formate din  $1, 2, \dots, m$  înfășurări distințe.

Astfel, se poate obține o înfășurare buclată dublă executând o înfășurare compusă din două înfășurări buclate simple distințe, așezate în aceleași crestături. Ca să fie posibilă o asemenea execuție, numărul de lamele de colector trebuie să fie cu soț.

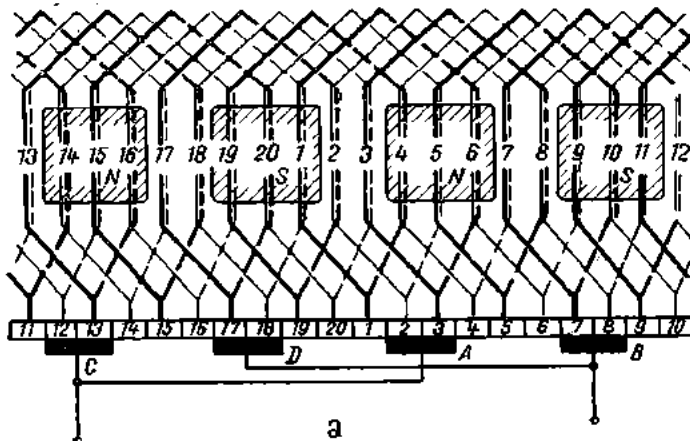
Să reprezentăm o înfășurare buclată multiplă ( $m=2$ ) tetrapolară ( $2p=4$ ) avind  $Z=20$ ,  $K=20$ ; în acest caz, pasul rezultant este  $y=m=2$ . Pasul la spate este

$$y_1 = \frac{K}{2p} = \frac{20}{4} = 5,$$

iar pasul în față

$$y_2 = y_1 - y = 5 - 2 = 3.$$

În fig. 4.25, a este reprezentată schema desfășurată a acestei înfășurări.



a

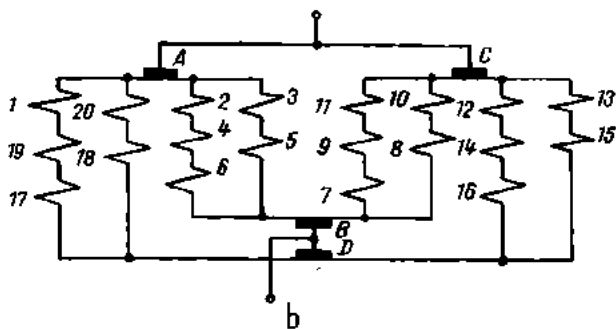


Fig. 4.25. Infășurare buclată multiplă ( $m=2$ ) tetrapolară ( $p=2$ ):  $Z=20$ ,  $u=1$ ,  $y_1=5$ ,  $y_2=3$  (închisă de două ori):

a — schema desfășurată; b — schema secțiilor.

Pornind de la lamele 1, după ce urcăm prin crestătura 1 și coborîm prin crestătura  $1+y_1=1+5=6$ , capătul de sfîrșit al bobinei 1–6 este conectat la lamelele  $1+m=1+2=3$  și aşa mai departe. În acest caz, înfășurarea se compune din două înfășurări distincte. Prima înfășurare ocupă straturile superioare din crestăturile impare (1, 3, 5, 7, ...) și straturile inferioare din crestăturile pare (2, 4, 6, 8, ...), iar cealaltă înfășurare ocupă spațiul rămas. Numărul căilor de curent este  $2a=2mp=2\times 2\times 2=8$ , așa după cum rezultă din fig. 4.25, b, desenată pentru momentul în care nici o bobină nu comută. Pentru ca ambele înfășurări să fie în orice moment parcuse de curent, peria trebuie să aibă o lățime de cel puțin două lamele.

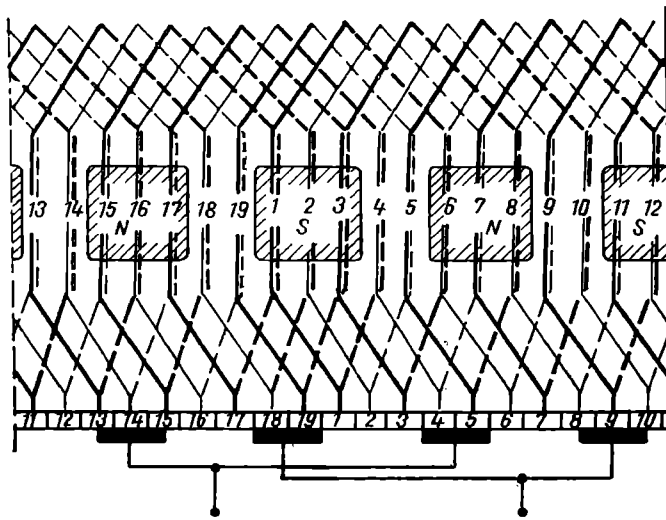


Fig. 4.26. Înfășurare buclată dublă ( $m=2$ ) tetrapolară ( $p=2$ ):  
 $Z=19$ ,  $u=1$ ,  $y_1=5$ ,  $y_2=3$ .

Înfășurările buclate duble care au un număr impar de lamele la colector se închid o singură dată, după ce s-a parcurs periferia rotorului de două ori.

De exemplu, înfășurarea din fig. 4.26, avînd  $Z=19$  crestături,  $K=19$  lamele,  $m=2$ , se închide o singură dată (fiind formată dintr-o singură înfășurare distinctă).

### 4.3.2. Înfășurările ondulate

Înfășurările ondulate se pot executa numai pentru anumite numere de lamele la colector  $K$ . După cum s-a arătat în § 4.2.3., pt. b, pasul rezultant  $y$  la aceste înfășurări este egal cu suma pașilor parțiali  $y_1$  și  $y_2$  [relația (4.3)]

$$y = y_1 + y_2.$$

Înfășurările ondulate normale se pot executa cu una sau mai multe bobine pe crestătură. Și la aceste înfășurări numărul de lamele  $K$  la colector este egal cu produsul dintre numărul de crestături  $Z$  și numărul de bobine  $u$  pe crestătură  $K = Zu$ .

Pentru a rezulta o înfășurare simetrică, cu același număr de bobine pe perechea de căi de curent, trebuie ca numărul de perechi de poli și numărul de lamele la colector să se împartă la numărul de perechi de căi de curent; prin urmare  $\frac{p}{a}$  și  $\frac{K}{a}$  să fie numere întregi.

În cazul în care numărul de crestături se împarte la numărul de poli, bobinele se pot executa cu deschidere diametrală (adică egală cu pasul polar).

#### a. Înfășurările ondulate simple

La aceste înfășurări, după primul parcurs al periferiei rotorului, deci după ce se parcurg  $p$  bobine, trebuie să se ajungă cu o lamelă de colector în urma lamelei de la care s-a pornit, pentru a rezulta o înfășurare neîncrucișată. Astfel, dacă  $y = y_1 + y_2$  este pasul rezultant al înfășurării, iar mașina are  $p$  perechi de poli, la efectuarea unui parcurs se ajunge la lamela  $py + 1$  dacă s-a pornit de la lamela 1. Pentru ca înfășurarea să nu se închidă de prima dată și să rezulte o înfășurare neîncrucișată este necesar ca lamela  $py + 1$  să fie situată cu o lamelă în urma lamelei 1, de la care s-a pornit, adică să se ajungă la lamela  $K$ . Deci se poate scrie relația

$$py + 1 = K, \quad (4.8)$$

din care se determină pasul rezultant

$$y = \frac{K-1}{p}, \quad (4.9)$$

iar aceșta trebuie să fie un număr întreg. O înfășurare ondulată simplă ( $m=1$ ) tetrapolară nu se poate execuța ca înfășurare simetrică pentru  $K=20$ , fiindcă în acest caz  $y = \frac{20-1}{2}$  nu este un număr întreg; în schimb, pentru  $K=19$  se poate execuța și rezultă  $y = \frac{19-1}{2} = 9$ . În cazul particular cînd mașina este bipolară ( $p=1$ ), înfășurarea ondulată se poate execuța pentru orice număr  $K$ . Cînd mașina este tetrapolară ( $p=2$ ), înfășurarea ondulată simplă se poate execuța pentru orice număr  $K$  impar (fără soț), adică pentru numerele de crestături 17, 19, 21, 23 etc.

În general, numărul de crestături pentru care se poate execuța înfășurarea se calculează din relația

$$Z = \frac{yp+1}{u}. \quad (4.10)$$

Înfășurările ondulate simple se închid o singură dată.

Numărul perechilor căilor de curent este egal cu 1, indiferent de numărul de poli ai mașinii; pe colector se pot așeza fie numai două tije portperii, fie  $2p$  tije portperii.

La înfășurările ondulate, bobinele se execută identic cu bobinele de la înfășurarea buclată, cu excepția capetelor de bobine care se pre-gătesc spre a fi conectate la lamele decalate între ele la colector cu aproximativ dublul pasului polar, adică cu  $\frac{K-1}{p}$  lamele.

**Înfășurarea ondulată simplă cu o bobină pe crestătură.** Să considerăm o înfășurare ondulată simplă ( $m=1$ ) tetrapolară ( $p=2$ ), avînd  $Z=K=29$  (adică  $u=1$  bobină pe crestătură); în acest caz, numerotarea crestăturilor coincide cu numerotarea lamelelor, respectiv a crestăturilor elementare.

Pasul resultant este

$$y = \frac{K-1}{p} = \frac{29-1}{2} = 14.$$

Pașii  $y_1$  și  $y_2$  se iau cît mai aproape de pasul polar; pasul  $y_1$  se ia mai mic sau cel mult egal cu pasul polar  $\frac{K}{2p}$ , pentru a se realiza o înfășurare economică. În cazul exemplului de față se alege

$$y_1 = \frac{K}{2p} - \varepsilon = \frac{29}{4} - \frac{1}{4} = 7 \text{ lamele}$$

(s-a considerat că scurtarea bobinei față de pasul polar este  $\varepsilon=1/4$ ). Pasul în față este atunci

$$y_2=y-y_1=14-7=7.$$

În fig. 4.27 este reprezentată schema desfășurată a acestei înfășurări. Înfășurarea se închide o singură dată, după ce s-au parcurs toate crestăturile. În schema desfășurată nu se reprezintă spirele, ci numai laturile de bobină și conexiunile frontale dintre acestea.

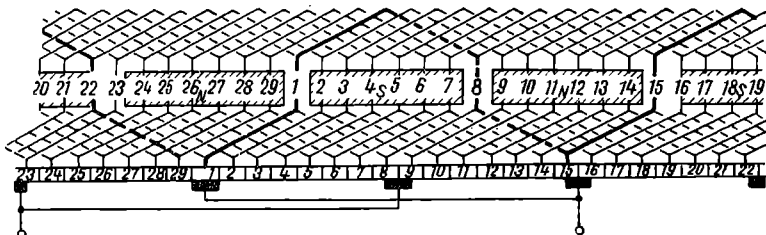


Fig. 4.27. Înfășurare ondulată simplă tetrapolară :  $Z=29$ ,  $u=1$ ,  $y_1=7$ ,  $y_2=7$ .

Pe colector se pot așeza 2 sau  $2p=4$  perii. În figură se indică și poziția perilor pe colector, considerîndu-se cazul cînd se echipează mașina cu patru perii.

**Înfășurarea ondulată simplă cu mai multe bobine pe crestătură.** Să considerăm o înfășurare ondulată simplă tetrapolară avînd același număr  $Z=29$  crestături, dar  $u=3$  (adică  $K=Zu=29 \cdot 3=87$  lamele).

Pasul resultant este

$$y = \frac{K-1}{p} = \frac{87-1}{2} = 43.$$

La înfășurările cu bobine egale, pasul la spate  $y_1$  trebuie să fie divizibil prin  $u$ ; în orice caz, pasul la spate trebuie să fie mai mic sau cel mult egal cu pasul polar; pentru înfășurarea examinată pasul polar, exprimat în lamele de colector este  $87/4=21\frac{3}{4}$ . Dacă alegem  $y_1=21$  și  $y_2=y-y_1=43-21=22$ , obținem bobine identice și primul parcurs ocupă următoarele crestături elementare

stratul superior	1    44    87
	/   /
stratul inferior	22    65    21

În fig. 4.28 este reprezentată schema desfășurată a acestei înfășurări.

În schimb, dacă alegem  $y_1=22$  și  $y_2=21$ , obținem schema unei înfășurări *ondulate simple în trepte*, așa după cum rezultă din tabloul de mai jos al primului parcurs :

stratul superior	1	44	87,
		/	/
stratul inferior	23	66	22, ... ,

adică bobinele 1-23 și 44-66 au deschiderea egală cu șapte pași de crestătură reală (geometrică), iar bobina 87-22 are deschiderea egală cu 8 crestături reale. Înfășurarea ar rezulta în trepte și ar avea în acest caz o treime din bobine cu pasul ceva mai mare decât pasul polar, ceea ce evident necesită mai mult cupru ; celelalte două treimi ar avea aceeași deschidere ca bobinele de la înfășurarea anterioară.

S-ar putea realiza înfășurarea tot în două trepte, alegind de exemplu  $y_1=20$  și  $y_2=23$  ; în acest caz, o treime din numărul de bobine ar fi cu pasul mai scurt decât pasul polar, iar celelalte bobine ar avea deschiderea corespunzătoare la șapte crestături reale.

În fig. 4.29 este reprezentată o înfășurare ondulată simplă, în trepte, având  $Z=12$  crestături,  $u=2$ ,  $K=2 \cdot 12=24$  și anume în fig. 4.29, a

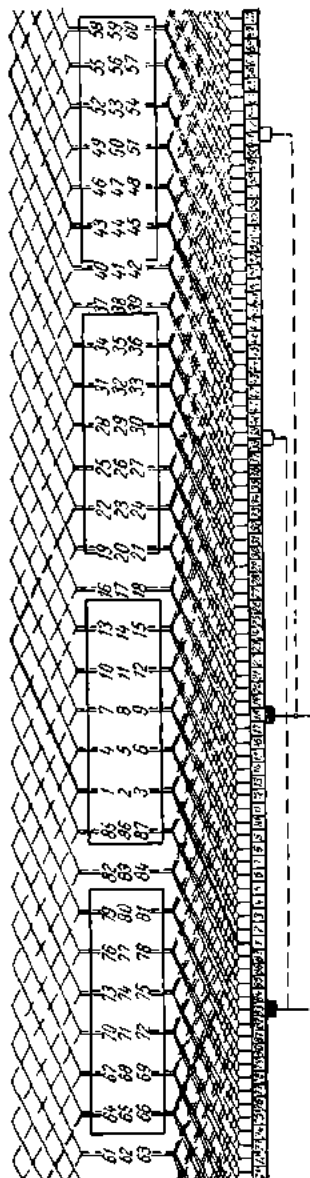


Fig. 4.28. Înfășurare ondulată simplă tetrapolară ( $p=2$ ) pentru  $Z=29$  și  $u=3$ ,  $y_1=21$ ,  $y_2=22$ .

pentru pașii  $y_1=11$ ,  $y_2=12$  (deci  $y=23$ ), obținându-se astfel o înfășurare cu legăturile neîncrucișate, iar în fig. 4.29, b pentru pașii  $y_1=11$ ,  $y_2=14$ ,  $y=25$ , rezultând o înfășurare încrucișată.

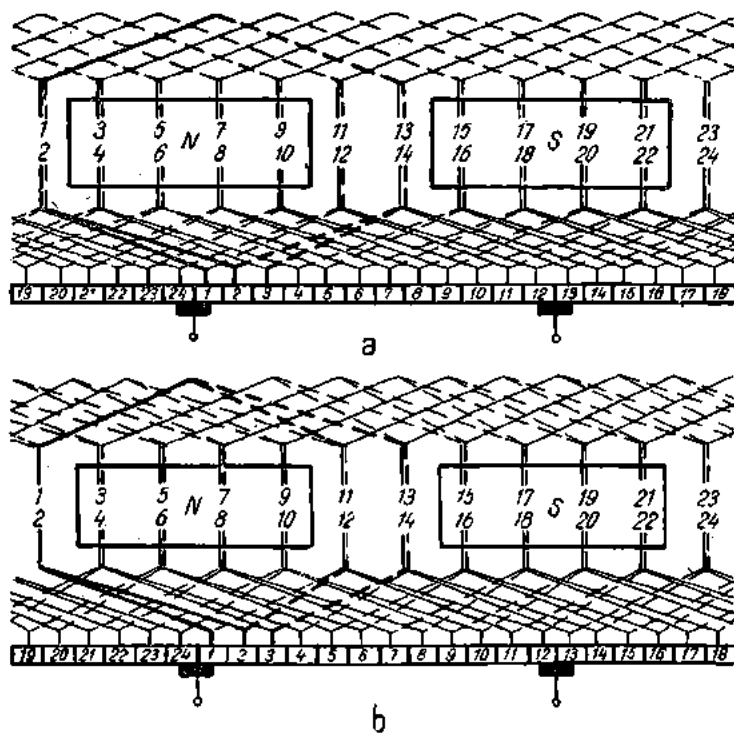


Fig. 4.29. Înfășurare ondulată simplă în trepte, bipolară :

$$Z=12, K=24, u=2 :$$

a — neîncrucișată, cu  $y_1=11$  și  $y_2=12$ ; b — încrucișată, cu  $y_1=11$  și  $y_2=14$ .

### b. Înfășurările ondulate multiple

Acest tip de înfășurări se pot executa numai pentru anumite numere de crestături. Pentru a realiza o înfășurare ondulată multiplă de ordinul  $m$ , după ce s-a parcurs o dată periferia rotorului trebuie să se ajungă cu  $m$  lamele în urma lamelei de la care s-a început înfășurarea. De exemplu, dacă se pornește de la lamela  $m$ , după ce s-a parcurs o dată periferia rotorului și s-au efectuat  $p$  pași rezultați,

adică s-a ajuns la lamela  $py + m$ , aceasta trebuie să coincidă cu lamela  $K$ , adică

$$py \pm m = K. \quad (4.11)$$

Deci, pasul rezultat  $y$  este

$$y = \frac{K \mp m}{p}, \quad (4.12)$$

unde semnul minus ( $-$ ) corespunde înfăşurărilor ondulate multiple neîncrucișate, iar semnul plus ( $+$ ) corespunde înfăşurărilor ondulate multiple încrucișate.

Pentru ca pasul resultant  $y$  calculat în baza relației (4.12) să fie un număr întreg, numărul de crestături  $Z$  și numărul de lamele  $K$  nu poate avea o valoare oarecare dacă numărul  $p$  de perechi de poli este mai mare decât 1. De exemplu, pentru numărul  $p=2$  și  $m=2$ ,  $K$  trebuie să fie un număr par; pentru  $p=2$  și  $m=3$ ,  $K$  trebuie să fie un număr impar; pentru  $p=3$  și  $m=2$ ,  $K=14, 17, 20, 23, 26$  și aşa mai departe.

Înfăşurările ondulate multiple se pot închide o dată sau de mai multe ori pînă la de  $m$  ori, după cum  $y$  nu se împarte sau se împarte exact cu  $m$ , respectiv după cum numărul la care se împarte exact atât  $y_1$  cât și  $m$  este egal cu 1 sau este mai mare decât 1. Cele care se închid de mai multe ori se pot considera ca fiind compuse din înfăşurările ondulate simple identice așezate în aceleași crestături.

După cum se va vedea din exemplele care urmează, numărul căilor de curent la aceste înfăşurări este egal cu numărul polilor ( $a=p$ ).

*Înfăşurările ondulate multiple se mai numesc și înfăşurări serie paralel.*

Pentru a stabili în prealabil de câte ori se închide înfăşurarea, observăm că după fiecare parcurs se ajunge cu  $m$  lamele în urma lamelei de început a parcursului (în cazul înfăşurărilor neîncrucișate). Dacă  $y$  se împarte la  $m$ , atunci după  $y/m$  parcursuri înfăşurarea se închide și s-au inclus în înfăşurare numai  $\frac{py}{m} + 1$  bobine, adică  $\frac{py+m}{m} = \frac{K}{m}$  bobine; înfăşurarea se va închide deci de  $m$  ori, rezultînd astfel de fapt  $m$  înfăşurări distincte.

Ca exemplu să considerăm mai întîi o înfăşurare ondulată dublă ( $m=2$ ) tetrapolară ( $p=2$ ), avînd  $Z=28$  și  $u=1$ . Numărul de lamele la

colector este  $K=Zu=28$ . Pasul resultant calculat din relația (4.12) este

$$y = \frac{28-2}{2} = 13.$$

Pasul la spate se ia aproximativ egal cu pasul polar, adică

$$y_1 = \frac{Z}{2p} = \frac{28}{4} = 7.$$

În acest caz, din relația (4.3) rezultă pasul în față

$$y_2 = y - y_1 = 13 - 7 = 6.$$

Deoarece  $y=13$  nu se împarte exact prin  $m=2$ , înfășurarea se va închide o singură dată. În fig. 4.30 este reprezentată această înfășurare.

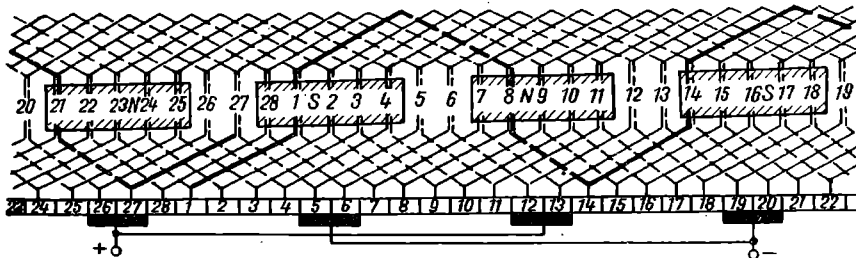


Fig. 4.30. Înfășurare ondulată multiplă (serie paralelă), închisă o dată :  $Z=28$ ,  $u=1$ ,  $p=2$ ,  $y_1=7$ ,  $y_2=6$ .

Să considerăm o înfășurare ondulată dublă ( $m=2$ ) tetrapolară, având  $Z=29$  și  $u=2$  bobine pe creștătură. Numărul de lamele la colector este  $K=Zu=29 \times 2=58$ . Pasul resultant este

$$y = \frac{K-m}{p} = \frac{58-2}{2} = 28.$$

În cazul de față înfășurarea se închide de  $m=2$  ori, deoarece  $y=28$  se împarte exact la  $m=2$ .

Pașii parțiali  $y_1$  și  $y_2$  se deduc astfel :  $y_1=\frac{58}{4}=14,5$ ; alegem  $y_1=14$  pentru a obține toate secțiile de aceeași deschidere; rezultă apoi  $y_2=y-y_1=28-14=14$  creștături elementare.

În fig. 4.31 este reprezentată schema desfășurată a acestei înfășurări. Una din înfășurări se compune din bobinele care poartă nume-

rele impare, iar a doua înfășurare din bobinele notate cu numere pare. De fapt, fiecare din cele două înfășurări este similară cu înfășurarea din fig. 4.27.

c. *Înfășurări ondulate cu bobine oarbe și înfășurări închise artificiale*

Deseori, cind se dispune de un rotor cu un număr de crestături dat sau cind la proiectare o altă variantă ne îndepărtează prea mult de soluția optimă și numărul de crestături nu este potrivit pentru a executa o infășurare ondulată (normală), se separă din înfășurare o bobină, care se izolează de rest; această bobină este denumită bobină oarbă.

Să examinăm un asemenea caz de înfășurare ondulată simplă tetrapolară cu o bobină oarbă pentru  $Z = 35$  crestături și  $K = 139$  lamele la colector.

Numărul de bobine pe crestătură este  $u = \frac{K}{Z} = \frac{139}{35} \approx 4$ ; de fapt,  $Zu = 35 \cdot 4 = 140$ . Aceasta înseamnă că o bobină dintr-o crestătură nu este inserată în schemă. De altfel, cu numărul  $Zu = 140$  nu se poate executa o infășurare ondulată simplă obisnuită, din cauză că pasul resultant  $y = \frac{Zu-1}{p} = \frac{140-1}{2} = 69\frac{1}{2}$  nu este un număr întreg.

Dacă lăsăm la o parte o bobină, pasul resultant devine  $y = \frac{K-1}{p} = \frac{139-1}{2} = 69$  lamele, iar pasul polar este  $\frac{Zu}{2p} = \frac{140}{4} = 35$  lamele; pentru a executa o infășurare cu bobine de deschideri egale, alegem  $y_1 = 36$ ; în acest caz, pasul în față rezultă  $y_2 = y - y_1 = 69 - 36 = 33$  lamele.

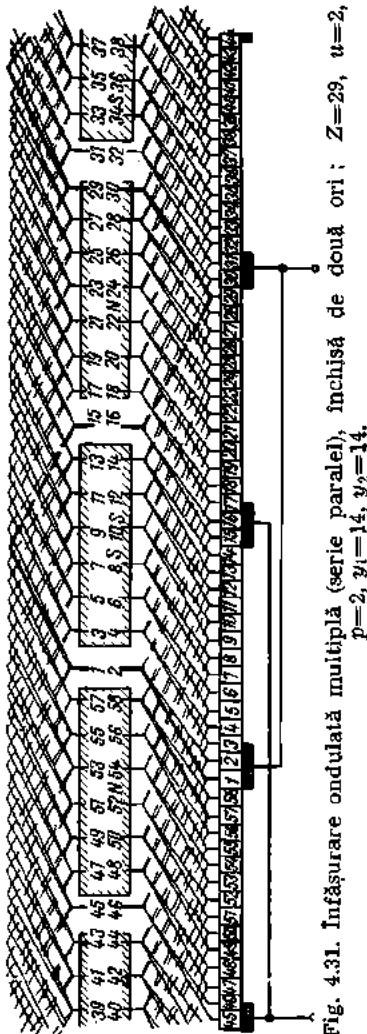


Fig. 4.31. Înfășurare ondulată multiplă (serie paralel), închisă de două ori:  $Z=29$ ,  $w=2$ ,  $p=2$ ,  $y_1=14$ ,  $y_2=14$ .

Pentru a obține bobine identice, trebuie să se treacă peste bobina care se lasă afară din circuit, prin alungirea pasului în față și nu a pasului la spate ; în rest, oricare din bobinile infășurării poate să fie aleasă drept bobina oarbă.

În fig. 4.32 este reprezentată parțial schema frontală a infășurării. Pornind de exemplu de la lamela 1, se parcurge bobina 1—37, latura

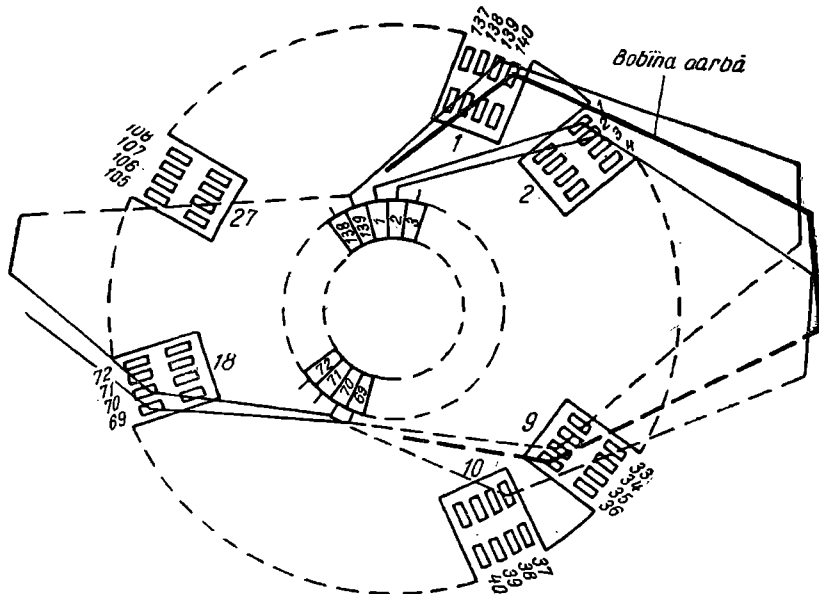


Fig. 4.32. Schema frontală a infășurării ondulate simple tetrapolare, cu bobină oarbă :  $Z=35$ ,  $K=139$ ,  $u=4$ , utilizată la un generator de curenț continuu de 10 kW.

de întoarcere 37 se conectează la lamela  $1+69=70$  ; se parcurge apoi bobina  $70-106$ , iar latura de întoarcere se leagă la lamela  $70+69=139$ , adică cu o lamelă în urma lamelei 1 de la care s-a pornit. Bobina care se lasă în afara infășurării este bobina  $140-36$ .

Pentru a nu rezulta un rotor dezechilibrat dinamic, bobina oarbă se introduce în crestături și capetele ei fie că se izolează de restul infășurării, fie că se conectează în paralel cu capetele uneia din bobinile vecine, de exemplu cu ale bobinei 139—36.

De cele mai multe ori, bobina lăsată afară inițial se inseriază corespunzător în schema de infășurare. În acest caz însă, numărul lămelelor trebuie să fie egal cu numărul bobinelor, iar *infășurarea este închisă artificial*.

Să considerăm o *înfășurare ondulată simplă închisă artificial*, având  $Z=20$ ,  $p=2$ . Numărul lamelelor la colector, pentru  $u=1$ , este  $K=20$ . Dar pentru acest număr nu se poate executa o înfășurare ondulată simplă, simetrică. Să presupunem că mașina ar avea  $Z'=K'=19$ . Pasul înfășurării ondulate simple neîncrucișate este în acest caz

$$y = \frac{K' - m}{p} = \frac{19 - 1}{2} = 9;$$

dacă pasul la spate este

$$y_1 = \frac{Z}{2p} = \frac{20}{4} = 5,$$

pasul în față rezultă

$$y_2 = y - y_1 = 9 - 5 = 4.$$

Cind se execută schema trebuie avut grijă ca toate bobinele să aibă aceeași deschidere, iar o bobină să fie lăsată afară; să presupunem că s-a lăsat la o parte bobina 10—15 și lamela notată cu cifra 9, cuprinsă între lamelele 19 și 20 (fig. 4.33). După ce s-a executat schema

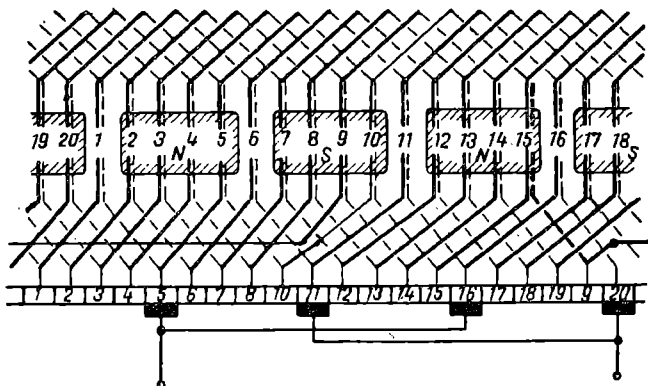


Fig. 4.33. Înfășurare ondulată simplă închisă artificial :  $Z=20$ ,  $K=20$ ,  $p=2$ .

pentru înfășurarea ondulată având  $Z'=19$  creștări, se introduce și bobina lăsată la o parte (desfacem legătura conductorului de ducere al bobinei 9—14 de la lamela 10 și executăm legătura cu racordul la lamela 9).

Practic tabelul legăturilor este următorul (sus stratul superior, jos stratul inferior) :

1	11	20	10	9	19	8	18	7	17	6	16
/	/	/	/	/	/	/	/	/	/	/	/
6	16	5	15	14	4	13	3	12	2	11	1

5	15	4	14	3	13	2	12	1
/	/	/	/	/	/	/	/	/
10	20	9	19	8	18	7	17	

Obținem astfel o înfășurare specială nesimetrică, însă fără a avea crestături goale sau lamele neutilizate, fapt care ar fi condus la deranjamente în funcționarea mașinii.

#### 4.3.3. Conexiuni echipotențiale

##### a. Rolul și tipurile de conexiuni echipotențiale

Conexiunile echipotențiale sunt legături conductoare între anumite puncte ale înfășurării indușului care ar trebui să aibă același potențial la o funcționare normală a mașinii. Aceste legături se pot face chiar între anumite lamele de colector.

Conexiunile echipotențiale au ca scop ameliorarea comutației. Pentru a înțelege mai bine rolul acestor conexiuni să considerăm o mașină de curent continuu tetrapolară și să presupunem că, în urma uzurii lagărului, întrefierul este mai mic sub o pereche de poli — sub perechea de jos — și mai mare sub cealaltă pereche (fig. 4.34, a) — sub perechea de sus. Să presupunem de asemenea că indușul are înfășurarea buclată ; în acest caz, sub fiecare pol se află cîte o cale de curent, numărul de căi de curent fiind în total  $2a=4$ . Practic în căile de curent dintre periile 1—2 și 3—2 se induc tensiuni egale ; de asemenea și tensiunile induse între periile 1—4 și 3—4 sunt egale între ele ; dar tensiunile 1—2 și 1—4 sunt diferite între ele, din cauză că bobinele acestor căi de curent se află în cîmpuri magnetice diferite. Cum periile de aceeași polaritate sunt legate împreună și cum tensiunea între periile 1—4 este mai mare decît tensiunea între periile 1—2, va apărea un curent de circulație în circuitul 1—2—4—1. În fig. 4.34, a s-a presupus că sub polul de sus cîmpul magnetic este mai slab și se induce pe calea de curent o tensiune de 80 V, iar sub polul de jos se induce tensiunea de 120 V. Schema simplificată a circuitului înfășurării este dată în fig. 4.34, b. Dacă periile 1 și 3, respectiv 2

și 4, nu ar fi legate împreună, atunci în circuitul 1—2—3—4—1 nu ar apărea nici un curent, tensiunea rezultantă fiind nulă. Însă periile 2—4 sunt legate împreună; în circuitul 1—2—4, respectiv în circuitul 3—4—2, se induce tensiunea rezultantă de 40 V, care produce un

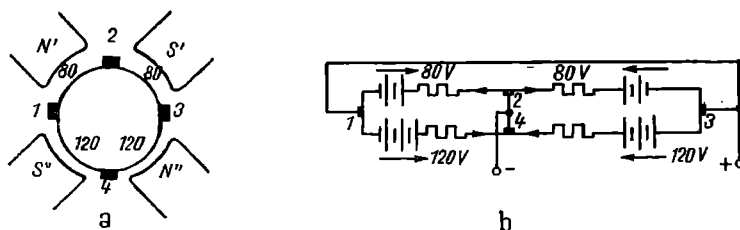


Fig. 4.34. Mașină de curent continuu cu întrefier neuniform :  
a — schema mașinii; b — circuitul echivalent al înfășurării indușului.

curent de circulație important, deoarece rezistența circuitului este foarte mică ; curentul de circulație trece prin perii ; se înrăutățește comutația și se încălzește suplimentar mașina.

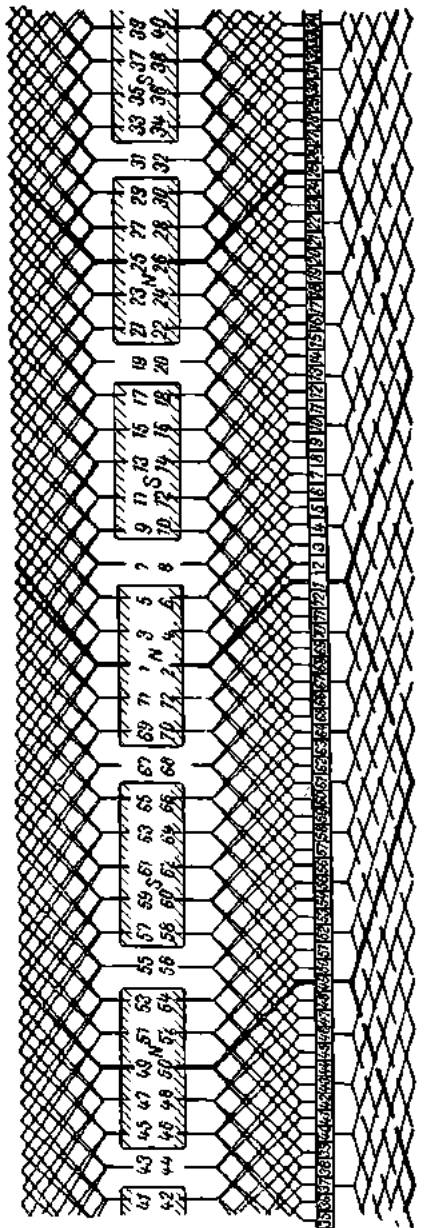
Pentru a se evita închiderea curenților de circulație prin perii, se leagă între ele punctele înfășurării care ocupă poziții identice sub polii de același nume, adică punctele care au același potențial la funcționarea normală a mașinii; aceste legături sunt denumite conexiuni echipotențiale și se efectuează de aceeași parte cu colectorul sau de partea opusă a acestuia.

Deoarece înfășurarea ondulată simplă are numai două căi de curent, iar bobinele ocupă poziții identice sub poli, tensiunile induse pe oricare din cele două căi sunt aceleași, chiar cind mașina este ne-simetrică ; de aceea, la acest tip de înfășurare nu sunt necesare conexiunile echipotențiale.

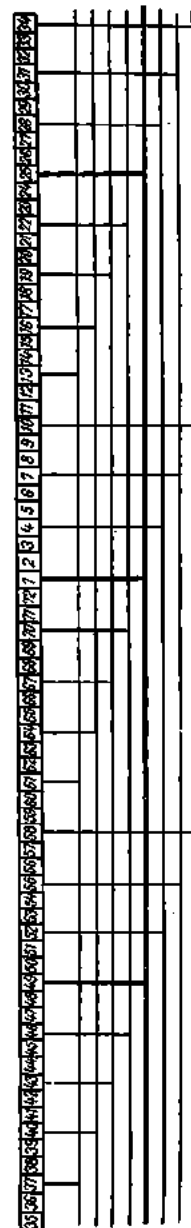
Se folosesc două tipuri principale de conexiuni echipotențiale : de speță I (denumite și de ordinul I), care se execută la înfășurările bucate simple pentru mai multe perechi de poli, și de speță a II-a (de ordinul al II-lea), care se execută la înfășurările bucate multiple și cele ondulate multiple.

### b. Numărul și secțiunea conexiunilor echipotențiale

În urma rezultatelor practice s-a constatat că este suficient să se execute conexiuni echipotențiale aproximativ din trei în trei lamele sau din două în două lamele. În fig. 4.35, a este reprezentată schema desfășurată a unei înfășurări bucate simple hexapolare ( $2p=6$ ), având



1



1

Fig. 4.35. Conexium echipotențiale de spelta I, la o înășurare buclată, simplă, hexapolară;  $Z=36$ ,  $u=2$ ; c — conexiuni în formă de capete de boala; b — conexiuni în formă de inale.

$Z=36$ ,  $u=2$ . Numărul de lamele la colector este  $K=uZ=2 \times 36=72$ , iar pașii înfășurării sint :  $y_1=\frac{K}{2p}=\frac{72}{6}=12$ ,  $y=1$  și  $y_2=y_1-y=12-1=11$ .

Pasul conexiunilor echipotențiale  $y_c$  este egal cu dublul pasului polar  $y_c=\frac{K}{p}=\frac{72}{3}=24$ ; deci lamela 1 trebuie conectată cu lamelele 25 și 49, lamela 4 cu 28 și 52 și aşa mai departe.

Conexiunile echipotențiale se pot executa sub forma unor capete de bobine în două straturi, ca în fig. 4.35, a și 4.36, b, c și d. Se pot executa conexiunile echipotențiale și prin inele (fig. 4.35, b și 4.36, a); în acest caz, dacă conexiunile se execută din 3 în 3 lamele, numărul de inele este  $y_c/3=24/3=8$  inele.

Conexiunile echipotențiale nu se pot executa întotdeauna de aceeași parte a indusului (fie pe partea dinspre colector, fie pe cea opusă colectorului); la cele de spate a II-a este necesar uneori să se execute legături între puncte echipotențiale situate pe ambele părți, din care cauză conductoarele de legătură sunt trecute prin interiorul rotorului între miez și arbore (și anume prin canalele axiale de ventilație).

Legăturile conexiunilor echipotențiale se aşază în mod obisnuit sub capetele de bobină ale înfășurării indusului (fig. 4.36, a, c, d); așezarea legăturilor echipotențiale pe partea colectorului (fig. 4.36, c)

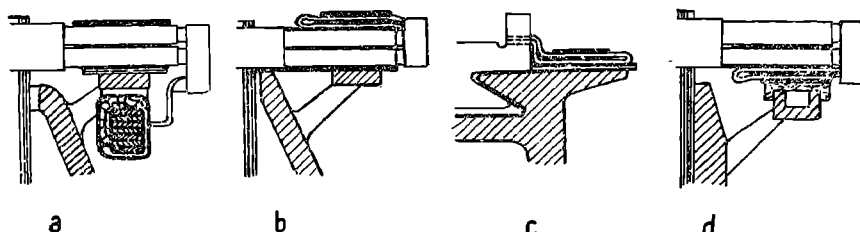


Fig. 4.36. Poziția conexiunilor echipotențiale :  
a — conexiuni circulare; b, c și d — conexiuni transversale.

este mai simplă din punct de vedere tehnologic, în schimb, pentru eliminarea unui defect care poate surveni la conexiunile echipotențiale, este necesar ca în prealabil să se desfacă legăturile la colector.

Secțiunea conductorului cu care se execută legăturile este cuprinsă între  $1/4$  și  $1/2$  din secțiunea conductorului înfășurării indusului, în funcție de puterea mașinii, de rezultatele experimentale obținute și de numărul conexiunilor realizate pe perechea de poli. Dacă se exe-

cută conexiuni echipotențiale din 2 în 2 lamele, secțiunea conducto-rului de legătură poate fi mai mică decât în cazul cind legăturile se execută din 3 în 3 lamele.

#### 4.3.4. Înfășurări combinate

##### a. Tipuri de înfășurări combinate

Înfășurarea combinată, cunoscută în literatură și sub numele de înfășurare *tip broască*, se compune din două înfășurări, dintre care una ondulată multiplă de ordinul  $m=p=a$ , iar alta buclată simplă (la care  $a=p$ ) ; cele două înfășurări sunt conectate la același colector și sunt situate în aceleași crestături. La acest tip de înfășurare nu mai sunt necesare conexiunile echipotențiale. Aceste înfășurări se execută de obicei în patru straturi. La fiecare lamelă de colector se leagă patru conductoare : două aparținînă înfășurării ondulate, iar două celei buclate.

Pentru ca înfășurarea să se poată executa este necesar ca pasul rezultant al înfășurării ondulate neîncrucișate  $y_o = \frac{K-m}{p}$  să fie un număr întreg. Deoarece înfășurarea ondulată este multiplă de ordinul  $p$ , se obține  $y_o = \frac{K}{p} - 1 =$  număr întreg, adică numărul de lamele trebuie să se împartă exact la numărul de perechi de poli.

Așa cum se arată și în fig. 4.37, pașii la spate ai celor două înfășurări trebuie să fie egali. Pasul rezultant al înfășurării *ondulate ne-*

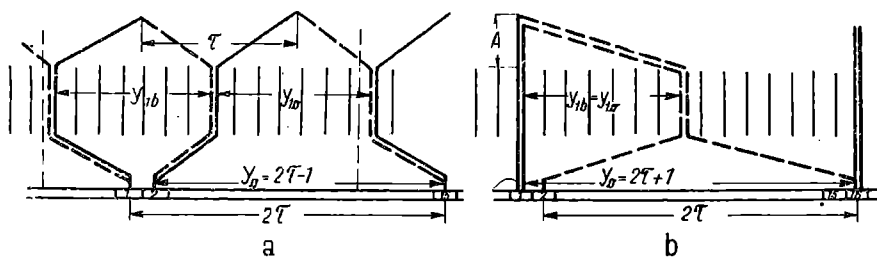


Fig. 4.37. Bobine ale înfășurărilor combinate :  
a — tip Latour; b — tip BBC.

*încrucișate* (fig. 4.37, a) este mai mic decât dublul pasului polar ; înfășurarea obținută este denumită *înfășurare tip Latour*. În cazul *înfășurării ondulate încrucișate* (fig. 4.37, b), pasul rezultant este mai mare decât dublul pasului polar, iar înfășurarea combinată obținută este denumită *înfășurare tip BBC*.

**Exemplu.** În fig. 4.38, pentru claritate s-au reprezentat prin culori diferite schemele desfășurate ale unei înfășurări combinate tetrapolare având  $Z=28$  crestături,  $u=1$ ; pasul rezultant al înfășurării ondulate neîncrucișate este  $y_o = \frac{Z-m}{p} = \frac{28-2}{2} = 13$ ; pasul la spate al înfășurării bucate este  $y_{lb} = \frac{K}{2p} = \frac{28}{4} = 7$ . Alegem deci și pasul la spate al înfășurării ondulate multiple de ordinul

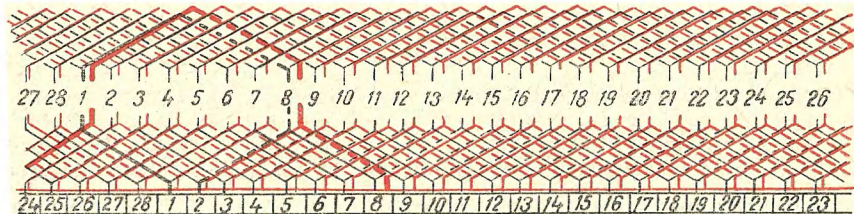
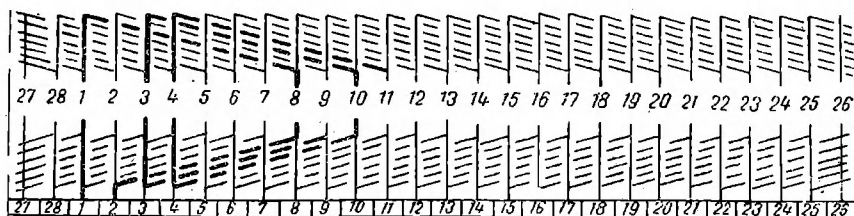
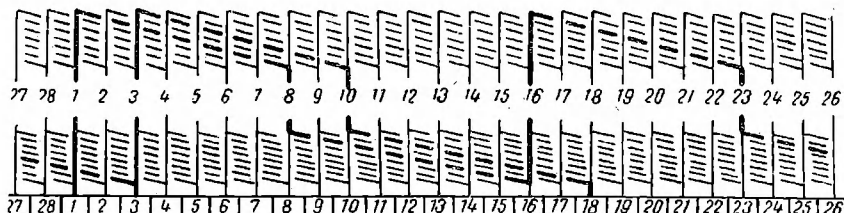


Fig. 4.38. Înfășurare combinată tetrapolară (colectorul comun) tip Latour,  $Z=28$  (cu culoare roșie este reprezentată înfășurarea ondulată).

nul al II-lea,  $y_{1o}=y_{lb}=7$ . Deducem mai departe pașii înfășurării ondulate  $y_{2o}=y_o-y_{1o}=13-7=6$  și cei ai înfășurării bucate simple ( $y_b=1$ ),  $y_{2b}=y_{lb}-y_b=7-1=6$ .



a



b

Fig. 4.39. Înfășurare combinată tetrapolară (colectorul comun), tip BBC,  $Z=28$  : a — înfășurarea bucată; b — înfășurarea ondulată.

Remarcăm că putem alege pasul la spate al înfășurării bucate  $y_{1b}=6$ ; în acest caz pasul  $y_{1o}$  al înfășurării ondulate poate fi de asemenea 6 sau 8; însă bobinele celor două înfășurări trebuie să fie așezate simetric față de axa polului pe care îl îmbrățișează; pasii 6 și 8 sunt echivalenți în acest caz.

**Exemplu.** În fig. 4.39, a și b, pentru mai multă claritate s-au reprezentat separat schemele desfășurate ale unei înfășurări combinate tetrapolare avind în principal aceleași caracteristici ( $Z=28$  crestături și  $u=1$ ) ca înfășurarea precedentă; înfășurarea buclată are pasii  $y_{1b}=7$ ,  $y_{2b}=6$ ,  $y_b=1$ ; înfășurarea ondulată este încrucișată și are pasii  $y_o = \frac{Z+m}{p} = \frac{28+2}{2} = 15$ ,  $y_{1o}=y_{1b}=7$ , iar  $y_{2o}=y_o-y_{1o}=15-7=8$ .

Spre deosebire de tipul de înfășurare din exemplul precedent, schema adoptată în acest caz este întrucîntă mai ușor de executat, deoarece bobinele celor două înfășurări fiind așezate în aceleași crestături, capetele laturilor de ducere se leagă la aceeași lameлă de colector, iar capetele laturilor de întoarcere, la lamele distanțate între ele cu dublul pasului, adică cu  $\frac{K}{p}$  lamele. Consumul de material conductor este însă ceva mai mare la acest tip de înfășurare, din cauza alungirii capetelor de bobine în urma încrucișării și datorită formei speciale a capetelor de bobine; capetele de bobină ale ambelor înfășurări sunt mai lungi decât cele ale înfășurării precedente (tip Latour) cu lungimea cu care acestea ies din crestătură (lungimea  $A$  din fig. 4.37, b). Consumul suplimentar de material este neînsemnat la înfășurările cu spire multe pe bobină, însă devine important la înfășurările executate din bare, în special la acelea care au de exemplu patru bare pe crestătură.

### b. Particularitățile constructive ale înfășurărilor combinate

Numărul căilor de curent ale celor două înfășurări din care se compune înfășurarea combinată trebuie să fie același; numărul de căi de curent ale înfășurării bucate fiind în general  $2m_b p$  ( $m_b$  este ordinul de multiplicitate al înfășurării bucate), înfășurarea ondulată trebuie să aibă  $2m_o = 2m_b p$  căi de curent, adică trebuie să fie multiplă de ordinul  $m_o = m_b p$  ( $m_o$  fiind ordinul de multiplicitate al înfășurării ondulate).

Înfășurarea combinată are deci în total  $2m_b p + 2m_o = 4m_b p$  căi de curent, iar la calculul numărului de conductoare ale înfășurării trebuie să se ia  $a = 2m_b p$ , adică numărul perechilor de căi de curent ale înfășurării combinate se ia egal cu numărul căilor de curent ale unei singure înfășurări.

Așezarea în crestături a celor două înfășurări buclată și ondulată este deosebit de simplă pentru a realiza o înfășurare combinată, dacă una din înfășurări se aşază la fundul crestăturilor, iar cealaltă peste prima (fig. 4.40, a). Tensiunea dintre straturi fiind aproximativ egală cu tensiunea la borne, fiecare strat trebuie izolat corespunzător unul

față de altul. De remarcat că în cazul înfășurărilor executate din bară, înfășurarea situată spre deschiderea crestăturilor se va încălzi mai mult din cauza pierderilor suplimentare care se produc în barele acestei înfășurări.

Un alt mod de executare a înfășurării combinate este următorul : se aşază la fundul crestăturii o latură a înfășurării ondulate (și anume latura de ducere), apoi se aşază o latură a înfășurării bucate (și

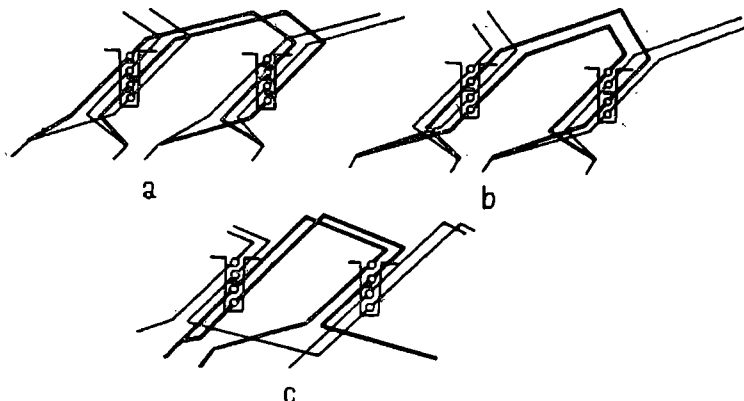


Fig. 4.40. Poziția în crestătură a bobinelor înfășurărilor combinate.

anume latura de întoarcere a înfășurării Latour sau de ducere a înfășurării *BBC*), se introduce o izolație și apoi se aşază cealaltă latură a înfășurării bucate și respectiv cea a înfășurării ondulate (fig. 4.40, b și c). În acest caz, spațiul crestăturii este mai bine utilizat, iar diferența dintre pierderile în înfășurări se micșorează sensibil.

În cazul înfășurării tip *BBC* în bare, conductoarele drepte care formează latura din stînga vor fi contopite într-unul singur, astfel încit laturile de dus, atît ale înfășurării bucate cît și ale celei ondulate, să fie formate dintr-un singur conductor, avînd secțiunea de două ori mai mare decît secțiunea fiecărui conductor de întoarcere.

#### 4.3.5. Alegerea tipului de înfășurare

La executarea mașinilor noi și la rebobinarea mașinilor mai vechi se pune problema alegerii tipului de înfășurare ; evident, această operație este mai ușor de făcut cînd putem alege și numărul de lamele și numărul de crestături.

*Înfășurările ondulate simple* se utilizează la toate mașinile la care numărul de perechi de poli este mai mare decât 1, tensiunea la bornele indusului mașinii este relativ mare, iar curentul total prin indus este sub 400—500 A ; puterea maximă a mașinii care se echipiază cu acest tip de înfășurare este în general de 80 kW la 110 V, 150 kW la 220 V sau 300 kW la 440 V. Acest tip de înfășurare nu necesită conexiuni echipotențiale.

*Înfășurările buclate simple* se utilizează la toate mașinile bipolare de puteri mici, datorită simplității tehnologice și absenței conexiunilor echipotențiale ; acest tip de înfășurare se folosește și la mașinile de curent continuu multipolare de putere mai mare de 300 kW, însă în acest caz este bine să se execute cu conexiuni echipotențiale.

*Înfășurările ondulate multiple* se utilizează la mașinile de curent continuu care au tensiunea la borne de 220 V sau mai mare, iar curentul peste 500 A.

*Înfășurările buclate multiple* se utilizează la mașinile de tensiune relativ joasă și curenți foarte mari.

*Înfășurările combinate*, care prezintă calități deosebite în privința comutației, se utilizează la mașinile de curent continuu cu șouri mari de sarcină, care creează dificultăți de comutație ; absența conexiunilor echipotențiale simplifică construcția înfășurărilor indusului și compensează în parte dificultatea de a executa practic două înfășurări pe același indus.

În tabela 4.1 sunt grupate caracteristicile înfășurărilor și domeniul lor de aplicare.

De exemplu, la locomotiva Diesel-electrică, produsă de Uzinele Electropuțere-Craiova, mașinile electrice de curent continuu principale au următoarele tipuri de înfășurări în indus :

— *Generatorul principal* (1 350 kW, 500 V, 2 700 A, 1 080 rot/min) este echipat în indus cu o înfășurare combinată cu 10 poli, repartizată în 190 crestături și racordată la 380 lamele ; pasul de întoarcere al înfășurărilor buclată și ondulată este același  $y_{1b} = y_{1o} = 36$  ; înfășurarea are  $a=10$  perechi căi de curent (curentul pe cale de curent  $I_c=135$  A).

— *Motorul principal* (194 kW, 250 V, 900 A, 425 rot/min) este echipat în indus cu o înfășurare buclată simplă cu șase poli, repartizată în 75 crestături și racordată la 300 lamele ; pasul de întoarcere al înfășurării este  $y_i=48$ . Înfășurarea este echipată cu legături echipotențiale din 4 în 4 lamele cu pasul ( $y_c=75$ ) și are  $a=3$  perechi de căi de curent (curentul pe cale de curent  $I_c=150$  A).

— *Generatorul auxiliar* (72 kW, 175 V, 430 A, 1 080 rot/min) este echipat în indus cu o înfășurare ondulată simplă cu opt poli, repartizată în 149 crestături și racordată la 149 lamele ; pasul de întoarcere este  $y_i=18$  ; înfășurarea are  $a=1$  pereche de căi de curent (curentul pe cale de curent  $I_c=215$  A).

În general, cînd se rebobinează mașinile de curent continuu se execută același tip de înfășurare în indus, pe care au avut-o anterior.

Tabela 4.1

## Caracteristicile înfășurărilor tip induc de curent continuu și domeniul de aplicare

Tipul de înfășurare	$y$	$y_1$	$y_2$	$2a$	Domeniul principal de aplicare
Buclată simplă	$(\pm) 1$	$\frac{K}{2p} \pm \epsilon$	$y_1 - y$	$2p$	La mașini de puteri 50—500 kW și tensiuni 110—220 V sau peste 500 kW și 400—600 V
Buclată multiplă	$(\pm) m$	$\frac{K}{2p} \pm \epsilon$	$y_1 - y$	$2mp$	La mașini — de puteri pînă la 50 kW și tensiuni pînă la 24 V — sau peste 500 kW și tensiuni sub 400—600 V
Ondulată simplă	$\frac{K(\mp) 1}{p}$	$\frac{K}{2p} \pm \epsilon$	$y - y_1$	$2$	La mașini — de puteri pînă la 50 kW și tensiuni 110—220 V — de puteri 50—500 kW și tensiuni peste 400 V
Ondulată multiplă	$\frac{K(\mp) m}{p}$	$\frac{K}{2p} \pm \epsilon$	$y - y_1$	$2m$	La mașini de puteri 50—500 kW și tensiuni 400—600 V
Combinată	$(\pm) 1$ și $\frac{K(\mp) m}{p}$	$y_{1b} + y_{1o} =$ $= \frac{K}{p}$	$y_{2b} = y_{2o}$	$4mp$	La mașini de puteri mari de 500 kW

Prin schimbarea tipului de înfășurare se pot schimba și caracteristicile mașinii, deoarece tensiunea inducă și curentul total prin induc depind de numărul de căi de curent  $2a$ , după cum se vede din relațiile :

$$E = \frac{2p}{2a} n N \alpha_t \tau l_i B_\delta; \quad (4.13)$$

$$I_a = I / 2a, \quad (4.14)$$

în care  $I_a$  este curentul admisibil pe calea de curent.

Astfel, de exemplu, dacă se transformă o înfășurare buclată simplă avînd  $p$  perechi de poli într-o înfășurare ondulată simplă, tensiunea la bornele mașinii crește de  $p$  ori, iar curentul scade de  $p$  ori;

mașina are după rebobinare aceeași putere, însă tensiunea la borne devine  $pU$  și curentul  $\frac{I}{p}$ , deoarece înfășurarea buclată are  $2p$  căi de curent, iar cea ondulată numai două căi de curent. Sensul în care se schimbă caracteristicile mașinii indică și domeniul pentru care se folosesc diferitele tipuri de înfășurări; pe baza acestor considerații rezultă, aşa cum s-a mai spus, că înfășurarea buclată se folosește pentru tensiuni relativ joase și curenți mari, iar cea ondulată pentru tensiuni relativ ridicate și curenți relativ mici (400—500 A).

#### 4.4. REBOBINAREA INDUSULUI MAȘINILOR DE CURENT CONTINUU

În general, cînd se rebobinează integral o mașină de curent continuu, nu apar probleme tehnologice diferite de cele întîlnite la executarea mașinilor electrice noi. Singura problemă mai deosebită apare la întocmirea schemei de înfășurare și a schemei de conexiuni și aceasta îndeosebi cînd se schimbă înfășurarea în vederea realizării unor caracteristici deosebite de cele pe care le-a avut mașina inițial.

Rebobinarea unei mașini după aceeași schemă pe care a avut-o mașina necesită identificarea schemei de înfășurare a înfășurării defecte sau, în cazul cînd mașina nu mai are înfășurarea originală, este necesară recalcularea caracteristicilor acestei înfășurări în funcție de datele nominale ale mașinii.

În ceea ce privește schimbarea caracterelor de funcționare, în cele ce urmează vom avea în vedere îndeosebi schimbarea vitezei, menținînd aceeași tensiune la bornele mașinii, și schimbarea tensiunii la borne cînd vîtea este constantă.

##### 4.4.1. Determinarea schemei și a caracteristicilor înfășurării tip indus de curent continuu

Caracteristicile principale care ne interesează la rebobinarea unei mașini sint următoarele :

- numărul de conductoare pe crestătură,  $N_c$ , respectiv numărul de spire pe bobină,  $w_b$  ;
- secțiunea conductorului,  $s_c$  ;
- tipul izolației conductorului (acoperit de două ori cu bumbac sau email, învelit o dată cu bumbac, învelit cu bandă albă etc.).

Pentru înfășurarea indușului și în parte și la înfășurarea de com pensare, mai sînt necesare :

- pasul bobinei,  $y_1$ , și pasul de legătură,  $y_2$  ;
- pasul la colector,  $y$  ;
- numărul de creștări,  $Z$  ;
- numărul de lamele la colector,  $K$  ;
- pasul legăturilor echipotențiale.

Nu întotdeauna este suficient să urmărim o singură bobină pentru a stabili care sunt pașii înfășurării, fiindcă este posibil ca înfășurarea să fie executată în trepte ; de aceea este necesar să se stabiliească pașii pentru cel puțin  $u = \frac{K}{Z}$  bobine succesive.

Pentru a evita un nou calcul este util să se măsoare diametrul sîrmei și numărul de spire care formează bandajul de consolidare a capetelor de bobină.

În funcție de starea înfășurării, este necesar să se identifice izolația creștării și dimensiunile acesteia, pentru a folosi eventual la rebobinare o izolație de aceeași clasă.

De asemenea este util ca, în cazul înfășurărilor din induș așezate în creștări deschise sau semideschise, să se scoată o bobină intactă, pentru a putea examina forma și a stabili mai ușor dacă este o înfășurare normală (cu bobine egale), în trepte sau specială.

Numărul de conductoare în paralel se deduce direct urmărind legăturile dintre bobine și legăturile la colector sau stabilind numărul de conductoare care aparțin aceleiași bobine și sint legate la aceleași lamele de colector.

La înfășurările în bare, care au fost introduse radial în creștătură, se recomandă ca barele să fie scoase pe cît posibil intacte, fără îndoiri, deoarece după înlocuirea izolației conductorului și creștării se pot utiliza aceleiasi bare.

Înfășurările combinate se identifică în mod asemănător, stabilind pe rînd caracteristicile fiecărei înfășurări.

La înfășurarea de excitație și a polilor auxiliari, după ce s-a ridicat schema de conexiuni a bobinelor și s-a notat poziția bobinelor pe pol, în caz că sunt mai multe, se demontează bobinele de pe poli și se măsoară dimensiunile interioare ale fiecărei bobine și înălțimea acesteia. În cazul bobinelor de dimensiuni mari și al unui conductor rotund de secțiune mică, dacă nu dispunem de conductorul respectiv, este posibil să se utilizeze din nou același conductor după ce a fost rezisat corespunzător. Trebuie avut grijă ca la desfacerea unei bobine să se noteze numărul de spire pe fiecare strat și numărul de straturi care au același număr de spire pe strat, pentru a putea executa mai ușor bobina.

De multe ori, cînd nu se dispune de un conductor de aceeași secțiune cu secțiunea conductorului original, se recurge la secțiunea imediat inferioară, fiindcă alegînd una superioară s-ar putea ca înfășurarea să nu încapă în crestături. În acest caz, însă, puterea mașinii scade în raport cu secțiunile.

**Exemplu.** La o mașină de 3 kW, bobinată cu un conductor avînd diametrul de 2 mm ( $s_{cl} = 3,14 \text{ mm}^2$ ), dacă se va rebobina ulterior cu un conductor de 1,8 mm ( $s_{cr} = 2,54 \text{ mm}^2$ ), puterea mașinii va fi numai

$$P_r = P_t \frac{s_{cr}}{s_{cl}} = 3 \cdot \frac{\frac{3,14 \cdot 1,8^2}{4}}{\frac{3,14 \cdot 2^2}{4}} = 3 \frac{1,8^2}{2^2} = 2,43 \text{ kW},$$

(unde  $P_r$  este puterea nominală obținută la mașina rebobinată, iar  $P_t$  este puterea la mașina inițială), în ipoteză că densitatea de curent rămîne ne-schimbătă.

Dacă se mențin pierderile în înfășurare

$$\rho J_r^2 l_c s_{cr} = \rho J_t^2 l_c s_{cl};$$

rezultă astfel

$$\frac{P_r}{P_t} = \frac{UI_r}{UI_t} = \frac{s_{cr} I_r}{s_{cl} I_t} = \sqrt{\frac{s_{cr}}{s_{cl}}} = \frac{d_r}{d_t} = \frac{1,8}{2}; \text{ adică } P_r = 2,7 \text{ kW}.$$

#### 4.4.2. Calculul dimensiunilor înfășurării indusului mașinii de curent continuu

Cînd se execută înfășurarea este necesar să se cunoască secțiunea conductorului  $S_c$ , numărul de conductoare  $N$  și lungimea unui conductor. Pentru calculul acestor caracteristici ale înfășurării este util să se precizeze în prealabil :

- numărul de poli  $2p$  ai mașinii (este vorba de polii principali), care la o mașină dată se pot identifica ușor examinînd statorul mașinii ;
- turația mașinii ;
- dimensiunile constructive ale indusului și anume, lungimea și diametrul exterior ale rotorului ;
- tensiunea  $U$ , la bornele indusului și puterea  $P$  a mașinii ;
- tipul de înfășurare, pentru a cunoaște numărul căilor de curent.

Pentru calculul secțiunii conductorului se alege densitatea de curent  $J$  (pentru conductoarele de cupru se ia între 3,6 și 7 A/mm<sup>2</sup> și anume la mașinile mai mici se iau valori mai mari ; la micromasini

densitatea de curent se ia egală aproximativ cu  $10—12 \text{ A/mm}^2$ ; se calculează și curentul prin indus din relația

$$I = \frac{P}{U_b} [\text{A}]. \quad (4.15)$$

respectiv curentul pe calea de curent

$$I_a = \frac{I}{2a} [\text{A}]; \quad (4.16)$$

puterea  $P$  se ia în wați.

Secțiunea conductorului este

$$s_c = \frac{I_a}{J} [\text{mm}^2]; \quad (4.17)$$

în continuare se rotunjește această valoare obținută la una standardizată imediat superioară sau inferioară.

Numărul de conductoare se determină din relația

$$N = \frac{60kU_b}{\frac{p}{a} n \alpha_i \tau l_i B_\delta}, \quad (4.18)$$

în care  $k$  se ia aproximativ egal cu  $1,1—1,2$  la generatoare și  $0,9—0,8$  la motoare;  $\alpha_i = 0,65 \dots 0,75$  la mașinile cu poli auxiliari iar la cele fără poli auxiliari se poate lua  $\alpha_i = 0,7 \dots 0,8$  (prin acest coeficient se ține seama de faptul că la un moment dat nu toate conductoarele sunt situate în cîmpul magnetic  $B_\delta$ , ci numai cele care sunt repartizate sub piesa polară);  $n$  este turăția mașinii și se ia în număr de rotații pe minut;  $\tau$  este pasul polar și se calculează din relația  $\tau = \frac{3,14 D}{2p}$ ;  $B_\delta$  este inducția în întrefier și se ia între limitele  $0,4$  și  $0,8 \text{ Wb/m}^2$ , în funcție de diametrul mașinii (la mașini mici se iau valori mai mici ale inducției). În formula (4.18) dimensiunile  $\tau$  și  $l$  trebuie luate în metri.

De observat că numărul de conductoare active trebuie să se împartă exact la  $2K$  (la dublul lamelelor de colector), deoarece la fiecare lamelă urmează să se lege minimum cîte două conductoare, iar numărul de conductoare cuprins între un conductor de dus și unul de întors este un număr par (adică se împarte exact la 2). Dacă din relația (4.18) rezultă un număr  $N$  care nu se împarte exact la  $2K$ , rotunjim acest număr la unul imediat superior sau inferior care îndeplinește această condiție.

Lungimea conductorului (semispirei) se calculează din relația

$$l_c = l + 2c + 1,15\tau + 3,14h, \quad (4.19)$$

în care :

- $l$  — este lungimea indusului ;
- $c$  — lungimea cu care ieșe conductorul drept afară din crestătură (fig. 4.41) și se ia egală cu 0,5—1,5 cm, în funcție de tensiunea mașinii ;
- $\tau$  — pasul polar și
- $h$  — înălțimea crestăturii.

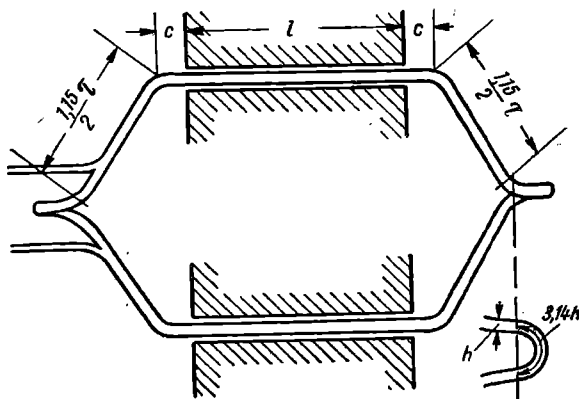


Fig. 4.41. Determinarea lungimii conductorului.

Cunoscând aceste mărimi, se poate calcula aproximativ greutatea totală a conductorului necesar pentru executarea înfășurării indușului, astfel :

$$G = 8,9 \frac{Nl_c s_c}{1000} [\text{kgf}], \quad (4.20)$$

dacă  $l_c$  se ia în metri și  $s_c$  în milimetri pătrați.

De asemenea, se poate calcula și rezistența  $R$  a înfășurării indușului între cele două borne ale indușului

$$R = \rho \frac{1}{(2a)^2} \frac{Nl_c}{s_c} [\Omega], \quad (4.21)$$

unde :  $\rho$  este rezistivitatea materialului conductor ;

$2a$  — numărul de căi de curent ;

$N$  — numărul de conductoare ;

$l_c$  — lungimea unui conductor, în m ;

$s_c$  — aria secțiunii conductorului, în  $\text{mm}^2$ .

**Exemplu.** Un generator de curent continuu tetrapolar ( $2p=4$ ) are puterea  $P=20$  kW, tensiunea la borne  $U_b=230$  V, diametrul indușului  $D=27,5$  cm (pasul polar  $\frac{3,14D}{2p} = \frac{3,14 \cdot 27,5}{4} = 22$  cm), lungimea indușului  $l=14$  cm, numărul de creșături  $Z=43$ , iar numărul de lamele  $K=129$ . Turația mașinii este  $n=970$  rot/min.

Alegem în induș o înfășurare ondulată simplă ( $a=1$ ).

**Secțiunea conductorului.** Calculăm mai întii curentul

$$I = \frac{P}{U_b} = \frac{20\ 000}{230} = 87 \text{ A},$$

iar apoi curentul pe cale de curent

$$I_c = \frac{I}{2a} = \frac{87}{2} = 43,5 \text{ A}.$$

Alegem preliminar densitatea de curent  $J=5$  A/mm<sup>2</sup> și obținem

$$s_c = \frac{I_c}{J} = \frac{43,5}{5} = 8,7 \text{ mm}^2;$$

rotunjim, de exemplu, valoarea secțiunii la  $s_c=8,76$  m<sup>2</sup> ( $4,4 \times 2,1$  mm<sup>2</sup>), care este o secțiune standardizată.

**Numărul de conductoare.** Alegem inducția  $B_\delta=0,75$  Wb/m<sup>2</sup> și  $\alpha_l=0,7$ . Deoarece mașina funcționează ca generator, luăm  $k=1,1$ . Numărul de conductoare este

$$N = \frac{60kU_b}{\frac{p}{a}n\alpha_l\tau l_i B_\delta} = \frac{60 \cdot 1,1 \cdot 230}{\frac{2}{1} \cdot 970 \cdot 0,7 \cdot 0,22 \cdot 0,14 \cdot 0,75} = 484 \text{ (conductoare).}$$

Rotunjim pe  $N$  la 516, deoarece acesta este numărul cel mai apropiat de 484 care se împarte exact cu  $2K=258$ .

Alegem  $c=1$  cm, iar înălțimea creșăturii este aproximativ  $h=3$  cm.

**Lungimea medie a conductorului** este

$$l_c = l + 2c + 1,15 + 3,14h = 14 + 2 \cdot 1 + 1,15 \cdot 22 + 3,14 \cdot 3 \approx 50 \text{ cm} = 0,5 \text{ m.}$$

**Greutatea conductorului** pentru realizarea înfășurării este

$$G = 8,9 \frac{Nl_c s_c}{1\ 000} = 8,9 \frac{516 \cdot 0,5 \cdot 8,76}{1\ 000} \approx 20,1 \text{ kgf.}$$

**Rezistența înfășurării** este

$$R = \rho \frac{1}{(za)^2} \frac{Nl_c}{s_c} = 0,017 \frac{1}{2^2} \frac{516 \cdot 0,5}{8,76} = 0,125 \Omega.$$

#### 4.4.3. Rebobinarea unei mașini de curent continuu în vederea schimbării caracteristicilor

În general, la o mașină de curent continuu nu se schimbă numărul de poli, deoarece ar însemna să se intervină și asupra miezului feromagnetic, dar se pot schimba relativ ușor caracteristicile de funcționare, modificând în parte sau radical infășurările statorului și rotorului.

Cele mai frecvente schimbări sunt fie schimbarea tensiunii, fie a turației, fie chiar ambele. Schimbarea uneia din mărimi atrage după sine schimbarea și a altor mărimi, însă solicitările electromagnetice trebuie să rămână în principal aceleași.

Soluția cea mai potrivită, care să nu influențeze sensibil puterea mașinii, se poate găsi numai cunoștință bine mașina și identificând în prealabil toate caracteristicile pe care le-a avut infășurările. Vom examina pe rînd principalele soluții care se pot da pentru fiecare caz în parte.

##### a. Schimbarea valorii tensiunii nominale

Deseori intervine în practică schimbarea tensiunii la bornele unui motor de curent continuu, dată fiind o nouă sursă de care se dispune, sau schimbarea tensiunii unui generator în vederea utilizării sale în alte scopuri (de exemplu, transformarea unei mașini de curent continuu de uz general în vederea încărcării acumulatoarelor). Schimbarea tensiunii atrage totodată schimbarea curentului, puterea rămînind practic constantă.

De observat că tensiunea la bornele mașinii nu poate crește peste valoarea care rezultă din relația

$$U = \frac{K}{2p} u, \quad (4.22)$$

în care  $u$  este tensiunea admisibilă între lamele și are valoarea 10—20 V (valorile mai mici corespund la mașinile mici). Depășirea valorii indicate pentru tensiunea între lamele conduce la apariția scînteilor pe suprafața colectorului, în zona dintre perii.

Din relația tensiunii induse (4.13) rezultă că pentru a schimba infășurarea indusului în vederea obținerii unei alte tensiuni induse la aceeași viteză de rotație  $n$  a mașinii și la aceleași solicitări magnetice și date constructive (aceeași inducție  $B_s$ , aceleași dimensiuni  $l_i$ ,  $t$  și aceeași construcție a polului, adică același  $\alpha_i$ ), singurele mărimi asupra cărora se poate interveni cu ușurință sunt :

- numărul de perechi de căi de curent,  $a$ ;
- numărul total de conductoare  $N$  ale infășurării indusului.

După cum s-a arătat, numărul de poli se schimbă mai rar.

Prin schimbarea numărului  $2a$  de căi de curent se schimbă nu numai tensiunea, dar și curentul  $I$ , deoarece curentul total prin inducție este  $I=2aI_c$  (unde  $I_c$  este curentul pe calea de curent și rămâne constant) ; puterea mașinii rămâne însă constantă.

La fel, prin schimbarea numărului de conductoare  $N$  se schimbă secțiunea conductorului, pentru ca să încapă înfășurarea în crestături ; și în acest caz puterea mașinii rămâne aproximativ constantă.

Să examinăm pe rînd aceste soluții.

**Schimbarea numărului de căi de curent.** Numărul de perechi de căi de curent se poate schimba numai în trepte, fiindcă  $a$  poate lua numai valori întregi : 1, 2, 3, ... Micșorarea numărului de căi de curent atrage după sine mărirea tensiunii în același raport (și invers, mărirea numărului de căi de curent conduce la micșorarea tensiunii). Schimbarea numărului de căi de curent impune de obicei schimbarea tipului de înfășurare. La înfășurările buclate multiple de ordinul  $m_b$ , și având  $p$  perechi de poli, numărul de perechi de căi de curent este  $a_b = m_b p$ , iar la cele ondulate multiple de ordinul  $m_0$  și tot pentru  $p$  perechi de poli, acest număr este  $a_0 = m_0$ .

Observăm astfel că transformînd o înfășurare buclată simplă avînd  $a_b = p$  într-o înfășurare buclată multiplă de ordinul  $m_b$ , tensiunea scade de  $m_b$  ori ; la fel și pentru înfășurarea ondulată.

Se poate schimba însă și tipul de înfășurare ; astfel, menținînd același ordin de multiplicitate  $m$ , dacă transformăm o înfășurare buclată într-o înfășurare ondulată, numărul de căi de curent  $a$  scade de  $\frac{a_b}{a_0} = \frac{mp}{m} = p$  ori, iar tensiunea crește de  $p$  ori și invers.

Nu este posibil însă să se execute o înfășurare ondulată pentru oricare număr de crestături ; de aceea, la elaborarea schemei pentru înfășurarea ondulată este nevoie să se recurgă uneori la alegerea unei înfășurări închise artificial, care este mai complicat de executat. Astfel nu întotdeauna este ușor de transformat o înfășurare pentru o tensiune înaltă, prin schimbarea tipului de înfășurare. În schimb, în locul unei înfășurări ondulate se poate executa întotdeauna o înfășurare buclată.

Din considerațiile de mai înainte deducem că, la înfășurările bipolare, schimbarea tensiunii înfășurării se poate face numai prin schimbarea ordinului de multiplicitate ; astfel, o înfășurare multiplă de ordinul  $m$  și pentru tensiunea  $U$  se poate transforma într-o înfășurare multiplă de alt ordin  $m'$  și tensiunea  $U'$ , tensiunea schimbîndu-se aproximativ în raportul  $U' = U \frac{m}{m'}$ .

Înfășurarea care are  $a=1$  și este construită pentru tensiunea  $U$  nu se poate transforma prin micșorarea numărului de căi de curent într-o înfășurare pentru o tensiune mai mare decât  $U$ , fiindcă numărul de căi de curent  $a$  nu poate fi subunitar.

Schimbarea numărului perechilor de căi de curent numai prin schimbarea tipului de înfășurare realizată prin modificarea potrivită a legăturilor la colector conduce la o simplificare a procesului tehnologic; schimbarea tipului de înfășurare se poate executa fără a fi necesară rebobinarea integrală a mașinii, numai prin schimbarea legăturilor la colector, dacă acestea sunt suficient de flexibile.

**Exemplu.** O mașină are tensiunea la borne 220 V, iar înfășurarea indusului este ondulată simplă cu următoarele caracteristici:  $Z=K=29$ ,  $2p=4$  și este executată conform indicațiilor din exemplul 1 de la § 4.3.2. b (v. fig. 4.27); se pune problema schimbării înfășurării pentru a obține o tensiune la borne de 110 V, la aceeași viteză.

O soluție simplă a acestei probleme o constituie transformarea înfășurării ondulate simple într-o înfășurare buclată simplă (sau într-o înfășurare ondulată dublă, care însă nu se poate realiza cu atita usurință), având același număr de perechi de poli. Transformarea se face menținind pentru bobine aceeași deschidere, adică menținind pasul la spate  $y_1=7$ .

În cazul înfășurării buclate simple, pasul rezultant fiind  $y=1$ , pasul în față este  $y_2=y_1-y=7-1=6$  și schema desfășurată a înfășurării se execută simplu conform indicațiilor din § 4.3.1. b. Înfășurarea fiind buclată, necesită și conexiuni echipotențiale de speță I.

Menționăm că dacă mașina echipată cu înfășurarea ondulată a fost prevăzută numai cu două rînduri de perii, după transformare este neceșar să se completeze cu toate cele patru grupe de perii, conectate potrivit (periile diametrale se leagă împreună).

De asemenea trebuie să se țină seama că, în general, puterea mașinii, în cazul micșorării tensiunii, nu se mai poate menține aceeași, deoarece colectorul nu va putea suporta un curent de două ori mai mare decât cel pentru care a fost construit.

**Exemplu.** O mașină de curent continuu construită pentru tensiunea de 110 V are indusul echipat cu o înfășurare buclată caracterizată prin  $Z=K=20$  și  $2p=4$ ; se pune problema schimbării înfășurării pentru tensiunea 220 V, la aceeași viteză.

Soluția acestei probleme constă în transformarea înfășurării buclate într-o înfășurare ondulată simplă; deoarece

$$y = \frac{K-m}{p} = \frac{20-1}{2}$$

nu este un număr întreg, înfășurarea nu se poate executa decât apelind la un artificiu și anume lăsind secția 10–15 în afara calculelor noastre (ceea ce revine la a considera că mașina are  $Z'=K'=19$  crestături, respectiv lamele). Înfășurarea se execută în acest caz după schema din fig. 4.33.

### Schimbarea numărului de conductoare

Numărul de conductoare  $N$  ale înfăşurării indusului rezultă din relația (4.18) și este proporțional cu tensiunea indusă ; deci tensiunea la borne se poate schimba dacă la rebobinarea înfășurării, indusului se adoptă un alt număr de conductoare pentru înfășurare.

Numărul de conductoare  $N$  trebuie să se împartă exact la  $2Z$ , pentru a obține un număr întreg de conductoare pe strat, deci trebuie ca

$$\frac{N}{2Z} = \text{număr întreg.} \quad (4.23)$$

Această condiție se poate realiza relativ simplu la mașinile de putere mică și tensiune mare, care au un număr mare de conductoare în crestătură. Numărul de spire pe bobine poate fi diferit.

O dată cu schimbarea numărului de conductoare trebuie schimbată și secțiunea conductorului, pentru ca înfășurarea să aibă loc în crestături ; în cazul în care se schimbă înfășurarea de la o tensiune  $U_1$  mai mare la o tensiune  $U_2$  mai mică, secțiunea conductorului crește aproximativ în raportul  $U_1/U_2$  și executarea înfășurării este relativ simplă în comparație cu problema inversă, cînd se trece de la o tensiune mai mică la alta mai mare și secțiunea conductorului scade, iar numărul de conductoare crește. În acest ultim caz crește și izolația totală din crestătură ; pentru ca înfășurarea să încapă totuși în crestături, secțiunea conductorului se alege mai mică. Puterea mașinii scade aproximativ cu abaterea secțiunii conductorului față de cea care rezultă din relația  $s_{c2} = \frac{U}{U_1} s_{c1}$  (în care tensiunea  $U_2$  este mai mică decît  $U_1$ ).

În ceea ce privește *înfășurarea de excitație și înfășurarea polilor de comutație*, o dată cu schimbarea tensiunii trebuie analizată mai întîi posibilitatea schimbării schemei de conexiuni pentru a obține un număr de căi de curent potrivit ; în cazul cînd pe această cale nu se poate rezolva problema, se poate recurge la schimbarea numărului de spire ale înfășurării.

Dacă înfășurarea de excitație are o singură cale de curent, mărirea tensiunii peste cea la care a fost construită mașina se poate face numai schimbînd numărul de spire ale înfășurării.

Relațiile dintre tensiune și numărul de spire, respectiv dintre tensiune și secțiunea conductorului, conduc la aceleasi concluzii : mărirea tensiunii atrage după sine mărirea numărului de spire și micșorarea secțiunii conductorului și invers.

**Exemplu.** O mașină de curent continuu tetrapolară are tensiunea la borne 220 V, iar înfășurarea de excitație derivată este executată cu o singură cale de curent; se pune problema schimbării conexiunilor înfășurării pentru tensiunea la borne de 110 V.

O soluție imediată a problemei este următoarea: bobinele de excitație care erau legate în serie (fig. 4.42, a) se conectează două cîte două în paralel, ca în fig. 4.42, b.

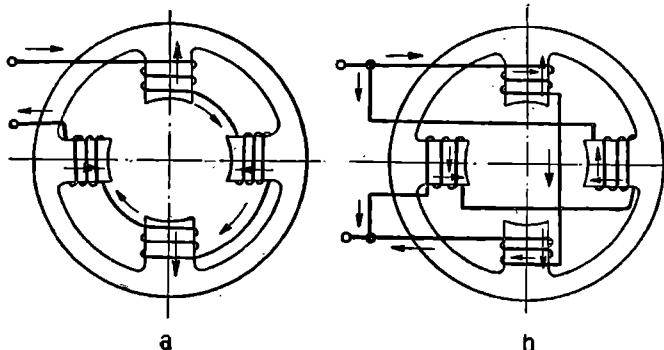


Fig. 4.42. Inductorul cu înfășurarea de excitație a unei mașini de curent continuu tetrapolare:

a — bobinele polilor conectate în serie; b — bobinele polilor conectate două cîte două în serie și apoi în paralel.

Se constată în primul caz că, tensiunea pe bobină este  $u_b = \frac{220}{4} = 55$  V; în al doilea caz sunt conectate două bobine în serie la tensiunea de 110 V și tensiunea pe bobină este  $u_b = \frac{110}{2} = 55$  V. Aceasta înseamnă că și curentul prin bobină a rămas neschimbat.

Analog se procedează și cu înfășurarea polilor de comutăție.

### b. Schimbarea turației nominale

La mașinile de curent continuu, schimbarea turației implică anumite verificări speciale în cazul măririi vitezei, și micșorarea puterii în cazul micșorării vitezei. Vom examina pe rînd influența pe care o are schimbarea turației asupra fiecărui parametru, considerînd mai întîi că înfășurările mașinii rămîn neschimbate.

Mai tîrziu, curentul rămîne practic neschimbăt, dacă se menține înfășurarea atît în stator, cît și în rotor. La micșorarea turației scade simțitor și debitul de aer dat de ventilatorul mașinii și încălzirea mașinii crește; de aceea, la micșorarea turației este necesar să se micșoreze întrucîptiva intensitatea curentului.

Tensiunea indusă în mașină se calculează din relația (4.13); o dată cu creșterea turației  $n$  crește și tensiunea  $E$  și aceasta ar con-

duce la solicitarea suplimentară a izolației dintre spire și la mărirea tensiunii dintre lamelele colectorului.

Pentru a menține tensiunea la borne, *la schimbarea vitezei trebuie schimbată și infășurările mașinii*; totodată se modifică și curentul  $I$  prin indusul mașinii.

Dacă tensiunea este constantă, micșorarea turăției  $n$  este echivalentă cu creșterea numărului de conductoare  $N$  sau cu micșorarea numărului de căi de curent  $2a$ .

Puterea mașinii este dată de relația

$$P = kEI, \quad (4.24)$$

în care  $k$  depinde de randamentul mașinii; deci puterea scade o dată cu scăderea turăției, atât din cauza scăderii tensiunii induse  $E$ , cât și din cauza scăderii întrucitiva a curentului  $I$ .

Mărirea turăției mașinii conduce însă la mărirea solicitărilor mecanice ale colectorului, ale bandajului de consolidare a capetelor de bobină și la creșterea pierдерilor prin frecare. Numai un calcul mai amănuntit poate să decidă asupra posibilității de funcționare a mașinii la viteza mărită.

Rebobinarea mașinii pentru turății mai mici decât turăția pentru care a fost proiectată mașina conduce la realizarea unei mașini de putere mai mică; calculul infășurării în acest caz este echivalent cu calculul întlnit la mărirea tensiunii în raportul  $n_1/n_2$ ,  $n_1$  fiind turăția pe care o avea mașina înainte de schimbare, iar  $n_2$  turăția după schimbare.

## 5. Infășurările de curent alternativ

### 5.1. DEFINIȚIE. CLASIFICAREA INFĂȘURĂRILOR DUPĂ NUMĂRUL DE FAZE ȘI DUPĂ CONSTRUCȚIE. DOMENII DE UTILIZARE

Infășurările parcurse de curent alternativ, folosite în general în construcția mașinilor electrice sincrone și asincrone, se numesc infășuri de curent alternativ.

După numărul de faze înfășurările se clasifică astfel :

- înfășurări monofazate (cu o singură fază) ;
- înfășurări bifazate (cu două faze) ;
- înfășurări trifazate (cu trei faze) ;
- înfășurări polifazate (cu mai mult de trei faze).

După construcția lor se deosebesc :

- înfășurări bobinate ;
- înfășurări în colivie.

Înfășurările bobinate se utilizează la indusul mașinilor sincrone, la statorul mașinilor asincrone, precum și la rotorul cu inele de contact al mașinilor asincrone. Asemenea înfășurări se folosesc și la rotoarele bobinate fără inele de contact ale mașinilor asincrone, la care extremitățile înfășurărilor (începuturile și respectiv sfîrșiturile) sunt legate împreună.

Înfășurările în colivie se utilizează la rotoarele în scurtcircuit ale motoarelor asincrone și la mașinile sincrone ; în ultimul caz ele sunt denumite, după rolul pe care îl au, înfășurări de amortizare la genroatoarele sincrone sau de pornire și amortizare la motoarele sincrone.

## 5.2. ÎNFĂȘURĂRILE BOBINATE

### 5.2.1. Elementele constructive ale înfășurărilor și reprezentarea lor în scheme.

#### Tipuri de înfășurări

Elementele constructive de bază care se utilizează la execuția înfășurărilor bobinate sunt : bobina, grupa de bobine, semispira și grupa de semispire.

Adoptarea unui anumit element constructiv de bază se face în funcție de caracteristicile înfășurării, cărora le corespund anumite forme de crestături și anumite metode de bobinare (v. cap. 10).

*Bobina* este compusă din una sau mai multe spire legate în serie ; ea are două laturi care se dispun în crestături și două părți frontale care leagă corespunzător laturile între ele, de o parte și de alta a miezului magnetic.

Extremitățile conductorului de bobinaj din care este executată bobina le numim capete de legătură ale bobinei. În legătură cu modul de executare a bobinei, ele se mai numesc adesea începutul și sfîrșitul bobinei și anume, extremitatea conductorului cu care se începe înfășurarea se numește început, iar aceea cu care se termină se numește sfîrșit.

În fig. 5.1 sînt reprezentate două bobine cu mai multe spire, din conductor rotund. Privind bobina dintr-o parte a planului limitat de conturul spirelor ei și urmărind conductorul de bobinaj de la începutul spre sfîrșitul bobinei, se obține sensul de înfășurare al spirelor în bobină, spre dreapta în fig. 5.1, a și spre stînga în fig. 5.1, b.

Sensul de înfășurare al spirelor în bobină apare inversat dacă se privește bobina din cealaltă parte a planului limitat de conturul spirelor. Din această cauză, în studiul înfășurărilor nu vom considera ca-

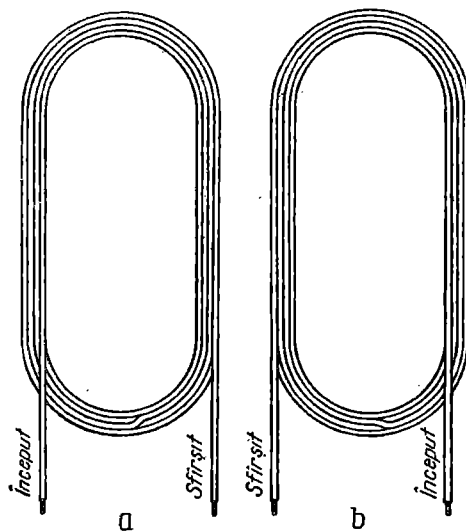


Fig. 5.1. Bobină cu multe spire, din conductor rotund:  
a — cu sensul de înfășurare spre dreapta; b — cu sensul de înfășurare spre stînga.

petele de legătură ale bobinei (început și sfîrșit) în corespondență cu sensul de înfășurare al spirelor în bobină, ci vom conveni să denumim *început* — capătul de legătură din latura din stînga a bobinei și *sfîrșit* — capătul de legătură din latura din dreapta a bobinei.

Deschiderea dintre laturile bobinei, exprimată în număr de crestături, se numește pasul bobinei și se notează cu  $y$ . În exprimare cu-rentă pasul  $y=5$ , de exemplu, se poate citi astfel :  $y=1$  la 6.

Bobina se execută din conductor rotund sau dreptunghiular.

La bobinele execute cu un singur conductor, numărul de conductoare dintr-o latură a bobinei este egal cu numărul de spire al bobinei, iar la bobinele execute cu mai multe conductoare în paralel, numărul de conductoare din latura bobinei va fi egal cu produsul

dintre numărul de spire al bobinei și numărul de conductoare în paralel.

Numărul de conductoare dintr-o crestătură este egal cu suma conductoarelor tuturor laturilor de bobine dispuse în crestătură ; la înfășurările execute cu bobine cu același număr de spire numărul de conductoare dintr-o crestătură este egal cu produsul dintre numărul de laturi de bobine dispuse în crestătură și numărul de conductoare dintr-o latură.

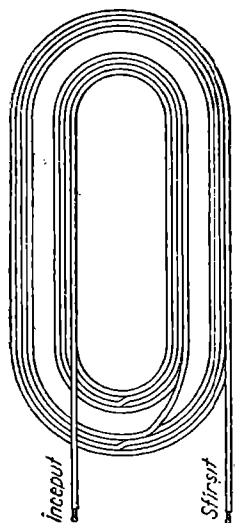


Fig. 5.2. Grupă de două bobine concentrice (cu deschidere diferită), din conductor rotund.

*Grupa de bobine* este compusă din mai multe bobine legate în serie și dispuse între ele concentric (fig. 5.2) sau decalat (fig. 5.3). În primul caz bobinele din grupă au deschideri diferite — pași diferenți, iar în al doilea caz ele au același pas.

Succesiunea bobinelor în cadrul grupei de bobine decalate, poate fi spre dreapta sau spre stînga, sus sau jos, (v. fig. 5.3). În execuția înfășurărilor la care se utilizează ca element constructiv de bază grupa de bobine, schema înfășurării este ușor de urmărit dacă succesiunea bobinelor în grupă este aceeași pentru toate grupele.

În cazul utilizării grupelor de bobine egale (cu aceeași deschidere), cu succesiunea bobinelor în grupă spre dreapta sus (fig. 5.3, a) sau spre stînga jos (fig. 5.3, d), sensul de succesiune al introducerii laturilor de bobine în crestături este același și anume, spre dreapta.

În acest caz, coroana capetelor frontale ale bobinelor se formează spre dreapta, dinspre dreapta jos, spre stînga sus. În cazul folosirii grupei de bobine similare celor reprezentate în fig. 5.3, b sau fig. 5.3, c, coroana capetelor frontale ale bobinelor se formează spre stînga, dinspre stînga jos spre dreapta sus (v. cap. 10).

Deoarece cu două tipuri de grupe de bobine, spre exemplu cu succesiunea bobinelor în grupă spre dreapta sus sau spre stînga jos, să obține aceeași succesiune în introducerea laturilor de bobine în crestături, este recomandabil să se prefere acele scheme ale înfășurărilor care necesită legăturile cele mai scurte posibil între grupele successive. În fig. 5.4 este reprezentată o înfășurare constituită din două

grupe de bobine avind succesiunea bobinelor în grupe spre dreapta sus (fig. 5.4, a) și spre stînga jos (fig. 5.4, b). Sensul în ordinea de introducere a laturilor de bobine în crestături este același în cele două cazuri, dar se observă, că legătura dintre grupele de bobine în fig. 5.4, a este mai scurtă decit aceea în figura 5.4, b; de aceea se recomandă prima schemă. Grupa de bobine ca element constructiv de bază al înfășurării se execută în general numai din conductor rotund.

*Semispira* (vezi figura 5.5), se execută din conductor dreptunghiular și se utilizează ca element constructiv de bază la înfășurările în bare, ondulate și buclate.

Bobinele din semispire se obțin prin îmbinarea directă sau cu ajutorul unei mufe, prin lipire sau sudare, a capetelor de legătură ale semispirelor corespunzătoare. Bobinele astfel constituite vor avea cîte o singură spiră.

În funcție de valoarea curentului înfășurării la care se folosesc semispirele, acestea se

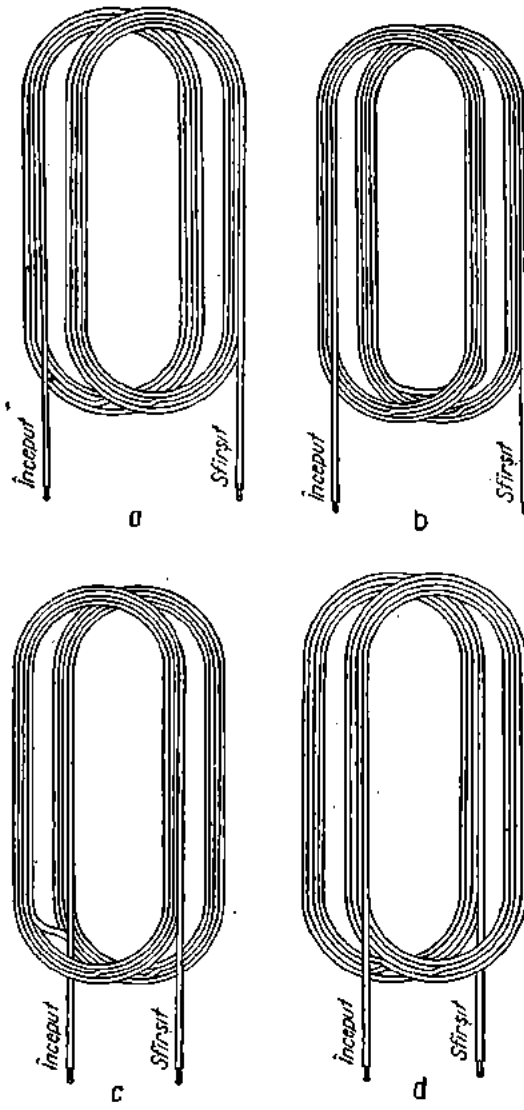


Fig. 5.3. Grupă de două bobine decalate (cu deschidere egală) din conductor rotund, cu succesiunea bobinelor în grupe:  
a — spre dreapta sus; b — spre dreapta jos; c — spre stînga sus; d — spre stînga jos.

pot executa dintr-un conductor sau din mai multe conductoare conectate în paralel. La infășurările de curenti mari se utilizează semispira din mai multe conductoare în paralel, între care, în crestătură, se fac transpoziții în vederea uniformizării repartiției curentului pe în conductoarele elementare conectate în paralel. Conductoarele în paralel ale semispirei sunt izolate între ele pe porțiunea din crestătură.

În cazul infășurărilor la care semispira este executată dintr-un singur conductor, în crestătură se va găsi un număr de conductoare egal cu numărul de laturi de semispire din crestătură. La infășurările din semispire cu conductoare în paralel, numărul de conductoare din crestătură este egal cu produsul dintre numărul laturilor de semispire din crestătură și numărul de conductoare în paralel dintr-o semispiră.

*Grupa de semispire* (fig. 5.6) este constituită din mai multe semispire și se utilizează ca element constructiv de bază la infășurările în bare buclate și ondulate.

Bobinele acestor infășurări se obțin de asemenea prin îmbinarea directă sau cu ajutorul unor mufe, prin lipirea sau sudarea capeteelor de legătură a semispirelor corespunzătoare. Bobi-

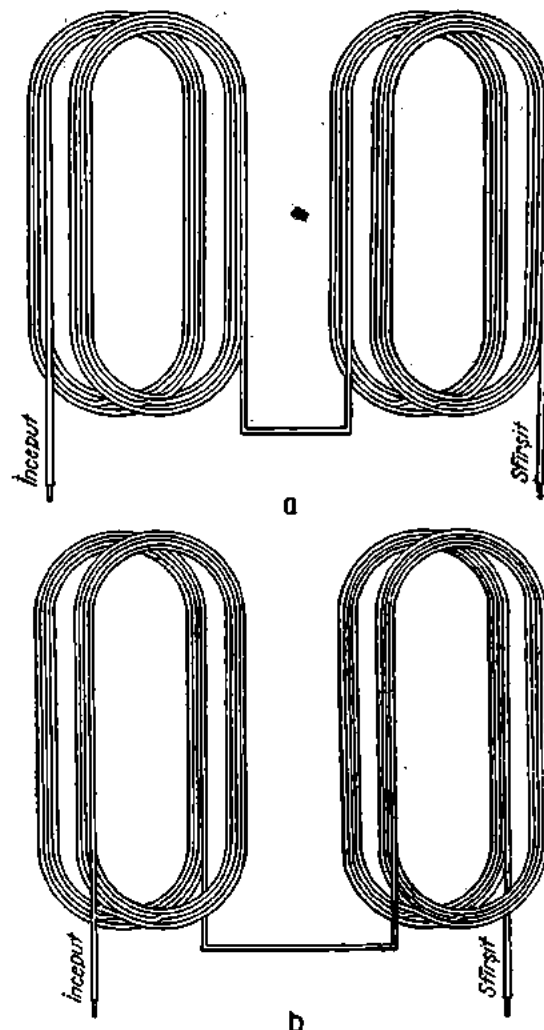


Fig. 5.4. Infășurare cu două grupe de bobine:  
a — succesiunea bobinelor în grupă spre dreapta sus; b — succesiunea bobinelor în grupă spre stînga jos.

nele înfășurărilor din grupe de semispire au cîte o singură spiră în cazul înfășurărilor ondulate și respectiv mai multe spire în cazul înfășurărilor bucate.

Prin legături corespunzătoare între bobine, grupe de bobine, semispire sau grupe de semispire, se realizează înfășurările diferitelor faze. La oricare înfășurare, indiferent care este elementul constructiv

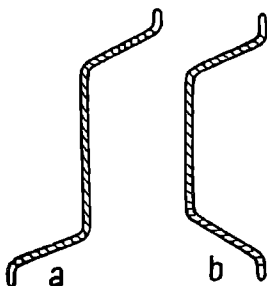


Fig. 5.5. Semispiră dintr-un singur conductor :  
a — dintr-o înfășurare ondulată; b — dintr-o înfășurare bucată.

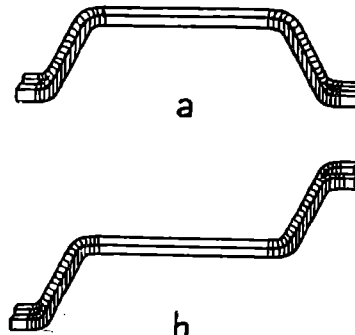


Fig. 5.6. Grupă de semispire :  
a — dintr-o înfășurare bucată; b — dintr-o înfășurare ondulată.

de bază adoptat, în procesul tehnologic de execuție a înfășurării se realizează un anumit număr de bobine și o anumită repartizare a acestora în diferitele grupe de bobine.

La toate înfășurările bobina apar ca element constitutiv de bază, deși din punct de vedere funcțional spira reprezintă elementul de bază în calculul tensiunii induse.

În schemele desfășurate ale înfășurărilor, se reprezintă bobinele după conturul lor geometric. În fig. 5.7, a și b s-au reprezentat bobine dintr-o înfășurare bucată, respectiv ondulată, în fig. 5.7, c și d, grupe de cîte trei bobine cu deschideri egale, iar în fig. 5.7, e și f, grupe de bobine concentrice cu deschideri diferite.

În schemele înfășurărilor se consideră începuturi capetele de legătură scoase din laturile din stînga ale bobinelor, iar sfîrșituri, capetele de legătură scoase din laturile din dreapta. La grupele de bobine cu deschidere egală, începutul și sfîrșitul sunt scoase din laturile de bobine interioare ale grupei pentru grupe cu succesiunea bobinelor în grupă spre stînga (fig. 5.7, c) și respectiv din laturile de bobine exterioare ale grupei pentru grupe cu succesiunea bobinelor în grupă spre dreapta, (fig. 5.7, d). Legăturile interioare dintre bobinele grupei co-

respund sensului de succesiune al bobinelor în grupă și se reprezintă în mod corespunzător (v. fig. 5.7, c și d). La grupele de bobine concentrice începutul poate fi scos din latura din stânga a bobinei inter-

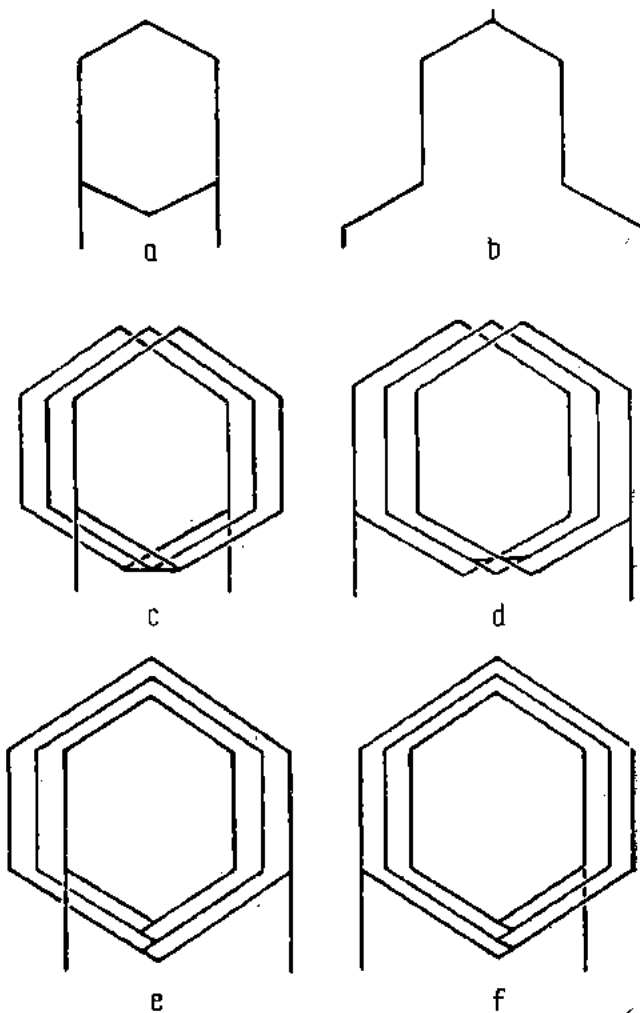


Fig. 5.7. Reprezentarea elementelor constitutive ale înfășurărilor :

a, b — bobine, dintr-o înfășurare buclată în (a), și ondulată în (b);  
c, d — grupă din trei bobine egale, cu succesiune spre stînga în (c), și spre dreapta în (d); e, f — grupă din trei bobine concentrice, cu succesiunea spre exterior (e) și spre interior (f).

rioare (fig. 5.7, e) sau din latura din stînga a bobinei exterioare (fig. 5.7, f) și corespunzător acestora, sfîrșitul va fi scos din latura din dreapta a bobinei exterioare și respectiv din latura din dreapta a bobinei interioare. Legăturile interioare dintre bobinele grupei se reprezintă de asemenea distinct în cele două cazuri (v. fig. 5.7, e și f) și ele corespund modului în care se succed bobinele în grupă, de la interior spre exterior în fig. 5.7, e și respectiv de la exterior spre interior în fig. 5.7, f.

În grupele de bobine egale sau concentrice, în aceleasi condiții, se induc tensiuni electromotoare de aceeași valoare, dacă laturile bobinelor ocupă aceleasi crestături într-o mașină electrică dată.

După numărul lăturilor de bobine dintr-o crestătură, se deosebesc :

— infășurări într-un strat, la care fiecare latură de bobină ocupă cîte o crestătură (fig. 5.8, a) ;

— infășurări în două straturi, la care două laturi de bobine ocupă cîte o crestătură (fig. 5.8, b) ;

— infășurări dispuse parțial într-un strat și parțial în două straturi, la care în anumite crestături se găsește cîte o latură de bobină, iar în celelalte cîte două laturi de bobine.

Dacă pasul mediu al bobinelor (la infășurările constituite din bobine care au aceeași deschidere, pasul mediul este însuși pasul bobinei) este egal cu pasul polar, infășurările respective sunt diametrale; în alte cazuri ele pot fi, față de cele diametrale, cu pas scurtat sau cu pas lungit. În practică se întâlnesc toate aceste tipuri de infășurări.

### 5.2.2. Caracteristicile și funcțiunile infășurărilor de curent alternativ, bobinate

#### a. Dispunerea relativă a infășurării fazelor în mașinile de curent alternativ

În cazul rețelelor electrice de curent alternativ cu mai multe faze, tensiunile fazelor variază sinusoidal în timp, avînd între ele un anumit defazaj. La generatoarele sincrone defazajul în timp, dintre ten-

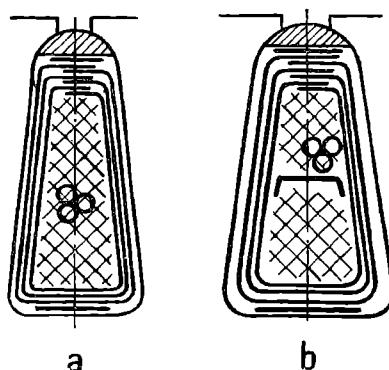


Fig. 5.8. Secțiune printr-o crestătură a unei infășurări :

a — într-un strat; b — în două straturi.

siunile induse în înfăşurări, apare datorită dispunerii înfăşurărilor de fază în poziții decalate la periferia mașinii.

În fig. 5.9, este reprezentat rotorul unei mașini sincrone bipolare într-o poziție oarecare (reprezentată cu linie continuă) și după un sfert de perioadă (reprezentată cu linie întreruptă).

În cazul unei mașini sincrone tetrapolare, sfertul de perioadă corespunde unei mișcări de rotație a polilor pe a opta parte din circumferință (fig. 5.10).

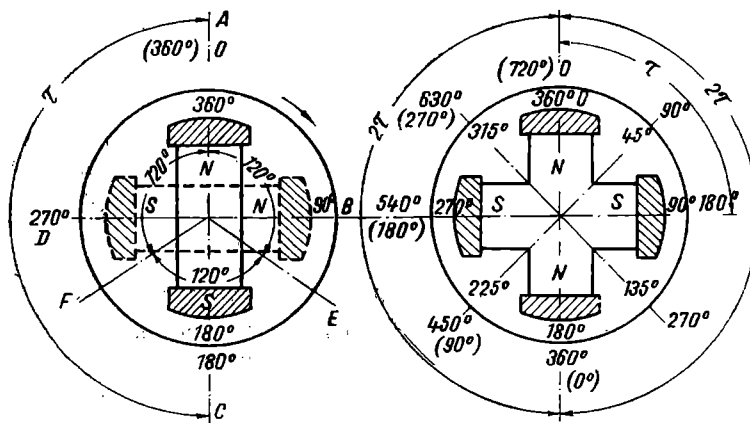


Fig. 5.9. Inductor bipolar reprezentat în două poziții. Fig. 5.10. Inductor tetrapolar.

Deoarece fiecărui pol îi corespunde un pas polar, în cazul unei mașini sincrone bipolare, întreaga circumferință a miezului magnetic se împarte în doi pași polari (fig. 5.9). La mașina tetrapolară (fig. 5.10) circumferința miezului magnetic se împarte în patru pași polari. În cazul general, cind mașina are  $2p$  poli, numărul de pași polari pe periferia miezului magnetic este  $2p$ .

Știind că unui dublu pas polar ( $2\pi$ ) îi corespunde un unghi electric egal cu  $360^\circ$  electrice sau  $2\pi$  radiani și o perioadă  $T$  de variație a tensiunii alternative, rezultă că se obțin tensiuni bifazate, adică defazate între ele cu  $90^\circ$  sau cu  $\frac{\pi}{2}$  radiani electrici, dacă înfășurările să intrebe decalate în spațiu cu  $\frac{2\pi}{4}$ ; pentru tensiuni trifazate, decalajul în spațiu al înfășurărilor trebuie să fie  $\frac{2\pi}{3}$  ceea ce corespunde la  $120^\circ$  electrice sau la  $\frac{2\pi}{3}$  radiani electrici.

În practică, decalajul dintre înfăşurările fazelor succesive se exprimă obișnuit în număr de crestături. Deoarece la un pas polar  $\tau$  corespund  $\frac{Z}{2p}$  crestături, unde  $Z$  este numărul de crestături în care se dispune înfăşurarea iar  $2p$  numărul de poli, decalajul dintre înfăşurările succesive va fi  $\frac{Z}{4p}$  pentru înfăşurări bifazate și respectiv  $\frac{Z}{3p}$  pentru înfăşurările trifazate.

Începuturile, respectiv sfîrșiturile înfăşurărilor de fază apar decalate în schemele înfăşurărilor bifazate cu

$$y_{i,s} = \frac{Z}{4p} + k \frac{Z}{p} (\text{crestături}) ; \quad (5.1)$$

( $y_{i,s}$  este denumit pasul între începuturile, respectiv sfîrșiturile înfăşurărilor de fază), iar la înfăşurările polifazate cu numărul de faze mai mare decât doi,

$$y_{i,s} = \frac{Z}{mp} + k \frac{Z}{p} (\text{crestături}) ; \quad (5.2)$$

în care  $k=0, 1, 2, 3 \dots$ . Uzual pentru factorul  $k$  se ia valoarea  $k=0$  și rezultă astfel

$$y_{i,s} = \frac{Z}{4p} \text{ crestături la înfăşurările bifazate} ;$$

$$y_{i,s} = \frac{Z}{3p} \text{ crestături la înfăşurările trifazate.}$$

La înfăşurările bipolare, începuturile și sfîrșiturile înfăşurărilor apar repartizate simetric în schemele înfăşurărilor.

La înfăşurările multipolare, începuturile și sfîrșiturile înfăşurărilor apar repartizate simetric pe cîte o pereche de poli și prin urmare sunt scoase grupat în cîte o parte a mașinii.

O valoare diferită de zero pentru factorul  $k$  în relațiile 5.1 și 5.2, se alege în scopul dispunerii echidistante a începuturilor și sfîrșiturilor înfăşurării la periferia mașinii în cazul rotoarelor bobinate ale mașinilor multipolare ( $p$  mai mare decât 1); în funcție de numărul de perechi de poli  $p$ , valoarea lui  $k$  se calculează cu una din relațiile :

$$k = \frac{p-1}{m} \quad \text{sau} \quad k = \frac{2p-1}{m}$$

reținind pentru  $k$  numai valoarea întreagă. În tabela 5.1 s-au dat valoările lui  $k$  în funcție de numărul de perechi de poli  $p$ .

Tabela 5.1

Valorile factorului  $k$  în funcție de numărul de perechi de poli

$p$	2	4	5	7	8	10	11	13	14	16	17	19	20	22
$k$	1	1	3	2	5	3	7	4	9	5	11	6	13	7

De observat că pentru înfășurările hexapolare sau multiplul acestora, niciuna din relațiile lui  $k$  nu conduce la numere întregi și în consecință nu se pot scoate echidistante începuturile, respectiv sfîrșiturile înfășurărilor fazelor.

Pentru exemplificare s-au reprezentat schematic două înfășurări bipolare într-un strat și anume o înfășurare bifazată în fig. 5.11 și una trifazată în fig. 5.12. Examind schemele desfășurate ale acestor înfășurări rezultă că înfășurarea fiecarei faze este compusă din cîte o singură bobină avînd deschiderea egală cu pasul diametral (1 la 3 din fig. 5.11 și 1 la 4 în fig. 5.12), iar decalajul dintre începuturile înfășurărilor fazelor succeseive, exprimat în număr de crestături, este egal cu o crestătură în fig. 5.11 și cu două crestături în fig. 5.12. Decalajele rezultă corespunzător din expresiile (5.1) și (5.2) înlocuind  $Z=4$ ,

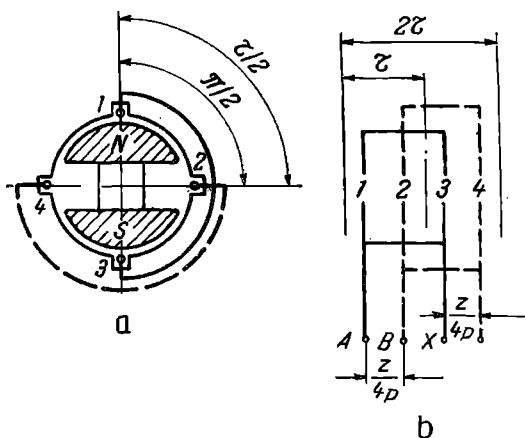


Fig. 5.11. Înfășurare bifazată :  
a — aşezată pe o armătură bipolară; b — schema desfășurată a înfășurării.

Înfășurări tetrapolare, bifazată și respectiv trifazată, s-au reprezentat corespunzător în fig. 5.13 și 5.14. În cazul acestora, înfășurarea fiecarei faze este compusă din cîte două bobine, adică o înfășurare tetrapolară conține două înfășurări corespunzătoare bipolare, iar decalajele corespunzătoare dintre începuturile înfășurărilor rezultă din expresia (5.1), pentru  $k=0$  în fig. 5.13, b și pentru  $k=1$  în fig. 5.13, c,

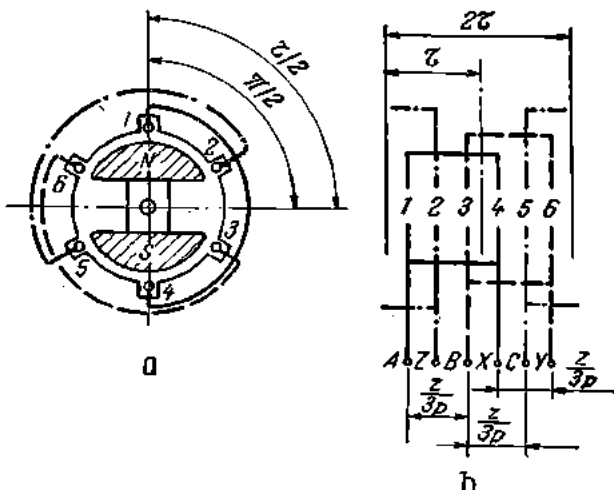


Fig. 5.12. Înăsurare trifazată :  
 a — așezată pe o armătură bipolară; b — schema desfășurată  
 a înăsurării.

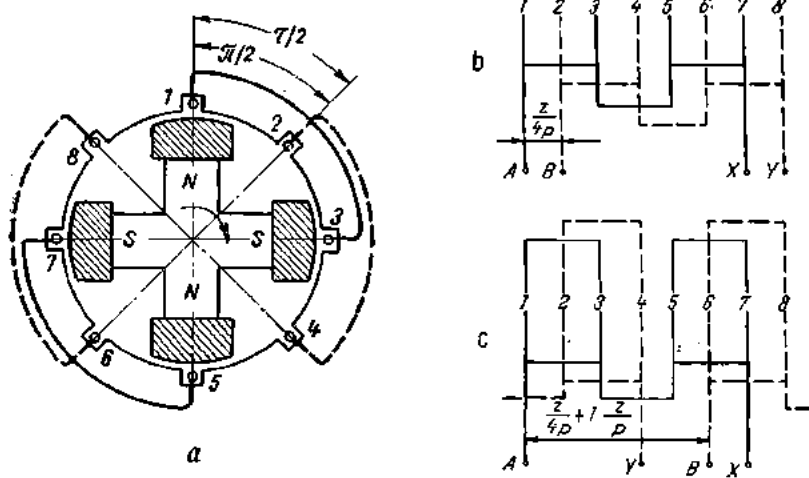


Fig. 5.13. Înăsurare bifazată :  
 a — așezată pe o armătură tetrapolară; b, c — schemele desfășurate ale înăsurării.

iar din expresia (5.2) pentru  $k=0$  în fig. 5.14, b și pentru  $k=1$  în fig. 5.14, c. La înfășurările tetrapolare se pot obține deci, pentru aceeași înfășurare, două scheme distincte una având începuturile fazelor grupate, iar alta echidistanțate.

Înfășurările realizate după oricare din cele două scheme, se vor comporta la fel, deoarece decalajul în cimp între înfășurările fazelor succese este același.

În figurile 5.11...5.14 înfășurările diferitelor faze s-au reprezentat și notat astfel : cu linie continuă înfășurarea  $A-X$  a primei faze, cu linie întreruptă înfășurarea  $B-Y$  a celei de a două faze și cu linie punct înfășurarea  $C-Z$  a celei de a treia faze ; acest mod de reprezentare și notare se adoptă în continuare la toate înfășurările trifazate.

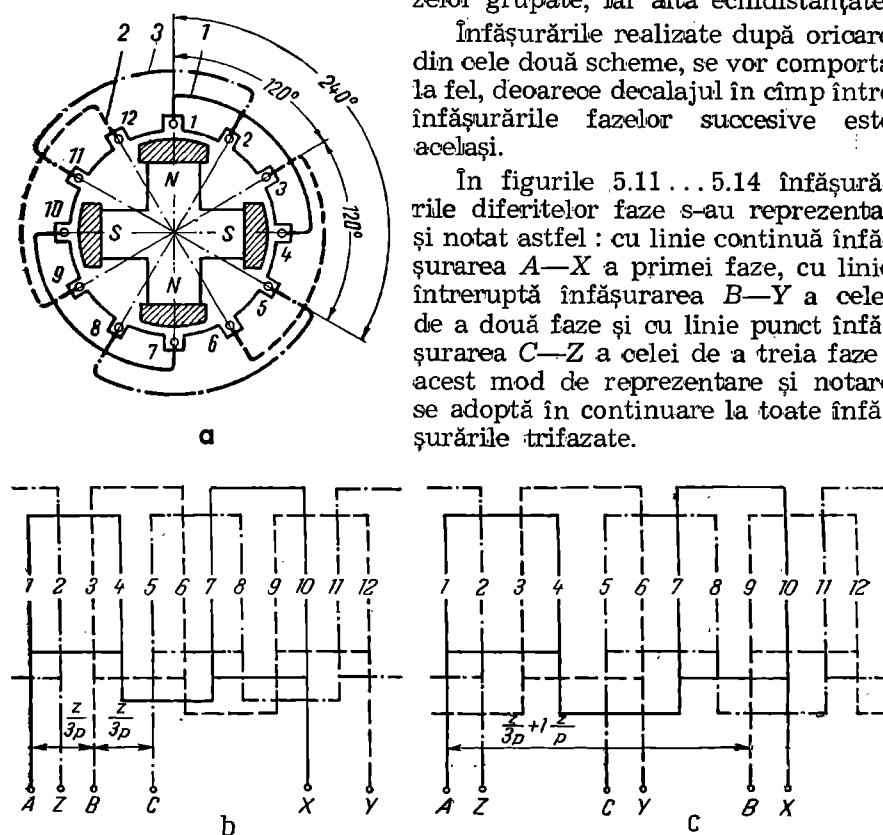


Fig. 5.14. Înfășurare trifazată cu  $2p=4$  și  $Z=12$  :  
a — așezată pe o armătură tetrapolară; b, c — schemele desfășurate ale înfășurării.

Înfășurările într-un strat cu câte o bobină pe perechea de poli și fază, de tipul celor reprezentate în figurile 5.11...5.14, sint de fapt înfășurări concentrate și prezintă dezavantajul că forma tensiunii electromotoare induse în asemenea înfășurări se îndepărtează de sinusoidală, având exact forma curbei cîmpului inductor ; astfel de înfășurări concentrate de curent alternativ se utilizează numai la micro-

motoare. În construcția mașinilor electrice de puteri mici, mijlocii și mari se utilizează infășurările repartizate; în acest caz, infășurarea fiecărei faze are două sau mai multe bobine pe perechea de poli; la aceste infășurări forma tensiunii electromotoare induse se apropie de sinusoidă pe măsura repartizării.

În fig. 5.15 este reprezentată curba cîmpului magnetic invîrtitor produs de o infășurare trifazată într-un strat, repartizată, cu două bobine pe perechea de poli.

Fie infășurarea reprezentată în fig. 5.15, a, parcursă de un sistem trifazat de curenti; în momentul  $t_1$ , notat în diagrama din fig. 5.15, j, curentii prin infășurări au sensurile indicate în fig. 5.15, b pentru prima fază, în fig. 5.15, d pentru a doua fază și în fig. 5.15, f, pentru a treia fază. Sensul curentilor, la momentul  $t_1$  în laturile bobinelor infășurării este reprezentat în fig. 5.15, i.

Curbele cîmpurilor magnetice pe care le-ar produce curentii care străbat infășurările fazelor sunt reprezentate corespunzător în fig. 5.15, c, e, g, iar curba cîmpului rezultat în întrefier, obținută prin insumarea celor trei cîmpuri în fiecare punct, este reprezentată în fig. 5.15, h. Valoarea cîmpului magnetic produs de infășurări este proporțională cu valoarea curentului care străbate infășurările în momentul considerat; infășurarea fiecărei faze, fiind tetrapolară, produce un cîmp tetrapolar; cîmpul magnetic rezultant, produs de sistemul de curenti care parcurge infășurarea, este de asemenea tetrapolar și are amplitudinea constantă.

La alt moment  $t_2$ , curbele cîmpurilor magnetice produse de cele trei infășurări se modifică corespunzător variației curentului, iar cîmpul magnetic rezultant își menține constantă amplitudinea, însă deplasată în sensul succesiunii fazelor (în figura considerată, spre dreapta). Datorită faptului că infășurările fazelor sunt parcuse de curenti variabili în timp și deplasarea curbei cîmpului magnetic rezultant în întrefierul mașinii este continuă în timp. Viteza de rotație a acestui cîmp față de armătura pe care se află infășurările care îl produc, depinde de frecvența de variație a curentilor care parcurg infășurările și de numărul de perechi de poli ai acestora și se exprimă prin relația :

$$n_1 = \frac{60f}{p} \text{ [rot/min]} \quad (5.3)$$

în care  $n_1$  este viteza relativă de rotație a cîmpului invîrtitor față de armătura pe care sunt dispuse infășurările care l-au produs,  $f$  este

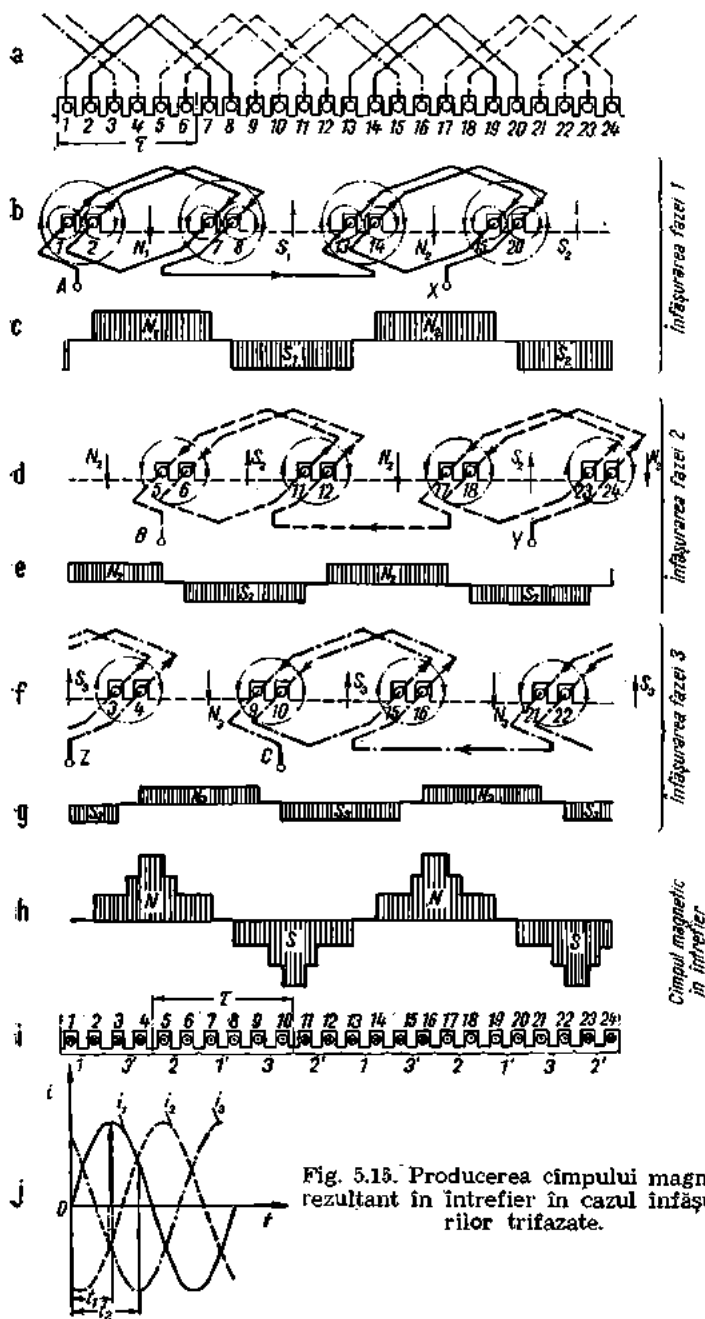


Fig. 5.15. Producerea cimpului magnetic rezultant în intrefier în cazul înfișurărilor trifazate.

frecvența de variație a curenților care parcurg înfășurările (numărul de perioade într-o secundă), iar  $p$  numărul de perechi de poli ai înfășurării.

În cele ce urmează, în toate schemele desfășurate se vor nota sensurile curenților prin înfășurările fazelor, corespunzătoare momentului  $t_2$  din diagrama din fig. 5.30, j. Astfel, considerind înfășurările alimentate pe la bornele  $A$ ,  $B$  și  $C$ , curentii în înfășurările  $A-X$  și  $B-Y$  vor avea sensul pozitiv (de la rețea prin borna  $A$ , respectiv  $B$  spre borna  $X$ , respectiv  $Y$ ), iar curentul prin înfășurarea  $C-Z$  va avea sensul negativ (de la borna  $Z$  spre borna  $C$ ).

### b. Calea de curent

La înfășurările de curent alternativ calea de curent este definită în raport cu înfășurarea de fază și reprezintă porțiunea de înfășurare distinctă cuprinsă între bornele unei înfășurări a fazei. Dacă bobinele care compun înfășurarea unei faze sunt legate în serie, înfășurarea respectivă are o singură cale de curent, chiar dacă bobinele înfășurării sunt executate cu mai multe conductoare în paralel.

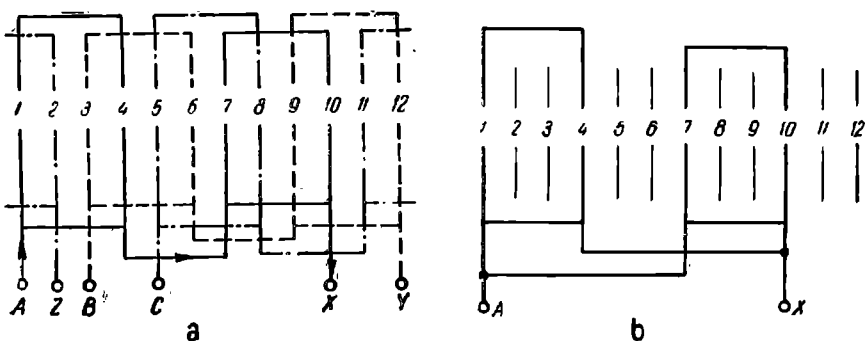


Fig. 5.16. Înfășurare trifazată, tetrapolară ( $Z=12$  creștături):  
a — cu o cale de curent pe fază; b — înfășurarea  $A-X$  cu două căi de curent.

Mai multe căi de curent pe fază se pot obține prin legarea în paralel a bobinelor sau grupelor de bobine, ale înfășurării fazei respective; tensiunile induse în căile de curent conectate în paralel, trebuie să fie egale și în fază pentru a nu apărea curenti de circulație între diferențele căi. În fig. 5.16, a s-a reprezentat schema desfășurată a

unei înfășurări trifazate cu o cale de curent iar în fig. 5.16, b s-a reprezentat înfășurarea  $A-X$ , a aceleiași înfășurări, cu două căi de curent.

Numărul de spire al înfășurării unei faze este identic egal cu numărul de spire al unei căi de curent. În exemplul considerat în fig. 5.16, a înfășurarea fiecărei faze cu  $w$  spire are  $w/2$  spire pe fiecare din bobinele legate în serie. Executând aceeași înfășurare cu două căi de curent (fig. 5.16, b), înfășurarea fiecărei căi va fi constituită din cîte o bobină; în acest caz fiecare bobină va conține  $w$  spire. În primul caz tensiunea electromotoare se va induce într-o înfășurare constituită din  $w$  spire legate în serie, iar în al doilea caz, în două înfășurări legate în paralel, fiecare înfășurare fiind constituită din  $w$  spire. În ultimul caz, pentru ca tensiunile electromotoare induse în cele două înfășurări legate în paralel, să fie în fază, trebuie ca cele două bobine din care sunt constituite înfășurările să ocupe poziții identice în cîmp. În exemplul considerat, înfășurarea fiind tetrapolară crestăturile 7 (respectiv 10) sunt decalate cu un dublu pas polar față de crestăturile 1 (respectiv 4), adică sunt situate în cîmpul magnetic în condiții identice; în consecință bobinele 1—4 și 7—10 pot fi legate în paralel prin conectarea împreună a începuturilor 1 și 7, respectiv a sfîrșiturilor 4 și 10, spre a forma două căi de curent.

La înfășurările cu un număr mai mare de poli, bobinele sau grupele de bobine care se leagă în serie în calea de curent sunt decalate relativ între ele cu un multiplu întreg al pasului polar, iar legăturile succesive se fac sfîrșit cu început pentru bobinele decalate cu un multiplu par al pasului polar și respectiv sfîrșit cu sfîrșit pentru bobinele decalate cu un multiplu impar.

În cazul înfășurărilor într-un strat, constituite din  $p$  sau  $2p$  grupe identice de bobine, numărul maxim de căi de curent în paralel pe fază este egal cu  $p$ , cu excepția înfășurărilor constituite din grupe identice de bobine concentrice cu număr par de bobine în grupă, la care numărul maxim posibil de căi de curent poate fi egal cu  $2p$ .

La înfășurările în două straturi constituite din  $2p$  grupe identice de bobine, numărul maxim posibil de căi de curent este egal cu  $2p$ .

În continuare se notează cu  $a$  numărul de căi de curent în paralel pe fază (spre deosebire de înfășurările tip indus de curent continuu la care se notează cu  $a$  numărul perechilor de căi de curent).

Secțiunea conductorului căii de curent la o înfășurare cu  $a$  căi de curent în paralel pe fază, este de  $a$  ori mai mică decît secțiunea

corespunzătoare a conductorului aceleiași înfășurări executată cu o singură cale de curent.

Dacă curentul pe calea de curent este mare, conductorul înfășurării se divide pentru ca înfășurarea să fie ușor de executat, iar pierderile suplimentare să fie reduse. Se notează cu  $n_p$  numărul de conductoare elementare pe calea de curent. Secțiunea conductorului elementar este de  $n_p$  ori mai mică decât secțiunea conductorului pe calea de curent.

Cind numărul de căi de curent se schimbă într-un anumit raport la o aceeași înfășurare (cu același număr de spire, același număr de faze, același număr de poli, același număr de crestături și aceeași secțiune a conductorului elementar), numărul de conductoare în paralel pe calea de curent se schimbă în raport invers.

În asemenea cazuri numărul de spire pe fază și numărul de conductoare din crestătură rămîne neschimbat, dar execuția înfășurării este diferită de la o variantă la alta. De exemplu, o înfășurare cu șase căi de curent și un singur conductor pe calea de curent, poate fi executată fie în varianta cu trei căi de curent și două conductoare în paralel pe calea de curent, fie în varianta cu două căi de curent și trei conductoare în paralel pe calea de curent; în primul caz bobinele se execută cu un singur conductor, în al doilea cu două conductoare în paralel și în al treilea caz cu trei conductoare în paralel, iar numărul de spire dintr-o bobină, va fi de două ori mai mic în cazul al doilea și de trei ori mai mic în cazul al treilea, față de primul caz.

### c. Reprezentarea înfășurărilor de curent alternativ.

#### Scheme de conexiuni

Înfășurările de curent alternativ pot fi reprezentate desfășurate (fig. 5.17, a); în practică se utilizează însă reprezentări mai simple de executat și de urmărit. Astfel, înfășurările se reprezintă fie după schema electrică desfășurată (fig. 5.17, b), fie după scheme circulare (fig. 5.18).

În continuare se reprezintă înfășurările după schemele lor electrice (fig. 5.17, b).

Conform STAS 3520-52 extremitățile sau capetele de legătură ale înfășurărilor statoarelor se notează astfel: începutul primei faze cu A, iar sfîrșitul cu X, începutul fazei a doua cu B, iar sfîrșitul cu Y și începutul fazei a treia cu C, iar sfîrșitul cu Z. În cazul rotoarelor înfășurările se notează în mod identic însă cu litere mici a—x; b—y și c—z.

Înfășurările fazelor la mașinile de curenț alternativ se reprezintă simplificat printr-o linie în zig-zag, ca în fig. 5.19.

Schema de conexiuni folosită la înfășurările bifazate este schema în stea (fig. 5.20, a și d); la înfășurările trifazate se întâlnesc: schema de conexiuni stea (fig. 5.20, b, e) și schema de conexiuni triunghi (fig. 5.20, c, f).

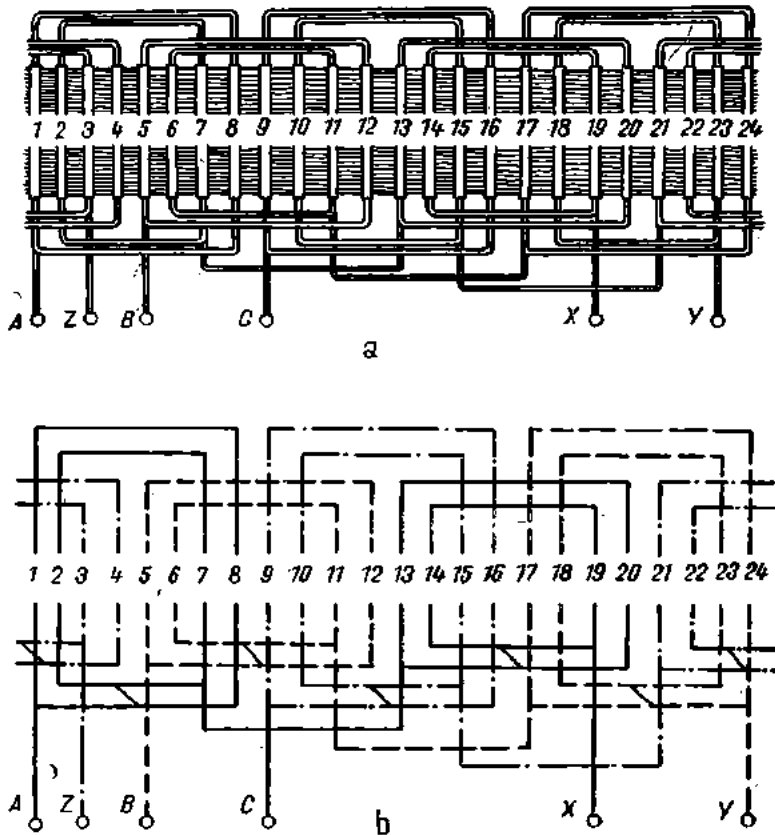


Fig. 5.17. Înfășurare trifazată, tetrapolară ( $Z=24$  creștături):  
a — reprezentarea desfășurată a înfășurării; b — schema electrică desfășurată.

Tensiunile și curenții, în cazul celor două scheme de conexiuni, se repartizează ca în fig. 5.21 pentru conexiunea stea, respectiv ca în fig. 5.22 pentru conexiunea triunghi.

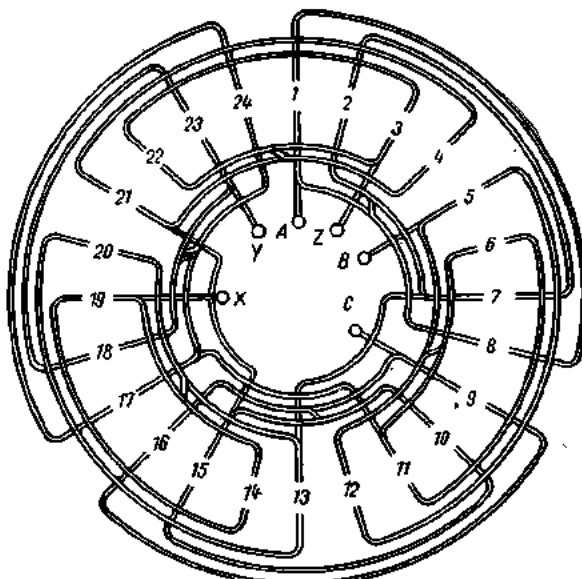


Fig. 5.18. Schéma circulară a înfăşurării din fig. 5.17, a.

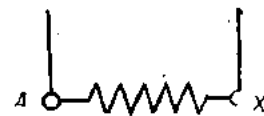


Fig. 5.19. Reprezentarea înfăşurării de fază în schemele electrice.

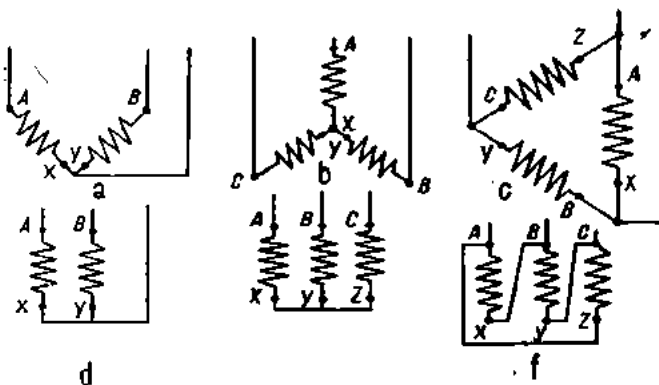


Fig. 5.20. Schemele de conexiuni ale înfăşurărilor bifezate şi trifazate:

a, d — înfăşurare bifezată; b, e — înfăşurare trifazată în stea; c, f — înfăşurare trifazată în triunghi.

Valorile tensiunilor  $U_f$  la bornele înfășurărilor fazelor și valorile curenților  $I_f$  care străbat aceste înfășurări, în funcție de valorile corespunzătoare  $U_l$  și  $I_l$  de linie, se calculează cu relațiile :

— pentru conexiunea stea (fig. 5.21) :

$$U_f = \frac{U_l}{\sqrt{3}} \approx 0,58 U_l \quad \text{și} \quad I_f = I_l; \quad (5.4) \text{ și } (5.5)$$

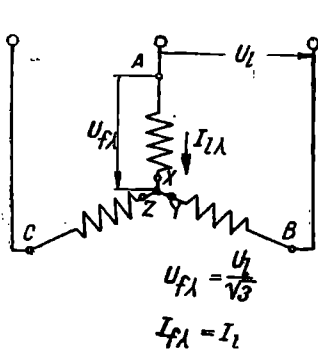


Fig. 5.21. Mărimi de fază și de linie la înfășurarea conectată în stea.

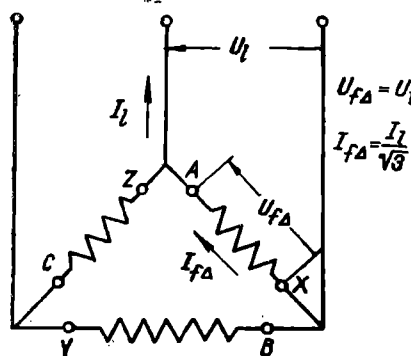


Fig. 5.22. Mărimi de fază și de linie la înfășurarea conectată în triunghi.

— pentru conexiunea triunghi (fig. 5.22) :

$$U_f = U_l \quad \text{și} \quad I_f = \frac{I_l}{\sqrt{3}} \approx 0,58 I_l. \quad (5.6) \text{ și } (5.7)$$

d. *Condiții pe care trebuie să le indeplinească înfășurările*

Înfășurările de curent alternativ polifazate se realizează ca înfășurări simetrice. O înfășurare este simetrică, atunci cînd tensiunile electromotoare induse de cîmpul magnetic invîrtitor în înfășurările fazelor sunt egale și defazate între ele cu unghiul  $\frac{2\pi}{m}$  ( $m$  fiind numărul de faze).

Se obțin înfășurări polifazate simetrice dacă înfășurările fazelor succeseive sunt decalate relativ între ele, la periferia armăturii în care sunt dispuse, cu  $\frac{Z}{mp}$  creștături și au același număr de spire. În cazul înfășurărilor bifazate decalajul corespunzător dintre înfășurările faze-

lor succesive este  $\frac{Z}{4p}$  crestături iar la înfășurările trifazate, înfășurările de fază sănt decalate succesiv cu  $\frac{Z}{3p}$  crestături.

La înfășurările executate cu mai multe conductoare în paralel pe calea de curent, conductoarele elementare trebuie să aibă aceeași secțiune, deoarece curentul pe calea de curent se repartizează aproape în mod egal prin conductoarele în paralel. În consecință, conductoarele cu secțiune mai mică sănt mai solicitate termic în timpul funcționării decât restul conductoarelor, periclitînd astfel întreaga înfășurare.

e. *Numerele de spire, de conductoare în crestătură și de bobine ale înfășurării*

Valoarea efectivă a tensiunii electromotoare pe fază indusă într-o cale de curent, este dată de relația :

$$E = 4,44 \cdot f \cdot w \cdot k_w \cdot \Phi. \quad (5.8)$$

Cunoscind valoarea efectivă a tensiunii electromotoare  $E$  pe fază, frecvența  $f$  a tensiunii, factorul de înfășurare  $k_w$  și valoarea fluxului polar  $\Phi$ , din relația (5.8) se calculează numărul de spire  $w$  ale fiecărei căi de curent după relația

$$w = \frac{E}{4,44 \cdot f \cdot k_w \cdot \Phi}. \quad (5.9)$$

Fiecare spiră are două conductoare active ; numărul de conductoare  $N_a$  pe o cale de curent este egal cu produsul dintre dublul numărului de spire și numărul de conductoare în paralel, adică

$$N_a = 2w \cdot n_p. \quad (5.10)$$

Numărul total de conductoare active  $N_t$  ale unei înfășurări cu  $m$  faze, în cazul în care fiecare înfășurare a fazelor are  $a$  căi de curent, este

$$N_t = 2m \cdot a \cdot w \cdot n_p. \quad (5.11)$$

Numărul de conductoare active  $N_c$  care se introduc în fiecare crestătură a miezului magnetic, se determină împărțind numărul total de conductoare  $N_t$  la numărul total  $Z_b$  de crestături bobinate, adică

$$N_c = \frac{N_t}{Z_b} = \frac{2m \cdot a \cdot w \cdot n_p}{Z_b} \quad (5.12)$$

Prin urmare, numărul de conductoare  $N_t$  trebuie să se împartă exact la numărul de crestături  $Z_b$ .

Numărul de conductoare active  $N_c$  dintr-o crestătură poate apartine unei singure laturi de bobină sau la mai multe laturi de bobine; uzuial la înfăşurările într-un strat în crestătură se aşază o singură latură de bobină, iar la înfăşurările în două straturi se aşază în crestătură cîte două laturi. În consecință la înfăşurările într-un strat numărul de bobine este egal cu jumătate din numărul crestăturilor binate, iar la cele în două straturi este egal cu numărul de crestături.

f. *Numărul de crestături pe pol și fază,  
clasificarea înfăşurărilor*

Numărul de crestături pe pol și fază se notează cu  $q$  și reprezintă raportul dintre numărul total de crestături  $Z$  și produsul numărului de poli  $2p$  prin numărul de faze  $m$

$$q = \frac{Z}{2pm}. \quad (5.13)$$

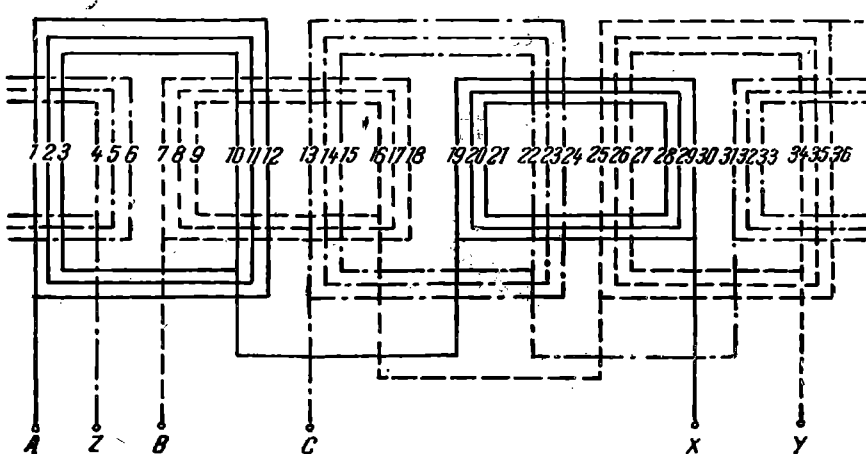


Fig. 5.23. Schema desfășurată a unei înfăşurări trifazale, tetrapolare, cu număr întreg de crestături pe pol și fază ( $q=3$ ).

Înfăşurările la care numărul de crestături pe pol și fază  $q$  este un număr întreg sunt denumite *înfăşurări cu număr întreg de crestături pe pol de fază*, iar cele cu  $q$  fractionar sunt denumite *înfăşurări cu nu-*

măr fracionar de crestături pe pol și fază. În fig. 5.23 și fig. 5.24 sînt reprezentate schemele desfășurate ale unor înfășurări cu  $q$  întreg, respectiv cu  $q$  fracionar.

Mașinile cu un anumit număr de crestături libere (fără înfășurare) prezintă de asemenea înfășurări cu număr fracionar de crestături pe pol și fază, chiar dacă raportul  $q'$  dintre numărul crestăturilor bobinate  $Z_b$  și produsul numărului de poli  $2p$  prin numărul de faze  $m$  este un număr întreg

$$q' = \frac{Z_b}{2pm}. \quad (5.14)$$

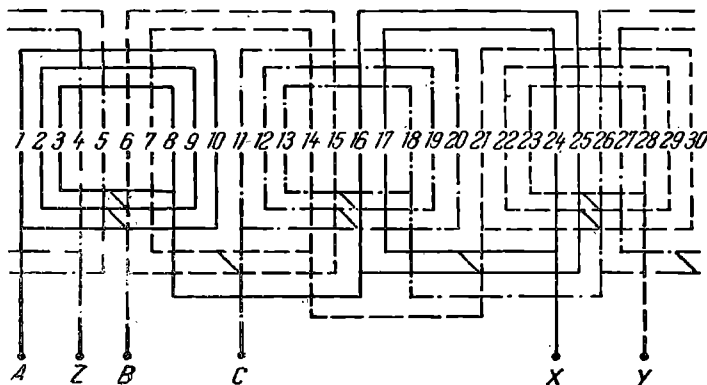


Fig. 5.24. Schema desfășurată a unei înfășurări trifazate, tetrapolare, cu număr fracionar de crestături pe pol și fază  $q=2\frac{1}{2}$ .

Înfășurările cu număr fracionar de crestături pe pol și fază se utilizează în scopul reducerii armonicilor, îndeosebi la mașinile cu număr mare de poli și număr redus de crestături pe pol și fază.

#### g. Factorul de repartizare

Înfășurările avînd  $q=1$ , într-un strat sau în două straturi, sînt înfășurări concentrate. Asemenea înfășurări, cu pas diametral, nu se aplică la mașinile mici, mijlocii și mari de curent alternativ datorită armonicilor mari care se produc.

Pentru diminuarea armonicilor, spirele aceleiași faze, de pe perechea de poli, se dispun repartizat în mai multe crestături vecine; în acest scop, înfășurarea se execută cu un număr  $q$  de crestături pe pol și fază mai mare decît unitatea, iar înfășurarea este denumită înfășurare repartizată.

Tensiunea electromotoare indușă în înfășurarea repartizată este mai mică decât în cazul unei înfășurări concentrate cu aceleasi caracteristici.

Ca exemplu, s-au reprezentat în fig. 5.25 înfășurări într-un strat bipolar dintre care una concentrată (cu  $q=1$ ) în fig. 5.25, a, iar alta repartizată (cu  $q=2$ ) în fig. 5.25, b; se consideră că înfășurările au

același număr de spire pe fază, adică o bobină cu  $w$  spire în fig. 5.25, a și două bobine conectate în serie, cu cîte  $w/2$  spire în fig. 5.25, b; deschiderea bobinelor s-a presupus egală cu pasul polar, înfășurările fiind în acest caz diametrale.

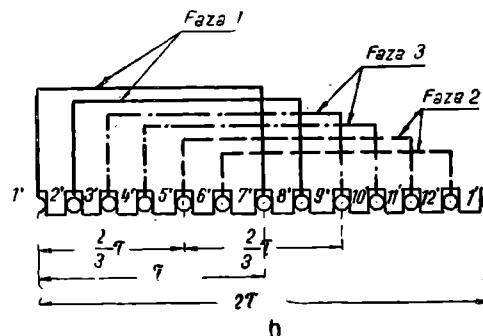
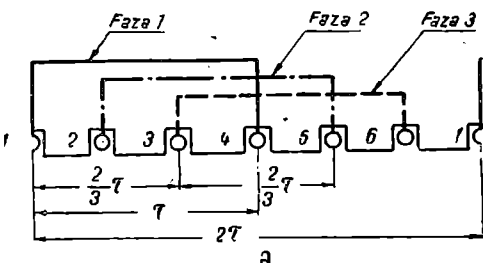


Fig. 5.25. Înfășurare trifazată, bipolară : a — concentrată ( $q=1$ ); b — repartizată ( $q=2$ ).

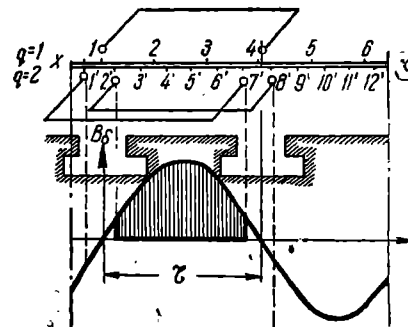


Fig. 5.26. Explicativă la factorul de repartizare.

În cazul înfășurării concentrate din fig. 5.25, a, din care s-a reprezentat prima fază și în fig. 5.26 (deasupra dreptei  $x-x'$ ), valoarea efectivă a tensiunii electromotoare indușă de fundamentala cîmpului magnetic în cele  $w$  spire (cu deschiderea diametrală) ale înfășurării, este

$$E = 4,44 \cdot f \cdot w \cdot \Phi, \quad (5.15 \text{ a})$$

unde  $\Phi$  este fluxul magnetic al unui pol, iar  $f$  frecvența tensiunii induse.

Înfășurarea primei faze din fig. 5.25, b este reprezentată și în fig. 5.26 (sub dreapta  $x-x'$ ). În acest caz, bobinele așezate în crestăturile  $1'-7'$  și  $2'-8'$  îmbrătișează în același moment un flux  $\Phi'$  maxim rezultant, proporțional cu suprafața hașurată din fig. 5.26,

mai mic decit fluxul polar  $\Phi$  imbrătișat de bobina din crestăturile 1—4 ale infășurării echivalente concentrate din fig. 5.25, a.

Valoarea efectivă a tensiunii electromotoare indușă de fundamenteala cîmpului magnetic în bobinele 1'—7' și 2'—8' (în infășurarea repartizată a primei faze în fig. 5.25, b) este dată de relația

$$E' = 4,44 \cdot f \cdot \frac{w}{2} \Phi' + 4,44 \cdot f \cdot \frac{w}{2} \Phi'; \quad (5.15 \text{ b})$$

prin urmare, tensiunea electromotoare  $E'$  este mai mică decit tensiunea electromotoare  $E$ . Raportul dintre tensiunile electromotoare  $E$  indușă pe fază într-o infășurare repartizată diametrală și tensiunea electromotoare  $E$  indușă pe fază într-o infășurare concentrată cu același număr de spire și aceleași caracteristici (aceleași suprafete și același cîmp magnetic), se numește factorul de repartizare al infășurării și se notează cu  $k_q$ , adică

$$k_q = \frac{E'}{E} = \frac{\Phi'}{\Phi}. \quad (5.16)$$

Pentru infășurările repartizate simetric, valoarea factorului de repartizare corespunzător fundamentalei cîmpului se calculează cu formula

$$k_q = \frac{\sin \frac{q\alpha}{2}}{q \sin \frac{\alpha}{2}}, \quad (5.17)$$

în care  $q$  este numărul de crestături pe pol și fază (conform relației 5.13), iar unghiul  $\alpha$  este unghiul electric dintre două crestături vecine în care sunt dispuse laturi de bobine. Unghiul  $\alpha$  se calculează împărțind  $180^\circ$  (unghiul corespunzător unui pas polar  $\tau$ ) la numărul total de crestături dintr-un pas polar ( $mq$  crestături). În cazul infășurărilor trifazate, unghiul  $\alpha$  se calculează cu relația

$$\alpha = \frac{180^\circ}{3q}. \quad (5.18)$$

**Exemplu.** În cazul infășurării din fig. 5.25, b unghiul  $\alpha$  este

$$\alpha = \frac{180^\circ}{3 \cdot 2} = 30^\circ;$$

factorul de repartizare  $k_q$  este

$$k_q = \frac{\sin \frac{2 \cdot 30^\circ}{2}}{2 \sin \frac{30^\circ}{2}} = \frac{\sin 30^\circ}{2 \sin \frac{30^\circ}{2}} = 0,966.$$

Pentru înfășurările trifazate, înlocuind (5.18) în (5.17), numărătorul expresiei (5.17) devine  $\sin 30^\circ = 0,5$  iar expresia (5.17) se poate scrie

$$k_q = \frac{0,5}{q \sin \frac{30^\circ}{q}} \cdot (5.19)$$

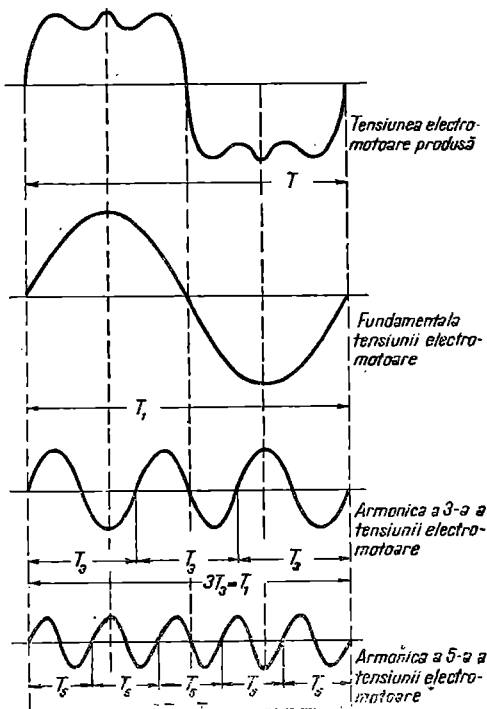


Fig. 5.27. Curba tensiunii electromotoare și curbele armonicilor componente.

Din această tabelă se constată că factorii de repartizare corespunzători armonicilor superioare sunt mai mici decât cei ai fundamentaliei; prin urmare, curba tensiunii induse în înfășurarea repartizată va conține armonici mai reduse, apropiindu-se mai mult de o sinusoidă, decât curba tensiunii electromotoare induse în înfășurarea dispusă concentrat. În schimb, pentru ca tensiunea electromotoare indusă să aibă aceeași valoare efectivă, numărul de spire al înfășurării repartizate trebuie majorat de  $\frac{1}{k_q}$  ori; astfel, la înfășurările repartizate, diametral de numărul de spire este dat de relația

$$w = \frac{E}{4,44 \cdot f \cdot \Phi \cdot k_q} \quad (5.15')$$

În cazul unei armonici de ordinul  $v$  a cîmpului magnetic, pasul polar devine  $T/v$ , iar unghiul  $\alpha$  crește de  $v$  ori (v. fig. 5.27), prin urmare factorul de repartizare corespunzător armonicii  $v$  a cîmpului este dat de relația

$$k_{qv} = \frac{\sin \frac{qv\alpha}{2}}{q \sin \frac{v\alpha}{2}} \cdot (5.20)$$

Expresia (5.20) pentru  $v=1$  (pentru fundamentală) devine (5.17).

În tabela 5.2 sunt date valorile factorului de repartizare  $k_{qv}$  pentru fundamentală și pentru armonicele 3, 5 și 7 la înfășurări cu număr întreg de crestături de pol și fază.

în care  $k_q$  reprezintă factorul de repartizare al fundamentalei dat în tabela 5.2, coloana corespunzătoare valorii  $v=1$ .

Tabela 5.2

**Factorul de repartizare  $k_{qv}$  pentru înfăşurări trifazate cu număr întreg de crestături pe pol și fază**

q	Ordinul armonicilor v			
	1 (fundamentală)	3	5	7
1	1	1	1	1
2	0,966	0,707	0,259	0,259
3	0,930	0,667	0,217	0,177
4	0,958	0,613	0,204	0,157
5	0,9575	0,546	0,200	0,152
6	0,957	0,544	0,197	0,145
8	0,955	0,636	0,191	0,136

*h. Factorul de scurtare*

Pentru diminuarea armonicilor, înfăşurările de curent alternativ în două straturi se execută cu bobine al căror pas este mai scurt decât pasul polar; deoarece fluxul maxim îmbrăţişat de bobină scade cu creșterea scurtării, valoarea efectivă a tensiunii electromotoare indusă de fundamentala cîmpului scade. Raportul dintre valorile efective ale tensiunii electromotoare induse în înfăşurarea cu pas scurtat, respectiv cu pas diametral, se numește factor de scurtare.

S-a considerat că înfăşurarea cu pas scurtat, are același număr de spire și același număr de crestături pe pol și fază, aceleasi dimensiuni ale mașinii și este situată în același cîmp inductor, ca și înfăşurarea cu pas diametral.

Factorul de scurtare este subunitar și se calculează pentru fundamentală cu relația

$$k_{s1} = \cos \beta = \cos \left( \frac{180^\circ}{2} \cdot \frac{\tau - y}{\tau} \right), \quad (5.21)$$

în care unghiul  $\beta = \frac{180^\circ}{2} \cdot \frac{\tau - y}{\tau}$  este jumătatea unghiului corespunzător scurtării  $\tau - y$ .

Expresia de calcul a factorului de scurtare corespunzător armonicii de ordinul  $v$  a cîmpului magnetic (pentru care pasul polar scade de  $v$  ori) respectiv a tensiunii electromotoare induse este

$$k_{sv} = \cos v\beta = \cos \left( v \frac{180^\circ}{2} \cdot \frac{\tau - y}{\tau} \right), \quad (5.22)$$

unde  $v$  este ordinul armonicăi de tensiune (de exemplu  $v = 1, 2, 5, 7 \dots$ ).

În relația (5.21) mărimile  $\tau$  și  $y$  se exprimă usual în numere de crestături.

La infășurările constituite din bobine cu deschidere egală,  $y$  este pasul bobinei.

La infășurările la care se utilizează ca element constructiv de bază grupa de bobine concentrice, pasul  $y$  se calculează pe grupa de bobine printr-o medie aritmetică. Spre exemplu, pentru o grupă de trei bobine concentrice care ocupă crestăturile 1, 2, 3—9, 10, 11, pasul  $y$  va fi

$$y = \frac{y_1 + y_2 + y_3}{3} = \frac{(9-3) + (10-2) + (11-1)}{3} = \frac{6+8+10}{3} = 8 \text{ [crestături].}$$

Diferența dintre pasul polar  $\tau$  și pasul  $y$  al bobinei se numește scurtarea bobinei :

$$s = \left[ \frac{\tau}{2p} - y \right] \text{ [crestături].} \quad (5.23)$$

Dacă  $y < \tau$ ,  $s$  este pozitiv iar bobina este scurtată. În cazul că  $y > \tau$ ,  $s$  este negativ iar bobina este lungită, adică are deschidere mai mare decât pasul polar.

Scurtarea relativă a bobinei se exprimă în procente prin relația

$$s_r = \frac{\tau - y}{\tau} \cdot 100 \quad [\%]. \quad (5.24)$$

Unghiul corespunzător scurtării  $\tau - y$  îl notăm cu  $2\beta$  și are expresia

$$2\beta = \frac{\tau - y}{\tau} \cdot 180^\circ. \quad (5.25)$$

În tabela 5.3 sunt date scurtarea relativă și corespunzător acesteia, factorii de scurtare, pentru fundamentală și pentru armonicele 3, 5 și 7.

Tabela 5.3

**Factorul de scurtare  $k_{sv}$**

Scurtarea relativă		0	0,06	0,11	0,166	0,22	0,28	0,33
	Armonica							
Factorul de scurtare pentru diferite armonici și fundamentală	1	1,000	0,996	0,935	0,966	0,940	0,903	0,866
	3	1,000	0,956	0,366	0,707	0,500	0,259	0,000
	5	1,000	0,906	0,843	0,259	0,173	0,574	0,866
	7	1,000	0,819	0,342	0,259	0,766	0,936	0,866

Din tabela 5.3 se observă că factorii de scurtare corespunzător armonicilor superioare sunt în general mai mici decât ai fundamentală.

talei; prin urmare, curba tensiunii electromotoare indusă în infăşurarea cu pas scurtat conține armonici mai reduse, apropiindu-se mai mult de o sinusoidă.

Înfăşurările cu pas scurtat se execută mai ales în două straturi.

Ca infăşurări în două straturi cu pas scurtat se pot executa și infăşurările concentrate și infăşurările repartizate. Ca infăşurări într-un strat cu pas scurtat se pot executa numai infăşurările repartizate. Exemple de scheme de infăşurări într-un strat cu pas scurtat sunt reprezentate în fig. 5.42, 5.43 și 5.50.

Înfăşurările cu pas scurtat îmbunătățesc forma curbei tensiunii electromotoare induse și asigură o anumită economie de material, pînă la o anumită valoare a scurtării. În practică, infăşurările în două straturi cu pas scurtat sunt foarte răspîndite; ele necesită pentru aceeași deschidere a bobinelor mai puțin material conductor decît infăşurările similare într-un strat.

În fig. 5.28 se poate observa efectul scurtării pasului bobinei asupra reducerii armonicelor de ordinea 3 și 5 ale tensiunii induse.

În fig. 5.28, a se prezintă curba cîmpului magnetic din întreierul mașinii, conținînd fundamentala  $B_{\delta_1}$  și armonicile  $B_{\delta_3}$  și  $B_{\delta_5}$ , din fig. 5.28, b. În fig. 5.28, c se prezintă schematic o bobină cu pas diametral, în fig. 5.28, d, o bobină avînd pasul scurtat la  $\frac{2\pi}{3}$ , iar în fig. 5.28, e, o bobină avînd pasul scurtat la  $\frac{4\pi}{5}$ .

Din fig. 5.28, d rezultă că fluxul armonică 3 imbrătișat de bobină avînd deschiderea  $\frac{2\pi}{3}$  este nul și ca urmare se anulează și armonica 3 din tensiunea electromotoare. Totodată, scade și fluxul fundamental imbrătișat de bobină, care este proporțional cu conturul trasat îngroșat și ca urmare scade și fundamentala tensiunii electromotoare.

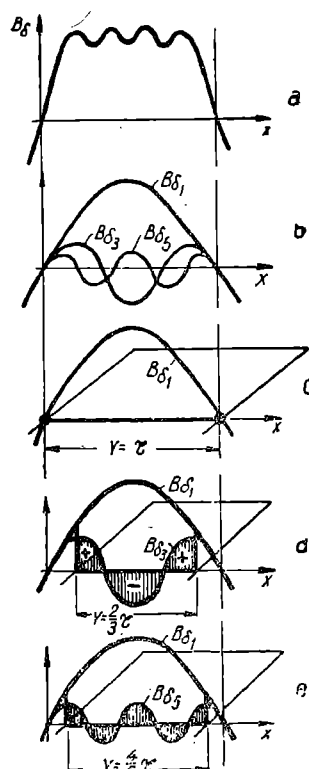


Fig. 5.28. Explicativă la factorul de scurtare; scurarea pasului bobinei și anularea armonicilor 3 și 5 ale fluxului (respectiv ale tensiunii electromotoare).

toare indușă în bobină. La fel se întimplă și cu armonica 5, în cazul considerat în fig. 5.28, e.

La înfășurările cu pas scurtat, tensiunea electromotoare indușă în infășurare se obține înmulțind factorul de scurtare al pasului  $k_s$  cu tensiunea electromotoare care se induce în aceleși condiții într-o infășurare cu pas diametral, cu același număr de spire și cu aceeași repartizare în crestături a laturilor de bobine, adică

$$E_s = E_d \cdot k_s = E_d \cos \left( \frac{180^\circ}{2} \cdot \frac{\tau - y}{\tau} \right). \quad (5.26)$$

Pentru armonicile de ordinul  $v$  ale tensiunii electromotoare această relație devine

$$E_{sv} = E_d \cdot k_{sv} = E_d \cdot \cos \left( v \frac{180^\circ}{2} \cdot \frac{\tau - y}{\tau} \right), \quad (v = 1, 3, 5, 7, \dots). \quad (5.27)$$

### 1. Factorul de înfășurare

În general, înfășurările de curent alternativ se execută ca înfășurări repartizate într-un strat sau în două straturi, la care bobinele pot avea pas diametral, sau pas scurtat sau pași diferiți pe grupa de bobine, în funcție de caracteristicile schemei înfășurării la alegerea căreia s-a avut în vedere și diminuarea armonicilor.

Tensiunea electromotoare indușă în aceste înfășurări repartizate și cu pas scurtat (pentru toate bobinele sau numai pentru o parte din bobine) este mai mică decât tensiunea electromotoare indușă în înfășurările cu pas diametral, respectiv în înfășurările concentrate cu pas scurtat.

Raportul dintre fundamentala tensiunii electromotoare indușă în infășurarea reală și fundamentala tensiunii electromotoare indușă în aceeași înfășurare executată ca înfășurare concentrată cu pas diametral este denumit factorul de înfășurare și se notează cu  $k_w$ . În mod asemănător se definește și factorul de înfășurare al armonicilor. Valoarea acestui factor este subunitară. La un număr mare de înfășurări, factorul de înfășurare al fundamentalei este cuprins între 0,9 și 1, iar factorii de înfășurare ai armonicilor coboară pînă la zero.

La cele mai multe tipuri de înfășurări, factorul de înfășurare  $k_w$  este egal cu produsul factorilor de repartizare  $k_q$  și de scurtare  $k_{sv}$ , adică

$$k_w = k_q \cdot k_{sv}; \quad (5.28)$$

valorile factorilor  $k_q$  și  $k_{sv}$  se calculează după relațiile 5.20 și 5.22.

Factorul de înfășurare pentru diferitele tipuri de înfășurări se calculează după indicațiile prezentate în tabela 5.4.

Tabela 5.4

## Calculul factorului de înfășurare la înfășurările trifazate

Tipul de înfășurare	Expresia de calcul a factorului de înfășurare	Observații
1	2	3

## A. Înfășurări cu 6 zone

1. Înfășurări concentrate, diametrale	$k_w = 1$	
2. Înfășurări concentrate, în două straturi, cu pas scurtat	$k_w = k_s$	relația 5.22
3. Înfășurări repartizate cu pasul mediu pe grupa de bobine, diametral	$k_w = k_q$	relația 5.20
4. Înfășurări repartizate, în două straturi, cu pas scurtat	$k_w = k_q \cdot k_s$	relațiile 5.20 și 5.22
5. Înfășurări repartizate, într-un strat (grupa de cîte $q/2$ bobine)	$k_w = k_{q/2} \cdot k_s$	relațiile 5.20 (în care se ia $q/2$ în loc de $q$ ) și 5.22
6. Înfășurări repartizate, într-un strat, în lanț, cu $q$ par	$k_w = k_{q/2, 2\alpha} \cdot k_s$	relațiile 5.20 (în care se ia $q/2$ în loc de $q$ și $2\alpha$ în loc de $\alpha$ ) și 5.22

## B. Înfășurări cu 3 zone

7. Înfășurări repartizate în două straturi (grupa de $2q$ bobine)	$k_w = k_{2q} \cdot k_s$	relațiile 5.20 (în care se ia $2q$ în loc de $q$ ) și 5.22
---	--------------------------	--

C. Înfășurări cu  $q$  fracțional(pentru  $p$  diferit de 3 și multiplu de 3, fără intercalare faze)

8. Înfășurări într-un strat pentru $p$ impar	$k_w = k_{pq}$	relația 5.20 (în care se ia $pq$ în loc de $q$ , iar $\alpha = \frac{360^\circ}{z}$ )
9. Înfășurări într-un strat pentru $p$ par	$k_w = k_{bq} \cdot k_d$	relația 5.20 (în care în loc de $q = \frac{a}{b}$ se ia $bq$ ; în loc de $\alpha$ se ia $\frac{\alpha}{b}$ și $k_d = \cos \frac{\alpha}{b}$ )
10. Înfășurări în două straturi	$k_w = k_{bq} \cdot k_s$	în care $k_{bq}$ se calculează la fel ca la pct. 9 iar $k_s$ după relația 5.21.

### 5.2.3. Înfășurările de curent alternativ într-un strat.

#### Definiție, număr de bobine, clasificări

Înfășurările constituite din bobine a căror laturi ocupă fiecare cîte o crestătură se numesc înfășurări într-un strat.

În funcție de numărul crestăturilor  $Z$ , numărul total de bobine  $N_b$  ale înfășurării într-un strat este

$$N_b = \frac{Z}{2}, \quad (5.29)$$

iar numărul de bobine din înfășurarea unei faze

$$N_{bf} = \frac{N_b}{m} = \frac{Z}{2m}, \quad (5.30 \text{ a})$$

$m$  fiind numărul de faze.

Numerele  $N_b$  și  $N_{bf}$  se pot exprima în funcție de numărul de poli  $2p$ , de crestăturile pe pol și fază  $q$  și numărul de faze  $m$ , prin relațiile :

$$N_b = \frac{2pqm}{2} = pqm; \quad (5.31)$$

$$N_{bf} = \frac{2pqm}{2m} = pq. \quad (5.32)$$

Deoarece numărul de bobine pe fază  $N_{bf}$  trebuie să fie un număr întreg, la înfășurările într-un strat produsul  $pq$  trebuie să fie număr întreg. Prin urmare, numărul de crestături pe pol și fază poate fi un număr întreg sau un număr fracționar ; de exemplu, la  $p=2$ ,  $q$  poate lua valorile  $1, 1\frac{1}{2}; 2, 2\frac{1}{2}; 3, 3\frac{1}{2}$  etc. ; la  $p=3$ ,  $q$  poate lua valorile  $1, 1\frac{1}{3}, 1\frac{2}{3}, 2, 2\frac{1}{3}, 2\frac{2}{3}$  etc.

Dacă la rebobinarea unei mașini, cînd se schimbă tipul de înfășurare sau cînd se folosește o tolă stanțată existentă și  $\frac{Z}{2m}$  nu este un număr întreg, înfășurarea se poate executa într-un strat, lăsînd libere un anumit număr de crestături astfel ca raportul

$$\frac{Z_b}{2m} = N_{bf} = \text{număr întreg}, \quad (5.30 \text{ b})$$

în care  $Z_b$  este numărul crestăturilor bobinate.

La execuția înfășurărilor într-un strat se utilizează ca elemente constructive de bază ale înfășurării, bobina și grupa de bobine. Se inspiră și grupa de semispire se utilizează mai rar.

La înfășurările într-un strat, părțile frontale ale elementelor constructive de bază se dispun, de o parte și de alta a miezului magnetic, în etaje sau în coroane.

După modul în care se dispun între ele părțile frontale ale bobinelor sau grupelor de bobine, se deosebesc următoarele tipuri de înfășurări trifazate într-un strat :

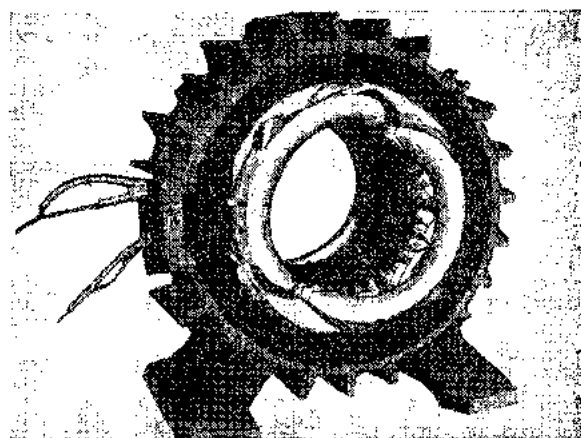


Fig. 5.29. Fotografia unei înfășurări trifazate, în trei etaje, avind :  $Z=36$ ;  $2p=2$ ;  $q=6$ .

1. Înfășurări în trei etaje, acestea sunt constituite, pentru  $q$  par, din  $2pm$  grupe de bobine, avind fiecare cîte  $q/2$  bobine, unde  $m$  este numărul de faze,  $p$  numărul de perechi de poli și  $q$  numărul de crestături pe pol și fază, ale înfășurării (fig. 5.29).

2. Înfășurări în două etaje sunt constituite, pentru  $q$  întreg din  $pm$  grupe de bobine, fiecare grupă avind  $q$  bobine (fig. 5.30).

3. Înfășurări în coroană de grupe de bobine concentrice avind  $2pm$  grupe cu  $q/2$  bobine în grupă pentru  $q$  par (fig. 5.31).

4. Înfășurări în coroana de grupe de bobine egale, avind  $2pm$  grupe și  $q/2$  bobine în grupă pentru  $q$  par (fig. 5.32).

5. Înfășurări în coroana de grupe de bobine concentrice, avind  $pm$  grupe cu  $q$  bobine în grupă pentru  $q$  întreg (fig. 5.33).

6. Înfășurări în coroană de grupe de bobină egale, avind  $pm$  grupe cu  $q$  bobine în grupă pentru  $q$  întreg (fig. 5.34).

7. Înfășurări în coroană de bobine egale (fig. 5.35), denumite și înfășurări în lanț. La acestea, pasul bobinelor exprimat în număr de crestături este impar.

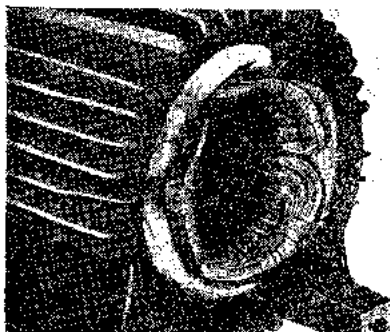


Fig. 5.30. Fotografia unei înfășurări trifazate, în două etaje, avind :  $Z=36$  ;  $2p=4$  ;  $q=3$ .



Fig. 5.31. Fotografia unei înfășurări trifazate, în coroană de grupe de bobine concentrice, avind :  $Z=72$  ;  $2p=6$  ;  $q=4$ .

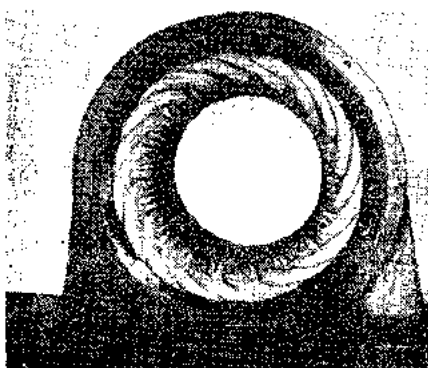


Fig. 5.32. Fotografia unei înfășurări trifazate, în coroană de grupe pe bobine egale avind  $q=4$ .



Fig. 5.33. Fotografia unei înfășurări trifazate, în coroană de grupe de bobine concentrice avind  $q=2$ .



Fig. 5.34. Fotografia unei înfășurări trifazate, în coroană de grupe de bobine egale, avind :  $Z=48$  ;  $2p=6$  ;  $q=3$ .

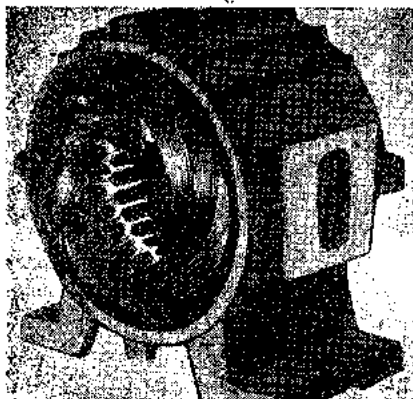


Fig. 5.35. Fotografia unei înfășurări trifazate, în coroană de bobine egale (in lanț) avind :  $Z=24$  ;  $2p=2$  ;  $q=4$ .

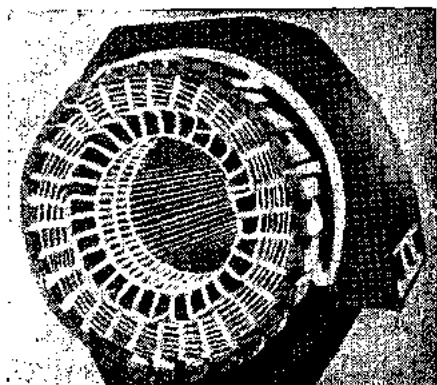


Fig. 5.36. Fotografia unei înfășurări trifazate, în evolventă avind părțile frontale dispuse în două plane perpendiculare pe axul de rotație, cu  $Z=60$  ;  $2p=4$  ;  $q=5$ .

8. Înfășurări în evolventă, care au părțile frontale ale bobinelor componente dispuse în două (sau un multiplu întreg de două) plane perpendiculare pe axul de rotație al mașinii; uneori părțile frontale ale bobinelor componente sunt dispuse față de axul mașinii după două (sau  $m$  multiplu de două) suprafete conice (fig. 5.36).

9. Înfășurări pentru indusuri secționate; acestea au o dispunere special grupată în părțile frontale, în trei etaje sau în coroană de grupe de bobine egale (fig. 5.37).

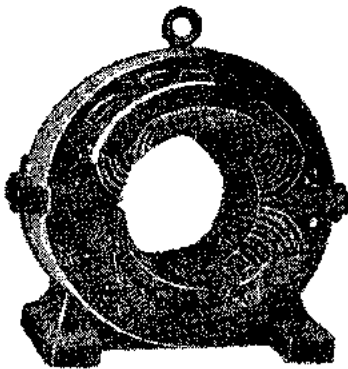


Fig. 5.37. Fotografia unei înfășurări trifazate, pentru indus secționat cu dispunere grupată în trei etaje, avind:  $Z=60$ ;  $2p=4$ ;  $q=5$ .

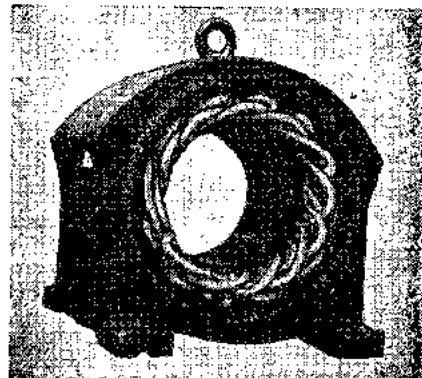


Fig. 5.38. Fotografia unei înfășurări trifazate în două coroane avind:  $Z=48$ ;  $2p=4$ ;  $q=4$ .

10. Înfășurări din bobine egale, cu părțile frontale în două coroane formate după suprafete conice coaxiale (fig. 5.38).

La înfășurările într-un strat cu număr fracționar de crestături pe pol și fază, grupele nu au toate același număr de bobine.

Înfășurările trifazate într-un strat pot fi cu șase zone sau cu intercalarea fazelor după cum laturile bobinelor ce aparțin fazei pe pol sunt dispuse în crestături alăturate sau intercalate.

#### a. *Înfășurări cu șase zone*

Înfășurările într-un strat cu șase zone sunt înfășurări trifazate cu număr întreg de crestături pe pol și fază, la care laturile de bobine ce aparțin fazei pe pol sunt dispuse în crestături alăturate. La aceste înfășurări revin șase grupe de laturi de bobine pe perechea de poli,

de unde și denumirea de înfășurări cu șase zone ; grupe de laturi de bobine de ducere alternează cu grupe de laturi de bobine de înțoarcere.

### a. 1. Înfășurări în trei etaje

Înfășurările în trei etaje sunt înfășurări trifazate într-un strat, la care părțile frontale ale bobinelor sau grupelor de bobine se dispun fie după trei plane perpendiculare pe axul mașinii aşa cum se arată în fig. 5.39, a, fie după suprafețe perpendiculare, conice sau cilindrice față de axul mașinii, aşa cum se arată în fig. 5.39, b și c.

Înfășurările în trei etaje se utilizează îndeosebi la mașinile electrice bipolare, motoare și generatoare. Ele sunt constituite, la înfășurările cu  $q$  par, din  $2pm$  grupe de bobine, fiecare grupă având  $q/2$  bobine. O treime din numărul grupelor, adică  $2p$  grupe, revin înfășurării

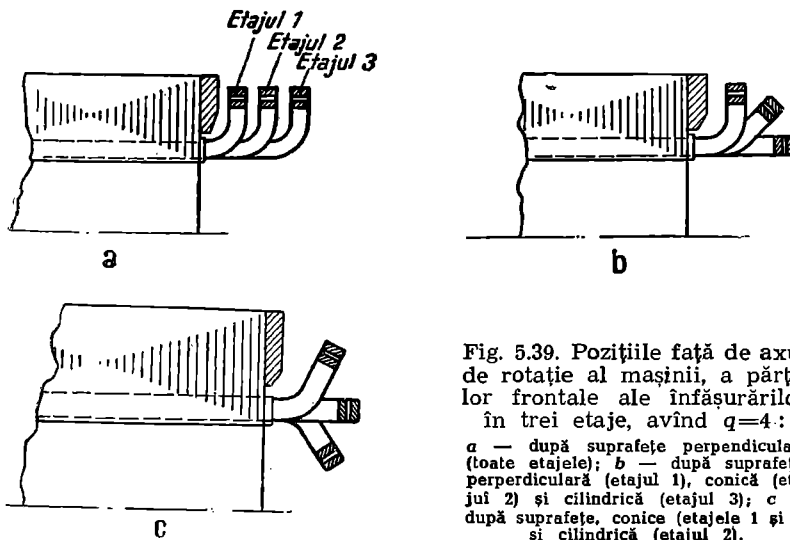


Fig. 5.39. Pozițiile față de axul de rotație al mașinii, a părților frontale ale înfășurărilor în trei etaje, având  $q=4$ :

*a* — după suprafețe perpendiculare (toate etajele); *b* — după suprafețe, perpendiculare (etajul 1), conică (etajul 2) și cilindrică (etajul 3); *c* — după suprafețe, conice (etajele 1 și 3) și cilindrică (etajul 2).

unei faze, iar părțile lor frontale se dispun, de o parte și de alta a miezului magnetic, în același etaj. Grupele succesive de bobine ce aparțin aceleiași faze, sunt decalate între ele cu un pas polar  $\tau$ , respectiv cu  $\frac{Z}{2p}$  crestături, adică au simultan polaritate opusă. Din această cauză, în schema de legături pentru obținerea înfășurării fazei cu o singură cale de curent, la înfășurările în trei etaje, grupele de bobine se leagă alternativ între ele : sfîrșit cu sfîrșit, început cu început și așa mai

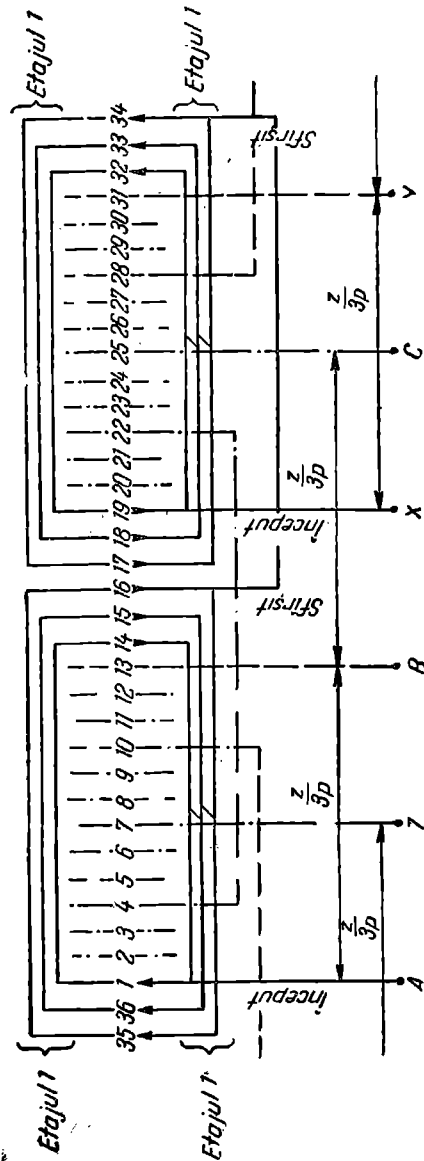


Fig. 5.40. Schema desfășurată a înfășurării  $A-X$  și reprezentarea capetei de legătură ale înfășurărilor celorlalte faze; înfășurarea are:  $Z=36$ ,  $2p=2$ ,  $q=6$ .

departe, dacă începutul înfășurării fazei este început al unei grupe de bobine. Înfășurările celorlalte faze se realizează la fel ca înfășurarea primei faze, iar pasul dintre începuturile fazelor succesive  $y_{i,s}$  se exprimă prin relația (5.2).

În procesul de bobinare a înfășurărilor în trei etaje, se dispun mai întâi în crestături grupele de bobine care revin înfășurării aceleiași faze și care au părțile frontale în același etaj. În cazul în care se utilizează ca element constructiv de bază bobina, grupele de bobine se obțin prin legarea în serie a  $q/2$  bobine vecine.

În fig. 5.40 este reprezentată o înfășurare trifazată, în trei etaje, avind:  $Z=36$ ,  $2p=2$  și  $q=6$ ; în fig. 5.40, a este reprezentată numai înfășurarea  $A-X$  a primei faze și sunt indicate capetele de legătură ale înfășurărilor celorlalte faze și legăturile dintre grupele lor de bobine. Fotografia completă a înfășurării este reprezentată în fig. 5.41.

În figurile 5.42 și 5.43 este reprezentată o înfășurare trifazată, bipolară, avind  $q=4$ , cu bobine concentrice în grupe în fig. 5.42, a și b, și cu bobine identice în grupe în fig. 5.43.

De remarcat că la înfășurările în trei etaje, capetele de legătură ale înfășurărilor

fazelor sint constituite fie din inceputuri, fie din sfîrșituri ale grupelor de bobine. În cazul infășurării din fig. 5.42, a, inceputul A al infășurării primei faze este inceputul unei grupe de bobine, iar sfîrșitul X este de asemenea inceputul celeilalte grupe de bobine. Dacă s-ar fi luat ca inceput al infășurării fazei sfîrșitul primei grupe de bobine (din crestătura 11), atunci sensul infășurării s-ar fi inversat, iar ca sfîrșit al infășurării fazei s-ar fi obținut sfîrșitul celei de a doua grupe de bobine (din crestătura 23). În acest caz grupele de bobine s-ar fi legat între ele inceput cu inceput și în mod corespunzător s-ar fi schimbat și capetele de legătură și legăturile dintre grupele de bobine ale infășurărilor celorlalte faze.

În cazul infășurărilor multipolare în trei etaje, cu o singură cale de curent, la care se iau ca inceputuri ale infășurărilor de fază inceputurile grupelor corespunzătoare de bobine, legăturile dintre grupele succese se fac alternativ : sfîrșit cu sfîrșit, inceput cu inceput și aşa mai departe ; inceputurile ultimelor grupe devin sfîrșituri ale infășurărilor de fază. La aceste infășurări numărul de legături succeseive dintre grupele de bobine ale infășurării unei faze este egal cu  $(2p-1)$ , adică, o legătură în cazul infășurărilor bipolare, trei legături în cazul celor tetrapolare, cinci la cele hexapolare, și aşa mai departe.

Numărul maxim posibil de căi de curent în paralel pe fază, care se pot realiza la infășurările cu  $q$  par în trei etaje, este egal cu  $2p$ .

În fig. 5.44 este reprezentată o infășurare trifazată tetrapolară cu  $q=4$ , pe care s-a exemplificat formarea căilor de curent. În fig. 5.44, a, infășurarea are două căi de curent pe fază, formate din grupe succeseive de bobine care au simultan aceeași polaritate, iar în fig. 5.44, b, din grupe de bobine care au simultan polaritate opusă. De remarcat că grupele succeseive de bobine în căile de curent se conectează sfîrșit cu sfîrșit în fig. 5.44, a, și sfîrșit cu inceput în fig. 5.44, b.

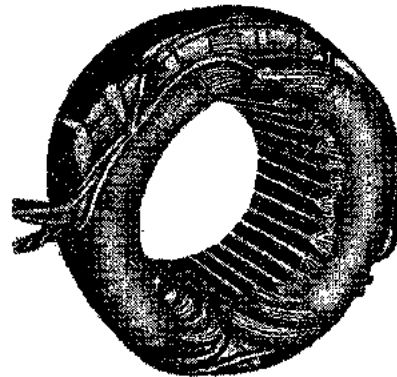


Fig. 5.41. Fotografia unei infășurări de tipul celei reprezentate în fig. 5.40.

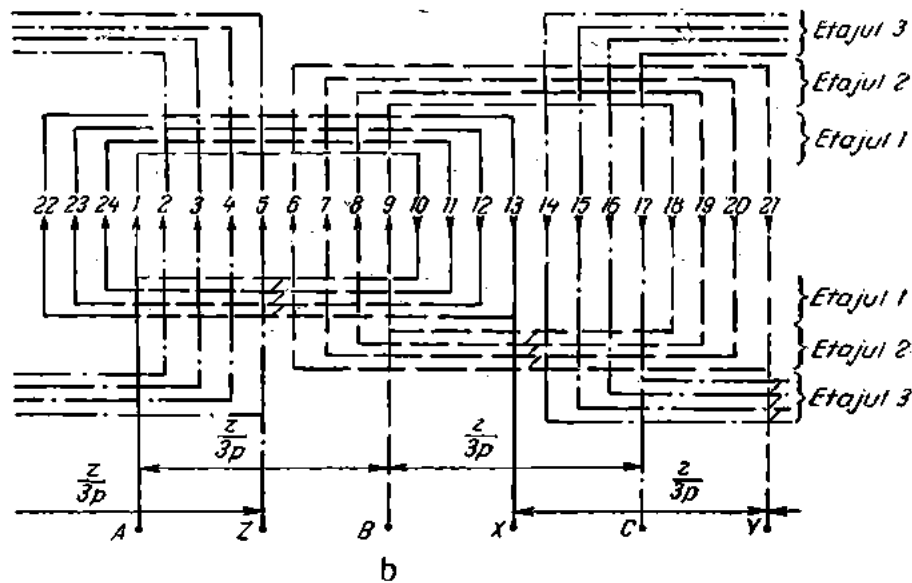
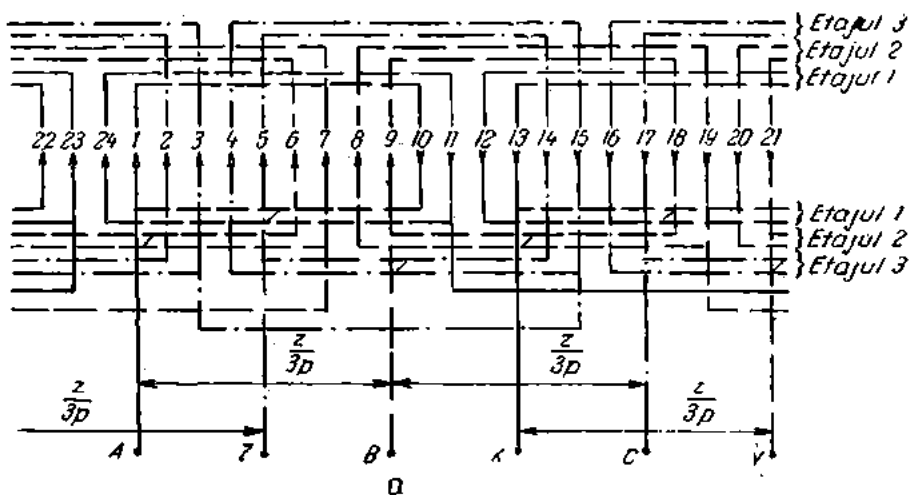


Fig. 5.42. Înăsurarea trifazată, în trei etaje, cu grupe de bobine concentrice, avind :  $Z=24$ ,  $2p=2$ ,  $q=4$ :

a — cu  $q/2$  bobine în grupă; b — cu  $q$  bobine în grupă.

La înfăşurările executate după schema din fig. 5.44, b, la maşina montată fortele de atracţie magnetică unilaterală se reduc, în schimb curenții se repartizează neuniform pe căile de curent și invers, la înfăşurările executate după schema din fig. 5.44, a.

Înfăşurările în trei etaje constituite din  $6p$  grupe de bobine cu  $q/2$  bobine în grupă sănt înfăşurări cu pas scurtat. La acestea pasul bobinelor componente sau pasul mediu al bobinelor din grupă este mai mic decât pasul polar  $\tau = \frac{Z}{2p}$ , cu  $16,66\%$ , iar factorul de înfăşurare

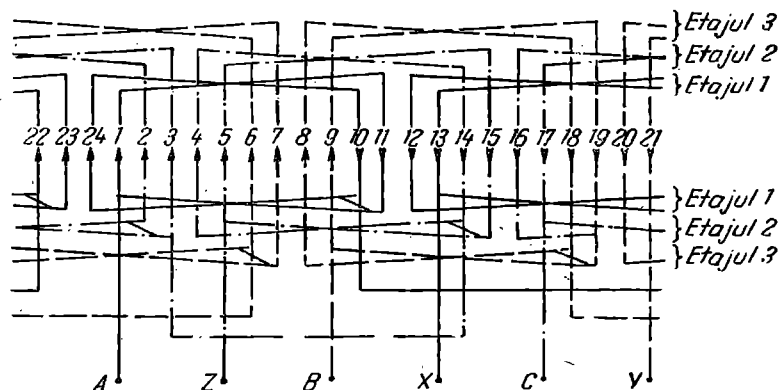
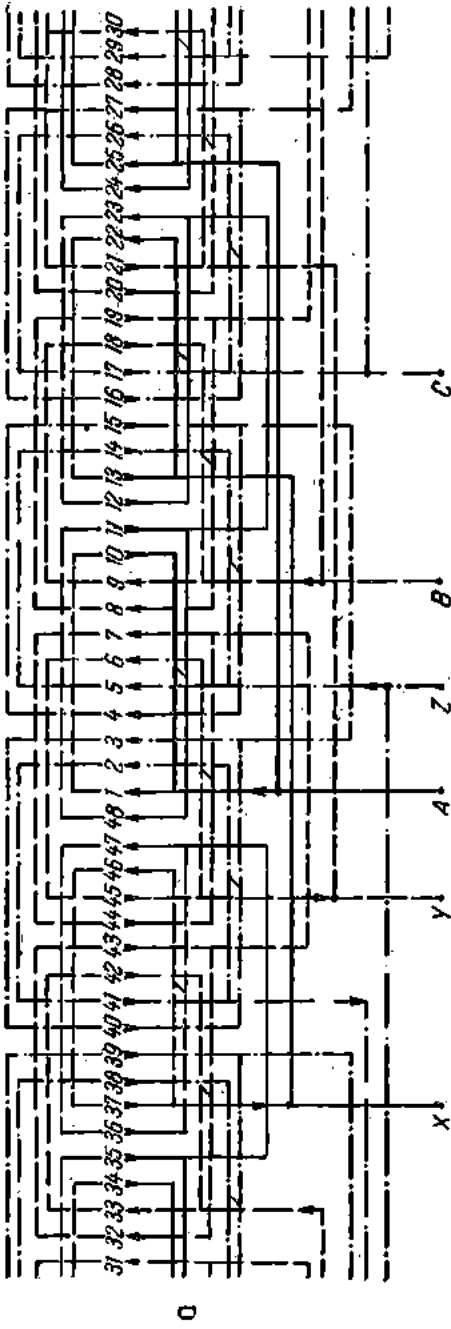


Fig. 5.43. Înfăşurarea trifazată, în trei etaje, cu grupe de bobine identice, cu  $q/2$  bobine în grupă, având  $Z=24$ ,  $2p=4$ ,  $q=4$ .

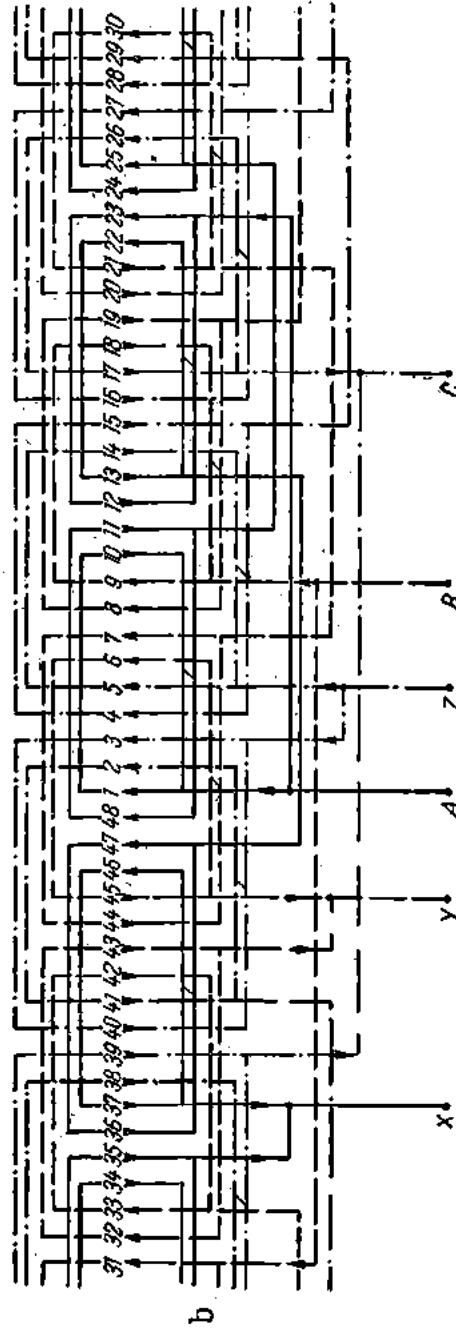
are aceeași valoare ca factorul de înfăşurare corespunzător înfăşurărilor echivalente în trei etaje constituuite din  $3p$  grupe de bobine cu  $q$  bobine în grupă (vezi fig. 5.42, a și b).

Înfăşurările cu  $q$  impar se execută rar ca înfăşurări în trei etaje deoarece, în cazul acestora, în înfăşurarea de fază se succed grupe mari și grupe mici de bobine ; grupa mare va avea  $(q+0,5)$  bobine, iar grupă mică  $(q-0,5)$  bobine. O schemă a unei astfel de înfăşurări având  $q=3$  este reprezentată în fig. 5.45.

La înfăşurările în trei etaje, la care părțile frontale ale bobinelor sau grupelor de bobine se dispun ca în fig. 5.39, a, sănt necesare cantități diferite de material conductor, pentru înfăşurările fazelor ; lungimea medie a spirelor este diferită în cele trei înfăşurări, mai mică pentru etajul 1 și apoi crește în ordine pentru etajele 2 și 3.



a



b

Fig. 5.44. Infășurare trifazată. În trei etaje cu căi de curent în paralel, avind:  $2p=4$ ,  $q=4$ ,  $a=2$ :  
a — cu grupe de bobine pe rafe de curent, de polaritate similitantă opuse; b — cu grupe de bobine pe rafe de curent, de aceeași polaritate simultană.

Dispunerea părților frontale ale grupelor de bobine după modulele indicate în fig. 5.39, b și c, necesită aproximativ aceeași lungime medie a spirei pe faze și relativ mai mică decât în cazul din fig. 5.39, a. Dispunerea conform fig. 5.39, c, se practică la mașinile cu indușul sec-

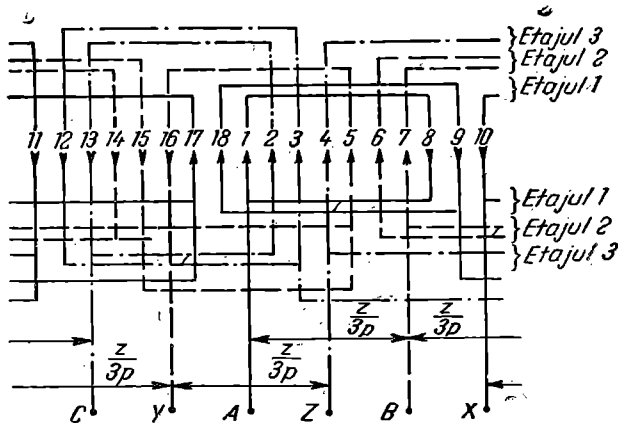


Fig. 5.45. Înfășurare trifazată, în trei etaje, având:  
 $Z=18$ ,  $2p=2$ ,  $q=3$ .

tionat în două sau mai multe sectoare, fiecărui sector revenindu-i în acest caz minimum doi poli. La asemenea mașini, rotorul se introduce radial în statorul demontat.

#### a. 2. Înfășurări în două etaje

La înfășurările în două etaje părțile frontale ale bobinelor sau grupelor de bobine se dispun fie după două plane perpendicular pe axul mașinii aşa cum se arată în fig. 5.46, a, fie după suprafete perpendicular, cilindrice și conice față de axul mașinii ca în fig. 5.46, b și c. În schemele înfășurărilor, etajele sunt formate de părțile frontale ale grupelor de bobine, aşa cum se observă în fig. 5.47, a<sub>1</sub>, a<sub>2</sub>, b și c.

Înfășurările în două etaje se utilizează pe scară largă la mașinile electrice avind  $p > 2$ . Înfășurările trifazate în două etaje cu  $q$  întreg sunt constituite din  $3p$  grupe de bobine, cu  $q$  bobine în grupă, înfășurarea fiecărei faze având  $p$  grupe. Grupele succeseive de bobine ce aparțin aceleiași faze sunt decalate între ele cu un dublu pas polar  $2\tau$ , respectiv cu  $\frac{Z}{p}$  crestături, adică au simultan aceeași polaritate, iar părțile lor frontale sunt dispuse alternativ în cele două etaje. Pentru

obținerea înfășurării fazelor cu o singură cale de curent, la înfășurările în două etaje, grupele de bobine se leagă succesiv între ele sfîrșit cu început, dacă începutul înfășurării fazelor este un început al unei grupe de bobine.

Pasul începuturilor înfășurărilor fazelor successive se exprimă prin relația (5.2).

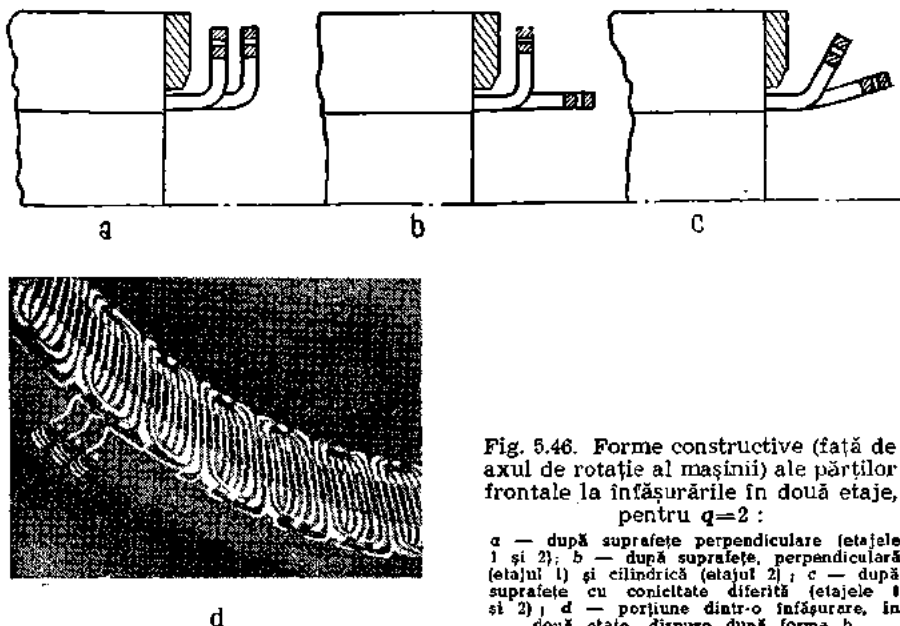
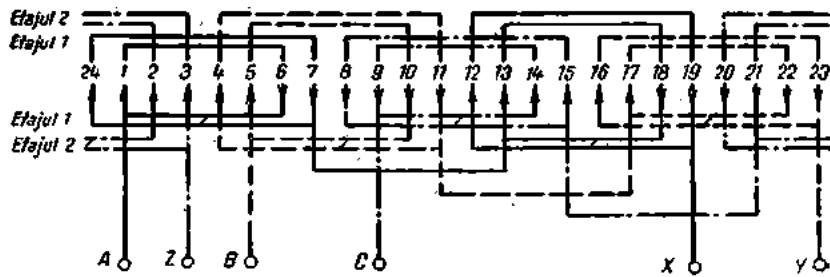


Fig. 5.46. Forme constructive (față de axul de rotație al mașinii) ale părților frontale la înfășurările în două etaje, pentru  $q=2$ :

a — după suprafețe perpendiculare (etajele 1 și 2); b — după suprafețe, perpendiculare (etajul 1) și cilindrică (etajul 2); c — după suprafețe cu conicitate diferită (etajele 1 și 2); d — porțiune dintr-o înfășurare, în două etaje, dispuse după forma b.

Numărul maxim de căi de curent în paralel pe fază este egal cu  $p$  la înfășurările în două etaje cu  $q$  impar. La înfășurarea cu  $p$  căi de curent, toate grupele de bobine ale înfășurării fazelor sunt conectate în paralel (vezi fig. 5.47, b). În cazul înfășurărilor din *grupe de bobine concentrice cu  $q$  par*, numărul maxim posibil de căi de curent în paralel pe fază este egal cu  $2p$ ; la aceste înfășurări în fiecare grupă se pot realiza cîte două căi de curent în paralel, o cale va fi constituită din bobinele care au deschiderea mai mică decît pasul polar, iar cealaltă cale, din bobinele cu deschiderea mai mare decît pasul polar. În fig. 5.47, c este reprezentată o înfășurare tetrapolară cu  $q$  par avînd numărul maxim de căi de curent în paralel  $a=2p=4$ . De reținut (v. fig. 5.16, b) că la înfășurările cu  $a$  căi de curent, bobinele înfășurării au de  $a$  ori mai multe spire decît bobinele înfășurării echivalente



$a_1$

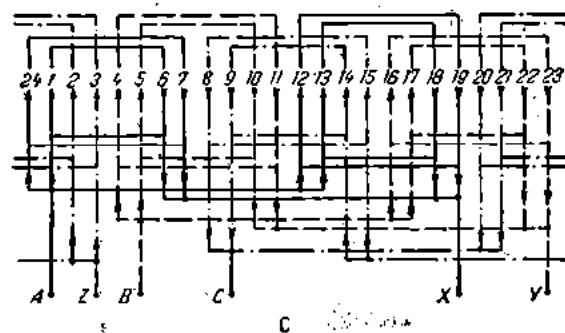
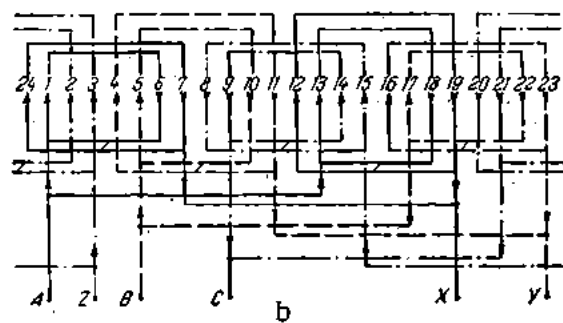
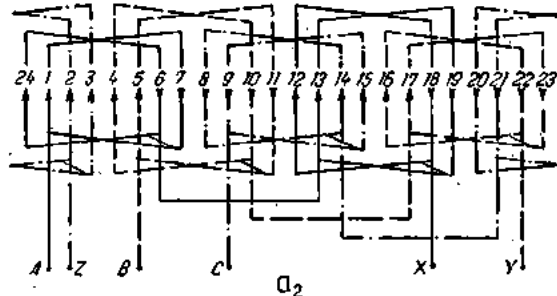


Fig. 5.47. Înășurare trifazată în două etaje, avind:  $Z=24$ ,  $2p=4$ ,  $q=2$ :

$a_1$  — cu bobine concentrice în grupe;  $a = 1$ ;  $a_2$  — cu bobine de aceeași deschidere în grupe (cu succesiunea bobinelor în grupă spre stânga);  $a = 1$ ;  $b$  — cu bobine concentrice în grupe;  $a = 2$ ;  $c$  — cu bobine concentrice în grupe;  $a = 4$ .

că o singură cale de curent, iar secțiunea căii de curent este de  $a$  ori mai mică ; spre exemplu, dacă în fig. 5.47 schemele corespund unor înfășurări echivalente, atunci bobinele din fig. 5.47, b, respectiv 5.47, c, vor avea de două ori respectiv de patru ori mai multe spire decât bobinele din fig. 5.47, a, iar secțiunea căii de curent va fi de două ori mai mică în fig. 5.47, b și de patru ori mai mică în fig. 5.47, c.

La înfășurările în două etaje, jumătate din grupele de bobine au părțile frontale în același etaj. În cazul înfășurărilor trifazate, numărul grupelor de bobine ale căror părți frontale se dispun în același etaj este egal cu  $\frac{3p}{2}$ . Acest raport este întreg sau fracțional, după cum  $p$  este par sau impar. La înfășurările cu  $p$  par, înfășurările fazelor sunt identice, părțile frontale ale celor  $p$  grupe de bobine sunt dispuse alternativ în cele două etaje. La înfășurările cu  $p$  impar cîte  $\left(\frac{3p}{2} - 0,5\right)$  grupe au părțile frontale în același etaj, iar o grupă de bobine numită strîmbă, are părțile frontale de trecere de la etajul 1 la etajul 2. O înfășurare cu o singură cale de curent avînd  $p=3$  este reprezentată în fig. 5.48. La înfășurările cu  $p$  impar înfășurările fazelor nu sunt identice.

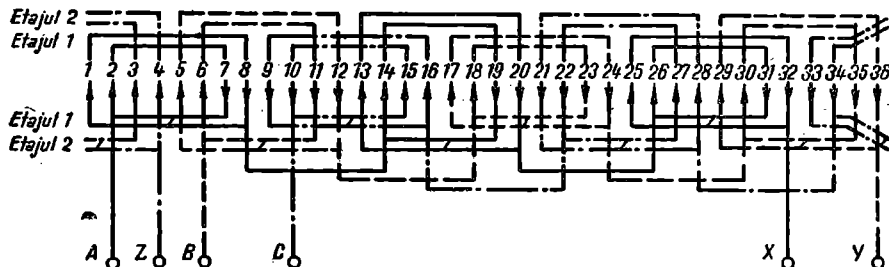


Fig. 5.48. Înfășurarea trifazată în două etaje avînd :  $Z=24$ ,  $2p=6$ ,  $q=2$ ,  $a=1$ .

În procesul de bobinare a înfășurărilor în două etaje, se introduc mai întîi în crestături grupele de bobine ale căror părți frontale se dispun în primul etaj (mai aproape de miezul magnetic), apoi grupa de bobine strîmbă, dacă  $p$  este impar și în fine, grupele de bobine ale căror părți frontale se dispun în etajul al doilea. În cazul în care se utilizează ca element constructiv de bază bobina, grupa de bobine se obține prin legarea în serie a cîte  $q$  bobine vecine.

Toate înfășurările cu șase zone în două etaje sunt înfășurări cu pas diametral, la acestea factorul de înfășurare este egal cu factorul de repartizare.

Schemele înfășurărilor în două etaje pentru  $p > 3$  se pot stabili cu ajutorul schemelor reprezentate mai sus pentru  $p = 2$  și  $p = 3$  ca scheme elementare. Pentru același număr de poli, la  $q$  diferit, se modifică corespunzător numai numărul bobinelor din grupă ; schema de legături dintre grupele de bobine se face în corespondență cu numărul căilor de curent. Spre exemplu, o înfășurare tetrapolară cu  $q = 3$ , cu o cale de curent, va avea grupele constituite din cîte trei bobine, iar legăturile între grupele de bobine vor fi similare cu acelea din fig. 5.47,  $a_1$  sau  $a_2$ .

Pentru același  $q$  la număr de poli diferenți, schema înfășurării se obține prin compunerea schemelor elementare. De exemplu, înfășurarea trifazată cu  $p = 4$  și  $q = 2$  din fig. 5.49,  $a$  și respectiv  $b$ , cuprinde de două ori schema înfășurării trifazate cu  $p = 2$  și  $q = 2$  din fig. 5.47,  $a_1$  și respectiv din fig. 5.47,  $b$ . O înfășurare cu 10 poli cuprinde două înfășurări tetrapolare și una bipolară ; o înfășurare cu 12 poli cuprinde trei înfășurări tetrapolare și aşa mai departe. Toate înfășurările care cuprind un multiplu întreg de înfășurări tetrapolare plus una bipolară sunt înfășurări cu  $p$  impar și conțin și cîte o grupă de bobine strîmbă.

Înfășurările bipolare nu se execută ca înfășurări în două etaje deoarece necesită mai mult material conductor decît înfășurările în trei etaje constituite din  $6p$  grupe de bobine.

La înfășurările trifazate cu  $p$  par sau  $p$  impar diferit de trei sau multiplu de trei, capetele de legătură ale înfășurărilor de fază se pot scoate grupat sau din crestături echidistante. În cazul înfășurărilor cu  $p$  egal cu trei sau multiplu de trei, în crestăturile echidistante (v. fig. 5.48) se găsesc laturi de bobine care aparțin aceleiași faze.

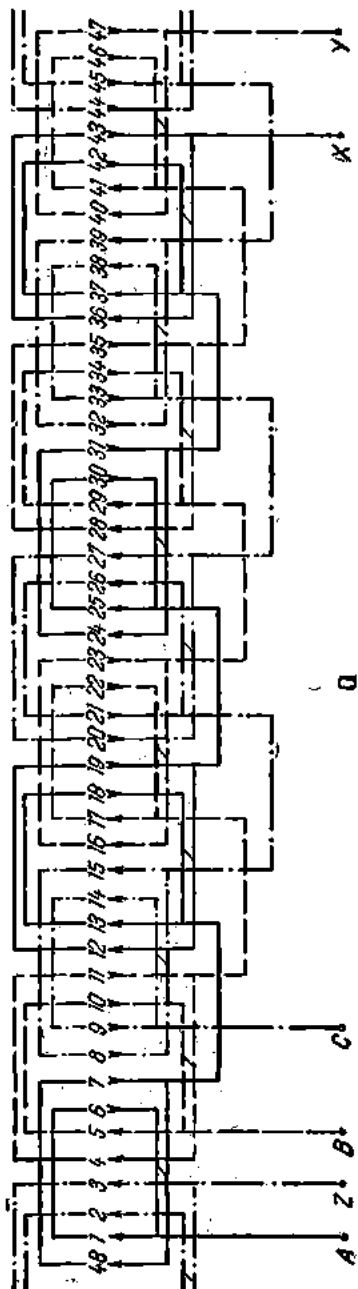
### a. 3. Înfășurările în coroană de grupe de bobine concentrice

Înfășurările într-un strat în coroană de grupe de bobine concentrice se execută fie cu  $2pm$  grupe și  $q/2$  bobine în grupă, fie cu  $pm$  grupe și  $q$  bobine în grupă.

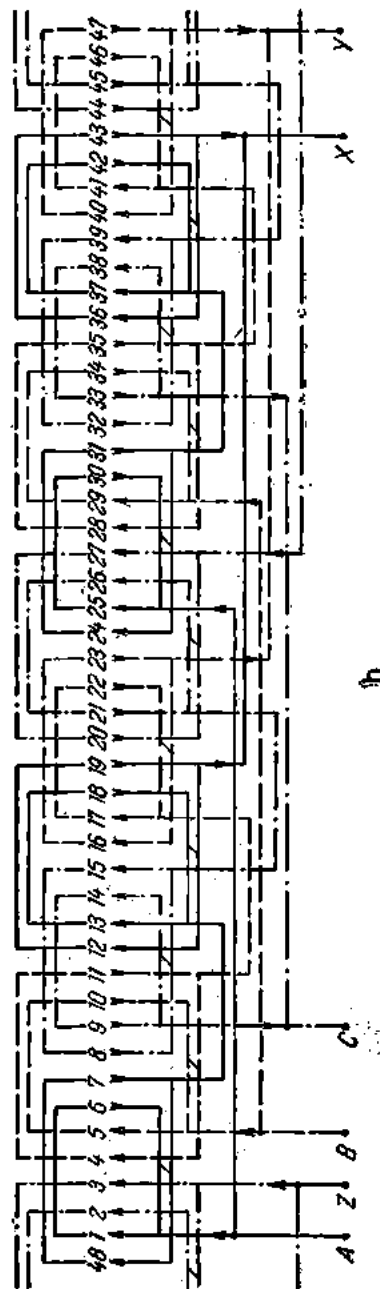
Primele sunt înfășurări cu pas scurtat și au aceeași componență și aceleași scheme de legături ca și înfășurările în trei etaje, cu grupe de bobine concentrice. Celealte sunt înfășurări cu pas diametral și au aceeași componență și aceleași scheme de legături ca și înfășurările în două etaje, cu grupe de bobine concentrice.

În figurile 5.50, 5.51 și 5.52 sunt reprezentate desfășurat schemele unor înfășurări în coroană de grupe de bobine concentrice, avînd respectiv aceleași date ca schemele înfășurărilor din fig. 5.42, 5.47,  $a$ , 5.44,  $a$ .

Spre deosebire de înfășurările în trei și două etaje, din grupe de bobine concentrice, la care sunt identice între ele numai grupele de



a



b

Fig. 5.49. Înțășurarea trifazată, în două etaje, avind:  $Z=48$ ,  $2p=8$ ,  $q=2$ :

a — cu o cale de curenți; b — cu două căi de curenți.

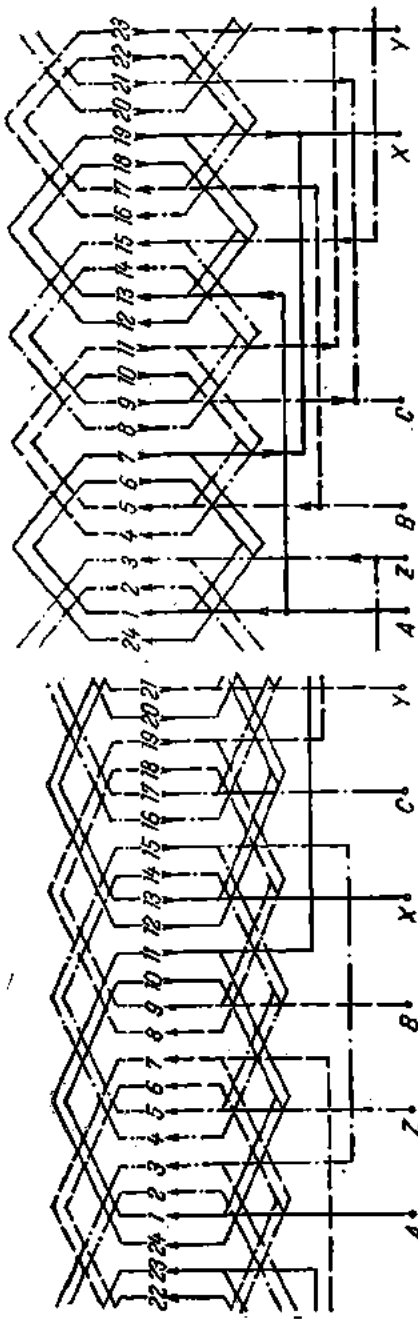


Fig. 5.50. Înăsurare trifazată, în coroană de grupe de bobine concentrice, avind :  $Z=24$ ,  $2p=2$ ,  $q=4$ .

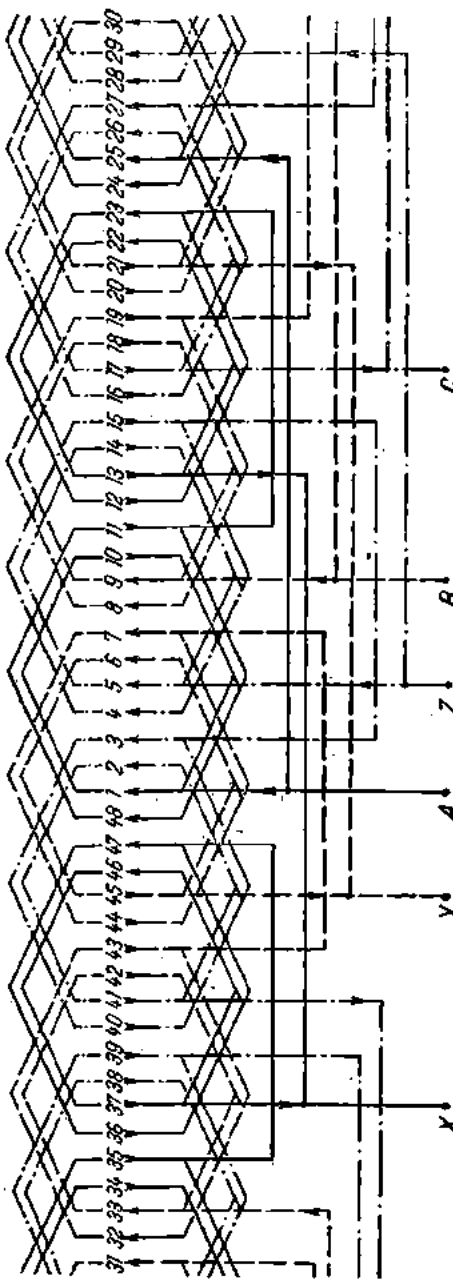


Fig. 5.52. Înăsurare trifazată, în coroană de grupe de bobine concentrice, avind :  $Z=48$ ,  $2p=4$ ,  $q=4$ ,  $a=2$ .

bobine ale căror părți frontale sunt dispuse în același etaj, la înfășurările în coroana de grupe de bobine concentrice sunt identice între ele toate grupele de bobine. Ca urmare, înfășurările fazelor devin identice, independent de numărul de poli și de asemenea se pot obține căi de curent identice pentru oricare numărul posibil de căi de curent.

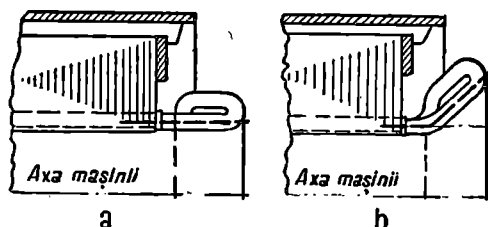


Fig. 5.53. Poziții, față de axul de rotație al mașinii, a părților frontale ale înfășurărilor într-un strat, în coroană de grupe de bobine concentrice :

a — cu coroana după o suprafață cilindrică; b — cu coroana după o suprafață conică.

$a = p$  la înfășurările cu  $pm$  grupe și  $q$  bobine în grupă ; în ultimul caz, la înfășurările cu  $q$  par numărul maxim de căi de curent poate fi egal cu  $2p$ .

Elementul constructiv de bază al acestor înfășurări este grupa de bobine ; grupele de bobine se introduc în crestături în ordinea disponerii lor în coroană. La înfășurările cu  $q$  par cu  $2pm$  grupe, pasul mediu al bobinelor din grupă este mai mic cu 16,66% decât pasul mediu al bobinelor din grupă la înfășurările cu  $q$  întreg cu  $pm$  grupe.

Părțile frontale ale grupelor de bobine se dispun după suprafete cilindrice sau conice, așa cum se arată în fig. 5.53.

Lungimea axială a unei înfășurări rezultă mai mică cînd se construiește cu  $2pm$  grupe, în loc de  $pm$  grupe de bobine.

#### a. 4. Înfășurări în coroană de grupe de bobine egale

Înfășurările într-un strat în coroană de grupe de bobine egale se execută fie cu  $2pm$  grupe și  $q/2$  bobine în grupă, fie cu  $pm$  grupe și  $q$  bobine în grupă.

Primele sunt înfășurări cu pas scurtat și au aceeași structură și aceleași legături ca înfășurările echivalente în trei etaje, cu grupe de bobine egale. Celealte sunt înfășurări cu pas diametral și sunt asemenea înfășurărilor echivalente în două etaje, cu grupe de bobine egale.

În figurile 5.54 și 5.55 sunt reprezentate desfășurat schemele unor înfășurări în coroană de grupe egale, având respectiv aceleași date ca schemele înfășurărilor din fig. 5.43 și fig. 5.47, a<sub>2</sub>.

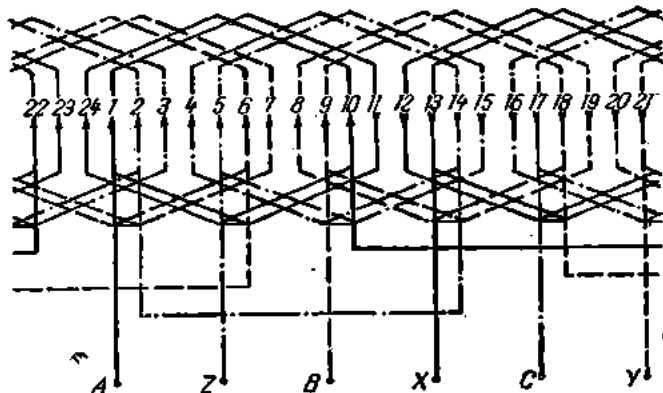


Fig. 5.54. Înfășurarea trifazată, în coroană de grupe de bobine egale, avind:  $Z=24$ ,  $2p=2$ ,  $q=4$ .

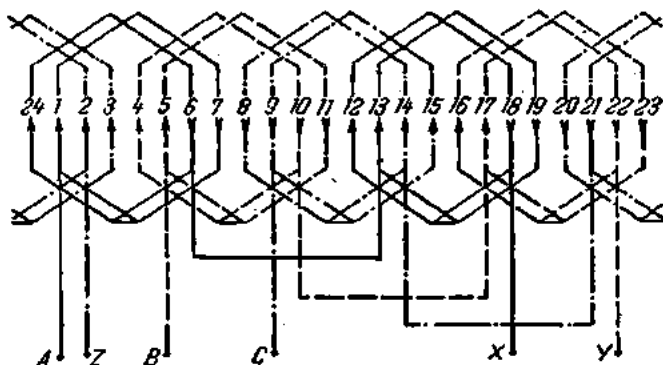


Fig. 5.55. Înfășurare trifazată, în coroană de grupe de bobine egale, avind:  $Z=24$ ,  $2p=4$ ,  $q=2$ .

La înfășurările în coroană de grupe de bobine egale părțile frontale ale bobinelor în grupă se dispun în coroană (se încrucișează). Din această cauză diametrul coroanei acestor înfășurări este mai mare decât la înfășurările echivalente în coroană de grupe de bobine concentrice.

Elementul constructiv de bază al acestor înfăşurări este grupa de bobine; în procesul de bobinare grupele se introduc în crestături în ordinea cérută de dispunerea părților lor frontale în coroană.

Numărul maxim posibil de căi de curent în paralel este egal cu  $2p$  la înfăşurările cu  $2pm$  grupe și cu  $p$  la înfăşurările cu  $pm$  grupe.

La înfăşurările constituite din grupe de bobine egale tensiunile induse în bobinele unei grupe sunt defazate între ele și în consecință nu se mai pot conecta în paralel bobine din aceeași grupă pentru a forma noi căi de curent.

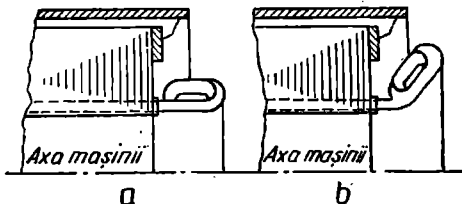


Fig. 5.56. Poziții, față de axul de rotație al mașinii, a părților frontale ale înfăşurărilor într-un strat, în coroană de grupe de bobine egale :

a — cu coroana după o suprafață cilindrică; b — cu coroana după o suprafață conică.

Înfăşurările trifazate în coroană de bobine egale cu  $q$  impar sunt înfăşurări cu pas diametral, iar cele cu  $q$  par sunt cu pas scurtat sau lungit.

În fig. 5.57 este reprezentată schema unei înfăşurări tetrapolare cu pas diametral având trei crestături pe pol și fază ( $q=3$ ), iar în

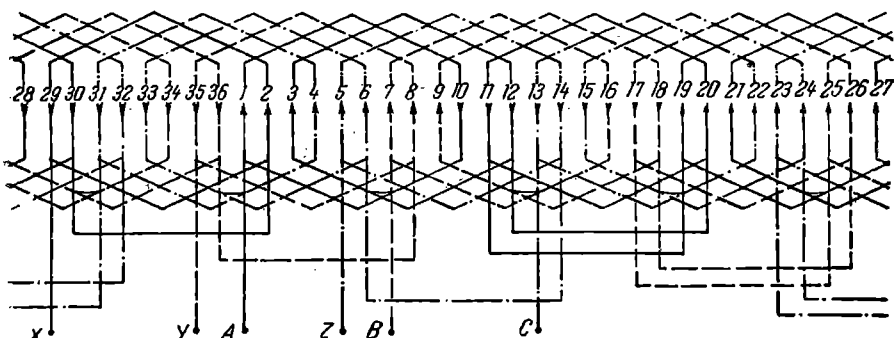


Fig. 5.57. Înfăşurare trifazată, în coroană de bobine egale, având  $Z=36$ ,  $2p=4$ ,  $q=3$ .

Părțile frontale ale grupei de bobine egale se dispun după o suprafață cilindrică (fig. 5.56, a), respectiv conică (fig. 5.56, b).

#### a. 5. Înfăşurări în coroană de bobine egale

Aceste înfăşurări denumite și înfăşurări în lanț au bobinele identice și pasul — exprimat în număr de crestături — impar.

fig. 5.58 schema unei înfășurări tetrapolare, cu  $q=2$ , cu pas scurtat (în fig. 5.58, a) și lungit (în fig. 5.58, b). Schema unei înfășurări bipolare cu  $q=4$  este reprezentată în fig. 5.59.

La înfășurările în coroană de bobine egale, elementul constructiv de bază este bobina. Aceste înfășurări sunt constituite din  $2pm$  grupe

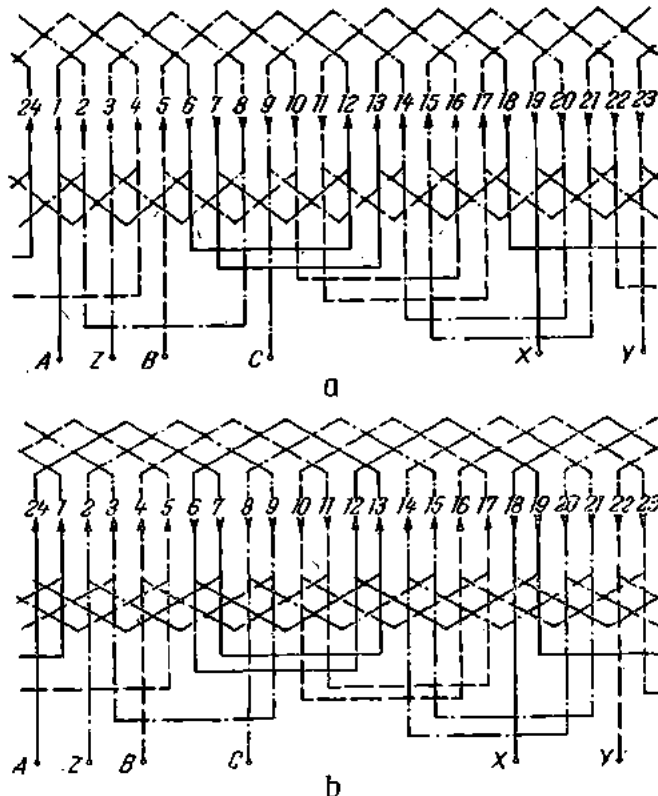


Fig. 5.58. Înfășurare trifazată, în coroană de bobine egale, avind  $Z=24$ ,  $2p=4$ ,  $q=2$ :  
a — din bobine cu pas scurtat; b — din bobine cu pas lungit.

de bobine cu  $q/2$  bobine în grupă pentru  $q$  par; la înfășurările cu  $q$  impar, jumătate din numărul grupelor au  $\left(\frac{q}{2} - 0,5\right)$  bobine, iar celelalte  $\left(\frac{q}{2} + 0,5\right)$  bobine. Bobinele succesive în grupă sunt decalate între ele cu două crestături.

Pentru realizarea schemei înfășurării se procedează astfel : se formează mai întii grupele de bobine prin legarea în serie a  $q/2$  bobine pentru înfășurările cu  $q$  par și respectiv a  $\left(\frac{q}{2} + 0,5\right)$  bobine alternativ cu  $\left(\frac{q}{2} - 0,5\right)$  bobine, pentru cele cu  $q$  impar. Grupele succesive de bobine care revin înfășurării aceleiași faze sunt decalate cu un pas polar și se leagă între ele alternat : sfîrșit cu sfîrșit; început cu început.

Părțile frontale ale bobinelor în coroană se dispun după coroane cilindrice, respectiv conice ca în fig. 5.53, a, respectiv 5.53, b.

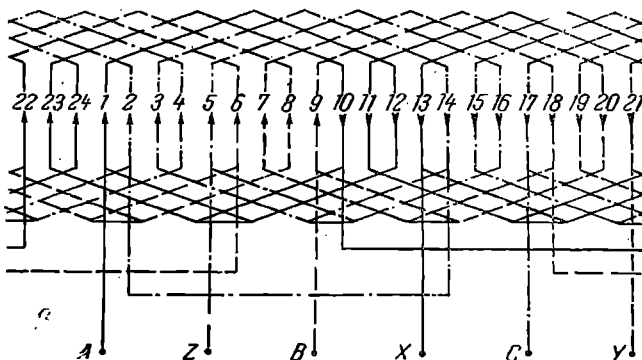


Fig. 5.59. Înfășurare trifazată, în coroană de bobine egale, având :  $Z=24$ ,  $2p=2$ ,  $q=4$ .

Înfășurările în coroană de bobine prezintă avantaje la ventilație, deoarece au în părțile frontale suprafețe de răcire mai mari în raport cu celelalte tipuri de înfășurări într-un strat.

#### a. 6. Înfășurări în evolventă

Înfășurările în evolventă se practică în general la mașinile bipolare de putere mare și tensiune înaltă. La aceste înfășurări părțile frontale ale bobinelor se dispun de ambele părți ale miezului magnetic, fie în două, patru sau chiar șase plane perpendiculare pe axul mașinii, fie după suprafețe conice, fiind denumite în acest caz înfășurări în coș. La înfășurările multipolare, dispunerea în evolventă

în două plane perpendiculare pe axul mașinii asigură cea mai mică dimensiune axială a înfășurării. La înfășurările bipolare, prin dispunerea în evolventă în mai multe plane, dimensiunea axială a înfășurării crește proporțional cu numărul de plane; suprafața de transmisie a căldurii crește și în consecință înfășurarea este mai bine ventilitată.

Părțile frontale ale înfășurării în evolventă se dispun așa cum se arată în fig. 5.60 și anume :

— în fig. 5.60, a și b, laturile bobinelor sunt dispuse în crestături într-un strat, iar părțile lor frontale sunt dispuse în evolventă, în coroane alăturate în fig. 5.60, a și respectiv concentrice în fig. 5.60, b;

— în fig. 5.60, c, înfășurarea denumită *în straturi* are părțile frontale ale bobinelor dispuse în evolventă, în coroane concentrice. Co-

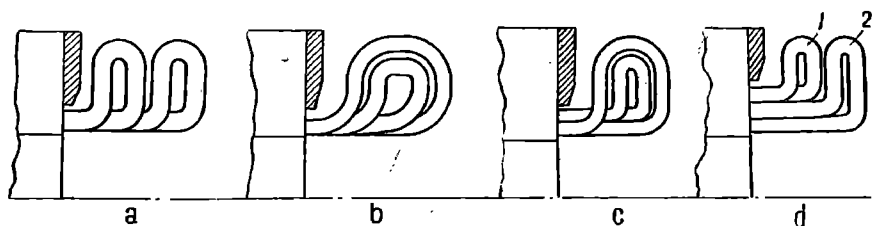


Fig. 5.60. Moduri de reprezentare a dispunerilor în evolventă :  
a, d — în două coroane alăturate; b, c — în două coroane concentrice.

roanele la asemenea înfășurări se pot dispune și alăturat. În exemplul reprezentat în fig. 5.60, c, înfășurarea este în *două straturi*, în fiecare crestătură fiind dispuse cîte două laturi de bobine și anume, fie două laturi de ducere, fie două laturi de întoarcere, fie o latură de ducere și una de întoarcere. Înfășurările *în straturi* sunt în realitate înfășurări într-un strat de tipul celor în coroană de bobine egale, dispuse suprapus în crestături. La o înfășurare în *două straturi* în crestături sunt suprapuse două înfășurări într-un strat, trei la o înfășurare în *trei straturi* etc. ;

— în fig. 5.60, d, înfășurarea este constituită din două înfășurări (1) într-un strat și (2) în două straturi; coroanele în evolventă, cîte una pentru fiecare înfășurare, sunt dispuse alăturat.

În fig. 5.61 este reprezentată schema desfășurată a unei înfășurări bipolare, trifazată, într-un strat, în evolventă, în două coroane

alăturate. În general, infășurările în evolventă se reprezintă în schemele desfășurate la fel ca infășurările în coroană și se precizează în plus : dispunerea în evolventă, numărul de coroane și dispunerea relativă a acestora.

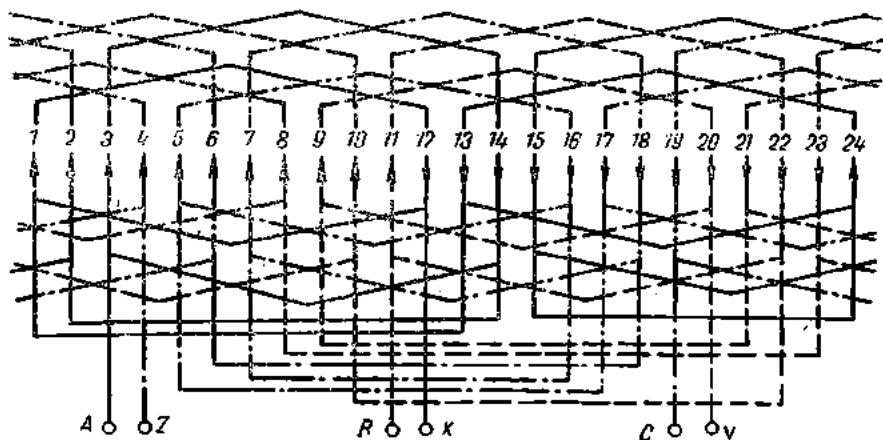


Fig. 5.61. Schema desfășurată a unei destăsurări în evolventă, avind :  
 $Z=24$ ,  $2p=2$ ,  $q=4$ .

Fotografia unei infășurări într-un strat, cu părțile frontale ale bobinelor dispuse în evolventă în două plane, este reprezentată în fig. 5.62.

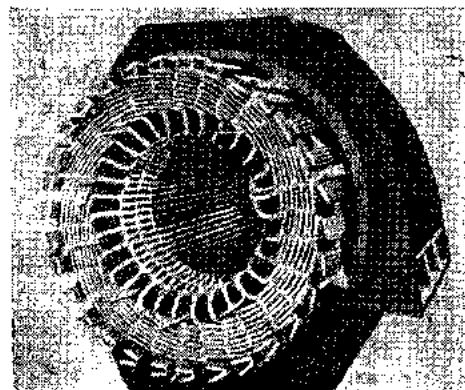


Fig. 5.62. Fotografia unei infășurări, în evolventă în două plane.

La infășurările în evolventă, se utilizează ca element constructiv de bază bobină sau grupă de semispire.

#### a. 7. Infășurări pentru statoare secționate

Deseori în construcția mașinilor electrice se impune secționarea statorului în două sau mai multe părți, pentru a ușura transportul și montajul mașinii. Aceste părți în formă de secțoare se bobinează separat.

La executarea acestor înfășurări se pune problema grupării părților frontale ale bobinelor sau grupelor de bobine în aşa fel încit nici o bobină sau grupă de bobine să nu fie secționată de planul de îmbinare al părților componente ale statorului.

În fig. 5.63, a, este reprezentată schema unei înfășurări trifazate tetrapolare, în două etaje, pentru stator nesectionat și se pune problema secționării indușului după axele  $x_1-x_2$  și  $y_1-y_2$ . În acest caz planul de secționare va tăia părțile frontale ale grupelor de bobine ale înfășurării C—Z. Pentru a evita aceasta se rotesc grupele de bobine ale înfășurării C—Z cu  $180^\circ$  în jurul axei dinților dintre crestăturile 9—10 și respectiv 21—22; părțile frontale ale acestor grupe de bobine trebuie dispuse într-un alt etaj pentru a nu se suprapune peste părțile frontale ale altor grupe de bobine. Se obține astfel schema înfășurării, fig. 5.63, b, pentru stator (secționat); părțile frontale ale grupelor de bobine sunt dispuse în trei etaje, iar între cele două sectoare nu se află decât legăturile dintre grupele de bobine ale înfășurărilor A—X și B—Y (peste axa  $x_1-x_2$ ) și C—Z (peste axa  $y_1-y_2$ ). De observat că prin rabatire la  $180^\circ$ , grupele de bobine ale înfășurării C—Z și-au schimbat sensul de înfășurare, iar extremitățile înfășurării (capetele de legătură) sunt scoase din crestăturile 9 și 15 (fig. 5.63, b) în loc de 10 și 4 (fig. 5.63, a). Cele două scheme sunt echivalente din punct de vedere al producerii cîmpului în întregier, pentru că înfășurările fazelor în cele două cazuri ocupă aceleasi crestături și la aceeași succesiune a fazelor, înfășurările corespunzătoare ale fazelor sunt străbate de curent în același sens. Deosebirea între cele două scheme apare în dispunerea părților frontale ale grupelor de bobine.

Adoptînd dispunerea din fig. 5.63, c, înfășurările fazelor necesită aproximativ aceeași cantitate de conductor și în practică se utilizează aproape exclusiv înfășurări, pentru statore secționate, executate în trei etaje, după schema din fig. 5.63, c. În acest caz se introduc mai întîi în crestături grupele de bobine ale căror părți frontale se dispun în primul etaj și apoi în ordine grupele de bobine din etajele doi și trei.

Pentru cazurile cînd planele de secționare ar tăia părțile frontale ale grupelor de bobine ale înfășurării B—Y (între crestăturile 8—9 și respectiv 20—21) sau A—X (între crestăturile 4—5 și respectiv 16—17), atunci grupele de bobine ale acestor înfășurări s-ar roti cu  $180^\circ$ ; adoptînd înfășurarea după schema din fig. 5.63, c, părțile frontale ale grupelor de bobine care trebuie rotite se vor dispune în etajul al doilea, înfășurările celorlalte două faze se vor dispune egal în primul, respectiv în al treilea etaj.

În mod similar se deduc și alte scheme de înfășurări pentru statore secționate.

Trebuie reținut faptul esențial că porțiunea de înfășurare ce revine unui sector corespunde unui număr par de poli și că pentru fiecare dublu pas polar ea se dispune grupat în părțile frontale.

În afara de înfășurările în trei etaje, în practică se utilizează pentru statoare secționate și înfășurările având capetele de bobină dispuse în coroană. În fig. 5.63, d este reprezentată o astfel de dispunere pentru o înfășurare având aceleași date caracteristice ca și înfășurarea din fig. 5.63, c. Adoptând grupe de bobine, jumătate cu succesiunea bobinelor în grupă spre stînga și jumătate spre dreapta în schema din fig. 5.63, d, extremitățile înfășurărilor de fază (capetele de legătură) se află în aceleași crestături ca în fig. 5.63, c. În fig. 5.63, e înfășurarea este constituită din grupe de bobine cu succesiunea bobinelor în grupă spre dreapta, iar în fig. 5.63, f, înfășurarea este constituită din grupe de bobine cu succesiunea bobinelor în grupă spre stînga. De remarcat că cele mai scurte legături între grupele de bobine ale înfășurărilor fazelor se obțin în cazul schemei din fig. 5.63, e, fapt pentru care înfășurările secționate cu dispunerea grupată în coroană se execută după această schemă. Din punct de vedere al producerii cîmpului în intrefier cele trei scheme (fig. 5.63, d, e, f) sunt echivalente, înfășurările fazelor ocupă aceleași crestături; capetele de legătură sunt scoase din diferite crestături în cele trei scheme datorită utilizării de grupe de bobine cu diferite succesiuni a bobinelor în grupă.

Fotografia unei înfășurări pentru indus secționat este reprezentată în fig. 5.64, cu dispunerea grupată în coroană.

În fig. 5.65 este reprezentată schema unei înfășurări trifazate hexapolare, cu  $q$  fracțional, pentru un stator secționat.

Spre deosebire de înfășurările trifazate pentru statorul secționat la care înfășurările fazelor se pot obține perfect simetrice, la înfășurările bifazate înfășurările fazelor sunt diferite între ele. Spre exemplu, în fig. 5.66 este reprezentată schema unei înfășurări bifazate, tetrapolare, pentru un indus nesectiionat (în fig. 5.66, a) și secționat (în fig. 5.66, b).

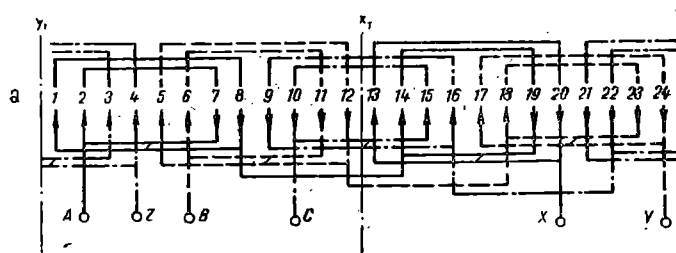
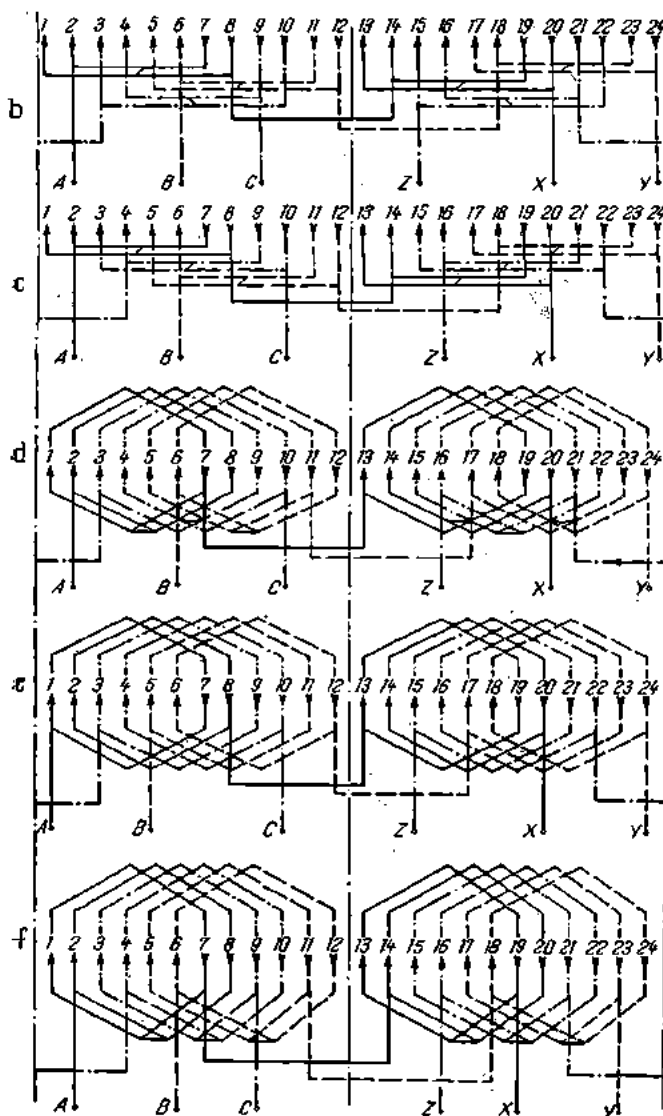


Fig. 5.63. Înfășurare trifazată,  
a — în două etaje, pentru indus nesectiionat; b, c — în trei etaje, pentru



avind :  $Z=24$ ,  $2p=4$ ,  $q=2$ :

indus sectionat; d, e, f — în coroană, pentru indus sectionat.

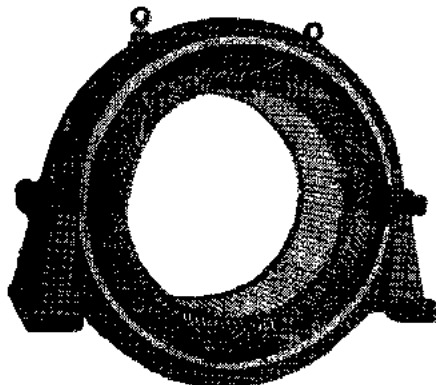


Fig. 5.64. Fotografia unei înfășurări în coroană, pentru induș sectionat avind:  $Z=108$ ,  $2p=12$ ,  $q=3$ .

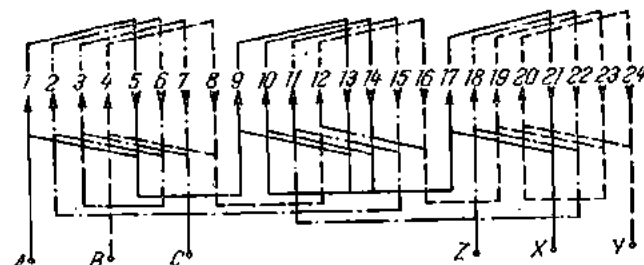


Fig. 5.65. Schema unei înfășurări în coroană, pentru induș sectionat, avind:  $Z=24$ ,  $2p=6$ ,  $q=1^{1/3}$ .

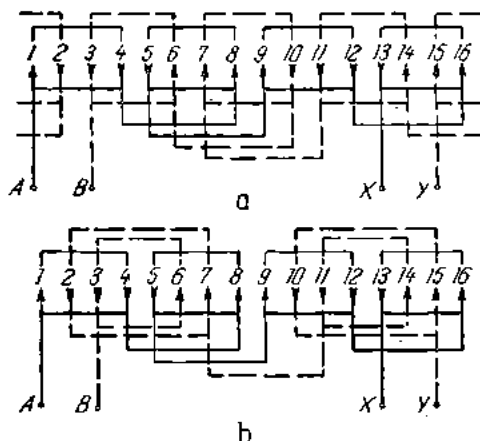


Fig. 5.66. Înfășurare bifazată, în două etaje, avind  $Z=16$ ,  $2p=4$ ,  $q=2$ :  
a — pentru induș nesectionat; b — pentru induș sectionat.

Mai recent, statoarele secționate se echipează cu înfășurări obisnuite, asigurîndu-se astfel o mai bună utilizare a spațiului înfășurării în părțile frontale; în aceste cazuri porțiunile de înfășurare din apropierea planului de îmbinare, se dispun în crestături după ce se montează statorul.

#### a. 8. Înfășurări în două coroane, din bobine egale

Înfășurările în două coroane, din bobine egale sunt înfășurări în lanț; la acestea, pasul bobinelor exprimat în număr de crestături este impar, iar în crestături se succed laturi de bobine de ducere cu laturi de întoarcere.

Din punct de vedere constructiv deosebirea dintre înfășurările în două coroane și înfășurările în coroană de bobine egale apare în dispunerea părților frontale ale bobinelor. Dispunerea înfășurării în două coroane în părțile frontale necesită o succesiune diferită în introducerea laturilor de bobine în crestături în comparație cu succesiunea folosită la înfășurările în lanț într-o singură coroană. La înfășurările în două coroane se introduc mai întii în crestături laturile bobinelor

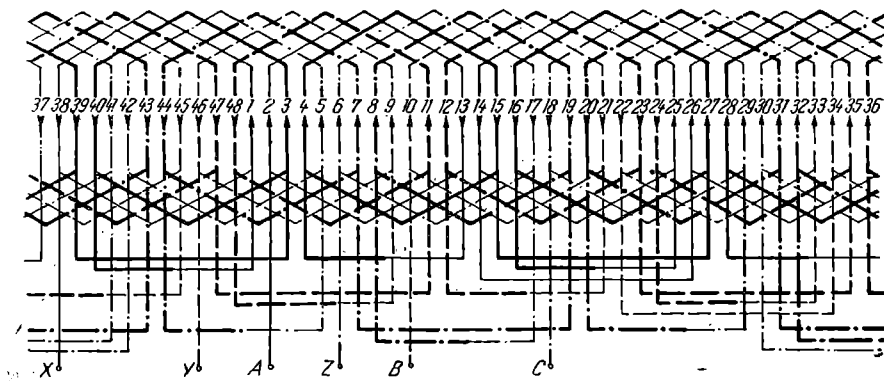


Fig. 5.67. Schema unei înfășurări trifazate, în două coroane din bobine egale, avînd:  $Z=48$ ,  $2p=4$ ,  $2=4$ .

ale căror părți frontale formează prima coroană și apoi celelalte bobine ale căror părți frontale se dispun în a doua coroană; întreaga înfășurare apare egal împărțită în cele două coroane.

În fig. 5.67 este reprezentată o înfășurare în două coroane avînd  $z=48$ ;  $2p=4$ ,  $m=3$ . Cele două jumătăți ale înfășurării sunt reprezentate cu linii de grosimi diferite. De remarcat, că prima jumătate a in-

făşurării ocupă crestăturile 1—2, 5—6, 9—10 etc., iar a doua jumătate, crestăturile 3—4, 7—8, 11—12 etc.; decalajul constructiv dintre cele două jumătăţi de înfăşurare este  $y = 2$  crestături.

La aceste înfăşurări, datorită faptului că cele două coroane sunt suprapuse decalat, în părțile frontale apare o dispunere a înfăşurării sub formă de grătar ceea ce determină o sporire considerabilă a suprafetei utile de răcire a înfăşurării ventilată interior.

La înfăşurările în două coroane, căile de curent ale fazelor rezultă identice numai dacă raportul  $\left(\frac{pq}{2a}\right)$  este număr întreg,  $a$  fiind numărul de căi de curent ale înfăşurării; raportul  $\frac{pq}{2}$  exprimă numărul de bobine dintr-o coroană, aparținând aceleiași faze.

Înfăşurările într-un strat, cu şase zone, în două coroane, pot fi numai cu pas scurtat (sau lungit) pentru  $q$  par și cu pas diametral pentru  $q$  impar. Pentru aceste înfăşurări, factorul de înfăşurare se calculează după tabela 5.4, cu relațiile de la punctul 6 pentru  $q$  par și cu cele de la punctul 3 pentru  $q$  impar.

### b. *Infăşurări cu $q$ întreg $> 1$ , cu intercalarea fazelor*

Spre deosebire de înfăşurările cu şase zone care se caracterizează prin aceea că  $q$  laturi de bobine ce aparțin unei faze pe pol sunt dispuse în crestături alăturate, la înfăşurările cu intercalarea fazelor anumite laturi de bobine aparținând unei faze sunt intercalate cu laturi de bobine aparținând celorlalte faze, de unde și denumirea de înfăşurări cu intercalarea fazelor.

Dacă de exemplu la înfăşurările în două etaje se intercalează între ele laturi marginale fie din exteriorul grupelor de bobine vecine, fie din interiorul lor, se realizează o intercalare unilaterală; dacă se intercalează laturi marginale atât din exteriorul grupei de bobine cât și din interior, se obține o intercalare bilaterală.

După numărul de laturi de bobine intercalate, într-o parte a grupei de bobine rezultă intercalare simplă cînd se intercalează cîte o latură din fiecare grupă, intercalare dublă, cînd se intercalează cîte două laturi din fiecare grupă și. a. m. d. La înfăşurările cu  $q=2$  se pot obține numai intercalări simple, iar la înfăşurările cu  $q>2$  se pot obține intercalări simple, duble etc. și respectiv diferite combinații între intercalările unilaterale și bilaterale.

La înfăşurările cu intercalarea fazelor este posibil ca în curba tensiunilor să fie mai bine suprimate anumite armonici și ca urmare

scad pierderile electrice și magnetice îmbunătățindu-se astfel randamentul mașinilor electrice echipate cu astfel de înfășurări.

Intercalarea fazelor se poate aplica tuturor tipurilor de înfășurări având  $q > 1$ .

În fig. 5.68 este reprezentată schema unei înfășurări în două etaje, cu șase zone în fig. 5.68, a, cu o intercalare unilaterală simplă a fazelor în fig. 5.68, b și cu intercalare bilaterală simplă în fig. 5.68, c, iar în tabela 5.5 sunt date valorile factorilor de înfășurare de ordin impar pentru cele trei scheme.

**Tabelă 5.5**

**Valorile factorilor de înfășurare de ordin impar pentru schemele din fig. 5.68**

Ordinul armonicii \ Infășurarea	1	3	5	7	9	11	13	15	17	19
Fără intercalare (cu șase zone)	0,958	0,653	0,205	0,158	0,271	0,126	0,126	0,271	0,158	0,205
Cu intercalare unilaterală simplă	0,925	0,461	0,053	0,041	0,191	0,122	0,122	0,191	0,041	0,053
Cu intercalare bilaterală simplă	0,892	0,271	0,099	0,239	0,653	0,370	0,370	0,653	0,239	0,099

Din această tabelă rezultă că pentru înfășurările trifazate având  $q=4$ , armonicile sunt micșorate apreciabil în cazul intercalării unilaterale simple.

Examinând schemele înfășurării din fig. 5.68 se deduce modul de obținere a diferitelor intercalări la înfășurările în două etaje și anume: pentru intercalarea simplă fie că se reduce cu două crestături pasul bobinei din interiorul grupei, fie că se mărește cu două crestături pasul bobinei din exteriorul grupei; pentru intercalarea bilaterală simplă, se micșorează cu două crestături pasul bobinei interioare din grupă și se mărește cu două crestături pasul bobinei exterioare din grupă.

La înfășurările în trei etaje cu bobine concentrice în grupe și la înfășurările în coroană de grupe de bobine concentrice cu  $2p$  grupe

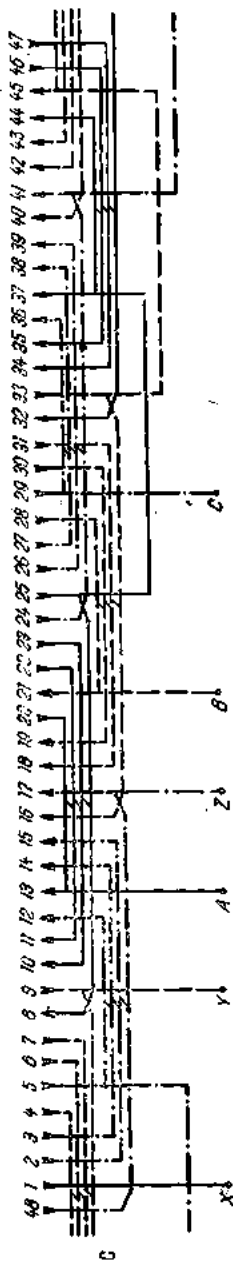
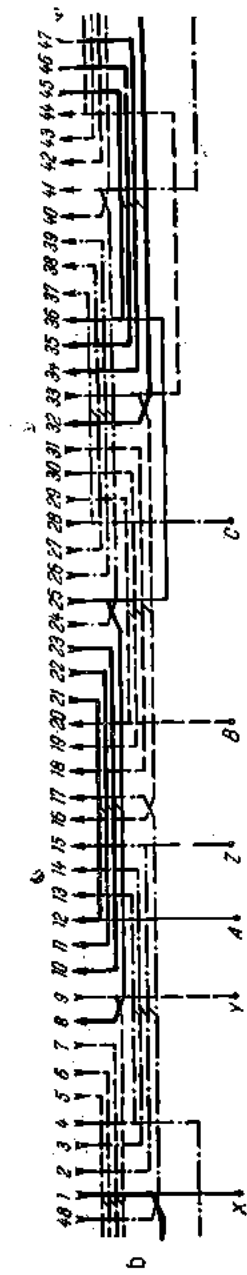
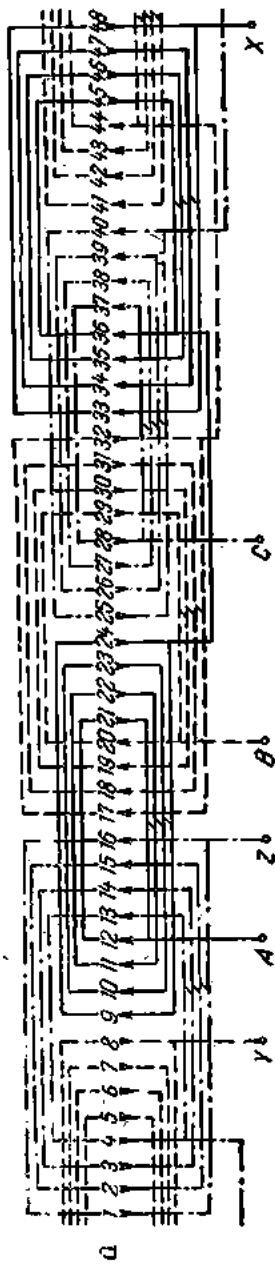


Fig. 5.68. Schemele unor înășuri trifazate, în două etaje, avind  $Z=48$ ,  $2p=4$ ,  $q=4$ :  
 a — cu șase zone; b — cu o intercalare unilaterală simplă; c — cu o intercalare bilaterală simplă.

pe fază, prin reducerea deschiderii cu două crestături a bobinei interioare din grupă se obține o intercalare bilaterală simplă. În fig. 5.69 este reprezentată schema unei înfășurări, trifazată, bipolară, cu același număr de crestături ca și înfășurările reprezentate în fig. 5.50 și fig. 5.42, a.

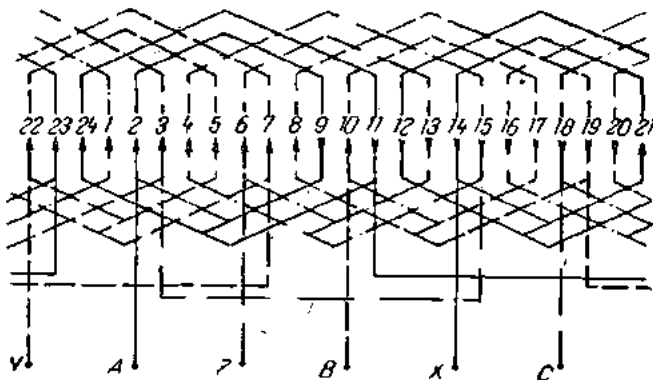


Fig. 5.69. Schema unei înfășurări, trifazată, în coroană de grupe de bobine concentrice cu intercalare bilaterală simplă a fazelor, avind  $Z=24$ ,  $2p=2$ ,  $q=4$ .

Intercalarea fazelor la înfășurările în lanț se obține prin reducerea deschiderii bobinelor componente; schema unei înfășurări trifazate, tetrapolară, cu același număr de crestături  $Z$ , ca și înfășurarea cu șase zone din fig. 5.57, este reprezentată în fig. 5.70.

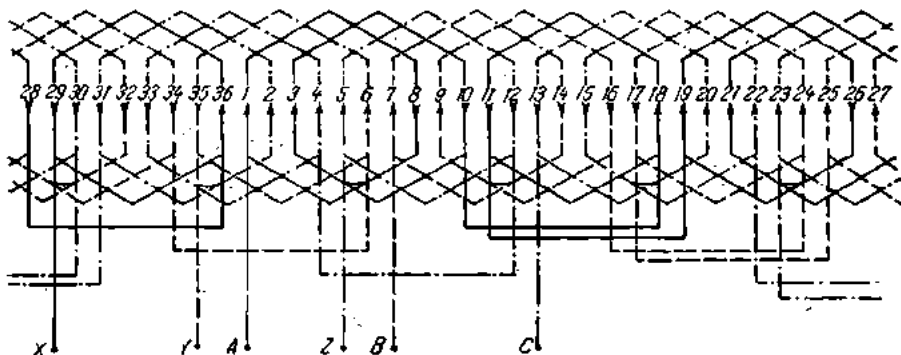


Fig. 5.70. Schema unei înfășurări, trifazată, în coroană de bobine egale, cu intercalare unilaterală simplă a fazelor, avind  $Z=36$ ,  $2p=4$ ,  $q=3$ .

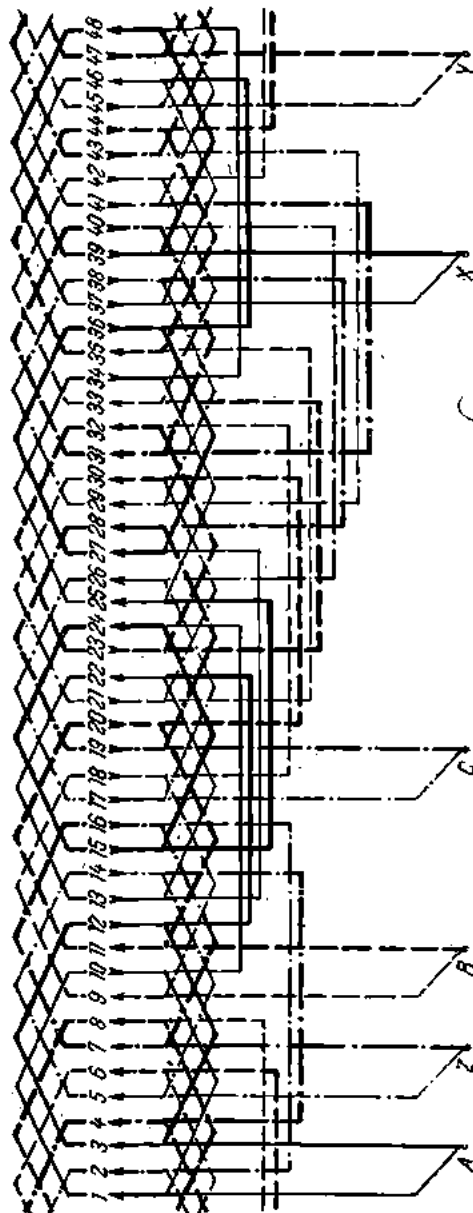


Fig. 5.71. Schema unei înfășurări trifazată, în două coroane de bobine egale, cu intercalare bilaterală simplă, având  $Z=18$ ,  $2p=4$ ,  $q=4$ ,  $a=2$ .

În fig. 5.71 este reprezentată schema înfășurării în două coroane, cu intercalare bilaterală simplă a fazelor, obținută din înfășurarea similară cu șase zone din fig. 5.67, prin reducerea cu două crestături a pasului bobinelor componente.

Înfășurările constituite din  $pm$  grupe de bobine având  $q=2$ , devin înfășurări în lanț dacă se execută ca înfășurări cu intercalarea fazelor. În fig. 5.72 este reprezentată schema unei înfășurări cu intercalare unilaterală, obținută prin reducerea deschiderii cu două crestături a bobinelor interioare din grupe. Asemenea înfășurări se pot executa și din bobine identice având pasul egal cu deschiderea medie a bobinelor din grupa de bobine; în fig. 5.73 este reprezentată schema echivalentă a înfășurării din fig. 5.72 executată cu bobine egale. Factorul de înfășurare are aceeași

valoare în cazul schemelor din fig. 5.72 și 5.73 deoarece înfășurările fazelor au o dispunere similară în crestături în cele două scheme.

De subliniat este faptul că în cazul înfășurărilor cu intercalare unilaterală a fazelor, în curba tensiunii electromotoare apar și armo-

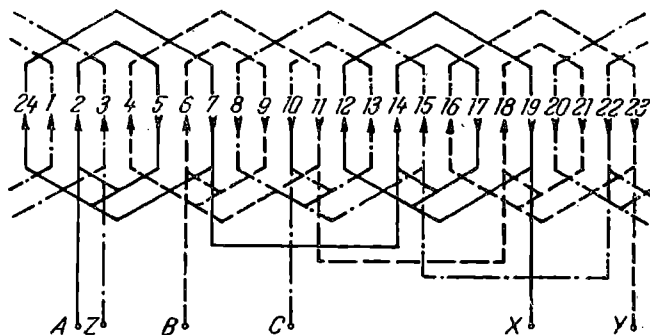


Fig. 5.72. Schema unei înfășurări, trifazată, în coroană de grupe de bobine, cu intercalare unilaterală a fazelor, având  $Z=24$ ,  $2p=4$ ,  $q=2$ .

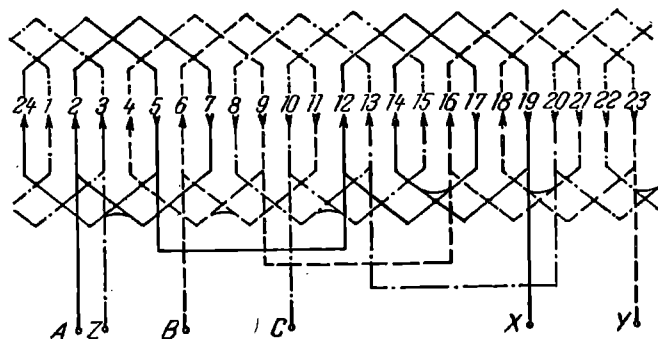


Fig. 5.73. Schema unei înfășurări, trifazată, în coroană de bobine egale, cu intercalare unilaterală a fazelor, având  $Z=24$ ,  $2p=4$ ,  $q=2$ .

nice de ordin par, iar factorii de înfășurare corespunzător acestor armonice nu pot fi calculați cu relațiile din tabela 5.4 care corespund armonicilor impare.

c. Înfășurări cu număr fracționar de crestături pe pol și fază

La înfășurările într-un strat cu un număr fracționar de crestături pe pol și fază, numărul total de bobine  $N_{tb}$  și numărul de bobine pe fază  $N_{bf}$  se exprimă, în funcție de numărul crestăturilor bobinate  $Z_b$  prin relațiile

$$N_{tb} = \frac{Z_b}{2} = \text{număr întreg} \quad (5.29')$$

$$N_{bf} = \frac{Z_b}{2m} = \text{număr întreg}. \quad (5.30)$$

În practică se întâlnesc înfășurări cu număr fractionar de crestături pe pol și fază cu toate crestăturile bobinate și înfășurări cu un anumit număr de crestături rămase libere; în primul caz  $Z_b = Z$ , iar în al doilea  $Z_b < Z$ ,  $Z$  fiind numărul total de crestături.

La toate înfășurările, indiferent dacă sunt sau nu bobinate toate crestăturile, numărul de crestături pe pol și fază  $q$  se calculează raportând numărul total de crestături  $Z$  la produsul dintre numărul de poli  $2p$  și numărul de faze  $m$ , ale înfășurării (vezi relația 5.13).

După numărul total de grupe de bobine  $N_{tgrb}$  ale înfășurărilor cu  $q$  fracționar, și respectiv după numărul de grupe de bobine pe fază  $N_{grbf}$ , deosebim înfășurări la care :

$$\left. \begin{array}{l} 1. N_{tgrb} = 2pm \longrightarrow N_{grbf} = 2p \\ 2. pm < N_{tgrb} < 2pm \longrightarrow p < N_{grbf} < 2p \\ 3. N_{tgrb} = pm \longrightarrow N_{grbf} = pm \\ 4. N_{tgrb} < pm \longrightarrow N_{grbf} < p \end{array} \right\} \quad (5.33)$$

Pentru înfășurările de la punctele 1, 2 și 3, relația (5.33), avem  $q > 1$ , iar pentru cele de la punctul 4,  $q < 1$ . În cazul înfășurărilor cu  $q > 1$ , grupele de bobine sunt constituite fiecare din una sau mai multe bobine (în funcție de valoarea lui  $q$  și de tipul înfășurării), iar în cazul înfășurărilor cu  $q$  fracționar  $< 1$ , grupele sunt constituite fiecare din cîte o bobină.

Legăturile între grupele de bobine pentru obținerea înfășurării de fază sunt diferite pentru cele patru tipuri de înfășurări, în funcție de numărul grupelor de bobine pe fază și de poziția relativă a acestora.

Caracteristice pentru înfășurările cu număr fracționar de crestături pe pol și fază sunt atît poziția în cîmpul magnetic a grupelor succesive de bobine din înfășurarea aceleiași faze, cît și problema identității grupelor de bobine; astfel, pot apărea următoarele cazuri :

— înfășurări la care grupele de bobine pe fază nu au toate aceeași număr de bobine ;

— înfășurări la care grupele de bobine pe fază au același număr de bobine, dar poziția grupelor de bobine succesive în circuitul înfășurării este diferită în cîmpul magnetic ;

— înfășurările la care grupele de bobine pe fază au număr diferit de bobine și poziția lor în cîmpul magnetic este diferită.

Datorită construcției înfășurărilor cu număr fractionar de creștări pe pol și fază, factorii de înfășurare corespunzători armonicilor superioare sunt în general micșorați într-o măsură mai mare decât factorul de înfășurare al fundamentaliei, astfel încît curba tensiunilor electromotoare induse se apropiie mai mult de o sinusoidă decât în cazul înfășurărilor cu număr întreg de creștări pe pol și fază, care au aproximativ același număr de creștări.

#### Înfășurări trifazate cu număr fractionar de creștări pe pol și fază, cu toate creștăturile bobinate

În cazul acestor înfășurări numărul de creștări pe pol și fază se poate scrie sub forma

$$q = \frac{Z}{2pm} = \frac{N_{bf}}{p} = n + \frac{d}{p}, \quad (5.34)$$

în care  $n$  este un număr întreg (inclusiv valoarea zero),  $d$  este un număr întreg mai mic decât  $p$ , iar numărul de bobine pe fază  $N_{bf}$  se poate scrie astfel

$$N_{bf} = np + d. \quad (5.30')$$

Înfășurările într-un strat cu  $q$  fractionar, trebuie să satisfacă următoarele condiții :

$$N_{bf} = \frac{Z}{2m} = \text{număr întreg} ; \quad (5.30)$$

$$\frac{2N_{bf}}{t} = \text{număr întreg}, \quad (5.35)$$

în care  $N_{bf}$  este numărul de bobine ale înfășurării unei faze,  $m$  numărul de faze, iar  $t$  cel mai mare divizor comun al numărului de creștări  $Z$  și al numărului de perechi de poli  $p$ . Aceste condiții derivă din necesitatea de a executa înfășurarea simetrică în privința numărului de bobine pe fază, iar tensiunile induse pe faze să fie defazate între ele succesiv cu  $\frac{2\pi}{m}$ .

Atunci cînd partea fractionară a numărului de creștări pe pol și fază dat de relația (5.34) este formată din numere prime între ele

(fracția nu se mai poate simplifica), se obțin înfășurările de bază denumite înfășurări primitive sau înfășurări elementare.

Înfășurările la care raportul  $\frac{d}{p}$  se poate simplifica, adică  $d$  și  $p$  au un divizor comun, sunt înfășurări compuse sau derivate, constituie dintr-un număr de înfășurări elementare egal cu divizorul comun a lui  $d$  și  $p$ .

Spre exemplu, înfășurarea trifazată tetrapolară ( $p=2$ ) cu  $q=n+\frac{d}{p}=1+\frac{1}{2}$  este o înfășurare elementară având  $Z=2pmq=2 \cdot 2 \cdot 3 \cdot 1,5 = 18$  crestături, iar înfășurarea compusă constituită din trei asemenea înfășurări elementare va avea :

$$p=6; Z=54; q=\frac{N_{bf}}{p}=\frac{\frac{Z}{2m}}{\frac{2 \cdot 3}{6}}=\frac{\frac{54}{2}}{6}=\frac{9}{6}=1+\frac{3}{6};$$

număratorul și numitorul părții fracționare a lui  $q$  pentru înfășurarea compusă are divizorul comun 3.

În cele ce urmează vom studia numai înfășurări elementare, înfășurările compuse obținindu-se din cele elementare.

#### **Înfășurări la care numărul de crestături $Z$ și numărul de perechi de poli $p$ sunt prime între ele ; $p$ impar**

La aceste înfășurări, numărul de crestături  $Z$  și numărul de perechi de poli  $p$  nu au divizor comun, adică  $t=1$ . În cazul acestora, dacă numărul de bobine pe fază  $N_{bf}$  este impar, înfășurarea fazelor se poate realiza cu o singură cale de curent, iar dacă  $N_{bf}$  este par, se pot obține pe fază două căi de curent. Înfășurările trifazate, cu cinci perechi de poli, cu cîte o singură cale de curent pe fază, sunt reprezentate în fig. 5.74 și 5.75 ; înfășurarea din fig. 5.74 are  $q < 1$ , iar cele din fig. 5.75 au  $q > 1$ .

Înfășurarea din fig. 5.74 este constituită din bobine cu aceeași deschidere, pasul bobinelor  $y=2$  crestături este mai mic decît pasul polar  $\tau=2,4$  crestături, iar numărul de bobine pe fază  $N_{bf} < p$ ;  $N_{bf}=4$ . Repartizarea bobinelor în înfășurările diferitelor faze se face în felul următor : se consideră o bobină luată arbitrar ca apartinind înfășurării  $A-X$  a primei faze, de exemplu, bobina care are laturile active în crestăturile 1 și 3. În crestătura decalată cu  $\left(\frac{Z}{3p} + k \frac{Z}{2p}\right)$  crestături față de crestătura 1, se găsește o latură a unei bobine aparținind înfășurării  $BY$  a celei de a doua faze ( $k$  va lua prima valoare începînd de la zero, 1, 2, 3... pentru care expresia din paranteză va da un număr întreg de crestături). Pentru  $k=1$  se obțin 4 crestături, deci

în crestătura (1+4) adică în crestătura 5 se găsește o latură a bobinei ce aparține infășurării  $B-Y$ . La același decalaj față de crestătura 5 se găsește o latură de bobină în crestătura 9 ce aparține infășurării  $C-Z$ , bobina din crestăturile 9 și 11. Următoarele bobine decalate succesiv cu 4 crestături aparțin în ordine fazelor  $A-X$  (13—15),  $B-Y$  (17—19),  $C-Z$  (21—23).

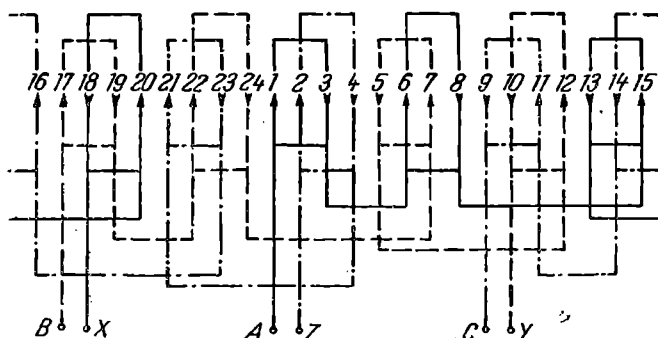
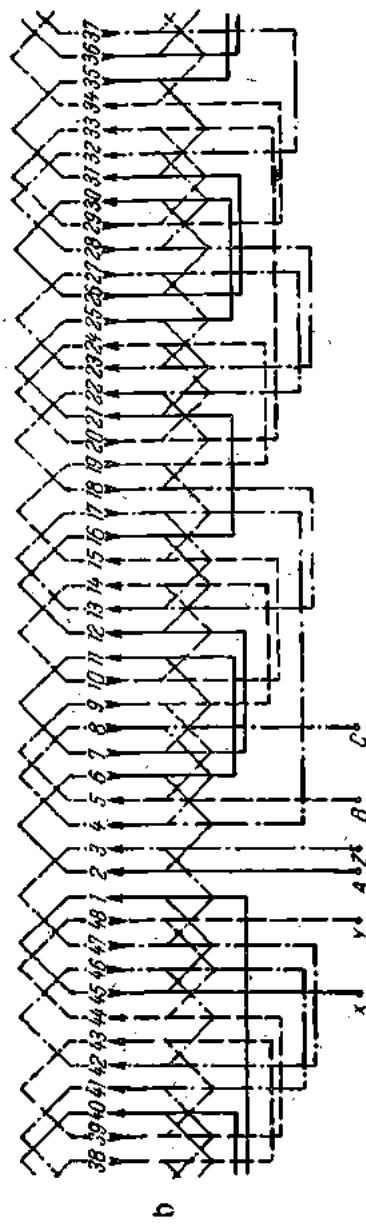
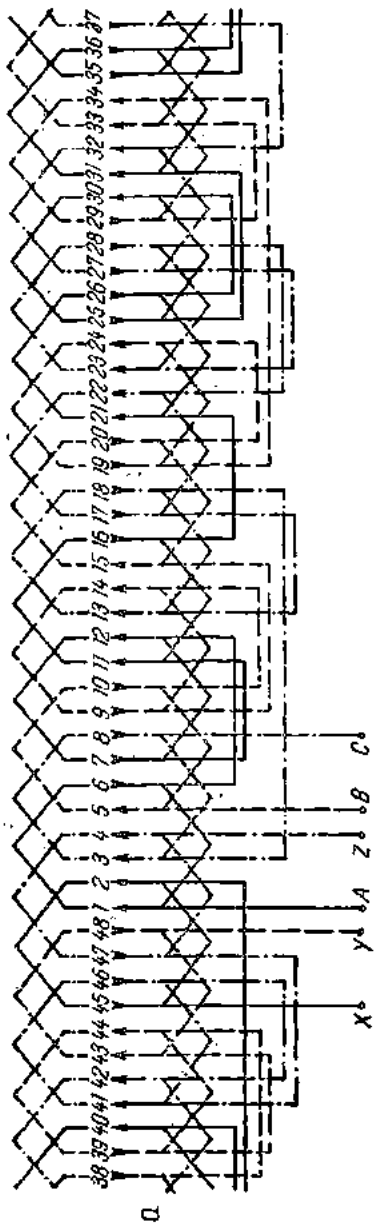


Fig. 5.74. Schema unei infășurări, trifazată, în două etaje, având  $Z=24$ ,  $2p=10$ ,  $q=4/5$ .

S-au împărțit astfel pe fază bobinele din primul etaj, ale căror laturi active ocupă, în exemplul considerat, crestăturile impare..

Bobinele ale căror părți frontale sunt dispuse în al doilea etaj, și care în exemplul considerat ocupă crestăturile pare, se împart pe faze în același mod ca și cele din primul etaj, esențială fiind alegerea primei bobine. Bobina cu laturile active în crestăturile 6 și 8 este decalată față de bobina din crestăturile 1 și 3 cu cinci crestături, adică cu aproximativ doi pași polari,  $2\tau=4,8$  crestături. Cele două bobine ocupând aproximativ aceeași poziție în cimp aparțin infășurării  $A-X$  a aceleiași faze. În crestătura 10, decalată cu patru crestături față de crestătura 6, se găsește o latură a bobinei din infășurarea  $B-Y$  (10—12) și în mod succesiv celelalte bobine aparțin în ordinea infășurărilor fazelor successive  $C-Z$  (14—16),  $A-X$  (18—20),  $B-Y$  (22—24),  $C-Z$  (2—4).

Legarea între ele a bobinelor aparținând infășurării unei faze se face în corespondență cu decalajul relativ dintre bobinele succesive; cind bobinele sunt decalate cu aproximativ un multiplu par de pași polari, legătura se face sfîrșit cu început sau început cu sfîrșit, iar pentru decalaj multiplu impar de pași polari se leagă sfîrșit cu sfîrșit sau început cu început. Bobina din crestăturile 6 și 8 este decalată cu cinci crestături (aproximativ cu  $2\tau=4,8$  crestături) față de bobina



cu laturile în crestăturile 1 și 3 și s-a legat sfîrșitul cu începutul; bobina 13—15 este decalată cu șapte crestături (aproximativ cu  $3\tau = 7,2$  crestături) față de bobina 6—8, și s-a legat sfîrșitul cu sfîrșitul, iar bobina 18—20 este decalată cu cinci crestături (aproximativ  $2\tau = 4,8$  crestături) față de bobina 13—15, și s-a legat începutul cu sfîrșitul. În mod asemănător se leagă între ele și bobinele celorlalte înfășurări.

Pasul între începuturile, respectiv sfîrșiturile înfășurărilor fazelor succesive se calculează cu relația 5.2 în care  $k$  are valoarea pentru care se obține  $y_{ts}$  un număr întreg de crestături. În exemplul din fig. 5.74 pentru  $k=3$  se obține  $y_{ts}=16$ , adică începutul  $B$  este în crestătura (1+16), dacă începutul  $A$  este în crestătura 1. Peste alte 16 crestături față de crestătura 17, adică în crestătura 9 se va găsi începutul  $C$  al înfășurării celei de a treia faze. Același decalaj se obține și între sfîrșiturile  $X$ ,  $Y$ ,  $Z$  ale înfășurărilor fazelor successive.

În cazul înfășurării din figura 5.75, a și b numărul grupelor de bobine pe fază este cuprins între  $p$  și  $2p$  adică  $p < N_{grbf} < 2p$ ; în acest caz  $N_{grbf}=8$ , fiecare grupă fiind constituită dintr-o bobină.

Pasul  $y$  al bobinelor este egal cu cinci crestături în fig. 5.75, a.

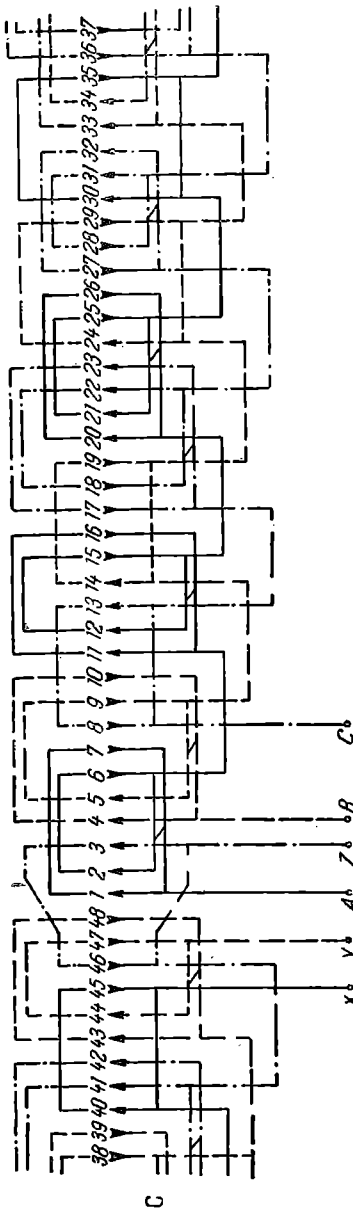


Fig. 5.75. Schema unei înfășurări trifazată, avind:  $Z=48$ ,  $2p=10$ ,  $q=1^{3/5}$ :  
a — în coroană simetrică de bobine egale,  $k_{w_1}=0,957$ , b — în coroană neсимetrică de bobine egale, cu trecerile fazelor,  $k_{w_1}=0,937$ .

și cu patru crestături în fig. 5.75, b. În ambele scheme, înfășurările acelorași faze au o dispunere identică în crestături deci factorii de înfășurare în cele două cazuri sunt aceiași și au valoarea maximă ; ei se calculează cu relația 8, tabela 5.4.

În cazul schemei din fig. 5.75, a, cu bobine având deschiderea  $y = 5$  crestături, se obține o repartizare uniformă în coroană a părților frontale ale bobinelor, iar în cazul schemei din fig. 5.75, b această repartizare este mai puțin uniformă ; în schimb, lungimea părților frontale ale bobinelor este mai redusă.

În fig. 5.75, c înfășurarea este în două etaje ; în acest caz numărul grupelor de bobine pe fază este egal cu  $p$ ;  $N_{grbf} = 5$ , trei grupe fiind constituite din cîte două bobine, iar două grupe din cîte o bobină. Grupele de bobine ale fazei sunt decalate succesiv cu aproximativ un dublu pas polar, motiv pentru care legăturile între grupe sunt sfîrșit cu început. În cazul schemele din fig. 5.75, a și b, legăturile între grupele succesive sunt sfîrșit cu început pentru grupele decalate cu aproximativ un dublu pas polar și sfîrșit cu sfîrșit sau început cu început pentru bobinele decalate cu aproximativ un pas polar..

De remarcat că înfășurările fazelor în schema din fig. 5.75, c au o dispunere diferită în crestături față de schemele din fig. 5.75, a și b ; corespunzător acestei dispuñeri, factorul de înfășurare scade datorită apariției intercalării fazelor. La înfășurările cu  $q$  fracționar intercalarea fazelor se folosește numai atunci cînd numărul de crestături pe pol și fază este mai mare decît 1. În cazul acestor înfășurări, cînd laturile pozitive și respectiv negative ale bobinelor unei înfășurări de fază sunt dispuse corespunzător în crestăturile care au pozițiile cele mai apropiate în cîmpul magnetic, înfășurările au factorul de înfășurare maxim și se calculează cu relația 8, tabela 5.4, de exemplu înfășurările din fig. 5.74, 5.75, a și b.

În cazul înfășurării din fig. 5.75 pasul între începuturile și respectiv sfîrșiturile fazelor succesive este diferit de pasul  $\frac{Z}{3p}$  corespunzător unghiului de defazaj dintre fazele succesive ; în exemplul dat pașii  $y_{fs}$  s-au luat egali cu 3 și respectiv cu 4 crestături. Dacă în expresia 5.2 se dă lui  $k$  valoarea 3, se obține pentru pasul  $y_{fs}$  la înfășurarea din fig. 5.75 valoarea 32 crestături ceea ce corespunde exact defazajului dintre fazele succesive. Corespunzător acestui pas, începuturile și sfîrșiturile fazelor succesive ar putea fi scoase astfel : A din crestătura 1, B din 33, C din 17, X din 45, Y din 29 și Z din 13.

În această situație defazajul corespunzător unghiului de fază este exprimat printr-un număr întreg de crestături, iar capetele de legătură ale înfășurării fazelor sănt scoase din crestături echidistante.

#### Înfășurări la care numărul de crestături $Z$ și numărul de perechi de poli $p$ au un divizor comun $t=2$

În cazul acestor înfășurări cîte două crestături ocupă simultan aceeași poziție în cîmpul magnetic; la aceste înfășurări numărul de bobine pe faza  $N_{bf}$  este întotdeauna impar,  $N_{bf}$  și  $p$  sănt prime între ele, adică  $p$  este par.

În figurile 5.76, 5.77 și 5.78 sănt reprezentate schemele unor astfel de înfășurări avînd un număr impar de bobine pe fază și  $p$  par. De remarcat că în cazul acestora grupele succesive de bobine ale aceleiași faze sănt decalate între ele exact cu un dublu pas polar, grupele însă nu au toate același număr de bobine. În toate aceste scheme numărul de grupe de bobine pe fază este egal cu  $p$  și în corespondență cu aceasta legăturile între grupele de bobine sănt făcute sfîrșit cu început. Pasul  $y_{fs}$  între începuturile și respectiv sfîrșiturile înfășurărilor fazelor succeseive corespunde unghiului de defazaj numai în schema din fig. 5.76; în celelalte două sheme pașii adoptați se abat de la pasul corespunzător unghiului de defazaj cu cîte o jumătate de crestătură.

La înfășurările la care numărul de crestături  $Z$  și numărul de perechi de poli  $p$  au un divizor comun  $t=2$ , factorul de înfășurare se calculează cu ajutorul expresiilor de la punctul 9 din tabela 5.4 unde  $k_d$  este numit factor de deplasare a zonelor. Expresiile de la punctul 9 din tabela 5.4 au fost stabilite în ipoteza obținerii unei valori maxime pentru factorul de înfășurare. În cazul în care se adoptă o deplasare mai mare a zonelor sau se realizează intercalări ale fazelor, factorul de înfășurare pentru fundamentală scade, dar anumite armonici se pot reduce într-o măsură mult mai mare și curba tensiunii electromotoare indusă în înfășurare se apropie mai mult de sinusoidă.

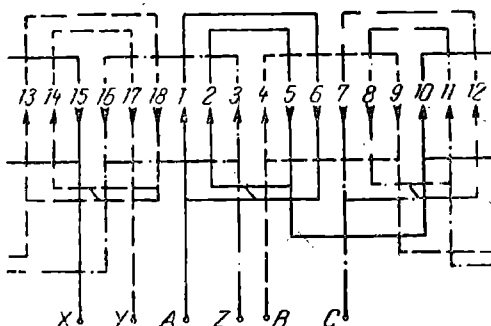


Fig. 5.76. Schema unei înfășurări, trifazată, în două etaje, având  $Z=18$ ,  $2p=2$ ,  $q=1\frac{1}{2}$ .

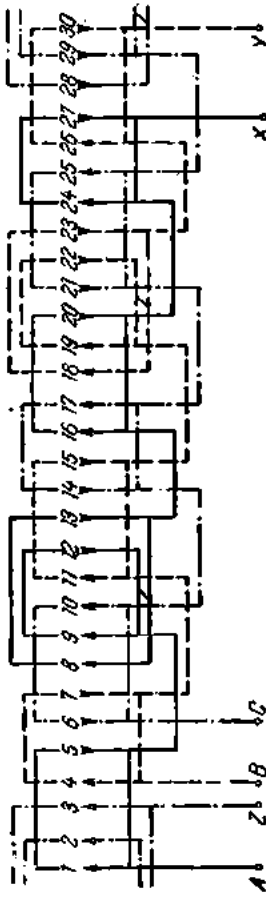


Fig. 5.77. Schema unei înălțări, trifazată, în două etaje, avind  
 $Z=30$ ,  $2p=8$ ,  $q=1\frac{1}{4}$ .

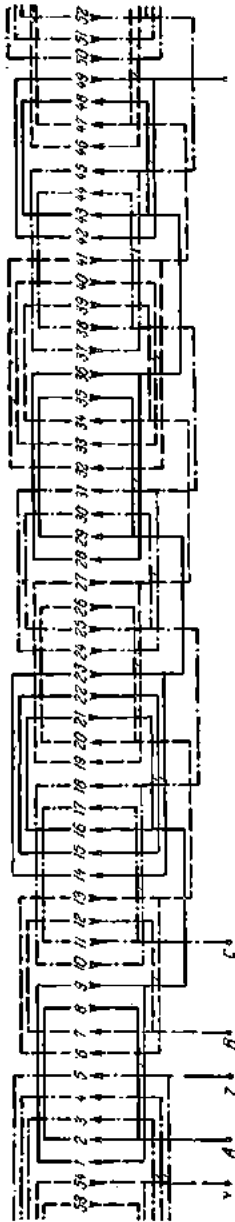


Fig. 5.78. Schema unei înălțări, trifazată, în două etaje, avind  $Z=54$ ,  $2p=8$ ,  $q=2\frac{1}{4}$ .

### Înfășurări trifazate cu număr fracționar de crestături pe pol și fază, cu crestături libere

Notăm cu  $Z_t$  numărul crestăturilor rămase libere și ne limităm la cazul cel mai important în practică, la care

$$Z_t = 3. \quad (5.36)$$

Numărul total de crestături se exprimă în funcție de numărul de bobine pe fază  $N_{bf}$  și de numărul de crestături rămase libere  $Z_t$ , prin relația

$$Z = 6N_{bf} + Z_t. \quad (5.37)$$

Dacă  $t$  este cel mai mare divizor comun pe care îl admit numărul de crestături  $Z$  și numărul de perechi de poli  $p$ , atunci înfășurările trifazate cu  $q$  fracționar, cu trei crestături libere, trebuie să îndeplinească condițiile

$$\frac{6N_{bf}+3}{mt} = \frac{2N_{bf}+1}{t} = \text{număr întreg}; \quad (5.38)$$

$$\frac{6N_{bf}+3}{2pm} = \frac{6N_{bf}+3}{6p} = \frac{2N_{bf}+1}{2p} = q = \text{număr fracționar}, \quad (5.39)$$

determinate la fel ca în cazul înfășurărilor cu  $q$  fracționar și având toate crestăturile bobinate.

La înfășurările trifazate cu trei crestături nebobinate ( $Z_t = 3$ ), numărul total de crestături  $Z$ , conform relației (5.37), este impar, numerele posibile de crestături fiind 9, 15, 21, 27, 33, 39, 45... În practică prezintă importanță numai înfășurările cu  $p=3$  sau multiplu de 3, în cazul cărora, conform relației (5.38),  $t$  este impar și mai mare decât 1. Înfășurările cele mai des întâlnite cu crestături libere cu  $p=3$  au  $p=t$ . Prin urmare, la aceste înfășurări, cîte trei crestături au aceeași fază. Schemele unor astfel de înfășurări sint reprezentate în fig. 5.79 și 5.80.

În fig. 5.79 cele trei crestături rămase libere 20, 23 și 26 sunt decalate relativ cu  $120^\circ$  electrice, în acest caz factorul de înfășurare  $k_w$  are valoarea maximă.

La înfășurarea din fig. 5.80 nu se găsesc trei crestături decalate la  $120^\circ$  electrice. În schema din fig. 5.80, a, crestăturile rămase libere 13, 26 și 39 au aceeași fază în cîmpul magnetic, iar factorul de înfășurare  $k_w$  are valoare mai mică decât în cazul înfășurărilor din fig. 5.80, b și 5.80, c (acestea din urmă au același factor de înfășurare). În celelalte două scheme din fig. 5.80, b și c, crestăturile rămase libere sunt decalate între ele aproape la  $120^\circ$  electrice.

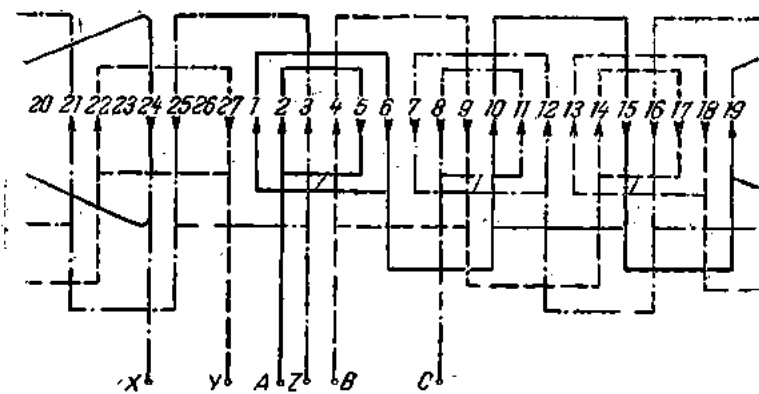


Fig. 5.79. Schema unei înfășurări, trifazată, cu număr fractionar de crestături pe pol și fază, având  $Z=27$ ,  $Z_1=3$ ,  $2p=6$ ,  $q=1\frac{1}{2}$ .

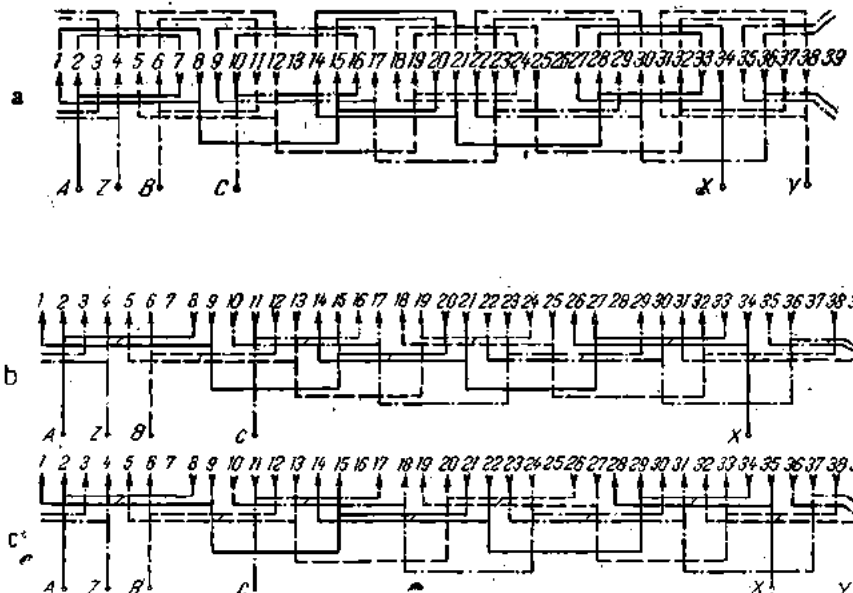


Fig. 5.80. Schema unei înfășurări, trifazată, cu număr fractionar de crestături pe pol și fază, având  $Z=39$ ,  $Z_1=3$ ,  $2p=6$ ,  $q=1\frac{1}{3}$ .

De observat că în cazul schemei din fig. 5.80, a toate bobinele aparținând fazei 3 au deschiderea mai mare cu o crestătură decit bobinele celorlalte faze. În fig. 5.80, b și c, un număr egal de bobine din toate infășurările de fază au pasul lungit cu o crestătură; ele sunt repartizate inegal în cele două etaje în fig. 5.80, b și egal în fig. 5.80, c.

În tabela 5.6 sunt grupați factorii de infășurare ai armonicilor impari pînă la ordinul 19, pentru infășurări trifazate cu trei crestături libere și anume pentru infășurări avînd  $p = 3$ .

Tabela 5.6

**Factorii de infășurare  $k_{wv}$  pentru infășurări trifazate cu număr fracționar de crestături pe pol și fază, într-un strat, cu trei crestături libere, pentru  $p=3$**

Z	$N_{bf}$	q	$K_{wv}$ pentru $v =$						
			1	5	7	11	13	17	19
27	4	$1\frac{1}{2}$	0,955	0,266	0,040	0,040	0,226	0,955	0,955
45	7	$2\frac{1}{2}$	0,958	0,247	0,057	0,110	0,039	0,039	0,110
63	10	$3\frac{1}{2}$	0,957	0,234	0,087	0,113	0,008	0,066	0,032
81	13	$4\frac{1}{2}$	0,957	0,226	0,100	0,111	0,028	0,071	0,022
99	16	$5\frac{1}{2}$	0,957	0,220	0,108	0,108	0,039	0,072	0,010

#### 5.2.4. Infășurări de curent alternativ în două straturi Definiție. Număr de bobine, clasificări

Infășurările de curent alternativ în două straturi sunt constituite din bobine ale căror laturi active de ducere, respectiv de întoarcere ocupă fiecare cîte un strat în crestături.

Numărul total de bobine  $N_{tb}$  la infășurările în două straturi este egal cu numărul de crestături  $Z$ , adică

$$N_{tb} = Z, \quad (5.40)$$

iar numărul  $N_{bf}$  de bobine pe fază este,

$$N_{bf} = \frac{N_{tb}}{m} = \frac{Z}{m}, \quad (5.41)$$

unde  $m$  este numărul de faze.

Numerele  $N_{tb}$  și  $N_{bf}$  se pot exprima în funcție de numerele de poli  $2p$ , de crestături pe pol și fază  $q$  și de faze  $m$ , prin relațiile :

$$N_{tb} = 2pmq \quad (5.42)$$

$$N_{bf} = \frac{2pmq}{m} = 2pq \quad (5.43)$$

Înfășurările în două straturi se pot executa cu mai multe bobine pe crestătură (laturile de ducere, respectiv de întoarcere) fiind așezate alăturat în același strat. În cazul particular al crestăturilor semi-deschise cu axa deschiderii crestăturii asymmetrică față de axa crestăturii, numărul de bobine pe crestătură poate fi egal cu 2 și numerele totale de bobine  $N_{tb}$ , și  $N_{bf}$  sunt :

$$N_{tb} = 2Z \quad \text{și} \quad N_{bf} = \frac{2Z}{m}.$$

Înfășurările în două straturi se pot executa atât pentru valori intregi, cât și pentru valori fraționare ale lui  $q$  (cu condiția ca produsul  $2pq$  să fie număr întreg). De exemplu, la  $p=1$ ,  $q$  poate lua valorile  $\frac{1}{2}, 1, 1\frac{1}{2}, 2, 2\frac{1}{2}, 3, 3\frac{1}{2}$  etc.; la  $p=2$ ,  $q$  poate lua valorile  $\frac{2}{4}, \frac{3}{4}, 1, 1\frac{1}{4}, 1\frac{2}{4}, 1\frac{3}{4}, 2, 2\frac{1}{4}$  etc.; la  $p=3$ ,  $q$  poate lua valorile  $\frac{1}{3}, \frac{2}{3}, 1, 1\frac{1}{3}, 1\frac{2}{3}, 2, 2\frac{1}{3}, 2\frac{2}{3}, 3$  etc.

După valoarea lui  $q$  deosebim infășurări cu număr întreg de crestături pe pol și fază și infășurări cu număr fraționar de crestături pe pol și fază.

În cazul infășurărilor cu  $q$  fraționar, grupele de bobine ale infășurărilor nu au toate același număr de bobine.

În funcție de pasul bobinelor se deosebesc infășurări cu pas diametral și infășurări cu pas scurtat. La cele diametrale pasul bobinelor componente sau pasul mediu al bobinelor din grupă în cazul grupelor identice de bobine este egal cu pasul polar; la infășurări cu pas scurtat deschiderea medie a bobinelor componente poate fi mai mică sau mai mare decât pasul polar, în cazul general infășurările în două straturi se utilizează ca infășurări cu pas scurtat și sunt constituite din bobine cu deschiderea mai mică decât pasul polar.

După modul în care se dispun părțile frontale ale bobinelor sau grupelor de bobine, infășurările în două straturi sunt :

Fig. 5.81. Fotografia unei infășurări trifazate, în coroana de grupe de bobine concentrice, având :  $Z=54$ ;  $2p=6$ ;  $q=3$ .

1. Infășurări în coroană de grupe de bobine concentrice; acestea sunt constituite, pentru  $q$  întreg, din  $2p$  în grupe de bobine, fiecare grupă având  $q$  bobine concentrice (fig. 5.81).

2. Înfășurări în coroană de bobine egale ; acestea sunt constituite pentru  $q$  întreg din  $2pmq$  bobine, dispuse alăturate și grupate în  $2pm$  grupe cu cîte  $q$  bobine fiecare, fig. 5.82.

3. Înfășurări din bobine egale, cu părțile frontale în două coroane formate după suprafețe conice coaxiale, fig. 5.83.

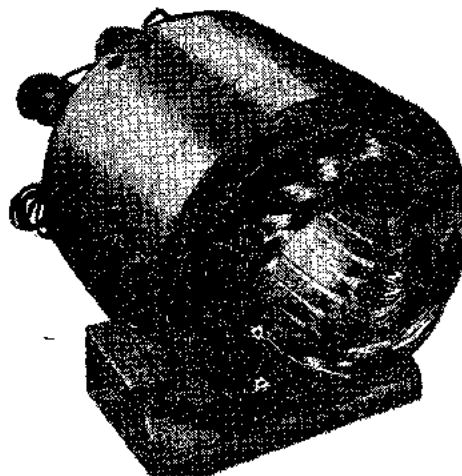


Fig. 5.82. Fotografia unei înfășurări trifazate, în coroana de bobine egale, avind :  $Z=24$ ;  $2p=2$ ;  $q=4$ .

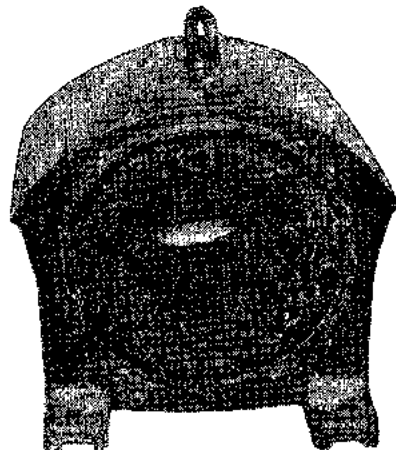


Fig. 5.83. Fotografia unei înfășurări trifazate, în două coroane de bobine egale, avind :  $Z=48$ ;  $2p=4$ ;  $q=4$ .

4. Înfășurări în evolventă ; la acestea, părțile frontale ale bobinelor componente se dispun în două (sau în multiplu întreg de două) plane perpendiculare pe axul de rotație al mașinii (fig. 5.84) ; uneori părțile frontale ale bobinelor componente se dispun față de axul mașinii după două (sau un multiplu de două) suprafețe conice, fiind denumite în acest caz și înfășurări în formă de coș.

La aceleași date, înfășurările în două straturi necesită întotdeauna mai puțin material conductor decit înfășurările într-un strat și prezintă mai multe posibilități de obținere a unor scheme distințte de înfășurări.

Înfășurările trifazate, în două straturi, constituite din bobine cu pas diametral sau cu pas scurtat, pot fi cu șase zone, cu extinderea

zonelor — parțială sau totală — cu intercalarea fazelor ; extinderea zonelor și intercalarea fazelor se pot aplica simultan la aceste înfășurări (spre deosebire de înfășurările într-un strat, la care obținerea

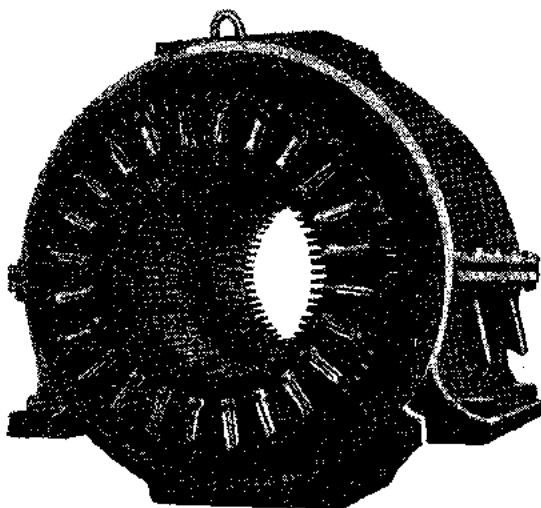


Fig. 5.84. Fotografia unei înfășurări trifazate, în evolventă, având părțile frontale dispuse în două plane perpendiculare pe axul de rotație cu  $Z=72$ ;  $2p=4$ ;  $q=6$ .

intercalării fazelor este legată fie de modificarea pasului bobinelor componente, fie de deplasarea relativă în cîmp a grupelor de bobine succesive aparținînd înfășurării aceleiași faze).

#### *Înfășurări cu șase zone*

Înfășurările în două straturi, cu șase zone, sint înfășurări trifazate cu număr întreg de crestături pe pol și fază la care laturile de bobine din stratul exterior (sau interior) care revine unei faze pe pol, sint dispuse în crestături alăturate. Aceste înfășurări pot fi constituite din bobine cu pas diametral sau cu pas scurtat ; în primul caz în crestături se găsesc laturi de bobine care aparțin aceleiași faze, iar în al doilea, în funcție de valoarea scurtării bobinelor, în anumite crestături se găsesc laturi de bobine care aparțin la faze diferite. La înfășurările constituite din bobine cu pas diametral, factorul de înfășurare  $k_w$  este egal cu factorul de repartizare  $k_q$  și se calculează cu

expresia 5.20, iar la cele constituite din bobine cu pas scurtat, factorul de înfășurare este egal cu produsul dintre factorii de repartizare și de scurtare determinați după expresile 5.20 și 5.22.

### *Înfășurări în coroană, din grupe de bobine concentrice*

**Înfășurări din grupe de bobine concentrice cu pasul mediu pe grupă egal cu pasul polar  $\left( \frac{Z}{2p} \text{ crestături} \right)$**

Înfășurările în coroană de grupe de bobine concentrice sunt constituite din  $2pm$  grupe de bobine, fiecare grupă având  $q$  bobine. Schema unei înfășurări trifazate, tetrapolare, în coroană de grupe de bobine concentrice este reprezentată în fig. 5.85. În această schemă fiecare grupă este constituită din două bobine; succesiunea bobinelor în grupă este spre exterior (capetele de legături ale grupei de bobine

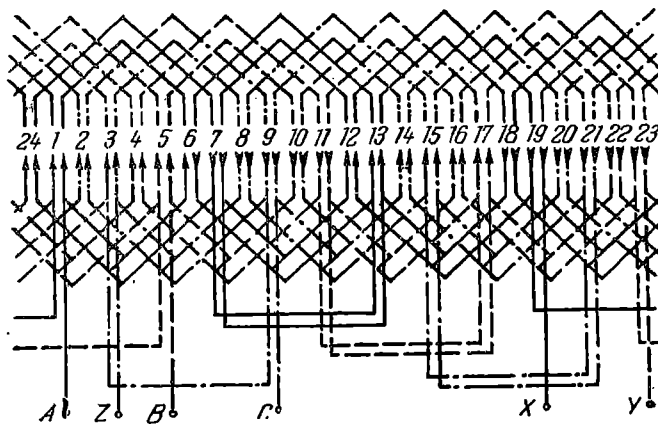


Fig. 5.85. Schema unei înfășurări trifazate în coroană de grupe de bobine concentrice avind :  $Z=24$ ;  $2p=4$ ;  $q=2$ .

sunt scoase, începutul din bobina interioară, iar sfîrșitul din bobina exterioară). Grupele de bobine aparținînd aceleiași faze sunt decalate succesiv cu un pas polar  $\tau$  respectiv cu  $\frac{Z}{2p}$  crestături. Datorită pozitiei lor în cîmpul magnetic, grupele de bobine succesive, aparținînd aceleiași faze, au simultan polaritate opusă; din această cauză legăturile dintre grupe se fac alternativ sfîrșit cu sfîrșit, început cu început etc.

Considerind aceeași înfășurare, executată în două straturi (în fig. 5.85) și într-un strat, spre exemplu, în două etaje (în fig. 5.47, a) sau în coroană de grupe de bobine concentrice (în fig. 5.52), se constată următoarele :

— înfășurările acelorași faze au o dispunere identică în crestături în cele două scheme (același factor de înfășurare) ;

— numărul de bobine și respectiv de grupe de bobine la înfășurarea în două straturi este de două ori mai mare decât numărul de bobine și respectiv de grupe de bobine de la înfășurarea într-un strat, iar numărul de spire dintr-o bobină a înfășurării în două straturi este de două ori mai mic decât numărul de spire dintr-o bobină din înfășurarea într-un strat (același număr de spire pe fază în ambele scheme, înfășurarea având aceleași date) ;

— grupele de bobine aparținând aceleiași faze sunt decalate succesiv, cu  $2\tau$ , respectiv cu  $\frac{Z}{p}$  crestături în cazul execuției într-un strat și cu  $\tau$ , respectiv cu  $\frac{Z}{2p}$  crestături în cazul execuției în două straturi ; în primul caz grupele de bobine succeseive au simultan aceeași polaritate, iar în al doilea, polaritatea opusă. Din această cauză apare diferența între modul de legare a grupelor succeseive de bobine în cele două scheme : sfîrșit cu început etc. la înfășurările într-un strat cu  $q$  bobine în grupă și, alternativ, sfîrșit cu sfîrșit și început cu început, la înfășurările în două straturi cu șase zone ;

— părțile frontale ale grupelor de bobine se succed în sensul succesiunii fazelor înfășurării în ordinea fazelor 1—2—3, 1—2—3 etc., în cazul înfășurării într-un strat și respectiv în ordinea 1—3—2, 1—3—2 etc. în cazul înfășurării în două straturi.

Înfășurările în două straturi se deduc din înfășurările corespunzătoare într-un strat, prin dublarea numărului de bobine și respectiv de grupe de bobine, prin reducerea la jumătate a numărului de spire din bobină și prin repartizarea pe fiecare pol a unei grupe de bobine din înfășurarea fiecărei faze. Să urmărim spre exemplu treccerea înfășurării A—X de la dispunerea într-un strat fig. 5.47, a<sub>1</sub>, la dispunerea în două straturi fig. 5.85. Se dublează numărul grupelor de bobine și se lasă în aceleiasi crestături primele grupe ocupînd jumătate din crestăturile 1—6—24—7, respectiv 13—18—12—19, iar grupele noi se rabat la  $180^\circ$  în jurul axei dintilor, în exemplul nostru, dintre crestăturile 6 și 7 și respectiv 18 și 19 și ocupă jumătatea rămasă liberă în crestăturile 13—6—12—7, respectiv 1—18—24—19. Se observă că înfășurarea A—X ocupă aceleiasi crestături în cele două scheme iar legăturile între grupele succeseive de bobine, datorită rabaterii, se execută astfel : sfîrșit cu sfîrșit, început cu început etc.

In mod asemănător se poate proceda la deducerea oricărei scheme a înfășurării în două straturi dintr-o schemă a unei înfășurări corespunzătoare într-un strat.

De remarcat faptul esențial că la înfășurările în două straturi cu șase zone numărul de bobine într-o grupă de bobine este egal cu  $q$ .

În cazul înfășurărilor cu  $q > 2$  grupa se poate împărti în subgrupe decalate, subgrupa avind  $q/2$  bobine pentru  $q$  par și respectiv  $(q/2 \pm 0,5)$ , cu  $(q/2 \mp 0,5)$  bobine, sau invers, pentru  $q$  impar. În fig. 5.86 este reprezentată schema unei astfel de înfășurări, trifazată, având  $q = 4$ , semigrupele fiind constituite din două bobine ( $q/2$  bobine). Pentru execuția unei asemenea înfășurării sunt necesare  $4pm$  grupe constructive (semigrupe) de bobine, fiecare grupă constructivă având  $q/2$  bobine.

De observat că prin împărțirea grupei în subgrupe se reduce dimensiunea axială a înfășurării în părțile frontale, față de cazul în care grupa ar fi constituită din  $q$  bobine concentrice și ar ocupa aceleași crestături.

În cazul schemei din figura 5.86 legăturile dintre cele  $q$  bobine ale unei grupe sunt astfel făcute încât capetele de legătură săn scoase din laturile exterioare ale bobinelor din grupă. Capetele de legătură pot fi scoase și din laturile interioare ale bobinelor din grupă, sau din celelalte laturi ale bobinelor, dacă se fac legături corespunzătoare între cele  $q$  bobine ale grupei.

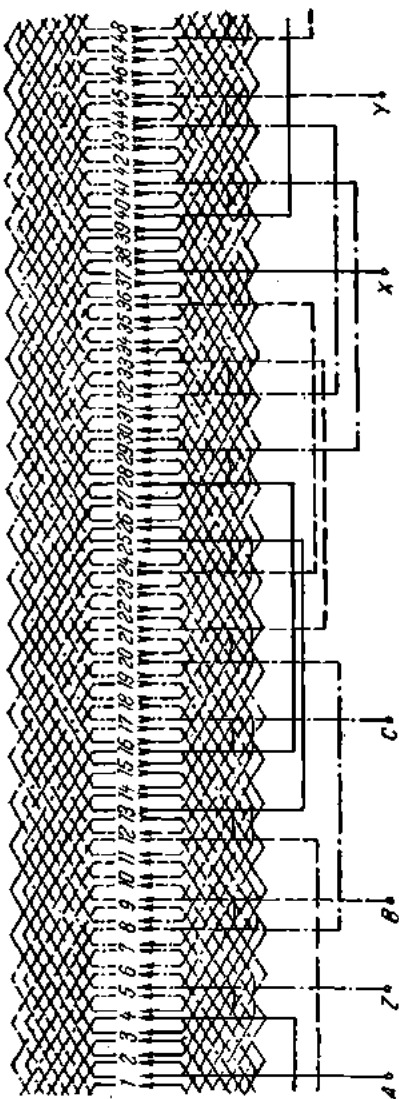
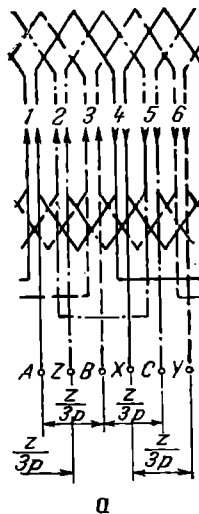


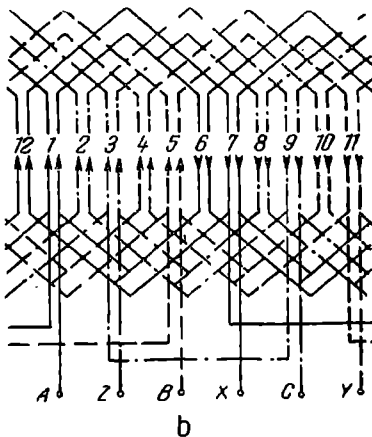
Fig. 5.86. Schema unei înfășurări trifazate în coroană de semigrupe decalate, de bobine concentrice.

Pentru a deduce modul în care se pot stabili schemele oricărora infăşurări trifazate în două straturi, în cazul de faţă în coroană de grupe de bobine concentrice, este suficient să examinăm schemele infăşurărilor din fig. 5.85, fig. 5.86 și fig. 5.87. Considerăm infăşurarea bipolară infăşurare de bază, infăşurările multipolare fiind un multiplu întreg de infăşurări bipolare. Cea mai simplă infăşurare bipolară, în două straturi este infăşurarea concentrată, constituită din bobine cu pas diametral, a cărei schemă este reprezentată în fig. 5.87, a. În cazul acestei infăşurări concentrate, infăşurării fiecărei faze îi revine cîte o crestătură pe pol. Bobinele infăşurării avînd deschiderea egală cu pasul polar adică cu  $\frac{Z}{2p} = \frac{6}{2 \cdot 1} = 3$  crestături ; dacă crestătura 1 revine infăşurării  $A-X$  a primei faze pe un pol, atunci



a

Fig. 5.87, a. Schema unei infăşurări trifazate concentrată în coroană avînd  $Z=6$  ;  $2p=2$  ;  $q=1$ .



b

Fig. 5.87, b. Schema unei infăşurări trifazate repartizată în coroană de grupe de bobine concentrice cu  $Z=12$  ;  $2p=2$  ;  $q=2$ .

crestătura 4 revine aceleiași faze pe al doilea pol. Legăturile între cele două bobine ale infăşurării  $A-X$  trebuie astfel făcute încît sensul curentului în orice moment să fie opus în laturile bobinelor dispuse în crestăturile ce revin polilor de nume contrar ; din această cauză sfîrşitul bobinei 1—4 este legat cu sfîrşitul bobinei 4—1, asi-

gurindu-se un sens al curentului în laturile din crestătura 1 și un sens opus în laturile din crestătura 4. Înfășurările  $B-Y$  și  $C-Z$  ale celorlalte două faze se realizează în mod identic și sint decalate succesiiv cu  $Z \left( \frac{1}{3p} + \frac{k}{p} \right)$  crestături (v. relația 5.2). În cazul de față înfășurarea fiind bipolară, se obține același decalaj de două crestături între înfășurările fazelor succesive, pentru orice valoare a factorului  $k$  din relația 5.2.

Înfășurarea bipolară repartizată, cu două crestături pe pol și fază, constituță din bobine având pasul mediu pe grupa de bobine egal cu pasul polar  $\frac{Z}{2p}$  crestături, are schema din fig. 5.87, b și se deduce din înfășurarea bipolară concentrată prin dublarea numărului de crestături și respectiv de bobine; în cazul ultimei scheme grupa de bobine este constituită din două bobine concentrice. Bobina interioară din grupă cuprinde patru crestături — cîte două crestături pe pol pentru fiecare fază, (la înfășurarea concentrată bobina cuprindea două crestături — cîte o crestătură pe pol pentru fiecare fază). Decalajul de  $\frac{Z}{3p}$  crestături între înfășurările fazelor succesive este egal cu patru crestături în fig. 5.87, b și respectiv cu două crestături în fig. 5.87, a.

În cazul general, la înfășurările trifazate bipolare cu  $q$  întreg, constituite din bobine a căror pas mediu pe grupă este egal cu  $\frac{Z}{2p}$  crestături, cele șase grupe de bobine ale înfășurării ( $2pm$  grupe) sint constituite fiecare din  $q$  bobine, iar între laturile interioare ale bobinelor din grupă se lasă  $2q$  crestături.

Cu ajutorul schemelor înfășurărilor bipolare cu  $q$  dat, care se stabilesc conform celor de mai sus plecind de la înfășurarea concentrată, se pot intocmi schemele oricărui înfășurări cu același  $q$ , multipolare; acestea cuprind un număr întreg de înfășurări bipolare. Spre exemplu, schema înfășurării tetrapolare cu  $q=2$  din fig. 5.85 cuprinde de două ori schema înfășurării bipolare cu  $q=2$  din fig. 5.87, b. Schema unei înfășurări hexapolare cu  $q=2$  va cuprinde schema înfășurării din fig. 5.87, b de trei ori etc.

Schemele înfășurărilor multipolare cu alt  $q$  se stabilesc în mod similar. Spre exemplu, schema înfășurării tetrapolare cu  $q=4$  din fig. 5.86 cuprinde de două ori schema unei înfășurări bipolare cu  $q=4$ , schema înfășurării hexapolare o va cuprinde de trei ori, cea cu opt poli o va cuprinde de patru ori etc.

Schemele reprezentate mai sus corespund unor înfășurări având o singură cale de curent pe fază. La înfășurările în coroană de grupe de bobine concentrice cu  $q$  întreg, numărul maxim de căi de curent în paralel pe fază este egal cu  $2p$  atât în cazul înfășurărilor cu  $q$  impar, cât și în cazul înfășurărilor cu  $q$  par cu grupe divizate în semigrupe de bobine concentrice, decalate, având un număr impar de bobine în semigrupă. Se obține o înfășurare cu  $2p$  căi de curent prin legarea corespunzătoare în paralel a celor  $2p$  grupe de bobine ale înfășurării fazei. În cazul înfășurărilor, cu  $q$  par, constituie din grupe de bobine concentrice cu  $q$  bobine în grupă sau în cazul grupelor divizate în semigrupe de bobine concentrice, decalate, cu număr par de bobine în semigrupă, numărul maxim posibil de căi de curent în paralel pe fază este egal cu  $4p$ . În aceste cazuri în fiecare grupă de bobine se pot obține cîte două căi de curent în paralel. În grupele avînd  $q$  bobine concentrice, căile de curent, se vor obține, prin legarea în serie a bobinelor cu deschiderea mai mică decît pasul polar pentru o cale și a celor cu deschiderea mai mare decît pasul polar pentru a două cale. În grupele divizate în semigrupe de bobine concentrice decalate, căile de curent se vor obține prin legarea în serie a bobinelor ( $q/2$  bobine = număr par) care au laturile ce revin unei faze pe pol dispuse în crestăturile laterale. În aceste cazuri bobinele înfășurării fazei care au laturile dispuse în crestăturile laterale sub influența unui pol, vor avea celelalte laturi, de sub influența polului vecin de nume contrar, dispuse în crestăturile centrale și invers.

În fig. 5.88 este reprezentată înfășurarea  $A-X$ , tetrapolară, cu  $q=2$ , constituită din grupe de bobine concentrice, cu două căi de curent în  $a$  și  $b$ , cu patru căi ( $2p=4$ ) în  $c$  și cu opt căi ( $4p=8$ ) în  $d$ . Înfășurarea  $A-X$  tetrapolară cu  $q=2$ , cu o singură cale de curent este reprezentată în fig. 5.85. În fig. 5.88, a, căile de curent sunt constituite din grupe succesive de bobine care au simultan polaritate opusă, iar în fig. 5.88, b, din grupe de bobine care au simultan aceeași polaritate și ca urmare a acestui fapt grupele de bobine în calea de curent se leagă succesiv sfîrșit cu sfîrșit în fig. 5.88, a și sfîrșit cu început în fig. 5.88, b.

La înfășurările cu căi de curent conform fig. 5.88, a, forțele de atracție magnetică unilaterală se reduc, în schimb curenții se repartizează neuniform pe căile de curent și invers la înfășurările executate după schema din fig. 5.88, b (vezi și schemele înfășurării din fig. 5.44). În cazul înfășurărilor cu  $2p>4$  cu două căi de curent în paralel, grupele de bobine în calea de curent se leagă alternativ, sfîrșit cu sfîrșit, început cu început etc. în schemele similare celei din

fig. 5.88, a și respectiv sfîrșit cu început etc. în cazul schemelor similare celor din fig. 5.88, b.

În fig. 5.88, c s-a reprezentat schema înfășurării fazei avînd toate grupele de bobine legate în paralel, numărul căilor de curent  $a=2p$ , iar în fig. 5.88, d înfășurarea are numărul maxim posibil de căi de curent  $a=4p$ ; în acest caz în fiecare grupă de bobine s-au format cîte două căi de curent. De reînțut că numai în cazul grupelor de bobine concentrice cu  $q$  par cu pas mediu pe grupă egal cu pasul polar,  $\left(\frac{z}{2p}$  crestături) se pot obține două căi de curent în paralel în grupa de bobine. Subliniem de asemenea faptul esențial că la o înfășurare dată numărul de spire pe fază se păstrează același, independent de numărul căilor de curent. Acest lucru trebuie reînțut deoarece la același număr de spire pe fază, bobinele înfășurării cu  $a$  căi de curent vor avea de  $a$  ori mai multe spire decît bobinele înfășurării cu o singură cale de curent, iar secțiunea conductorului de bobinaj va fi de  $a$  ori mai mică. Spre exemplu, dacă considerăm că înfășurarea  $A-X$  are același număr de spire în figurile 5.85 și 5.88, atunci bobinele în figurile 5.88, a și b, în fig. 5.88, c, în fig. 5.88, d vor avea respectiv de 2, de 4 și de 8 ori mai multe spire decît bobinele din fig. 5.85; secțiunea conductorului de bobinaj va fi corespunzător redusă la  $\frac{1}{2}$ ,  $\frac{1}{4}$  și  $\frac{1}{8}$  în cele trei scheme, față de secțiunea conductorului înfășurării, cu o singură cale de curent, reprezentată în fig. 5.85.

În fig. 5.89 este reprezentată o grupă de bobine din înfășurarea  $A-X$  a unei înfășurări trifazate avînd  $q=4$ , grupa avînd două căi de curent. În fig. 5.89, a grupa este constituită din bobine concentrice, iar căile de curent sunt obținute respectiv prin legarea în serie a bobinelor cu deschiderea mai mică decît pasul polar pentru o cale și a bobinelor cu deschiderea mai mare decît pasul polar pentru a două. În fig. 5.89, b grupa este divizată în semigrupe de bobine concentrice, decalate, iar căile de curent sunt obținute respectiv prin legarea în serie a bobinelor care au laturile dispuse în crestăturile laterale (1 și 4) pe un pol și respectiv în crestăturile centrale (14 și 15) pe polul vecin de nume contrar, pentru o cale, și a bobinelor care au laturile în crestăturile centrale (3 și 4) pe primul pol și în crestăturile laterale (13 și 16) pe al doilea pol, pentru a două cale.

În fig. 5.88 înfășurările  $B-Y$  și  $C-Z$  a celorlalte două faze vor fi identice cu înfășurarea  $A-X$  și vor fi decalate succesiv cu  $Z\left(\frac{1}{3p} + \frac{k}{p}\right)$  crestături; ( $k=0, 1, 2, 3 \dots$ , iar  $p$  este numărul perechilor de poli).

Cu ajutorul exemplelor date în figurile 5.88 și 5.89 se pot stabili schemele oricărui înfășurări cu  $a > 1$  pentru orice valoare a numărului de poli  $2p$  și a numărului întreg de crestături pe pol și faza  $q$ .

În cazul înfășurărilor în două straturi în coroană de grupe de bobine concentrice, se utilizează ca element constructiv de bază grupa de bobine pentru înfășurările cu  $a = 1 \dots 2p$  și respectiv semigrupa

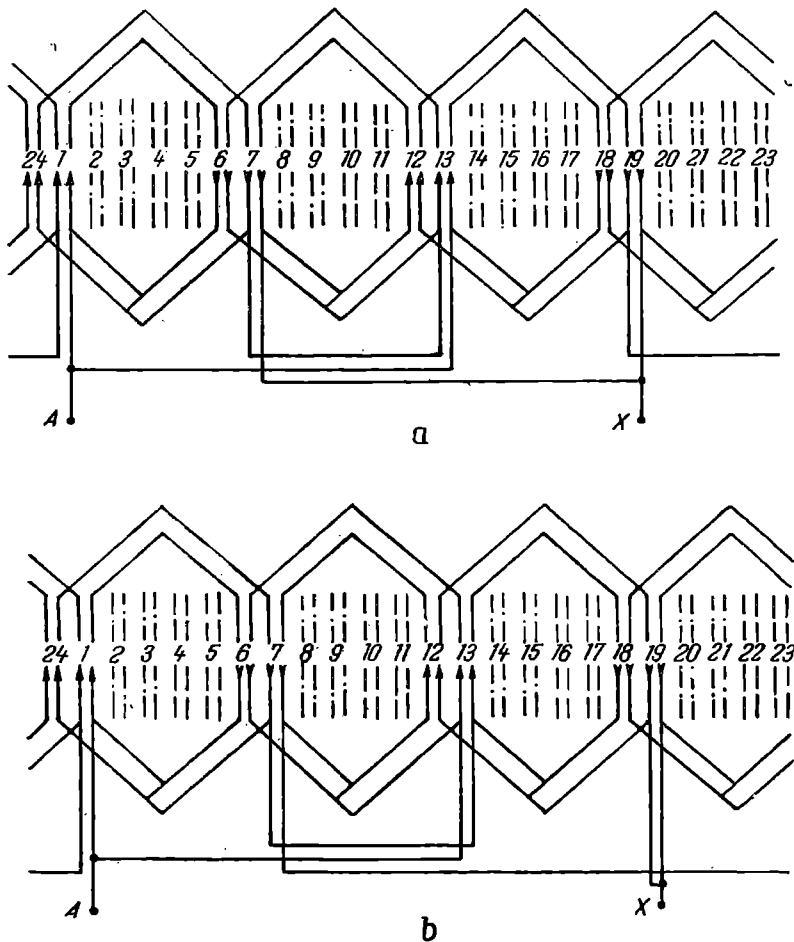
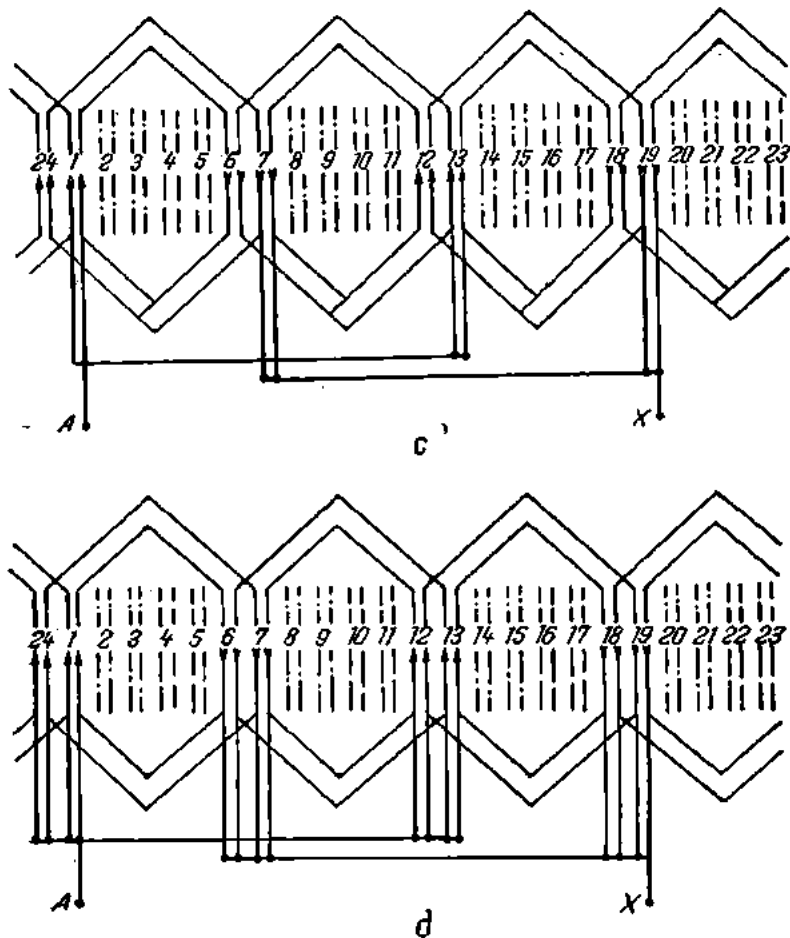


Fig. 5.88. Schema înfășurării  $A-X$  dintr-o  $a$  și  $b$  — cù două căi de curent în paralel;  $c$  — patru căi

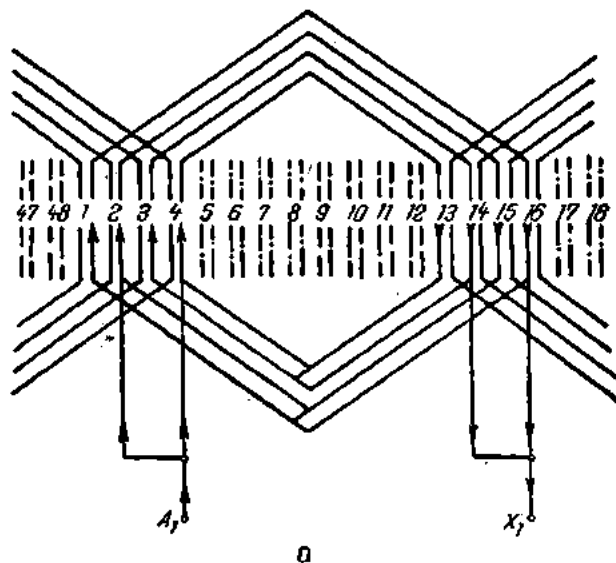
cu  $q/2$  bobine în cazul înfășurărilor cu  $a=4p$  căi de curent. La asemenea înfășurări este aproape exclusiv cu secțiunea circulară; astfel de înfășurări se dispun în general în crestături semiinchise, iar în procesul de bobinare, introducerea în crestături se face radial conductor cu conductor. Ordinea de introducere în crestături a laturilor de bobine se face în corespondență cu dispunerea succesivă în co-rovă a părților frontale ale grupelor de bobine.



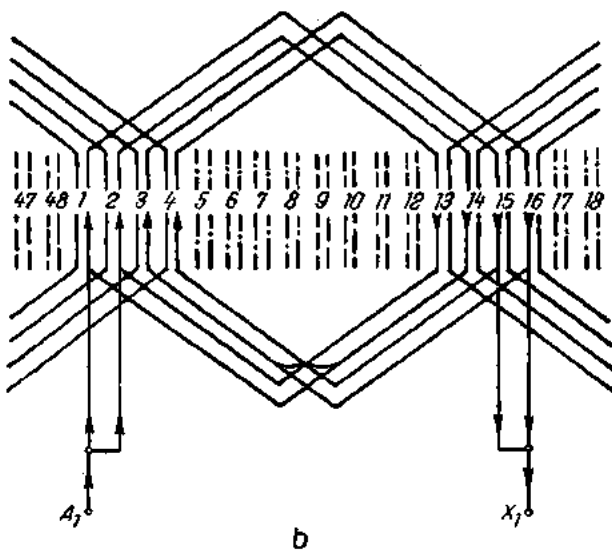
înfașurare avind  $Z=24$ ;  $2p=4$ ;  $q=2$ .

$c$  — cu două căi de curent în paralel;

$d$  — cu opt căi de curent în paralel.



a



b

**Fig. 5.89.** Grupă cu patru bobine, dintr-o infășurare trifazată avind:  $Z=48$ ;  $2p=4$ ;  $q=4$ :  
a — cu două căi de curent, din bobine concentrice; b — cu două căi de curent, din bobine decalcate.

**Înfășurări din grupe de bobine concentrice cu  
pasul scurtat (pasul mediu pe grupă mai mic  
decit pasul polar)**

Acestea se obțin din înfășurările constituite din grupe de bobine concentrice având pasul mediu pe grupă egal cu pasul polar  $\left(\frac{Z}{2p}\right)$  crescături, prin reducerea deschiderii bobinelor. Spre exemplu, dacă la înfășurarea reprezentată în fig. 5.85 se reduce deschiderea bobinelor cu o crestătură, apropiind mânunchiurile de întoarcere (din dreapta) de mânunchiurile de ducere (din stînga) se obține dispunerea în crescături a laturilor de bobine ca în fig. 5.90, a. În fig. 5.90, a, este reprezentată separat numai înfășurarea A—X. Înfășurările B—Y și C—Z ale celorlalte două faze sunt identice cu înfășurarea A—X și sunt decalate succesiv între ele cu  $Z\left(\frac{1}{3p} + \frac{k}{p}\right)$  crescături. Pentru  $k=0$ , dacă bobinele au aceeași succesiune în toate grupele, capetele de legătură a celorlalte două înfășurări ale fazelor (extremitățile înfășurărilor) vor fi scoase din aceleasi crescături ca în fig. 5.85, adică B din crescătura 5, y din 23, C din 9 și Z din 3. Toate extremitățile vor fi începuturi ale bobinelor situate în laturile de ducere (din stînga) care în schemele desfășurate, adoptate în prezența lucrare sunt reprezentate în crescături, în dreapta. De observat că în anumite crescături în cazul înfășurării reprezentată în fig. 5.90, sunt dispuse laturi de bobine care aparțin la faze diferite. La toate înfășurările constituite din grupe de bobine cu pasul mediu pe grupă mai mic decit pasul polar, vor fi crescături în care laturile de bobine aparțin la faze diferite, numărul acestora fiind cu atît mai mare cu cît deschiderea bobinelor se va reduce mai mult față de pasul polar. Se poate observa de exemplu, că la înfășurarea din fig. 5.90, dacă deschiderea bobinelor se mai reduce cu o crestătură, în toate crescăturile vor exista laturi de bobine care aparțin la faze diferite.

Înfășurarea obținută are pasul scurtat, iar pasul bobinei este mai mic decit pasul polar. La aceeași inducție în întrefier, valoarea fluxului imbrățișat de bobina cu pas scurtat este mai mică decit valoarea fluxului imbrățișat de bobina cu pas diametral. Ca urmare a acestui fapt, în aceleasi condiții, valoarea tensiunii electromotoare induse în înfășurarea constituită din grupe de bobine cu pas mediu diametral este întotdeauna mai mare decit valoarea tensiunii electromotoare indusă în înfășurarea cu pas scurtat. În ultimul caz, pentru a obține

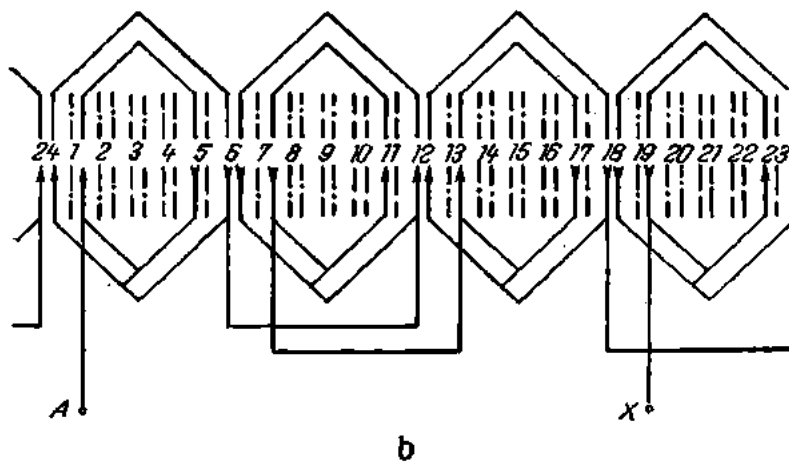
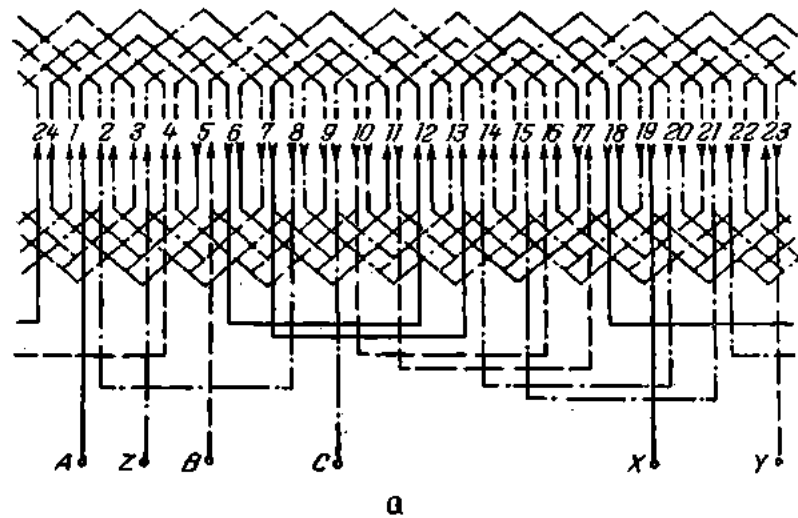


Fig. 5.90. Schema unei înfășurări avind:  $Z=24$ ;  $2p=4$ ;  $m=3$ ;  $q=2$ ;  
 $y_{ediu}=5$ ;  $a=1$ ;  
a — schema completă; b — schema parțială.

aceeași valoare a tensiunii indușă în înfășurare, numărul de spire pe fază trebuie sporit de la  $w_d$  la  $w_s$

$$w_s = w_d \frac{k_{w_{ld}}}{k_{w_{ls}}} \quad (5.44)$$

în care  $w_d$  și  $w_s$  sunt numerele de spire din înfășurarea unei faze constituită din grupe de bobine cu pas mediu diametral ( $d$ ) și respectiv cu pas scurtat ( $s$ ), iar  $k_{w_{ld}}$  și  $k_{w_{ls}}$  sunt factorii de înfășurare corespunzători armonicii fundamentale, pentru înfășurarea cu  $w_{ld}$  spire și respectiv cu  $w_{ls}$  spire. Factorul de înfășurare  $k_{w_{ld}}$  este egal cu factorul de repartizare  $k_{q_1}$  și se calculează cu relația 5.20, iar factorul  $k_{w_{ls}}$  este egal cu produsul dintre factorul de repartizare  $k_{q_1}$  și de scurtare  $k_{s_1}$  și se calculează respectiv cu relațiile 5.20 și 5.22.

Reamintim că scurtarea bobinelor variază în trepte, iar numărul treptelor este cu atât mai mare cu cât pasul diametral al bobinei, experimentat în număr de crestături, este mai mare. Spre exemplu la o înfășurare având  $q=2$  și scurtind pasul bobinelor cu o crestătură, se obține scurtarea relativă

$$s_r = \frac{\tau - y_{med}}{\tau} 100 = \frac{6-5}{6} 100 = \frac{1}{6} 100 = 16,66\%$$

pe cind la o înfășurare având  $q=4$ , la scurtarea pasului bobinelor cu o crestătură se obține scurtarea relativă pe jumătate

$$s_r = \frac{\tau - y_{med}}{\tau} 100 = \frac{12-11}{12} 100 = \frac{1}{12} 100 = 8,33\%,$$

în ultimul caz scurtarea de 16,66% se obține dacă pasul bobinelor este scurtat cu două crestături.

Rezultă că posibilitatea de a obține o anumită scurtare este cu atât mai mare, cu cât numărul de crestături pe pol și fază este mai mare.

În practică se realizează îndeosebi scurtarea de 16,66%; armonicele tensiunii electromotoare de ordinele 5 și 7 se reduc substanțial îmbunătățindu-se astfel caracteristicile de funcționare și de pornire ale mașinilor electrice echipate cu asemenea înfășurări.

Toate înfășurările de tipul celor prezentate în paragraful precedent se pot transforma în înfășurări constituuite din grupe de bobine cu pasul mediu scurtat. În cazul acestor înfășurări numărul maxim de căi de curent în paralel pe fază este egal cu  $2p$ , adică în grupele de bobine nu se mai pot obține căi de curent ca la grupele de bobine cu pasul mediu diametral, cu  $q$  par.

În fig. 5.91 este reprezentată schema unei înfășurări tetrapolare, cu  $q=2$ , cu pasul mediu scurtat cu  $16,66\%$ , cu număr maxim posibil de căi de curent în paralel pe fază  $a=2p$ . În acest caz dacă înfășurarea fazelor are același număr de spire și același curent ca înfășurarea din fig. 5.90, atunci bobinele înfășurării din fig. 5.91 vor avea de patru ori ( $a=4$ ) mai multe spire decât bobinele înfășurării din fig. 5.90 (la care  $a=1$ ), iar secțiunea conductorului de bobinaj, la aceeași densitate

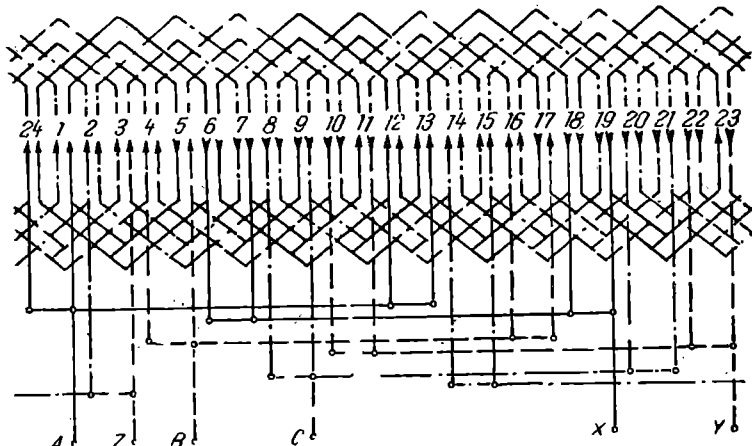


Fig. 5.91. Schema unei înfășurări având  $Z=24$ ;  $2p=4$ ;  $m=3$ ;  $q=2$ ;  $y_{mediu}=5$ ;  $a=4$ .

de curent, va fi de patru ori mai mică ; în ambele scheme factorul de înfășurare are aceeași valoare. Înfășurarea se poate realiza și cu două căi de curent pe fază, legînd în serie pe cale fie grupele de bobine decalate cu cîte un dublu pas polar (vezi fig. 5.88, b) și conectînd apoi în paralel căile de curent formate, fie jumătate din grupele de bobine decalate succesiv cu cîte un pas polar (v. fig. 5.88, a) și conectînd apoi în paralel căile de curent formate.

De remarcat că dintr-o înfășurare constituită din grupe de bobine cu pas mediu diametral, se obțin înfășurări distincte pentru fiecare treaptă a scurtării pasului bobinelor (alte numere de spire pe fază și factori de înfășurare diferiți).

Înfășurările în două straturi constituite din grupe de bobine cu pas mediu scurtat se pot obține și direct din înfășurările într-un strat care au pe fază  $2p$  grupe și  $q/2$  bobine în grupă (înfășurările în trei etaje, în coroană de grupe de bobine concentrice și înfășurări în lanț cu  $q$  par). În toate aceste cazuri prin trecerea de la înfășurarea într-un

strat la înfășurarea corespunzătoare în două straturi pasul mediu pe grupă se păstrează, iar în ultimul caz se obțin grupe de bobine, divizate în semigrupe decalate. Semigrupele vor fi constituite dintr-o singură bobină pentru  $q=2$ , din două bobine concentrice pentru  $q=4$ , din trei bobine concentrice pentru  $q=6$  etc. În fig. 5.92 este reprezentată schema înfășurării  $A-X$  dintr-o înfășurare trifazată având  $q=4$  și  $2p=2$ . Această schemă s-a obținut din schema unei înfășurări

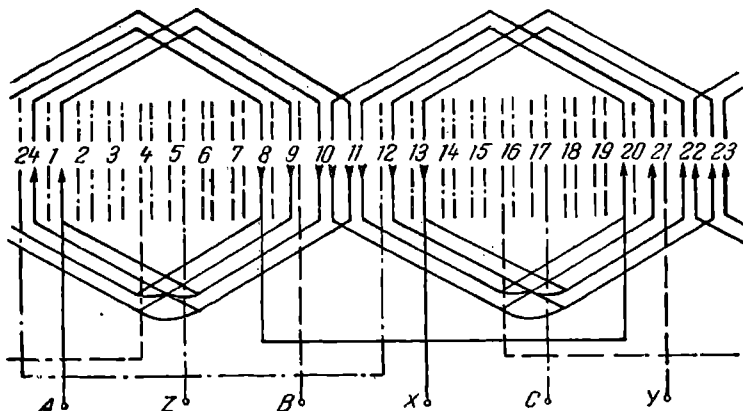


Fig. 5.92. Schema parțială a unei înfășurări avind :  $Z=24$  ;  $2p=2$  ;  $m=3$  ;  $q=4$ .

într-un strat având pe fază  $2p=2$  grupe de bobine, cu  $q/2$  bobine în grupă, prin dublarea numărului de bobine și reducerea numărului de spire pe bobină la jumătate.

Bobinele care apar datorită dublării, se rabat la  $180^\circ$  în jurul axei dinților dintre crestăturile având laturile de întoarcere ale grupelor de bobine din înfășurarea într-un strat. Înfășurarea într-un strat este constituită din grupe de bobine concentrice cu  $q/2$  bobine în grupă cu părțile frontale ale bobinelor în trei etaje (v. fig. 5.42, a) sau în coroana de grupe de bobine concentrice (v. fig. 5.50). La aceasta prima grupă de bobine a înfășurării  $A-X$  ocupă crestăturile 1—10, 24—11, iar a doua grupă crestăturile 13—22, 12—23. Prin dublare și rabatere la  $180^\circ$ , din prima grupă se obține semigrupa a căror laturi se dispun în crestăturile 11—20, 10—21, iar din a doua grupă semigrupa cu laturile în crestăturile 23—8, 22—9. Prima grupă de bobine a înfășurării în două straturi se obține prin legarea în serie a semigrupelor cu laturile în crestăturile 1—10, 24—11 și respectiv 22—9, 23—8, iar a doua grupă din semigrupele 13—22, 12—23 și 10—21, 11—20. În schema

din fig. 5.92 legăturile dintre bobinele grupei sunt astfel făcute încit capetele de legătură sunt scoase din crestăturile interioare. În acest caz succesiunea bobinelor este spre exterior într-o semigrupă și spre interior în celalătă ; intotdeauna considerăm că începuturile bobinelor sunt în laturile din stînga și sfîrșiturile în laturile din dreapta (v. 5.2.1).

La înfășurările în două straturi în coroană de grupe din semigrupe decalate, de bobine concentrice, se utilizează ca element constructiv de bază semigrupa (grupă constructivă din  $q/2$  bobine) ; în acest caz, cînd succesiunea bobinelor în grupă este spre exterior într-o semigrupă și spre interior în celalătă, capetele de legătură ale grupei sunt scoase din crestăturile interioare (exemplu din fig. 5.92). Capetele de legătură pot fi scoase și din laturile exterioare ale bobinelor din grupă cînd succesiunea bobinelor în prima subgrupă este spre interior, iar în a două spre exterior, adică succesiunea semigrupelor în grupă este inversată față de primul caz. Dacă în cele două semigrupe se înverzează succesiunea, capetele de legătură ale grupei pot fi scoase fie din crestăturile dinspre laturile interioare, fie din crestăturile dinspre laturile exterioare ale bobinelor din grupă. În cele două cazuri din urmă se poate utiliza ca element constructiv de bază grupa de  $q$  bobine, divizată în două semigrupe, decalate, din bobine concentrice.

Toate înfășurările într-un strat cu  $q$  par, în trei etaje, în coroană de grupe de bobine concentrice cu  $q/2$  bobine în grupă, în lanț, pot fi transformate în mod similar în înfășurări în două straturi, din bobine concentrice dispuse în coroană de grupe divizate în semigrupe decalate. La aceste înfășurări factorul de înfășurare se calculează ca un produs între factorul de repartizare și factorul de scurtare (tabela 5.4.). La înfășurările într-un strat constituite din grupe de cîte  $q/2$  bobine, din care se deduc direct înfășurările cu pas scurtat în două straturi cu grupe divizate, factorul de înfășurare este egal cu produsul factorilor de repartizare și de scurtare, cu observația că în expresia (5.20) se ia în loc de  $q$  valoarea  $q/2$  (pct. 5 — tabela 5.4.). La toate înfășurările în două straturi în coroană de grupe de bobine cu pas mediu scurtat, obținute direct din înfășurările corespunzătoare într-un strat, pasul pe grupă este scurtat cu 16,66%. Si în aceste cazuri schema înfășurării este schimbată față de schema înfășurării într-un strat (grupe cu  $q$  bobine în loc de  $q/2$  bobine), iar numărul de spire din înfășurarea fazei se calculează cu relația (5.45)

$$w_{2s} = w_{1s} \frac{k_{w1}(1s)}{k_{w1}(2s)} \quad (5.45)$$

în care  $w_{2s}$  și  $w_{1s}$  sunt respectiv numerele de spire din înfășurarea fazei în două straturi și într-un strat, iar  $k_{w1}(1s)$  și  $k_{w1}(2s)$  sunt fac-

torii de înfășurare corespunzători pentru fundamentală. Pentru alte scurtări ale pasului bobinelor se modifică factorul de scurtare și deci și factorul de înfășurare și în mod corespunzător, conform relației (5.45), se modifică și numărul de spire  $w_{2s}$ .

La înfășurările în două straturi în coroană de grupe divizate în semigrupe, decalate, de bobine concentrice, cu pas mediu pe grupă scurtat, numărul maxim posibil de căi de curent în paralel pe fază este egal cu  $2p$ , adică fiecare grupă de bobine poate constitui cel mult o cale de curent.

### Înfășurări în coroană, din bobine egale

**Înfășurări cu pas diametral.** La aceste înfășurări toate bobinele sunt identice și au deschiderea egală cu pasul polar  $\left(\frac{Z}{2p}\right)$  crestături. Schemele înfășurărilor constituise din bobine cu pas diametral se obțin din schemele înfășurărilor corespunzătoare constituise din grupe de bobine concentrice cu pasul mediu pe grupă diametral, prin schimbarea grupelor de bobine concentrice în grupe de bobine identice.

În fig. 5.93, a este reprezentată o grupă de două bobine concentrice cu pas mediu diametral (v. spre exemplu fig. 5.85), iar în fig. 5.93, b

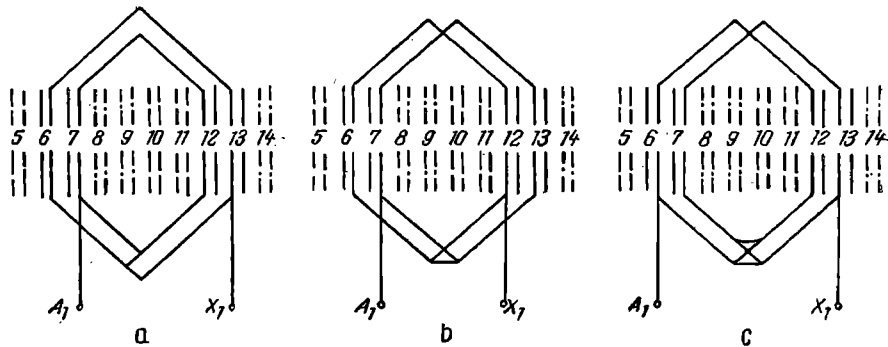


Fig. 5.93. Grupe din două bobine :  
a — concentrice; b, c — decalate.

și c, sunt reprezentate grupele de bobine identice echivalente (grupele au laturile bobinelor dispuse în aceleași crestături) cu succesiunea bobinelor în grupă spre stînga în fig. 5.93, b și spre dreapta în fig. 5.93, c. Dacă în locul grupelor de bobine concentrice din înfășurarea reprezentată în fig. 5.85 se adoptă grupele de bobine identice echivalente din fig. 5.93, b, se obține o înfășurare cu bobine egale, cu pas diametral.

O schemă completă a înfășurării tetrapolare, constituită din bobine egale, cu pas diametral, este reprezentată în fig. 5.94. De remarcat că extremitățile înfășurării fazelor (capetele de legătură) sunt scoase din aceleasi crestături în fig. 5.85 și fig. 5.94. Dacă succesiunea bobinelor în ultima grupă a înfășurării fazelor ar fi ca în fig. 5.93, c, capetele de legătură ale înfășurărilor de fază ar fi scoase din alte crestături. Posibilitățile de a scoate capetele de legătură ale înfășurării

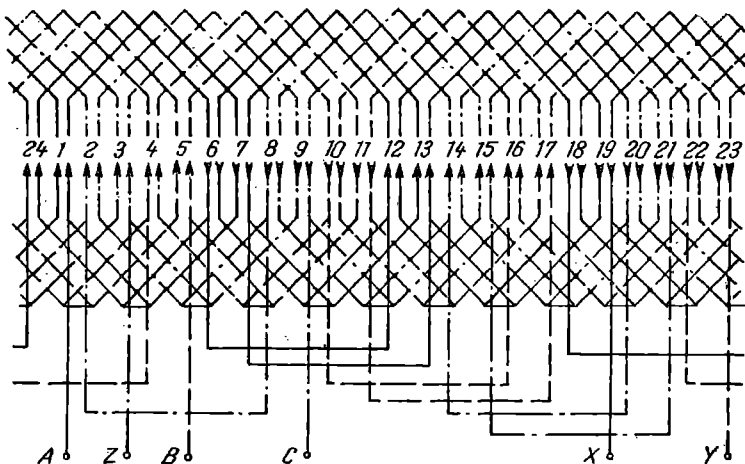


Fig. 5.94. Schema unei înfășurări cu :  $Z=24$  ;  $2p=4$  ;  $m=3$  ;  
 $q=2$  ;  $y=6$ .

fazelor din diferite crestături sunt determinate de succesiunea bobinelor în grupele de bobine. Spre exemplu, dacă toate grupele de bobine sunt cu succesiunea spre dreapta atunci capetele de legătură ale înfășurării fazelor se scot astfel : A din crestătura 24, X din 18, B din 4, Y din 22, C din 8 și Z din crestătura 2 ; în mod corespunzător capetele de legătură ale grupelor de bobine se scot în acest caz din alte crestături (din crestăturile pare). Alte variante se obțin cînd se utilizează grupe de bobine cu succesiune diferită a bobinelor în grupă. Reamintim că în practică se utilizează în general grupe cu aceeași succesiune a bobinelor ; în cazul acestora schema înfășurării se urmărește mai ușor.

Schemele altor înfășurări multipolare, cu  $q$  dat, se obțin din înfășurările bipolare avînd același  $q$ . În toate cazurile se stabilesc în prealabil înfășurările bipolare corespunzătoare și apoi se deduc în-

făşurările pentru oricare număr de perechi de poli. Spre exemplu înfăşurarea bipolară cu  $q=2$ , constituită din bobine identice având deschiderea egală cu pasul polar  $\left(\frac{Z}{2p}\right)$  crestături din fig. 5.95, se obține din înfăşurarea bipolară concentrată constituită din bobine cu pasul diametral din fig. 5.87, a, prin dublarea numărului de bobine, respectiv a numărului de bobine pe grupă. În ultimul caz pasul polar al bobinei exprimat în număr de crestături este egal cu 6 (bobinile componente au laturile în crestăturile 1—7, 2—8, 3—9... etc.). Între laturile interioare ale bobinelor din grupă sunt cuprinse 4 crestături, care revin celorlalte două faze pe pol. Înfăşurările fazelor succeseive sunt decalate relativ în sensul succesiunii fazelor cu  $Z\left(\frac{1}{3p} + \frac{k}{p}\right)$  crestături; acest decalaj, la înfăşurările trifazate bipolare având  $q=2$ , corespunde la 4 crestături pentru oricare valoare a factorului  $k$ . În schema din fig. 5.95, a bobinile în grupă au succesiunea spre stînga, și

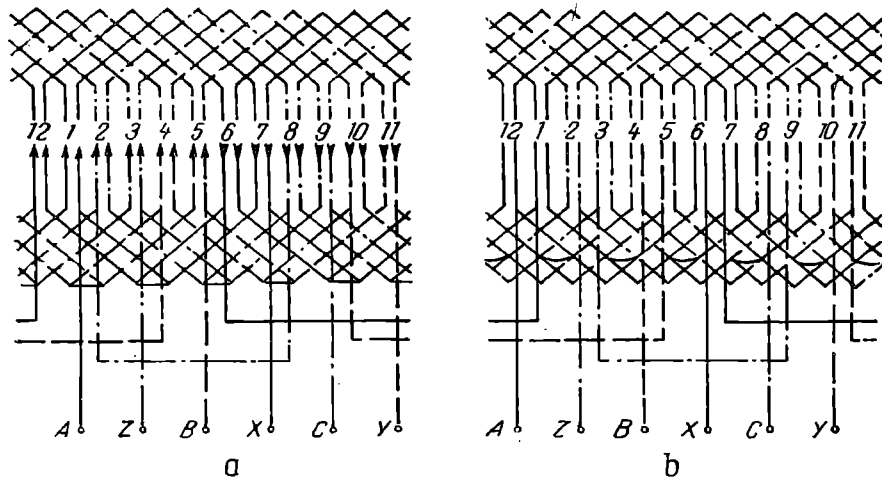


Fig. 5.95. Schema unei înfăşurări avind  $Z=12$ ;  $2p=2$ ;  $m=3$ ;  $q=2$ ;  $y=6$ ; a — cu succesiunea spre stînga; b — cu succesiunea spre dreapta.

iar în fig. 5.95, b, spre dreapta; din această cauză, în fig. 5.95, b, extremitățile înfăşurării fazelor sunt scoase din crestături decalate spre stînga față de cazul din fig. 5.95, a.

Cu ajutorul înfăşurărilor bipolare având  $q=2$  se pot obține toate înfăşurările multipolare având același  $q$ . Spre exemplu, înfăşurarea trifazată tetrapolară cu  $q=2$ , având schema din fig. 5.94 conține două

Înfășurări bipolare având schema din fig. 5.95, a, înfășurarea cu 6 poli conține trei înfășurări bipolare, cea cu 8 poli conține 4 înfășurări bipolare etc.

Pentru înfășurările având alt  $q$  se stabilește de asemenea mai întâi înfășurarea bipolară de bază constituită din grupe cu  $q$  bobine în grupă, iar între laturile interioare ale bobinelor din grupă se lasă  $2q$  crestături. Cu ajutorul schemelor înfășurărilor bipolare corespunzătoare, se stabilesc apoi schemele oricăror înfășurări multipolare știind că o înfășurare cu  $2p$  poli conține  $p$  înfășurări bipolare.

În acest paragraf sunt reprezentate schemele unor înfășurări având pe fază o singură cale de curent. La înfășurările în două straturi constituite din bobine identice cu deschiderea egală cu pasul polar ( $\frac{Z}{2p}$  crestături), numărul maxim posibil de căi de curent în paralel cu aceeași fază este egal cu  $2p$ ; la aceste înfășurări, grupa de bobine poate forma o singură cale de curent. Realizarea căilor de curent în paralel pe fază se face conform indicațiilor date în cazul fig. 5.88, a, b, c, în care grupele de bobine concentrice se transformă în grupe echivalente de bobine identice (v. fig. 5.93).

De remarcat că și la înfășurările în două straturi constituuite din bobine identice cu deschiderea egală cu pasul polar, la fel ca și la înfășurările constituuite din grupe de bobine concentrice cu pasul mediu pe grupă diametral, în crestături se găsesc laturi de bobine care aparțin aceleiași faze. La aceste înfășurări factorul de înfășurare  $k_{w1}$  este egal cu factorul de repartizare  $k_{q1}$  și se calculează cu relația 5.20.

La înfășurările constituuite din bobine identice se utilizează ca element constructiv de bază al înfășurării grupa de bobine, în cazul conductoarelor de secțiune circulară, iar în cazul conductoarelor de secțiune dreptunghiulară se utilizează bobina și respectiv grupa de semispire (v. 5.2.1.).

În comparație cu înfășurările echivalente în două straturi în co-roană de grupe de bobine concentrice, înfășurările constituuite din bobine identice au lungimea axială a înfășurării mai redusă.

### Înfășurări cu pas scurtat

La înfășurările cu pasul scurtat, toate bobinele sunt identice și au deschiderea mai mică decât pasul polar ( $\frac{Z}{2p}$  crestături). Schemele acestor înfășurări se obțin din schemele înfășurărilor corespunzătoare constituuite din grupe de bobine concentrice cu pasul mediu pe grupă

scurtat, prin schimbarea grupelor de bobine concentrice în grupe de bobine identice, echivalente (ale căror laturi ocupă aceleasi crestături).

În fig. 5.96, a este reprezentată o grupă de două bobine concentrice cu pasul mediu pe grupă scurtat, iar în fig. 5.96, b și c sunt reprezentate grupele de bobine identice echivalente; bobinele au succesiunea în grupă spre exterior în fig. 5.96, a, spre stînga în fig. 5.96, b și spre dreapta în fig. 5.96, c. Dacă în locul grupelor de bobine concentrice din înfășurarea reprezentată în fig. 5.90, a se adoptă grupele de bobine identice echivalente din fig. 5.96, b, rezultă o înfășurare cu bobine identice, avînd pasul scurtat, iar schema înfășurării corespunzătoare este reprezentată în fig. 5.97. Prin trecrea de la grupe de bobine concentrice la grupe echivalente de bobine identice, pasul mediu pe grupă are aceeași valoare și se exprimă printr-un număr întreg de crestături. Toate înfășurările în două straturi constituite din grupe de bobine concentrice cu pasul mediu pe grupă scurtat se pot transforma în înfășurări din bobine identice cu aceeași scurtare. În cazul acestor transformări numărul de spire pe fază se menține; factorul de înfășurare care se calculează la fel ca și în cazul înfășurărilor corespunzătoare din grupe de bobine concentrice, rămîne neschimbat.

Înfășurările constituite din bobine identice cu pasul scurtat se pot deduce și din înfășurările de tipul celor cu pas diametral, prin reducerea deschiderii bobinelor. În acest caz datorită scurtării bobinelor factorul de înfășurare  $k_{w1d}$  devine  $k_{w1s}$ , iar numărul de spire pe

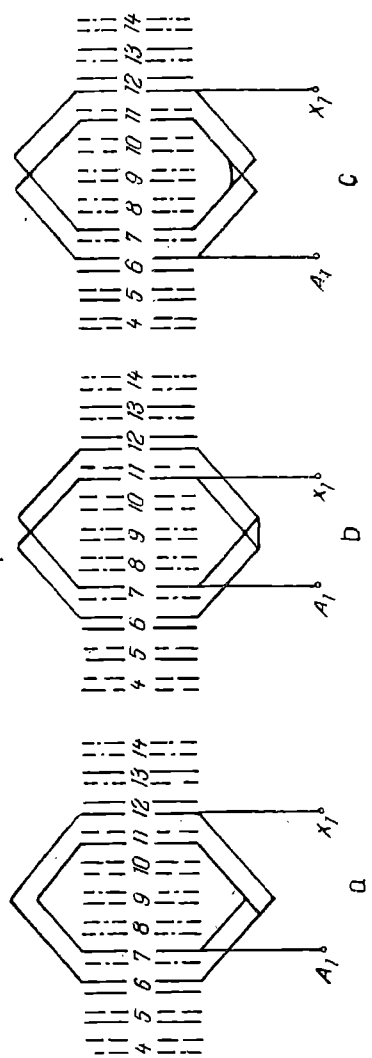


Fig. 5.96. Grupe de două bobine cu pas scurtat;  
a — concentrice, b, c — decalate.

fază  $w_d$  devine  $w_s$ ; numărul de spire  $w_s$  la înfăşurarea constituită din bobine cu pasul scurtat este mai mare decât numărul de spire  $w_d$  al înfăşurării corespunzătoare constituită din bobine cu pasul diametral și se calculează din expresia (5.44).

Schemele oricărora înfăşurări cu  $2p$  poli, constituite din bobine identice cu pasul scurtat, se pot obține din  $p$  scheme ale unei înfăşurări bipolare care are aceeași scurtare ca înfăşurarea dată și același număr de crestături pe pol și fază.

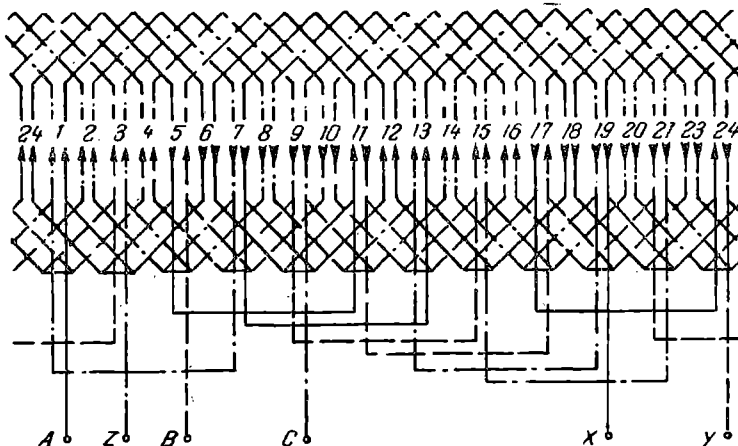


Fig. 5.97. Schema unei înfăşurări având :  $Z=24$ ;  $2p=4$ ;  $q=2$ ;  $m=3$ ;  $y=5$ .

Prin scurtarea bobinelor, la o înfăşurare cu  $q$  dat se modifică factorul de înfăşurare datorită schimbării factorului de scurtare, iar factorul de repartizare se menține; produsul dintre factorul de înfăşurare pentru fundamentală  $k_{w1s}$  și numărul de spire  $w_{s1}$  din înfăşurarea cu pas scurtat a unei faze, trebuie să fie egal cu produsul dintre factorul de înfăşurare pentru fundamentală  $k_{w1d}$  și numărul de spire  $w_d$  din înfăşurarea corespunzătoare cu pas diametral, pentru a se obține aproximativ aceeași tensiune electromotoare indușă în înfăşurarea fazelor în cele două cazuri. Din această condiție rezultă relația pentru calculul numărului de spire pe fază  $w_{s2}$  în cazul înfăşurării cu pas scurtat obținută din înfăşurarea corespunzătoare având o altă scurtare sau pasul diametral :

$$w_{s2} = \frac{k_{w1, s1} \cdot w_{s1}}{k_{w1, s2}} = \frac{k_{w1, d} \cdot w_d}{k_{w1, s2}}. \quad (5.46)$$

Factorii numărătorului expresiei (5.46), sănătatea cunoștuții de la înfășurarea dată ; factorul de înfășurare de la numitor se calculează cu ajutorul expresiilor (5.20) și (5.22) corespunzător noii înfășurări.

Numărul maxim posibil de căi de curent în paralel pe fază la înfășurările în două straturi, constituite din bobine identice cu pas scurtat, este egal cu  $2p$ .

Înfășurările în două straturi, din bobine identice cu pasul scurtat, au cea mai largă utilizare în construcția mașinilor electrice. Comparativ cu înfășurările diametrale, necesită o cantitate mai redusă de material conductor și permit obținerea unor caracteristici superioare de funcționare la mașinile electrice. În cazul acestora se utilizează aceleași elemente constructive de bază ca și la înfășurările în coroană, din bobine egale cu pas diametral.

#### *Înfășurări din bobine egale, în două coroane*

Aceste înfășurări se obțin din înfășurările în coroană, constituite din bobine identice, prin dispunerea părților frontale ale bobinelor în două coroane. În cazul acestora se deosebesc două tipuri de scheme în funcție de valoarea deschiderii bobinelor. Cind pasul bobinelor este egal cu un număr par de crestături, în crestăturile impare se vor găsi laturi de bobine ale căror părți frontale formează o coroană, iar în crestăturile pare laturi de bobine ale căror părți frontale formează a doua coroană ; în acest caz, atât laturile de ducere cât și cele de întoarcere ale bobinelor din prima coroană se dispun în crestăturile impare iar cele din a doua coroană în crestăturile pare. Cind pasul bobinelor exprimat în număr de crestături este impar, dacă laturile de ducere ale bobinelor din prima coroană se dispun în crestăturile impare, atunci laturile de întoarcere revin crestăturilor pare și invers ; bobinele ale căror părți frontale formează a doua coroană vor

avea corespunzător laturile de ducere în crestăturile pare și cele de întoarcere în crestăturile impare sau invers. Dispunerea practică a bobinelor în două coroane, este reprezentată în fig. 5.98.

La înfășurările în două coroane, se introduc mai întâi în crestături laturile bobinelor ale căror părți frontale se dispun în prima coroană

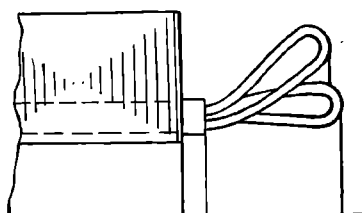


Fig. 5.98. Dispunerea părților frontale ale înfășurării, în două coroane.

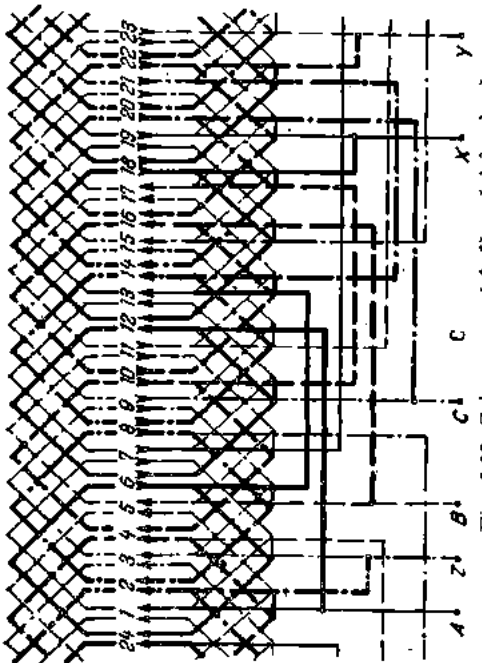
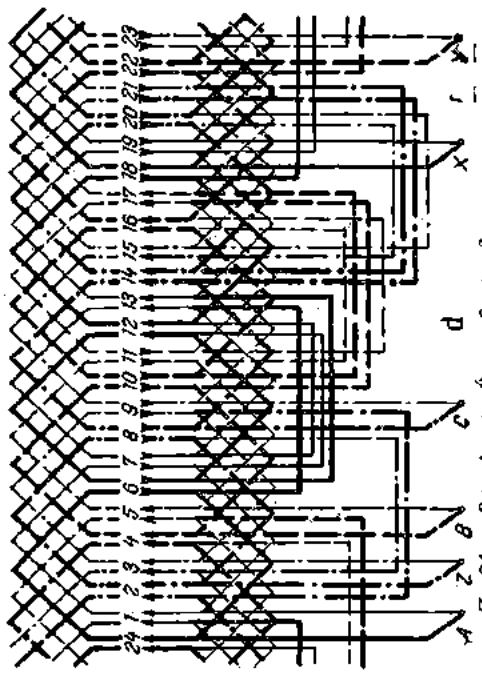
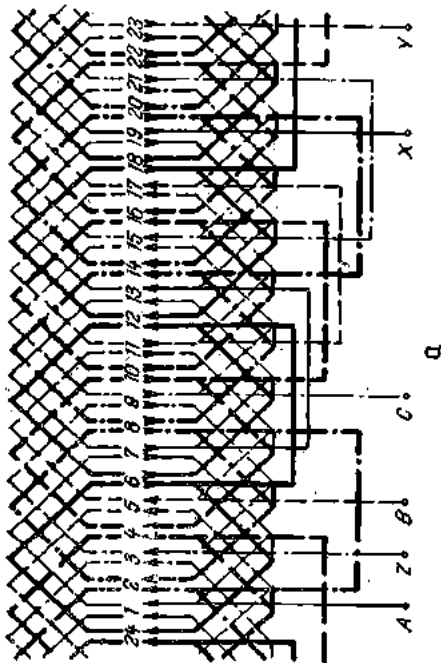
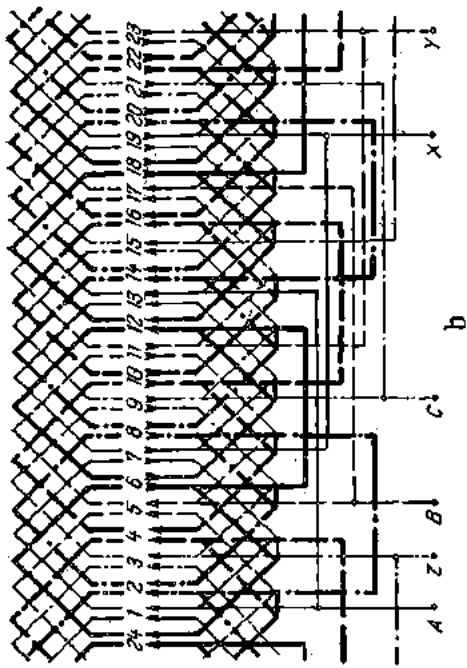


Fig. 5.98. Schema unei înăștărări în două coroane cu:  $Z=24$ ;  $p=4$ ;  $m=2$ ;  $q=2$ ;  $y=6$ :  
 a — cu o cale de curent ( $a=1$ ); b, c, d — cu cile două căi de circuite pe fază.

și apoi laturile bobinelor ale căror părți frontale formează a doua coroană. În schemele acestor înfășurări, bobinele care revin celor două coroane sunt reprezentate distinct. În fig. 5.99, a este reprezentată schema înfășurării în două coroane, având aceleași date ca schema înfășurării din fig. 5.94. Pasul bobinelor fiind par, bobinele din aceeași coroană ocupă respectiv fie creștăturile impare fie creștăturile pare. Dacă considerăm că bobinele care au laturile în creștăturile impare aparțin primei coroane, atunci în procesul de bobinare se introduc mai întii în creștăuri laturile acestor bobine; bobinele se introduc în creștăuri în ordinea în care se succed în coroană părțile lor frontale. A doua coroană se formează în mod similar și este decalată față de prima cu pasul  $y_d=1$  creștăuri. Schema înfășurării fazelor, cu o singură cale de curent, este identică în figurile 5.94 și 5.99, a. De remarcat însă că în ultimul caz, bobinele care se succed în înfășurarea fazelor aparțin alternativ celor două coroane. Și înfășurările în două coroane se pot realiza cu mai multe căi de curent în paralel pe fază; numărul maxim posibil de căi este egal cu  $2p$  la înfășurările cu  $q$  par și cu  $p$  la înfășurările cu  $q$  impar. Căile de curent trebuie astfel obținute încit între ele să nu apară curenți de circulație; în cazul acestora se vor respecta aceleași cerințe de la înfășurările în coroană cu bobine egale și, în plus, bobinele pe calea de curent trebuie să fie egal repartizate în cele două coroane. În fig. 5.99, b, c și d este reprezentată schema înfășurării trifazată, tetrapolară, în două coroane, cu două căi de curent în paralel pe fază. În fig. 5.99, b calea de curent este constituită din grupe vecine de bobine care au polaritate simultană opusă, în fig. 5.99, c din grupe de bobine care au simultan aceeași polaritate iar în fig. 5.99, d bobinele inseriate pe calea de curent au succesiv polaritate diferită și revin succesiv celor două coroane. În ultimul caz sunt posibile și alte scheme distințe; o variantă ar fi în cazul în care pe calea de curent, jumătate din numărul bobinelor succesive au polaritate simultană opusă și aparțin aceleiași coroane, iar altă variantă cind jumătate din numărul bobinelor succesive pe calea de curent au simultan aceeași polaritate și revin aceleiași coroane.

În fig. 5.100 este reprezentată schema unei înfășurări tetrapolare, constituită din bobine cu pas scurtat având deschiderea egală cu un număr impar de creștăuri (5 creștăuri). De remarcat că în cazul înfășurărilor în două coroane cu bobine egale, cu pasul exprimat în număr de creștăuri impar, prin dispunerea în creștăuri a bobinelor care revin primei coroane, în toate creștăturile se completează primul strat; în acest stadiu înfășurarea este într-un strat, în lanț, iar

în părțile frontale s-a obținut prima coroană (v. fig. 5.35). Laturile active ale bobinelor care revin celei de a două coroane, completează cel de al doilea strat în crestături iar părțile lor frontale formează a doua coroană, coaxială cu prima. În procesul de bobinare laturile de ducere ale bobinelor din a două coroană se pot dispune fie în crestăturile impare fie în cele pare, spre deosebire de înfășurările constituite din bobine având deschiderea egală cu un număr par de

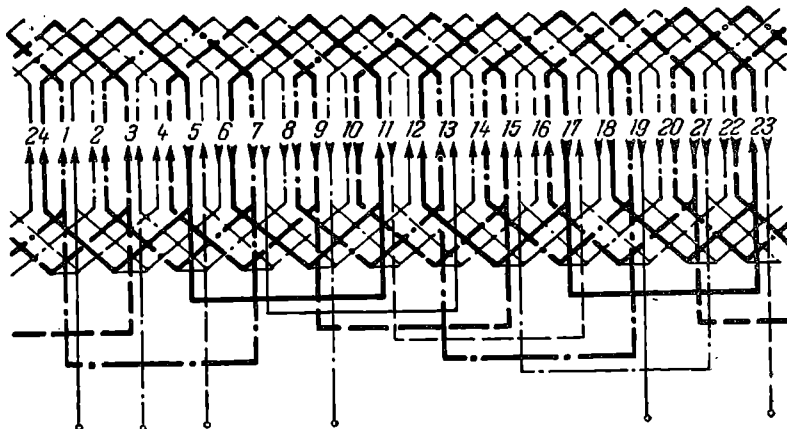


Fig. 5.100. Schema unei înfășurări în două coroane avind :  $Z=24$  ;  
 $2p=4$  ;  $m=3$  ;  $q=2$  ;  $y=5$ .

crestături, în cazul cărora în mod obligatoriu laturile de ducere și respectiv de întoarcere ale bobinelor din a două coroană sănt dispuse în crestături intercalate față de cele din prima coroană. Pentru a obține o suprafață utilă relativ mare de răcire în părțile frontale ale înfășurării, se preferă și la înfășurările din bobine cu pasul impar ca laturile de ducere și respectiv de întoarcere ale bobinelor din a două coroană să se dispună în crestături intercalate față de cele din prima coroană (fig. 5.100).

În fig. 5.101, a este reprezentată schema unei înfășurări în două coroane, din bobine egale, cu pasul scurtat, având deschiderea egală cu un număr par de crestături (10 crestături). Înfășurarea reprezentată în această schemă a fost utilizată la Uzina de Mașini Electrice din București, la mașini sincrone de 25 și 35 kVA.

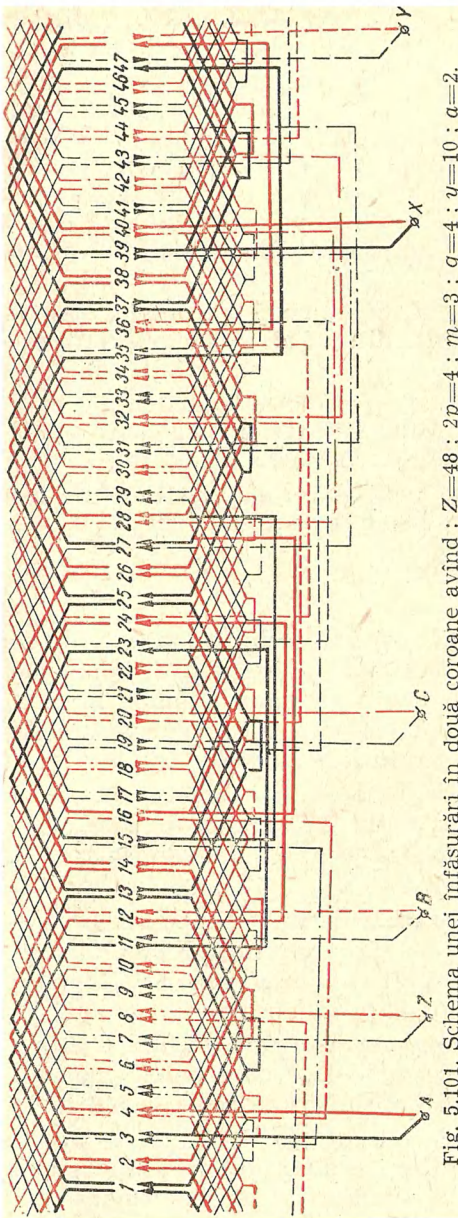


Fig. 5.101. Schema unei înfășurări în două coroane avind :  $Z=48$  ;  $2p=4$  ;  $m=3$  ;  $q=4$  ;  $y=10$  ;  $a=2$ .

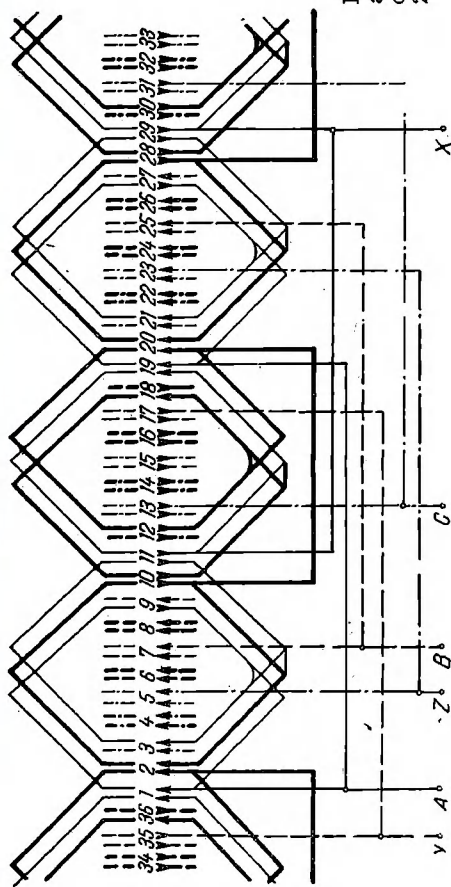


Fig. 5.102. Schema parțială a unei înfășurări în două coroane avind :  $Z=36$  ;  $2p=4$  ;  $m=3$  ;  $q=3$  ;  $y=8$  ;  $a=2$ .

La înfășurările în două coroane, din bobine egale, se utilizează ca element constructiv de bază bobina în cazul înfășurărilor cu  $q=2$ , și respectiv bobina sau grupa constituită din  $q/2$  bobine în cazul înfășurărilor cu  $q$  par mai mare decât 2. La înfășurările cu  $q$  impar mai mare decât 1 se utilizează două tipuri de grupe de bobine, având respectiv  $(q/2+0,5)$  și  $(q/2-0,5)$  bobine. În fig. 5.102 este reprezentată parțial schema unei înfășurări din două coroane, cu  $q$  impar; bobinele componente au pasul scurtat iar deschiderea este egală cu 8 creștări (pasul par); înfășurarea are numărul maxim posibil de căi de curent în paralel ( $a=p$ ).

Înfășurările în două coroane prezintă în părțile frontale, suprafețe utile de răcire relativ mari datorită dispunerii decalate a coroanelor cu pasul  $y_d=1$  creștări.

Schemele oricărora înfășurări în două coroane se pot obține prin compunerea schemelor bipolare corespunzătoare, la fel ca în cazul înfășurărilor în două straturi într-o singură coroană.

La înfășurările în două straturi, în două coroane, factorul de înfășurare se calculează cu relațiile corespunzătoare din tabela 5.4.

### *Înfășurări în evolventă*

Înfășurările în evolventă se utilizează îndeosebi la mașinile bipolare de putere mare. La aceste înfășurări, părțile frontale ale bobinelor se dispun fie după două sau un multiplu întreg de două plane perpendiculare pe axul mașinii, fie după două suprafețe conice coaxiale, în ultimul caz fiind denumite și înfășurări în formă de coș.

În fig. 5.103 este reprezentată dispunerea în evolventă în patru plane a părților frontale ale bobinelor din înfășurarea în două straturi iar în fig. 5.104 este reprezentată fotografia unei înfășurări în două straturi, în evolventă, în două plane.

Înfășurările în evolventă având părțile frontale ale bobinelor dispuse după două plane perpendiculare pe arborele mașinii au o dimensiune relativ mică în sens axial și respectiv o dimensiune relativ mare a coroanei în sens radial. Pentru a reduce dimensiunea coroanei în sens radial, înfășurările în evolventă se dispun în părțile frontale într-un multiplu de două plane perpendiculare pe arborele mașinii. În aceste cazuri coroanele pot fi dispuse alăturat sau concentric în mod similar celor într-un strat.

La înfășurările în evolventă, fie într-un strat fie în două straturi, capătul de trecere al bobinei de la un plan la altul a celor două coroane este situat la mijlocul deschiderii bobinei.

Un nou tip de înfășurare în două straturi, în evolventă, aparține inginerului S. Fluieraș. Caracteristica acestui nou tip de înfășurare constă în faptul că părțile frontale ale bobinelor componente sunt dispuse în evolventă într-o singură coroană, perpendiculară pe arborele mașinii în fiecare parte laterală a miezului magnetic. Bobinele com-

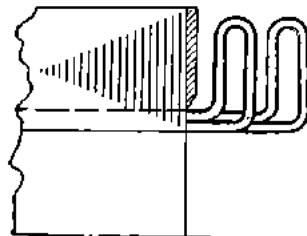


Fig. 5.103. Dispunerea în evolventă în patru plane perpendiculare pe axul de rotație, la înfășurarea în două straturi.

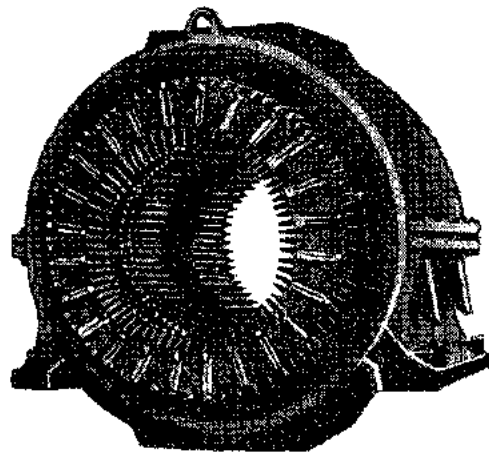


Fig. 5.104. Fotografia unei înfășurări în două plane.

ponente ale acestei înfășurări sunt astfel preformate încit capul de trecere al bobinei, de la coroană la stratul interior din crestătură, este situat în dreptul crestăturii. Înfășurările de acest tip au cea mai mică lungime axială posibilă. Ele mai prezintă avantajul că în cazul rotoarelor bobinate capul de trecere al bobinelor, de la coroană la stratul interior, îndeplinește și rolul de paletă de ventilator, astfel că rotoarele echipate cu astfel de înfășurări nu mai necesită ventilator pentru răcire. Acest tip de înfășurare se aplică îndeosebi la rotoare și este indicat în cazul înfășurărilor constituite din bobine având deschiderea, exprimată în număr de crestături, relativ mică, adică la înfășurările cu număr relativ redus de crestături pe pol și fază ( $q \leq 3$ ). Crestăturile în care se dispun laturile bobinelor acestor înfășurări, sunt cu pereți paraleli, iar conductoarele în bobină sunt dispuse într-un singur rind în crestătură, radial și în partea frontală (în coroană),

*axial*. Fotografia unei porțiuni dintr-o astfel de înfășurare este reprezentată în fig. 5.105. Noul tip de înfășurare a fost aplicat la Uzina de Mașini Electrice-București, la rotoarele bobinate ale motoarelor asincrone din seria unitară.

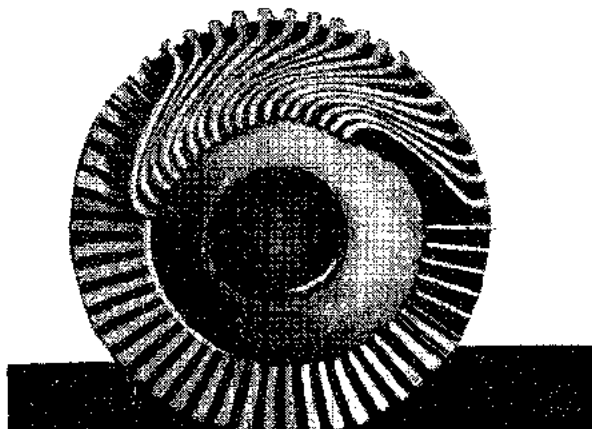


Fig. 5.105. Porțiune dintr-o înfășurare în evolventă, într-un singur plan.

Factorul de înfășurare se calculează și la aceste înfășurări cu relațiile corespunzătoare din tabela 5.4.

#### *Înfășurări cu număr întreg de crestături pe pol și fază, cu extinderea zonelor*

Înfășurările în două straturi cu număr întreg de crestături pe pol și fază, cu extinderea zonelor, se obțin din înfășurările corespunzătoare cu șase zone prin mărirea numărului de bobine în grupele cu aceeași polaritate simultană și respectiv prin reducerea cu același număr de bobine a grupelor care au simultan polaritate opusă față de primele.

La înfășurările în două straturi cu șase zone, înfășurarea fiecărei faze este constituită din  $2p$  grupe de bobine, fiecare grupă având  $q$  bobine ale căror laturi de ducere și respectiv de întoarcere sunt dispuse în crestături alăturate; grupele succesive sunt decalate relativ cu  $\frac{Z}{2p}$  crestături.

Când grupele impare de bobine din înfăşurarea fiecărei faze sunt constituite din  $n$  bobine, unde  $q < n < 2q$  iar grupele pare din cîte  $2q - n$  bobine, *înfăşurarea este extinsă parțial*. În acest caz, grupele succesive de bobine din înfăşurarea aceleiași faze sunt decalate relativ cu  $\frac{Z}{2p}$  crestături, iar legăturile între ele se fac sfîrșit cu sfîrșit, început cu început etc.

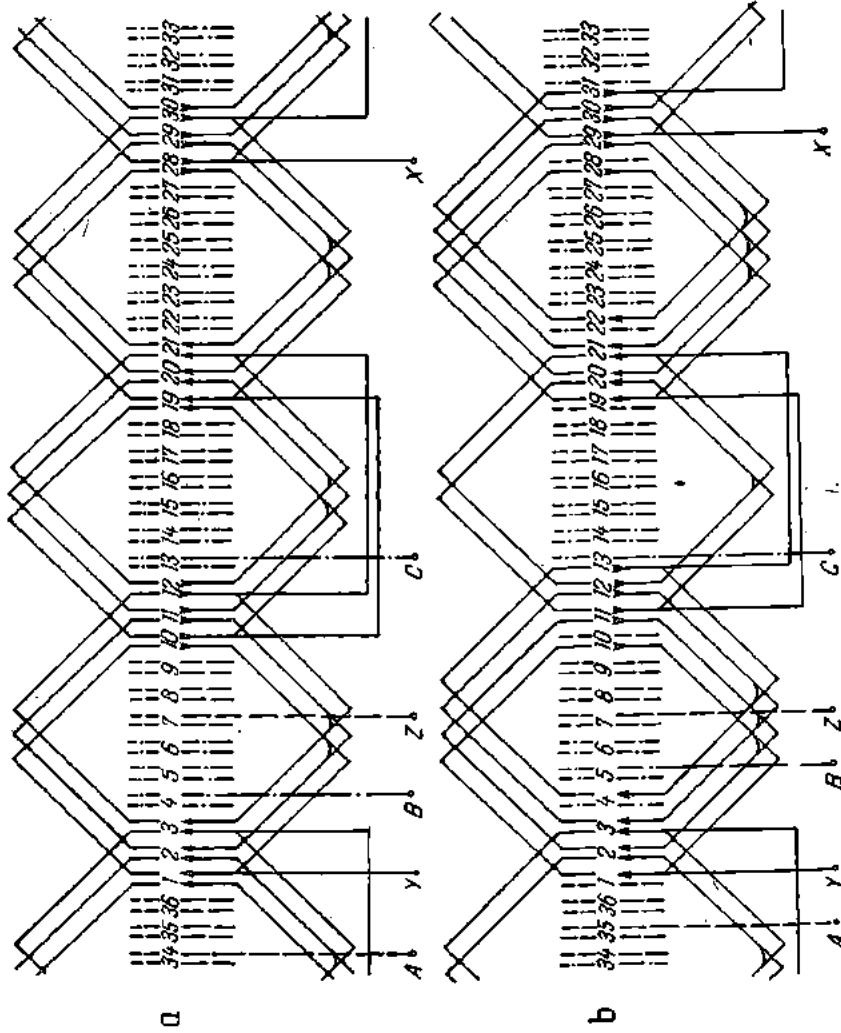
Când înfăşurările fazelor sunt constituite din cîte  $p$  grupe de bobine, fiecare grupă avînd  $2q$  bobine, înfăşurarea este extinsă total și se numește înfăşurare cu *extindere totală a zonelor*; înfăşurările cu extindere totală a zonelor se mai numesc și înfăşurări cu trei zone. În cazul acestor înfăşurări grupele succesive de bobine din înfăşurarea aceleiași faze sunt decalate relativ cu  $Z/p$  crestături, iar legăturile între grupe se fac sfîrșit cu început, sfîrșit cu început etc. Dacă la înfăşurările cu extindere totală a zonelor, legăturile între grupele succesive de bobine se efectuează între sfîrșit cu sfîrșit, început cu început etc. : în acest caz numărul de poli ai înfăşurării scade la jumătate (respectiv, turația sincronă a cîmpului magnetic învîrtitor produs de înfăşurare la trecerea curentului, se dublează). Pe acest principiu se bazează înfăşurările cu schimbarea numărului de poli care, dacă sunt în două straturi, în mod absolut obligatoriu trebuie să fie cu extindere totală a zonelor (vezi cap. 6).

În fig. 5.106 este reprezentată schema unei înfăşurări tetrapolară, constituită din bobine egale, cu pas diametral, cu șase zone în fig. 5.106, a, cu extindere parțială în fig. 5.106, b și c și cu extindere totală a zonelor în fig. 5.106, d. Pentru claritate s-a reprezentat complet numai înfăşurarea  $A-X$  a primei faze; pentru înfăşurările celorlalte două faze care sunt respectiv identice cu  $A-X$  dar sunt decalate succesiv cu 6 crestături, s-au reprezentat numai capetele de legătură ale înfăşurărilor de fază și s-a precizat în toate schemele apartenența la diferențele faze a laturilor de bobine din toate crestăturile.

Prin extinderea zonelor factorul de înfăşurare scade; cea mai mică valoare pentru fundamentală se obține la înfăşurarea cu extindere totală a zonelor. În exemplul considerat, bobinele înfăşurării au pasul diametral iar factorul de înfăşurare pentru schema din fig. 5.106, d este egal cu factorul de repartizare și se calculează cu expresia (5.20) în care în loc de  $q$  se ia  $2q$ .

În cazul înfăşurărilor cu extindere totală a zonelor, constituite din bobine cu pas scurtat, factorul de înfăşurare este egal cu produsul dintre factorul de repartizare și factorul de scurtare.

Dacă în fig. 5.106, d grupele de bobine s-ar lega sfîrșit cu sfîrșit, înfăşurarea ar deveni bipolară iar sfîrșiturile înfăşurărilor fazelor ar



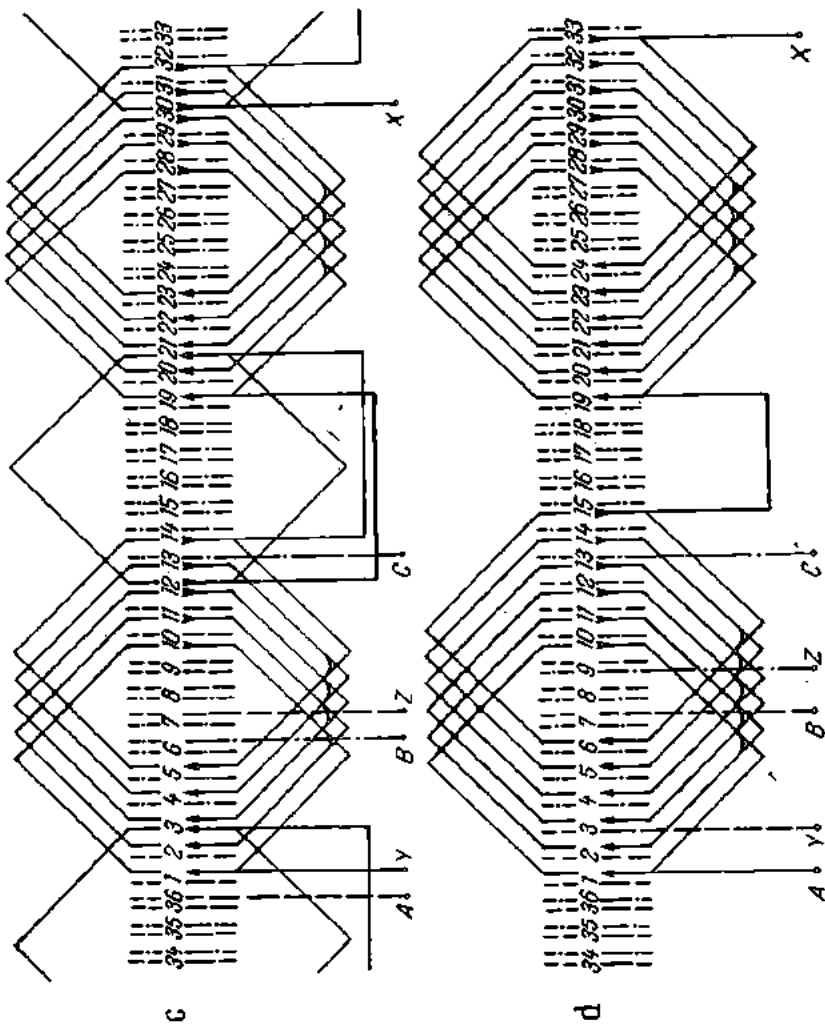


Fig. 5.106. Schema înfășurării  $A-X$  dintr-o înfășurare avind:  $Z=36$ ;  $2p=4$ ;  $m=3$ ;  $q=2$ ;  
 c — cu șase zone; b, c — cu extindere parțială a zonelor; d — cu extindere totală a zoneielor (în zone).

fi scoase respectiv din crestăturile : X din 19, Y din 25 și Z din 31. În acest caz factorul de înfășurare este egal cu produsul dintre factorul de repartizare calculat cu expresia (5.20) și factorul de scurtare calculat cu expresia (5.22) în care scurtarea se raportează la pasul polar corespunzător înfășurării bipolare.

La înfășurările cu extinderea zonelor, grupele pot fi constituite din bobine cu aceeași deschidere sau cu deschidere diferită. Pasul bobinelor poate fi diametral, scurtat sau lungit. Toate tipurile de înfășurări în două straturi pot fi transformate în înfășurări cu extinderea zonelor, după exemplul din fig. 5.106. Dacă notăm cu  $k_{w_{1i}}$  și cu  $w_i$  factorul de înfășurare și respectiv numărul de spire pe fază pentru înfășurarea inițială, atunci numărul de spire pe fază  $w_f$  la înfășurarea finală va fi :

$$w_f = w_i \frac{k_{w_{1i}}}{k_{w_{1f}}} . \quad (5.47)$$

Avantajul esențial al înfășurărilor cu extinderea zonelor constă în faptul că, la aceeași deschidere a bobinelor, se pot obține factori de înfășurare diferenți în funcție de numărul bobinelor din grupele de bobine. În afară de aceasta, înfășurările cu extindere totală a zonelor prezintă posibilitatea obținerii de înfășurări cu schimbarea numărului de poli (vezi cap. 6).

#### *Înfășurări cu număr întreg de crestături pe pol și fază, cu intercalarea fazelor*

Spre deosebire de înfășurările într-un strat în cazul cărora intercalarea fazelor se obține prin scurtarea pasului bobinelor, la înfășurările în două straturi intercalarea fazelor se poate obține independent de deschiderea bobinelor. Se întâlnesc astfel intercalări ale fazelor aplicate înfășurărilor constituite din bobine cu pasul diametral, cu pasul scurtat și în unele cazuri intercalarea fazelor se combină cu extinderea zonelor.

Prin intercalarea corespunzătoare a fazelor se pot suprima sau reduce anumite armonici din curba tensiunii electromotoare indușă în înfășurare și în mod corespunzător scad pierderile în fier și în înfășurare.

Înfășurările în două straturi prezintă mai multe posibilități de intercalare a fazelor decât înfășurările corespunzătoare într-un strat. La înfășurările în două straturi se pot obține intercalări complete unilaterale sau bilaterale, simple sau multiple, la fel ca la înfășurările într-un strat și în plus, intercalări parțiale. De remarcat că la înfășu-

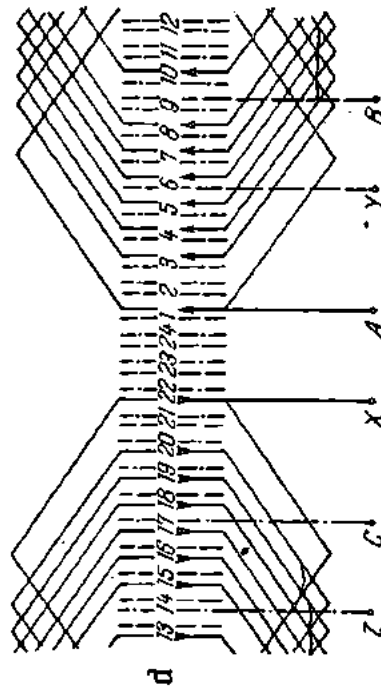
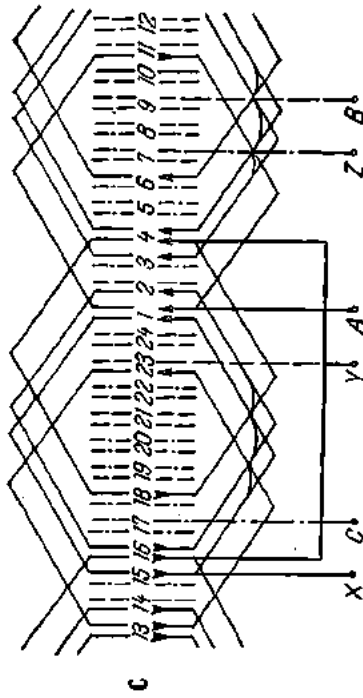
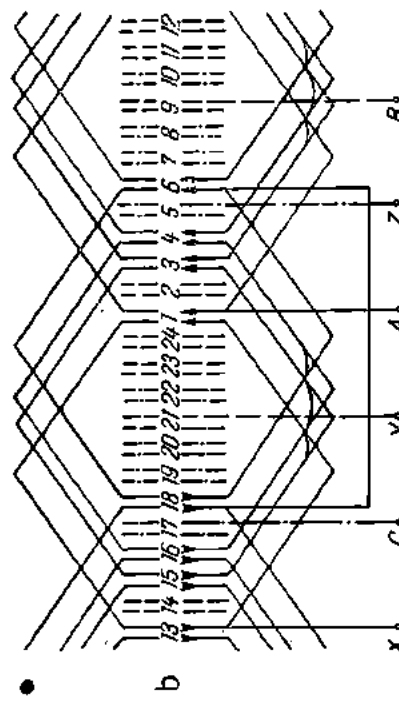
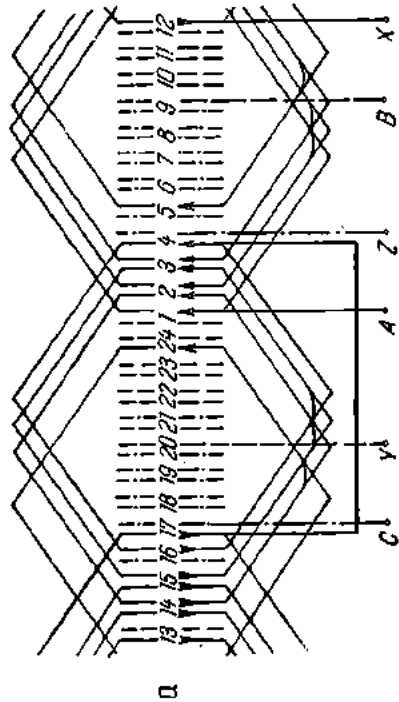


Fig. 5.107. Schema înfășurării  $A-X$  a unei înfășurări avind:  $Z=24$ ;  $2p=2$ ;  $m=3$ ;  $q=4$ ;  
 a — cu intercalare bilaterală simplă; partea  $b$  — cu intercalare bilaterală simplă, completă și cu intercalare bilaterală dublă; partea  $c$  — cu intercalare bilaterală simplă și cu intercalare bilaterală simplă completă.  
 d — ca extindere totală și intercalare bilaterală simplă partită.

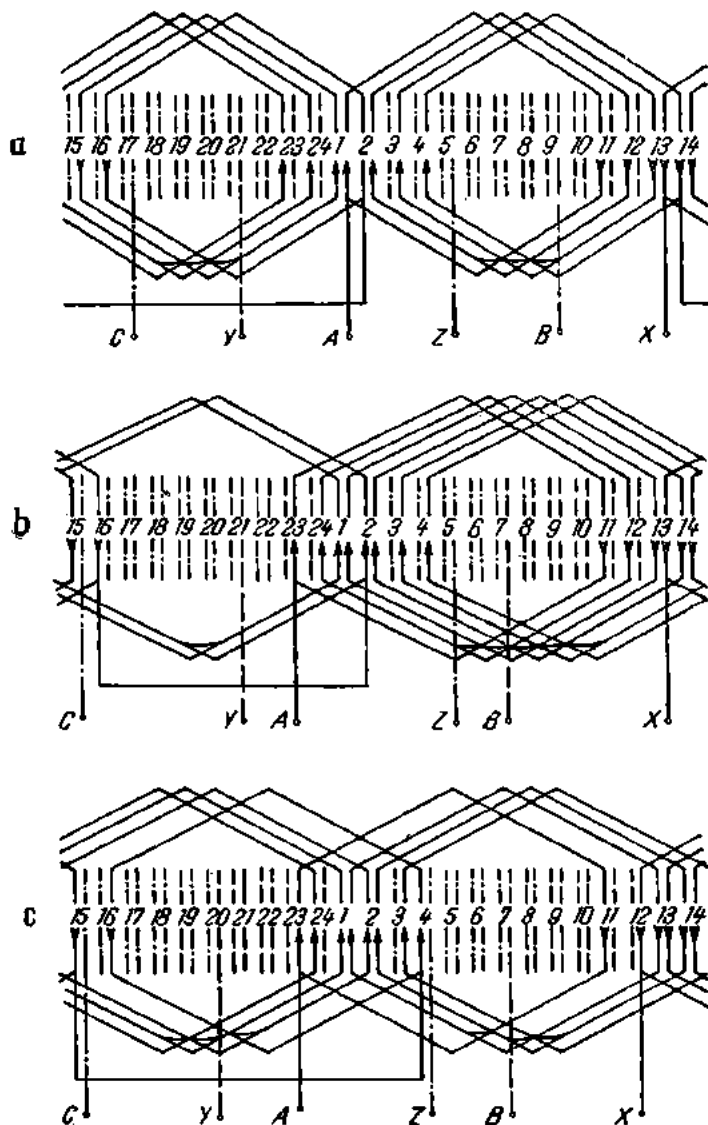


Fig. 5.108. Schema unei înfăsurări având același factor de înfăsurare:

a — cu pas scurtat; b — cu extindere parțială a zonelor; c — cu intercalarea fazelor.

rările în două straturi, cu intercalarea unilaterală a fazelor, în curba tensiunii electromotoare apar armonici de ordin par dacă deschiderea bobinelor componente este diferită de pasul polar. Pentru aceste armonici factorii de înfăşurare nu pot fi calculați cu expresiile valabile numai pentru armonici impare, stabilite în 5.2.2.

În fig. 5.107 sunt reprezentate exemple de scheme de înfăşurări obținute dintr-o înfăşurare bipolară prin aplicarea intercalării fazelor unilaterale, bilaterale, cu sau fără scurtarea pasului.

În fig. 5.108 sunt reprezentate trei scheme pentru înfăşurări bipolare având același factor de înfăşurare; în fig. 5.108, a înfăşurarea este cu șase zone, constituită din bobine cu pas scurtat, în fig. 5.108 b și c bobinele au pasul diametral iar înfăşurarea este cu extindere parțială a zonelor în fig. 5.108, b și c cu intercalare bilaterală, simplă, parțială, în fig. 5.108, c.

*Înfăşurări cu număr fracționar de crestături pe pol și fază,  
cu toate crestăturile complet bobinate*

La înfăşurările în două straturi cu număr fracționar de crestături pe pol și fază și cu toate crestăturile complet bobinate, numărul total de bobine  $N_{tb}$  și numărul de bobine pe fază  $N_{bf}$  se exprimă prin relațiile :

$$N_{tb} = Z; \quad (5.40')$$

$$N_{bf} = \frac{N_{tb}}{m} = \frac{Z}{m}, \quad (5.41')$$

în care  $Z$  este numărul de crestături și  $m$  numărul de faze.

Numerele de bobine  $N_{tb}$  și  $N_{bf}$  în cazul înfăşurării în două straturi, sunt duble față de numerele corespunzătoare de bobine ale înfăşurării într-un strat care are același număr de crestături. La înfăşurările în două straturi numărul total de bobine trebuie să fie divizibil numai prin numărul de faze, spre deosebire de înfăşurările într-un strat la care numărul total de bobine trebuie să fie divizibil prin dublul numărului de faze. Prin aceasta, posibilitățile de execuție a înfăşurărilor în două straturi sunt mai avantajoase; la aceste înfăşurări se obțin curbe ale tensiunii magnetice mai favorabile.

Înfăşurările în două straturi cu  $q$  fracționar, simetrice, trebuie să satisfacă următoarele condiții :

$$N_{bf} = \frac{Z}{m} = \text{număr întreg}; \quad (5.48)$$

$$\frac{N_{bf}}{t} = \frac{Z}{mt} = \text{număr întreg}, \quad (5.49)$$

în care  $t$  este cel mai mare divizor comun al numerelor de crestături  $Z$  și de perechi de poli  $p$ .

În cazul acestor infășurări numărul de crestături pe pol și fază se poate scrie sub forma

$$q = \frac{Z}{2pm} = \frac{N_{bf}}{2p} = n + \frac{d}{2p}, \quad (5.50)$$

în care  $n$  este un număr întreg (inclusiv valoarea zero) iar  $d$  este un număr întreg mai mic decât numărul de poli  $2p$ .

Înfășurările la care raportul  $\frac{d}{p}$  nu se mai poate simplifica sunt infășurări primitive sau elementare, iar cele la care raportul  $\frac{d}{p}$  se poate simplifica, adică  $d$  și  $p$  au un divizor comun, sunt infășurări compuse sau derivate. Înfășurările compuse sau derivate conțin un număr de infășurări elementare sau primitive egal cu divizorul comun al numerelor  $d$  și  $p$ .

Spre exemplu, infășurarea trifazată bipolară ( $p=1$ ) cu  $q=n + \frac{d}{2p} = 1 + \frac{1}{2 \cdot 1}$  este o infășurare elementară având  $Z=2pmq=2 \cdot 1 \cdot 3 \cdot 1,5=9$  crestături, iar infășurările compuse constituie respectiv din două și trei asemenea infășurări elementare vor avea:  $p=2$ ,  $Z=18$ ,

$$q = \frac{N_{bf}}{zp} = \frac{\frac{Z}{m}}{\frac{2p}{2}} = \frac{\frac{18}{3}}{\frac{2 \cdot 2}{2}} = \frac{6}{2 \cdot 2} = 1 + \frac{2}{2 \cdot 2} \quad \text{și}$$

respectiv  $p=3$ ,  $Z=27$ ,  $q = \frac{\frac{Z}{m}}{\frac{2p}{2}} = \frac{\frac{27}{3}}{\frac{2 \cdot 3}{2}} = \frac{9}{2 \cdot 3} = 1 + \frac{3}{2 \cdot 3}$ ; în cazul acestor două infășurări compuse divizorul comun al numerelor  $d$  și  $p$  este egal cu 2, respectiv cu 3.

De remarcat că infășurările compuse au aceleași  $q$  ca infășurările elementare constitutive.

Întrucit infășurările în două straturi cu număr fracționar de crestături pe pol și fază spre deosebire de infășurările într-un strat ( $N_{bf}=pq$ ) se pot executa și pentru numărul de perechi de poli  $p=1$  ( $N_{bf}=2pq$ ); rezultă că infășurările în două straturi având numere de perechi de poli divizibile prin 3, sunt infășurări compuse.

În cele ce urmează se vor trata, la fel ca și în cazul infășurărilor într-un strat, numai infășurări elementare, infășurările compuse fiind constituite din infășurări elementare.

**Înfășurări trifazate, la care numărul crestăturilor  $Z$  și numărul perechilor de poli  $p$  sunt prime între ele ( $p$  este impar)**

Considerăm înfășurarea elementară având  $Z=9$ ,  $2p=2$  și  $q=1+\frac{1}{2\cdot 1}$  a cărei schemă desfășurată este reprezentată în fig. 5.109. În cazul acestei înfășurări numărul de bobine pe fază este  $N_{bf}=\frac{Z}{m}-\frac{9}{3}=3$ ; înfășurarea se poate construi o singură cale de curent (înfășurările fazelor sunt constituite fiecare din  $N_{bf}=3$  bobine legate în serie). Pentru schema din fig. 5.109, a, înfășurarea are factorul de repartizare pentru fundamentală maxim posibil iar factorul de înfășurare se calculează conform tabelei 5.4, punctul 10.

În cazul schemei din fig. 5.109, b înfășurarea este cu trei zone și are factorul de repartizare pentru fundamentală mai mic decât în cazul schemei din fig. 5.109, a; factorul de înfășurare se calculează conform tabelei 5.4, punctul 7.

Înfășurările multipolare având  $q=1,5$  sunt înfășurări compuse din  $p$  înfășurări elementare având  $q=1,5$ . În cazul unei înfășurări tetrapolare  $q=n+\frac{d}{2p}=1+\frac{2}{2\cdot 2}=1,5$  iar în cazul înfășurării hexapolare  $q=n+\frac{d}{2p}=1+\frac{3}{2\cdot 3}=1,5$  înfășurarea tetrapolară conține două înfășurări elementare ( $p=2$ ) iar înfășurarea hexapolară trei înfășurări elementare ( $p=3$ ). În mod similar se pot stabili schemele oricărora

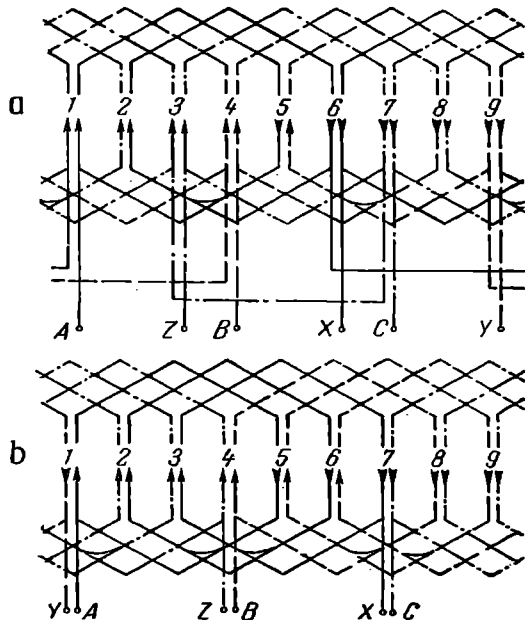


Fig. 5.109. Schema unei înfășurări având :  $Z=9$  ;  $2p=2$  ;  $m=3$  ;  $q=1\frac{1}{2}$  ;  
a — cu factor de înfășurare maxim; b — cu extinderea totală a zonelor.

Înfășurări având  $q$  dat pornind de la înfășurarea elementară corespunzătoare având același  $q$ .

La înfășurările compuse numărul maxim posibil de căi de curent în paralel pe fază este egal cu numărul înfășurărilor elementare pe

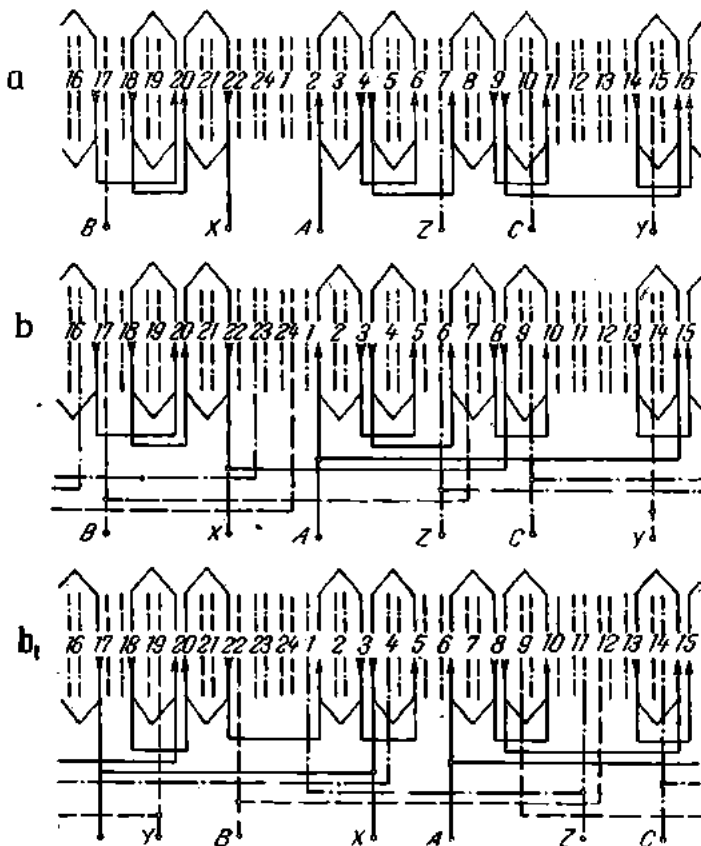


Fig. 5.110. Schema unei înfășurări având:  $Z=24$ ;  $2p=10$ ;

$$m=3; q=\frac{4}{5};$$

a — cu o cale de curent pe fază; b și b<sub>1</sub> — cu cîte două căi de curent de fază.

care le conține înfășurarea compusă ( $a_{max}=p$ ) iar factorul de înfășurare se calculează la fel ca la înfășurarea elementară.

care le conține înfășurarea compusă ( $a_{bf}=p$ ) iar factorul de înfășurare obținut pe fază cîte două căi de curent în paralel. Spre exemplu,

înfășurarea din fig. 5.74, dacă se execută în două straturi aşa cum se arată în fig. 5.110, se obține  $N_{bf} =$  număr par și se poate realiza cu două căi de curent în paralel pe fază.

De remarcat că dacă factorul de înfășurare pentru fundamentală are valoarea maximă în cazul înfășurării într-un strat (fig. 5.74), prin transformarea înfășurării în două straturi și dacă se păstrează aceeași deschidere a bobinelor (fig. 5.110), factorul de repartizare al înfășurării în două straturi este egal cu factorul de înfășurare al înfășurării într-un strat, iar pentru a obține factorul de înfășurare la înfășurarea în două straturi trebuie înmulțit factorul de repartizare cu factorul de scurtare (v. tabela 5.4, punctul 10).

Înfășurările în două straturi cu număr fracționar de crestături pe pol și fază ( $q > 1$ ) pot fi realizate cu extinderea zonelor și intercalarea fazelor, pentru a reduce sau suprima anumite armonici din curba tensiunii electromotoare indușă în înfășurare.

#### **Înfășurări trifazate, la care numărul de crestături $Z$ și numărul perechilor de poli $p$ au un divizor comun $t$**

La înfășurările trifazate cu numerele de crestături  $Z$  și de perechi de poli  $p$  având un divizor comun  $t$ , valoarea maximă posibilă a factorului de repartizare este mai mică la înfășurările într-un strat decât la înfășurările în două straturi. Spre exemplu, înfășurarea având  $Z = 18$ ,  $2p = 4$ ,  $q = 1 + \frac{1}{2}$  executată într-un strat (fig. 5.76), este o înfășurare primitivă și are factorul de repartizare pentru fundamentală  $k_{q1} = 0,922$  iar dacă se execută în două straturi cuprinzând de două ori schema înfășurării din fig. 5.109, a, factorul de repartizare pentru fundamentală devine  $k_{q1} = 0,96$ . Factorul de înfășurare  $k_{w1}$ , corespunzător celor două scheme are aceeași valoare 0,942, însă în cazul dispunerii în două straturi curba tensiunii magnetice este considerabil mai bună decât în cazul înfășurării într-un strat.

De observat că înfășurarea într-un strat din fig. 5.76, care este o înfășurare primitivă; dacă se dispune în crestături în două straturi cu factor de repartizare maxim, înfășurarea devine compusă (din două înfășurări primitive sau elementare, având schema din figura 5.109, a).

În mod similar înfășurările având  $Z$  și  $p$  cu divizor comun  $t$  executate în două straturi, cu  $k_q$  maxim posibil, sunt înfășurări compuse din  $p$  înfășurări elementare cu  $\frac{1}{t}$  perechi de poli (înfășurarea compusă și respectiv elementară are aceeași valoare pentru  $q$ ). Așadar,

cu înfășurări elementare de tipul celor prezente în paragraful precedent având  $q$  dat, se pot obține înfășurările compuse de tipul celor prezentate în prezentul paragraf având aceeași valoare pentru  $q$ .

Spre exemplu, înfășurarea având  $Z=45$ ,  $2p=10$ ,  $t=5$  și  $q=1+\frac{2}{2,5}$ , conține cinci înfășurări bipolare având  $q=1+\frac{1}{2}$ . La aceste înfășurări factorul de înfășurare are aceeași valoare cu factorul de înfășurare al înfășurării elementare.

### *Infășurări trifazate cu șase laturi de bobine libere*

Înfășurările trifazate cu șase laturi de bobine libere, se obțin din înfășurările într-un strat cu trei crestături libere prin disponerea acestora în crestături în două straturi. Înfășurările trifazate cu șase laturi de bobine libere, fiind înfășurări în două straturi, se pot executa și cu număr par de crestături, spre deosebire de înfășurările într-un strat cu trei crestături libere care se pot executa numai cu număr impar de crestături.

La aceste înfășurări, dacă  $t$  este cel mai mare divizor comun al numerelor de crestături  $Z$  și de perechi de poli  $p$ , atunci înfășurările cu șase laturi de bobine libere, cu  $q$  fracționar, trebuie să îndeplinească condițiile :

$$Z = 2N_{bf} + 3 = \text{număr întreg.} \quad (5.51, a)$$

$$\frac{Z}{mt} = \frac{N_{bf} + 1}{t} = \text{număr întreg.} \quad (5.51, b)$$

În cazul înfășurărilor cu  $N_{bf} = \text{număr par de bobine}$ , factorul de repartizare maxim pentru fundamentală este egal cu factorul de înfășurare al înfășurării corespunzătoare într-un strat. La înfășurările cu  $N_{bf} = \text{număr impar}$  ( $Z$  este par), valoarea factorului de înfășurare depinde de poziția crestăturilor având laturi de bobine libere. La aceste înfășurări tensiunea electromotoare indușă în înfășurarea unei faze este rezultanta unui număr impar ( $N_{bf} = \text{număr impar}$ ) de tensiuni elementare, iar factorul de înfășurare se calculează cu expresii diferite de cele prezentate în tabela 5.4.

Înfășurările în două straturi cu șase laturi de bobine libere, dacă se execută din bobine având aceeași deschidere, pot fi simetrice pentru oricare valoare a numărului de perechi de poli  $p$ .

### **5.2.5. Înfășurări de curent alternativ în două straturi avînd bobine cu numere diferite de spire**

În § 5.2.4. s-a presupus că înfășurările în două straturi sunt constituite din bobine avînd același număr de spire. La aceste înfășurări în fiecare crestătură se găsește un număr par de conductoare.

La înfășurările în două straturi cu număr impar de conductoare în crestătură, bobinele componente nu au toate același număr de spire ; în cazul acestora, jumătate din numărul bobinelor au cîte  $w_b$  spire și jumătate cîte ( $w_b \pm 1$ ) spire. La aceste înfășurări se recurge de obicei cînd numărul de conductoare care revin unei crestături (v. relația 5.12) este impar și relativ redus, iar rotunjirea la un număr par ar conduce la soluții necorespunzătoare. Schemele acestor înfășurări sunt identice cu schemele corespunzătoare ale înfășurărilor constituite din bobine cu același număr de spire. În procesul de bobinare a înfășurărilor avînd bobine cu numere diferite de spire, problema esențială constă în a stabili, în funcție de pasul bobinelor, ordinea în care trebuie să alterneze laturile bobinelor pentru a se îndeplini condiția ca în fiecare crestătură să fie același număr impar de conductoare.

La înfășurările cu șase zone constituite din bobine concentrice cu pasul mediu pe grupă diametral sau din bobine identice avînd pasul diametral, în mod alternativ în crestături se vor succeda  $q$  laturi de bobine de ducere sau de întoarcere avînd  $w_b$  spire, cu  $q$  laturi de bobine avînd ( $w_b \pm 1$ ) spire. Prin această dispunere în toate crestăturile se va obține același număr de conductoare ; spre exemplificare, este reprezentată schema din fig. 5.111, a, corespunzătoare unei înfășurări constituită din bobine egale avînd deschiderea egală cu pasul diametral. În fig. 5.111, b înfășurarea este constituită din bobine egale avînd pasul scurtat iar în cazul acestiei în crestăturile succesive alternează laturi de ducere sau de întoarcere de bobine avînd  $w_b$ , respectiv ( $w_b \pm 1$ ) spire. Pentru alte înfășurări ordinea în care alternează laturile bobinelor în crestăturile succesive se stabilește de la caz la caz, după schema corespunzătoare a înfășurării.

În cazul înfășurărilor constituite din bobine cu numere diferite de spire, se pot obține căi de curent în paralel identice dacă numărul de spire pe fiecare cale este același iar spirele ocupă aceeași poziție în cîmp în toate căile de curent.

Înfășurările trifazate constituite din bobine având numere diferite de spire ( $w_b$  și  $w_b=1$  spire) se execută obișnuit ca înfășurări cu șase zone.

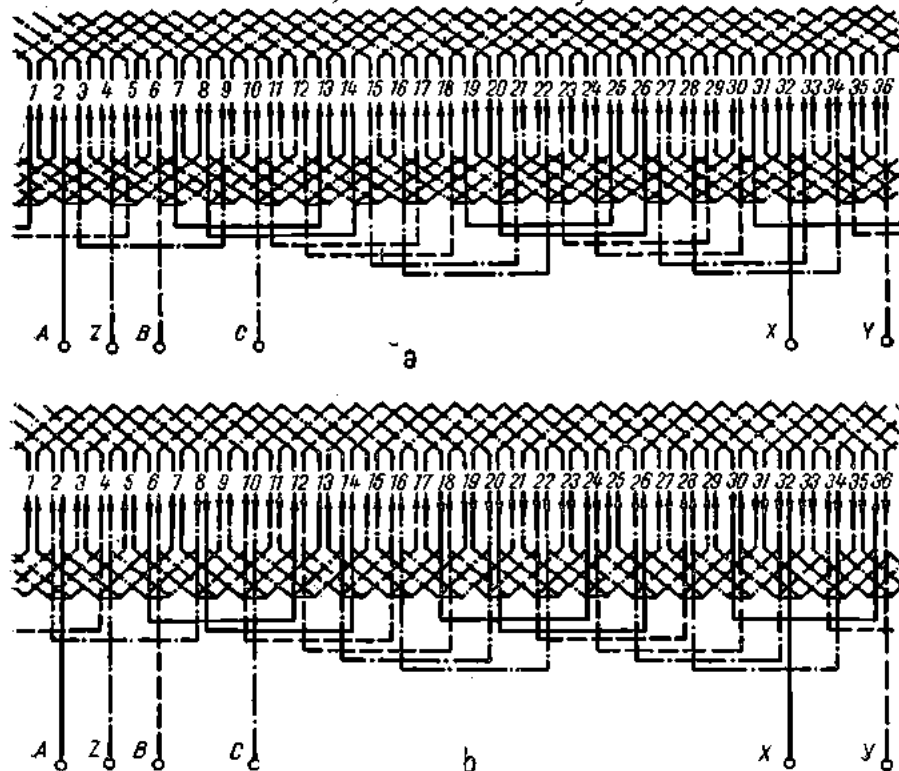


Fig. 5.111. Schema unei înfășurări avind :  $Z=36$ ;  $2p=4$ ;  $m=3$ ;  $q=2$ ;  
 a — cu pas diametral; b — cu pas scărat.

### 5.2.6. Înfășurări de curent alternativ trifazate dispuse parțial într-un strat și parțial în două straturi ( $q>1$ )

Înfășurările dispuse în anumite crestături într-un strat și în altele în două straturi, sunt înfășurări cu  $q$  fracționar.  $> 1$ . Părțile frontale ale bobinelor sau grupelor de bobine la aceste înfășurări se dispun în două etaje sau în coroană de grupe de bobine concentrice. În cele ce urmează se vor reprezenta schemele unor astfel de înfășurări

numai în două etaje ; pentru trecerea de la dispunerea în două etaje la dispunerea în coroană de grupe de bobine concentrice, vezi 5.2.3.

Înfăşurările dispuse în crestături parțial într-un strat și parțial în două straturi asigură o repartizare spațială mai simetrică a cîmpului magnetic învîrtitor, în comparație cu înfăşurările similare într-un strat. Numărul de crestături în care înfăşurarea se dispune în două straturi și respectiv într-un strat, este determinat la un număr  $m$  de faze dat, de valoările lui  $q$  și  $p$ . La înfăşurările trifazate, laturile bobinelor care se dispun în crestături în două straturi aparțin întotdeauna la faze diferite. În cazul înfăşurărilor cu  $q$  fracționar de forma  $1\frac{1}{2}$ ,  $2\frac{1}{2}$ ,  $3\frac{1}{2}$ ,  $4\frac{1}{2}$ ..., într-un număr de  $3p$  crestături înfăşurarea este în două straturi și în  $(Z-3p)$  crestături, este într-un strat. Schemele unor astfel de înfăşurări sunt reprezentate în fig. 5.112. De observat că grupele de bobine ale aceleiași înfăşurări sunt constituite fiecare din același număr de bobine (două bobine în grupă pentru  $q=1\frac{1}{2}$ , trei bobine pentru  $q=2\frac{1}{2}$  și patru pentru  $q=3\frac{1}{2}$  etc.). Evident că numărul de spire din bobinele ale căror laturi se dispun în crestături în două straturi (fig. 5.112, a, b, c, bobinele exterioare din grupe), este egal cu jumătate din numărul de spire al bobinelor care au laturile dispuse în crestături într-un strat. În înfăşurarea fazei se succed grupe cu numere diferite de spire. La aceste înfăşurări numărul maxim de căi de curent în paralel este  $a_{max}=p/2$ . Reamintim că prin realizarea de  $a$  căi de curent în paralel, numărul de spire din grupele de bobine va fi de  $a$  ori mai mare iar secțiunea conductorului de bobinaj, la aceeași densitate de curent, va fi de  $a$  ori mai mică decît valorile corespunzătoare ale înfăşurării similare cu o singură cale de curent.

În schemele reprezentate în fig. 5.112, capetele de legătură ale înfăşurării fazelor sunt scoase grupat la placa de borne în fig. 5.112, a și b, și respectiv din crestături echidistanțate în fig. 5.112, c (v. § 5.2.2).

Alte înfăşurări care se dispun în crestături parțial într-un strat și parțial în două straturi, sunt înfăşurările avînd  $q$  fracționar egal cu  $1\frac{1}{4}$ ;  $1\frac{3}{4}$ ;  $2\frac{1}{4}$ ;  $2\frac{3}{4}$ ;  $3\frac{1}{4}$ ;  $3\frac{3}{4}$ ;  $4\frac{1}{4}$ ;  $4\frac{3}{4}$ . Pentru a rezulta un număr întreg de crestături în cazul utilizării acestor tipuri de înfăşurări, numărul de perechi de poli trebuie să fie par. Exemple de scheme ale unor astfel de înfăşurări sunt reprezentate în fig. 5.113, a, b, c, și d.

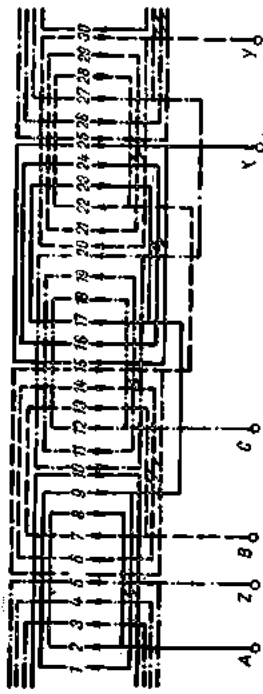
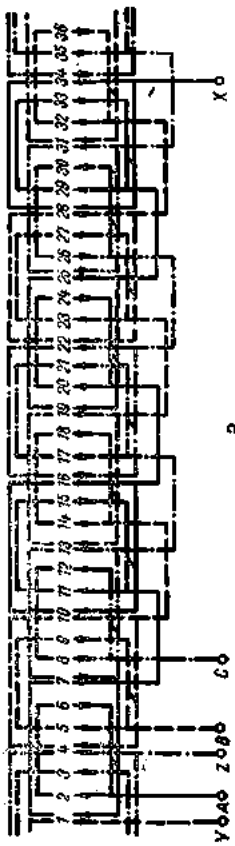
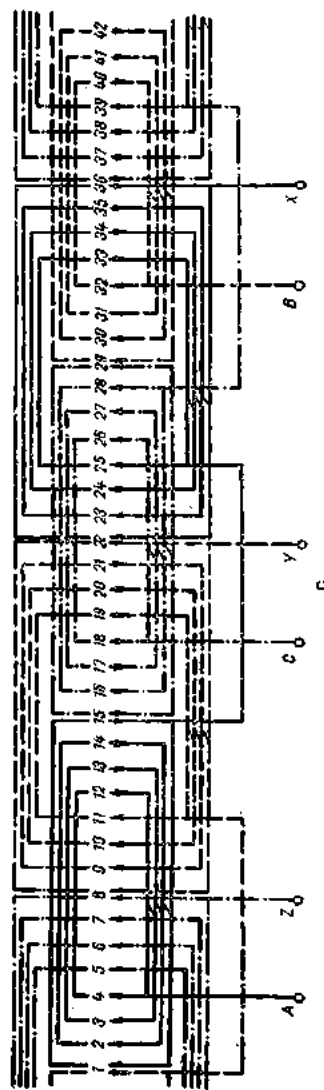


Fig. 5.112. Schemelele unor înăsări, dispuse în creșător; parțial într-un strat, parțial în două straturi avind:

a —  $Z=36$ ;  $2p=8$ ;  $q=1 \frac{1}{2}$ ;  $m=3$ ;  
 b —  $Z=30$ ;  $2p=4$ ;  $q=2 \frac{1}{2}$ ;  $m=3$ .  
 c —  $Z=42$ ;  $2p=4$ ;  $q=3 \frac{1}{2}$ ;  $m=3$ ,



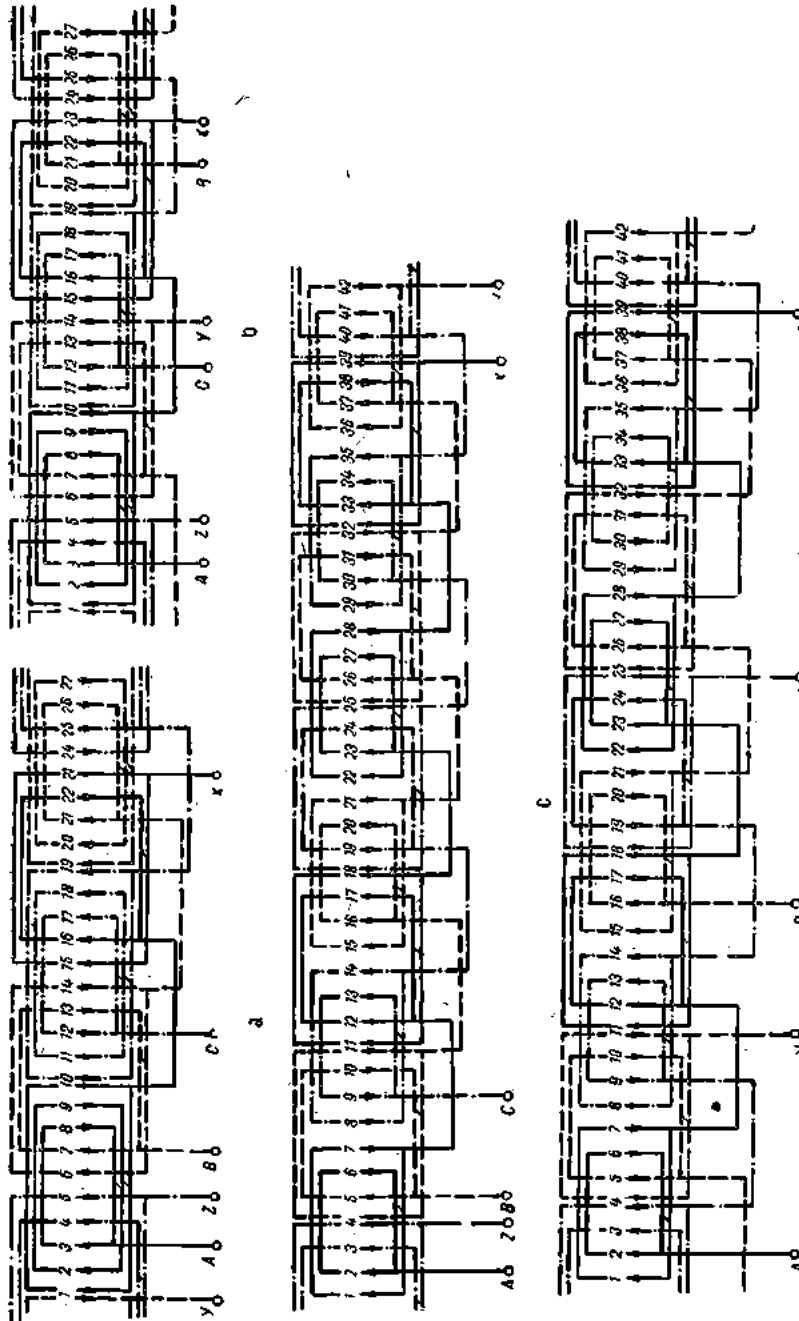


Fig. 5.113. Înfașurări trifazate dispuse în creștăuri parțial într-un strat, parțial în două straturi avind :

a și b :  $z=27$ ;  $2p=4$ ;  $m=3$ ;  $q=2 \frac{1}{3}$ ;  $c$  și d :  $z=42$ ;  $2p=6$ ;  $m=3$ ;  $q=1 \frac{3}{4}$ .

În cazul înfășurărilor cu  $q$  fraționar  $> 1$ , la care partea fraționară este  $\frac{1}{4}$  sau  $\frac{3}{4}$  din întreg, numai jumătate din numărul grupelor au același număr de bobine în grupă și anume  $(q+a_1)$  bobine, restul grupelor avînd fiecare  $(q-a_2)$  bobine ;  $a_1$  fiind frațiunea care adunată la  $q$  dă numărul întreg imediat superior lui  $q$ , iar  $a_2=1-a_1$  frațiunea care scăzută din  $q$  dă numărul întreg imediat inferior lui  $q$ . La aceste înfășurări, într-un număr de  $1,5p$  crestături înfășurarea se dispune în două straturi și în  $(Z-1,5p)$  crestături, într-un strat. Bobinele ale căror laturi se dispun în crestături în două straturi pot face parte din grupe ale căror părți frontale se dispun în primul sau al doilea etaj. Este avantajos, avînd în vedere eventualele rebobinări parțiale, ca aceste bobine să facă parte din grupele de bobine ale căror părți frontale se dispun în etajul al doilea (exemplile din fig. 5.113, c și d).

În cazul rotoarelor echipate cu astfel de înfășurări, este indicat ca grupele cu  $(q-a_2)$  bobine să revină etajului al doilea ; prin aceasta, în timpul funcționării, efectul forțelor centrifuge asupra părților frontale ale înfășurării este mai redus în comparație cu cazul în care grupele cu  $(q+a_1)$  bobine ar reveni etajului al doilea.

În schemele din fig. 5.113, capetele de legătură ale înfășurărilor fazelor s-au scos grupat în fig. 5.113, a și c și din crestături echidistante în fig. 5.113, b și d (ultimele scheme se utilizează pentru înfășurările rotoarelor cu inele de contact).

La înfășurările cu  $q$  fraționar avînd partea fraționară  $\frac{1}{4}$  sau  $\frac{3}{4}$  din întreg, dispuse în anumite crestături într-un strat și în altele în două straturi, numărul maxim posibil de căi de curent în paralel este egal cu  $p/2$ ,  $p$  fiind numărul perechilor de poli. La aceste înfășurări, pe calea de curent trebuie să se succeade în mod obligatoriu grupe avînd  $(q+a_1)$  bobine cu grupe avînd  $(q-a_2)$  bobine.

### 5.3. INFĂȘURĂRI ÎN BARE

Înfășurările în două straturi constituite din bobine cu o singură spiră (din semispire), se pot executa după scheme diferite de cele prezentate anterior ; caracteristic pentru aceste tipuri de înfășurări îl constituie modul particular de realizare a capetelor de bobină de partea legăturilor. Aceste înfășurări necesită un consum mai redus de material conductor și prezintă o simplificare a procesului tehnologic dacă bobinele formate din semispire se execută de forma bobinelor ondulate întlnite la înfășurările tip indus de curent continuu.

La rotoarele motoarelor asincrone de putere medie și mare că în cele de contact, se utilizează aproape în exclusivitate înfășurări în două straturi, în cazul cărora se folosesc ca element constructiv de bază semispira. Aceste înfășurări sunt denumite *în bare* întrucât bobinele lor sunt constituite fiecare din cîte două semispire.

Crestăturile în care se dispun semispirele acestor înfășurări sunt de obicei semiinchise; în acest caz semispirele se introduc axial în crestături în procesul de bobinare. Semispirele care revin stratului exterior au o lungime desfășurată mai mare decît cele care se dispun în stratul interior, primiele fiind curbate în părțile frontale după o rază relativ mai mare.

Înfășurările în bare ale rotoarelor se execută după scheme de înfășurări ondulate, bobinele componente fiind constituite în procesul de bobinare prin mufarea și lipirea, de partea opusă inelelor de contact, a capetelor de legătură a semispirelor decalate între ele cu un unghi corespunzător deschiderii bobinei. Bobinele astfel constituite vor avea cîte o singură spiră iar începuturile și sfîrșiturile lor vor fi de aceeași parte a rotorului, spre inelele de contact.

Numărul total de bobine ale înfășurării este egal cu numărul de crestături (înfășurare în două straturi) adică :

$$N_{tb} = Z = 2pqm. \quad (5.52)$$

În cazul înfășurărilor trifazate, o treime din numărul acestor bobine revin înfășurării unei faze :

$$N_{bf} = \frac{N_{tb}}{m} = \frac{N_{tb}}{3} = 2pq. \quad (5.53)$$

Înfășurarea fiind ondulată, ea este constituită pe fiecare fază din  $2q$  înconjururi ale rotorului;  $q$  înconjururi într-un sens și  $q$  înconjururi în sens contrar, fiecare înconjur avînd  $p$  bobine. Bobinele succesive din același înconjur sunt decalate relativ cu un dublu pas polar, adică cu  $\frac{Z}{p}$  crestături.

Înconjururile în același sens se leagă între ele în serie și formeză, în cazul înfășurărilor cu  $q$  întreg, jumătate din înfășurările de fază. Legăturile dintre înconjururile succesive în același sens se numesc *legături de trecere*; acestea pot avea deschideri mai mici sau mai mari decît pasul polar. În primul caz legăturile de trecere sunt neîncrucișate, iar în al doilea caz încrucișate dacă bobinele au deschiderea egală cu pasul polar. Cele două jumătăți ale înfășurării unei faze, formate respectiv din  $q$  înconjururi în sens contrar, se unesc între ele prin *legătura de întoarcere*.

În cazul înfășurărilor ondulate cu  $q$  fracționar de forma  $1\frac{1}{2}$ ,  $2\frac{1}{2}$ ,  $3\frac{1}{2}$ ,  $4\frac{1}{2}$  etc., înfășurarea unei faze va fi compusă din următoarele înconjururi: două într-un sens și unul în sens contrar pentru  $q=1\frac{1}{2}$ , trei într-un sens și două în sens contrar pentru  $q=2\frac{1}{2}$ , patru într-un sens și trei în sens contrar pentru  $q=3\frac{1}{2}$  și aşa mai departe.

Inceputul primului înconjur într-un sens și sfîrșitul ultimului înconjur în sens contrar din înfășurarea unei faze, reprezintă de fapt inceputul și sfîrșitul înfășurării fazei respective, dacă aceasta este formată dintr-o singură cale de curent. După STAS 3530-52 incepurile înfășurărilor trifazate ale rotoarelor bobinate, cu inele de contact, se notează respectiv cu  $a$ ,  $b$  și  $c$  iar sfîrșiturile corespunzătoare cu  $x$ ,  $y$  și  $z$ .

În fig. 5.114 este reprezentată schema desfășurată a unei înfășurări ondulate cu o singură cale de curent pe fază. Datele înfășurării sunt:  $Z=24$ ,  $2p=4$ ,  $q=2$ . Bobinele constituite din semispire au pasul diametral  $y=6$  crestături (1 la 7), iar legăturile de întoarcere, care unesc înconjurările de un sens cu cele de sens contrar ale înfășurărilor de fază, sunt notate cu  $I-IV$  pentru prima fază, cu  $II-V$  pentru a doua și cu  $III-VI$  pentru a treia.

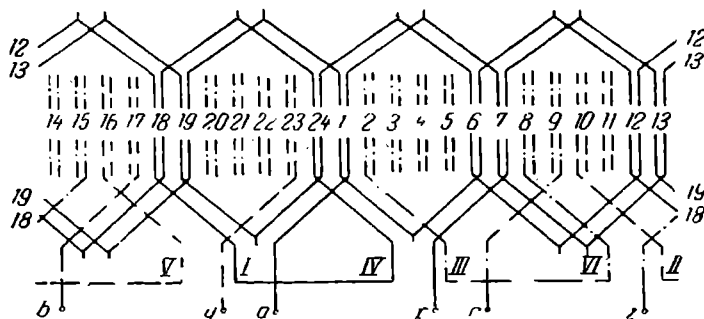


Fig. 5.114. Schema unei înfășurări având:  $Z=24$ ;  $2p=4$ ;  $m=3$ ;  $q=2$ .

În fig. 5.114 s-a reprezentat complet numai înfășurarea primei faze, pentru înfășurările celorlalte două faze sunt reprezentate numai capetele de legătură ale înfășurărilor (începuturile și sfîrșiturile) și legăturile de întoarcere. În exemplul prezentat  $q=2$  și în corespondență cu aceasta, înfășurarea fiecărei faze este compusă din patru înconjururi ale rotorului ( $2q=4$ ), două într-un sens și două în sens contrar, fiecare înconjur având  $p$  bobine, două în cazul de față ( $p=2$ ). La înfășurările ondulate, cele  $q$  înconjururi care formează semiînfă-

șurarea unei faze se leagă întotdeauna în serie, iar legătura de întoarcere unește sfîrșitul primelor înconjururi într-un sens, cu începutul înconjururilor în sens contrar, dacă înfășurarea are o singură cale de curent. Înfășurarea primei faze având capetele de legătură (extremitățile) notate, începutul cu  $a$  și sfîrșitul cu  $x$  (v. fig. 5.114), se compune astfel : bobinele dispuse în crestăturile 1—7 și 13—19, inseriate între ele, formează primul înconjur al rotorului într-un sens ; al doilea înconjur în același sens este format din bobinele dispuse în crestăturile 24—6 și 12—18. Legătura de trecere între înconjururile succesive de același sens unește semispira 19 cu semispira 24. Legătura de întoarcere I—IV unește sfîrșitul înconjururilor de un sens cu începutul înconjururilor de sens contrar, ultimele fiind compuse din bobinele dispuse în crestăturile 24—18 și 12—6 pentru primul înconjur și respectiv din cele dispuse în crestăturile 1—19 și 13—7 pentru al doilea înconjur. Legătura de trecere între aceste înconjururi unește semispira 6 cu semispira 1. De observat că legăturile de trecere între înconjururile succesive de același sens sunt neîncrucișate și au deschiderea  $y_1=5$  crestături, mai mică decât pasul polar  $\frac{Z}{2p}=6$  crestături. Cu înfășurarea primei faze s-a ocupat o treime din numărul crestăturilor rotorului, cîte două pe fiecare pol ( $q=2$ ). Înfășurările celor-lalte două faze sunt identice cu prima și sunt decalate succesiv cu  $Z\left(\frac{1}{3p} + \frac{k}{p}\right)$  crestături, decalaj corespunzător unghiului de fază la înfășurările trifazate (v. 5.2.2). În exemplul considerat  $k=1$  și corespunzător acestei valori, la înfășurarea dată, capetele de legătură ale înfășurărilor fazelor sunt scoase la inelele de contact din crestături echidistante ( $120^\circ$  geometrice). Posibilitatea de a scoate capetele de legătură ale înfășurărilor trifazate la inelele de contact, din crestături echidistante, există la toate înfășurările care nu au  $p$  impar și multiplu de trei. La înfășurările trifazate care au  $p$  și impar multiplu de trei, în crestăturile aflate la  $120^\circ$  geometrice se găsesc laturi de bobine de ducere, respectiv de întoarcere care aparțin la aceeași fază. În cazul acestor înfășurări capetele de legătură ale înfășurărilor de fază precum și legăturile de întoarcere nu se mai pot dispune între ele simetric la periferia rotorului și apare o dezechilibrire ușoară a rotorului.

În general înfășurările ondulate formate din semispire, necesită o cantitate minimă de material conductor pentru înfășurare, dacă deschiderea bobinelor componente este egală cu pasul polar. În cazul rotoarelor echipate cu astfel de înfășurări bobinele componente vor avea în toate cazurile posibile ( $q$  întreg) deschiderea egală cu pasul polar.

### 5.3.1. Înfășurări cu legături de întoarcere

Înfășurările ondulate, în două straturi, din bobine cu pas diametral constituie din semispire, se pot executa după trei scheme distințe.

O schemă se obține cînd *pasul legăturilor de trecere dintre inconjururile succesive în ambele sensuri este scurtat cu o crestătură față de pasul diametral*  $\left(\frac{Z}{2p}$  crestături) al bobinelor componente.

O a doua schemă se obține cînd *pasul legăturilor de trecere este lungit între inconjururile succesive de un sens și scurtat între inconjururile de sens contrar*; în acest caz pasul legăturilor de trecere este lungit, respectiv scurtat, cu o crestătură față de pasul diametral al bobinelor.

La al treilea tip de schemă *pasul legăturilor de trecere dintre inconjururile succesive în ambele sensuri, este lungit cu o crestătură față de pasul diametral al bobinelor.*

În fig. 5.115 sunt reprezentate cele trei scheme pentru o înfășurare avînd  $Z=36$ ;  $2p=4$ ;  $q=3$ . În fig. 5.115, a pasul legăturilor de trecere dintre inconjururile succesive este egal cu 8 crestături (din crestăturile 28—36 și 27—35 pentru cele trei inconjururi de un sens și din crestăturile 8—36 și 9—1 pentru inconjururile de sens contrar). În fig. 5.115, b legăturile de trecere între primele trei inconjururi de un sens sunt efectuate între crestăturile 28—2 și 29—3 ( $y_1=10$  crestături) iar cele dintre inconjururile de sens contrar între crestăturile 10—2 și 11—3 ( $y_1=8$  crestături). În fig. 5.115, c pasul legăturilor de trecere este egal cu 10 crestături și legăturile unesc semispirele dispuse în crestăturile 28—2 și 29—3 pentru inconjururile primului sens, respectiv pe cele dispuse în crestăturile 13—2 și 11—1 pentru celelalte inconjururi.

În comparație cu înfășurările tip indus de curent continuu în cazul cărora legăturile la lamelele colectorului pot fi neîncruzișate (pasul la colector scurtat pentru înfășurările bucate și respectiv lungit pentru cele ondulate) sau încruzișate (pasul la colector lungit pentru înfășurările bucate și respectiv scurtat pentru ondulate), înfășurările după schema din fig. 5.115, a au legăturile de trecere neîncruzișate între inconjururile succesive în ambele sensuri; cele după schema din fig. 5.115, b au legăturile de trecere încruzișate între inconjururile primului sens și respectiv neîncruzișate între inconjururile de sens contrar, iar la înfășurările realizate după schema din fig. 5.115, c au legăturile de trecere încruzișate între inconjururile succesive în ambele sensuri.

Din examinarea schemelor reprezentate în fig. 5.115 rezultă că legăturile de întoarcere cele mai scurte se obțin în cazul schemei din fig. 5.115, b. La înfășurările realizate după această schemă pasul legăturilor de întoarcere este cu două crestături mai

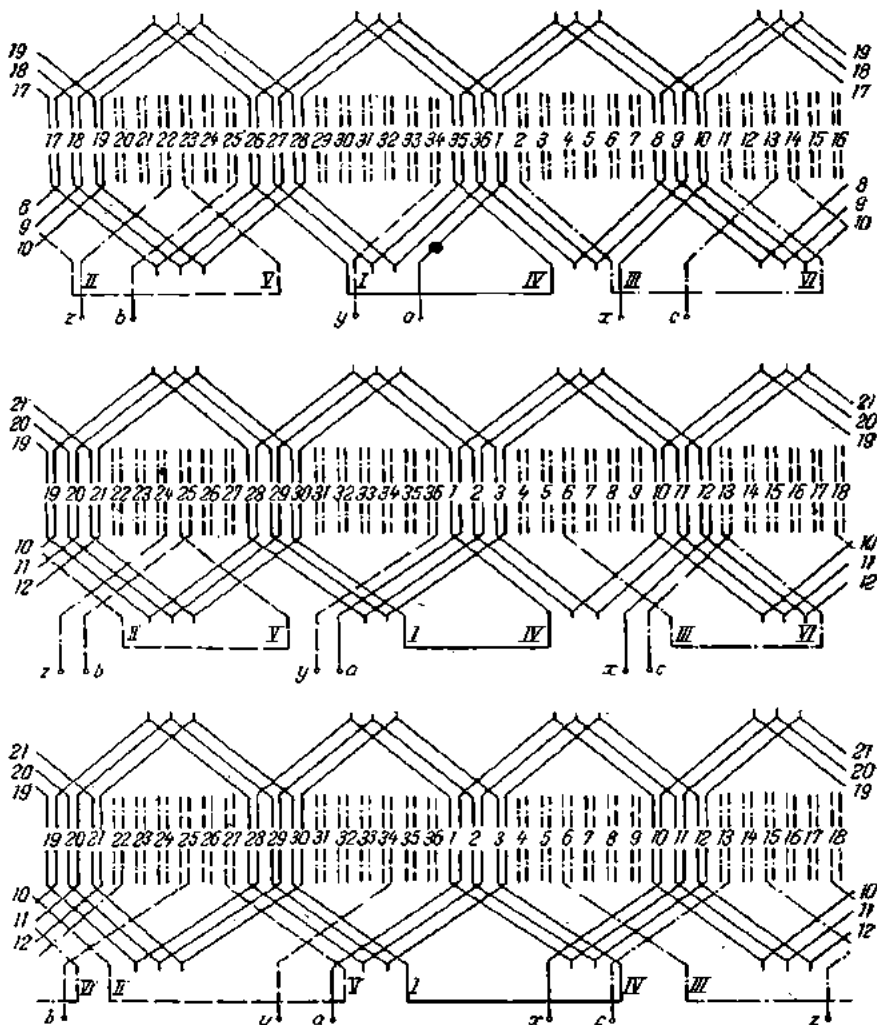


Fig. 5.115. Schema unei înfășurări cu :  $Z=36$  ;  $2p=4$  ;  $m=3$  ;  $q=3$  ;  
a — cu legături de trecere neîncrucișate; b — cu legături de trecere încrucișate în un sens și neîncrucișate în sens opus; c — cu legături încrucișate.

mic decât pasul diametral. La înfăşurările realizate după celelalte două scheme ale căror tipuri sunt reprezentate în fig. 5.115, a și c, pasul legăturilor de întoarcere este egal cu pasul diametral. În practică, atunci când se urmărește obținerea unei dimensiuni axiale minime a înfăşurării (înspire inelele de contact), se adoptă tipul de schemă cu legături de trecere neîncrucișate. În acest caz se utilizează o cantitate relativ redusă de material conductor pentru înfăşurare

și probabilitatea scurtcircuitării înconjururilor este practic eliminată în comparație cu celelalte scheme. Cu toate acestea, în construcția înfăşurărilor se utilizează și schemele cu legături de trecere încrucișate; acestea se preferă deoarece la rebobinare se pot reutiliza semispirele vechii înfăşurări după recondiționarea lor. În aceste cazuri

Fig. 5.116. Schema de conexiune a înfăşurării A-X :  
a — cu o cale de curent; b — cu două căi de curent.

rebobinarea se face după scheme cu legături neîncrucișate semispirele acestor înfăşurări fiind relativ mai scurte decât a celor cu legături de trecere încrucișate.

Tipurile de scheme reprezentate mai sus, după care se execută înfăşurările ondulate în două straturi, din bobine cu pas diametral constituite din semispire, au cîte o singură cale de curent pe fiecare fază. Aceste înfăşurări se pot realiza ușor și cu două căi de curent în paralel; în acest caz înconjururile înfăşurării fazelor intr-un sens și respectiv în sens opus trebuie să fie echivalente din punct de vedere electric.

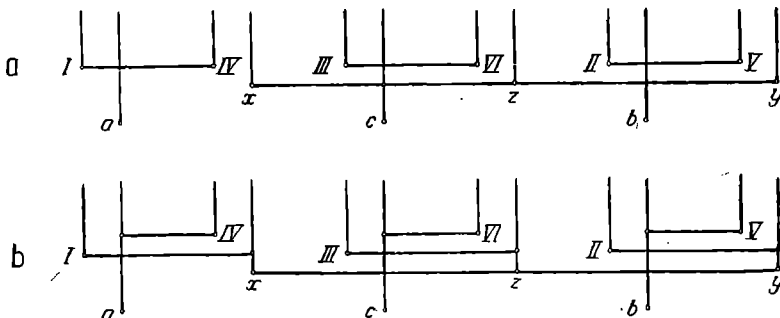


Fig. 5.117. Schema de conexiuni a înfăşurării trifazate :  
a — cu o cale de curent; b — cu două căi de curent.

În fig. 5.116 sunt reprezentate legăturile corespunzătoare ale înfășurării „*a—x*“, pentru o cale de curent în fig. 5.116, *a* și pentru două căi de curent în fig. 5.116, *b*.

Schema legăturilor unei înfășurări trifazate conectată în stea, cu o cale de curent și cu două căi de curent în paralel pe fază este reprezentată în fig. 5.117.

### 5.3.2. Înfășurări fără legături de întoarcere

Legăturile de întoarcere notate respectiv pentru cele trei faze cu *I—IV*, *II—V* și *III—VI* (v. 5.114 și 5.115) sunt formate din conductor profilat având secțiunea egală cu a conductorului semispirei și se numesc în practică bare de legătură.

La rotoarele motoarelor asincrone de putere medie legăturile de întoarcere sunt preformate dintr-un singur conductor împreună cu cîte două semispire; aceste semispire se dispun în crestături în stratul interior și cu ele se începe bobinarea propriu-zisă. Uneori legăturile de întoarcere se sudează de cele două semispire înainte de introducerea lor în crestături. La aceste înfășurări sunt necesare ca elemente constructive de bază *Z* semispire pentru stratul exterior, (*Z—6*) semispire pentru stratul interior și trei bare de legătură, fiecare fiind legată cu cîte două semispire care revin stratului interior.

La rotoarele mașinilor asincrone de putere mare, legăturile de întoarcere se unesc cu capetele de legătură ale semispirelor corespunzătoare, prin mufe și se lipesc împreună, după introducerea semispirelor în crestături. În aceste cazuri se utilizează ca elemente constructive de bază ale înfășurării, *Z* semispire pentru stratul exterior, *Z* semispire pentru stratul interior și trei bare de legătură.

În general prezența legăturilor de întoarcere complică și îngreună procesul de bobinare al înfășurărilor pentru că ele impun scoaterea capetelor de legătură ale înfășurărilor de fază, la inelele de contact, de la semispire situate în crestături în stratul exterior. În practică s-au introdus tipuri de înfășurări ondulate, din semispire, fără legături de întoarcere care prezintă o bobinare mai simplă. De fapt, la aceste înfășurări rolul legăturilor de întoarcere îl îndeplinesc trei semispire (în cazul înfășurărilor trifazate) care sunt trecute în crestături dintr-un strat în altul. Semispirele care prin trecerea dintr-un strat în altul pot înlocui legăturile de întoarcere, ocupă fiecare cîte o crestătură iar porțiunile lor frontale, de o parte și de alta a miezului magnetic, sunt îndoite în aceeași parte la fel ca semispirele unei înfășurări buclate. Spațiile libere care se formează în crestătură ca urmare a trecerii semispirei dintr-un strat în altul, se comple-

tează cu conductor avînd secțiunea semispirei, pentru a consolida semispira de trecere (altfel, în timpul mișcării s-ar distruga izolația).

Schema unei înfășurări trifazate tetrapolare fără legături de întoarcere este reprezentată în fig. 5.118. La această înfășurare semi-spirele care îndeplinesc rolul legăturilor de întoarcere au laturile dispuse în crestăturile 26 pentru prima fază, 14 pentru a doua și 2 pentru a treia.

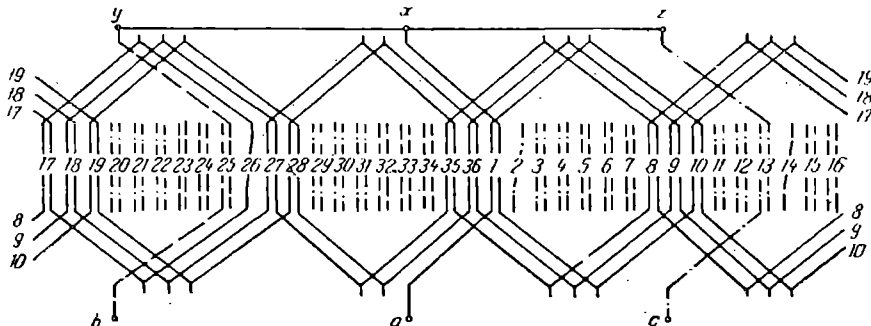


Fig. 5.118. Schema unei înfășurări avînd :  $Z=36$ ;  $2p=4$ ;  $m=3$ ;  $q=3$ .

La înfășurarea reprezentată, între înconjurerile successive ale înfășurărilor de fază, în ambele sensuri, legăturile de trecere sunt neîncrucișate. Înfășurările fără legături de întoarcere se execută și ca înfășurări cu legături de trecere încruzișate.

De observat că la înfășurările fără legături de întoarcere legarea în stea a înfășurărilor se face de partea opusă inelilor de contact și din această cauză, din fiecare înfășurare de fază lipsește câte o semispire în comparație cu înfășurările corespunzătoare cu legături de întoarcere. Ca urmare a acestui fapt tensiunile electromotoare induse în înfășurările fazelor sunt mai reduse. În exemplul dat numărul de semispire pe fază este egal cu  $(4pq-1)$  adică 23 de semispire față de 24, cu 4,16% mai puțin decât la înfășurarea corespunzătoare cu legături de întoarcere. Legăturile la inele sunt scoase din stratul inferior.

### 5.3.3. Tabelă cu conexiunile între elementele înfășurării pe fază, la înfășurările cu legături de întoarcere

Schemele desfășurate ale înfășurărilor ondulate pot fi executate pe baza indicațiilor cuprinse într-o tabelă. În acest scop semispirele din stratul exterior se notează cu  $1e$ ,  $2e$ ,  $3e \dots Ze$ , iar cele din stratul

interior cu  $1i$ ,  $2i$ ,  $3i \dots Zi$ ; semispirele  $1e$  și  $1i$  sunt situate în creștătura  $1$ ,  $2e$  și  $2i$  în creștătura  $2$ ,  $3e$  și  $3i$  în creștătura  $3$  etc. Tabela se întocmește pentru fiecare fază separat și include legăturile succesive dintre semispirele care revin înfășurărilor de fază  $a-x$ ,  $b-y$  și  $c-z$ .

Pentru întocmirea tabelei trebuie cunoscute datele caracteristice ale înfășurării, adică numerele de creștări  $Z$ , de poli  $2p$ , de creștări pe pol și fază  $q$  și deschiderea  $y$  a bobinelor. Trebuie de asemenea cunoscute în funcție de tipul de schemă adoptat, pasul legăturilor de trecere între înconjurările succesive în ambele sensuri precum și pasul legăturilor de întoarcere.

Pentru exemplificare se prezintă tabela conexiunilor în cazul înfășurării din fig. 5.115, a. Datele caracteristice ale înfășurării sunt:

$Z=36$ ;  $2p=4$ ;  $q=3$ ;  $y=\frac{Z}{2p}=9$  creștări; legăturile de trecere între înconjurările succesive ale înfășurării sunt în ambele sensuri neîncrucișate, adică au pasul mai mic cu o creștătură decât pasul dia-

metral, iar legăturile de întoarcere au pasul egal cu pasul polar ( $\frac{Z}{2p}$  creștări). Pentru înfășurarea  $a-x$ , se procedează astfel: începutul  $a$  al înfășurării este legat la semispira  $1e$  iar al doilea capăt de legătură al semispirei  $1e$  trebuie unit de partea opusă inelelor de contact,

conform pasului de bobinare  $y=\frac{Z}{2p}=9$  creștări, cu semispira  $1+9=10i$ . În urma acestei legături, între capetele de legătură ale semispirelor  $1e$  și  $10i$  înspre inelele de contact s-a obținut o bobină a înfășurării fazei (bobina este constituită dintr-o singură spiră). De-

calajul dintre cele  $p$  bobine succeseive ale aceluiasi înconjur, este egal conform pasului de bobinare  $y=\frac{Z}{2p}=9$  creștări, cu semispira  $1+9=10i$ . În urma acestei legături, între capetele de legătură ale semispirelor  $1e$  și  $10i$  înspre inelele de contact s-a obținut o bobină a înfășurării fazei (bobina este constituită dintr-o singură spiră). De-

calajul dintre cele  $p$  bobine succeseive ale aceluiasi înconjur, este egal conform pasului de bobinare  $y=\frac{Z}{2p}=9$  creștări, cu semispira  $1+9=10i$ . În urma acestei legături, între capetele de legătură ale semispirelor  $1e$  și  $10i$  înspre inelele de contact s-a obținut o bobină a înfășurării fazei (bobina este constituită dintr-o singură spiră). De-

calajul dintre cele  $p$  bobine succeseive ale aceluiasi înconjur, este egal conform pasului de bobinare  $y=\frac{Z}{2p}=9$  creștări, cu semispira  $1+9=10i$ . În urma acestei legături, între capetele de legătură ale semispirelor  $1e$  și  $10i$  înspre inelele de contact s-a obținut o bobină a înfășurării fazei (bobina este constituită dintr-o singură spiră). De-

calajul dintre cele  $p$  bobine succeseive ale aceluiasi înconjur, este egal conform pasului de bobinare  $y=\frac{Z}{2p}=9$  creștări, cu semispira  $1+9=10i$ . În urma acestei legături, între capetele de legătură ale semispirelor  $1e$  și  $10i$  înspre inelele de contact s-a obținut o bobină a înfășurării fazei (bobina este constituită dintr-o singură spiră). De-

calajul dintre cele  $p$  bobine succeseive ale aceluiasi înconjur, este egal conform pasului de bobinare  $y=\frac{Z}{2p}=9$  creștări, cu semispira  $1+9=10i$ . În urma acestei legături, între capetele de legătură ale semispirelor  $1e$  și  $10i$  înspre inelele de contact s-a obținut o bobină a înfășurării fazei (bobina este constituită dintr-o singură spiră). De-

calajul dintre cele  $p$  bobine succeseive ale aceluiasi înconjur, este egal conform pasului de bobinare  $y=\frac{Z}{2p}=9$  creștări, cu semispira  $1+9=10i$ . În urma acestei legături, între capetele de legătură ale semispirelor  $1e$  și  $10i$  înspre inelele de contact s-a obținut o bobină a înfășurării fazei (bobina este constituită dintr-o singură spiră). De-

calajul dintre cele  $p$  bobine succeseive ale aceluiasi înconjur, este egal conform pasului de bobinare  $y=\frac{Z}{2p}=9$  creștări, cu semispira  $1+9=10i$ . În urma acestei legături, între capetele de legătură ale semispirelor  $1e$  și  $10i$  înspre inelele de contact s-a obținut o bobină a înfășurării fazei (bobina este constituită dintr-o singură spiră). De-

primul înconjur din înfăşurare. Legătura de trecere la al doilea înconjur al înfăşurării este neîncrucișată, pasul ei este mai mic cu o creșteră decât pasul polar. În consecință semispira  $28i$  trebuie unită cu semispira  $36e$  (adică  $28 + \frac{Z}{2p} - 1$ ). Celelalte trei semispire din al doilea înconjur sunt decalate între ele succesiv cu  $\frac{Z}{2p}$  creșteri, iar legăturile succesive vor fi  $36e-9i$ ,  $9i-18e$  și  $18e$  cu  $27i$ . Al treilea înconjur al înfăşurării fazei în același sens se obține prin efectuarea următoarelor legături: legătura de trecere neîncrucișată (scurtată) unește semispirele  $27i$  cu  $35e$  iar următoarele legături unesc între ele semispire decalate succesiv cu  $\frac{Z}{2p}$  creșteri, adică  $35e$  cu  $8i$ ,  $8i$  cu  $17e$  și  $17e$  cu  $26i$ . Între capetele de legătură ale semispirelor  $1e$  și  $26i$ , înspre inelele de contact, s-a obținut jumătate din înfăşurarea  $a-x$  formată din  $q$  înconjururi (în cazul de față  $q=3$ ), fiecare înconjur avind  $p$  spire (în cazul de față  $p=2$ ). A doua jumătate a înfăşurării  $a-x$  este compusă de asemenea din  $q$  înconjururi a cărui  $p$  bobine, sensul de parcurgere al acestora fiind invers față de sensul celor din prima jumătate a înfăşurării. Cele două semiînfăşurări sunt unite între ele prin legătura de întoarcere  $I-IV$ , care în cazul înfăşurărilor cu legături de trecere neîncrucișate între înconjururile succesive, în ambele sensuri (fig. 5.115, a) are pasul egal cu pasul polar ( $\frac{Z}{2p}$  creșteri). Pentru obținerea celei de a doua jumătăți a înfăşurării  $a-x$  se realizează legăturile în același fel ca și în cazul primei jumătăți. Legătura de întoarcere  $I-IV$  unește ultima semispiră din ultimul înconjur al primei jumătăți de înfăşurare cu prima semispiră a primului înconjur din a doua jumătate a înfăşurării fazei, respectiv  $26i$  cu  $35i$ , apoi primul înconjur presupune legăturile succesive  $35i$  cu  $26e$ ,  $26e$  cu  $17i$  și  $17i$  cu  $8e$ . Cu legătura de trecere  $8e-36i$  începe al doilea înconjur care necesită în ordine următoarele legături:  $36i$  cu  $27e$ ,  $27e$  cu  $18i$  și  $18i$  cu  $9e$ . A doua legătură de trecere între înconjururile celui de-al doilea sens unește semispirele  $9e$  cu  $1i$  iar din cea de a doua jumătate a înfăşurării are legăturile  $1i$  cu  $28e$ ,  $28e$  cu  $19i$  și  $19i$  cu  $10e$ . S-a obținut astfel înfăşurarea  $a-x$  a primei faze, constituită din  $2q$  înconjururi ale rotorului,  $q$  într-un sens și  $q$  în sens contrar, fiecare înconjur având  $p$  bobine (în total  $2pq$  bobine pe fază).

Înfăşurările celorlalte două faze sunt identice cu a primei faze și sunt decalate succesiv între ele cu  $Z\left(\frac{1}{3p} + \frac{k}{p}\right)$  creșteri,  $k$  fiind un multiplu întreg inclusiv zero.

În tabela 5.7 sunt indicate separat legăturile succesive dintre semispirele care compun înfășurările  $a-x$ ,  $b-y$  și  $c-z$  ale celor trei faze.

*Tabela 5.7*

**Ordinea conexiunilor între elementele înfășurării reprezentată în fig. 5.115, a**

*Infășurarea  $a-x$ :*

$a - 1e - 10l - 19e - 28l -$	legătura de trecere cu pasul 8 crestături
$- 36e - 9l - 18e - 27l -$	" " " " " "
$- 35e - 8l - 17e - 26l -$	legătura de întoarcere I-IV cu pasul 9 crestături
$- 35l - 26e - 17l - 18e -$	legătura de trecere cu pasul 8 crestături
$- 36l - 27e - 18l - 9e -$	" " " " "
$- 1l - 28e - 19l - 10e - x$	

*Infășurarea  $b-y$*

$b - 25e - 34l - 7e - 16l -$	legătura de trecere cu pasul 8 crestături
$- 24e - 33l - 6e - 15l -$	" " " " " "
$- 23e - 32l - 5e - 14l -$	legătura de întoarcere II-V cu pasul 9 crestături
$- 23l - 15e - 5l - 32e -$	legătura de trecere cu pasul 8 crestături
$- 24l - 16e - 6l - 33e -$	" " " " " "
$- 25l - 17e - 7l - 34e - y$	

*Infășurarea  $c-z$*

$c - 13e - 22l - 31e - 41l -$	legătura de trecere cu pasul 8 crestături
$- 12e - 21l - 30e - 3l -$	" " " " " "
$- 11e - 20l - 29e - 2l -$	legătura de întoarcere III-VI cu pasul 9 crestături
$- 11l - 2e - 29l - 20e -$	legătura de trecere cu pasul 8 crestături
$- 12l - 3e - 30l - 21e -$	" " " " " "
$- 13l - 4e - 31l - 22e - z$	

De observat că tabela de legături a înfășurării unei faze cuprinde  $2q$  linii orizontale și pe fiecare linie sunt indicate semispirele care unite succesiv prin mufe, alternativ de o parte și de alta a miezului magnetic, formează cîte un înconjur de înfășurare. Pe fiecare fază, numărul de semispire pe linia orizontală este egal cu numărul de poli (în exemplul considerat  $2p=4$ ).

Legătura de trecere unește prin mufe capătul de legătură al ultimei semispire din înconjurul precedent cu al primei semispire din înconjurul următor în același sens, de partea inelelor de contact. Ea poate avea pasul mai mic cu o crestătură decât pasul bobinelor la treceți neîncrucișate (tabela 5.7) și respectiv mai mare cu o crestătură pentru trecere încrucișate. Legătura de întoarcere are pasul egal cu pasul polar (cazul tipurilor de scheme reprezentate în fig. 5.115, a și c); în cazul tipului de schemă din fig. 5.115, b legătura de întoarcere are pasul egal cu  $\left(\frac{Z}{2p} - 2\right)$  crestături. Ea unește, de partea inelelor de contact, ultimul înconjur al înfășurării din primul sens, cu primul înconjur de sens contrar.

De remarcat că legăturile de trecere unesc capetele de legătură ale semispirelor din stratul interior spre exterior la înconjururile primului sens și respectiv din stratul exterior spre interior între înconjururile de sens opus, luându-se ca sens de parcurgere al înfășurării sensul de la începutul spre sfîrșitul înfășurării. Legăturile de întoarcere unesc semispire din stratul interior iar extremitățile înfășurării fazelor sunt legate la semispire din stratul exterior. Numerele de ordine ale semispirelor de pe liniile orizontale se determină prin adăugarea pasului  $y$  al bobinelor la numerele de ordine ale semispirelor precedente. Numerele de ordine ale primelor semispire, din înconjurările următoare în același sens, se obțin prin adăugarea pasului legăturii de trecere, la numerele de ordine ale ultimelor semispire din înconjururile precedente. La obținerea numerelor de ordine ale semispirelor trebuie să se țină seama că sensurile de parcurgere ale înconjururilor care formează cele două jumătăți de înfășurare ale unei faze, sunt respectiv opuse. Numărul de ordine al primei semispire din a doua jumătate a înfășurării fazei se obține prin adăugarea pasului legăturii de întoarcere, numărului de ordine al ultimei semispire din prima jumătate a înfășurării fazei.

Pentru înfășurarea din fig. 5.115, b care are următoarele date:  $Z=36$ ,  $2p=4$ ,  $q=3$  cu legături de trecere încrucișate (lungite) între înconjururile succesive din primul sens și respectiv neîncrucișate (scurte) între cele de sens opus; corespunzător acestora legăturile de întoarcere au pasul mai mic cu două crestături decât pasul bobinelor) conexiunile se realizează conform tabelei 5.8.

În mod similar se poate indica într-o tabelă ordinea succesiunilor elementelor de înfășurare a oricărei înfășurări la care se cunosc datele caracteristice:  $Z$ ,  $2p$ ,  $q$ ,  $y$  și pașii legăturilor de trecere și de întoarcere.

Tabelă 5.8

Ordinea conexiunilor între elementele înfăşurării reprezentată în fig. 5.115, b

*Înfăşurarea a—x*

- a — 1e — 10l — 19e — 28l — legătura de trecere cu pasul 10 crestături
- 2e — 11l — 20e — 29l — " " " " "
- 3e — 12l — 21e — 30l — legătura de întoarcere I—IV cu pasul 7 crestături
- 1l — 28c — 19l — 10e — legătura de trecere cu pasul 8 crestături
- 2l — 29e — 20l — 11e — " " " " "
- 3l — 30e — 21l — 12e — x

*Înfăşurarea b—y*

- b — 25e — 34l — 7e — 16l — legătura de trecere cu pasul 10 crestături
- 26e — 35l — 8e — 17l — " " " " "
- 27e — 36l — 9e — 18l — legătura de întoarcere II—V cu pasul 7 crestături
- 25l — 16e — 7l — 34c — legătura de trecere cu pasul 8 crestături
- 26l — 17e — 8l — 35e — " " " " "
- 27l — 18e — 9l — 36e — y

*Înfăşurarea c—z*

- c — 13e — 22l — 31e — 41l — legătura de trecere cu pasul 10 crestături
- 14e — 23l — 32e — 51l — " " " " "
- 15e — 24l — 33e — 6l — legătura de întoarcere III—VI cu pasul 7 crestături
- 13l — 4e — 31l — 22e — legătura de trecere cu pasul 8 crestături
- 14l — 5e — 32l — 23e — " " " " "
- 15l — 6e — 33l — 24e — z

În tabela 5.9 sunt date formule pentru determinarea numerelor crestăturilor din care trebuie scoase începuturile și sfîrșiturile înfăşurărilor de fază precum și legăturile de întoarcere la cele trei tipuri de scheme, după care se execută înfăşurările ondulate ale rotoarelor cu inele de contact.

Tabela 5.9

Formule pentru determinarea numerelor crestăturilor din care trebuie scoase începuturile, sfîrșiturile și legăturile de întoarcere la înfășurările ondulate cu legături de întoarcere ale rotoarelor având  $q$  întreg,  $p$  diferit

de multiplu de 3 și  $y = \frac{Z}{2p}$  crestături

Înfășu- rările fazelor	Notatii folosite în sche- me des- fășurate	Straturile	Legături de trecere		
			Scurtate (neincri- ciște) pentru parcursurile înfășurării în ambute sensuri	Lungite (incri- ciște) pentru par- cursurile înfășu- rării în primul sens și scurtate pentru al doilea sens	Lungite (incri- ciște) pentru par- cursurile înfășu- rării în ambele sensuri
$a-x$	$a$	exterior	1	1	1
	I	interior	$Z+2-4q$	$Z-2q$	$Z-2q$
	IV	interior	$Z+2-q$	1	$q$
	$x$	exterior	$1+3q$	$4q$	$1+3q$
$b-y$	$b$	exterior	$1 + \frac{2Z}{3}$	$1 + \frac{2Z}{3}$	$1 + \frac{2Z}{3}$
	II	interior	$Z+2-4q + \frac{2Z}{3}$	$Z-2q + \frac{2Z}{3}$	$Z-2q + \frac{2Z}{3}$
	V	interior	$Z+2-q + \frac{2Z}{3}$	$1 + \frac{2Z}{3}$	$q + \frac{2Z}{3}$
	$y$	exterior	$1+3q + \frac{2Z}{3}$	$Z$	$1+3q + \frac{2Z}{3}$
$c-z$	$c$	exterior	$1 + \frac{Z}{3}$	$1 + \frac{Z}{3}$	$1 + \frac{Z}{3}$
	III	interior	$Z+2-4q + \frac{Z}{3}$	$Z-2q + \frac{Z}{3}$	$Z-2q + \frac{Z}{3}$
	VI	interior	$Z+2-q + \frac{Z}{3}$	$1 + \frac{Z}{3}$	$q + \frac{Z}{3}$
	$z$	exterior	$1+3q + \frac{Z}{3}$	$\frac{2Z}{3}$	$1+3q + \frac{Z}{3}$

### 5.3.4. Schemele frontale ale înfășurărilor ondulate, cu legături de întoarcere

Înfășurările ondulate din semispire ale rotoarelor se pot reprezenta simplificat și sub forma de scheme frontale. Ele indică toate conexiunile ce trebuie făcute între capetele de legătură ale semispirelor dinspre inelele de contact.

Pentru executarea schemei frontale se procedează astfel :

1. Se trasează convenabil trei cercuri concentrice cu diametrele  $D_1 > D_2 > D_3$  ale căror circumferințe se împart respectiv după aceleași raze în  $Z$  părți egale,  $Z$  fiind numărul de crestături ale rotorului ;

2. Din punctele de intersecție ale razelor cu cercul exterior, luate ca centre se trasează  $Z$  cercuri de diametru  $d$  și se numerotează capetele de legătură ale semispirelor din stratul exterior, în ordine de la 1 la  $Z$ , în sensul succesiunii fazelor ;

3. Cu ajutorul formulelor din tabela 5.9 se determină numerele crestăturilor din care trebuie scoase capetele de legătură ale înfășurării fazelor (începuturile și sfîrșiturile) și legăturile de întoarcere, considerind că începutul  $a$  al înfășurării primei faze este scos din crestătura 1 ;

4. Începuturile și sfîrșiturile înfășurărilor de fază se leagă la semispirele din stratul exterior având numerele calculate la punctul 3 din tabela 5.9: Legăturile se duc radial spre centrul schemei ; sfîrșiturile  $x$ ,  $y$  și  $z$  se leagă la un cerc reprezentând conexiunea în stea a înfășurării, iar începuturile  $a$ ,  $b$  și  $c$  urmând a fi legate la inelele de contact ;

5. Pe cercul de diametru  $D_2$  se trasează ( $Z=6$ ) cercuri de diametru  $d$ , având ca centre punctele de intersecție ale razelor cu cercul ; nu se trasează cercuri sub capetele de legătură ale semispirelor din stratul exterior de la care sunt legate începuturile și sfîrșiturile înfășurării ( $a$ ,  $b$ ,  $c$ ,  $x$ ,  $y$ ,  $z$ ) ;

6. Se stabilesc numerele de ordine ale capetelor de legătură ale semispirelor, de pe cercul  $D_2$  precum și poziția relativă a acestora față de capetele de legătură, ale semispirelor, de pe cercul  $D_1$ . Pentru aceasta este esențial să se stabilească cu precizie numărul de ordine și poziția relativă a capătului de legătură pentru o singură semispiră din stratul interior, restul semispirelor se numerotează în ordine. Spre exemplu, prima semispiră a înfășurării unei faze se leagă prin mufă, în partea opusă inelelor de contact, de semispira din stratul interior care este decalată față de prima cu  $y$  crestături. Capetele de legătură ale acestor două semispire, în partea opusă inelelor de contact, trebuie dispuse după aceeași rază. A doua semispiră a înfășurării fazei se leagă prin mufă, în partea inelelor de contact, de semispira a treia, care este decalată relativ cu  $y$  crestături față de a doua și cu  $2y$  crestături față de prima (dacă înfășurarea este constituită din bobine cu pasul diametral). Capetele de legătură, în partea inelelor de contact, ale semispirelor doi și trei din înfășurarea fazei, trebuie dispuse după aceeași rază. În cazul schemei din fig. 5.114 având primele semispire ale înfășurării fazei notate respectiv cu 1

pentru  $a-x$ , cu 17 pentru  $b-y$  și cu 9 pentru  $c-z$ , rezultă schema frontală din fig. 5.119.

Înfășurarea fiind constituită din bobine cu pasul diametral  $y = \frac{Z}{2p} = \frac{24}{4} = 6$  crestături, următoarele semispire pe faze vor fi notate cu  $1+6=7$  pentru  $a-x$ ,  $17+6=23$  pentru  $b-y$  și  $9+6=15$  pentru  $c-z$ .

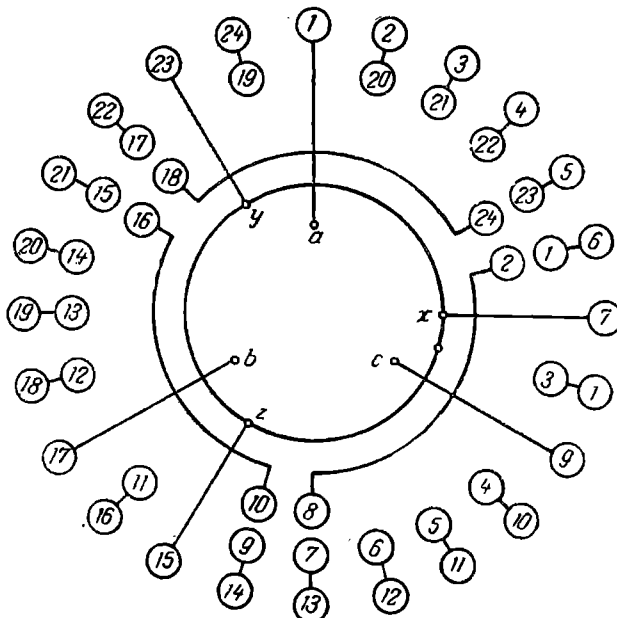


Fig. 5.119. Schema frontală a înfășurării din fig. 5.114.

iar semispira următoare din înfășurarea  $a-x$  va fi notată cu  $7+6=13$ . Capetele de legătură ale semispirelor 7 și 13, înspre inelele de contact, se dispun după aceeași rază, spre a se lege împreună. S-a stabilit astfel că numărul de ordine al capătului de legătură al semispirei din crestătura 7 trebuie dispus sub capătul de legătură al semispirei din crestătura 13.

Celelalte capete de legătură ale semispirelor din stratul interior se numerotează în ordine în sensul succesiunii fazelor, cu observația că semispirele legăturilor de întoarcere calculate la punctul 3, se dispun pe cercul de diametru  $D_3$  și au numere de ordine superioare cu o unitate față de numărul corespunzător capătului de legătură al semispirei de pe cercul  $D_2$  sub care se află.

Numerotarea capetelor de legătură ale semispirelor de pe circumferința de diametru  $D_2$  și poziția relativă a acestora față de capetele de legătură de pe cercul de diametru  $D_1$  se păstrează aceeași dacă se stabilește corect numărul de ordine și poziția relativă a unui singur capăt de legătură de pe cercul de diametrul  $D_2$ . Spre exemplu, în fig. 5.114, a două semispire din infășurarea c—z se află în crestătura 15 în stratul interior (are deci numărul 15), iar capătul de legătură de partea inelelor de contact, trebuie legat cu semispira 21 din stratul exterior; între cele două semispire fiind  $\frac{Z}{2p} = \frac{24}{4} = 6$  crestături (legătură între bobine succesive din același înconjurator) în partea inelelor de contact capetele de legătură ale semispirelor 15 interior și 21 exterior trebuie dispuse pe aceeași rază iar numerotarea pentru restul semispirelor se face în ordine în sensul succesiunii fazelor având ca origine 15 interior. Procedind analog pentru infășurarea b—y, capetele de legătură 23 interior și 5 exterior trebuie dispuse pe aceeași rază iar numerotarea se face pentru celelalte semispire din stratul interior având ca origine 23 interior. În toate cazurile se obține evident aceeași numerotare și aceeași poziție relativă a capetelor de legătură ale semispirelor în partea inelelor de contact;

7. Capetele de legătură dispuse suprapus pe aceeași rază, aparținând la semispire așezate în crestături în straturi diferite, se unesc prin mufe și lipire realizându-se astfel toate legăturile infășurării în partea inelelor de contact. Mufele înspre inelele de contact unesc bobine din același înconjurator dacă numerele de ordine ale capetelor de legătură ale semispirelor pe care le leagă, diferă cu  $\frac{Z}{2p}$  crestături. Pentru diferențe mai mari sau mai mici decât  $\frac{Z}{2p}$  crestături, legăturile sănt de trecere, respectiv încrucișate sau neîncrucișate, de la un înconjurator la altul în același sens;

8. De partea opusă inelelor de contact se leagă împreună capătul de legătură al primei semispire din infășurarea fazei cu capătul de legătură al semispirei decalate cu  $y$  crestături (în cazul infășurării constituită din bobine cu pasul diametral  $y = \frac{Z}{2p}$  crestături). Celelalte capete de legătură două căte două, se unesc prin mufe în ordinea dispunerii lor în partea frontală.

În fig. 5.120, a, b și c, sănt reprezentate schemele frontale ale infășurărilor corespunzătoare infășurărilor reprezentate desfășurat în fig. 5.115, a, b și c.

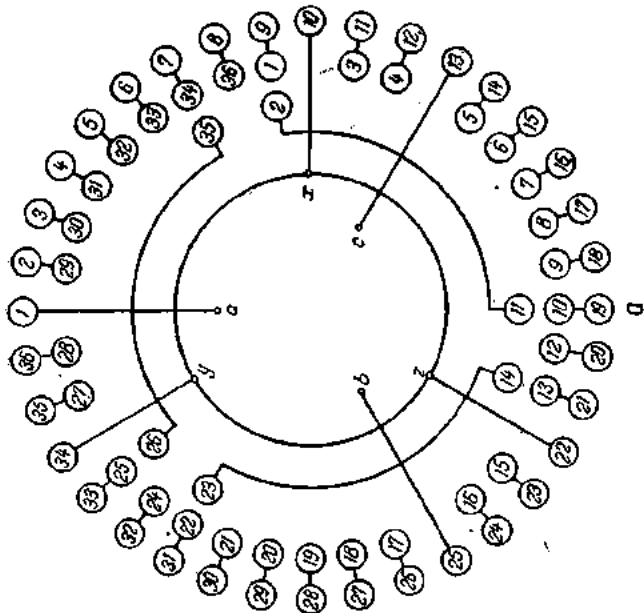
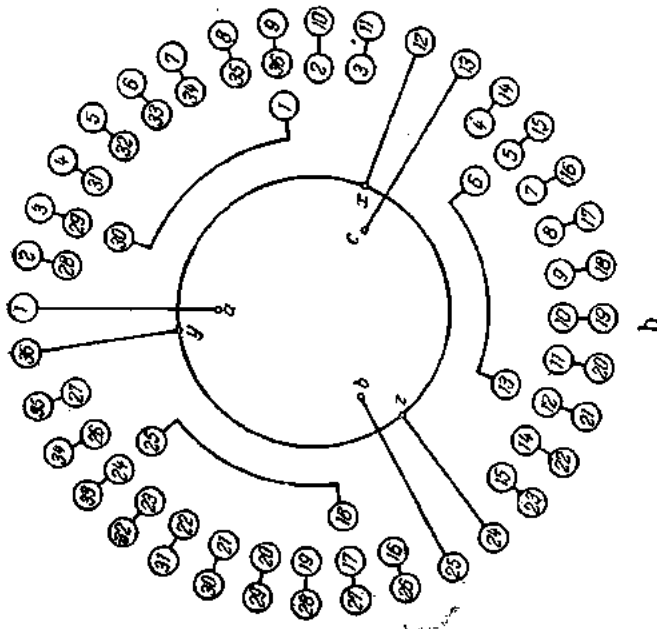
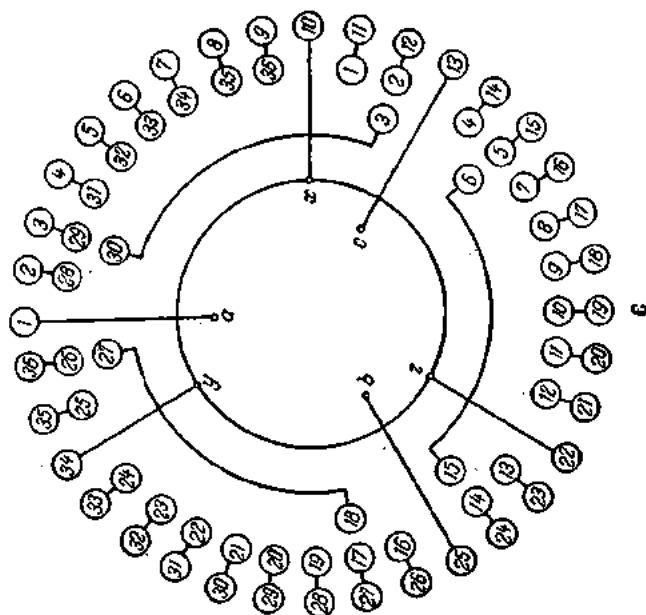


Fig. 5.120. Schema frontală a înfășurării din  
fig. 5.115, a, b, c.



## 5.4. ÎNFĂŞURĂRILE ÎN COLIVIE

### 5.4.1. Generalități. Domeniul de utilizare

Înfăşurările în colivie se execută din conductoarele așezate în crestăturile prevăzute în toalele miezurilor feromagnetice, iar capetele barelor sunt legate între ele astfel încât întreaga înfăşurare este complet scurtcircuitată. Înfăşurările în colivie se întâlnesc în construcția mașinilor sincrone și asincrone. Ele se folosesc la motoarele motoarelor asincrone (denumite și motoare cu rotorul în colivie, pentru a le deosebi de motoarele cu inele de contact, care au pe rotor o înfăşurare executată cu conductor izolat).

Ele se mai întâlnesc, de asemenea, la piesele polare ale mașinilor sincrone de puteri mijlocii și mari, cu poli aparenți; în acest caz înfăşurarea se numește înfăşurare de amortizare; ea servește la menținerea în sincronism a mașinilor sincrone în cazul variațiilor mari ale sarcinii și, uneori, și pentru pornirea acestor motoare. În construcția mașinilor sincrone mari se întâlnesc înfăşurări similare cu cea de amortizare, dar dimensionate special pentru pornirea mașinii. Aceste înfăşurări poartă numele de înfăşurări de pornire.

### 5.4.2. Înfăşurări în colivie ale motoarelor asincrone

În construcția motoarelor asincrone, înfăşurările în colivie se întâlnesc foarte des, motorul asincron cu rotorul în scurtcircuit fiind preferat pentru multe domenii de exploatare. De asemenea, motoarele asincrone trifazate de uz general de puteri mici (pînă la 10 kW) se construiesc aproape în exclusivitate cu rotorul în colivie.

Așa cum se arată în fig. 5.121, înfăşurările în colivie cu care se echipează motoarele motoarelor asincrone constau din următoarele elemente componente: conductoarele 1, neizolate, așezate în crestături de asemenea neizolate, și inelele de scurtcircuitare 2, care leagă între ele conductoarele înfăşurării.

Pe suprafetele frontale exterioare ale inelelor de scurtcircuitare de la marea majoritate a motoarelor în colivie ale motoarelor asincrone sunt așezate paletele 3, formind astfel două ventilatoare centrifugale care servesc la răcirea motorului.

Colivile se execută din cupru sau din aluminiu. Motoarele asincrone de puteri pînă la circa 100 kW au colivia rotorică turnată din

aluminiu. Pentru puteri mai mari decât 100 kW, sau în cazul în care se cer caracteristici funcționale speciale, motoarele asincrone cu rotorul în scurtcircuit sunt echipate cu colivii executate din cupru, legătura dintre bare și inelele de scurtcircuitare fiind făcută prin sudură. Turnarea aluminiului pentru colivile acestor motoare este evitată datorită dimensiunilor mari ale rotorului și dificultăților tehnologice pentru realizarea coliviei și inelelor de scurtcircuitare. În sfîrșit, în

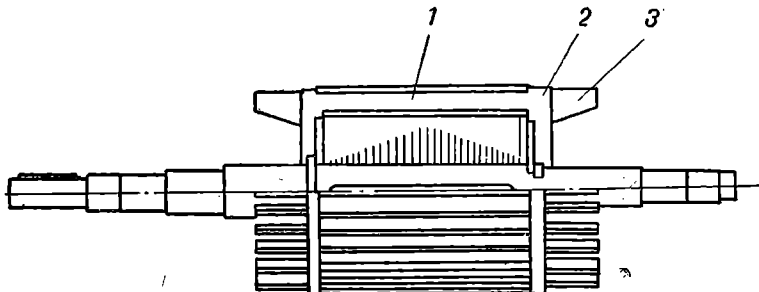


Fig. 5.121. Rotorul unui motor asincron în colivie.

construcția motoarelor asincrone mici se întâlnesc colivii executate din bare de alamă, inelele de scurtcircuitare fiind realizate din alamă sau cupru.

Intrucît în timpul funcționării motoarelor barele sunt supuse la eforturile mecanice datorite forței centrifuge și datorită regimului de funcționare (schimbarea sensului de rotație, variația bruscă a sarcinii, pornirea motoarelor etc.), la colivile executate din bare de cupru este necesară asigurarea consolidării barelor în crestături, prin alegerea corespunzătoare a jocului dintre conductor și crestătură. La colivile turnate din aluminiu nu se pune această problemă, conductoarele acestora fiind bine consolidate, datorită turnării pe miezul feromagnetic al rotorului.

#### a. Tipuri constructive de colivii

În construcția motoarelor asincrone se folosesc diferite tipuri de colivii rotorice, alese în funcție de puterea motorului, de caracteristicile de pornire (cuplul de pornire și curentul de pornire), precum și de caracteristicile de funcționare în sarcină (momentul maxim, alunecare). Din punct de vedere constructiv, tipul coliviei este determinat de forma crestăturii miezului magnetic, barele coliviei având în

general forma crestăturii în care sunt așezate. În fig. 5.122 sunt reprezentate tipurile de crestături folosite în construcția motoarelor asincrone cu caracteristici de pornire și de funcționare de uz general.

Crestăturile din fig. 5.122, a și b se întâlnesc de obicei la motoarele mici, iar crestăturile din fig. 5.122, c se întâlnesc la motoarele de puteri pînă la 100 kW. Dimensiunile conductorului fiind în limite

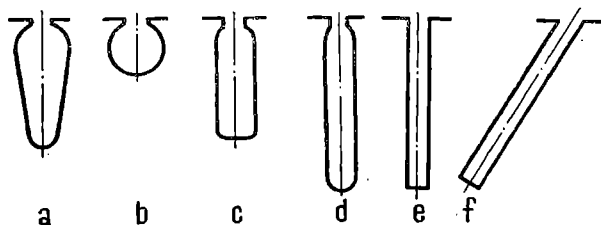


Fig. 5.122. Tipuri de crestături rotorice, folosite în construcția motoarelor asincronice normale.

normale (raportul dintre înălțimea și lățimea secțiunii este cuprins între 2,5 și 5), colivile realizate cu acest tip de conductor se numesc *colivii normale*.

În cadrul motoarelor de uz general se folosesc și crestăturile din fig. 5.122, d, e și f, cu ajutorul căror se obțin regimuri de lucru mai avantajoase. Așa cum rezultă din dimensiunile crestăturii, conductoarele sunt înguste și înalte (raportul dintre înălțimea și lățimea conductorului este mai mare decît 4). Colivile care se realizează cu acest tip de conductor se numesc *colivii cu bare înalte*. Ele se folosesc pentru obținerea unui cuplu mare la pornire și curent mai mic decît la colivile normale.

În fig. 5.123 este reprezentată fotografia unui rotor cu bare înalte al unui motor asincron.

În construcția motoarelor asincrone de putere mare și a celor cu caracteristici speciale de funcționare și de pornire se folosesc colivii ale căror conductoare sunt așezate în crestături de forme similare celor reprezentate în fig. 5.124. Asemenea colivii se numesc *colivii duble*; ele sunt formate dintr-o colivie avînd conductoarele de secțiune redusă, iar a doua realizată cu conductoare de secțiune mare. Așa cum se arată la funcționarea colivilor, datorită rolului preponderant pe care îl au în procesul de pornire, colivile cu conductoare de secțiune mică șezzate spre exteriorul miezului magnetic al rotorului se numesc colivii de pornire, în timp ce colivile așezate la baza crestăturii se numesc colivii de sarcină.

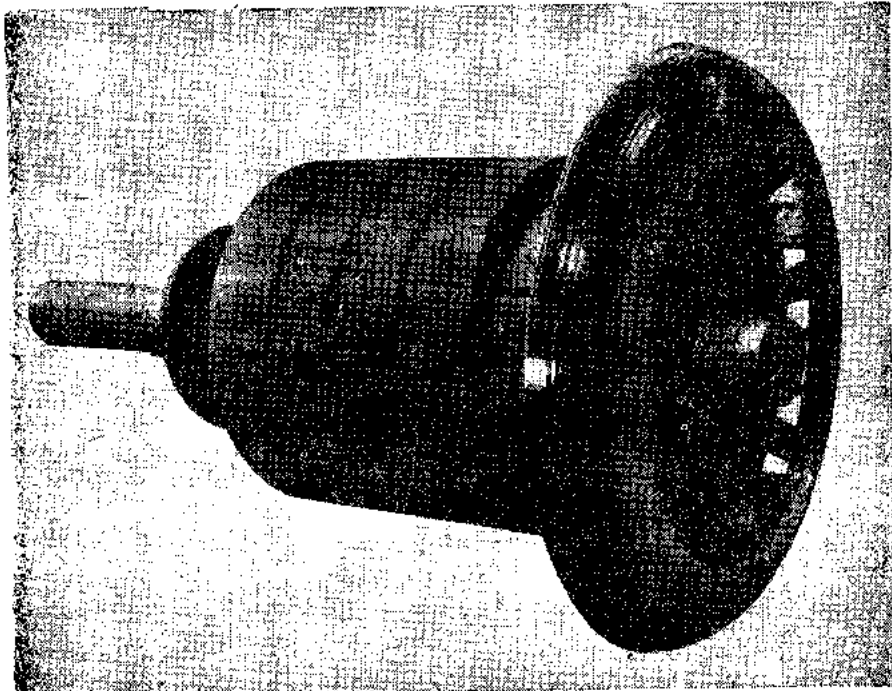


Fig. 5.123. Fotografia rotorului cu bare înalte al unui motor asincron.

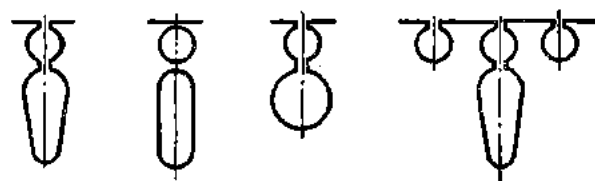


Fig. 5.124. Tipuri de crestături rotorice folosite în construcția motoarelor cu caracteristici speciale.

## b. Elementele înfășurării în colivie

Aplicând și în cazul coliviilor motoarelor asincrone metoda de reprezentare prin desfășurare, se obține reprezentarea din fig. 5.125.

Așa cum rezultă din această reprezentare, conductoarele active ocupă poziții diferite pe periferia miezului magnetic, fiecare conductor putând fi considerat că face parte dintr-un circuit în care a doua

latură o formează oricare din celelalte conductoare. Din cauza pozițiilor pe care barele coliviei le au pe periferia indușului, colivia formează o înfășurare polifazată, numărul fazelor fiind egal cu numărul barelor.

Numărul de poli ai înfășurării coliviei este egal cu numărul de poli ai înfășurării statorice a motorului asincron.

Realizarea caracteristicilor de pornire și de funcționare ale motorului asincron (respectiv valoarea cuplului de pornire, a curentului de pornire și a cuplului maxim, la valorile prescrise pentru motoarele asincrone) este determinată de dimensiunile barelor și ale inelelor de scurtcircuitare.

Fig. 5.125. Reprezentarea desfășurată a înfășurării în colivie.

Valorile mărimilor menționate anterior depind în special de rezistența electrică a coliviei. În regimul de pornire a motorului este necesar ca valoarea rezistenței să fie mare, pentru ca prin aceasta să se realizeze un cuplu mai mare și un curent absorbit de motor, din rețea, mai mic. La funcționarea în sarcină se impune ca rezistența coliviei să fie mai mică, pentru ca motorul să nu funcționeze cu o alunecare mare.

În cazul motoarelor de utilizare generală, cu caracteristici normale, cuplul și curentul de pornire nu impun măsuri speciale, colivile normale fiind satisfăcătoare. Atunci cînd însă aceste mărimi sunt condiționate să aibă valorile între anumite limite, se impune utilizarea coliviilor cu bară înaltă sau a coliviilor multiple (colivia dublă).

În cazul coliviilor cu bare înalte, la pornire, cînd frecvența tensiunii electromotoare din înfășurarea rotorului este mare (egală cu frecvența tensiunii statorice), curenții sunt refulați spre întrefier în porțiunea superioară a conductorului. Acest fenomen are ca urmare o reducere practică a secțiunii prin care trec curenții în bare și deci o mărire aparentă a rezistenței înfășurării rotorului, îmbunătățind

astfel caracteristicile de pornire ale motorului (curent de pornire redus și cuplu de pornire mare). Rotorul cu mai multe colivii asigură caracteristici de pornire superioare celor corespunzătoare rotorului bobinat cu bare înalte, deoarece la pornire (cind frecvența curentilor din rotor este mare) coliviile interioare de secțiune mare contribuie mai puțin la formarea cuplului. Pentru a mări cuplul de pornire la motoarele cu dublă colivie, coliviile exterioare se execută din bare de secțiune redusă, materialul ales având o rezistență mare, iar cele interioare din bare de secțiune relativ mare și material conductor cu rezistență mică. Colivia exterioară (de pornire) este bine să aibă o reactanță cît mai mică; pentru aceasta este recomandabil ca numărul creștăturilor rotorului să fie cît mai mare. Citeodată, coliviile exterioare se execută din aluminiu sau din bronz, iar coliviile interioare se fac din cupru. De regulă, fiecare colivie poate avea inelele sale de scurtcircuitare. Se întâlnesc însă și motoare cu inel comun de scurtcircuitare a barelor, atât interioare cît și exterioare. Dimensiunile interstițiului dintre creștăturile celor două colivii au un rol hotărător asupra caracteristicilor de pornire și funcționare ale motoarelor cu dublă colivie.

#### 5.4.3. Înfășurări de amortizare

Înfășurările de amortizare se folosesc la mașinile sincrone și se introduc în piesele polare ale rotoarelor cu poli aparenti. Prin construcția lor, înfășurările de amortizare sunt portiuni dintr-o înfășurare obișnuită în colivie simplă.

Segmentele de scurtcircuitare a barelor ce compun înfășurările de amortizare și modul în care se consolidează acestea la mașinile sincrone care au turăția sub 3 000 rot/min sint reprezentate în fig. 5.126.

La rotoarele mașinilor sincrone care au turății de 3 000 rot/min (cazul turbogeneratoarelor), rolul înfășurării de amortizare îl joacă coliviile care le formează penele introduse în creștăturile rotorului și miezului feromagnetic masiv. De regulă, la turbogeneratoare, în fiecare creștătură a rotorului se introduc mai multe pene (4–5 bucăți, cap la cap). Obișnuit, pentru a se ușura introdu-

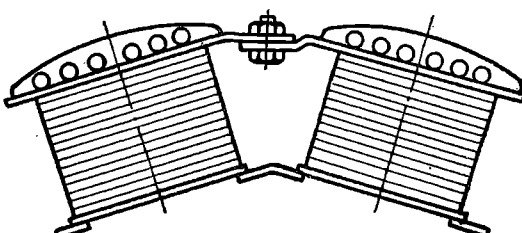


Fig. 5.126. Segmente de scurtcircuitare a barelor ce compun înfășurările de amortizare și modul lor de consolidare.

cerea acestora în crestătură, între înfăşurarea rotorului și segmentele de pană propriu-zise se aşază o platbandă din alamă pe toată lungimea crestăturii. În acest fel, porțiunile de pană alunecă mai ușor la introducere, nu deteriorează înfăşurarea și sunt legate electric între ele prin platbandă respectivă. De obicei, penele din crestături sunt legate electric între ele frontal prin căte o capotă cilindrică din material nemagnetic, care acoperă capetele frontale ale înfăşurării rotorului și care au rolul de a nu lăsa aceste părți de înfăşurare să se deformeze sub acțiunea forțelor centrifuge.

## **5.5. RECALCULAREA ÎNFĂŞURĂRILOR REPARTIZATE DE CURENT ALTERNATIV**

### **5.5.1. Introducere și relații de calcul**

De multe ori, în atelierele de bobinaj se pune problema rebobinării mașinilor electrice de curenț alternativ. Rebobinarea se poate face fie pentru caracteristicile principale (tensiune, curenț, viteză etc.) pe care le-a avut mașina *inițial*, fie pentru *alte date* de funcționare și anume pentru o altă tensiune la borne sau pentru altă turăție decât cele pe care le-a avut mașina inițial.

Determinarea caracteristicilor înfăşurării mașinii, pentru rebobinarea ei la aceleasi date nominale, este simplă dacă mașina mai este echipată încă cu înfăşurarea originală. La scoaterea înfăşurării se identifică tipul de conductor și izolația din crestătură, dimensiunile și materialul conductorului, numărul de conductoare din crestătură, tipul de înfășurare, numărul de poli, numărul de căi de curenț, pasul bobinelor și legăturile dintre bobine etc.

În cazul cînd mașina nu mai prezintă înfăşurarea originală (cînd avem numai miezul feromagnetic al mașinii) și nu se cunosc nici datele nominale ale mașinii (în urma pierderii sau deteriorării plăcuței cu datele nominale) trebuie restabilite în prealabil, prin calcul, caracteristicile înfăşurării.

Calculul înfăşurării mai este necesar și în situația cînd se schimbă datele nominale ale mașinii sau se schimbă materialul din care este executat conductorul înfăşurării (înlocuirea conductorului de cupru cu conductor de aluminiu).

Alegerea valorii maxime a *inducției magnetice* în întrefierul mașinii se face în funcție de puterea motoarelor asincrone, între limitele indicate în tabela 5.10.

*Tabela 5.10*

**Inducțiile magnetice în întrefierul motoarelor asincrone**

Puterea motorului kW	Inducția magnetică $B_\delta$ Gs
Pînă la 1	2 000—4 000
1—10	4 000—6 500
10—100	6 500—8 500

Numărul de spire pe fază se calculează din relația

$$w_1 = \frac{0,95 U_1}{4,44 f_1 k_{w_1} \Phi}, \quad (5.54)$$

în care :

$U_1$  este tensiunea pe fază, în V ;

$f_1$  — frecvența tensiunii de alimentare, în Hz ;

$k_{w_1}$  — factorul de infășurare ;

$\Phi$  — fluxul pe pol, în Wb/m<sup>2</sup>.

În tabela 5.11 sînt date valorile factorului de infășurare la infășurile cu  $q$  creștări pe pol și fază, pentru diferite valori ale raportului  $Y/\tau$  (deschideri ale bobinelor raportate la pasul polar).

**Calculul secțiunii conductorului.** Cunoscînd valoarea curentului  $I_1$  care parcurge infășurarea unei faze în regimul nominal de funcționare (curentul este trecut pe plăcuțele cu datele nominale) și alegînd în prealabil valoarea  $J$  a densității de curent, se poate calcula secțiunea conductoarelor (cu cît conductorul este mai subțire, cu atît densitatea de curent se alege mai mare).

În tabela 5.12 sînt date valorile medii ale densităților de curent pentru infășurările statorului.

Pentru infășurările rotoarelor, densitățile admisibile de curent se aleg mai mari cu 1—1,5 A/mm<sup>2</sup> față de valorile indicate în tabela 5.7. Secțiunea conductorului de bobinaj a infășurării de fază se calculează din relația

$$s = \frac{I_1}{J}, \quad (5.55)$$

în care  $I_1$  se ia în amperi,  $J$  în amperi pe milimetru pătrat, iar  $s$  rezultă în milimetri pătrați.

Tabela 5.11

**Factorul de înfășurare al fundamentalei, în funcție de numărul de crestături pe pol și fază  $q$  și de raportul  $Y/\tau$**

$q=1$		$q=2$		$q=3$		$q=4$		$q=5$		$q=6$	
$\frac{Y}{\tau}$	$k_w$										
1	1	1	0,967	1	0,960	1	0,958	1	0,955	1	0,955
2/3	0,866	5/6	0,936	8/9	0,950	11/12	0,954	14/15	0,950	17/18	0,954
1/3	0,500	4/6	0,840	7/9	0,904	10/12	0,928	13/15	0,935	16/18	0,942
—	—	3/6	0,684	6/9	0,835	9/12	0,888	12/15	0,910	15/18	0,924
—	—	—	—	5/9	0,738	8/12	0,830	11/15	0,874	14/18	0,898
—	—	—	—	4/9	0,618	7/12	0,763	10/15	0,828	13/18	0,867
—	—	—	—	—	—	6/12	0,680	9/15	0,775	12/18	0,828
—	—	—	—	—	—	—	—	8/15	0,712	11/13	0,785
—	—	—	—	—	—	—	—	7/15	0,638	10/18	0,732

Tabela 5.12

**Densițățile de curent pentru înfășurările statorului**

Pentru mașini	Limitele puterilor kW	Valorile densității de curent A/mm <sup>2</sup>	
		Pentru conduce-toare din cupru	Pentru conduce-toare din aluminiu
Închise neventilate	0,1–10	2–3	1,50–2,30
Închise suflate	0,1–100	3–4	2,30–3,00
Închise cu ventilator interior	0,1–100	4–6	3,00–4,50
Ventilate foarte puternic	0,1–100	6–8	4,50–6,10

Secțiunea conductorului se ia chiar egală cu  $s$  dacă înfășurarea nu are căi de curent în paralel și nici conducețoare în paralel pe calea de curent. În asemenea cazuri, numărul real de conducețoare de secțiune  $s$ , dintr-o crestătură, se calculează astfel

$$N_{1cr} = \frac{2w_1}{2pq} \quad \text{sau} \quad N_{1cr} = \frac{2w_1m_1}{Z_1}, \quad (5.56)$$

unde  $2w_1$  este numărul de conducețoare pe fază, iar  $2pq = \frac{Z_1}{m_1}$  este numărul de crestături pe fază.

În cazul înfășurărilor cu  $a$  căi de curent în paralel pe fază și cu  $n_p$  conductoare în paralel pe calea de curent, numărul real de conductoare din crestătură este

$$N_{lcR} = n_p \frac{2w_1 a}{2pq}; \quad (5.57)$$

secțiunea conductorului  $s$  este egală cu suma secțiunilor tuturor conductoarelor conectate în paralel pe fază, adică

$$s = a n_p s_c; \quad (5.58 \text{ a})$$

secțiunea conductorului de bobinaj este

$$s_c = \frac{s}{a n_p}. \quad (5.58 \text{ b})$$

**Coeficientul de umplere.** Se definesc mai mulți coeficienți de umplere. Coeficientul de umplere  $k_{u1}$  al crestăturii cu material activ denumit și factor de utilizare este definit astfel :

$$k_{u1} = \frac{s_c N_{lcR}}{s_{cr}}, \quad (5.59)$$

unde  $s_{cr}$  este suprafața crestăturii.

**Coeficientul de umplere al crestăturii propriu-zise este**

$$k_{u2} = \frac{N_{lcR} d_{iz}^2}{s'_{cr}}, \quad (5.60)$$

unde :

$d_{iz}$  este diametrul conductorului izolat ;

$s'_{cr}$  — secțiunea crestăturii (după izolare) disponibilă pentru înfășurare.

**Coeficientul de umplere al crestăturii cu izolație este**

$$k_{u3} = \frac{s_{iz}}{s'_{iz}}, \quad (5.61)$$

unde :

$s_{iz}$  este secțiunea izolației crestăturii ;

$s'_{iz}$  — secțiunea din crestătură necesară izolației crestăturii.

Valorile coeficienților de umplere  $k_{u1}$ ,  $k_{u2}$  și  $k_{u3}$  sunt date în tabela 5.13.

Tabela 5.13

**Valorile coeficienților de umplere  $k_{u1}$ ,  $k_{u2}$  și  $k_{u3}$ , pentru înfășurări cu bobine moi**

Tipul crestăturii	Tipul înfășurărilii	Limitele coeficienților de umplere a crestăturii		
		$k_{u1}$	$k_{u2}$	$k_{u3}$
Trapezoidală, cu mici rotunjiri la fundul crestăturii	Într-un singur strat	0,36–0,43		
	În două straturi	0,33–0,40		
Ovală, cu fundul trasat după o circumferință	Într-un singur strat		0,68–0,75	0,60–0,70
	În două straturi	0,40–0,48		
		0,36–0,43		

**Aria secțiunii transversale a crestăturii.** Pentru a verifica dacă înfășurarea calculată poate fi dispusă în crestături se poate proceda fie la o încercare directă, fie pe cale grafică, fie la efectuarea unui calcul detaliat pe baza coeficienților de umplere.

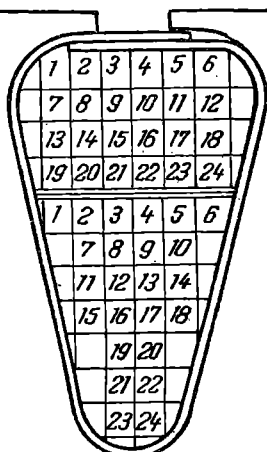


Fig. 5.127. Verificarea pe cale grafică a posibilității disponuirii conductorelor laturilor de bobine în crestătură.

Încercarea directă se efectuează astfel: se izolează crestătura, se execută separat o latură de bobină (la înfășurările într-un strat), respectiv două laturi de bobină (la înfășurările în două straturi) și se introduc în crestătură, verificindu-se astfel dacă spațiul disponibil din crestătură este suficient. Latura de bobină se execută cu același tip de conductor izolat cu care urmează să se execute înfășurarea.

Pe cale grafică se procedează astfel: se desenează crestătura izolată la o scară mărită, pe baza cotelor măsurate. Se subîmparte suprafața crestăturii prin linii paralele, la distanțe egale cu dimensiunile la scară ale conductorului izolat ca în fig. 5.127, fie în dreptunghiuri în

oazul conductoarelor dreptunghiulare, fie în pătrate în cazul conductoarelor de secțiune pătrată sau circulară. Se numără apoi spațiile subdivizate întregi și se verifică dacă numărul lor este egal cu numărul de conductoare dintr-o crestătură. Raportul dintre aria spațiilor întregi și aria crestăturii izolate este denumit coeficientul de umplere al crestăturii și are valoarea cuprinsă între 0,7 (la mașinile mici) și 0,8 (la mașinile mari).

Pentru verificarea prin calcul a posibilității de dispunere a conductoarelor în crestătură, se calculează mai întâi aria secțiunii crestăturii; în fig. 5.128 sunt reprezentate principalele tipuri de crestături întâlnite în construcția mașinilor electrice, împreună cu relațiile de calcul al ariei crestăturii.

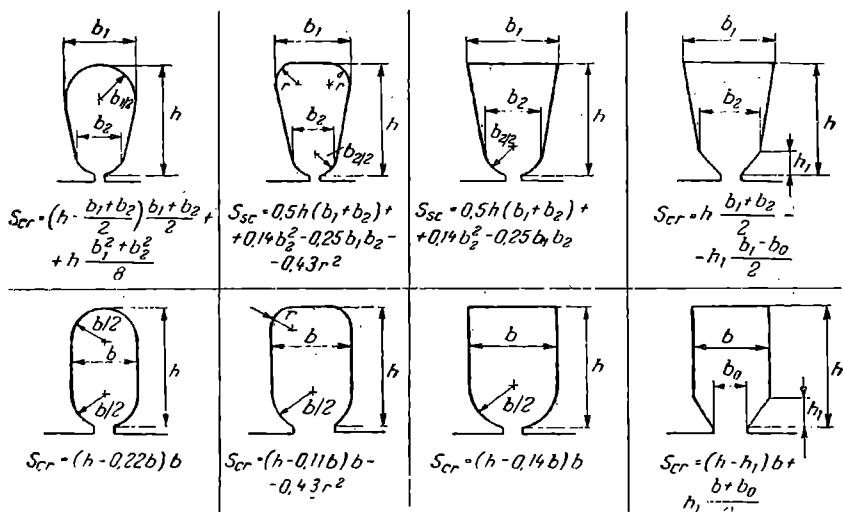


Fig. 5.128. Tipuri de crestături și relațiile de calculul ariei suprafeței crestăturilor.

Aria secțiunii conductoarelor din crestătură  $s_{ctz} \cdot N_{1,cr}$  trebuie să fie egală cu produsul dintre aria crestăturii și factorul de umplere

$$s_{ctz} N_{1,cr} = k_{ul} S_{cr}.$$

**Lungimea și cantitatea conductorului înfășurării.** Pentru calculul rezistenței și cantității de conductor a înfășurării se determină lungimea conductorului din relația

$$l_c = m w l_w,$$

în care :  $m$  este numărul de faze ;  
 $w$  — numărul de spire pe fază ;  
 $l_w$  — lungimea spirei medii.

Lungimea spirei medii se calculează cu relația

$$l_w = 2(l_g + l_f),$$

în care :  $l_g$  este lungimea geometrică a miezului ;  
 $l_f$  — lungimea frontală a conductorului dată de relația

$$l_f = \frac{(D+h)y}{Z\sqrt{1 - \left(\frac{b+1.5 \dots 11.5}{t}\right)^2}} + (20 \dots 140) \text{ [mm]},$$

cu  $D$  — diametrul interior al statorului, în mm ;

$h$  — înălțimea crestăturii, în mm ;

$Z$  — numărul de crestături ;

$y$  — pasul bobinei (în crestături) ;

$b$  — lărgimea crestăturii, în mm ;

$t = \frac{\pi D}{Z}$  — pasul crestăturilor, în mm.

Semnul (+) împreună cu dimensiunile și mărimele de mai sus pentru stator se consideră la calculul lungimii frontale a conductorului din stator, iar semnul (—) împreună cu dimensiunile și mărimele de mai sus pentru rotor (cu excepția diametrului) se consideră la calculul lungimii frontale a conductorului din rotor.

Valorile mai mici din relația pentru  $l_f$  corespund mașinilor de tensiune joasă, iar valorile mari la mașinile de tensiuni ridicate.

Masa conductorului rezultă din relația

$$M_c = \frac{1}{1000} \gamma l_c s_c \text{ [kg]},$$

în care lungimea conductorului  $l_c$  se consideră în m, secțiunea conductorului în  $\text{mm}^2$  iar densitatea conductorului în  $\text{kg/dm}^3$ ; la cupru  $\gamma_{Cu} = 8,9 \text{ kg/dm}^3$ , iar la aluminiu  $\gamma_{Al} = 2,7 \text{ kg/dm}^3$ .

### 5.5.2. Exemplu de recalculare a unei înfășurări de curent alternativ

Să presupunem că la un motor asincron trifazat se cunosc următoarele date nominale (de pe plăcuță) :

$P=36 \text{ kW}$ ,  $U=500 \text{ V}$ ,  $I=57,20 \text{ A}$ ,  $n=950 \text{ rot/min}$ ,  $\cos \varphi=0,828$ , iar înfășurarea statorului este conectată în stea.

Statorul are  $Z_1 = 72$  crestături, iar numărul de crestături pe pol și fază în stator este  $q = 4$ . Lungimea pachetului din stator, fără canale de ventilație, este egală cu 180 mm. Dimensiunile pachetului și ale crestăturilor sunt indicate în fig. 5.129. Se cere să se calculeze înfășurarea indusului.

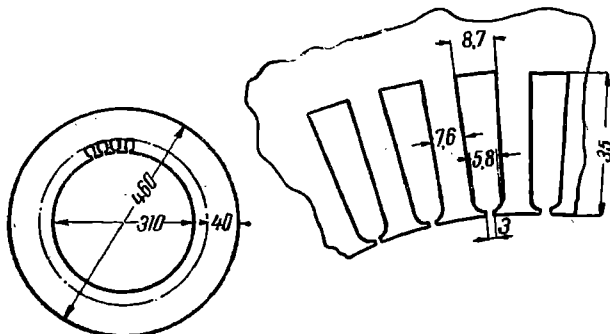


Fig. 5.129. Schița tolei statorului.

Numărul de poli ai mașinii se calculează cu relația

$$p = \frac{60 f}{n} = \frac{60 \cdot 50}{1000} = 3;$$

la turația nominală  $n = 950$  rot/min, turația sincronă este  $n_1 = 1000$  rot/min.

Pasul polar se calculează cu ajutorul relației

$$\tau = \frac{\pi D}{2p} = \frac{3,14 \cdot 31}{2 \cdot 3} = 16,20 \text{ cm} = 0,162 \text{ m.}$$

Se alege valoarea maximă a inducției în întreier :

$$B_0 = 7800 \text{ Gs} = 0,78 \text{ Wb/m}^2.$$

Fluxul pe pol este

$$\Phi = \frac{2}{\pi} B_0 \tau l_i = \frac{2}{3,14} \cdot 0,78 \cdot 0,16 \cdot 0,18 = 0,0143 \text{ Wb.}$$

Pasul polar, exprimat în număr de crestături, este :

$$y = \frac{Z_1}{2p} = \frac{72}{2 \cdot 3} = 12 \text{ crestături.}$$

Alegem o înfășurare în două straturi cu pas scurtat  $y=10$  (adică 1 la 11); se realizează astfel o scurtare de  $\frac{12-10}{12} \cdot 100 = 16,66\%$ .

Factorul de înfășurare, conform tabelei 5.4 este  $k_w = 0,958 \cdot 0,966$ . Numărul de spire pe fază este

$$w_1 = \frac{0,958 U_1}{4,44 f k_w \Phi} = \frac{0,958 \frac{500}{3}}{4,44 \cdot 50 \cdot 0,958 \cdot 0,966 \cdot 0,01447} = 93,2.$$

Numărul de conductoare într-o crestătură, în ipoteza că înfășurarea se execută cu o cale de curent pe fază și cu un singur conductor pe calea de curent, este

$$N_{lcr} = \frac{2w_1}{2pq} = \frac{2 \cdot 93,2}{2 \cdot 3 \cdot 4} = 7,76 \text{ conductoare.}$$

Secțiunea conductorului de bobinaj rezultă

$$s = \frac{I_1}{J} = \frac{57,2}{2} = 11,44 \text{ mm}^2,$$

unde  $J=5 \text{ A/mm}^2$  s-a ales din tabela 5.12.

Diametrul conductorului, corespunzător acestei secțiuni, este  $d=3,81 \text{ mm}$ .

Întrucât conductorul cu diametrul de 3,81 mm nu se poate introduce radial în crestătură, se recurge la o înfășurare cu  $a=3$  căi de curent în paralel, fiecare cale fiind realizată cu  $n_p=2$  conductoare în paralel. Secțiunea unui singur conductor este  $s_c=1,9 \text{ mm}^2$ , iar diametrul standardizat al conductorului  $d=1,55 \text{ mm}$ , respectiv  $d_{tz}=1,81 \text{ mm}$  (izolat de două ori cu bumbac). Astfel, numărul conductoarelor într-o crestătură este

$$N_{lcrR} = n_p \frac{2w_1}{2pq} = 2 \frac{2 \cdot 93,2 \cdot 3}{2 \cdot 3 \cdot 2} = 46,6 \text{ conductoare.}$$

Vom lua pe crestătură  $N_{lcr}=48$  conductoare, pentru ca bobinele componente să aibă cîte 12 spire cu cîte două conductoare în paralel, adică 24 conductoare. Bobinajul fiind executat în două straturi, în crestătură vor fi două laturi de bobine, adică 48 conductoare.

Prin rotunjirea numărului de conductoare pe crestătură de la 46,6 la 48, numărul de spire pe fază, respectiv pe calea de curent, devine  $w_1=96$  spire.

Pentru verificarea rezultatelor obținute se calculează :

— coeficienții de umplere, cu relațiile 5.59, 5.60, 5.61 ; de exemplu, factorul

$$k_{ul} = \frac{s_c N_{lcr}}{s_{cr}} = \frac{1,887 \cdot 48}{252,70} = 0,352,$$

unde  $s_{cr}$  este secțiunea crestăturii.

Valoarea coeficientului de umplere  $k_{ul}$  se încadrează între limitele indicate în tabela 5.13.

— Valoarea inducției în secțiunea medie a dinților,

$$B_{di} = 1,57 \frac{\Phi}{0,93 s_d} = 1,57 \frac{0,01447}{0,93 \cdot 0,0164} = 1,4860 \text{ Wb/m}^2 = 14\ 860 \text{ Gs},$$

unde  $s_d$  este secțiunea dinților de pe un pas de crestătură, calculată astfel :

$$s_d = \frac{Z_1}{2p} b_{d\ med} l = \frac{72}{2 \cdot 3} 0,76 \cdot 1,8 = 164 \text{ cm}^2;$$

coeficientul 0,93 din relația care dă pe  $B_{di}$  este coeficientul de umplere care ține seama de faptul că toalele miezului magnetic sunt izolate între ele cu lac.

— Valoarea inducției în jugul statorului este

$$B_j = \frac{0,5 \Phi}{0,93 s_{js}} = \frac{0,5 \cdot 0,01447}{0,93 \cdot 0,0072} = 1,0790 \text{ Wb/m}^2 = 10\ 790 \text{ Gs},$$

unde  $s_j$  este secțiunea jugului :

$$s_j = h_j l = 4 \cdot 18 = 72 \text{ cm}^2 \text{ (v. fig. 5.129).}$$

Valorile obținute pentru inducțiile  $B_d$  și  $B_j$  sunt acceptabile în mașinile electrice.

### 5.5.3. Recalcularea înfășurărilor de curent alternativ la alte caracteristici de funcționare ale mașinii

- Recalcularea înfășurării pentru o altă tensiune, celelalte caracteristici rămânind constante.  
*Exemplu de calcul*

Se dă un motor asincron trifazat cu rotorul în colivie, având în stator  $Z_1 = 36$  crestături. Înfășurarea tetrapolară ( $2p = 4$ ), la tensiunea de 220/127 V având conexiune Y/Δ, este executată într-un singur

strat în două etaje și este compusă din 6 grupe de bobine, cu cîte 2 grupe pe fiecare fază. Fiecare grupă de bobine are trei bobine. Bobinele au cîte din 24 spire din conductor de cupru izolat BB și avînd  $d_{tz}=1,3$  mm (secțiunea  $s=1,327 \text{ mm}^2$ ). Numărul de spire pe fază este

$$w_1 = \frac{N_{1cr} \cdot 2pq}{2} = \frac{24 \cdot 2 \cdot 3}{2} = 144 \text{ spire.}$$

Se cere să se rebobineze înfășurarea pentru tensiunea de 380/220 V, conexiunea fiind stea-triunghi, păstrîndu-se puterea motorului și turația lui.

Din condiția de a avea aceleasi solicitări magnetice se poate scrie :

$$w_{1 nou} = w_{1 vechi} \cdot \frac{U_{1 nou}}{U_{1 vechi}} = 144 \cdot \frac{220}{127} = 249,50,$$

iar secțiunea conductorului noii înfășurări

$$s_{nou} = 1,327 \cdot \frac{127}{220} = 0,767 \text{ mm}^2.$$

Secțiunea cea mai apropiată standardizată este 0,7854 mm<sup>2</sup>, la care corespunde diametrul  $d=1$  mm. La numărul de 249,5 spire pe fază, rezultat din calcul, corespunde un număr de conductoare în crestătură de

$$N_{1cr} = n_p \frac{2w_1}{2pq} = 1 \cdot \frac{2 \cdot 249,5}{2 \cdot 2 \cdot 3} = 41,58 \text{ conductoare.}$$

Alegem în crestătură 42 conductoare și deci numărul de spire pe fază  $w_1$  devine egal cu 252 spire. Cu noile date, înfășurarea se execută în același fel, adică într-un strat și în două etaje.

#### b. Recalcularea înfășurării pentru un număr de poli mai mic decât cel inițial

Să presupunem că la un motor cu 4 poli trebuie transformată înfășurarea pentru 2 poli (adică motorul avea înainte turația sincronă  $n_1=1\ 500 \text{ rot/min}$  și trebuie bobinat pentru turația  $n_1=3\ 000 \text{ rot/min}$ ).

În fig. 5.130 este arătat circuitul magnetic al aceluiasi motor asincron pentru patru poli (a) și pentru doi poli (b).

În cazul motorului cu patru poli, pasul polar este egal cu

$$\tau_{(2p=4)} = \frac{\pi D}{2p} = \frac{\pi D}{4}.$$

Fluxul  $\Phi_{(2p=4)}$  pe pol va străbate întrefierul mașinii trecind prin dinții statorului  $Z_{1r \ (2p=4)}$  cuprinși într-un pas polar  $\tau$ :

$$Z_{1r \ (2p=4)} = \frac{Z_1}{2p} = \frac{Z_1}{4}.$$

Dacă la acest motor se transformă infășurarea pentru  $2p=2$  adică pentru 3 000 rot/min, atunci pasul polar este

$$\tau_{(2p=2)} = \frac{\pi D}{2p} = \frac{\pi D}{2}.$$

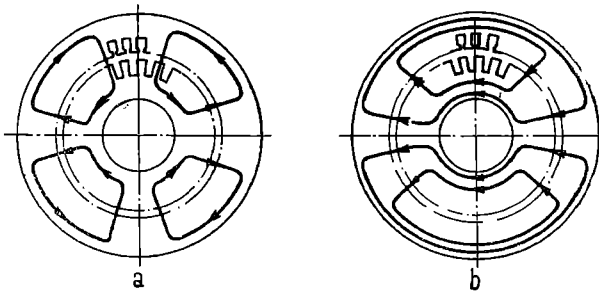


Fig. 5.130. Liniile cîmpului magnetic la o mașină :  
a — tetrapolară ( $p=2$ ); b — bipolară ( $p=1$ ).

adică dublul pasului polar de la mașina tetrapolară și anume

$$\tau_{(2p=2)} = \frac{\pi D}{2} = 2 \frac{\pi D}{4} = 2\tau_{(2p=4)}.$$

iar numărul de dinți ai statorului cuprinși într-un pas polar este

$$Z_{1r \ (2p=2)} = \frac{Z_1}{2p} = \frac{Z_1}{2}.$$

Fluxul  $\Phi_{(2p=2)}$  fiind dublul fluxului  $\Phi_{(2p=4)}$ , inducțiile magnetice în jugurile din stator și rotor la mașina având  $2p=2$  ar rezulta de două ori mai mari decât cele corespunzătoare pentru cazul  $2p=4$ , și prin urmare porțiunile respective din circuitul magnetic ar fi puternic solicitate în cazul  $2p=2$ . Pentru a avea aceleasi solicitări magnetice în juguri în ambele cazuri, pentru  $2p=2$  reducem valoarea maximă a inducției în întrefier la jumătate față de valoarea corespunzătoare cazului  $2p=4$ . Prin aceasta, fluxurile devin egale :

$$\Phi_{(2p=4)} = \Phi_{(2p=2)},$$

iar dinții motorului vor fi solicitați din punct de vedere magnetic pe jumătate pentru  $2p=2$ , în comparație cu cazul  $2p=4$ .

În ambele cazuri, puterea motorului rămîne aceeași ; astfel, cu notațiile utilizate anterior pentru primul caz ( $2p=4$ ),

$$P_{(2p=4)} = 1,161 AB_{\delta(2p=4)} D^2 l n_{1(2p=4)} k_w \cdot 10^{-12} \text{ kVA},$$

iar pentru cazul al doilea ( $2p=2$ ),

$$P_{(2p=2)} = 1,161 AB_{\delta(2p=2)} D^2 l n_{1(2p=2)} k_w \cdot 10^{-12} \text{ kVA};$$

deci,

$$P_{(2p=4)} = P_{(2p=2)},$$

deoarece

$$B_{\delta(2p=4)} = 2B_{\delta(2p=2)}$$

și

$$n_{1(2p=4)} = \frac{1}{2} n_{1(2p=2)};$$

celelalte mărimi care intervin în expresia puterilor rămîn aceleași atât pentru  $2p=4$  poli, cât și pentru  $2p=2$  poli. Aceste mărimi au următoarea semnificație :

$D$  este diametrul interior al pachetului de tole din stator, în cm ;

$l$  — lungimea activă a pachetelor de tole (fără canalele de ventilație), în cm ;

$A$  — pătura de curent (încărcarea liniară a circumferinței desfășurate) a statorului pe suprafața interioară, în A/cm ;

$B_{\delta}$  — inducția în întregier (valoarea maximă), în Gs ;

$n_1$  — turăția cîmpului magnetic învîrtitor al mașinii, în rot/min ;

$k_w$  — factorul de înfășurare.

Dacă prin transformarea înfășurării motorului de la  $2p=4$  la  $2p=2$  poli s-ar mări și pătura de curent  $A$ , puterea pe care ar putea să-o dezvolte motorul în ultimul caz ar fi mai mare. Creșterea păturii de curent o dată cu creșterea vitezei de rotație este posibilă, deoarece și ventilația mașinii devine mai intensă în acest caz.

Indiferent dacă mărim sau păstrăm constantă pătura de curent la viteză mare, motorul va avea același număr de spire pe fază, atât la viteza mică cât și la viteza mare, dacă se păstrează aceeași tensiune de alimentare și aceeași schemă de conexiune. Într-adevăr, din relațiile

$$w_{1(2p=4)} = \frac{0,95 U_1}{4,44 f k_w \Phi_{(2p=4)}}$$

și

$$w_{1(2p=2)} = \frac{0,95 U_1}{4,44 f k_w \Phi_{(2p=2)}}$$

și înăind seamă că

$$\Phi_{(2p=4)} = \Phi_{(2p=2)},$$

rezultă

$$w_{1(2p=4)} = w_{1(2p=2)}.$$

În concluzie se poate spune : transformarea înfășurării unui motor asincron de la o turărie mică la una mare se realizează prin menținerea numărului de spire pe fază și a secțiunii conductorului de bobinaj, dacă conexiunea înfășurărilor și tensiunea de alimentare rămân neschimbate în cele două cazuri ; deschiderea bobinelor componente în ultimul caz este dublă față de primul caz.

**Exemplu de calcul.** Se dă un motor asincron trifazat, cu rotorul în colivie având pe plăcuță următoare date nominale :

$$P_u = 18,4 \text{ kW} ; \quad U = 380/220 \text{ V} ; \quad \text{conexiunea } Y/\Delta ; \quad I = 34,30/59,4 \text{ A} ;$$

$$n = 720 \text{ rot/min} ; \quad \cos \varphi = 0,816.$$

Statorul are un număr de crestături  $Z_1 = 48$ . Înfășurarea din stator este executată într-un singur strat în două etaje, pe fiecare fază fiind legate în serie 4 grupe de bobine, compuse fiecare din cîte 2 bobine. Bobinele au 16 spire și sunt executate cu două conductoare de cupru în paralel ( $n_p = 2$ ), avînd diametrul de 2,6 mm. Numărul de spire legate în serie pe fază este de 128.

Se pune problema transformării înfășurării motorului de la  $2p=8$  poli la  $2p=4$  poli, păstrîndu-se conexiunea și tensiunea de alimentare.

1. Dacă noua înfășurare se va executa *într-un singur strat* și în două etaje, atunci cele  $p=2$  grupe de bobine compuse din  $q=4$  bobine constituie înfășurarea unei faze. Numărul de spire pe fază se menține, deoarece fluxul pe pol în cele două cazuri este păstrat același pentru a nu suprasolicita din punct de vedere magnetic jugurile din statorul și din rotorul mașinii, în cazul numărului mic de poli (tensiunea de alimentare și conexiunea înfășurării în cele două cazuri se păstrează). Evident că numărul de conductoare pe crestătură  $2 \times 16 = 32$  se menține, deoarece numărul de spire pe fază a rămas același (adică  $w_1 = 128$ ), iar numărul de crestături pe fază

$$Z_m = \frac{Z_1}{m} = \frac{48}{3} = 16 \text{ crestături pe fază},$$

este același în ambele cazuri.

Deci,

$$N_1 = n_p \frac{2w_1}{2pq} = 2 \frac{2 \cdot 128}{2 \cdot 2 \cdot 4} = 32 \text{ conductoare.}$$

Bobinele componente vor avea fiecare cîte 16 spire (cu două conductoare în paralel) și același diametru  $d = 2,6$  mm. Pasul noii înfășuri corespunde numărului  $2p = 4$  poli. Puterea motorului se menține; de asemenea, valorile inductiilor în jugurile din stator și rotor vor fi corespunzător aceleiași în cele două cazuri. Valoarea inducției în dinți va fi însă mai mică în cazul  $2p = 4$  față de valoarea corespunzătoare cazului  $2p = 8$ .

2. În cazul cînd *înfășurarea* se va executa *în două straturi*, fiecare bobină va avea 8 spire a două conductoare în paralel; pe latură vor fi 16 conductoare. În crestătură vor reveni două laturi de bobină, deci 32 conductoare. Se menține același conductor.

3. Dacă *înfășurarea* se execută *cu două căi de curent în paralel pe fază* și tipul de bobinaj va fi în două straturi, fiecare bobină va avea 16 spire a cîte un singur conductor.

c. *Recalcularea înfășurării pentru un număr de poli mai mare decît cel inițial*

Dacă inducția magnetică  $B_\delta$  este aceeași înainte și după recalculare, valoarea fluxului polar scade în cazul creșterii numărului de poli, deoarece deschiderea pasului polar scade. Ca o consecință a acestui fapt, numărul de spire pe fază se va schimba în raport invers față de valoarea fluxului, dacă tensiunea de alimentare pe fază se păstrează aceeași. Creșterea numărului de spire pe fază necesită scăderea secțiunii conductoarelor. În consecință, putem spune că la transformarea înfășurării motoarelor asincrone de la un număr mai mic de poli la unul mai mare, dacă se păstrează conexiunea și tensiunea de alimentare a înfășurării, numărul spirelor legate în serie pe fază, secțiunea conductorului înfășurării fazelor și puterea motorului se schimbă în felul următor :

$$w_{1p_1} = w_{1p_2} \frac{p_1}{p_2} = w_{1p_2} \frac{n_2}{n_1}; \quad s_{cp_1} = s_{cp_2} \frac{p_1}{p_2} = s_{cp_2} \frac{n_2}{n_1};$$

$$P_1 = P_2 \frac{p_2}{p_1} = P_2 \frac{n_1}{n_2},$$

dacă  $p_1$  este mai mare ca  $p_2$ .

La schimbarea înfăşurării motoarelor asincrone pentru un număr mai mare de poli, viteza de rotație scade și corespunzător acestei scăderi, ventilația mașinii se înrăutățește, se micșorează utilizarea jugului și se micșorează și factorul de putere.

În cazul cînd se cere rebobinarea motorului pentru alt număr de poli, mai mare decît cel inițial, și pentru altă tensiune de alimentare, la aceeași conexiune (sau pentru schimbarea conexiunii la aceeași tensiune), atunci se calculează mai întîi  $w_{1nou}$ ,  $s_{nou}$  și  $P_{nou}$  cu relațiile date anterior și numai după aceea se trece la aplicarea relațiilor stabilită în cazul schimbării tensiunii și menținerea aceleiași puteri (v. exemplul care urmează).

**Exemplu de calcul.** Un motor asincron trifazat cu rotorul în colivie are pe plăcuță următoarele date nominale :

$$P = 7 \text{ kW} ; U = 380/220 \text{ V} ; \text{ conexiunea } Y/\Delta ; I = 12,43/21,52 \text{ A} ; \\ n = 1\ 470 \text{ rot/min} ; \eta = 86\% ; \cos \varphi = 0,856.$$

Statorul are  $Z_1 = 36$  crestături, iar înfășurarea statorică este executată într-un singur strat în două etaje. Cele  $p=2$  grupe de bobine care compun înfășurarea unei faze sunt legate între ele în serie. Bobinele au fost executate cu trei conductoare din cupru în paralel ( $n_p = 3$ ), avind același diametru  $d = 1,95 \text{ mm}$ . Secțiunea corespunzătoare este egală cu  $2,98 \text{ mm}^2$ . În crestătură se găsesc 45 conductoare ; fiecare bobină are 15 spire.

Se cere rebobinarea motorului pentru  $2p=6$  poli (1 000 rot/min), urmînd ca acesta să funcționeze cu aceeași tensiune la borne, păstrîndu-se conexiunea înfășurării.

Numărul vechi de spire al înfășurării unei faze este

$$w_{1p_1} = \frac{N_{1cr} 2pq}{2n_p} = \frac{45 \cdot 2 \cdot 2 \cdot 3}{2 \cdot 3} = 90 \text{ spire.}$$

Numărul de spire pe fază devine

$$w_{1p_2} = \frac{n_1}{n_2} w_{1p_1} = \frac{1\ 500}{1\ 000} 90 = 135 \text{ spire.}$$

Dacă înfășurarea se va executa fără căi de curent în paralel și fără conductoare în paralel pe calea de curent, numărul conductoarelor în crestătură devine

$$N_{1cr_R} = n_p \frac{2w}{2pq} = 1 \cdot \frac{2 \cdot 135}{2 \cdot 3 \cdot 2} = 22,5.$$

Admitem două căi de curent în paralel pe fază ( $a=2$ ) și folosim pe calea de curent un singur conductor. În acest fel nu va trebui să rotunjim numărul de conductoare și deci  $N_{1cr}$  devine

$$N_{1cr} = n_p \frac{2 \cdot 2w}{2pq} = 1 \cdot \frac{2 \cdot 135 \cdot 2}{2 \cdot 3 \cdot 2} = 45 \text{ conductoare.}$$

Secțiunea conductorului înfășurării fiind

$$s_{cp_2} = \frac{n_2}{n_1} s_{cp_1} = \frac{1\,000}{1\,500} (3 \cdot 2,98) = 5,96 \text{ mm}^2,$$

rezultă secțiunea conductorului  $2,98 \text{ mm}^2$ ; se va folosi conductor de același diametru cu cel inițial.

Fiecare bobină va avea 45 spire cu un singur conductor având  $d=1,95 \text{ mm}$ . Cele două grupe de bobine, care formează înfășurarea unei faze, vor fi legate în paralel, obținându-se astfel  $a=2$  căi de curent.

#### 5.5.4. Schimbarea înfășurărilor din cupru cu înfășurări din aluminiu

În atelierele de reparații se iveste deseori problema înlocuirii înfășurărilor din cupru prin înfășurări din aluminiu. Conductorul de aluminiu se utilizează îndeosebi la motoarele asincrone.

La schimbarea înfășurării din cupru prin înfășurarea din aluminiu, dimensiunile crestăturii limitează folosirea unor conductoare de secțiune mai mare decât secțiunea conductoarelor înlocuite (la același număr de conductoare pe crestătură). Datorită acestui fapt, înlocuirea înfășurărilor din cupru prin înfășurări din aluminiu aduc pentru mașină schimbări importante din punct de vedere electric. Aceste schimbări se datorează faptului că rezistența înfășurărilor în cele două cazuri diferă (deoarece rezistivitatea aluminiului este mai mare decât a cuprului), iar densitatea de curent admisibilă pentru conductorul de aluminiu este mai mică decât pentru conductorul de cupru. Lungimea și secțiunea rămînînd aceleași,

$$l_{fcu} = l_{fAl} \quad și \quad s_{Cu} = s_{Al},$$

la număr de spire dat avem :

$$R_{Al} = \frac{\rho_{Al}}{\rho_{Cu}} R_{Cu} = \frac{0,0283}{0,0175} R_{Cu} = 1,63 R_{Cu},$$

adică schimbarea înfăşurării din cupru prin înfăşurarea din aluminiu este însotită de o creștere a rezistenței înfăşurării de aproximativ 1,63 ori.

În înfăşurarea de cupru se dezvoltă pe fază, în regim nominal de funcționare, pierderile  $R_{Cu} \cdot I_1^2$ , în care  $I_1$  este curentul nominal al mașinii, trecut pe plăcuță cu date nominale. Deoarece încălzirea mașinii trebuie să rămînă aceeași în înfăşurarea din aluminiu trebuie să se dezvolte aceleași pierderi; cum  $R_{Al}$ , este mai mare decât  $R_{Cu}$ , curentul  $I_2$  prin înfăşurarea din aluminiu trebuie să fie mai mic. Schimbând deci înfăşurările din cupru cu înfăşurări din aluminiu, curentul prin înfăşurare trebuie să fie

$$I_2 = 0,7875 I_1,$$

adică valoarea noului curent nominal va fi mai mică cu 21,25% decât cea inițială; din această cauză și puterea utilă a motorului se va reduce în același raport. La pierderi date, un motor cu înfăşurarea din cupru cu puterea  $P_n = 100$  kW va avea în cazul înfăşurării din aluminiu o putere de numai  $P_n = 78,75$  kW dacă se menține același tip de izolație și aceeași tensiune.

În concluzie, la schimbarea înfăşurărilor din cupru prin înfăşurări din aluminiu are loc o creștere a rezistenței înfăşurării pe fază cu 63% și o scădere a curentului nominal cu 21,25%. Puterea utilă a motorului în cazul înfăşurărilor din aluminiu va fi de asemenea mai mică cu 21,25% decât valoarea corespunzătoare în cazul folosirii înfăsurărilor din cupru. Factorul de putere se înrăutățește.

**Exemplu.** Se cere să se calculeze caracteristicile unui motor asincron trifazat cu rotorul în scurtcircuit, având următoarele date nominale :

$$P_n = 18,4 \text{ kW} ; U = 380/220 \text{ V} ; \text{ conexiunea } V/\Delta ; \eta = 84,80\% ;$$

$$I = 35,60/61,60 \text{ A}$$

la schimbarea înfăşurării din cupru cu o înfăşurare din aluminiu.

După rebobinarea cu un conductor din aluminiu, acest motor va avea următoarele date :  $P_n = 14,49$  kW ;  $U = 380/220$  V ; conexiunea  $V/\Delta$  ;  $I = 28,05/58,40$  A.

Pentru a nu se schimba puterea mașinii este posibil în anumite cazuri că o dată cu schimbarea materialului conductor să se utilizeze pentru conductor și creștării o altă izolație.

## 6. Înfășurări de curent alternativ cu schimbarea numărului de poli

### 6.1. GENERALITĂȚI

După cum am văzut în cap. 5 la mașinile de curent alternativ, între frecvența  $f$  a tensiunii la borne, turația sincronă  $n$  a mașinii și numărul de perechi de poli  $p$  există relația (5.3, b)

$$n = \frac{60f}{p}.$$

Prin urmare, turația sincronă  $n$  a motoarelor sincrone și asincrone depinde de frecvența  $f$  a tensiunii rețelei de alimentare și de numărul de poli  $2p$  ai mașinii. De menționat că la mașina sincronă turația auxului mașinii este egală cu turația sincronă, iar la mașina asincronă turația axului la mers în gol constă mai mică decât turația sincronă.

O dată ales numărul de poli, la generatoarele sincrone, la turație dată rezultă frecvența.

O metodă pentru schimbarea în trepte a turației sincrone  $n$  la frecvența  $f$  dată, în cazul motoarelor sau pentru schimbarea în trepte a frecvenței  $f$  la turație  $n$  dată, în cazul generatoarelor, este schimbarea numărului de perechi de poli  $p$ .

Această metodă este utilizată frecvent la motoarele asincrone pentru schimbarea în trepte a vitezei de mers în gol. De obicei, numai înfășurarea statorului este comutată din exterior, iar rotorul este echipat cu o înfășurare în colivie, potrivită pentru oricare număr de perechi de poli, fără să fie necesară schimbarea conexiunilor.

La motoarele sincrone, metoda este utilizată pentru schimbarea în trepte a vitezei, iar la generatoarele sincrone și îndeosebi la hidrogeneratoare, la care se aleg de obicei două viteze sincrone de lucru, pentru a permite utilizarea rațională a turbinei de antrenare, înfășurarea statorului și înfășurarea de excitație se prevăd cu schimbarea numărului de poli, o dată cu schimbarea vitezei, în vederea menținerii constante a frecvenței.

Motoarele asincrone care lucrează în regim special, cu porniri foarte dese, se echipează de asemenea cu înfășurări cu schimbarea numărului de poli, în vederea pornirii lor în două trepte. Avantajul acestor înfășurări constă în reducerea pierderilor la pornire; răndamentul crește, iar încălzirea mașinii în regim de pornire scade.

### 6.1.1. Principiul după care se execută înfășurările cu schimbarea numărului de poli

Metodele practice utilizate la înfășurările trifazate pentru schimbarea numărului de poli, de exemplu în raportul 2 : 1, constau în :

— comutarea înfășurării în aşa fel încit să se obțină schimbarea sensului curentului în diferitele porțiuni de înfășurare ale fazelor, potrivit formării numărului de perechi de poli ;

— schimbarea conexiunilor între grupele de bobine, repartizindu-le altfel, pe cele trei faze, de cum au fost conectate inițial, încit să se obțină numărul de poli respectiv.

Alteori în practică se combină cele două metode indicate, adoptându-se scheme în care se schimbă atât sensurile curenților prin diferitele porțiuni, cît și inserierea unor porțiuni de înfășurări în alte faze decât în faza în care au fost conectate inițial.

În cazul schimbării sensului curentului prin anumite porțiuni de înfășurare, se execută înfășurarea de fază din două sau trei porțiuni simetrice, care de cele mai multe ori sunt chiar grupele de bobine ale înfășurării. Pentru a se putea schimba curentul printr-o porțiune, este necesar să se scoată capetele porțiunilor de înfășurare la placa de borne.

În fig. 6.1, a este reprezentată schematică înfășurarea tetrapolară ( $2p_2 = 4$ ) a unei faze, cu bobinele inseriate (o singură cale de curent), iar în fig. 6.1, b s-a reprezentat o înfășurare bipolară ( $2p_1 = 2$ ) obținută din prima după schimbarea conexiunilor astfel încit curentul prin bobinele 3—4 să fie inversat (prin  $p_2$  s-a notat numărul dublu de perechi de poli în raport cu numărul simplu  $p_1$ ) ; pentru aceasta s-a desfăcut legătura dintre bobinele 2 și 3, s-a schimbat borna X de la 4 la 3 și s-a reunuit 2 cu 4. Pentru a putea efectua aceste scheme de conexiune, înfășurarea de fază trebuie să aibă patru capete scoase la cutia de borne (bornele 1, 2, 3, 4) ; prin urmare la înfășurarea trifazată sunt necesare în total 12 borne. În fig. 6.1, c și d sunt reprezentate înfășurările înainte și după schimbarea numărului de poli, bobinele înfășurării fiind conectate în paralel (două căi de curent). Pe figură s-au notat de asemenea și polii care se formează.

Din figură se observă că, dacă înfășurarea este cu pas diametral pentru numărul dublu de poli (în cazul înfășurării din fig. 6.1, a și c,  $2p_2 = 4$ ), atunci la numărul de poli pe jumătate, înfășurarea este cu pas scurtat la jumătate.

Din fig. 6.1, a, b, c și d se mai constată că pentru a efectua schimbarea numărului de poli, începuturile și sfîrșiturile grupelor de bobine trebuie scoase la placa de borne (în acest caz particular fiecare fază necesită 4 borne, iar înfășurarea trifazată necesită în total 12 borne).

Schimbarea numărului de poli în același raport  $2 : 1$ , de la 8 la 4 sau de la 12 la 6 etc., se face în mod asemănător, înfășurările respective fiind compuse din două sau mai multe înfășurări de tipul celor indicate, în fig. 6.1, a, b, c și d.

În figura 6.1, e și f este reprezentată schematic, pe grupe de bobine, o înfășurare a unei faze pentru  $2p_2=8$  (fig. 6.1, e) și pentru  $2p_1=4$  (fig. 6.1, f) după schimbarea conexiunilor.

Din această figură se constată că, oricare ar fi numărul de perechi de poli la care se efectuează comutarea, sănătatea minimum 12 borne la aceste scheme pentru schimbarea numărului de poli de la  $2p_2$  la jumătate, adică  $2p_1=\frac{2p_2}{2}$ .

Înfășurările cu schimbarea numărului de poli sunt practice cînd numărul de borne pe care le sănătate este mic; comutatorul pentru schimbarea conexiunilor la borne are în acest caz o construcție mai simplă.

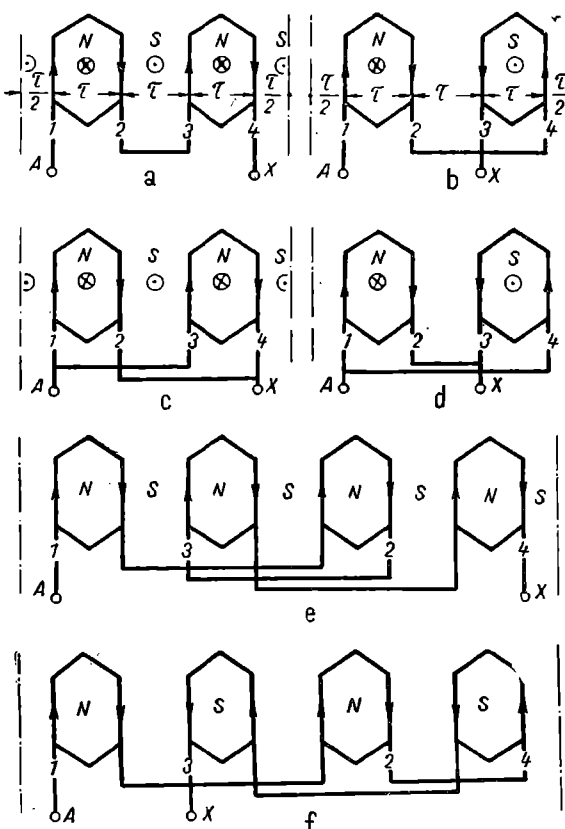


Fig. 6.1. Schemele de principiu ale înfășurării de fază cu schimbarea numărului de poli :

a — înfășurarea tetrapolară a unei faze ( $a=1$ ); b — înfășurare bipolară a aceleiași faze ( $a=1$ ); c — înfășurarea tetrapolară a unei faze ( $a=2$ ); d — înfășurarea bipolară a aceleiași faze ( $a=2$ ); e — înfășurarea cu opt poli a unei faze ( $a=1$ ); f — înfășurarea cu patru poli a aceleiași faze ( $a=1$ ).

Numărul de borne se poate micsora mai mult, pînă la 6, dacă se combină schimbarea numărului de poli cu schimbarea schemei de conexiuni a înfășurării. Se constată că, de fapt, în schemele precedente, fiecare înfășurare de fază se compune din două porțiuni de înfășurare

(notate cu 1—2, respectiv 3—4), iar schimbarea numărului de poli se obține prin inversarea curentului într-o parte din aceste porțiuni (în care scop s-au schimbat bornele 3 și 4 între ele). Dacă se presupune că înfășurarea este conectată în triunghi, schimbarea numărului de poli se obține schimbând alimentarea de la bornele A, B, C (fig. 6.2, a) la bornele A', B', C' (fig. 6.2, a) la bornele A', B', C', numărul de borne reducindu-se în acest caz la 6;

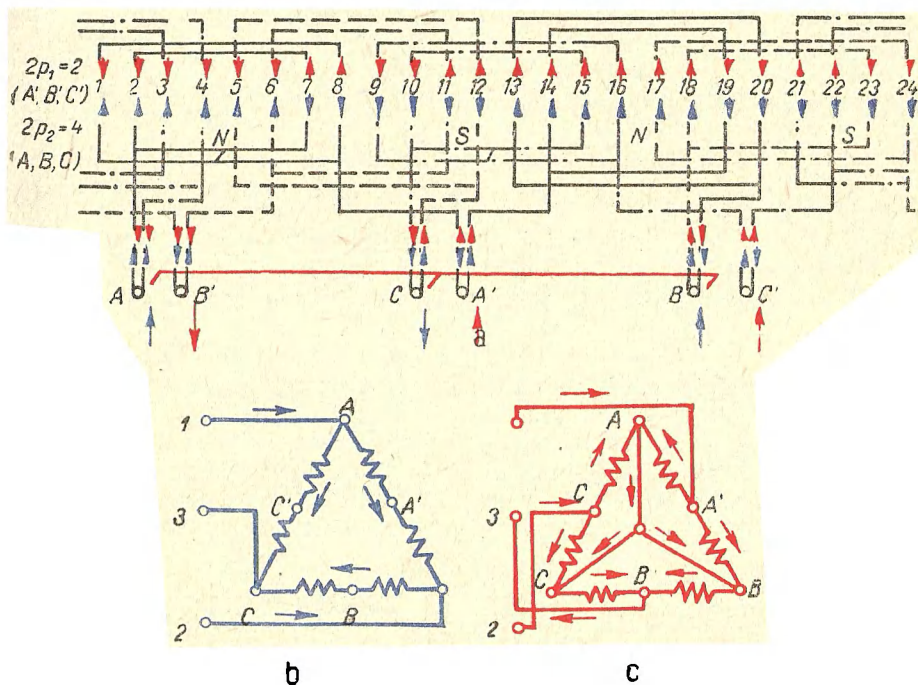


Fig. 6.2. Schema și legăturile unei înfășurări cu schimbarea numărului de poli la putere aproximativ constantă (conexiuni tip Dahlander):

a — schema desfășurată a unei înfășurări trifazate într-un strat,  $Z=24$ , tetrapolară,  $q_1=2$ , cu alimentarea la bornele A, B, C,  $n_e=1\ 500$  rot/min, și bipolară,  $q_1=4$ , cu alimentarea la bornele A', B', C',  $n_e=3\ 000$  rot/min; b — schema de conexiuni triunghi ( $\Delta$ ) pentru înfășurarea tetrapolară; c — schema de conexiuni dublă stea (YY) pentru înfășurarea bipolară.

totodată se reunesc între ele bornele A, B, C. În această figură sensurile curentilor au fost notate, pentru  $2p_1=2$  în partea de sus, înfășurarea fiind alimentată pe la bornele A', B', C', și pentru  $2p_2=4$  în partea de jos, dacă înfășurarea se alimentează pe la bornele A, B, C. Din fig. 6.2, b și c rezultă că s-a trecut de fapt de la schema de co-

nexiuni triunghi la schema de conexiuni dublă stea (adică stea cu două căi de curent în paralel).

De remarcat că, o dată cu schimbarea numărului de poli, trebuie efectuată la această schemă și o intervertire a două faze, pentru ca mașina să-și păstreze sensul de rotație. Din fig. 6.2, b și c rezultă că, la trecerea de la schema de conexiuni triunghi la schema de conexiuni dublă stea, s-au intervertit între ele fazele 2 și 3.

Necesitatea intervertirii fazelor rezultă din fig. 6.2, a. De subliniat că schimbarea sensului de învărtire se datorează schimbării succesiunii fazelor. Când se alimentează înfășurarea pe la bornele A, B, C se constată că după faza A, la  $\frac{2}{3} \cdot \frac{Z}{2p_2} = \frac{2}{3} \cdot \frac{24}{4} = 4$  crestături spre dreapta, urmează faza B, în schimb dacă se alimentează înfășurarea pe la bornele A', B', C' se constată că după faza A', la  $\frac{2}{3} \cdot \frac{Z}{2p_1} = 8$  crestături spre dreapta, urmează faza C' și deci succesiunea fazelor este schimbată. Pentru a menține aceeași succesiune a fazelor înfășurării este necesară intervertirea fazelor înainte de conectarea lor la rețeaua de alimentare.

Conexiunea înfășurării cu schimbarea numărului de poli prezentată anterior este cunoscută sub numele de conexiunea Dahlander și este foarte răspândită în practică. La placa de borne sunt necesare șase borne. Înfășurarea trifazată este conectată în triunghi la  $2p_2=4$  poli și este comutată în stea dublă la  $2p_1=2$  poli. Conexiunea tip Dahlander se poate aplica la orice motor asincron trifazat având înfășurarea comutabilă în raportul 2 : 1 a polilor, respectiv a turăției.

### 6.1.2. Caracteristicile mașinii înainte și după schimbarea numărului de poli

O dată cu schimbarea numărului de poli la o înfășurare de curent alternativ a unui motor asincron se modifică și caracteristicile de funcționare ale mașinii : cuplu, tensiune, curent etc.

Din paragraful precedent (fig. 6.2) rezultă că înfășurarea are o schemă de conexiuni  $\Delta$  la numărul dublu de perechi de poli  $p_2$  și schema YY la numărul simplu de perechi de poli  $p_1$ . Există și înfășurări la care se realizează numărul dublu de poli  $2p_2$  la conexiunea YY, iar numărul înjumătățit de poli  $2p_1$  la conexiunea  $\Delta$  (v. fig. 6.18).

Modificarea schemei de conexiuni în vederea schimbării numărului de poli atrage după sine schimbarea numărului de spire pe fază de la o schemă de conexiune la alta, schimbarea tensiunii pe fază (dacă tensiunea rețelei rămîne aceeași), a curenților din înfășurare, a

cuplului mașinii etc. Totodată se schimbă și pasul înfășurării ; o înfășurare diametrală la numărul dublu de poli devine pentru numărul înjumătățit de poli o înfășurare cu pas scurtat. Acest fapt atrage după sine modificarea factorului de înfășurare al înfășurării.

Convenim să notăm cu :  $P_2$  — puterea,  $U_2$  — tensiunea pe fază,  $M_{2\max}$  — cuplul maxim,  $I_2$  — curentul și  $k_{w2}$  factorul de înfășurare pentru conexiunea corespunzătoare numărului mare de poli, respectiv  $P_1$ ,  $U_1$ ,  $M_{1\max}$ ,  $I_1$  și  $k_{w1}$  aceleasi mărimi corespunzătoare numărului mic de poli.

În cele ce urmează se examinează pe rînd rapoartele  $U_2/U_1$ ,  $M_{2\max}/M_{1\max}$ ,  $I_2/I_1$ ,  $P_2/P_1$  în funcție de raportul inducțiilor magnetice în întrefier  $\frac{B_2}{B_1}$ , raportul factorilor de înfășurare  $\frac{k_{w2}}{k_{w1}}$ , raportul numărului de perechi de poli  $\frac{p_2}{p_1}$  și raportul numărului de spire  $\frac{w_2}{w_1}$ .

Raportul tensiunilor pe fază se poate scrie aproximativ astfel :

$$\frac{U_2}{U_1} = \frac{B_2}{B_1} \cdot \frac{k_{w2}}{k_{w1}} \cdot \frac{w_2}{w_1} \cdot \frac{p_1}{p_2}. \quad (6.1)$$

Dacă tensiunea de linie rămîne neschimbată, raportul tensiunilor pe fază este dat, de exemplu, la trecerea de la schema de conexiuni  $\Delta$  pentru  $p_2$ , la schema de conexiuni YY, pentru  $p_1$ , rezultă că raportul tensiunilor pe fază este  $\frac{U_2}{U_1} = \sqrt{3}$ . În acest caz, în funcție de celelalte valori ale rapoartelor  $\frac{k_{w2}}{k_{w1}}$ ,  $\frac{w_2}{w_1}$  și  $\frac{p_1}{p_2}$ , rezultă raportul  $\frac{B_2}{B_1}$  al inducțiilor magnetice, care este foarte important pentru stabilirea celorlalte caracteristici ale mașinii.

Raportul cuplurilor maxime se poate scrie, cu aproximație, astfel

$$\frac{M_{2\max}}{M_{1\max}} \approx \left( \frac{B_2}{B_1} \right)^2 \left( \frac{k_{w1}}{k_{w2}} \right)^2 \left( \frac{p_1}{p_2} \right); \quad (6.2, a)$$

pentru  $k_{w1} \approx 1$ ,  $k_{w2}=0,7$ , iar  $p_2=2p_1$  rezultă raportul cuplurilor maxime

$$\frac{M_{2\max}}{M_{1\max}} \approx \left( \frac{B_2}{B_1} \right)^2. \quad (6.2, b)$$

În ipoteza că mașina este solicitată identic, adică raportul inducțiilor magnetice  $\frac{B_2}{B_1}$  are aproximativ valoarea 1, rezultă că mașina dezvoltă aproximativ același cuplu maxim la ambele viteze ; o astfel de înfășurare este potrivită pentru motoarele care funcționează la cuplu rezistent constant, indiferent de viteză.

În funcție de valoarea solicitărilor magnetice și de valoarea factorilor de infășurare în cele două cazuri se pot realiza și infășurări potrivite pentru motoarele care funcționează cu cuplu rezistent la arbore de tip ventilator (produs de exemplu de un ventilator).

În sfîrșit, dacă la viteza mai mică se alege o inducție magnetică mai mare și un factor de infășurare de aproximativ 0,7, cuplul dezvoltat de mașină este mai mare la numărul de poli mare.

Raportul curentilor de pornire are expresia:

$$\frac{I_{p2}}{I_{p1}} \approx \left( \frac{B_2}{B_1} \right)^2 \left( \frac{k_{w2}}{k_{w1}} \right)^2 \left( \frac{p_1}{p_2} \right)^2; \quad (6.3)$$

examinînd acest raport pentru valorile uzuale ale rapoartelor  $\frac{B_2}{B_1}$  și  $\frac{k_{w2}}{k_{w1}}$  rezultă că la numărul mare de poli, curentul de pornire este sensibil mai mic decît la numărul mic de poli. Din această cauză, în-

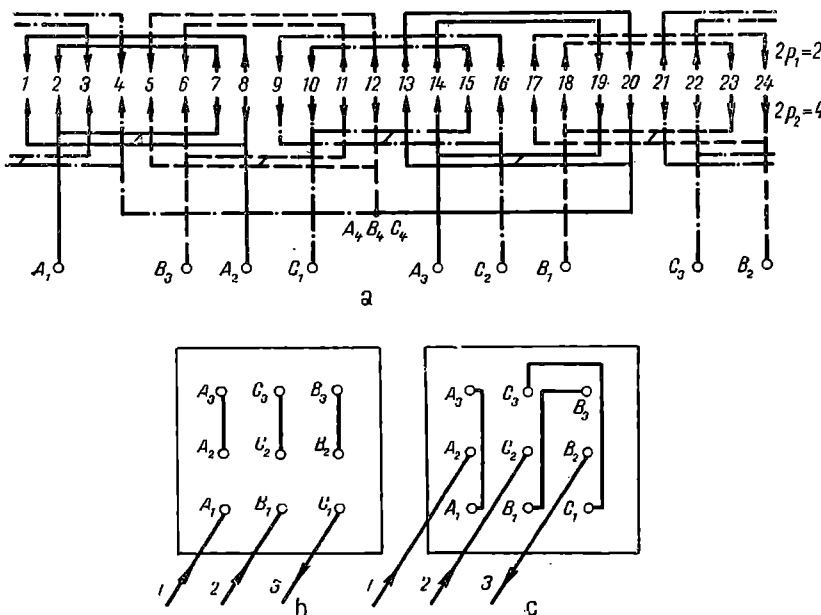


Fig. 6.3. Schema și legăturile unei infășurări cu schimbarea numărului de poli la putere constantă :

a — schema desfășurată,  $Z=24$  crestături; b — schema de conexiuni la borne, stea ( $\gamma$ ) pentru  $2p_2=4$  poli; c — schema de conexiuni la borne, stea ( $\gamma$ ) pentru  $2p_1=2$  poli.

făşurărilor cu schimbarea numărului de poli se utilizează nu numai pentru schimbarea în trepte a vitezei de mers în gol, ci și în vederea micșorării pierderilor la pornire, îndeosebi la motoarele cu porniri dese. În acest caz, mașina se pornește cu conexiunea corespunzătoare numărului mare de poli și se comută apoi pe conexiunea corespunzătoare numărului de poli.

Raportul puterilor nominale, în ipoteza că rămîn aceleași capacitați de suprasarcină, este

$$\frac{P_2}{P_1} \approx \left( \frac{B_2}{B_1} \right)^2 \left( \frac{k_{w1}}{k_{w2}} \right)^2 \left( \frac{p_1}{p_2} \right)^2 \approx \left( \frac{U_2 w_1}{U_1 w_2} \right)^2. \quad (6.4)$$

De exemplu, la înfășurarea din fig. 6.2 rezultă  $\frac{U_2}{U_1} = \sqrt{3}$ ; deoarece înfășurarea la conexiunea YY are  $w_1 = \frac{w_2}{2}$  spire ( $w_2$  este numărul de spire pe fază la conexiunea  $\Delta$ ), raportul puterilor devine

$$\frac{P_2}{P_1} \approx \left( \sqrt{3} \cdot \frac{1}{2} \right)^2 = \frac{3}{4} = 0,75.$$

Înfășurarea din fig. 6.2 este potrivită, deci, pentru motoarele funcționând în regimul în care puterea la arbore variază puțin de la viteză mică (numărul mare de poli) la viteză mare (numărul mic de poli). Se spune că la astfel de înfășurări comutarea se face la putere aproximativ constantă.

Înfășurarea reprezentată în fig. 6.3, a necesită 9 borne; prin schimbarea numărului de poli, conexiunea Y a înfășurării rămîne aceeași. În fig. 6.3, b și c se arată legăturile pe care le realizează comutatorul de prize la schimbarea numărului de poli. Dacă prin intercalarea fazelor se asigură o alungire, respectiv o scurtare, în așa fel încât factorul de înfășurare să rămînă același, schimbarea numărului de poli se poate efectua la puterea constantă în cazul acestei înfășurări, deoarece tensiunea pe fază și numărul de spire rămîn constante.

Aceeași înfășurare se poate conecta și în triunghi pentru ambele numere de perechi de poli (fig. 6.4), puterea motorului rămînind constantă la cele două viteze.

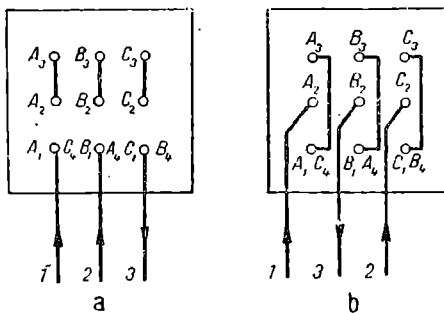


Fig. 6.4. Schema legăturilor la borne a înfășurării din fig. 6.3, a pentru schimbarea numărului de poli la putere constantă :

a — schema de conexiuni la borne, triunghi ( $\Delta$ ), pentru  $2p_2=4$  poli; b — schema de conexiuni la borne, triunghi ( $\Delta$ ), pentru  $2p_2=2$  poli.

## 6.2. ÎNFAŞURARI CU SCHIMBAREA NUMĂRULUI DE POLI ÎN RAPORTUL 2:1

### 6.2.1. Înfăşurări într-un strat

În paragraful precedent s-au prezentat scheme de înfăşurări într-un singur strat cu schimbarea numărului de poli la putere aproximativ constantă (fig. 6.2) și respectiv la putere constantă (fig. 6.3 și 6.4).

Înfăşurarea reprezentată în fig. 6.5 este potrivită pentru a se asigura un cuplu constant la axul motorului la cele două turări corespunzătoare numărului de poli  $2p_2=4$  (conexiunea Y, fig. 6.5, b) și

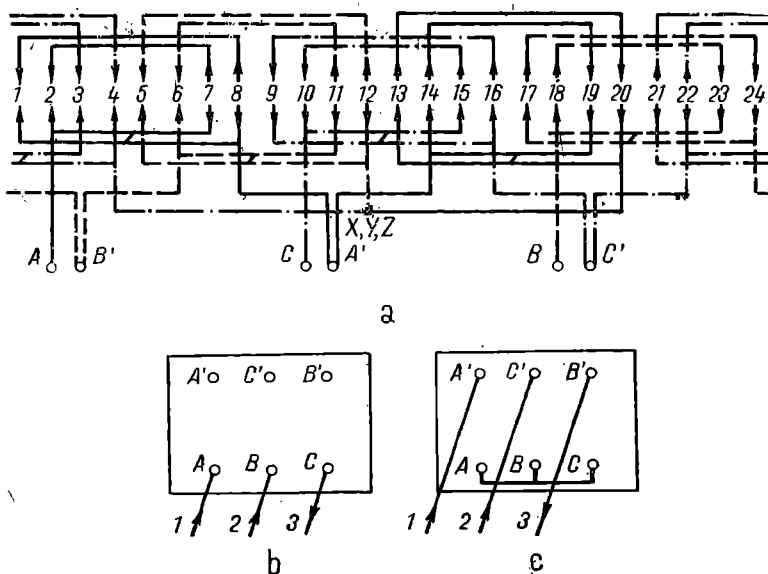


Fig. 6.5. Schema și legăturile unei înfăşurări cu schimbarea numărului de poli la cuplu constant :

a — schema desfășurată,  $Z=24$  creștări; b — schema de conexiuni la borne, stea (Y), pentru  $2p_2=4$  poli; c — schema de conexiuni la borne, dublă stea (YY), pentru  $2p_2=2$  poli.

$2p_1=2$  (conexiunea YY, fig. 6.5, c). Numărul de borne este redus în acest caz la 6. Legăturile la placă de borne pentru înfăşurarea cu schimbarea numărului de poli la cuplu constant, conexiunile fiind triunghi ( $\Delta$ ) respectiv dublu triunghi ( $\Delta\Delta$ ), sunt reprezentate în fig. 6.6.

Dacă la aceeași înfășurare din fig. 6.5, a se adoptă schemele de conexiuni indicate în fig. 6.7, la trecerea de la numărul mare de poli la numărul mic de poli cuplul mașinii crește, realizându-se astfel un motor cu caracteristica cuplului de tip ventilator. De remarcat că această înfășurare necesită 9 borne (la  $2p_2=2$ , schema de conexiuni este stea, iar la  $2p_1=1$  este dublu triunghi). Dacă legăturile la placa de borne se fac conform celor indicate în fig. 6.8 (vezi notațiile înfășurării din fig. 6.3, a), atunci se poate realiza schimbarea numărului de poli la cuplul aproximativ constant.

Înfășurările într-un strat cu schimbarea numărului de poli având numere de poli multiplu întreg de 4 pentru viteza mică de rotație, respectiv multiplu întreg de 2 pentru viteza mare de rotație, se deduc ușor din înfășurările aşa-zise „elementare“

$\left(\frac{4 \text{ poli}}{2 \text{ poli}}\right)$ , reprezentate mai înainte. Astfel, înfășurarea din fig. 6.9, având  $2p_2=8$  și  $2p_1=4$ , cuprinde în ea de două ori înfășurarea „elementară“ cōrespunzătoare reprezentată în fig. 6.2. De observat ordinea în care sunt legate între ele grupele de bobine, care compun înfășurarea aceleiași faze : grupele impare se leagă între ele formind o semiînfășurare, în timp ce grupele pare formează a doua semiînfășurare. La fel se realizează și înfășurarea având  $2p_2=12$  și  $2p_1=6$  reprezentată în fig. 6.10 ; această înfășurare cuprinde în ea trei înfășurări „elementare“.

În mod similar se poate realiza orice înfășurare într-un singur strat cu schimbarea numărului de poli în raportul 2 : 1. De exemplu, înfășurarea avind  $2p_2=16$  și  $2p_1=8$  cuprinde patru înfășurări „elementare“, iar înfășurarea cu  $2p_2=20$  și  $2p_1=10$  cuprinde cinci înfășurări „elementare“ etc.

Și înfășurările care au numărul de creștături pe pol și fază  $q_2$  diferit de doi (înfășurări diferite, din acest punct de vedere, față de cele analizate mai înainte) se realizează în același fel, numai că la aceste înfășurări schema de legături dintre bobine este determinată de valoarea lui  $q_2$ . Astfel, înfășurarea având  $2p_2=8$ ,  $2p_1=4$  și  $q_2=1,5$ , reprezentată în fig. 6.11, nu diferă în privința legăturilor dintre grupele de bobine, de înfășurarea din fig. 6.9, care are de asemenea

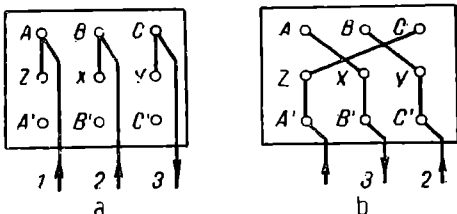


Fig. 6.6. Schéma legăturilor la borne a înfășurării din fig. 6.5, a pentru schimbarea numărului de poli la cuplul constant :

a — schema de conexiuni la borne, triunghi ( $\Delta$ ), pentru  $2p_2=4$  poli; b — schema de conexiuni la borne, dublu triunghi ( $\Delta\Delta$ ), pentru  $2p_1=2$  poli.

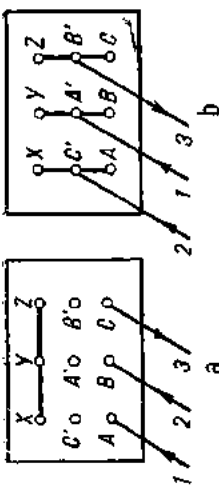


Fig. 6.7. Schéma legăturilor la borne a înăsperării din fig. 6.5, a pentru schimbarea numărului de poli la cuplu ventilator : a — schema de conexiuni la borne, stea ( $Y$ ), pentru  $2p_1=4$  poli; b — schema de conexiuni la borne triunghi ( $\Delta$ ), pentru  $2p_1=2$  poli.

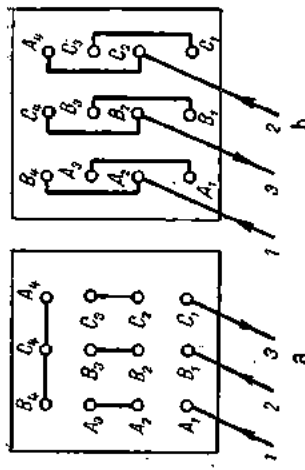


Fig. 6.8. Schéma legăturilor la borne a înăsperării din fig. 6.3, a pentru schimbarea numărului de poli la cuplu aproximativ constant  
a — schema de conexiuni la borne stea ( $Y$ ) pentru  $2p_1=4$  poli; b — schema de conexiuni la borne dublu triunghi ( $\Delta_t$ ), pentru  $2p_1=2$  poli.

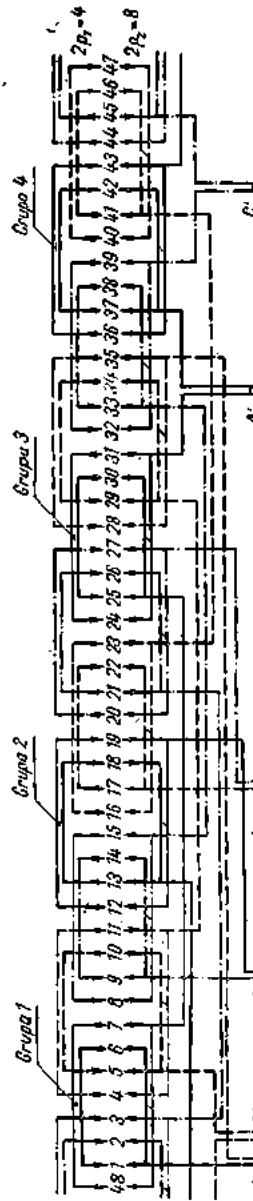
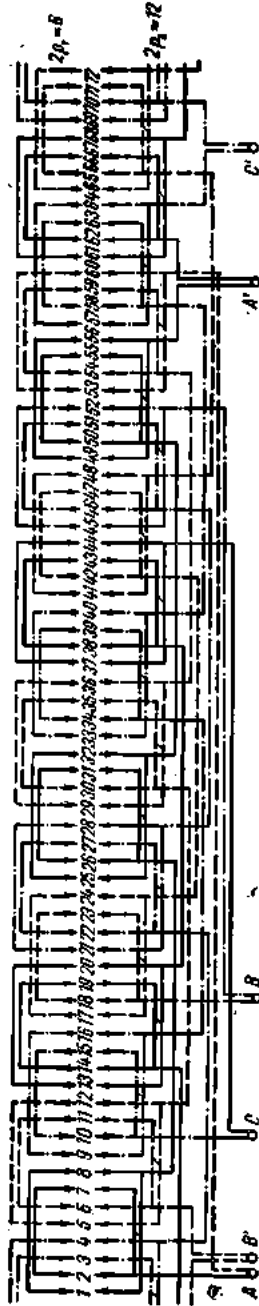
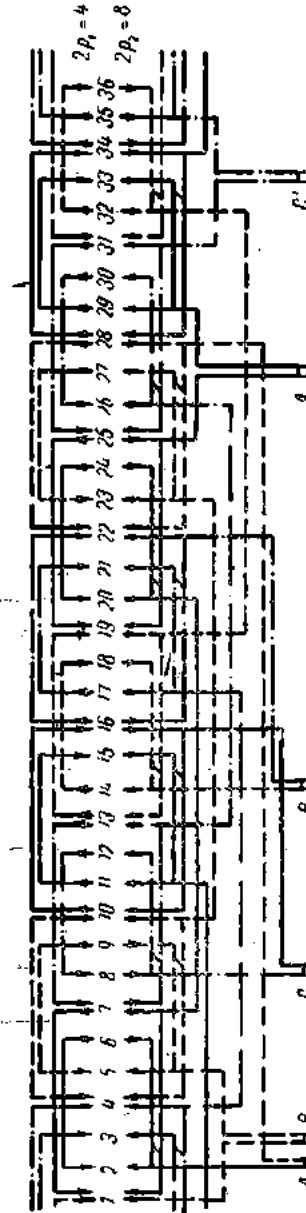


Fig. 6.9. Înăsperare trifazată într-un singur străut cu schimbarea numărului de poli în raportul 2:1, avind  $Z=48$ ,  $2p_1=8$  și  $2p_2=4$  (legăturile sănt secăse pentru conexiunea tip Dahländer).



**Fig. 6.10.** Îmfășurare trifazată într-un singur strat cu schimbarea numărului de poli în reportul 2 : 1, având  $Z=72$ ,  $2p_1=12$  și  $2p_2=6$  (legăturile sunt scoase pentru conexiunea tip Dahlander).



**Fig. 6.11.** Întăsurarea tritată într-un singur strat cu schimbarea numărului de poli în raportul 2 : 1, având  $Z=36$ ,  $2p_2=8$ ,  $2p_4=4$  și  $q_2=1,5$ . Degărurile sunt scoase pentru conexiunea tip Dahländer.

$2p_2=8$  și  $2p_1=4$ . Deosebirea constă în diferența constructivă dintre grupele de bobine care compun cele două înfășurări. Înfășurarea din fig. 6.11 având  $q_2=1,5$  a fost executată parțial într-un strat și parțial în două straturi, numărul grupelor de bobine fiind egal cu acela al înfășurării din fig. 6.9.

O înfășurare care ar avea  $2p_2=8$ ,  $2p_1=4$  și  $q_2=3$  să compune din același număr de grupe de bobine ca și înfășurările reprezentate în fig. 6.9 și 6.11, numai că în acest caz fiecare grupă va fi compusă din trei bobine ; înfășurarea va necesita 72 creștări. Pentru cazul  $2p_2=2$ ,  $2p_1=4$  și  $q_2=4$  înfășurarea, va fi compusă din grupe de cîte patru bobine repartizate în 96 creștări.

Pornind de la înfășurările „elementare“ cu  $q_2$  dat se pot determina schemele pentru orice înfășurare cu schimbarea numărului de poli în raportul  $2 : 1$ , indiferent care vor fi valorile  $2p_2$ ,  $2p_1$  și  $q_2$ . De exemplu, o înfășurare având  $2p_2=12$ ,  $2p_1=6$  și  $q_2=3$  va fi compusă din grupe de cîte trei bobine și va avea 108 creștări.

### 6.2.2. Înfășurări în două straturi

În prezent, înfășurările cu schimbarea numărului de poli se execută în general ca înfășurări în două straturi.

Înfășurările în două straturi se execută de regulă ca înfășurări cu pas scurtat, cu scurtare de 50% pentru numărul mic de poli ; în acest fel se obține o înfășurare simetrică la ambele viteze.

În cele ce urmează vor fi reprezentate schemele unor înfășurări în două straturi, având conexiunea tip Dahlander. Dacă începuturile și sfîrșiturile celor șase semiînfășurări se scot la plăca de borne, așa cum s-a arătat mai înainte, se poate realiza oricare din următoarele scheme : schimbarea numărului de poli la putere aproximativ constantă, la putere constantă, la cuplu constant, la cuplu aproximativ constant și la cuplu tip ventilator. Subliniem și aici faptul că la o înfășurare dată, calculată pentru o anumită tensiune pe semiînfășurare, se pot realiza numai acele scheme care au aceeași tensiune pe semiînfășurare.

În fig 6.12 este reprezentată schema unei înfășurări „elementare“  $\left\{ \begin{array}{l} 4 \text{ poli} \\ 2 \text{ poli} \end{array} \right\}$  executată în dublu strat cu extinderea totală a zonelor, având două creștări pe pol și fază, pentru înfășurarea corespunzătoare tutăriei de bază (1 500 rot/min). De observat că această înfășurare are  $Z=24$ ,  $q_2=2$  și este dedusă din înfășurarea „elementară“ corespunzătoare executată într-un singur strat, reprezentată în fig. 6.2, a.

Înfășurarea din fig. 6.13 are trei zone la  $2p_2=4$ . Această înfășurare este echivalentă din punct de vedere electric cu înfășurarea din fig. 6.12, numai că prima este executată în coroană de grupe de bobine.

Toate înfășurările cu schimbarea numărului de poli care ar avea  $q_2=2$  și ar cuprindă în ea de mai multe ori înfășurarea „elementară”

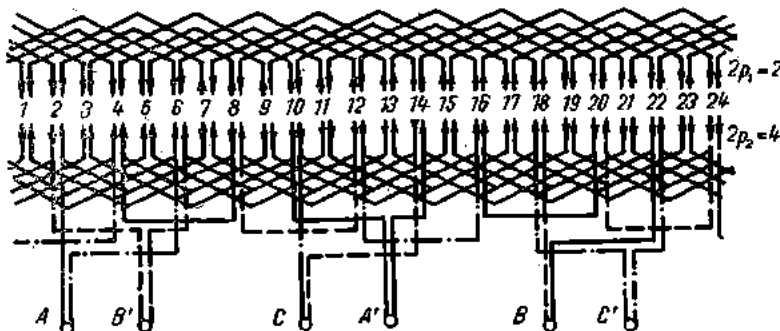


Fig. 6.12. Înfășurarea trifazată în două straturi în coroană de semigrupuri de bobine, cu schimbarea numărului de poli în raportul  $2:1$ , având  $Z=24$ ,  $2p_1=2$  și  $2p_2=4$  și  $q_2=2$  (legăturile sunt scoase pentru conexiune tip Dahlander).

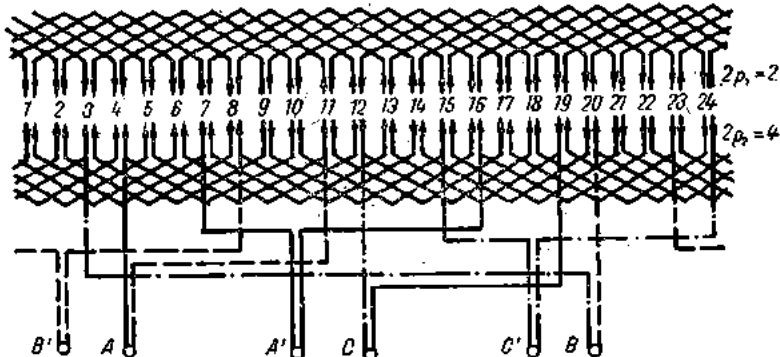


Fig. 6.13. Înfășurarea din fig. 6.12, executată în coroană de bobine.

din fig. 6.13, se pot stabili cu ușurință după modul indicat în cazul înfășurărilor similare într-un strat. De exemplu, înfășurarea din fig. 6.14, având  $2p_2=8$ ,  $2p_1=4$  și  $q_2=2$ , cuprindă de două ori înfășurarea „elementară” din fig. 6.13. Legăturile între grupele de bobine ce formează cele şase semînfășurări se fac în mod similar celor din

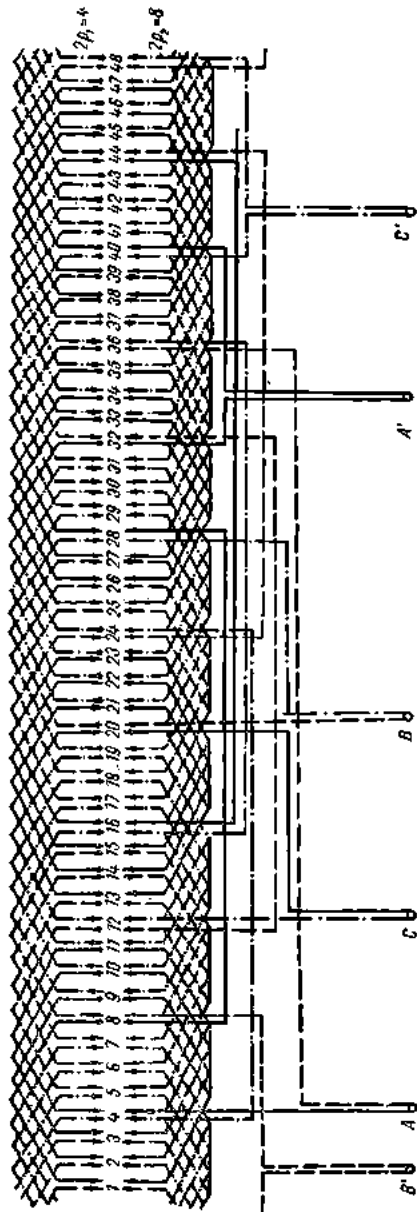


Fig. 6.14. Infăsurare trifazată în două straturi cu schimbarea numărului de poli în raportul  $2:1$ ,  $Z=48$ ,  $2p_1=8$ ,  $2p_2=8$ ,  $2p_1=4$  și  $q_2=2$  (legăturile sănt scoase pentru conexiunea tip Dahlander).

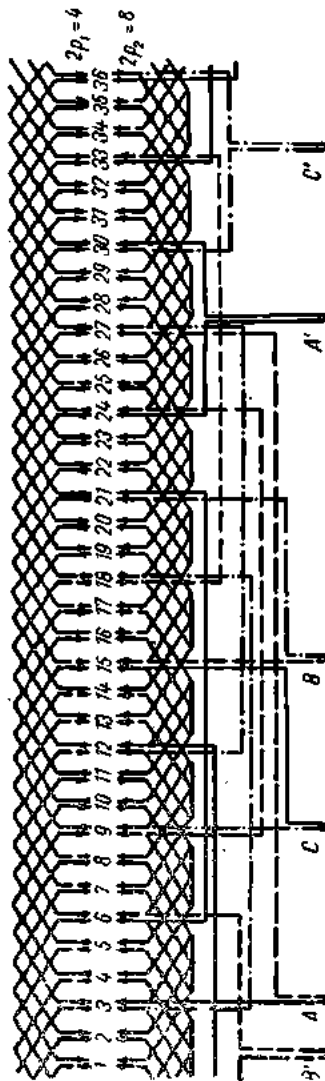


Fig. 6.15. Infăsurare trifazată în două straturi cu schimbarea numărului de poli în raportul  $2:1$ , avind  $Z=36$ ,  $2p_2=8$ ,  $2p_1=8$ ,  $2p_1=4$  și  $q_2=1,5$  (legăturile sănt scoase pentru conexiunea tip Dahlander).

fig. 6.9, unde este reprezentată aceeași înfășurare executată însă în simplu strat. Înfășurările cu  $q_2=2$  și  $2p_2=12$ ,  $2p_1=6$  au 72 crestături și cuprind trei înfășurări „elementare“, cele cu  $2p_2=16$  și  $2p_1=8$  au 96 crestături, și cuprind patru înfășurări „elementare“, iar cele cu  $2p_2=20$  și  $2p_1=10$ , au 120 crestături și cuprind cinci înfășurări „elementare“.

Înfășurările în două straturi cu schimbarea numărului de poli, care au  $2q_2=2$ , se realizează din punctul de vedere al legăturilor dintre grupele de bobine la fel ca înfășurările reprezentate mai înainte, numai că grupele acestora trebuie să conțină  $2q_2$  bobine. Astfel, înfășurarea din fig. 6.11 executată în două straturi este reprezentată în fig. 6.15 ; înfășurarea „elementară“ corespunzătoare acestei înfășurări are 18 crestături.

În fig. 6.16 este reprezentată înfășurarea „elementară“ având  $q_2=4$  ; la aceasta, grupele de bobine sunt compuse din cîte opt bobine ( $2q_2$ ).

O înfășurare avînd  $q_2=1$ , cu  $2p_2=12$  și  $2p_1=6$  este reprezentată în fig. 6.17. Ea conține trei înfășurări „elementare“, revenindu-i fiecărei cîte 12 crestături.

Pornind de la înfășurările „elementare“ cu  $q_2$  dat se pot determina și în cazul înfășurărilor în două straturi schemele oricăror înfășurări cu schimbarea numărului de poli în raportul 2 : 1, indiferent care vor fi valorile  $2p_2$ ,  $2p_1$  și  $q_2$ .

Toate înfășurările reprezentate pînă acum, cu legături scoase pentru conexiunea Dahlander, realizează la conexiunea triunghi ( $\Delta$ ) numărul mare de poli ( $2p_2$ ), iar la conexiunea dublă stea ( $YY$ ) numărul mic de poli ( $2p_1$ ). Legînd între ele grupele de bobine conform celor indicate în fig. 6.18 se obțin scheme care asigură numărul mare de poli la conexiunea dublă stea ( $YY$ ) și numărul mic de poli la conexiunea triunghi ( $\Delta$ ). De observat, în cazul acestei scheme, că legăturile dintre grupele de bobine ce compun semiînfășurările celor trei faze sunt astfel executate încît la schema de conexiuni dublă stea se obține turația joasă, iar la schema de conexiuni triunghi se obține turația ridicată. Pentru conexiunea triunghi se leagă faza 1 la borna A, faza 2 la borna B și faza 3 la borna C, iar bornele  $A'$ ,  $B'$  și  $C'$  rămîn libere. Sensurile figurate pe laturile bobinelor (sensurile de sus) corespund momentului în care curentul parurge înfășurarea de la bornele fazelor 1 și 2 și ieșe din faza 3. Se formează astfel  $2p_1=4$  poli ; cînd se alimentează bornele  $A'$  legată la faza 1,  $B'$  legată la faza 3 și  $C'$  legată la faza 2, bornele A, B și C fiind legate între ele, se formează o dublă stea.

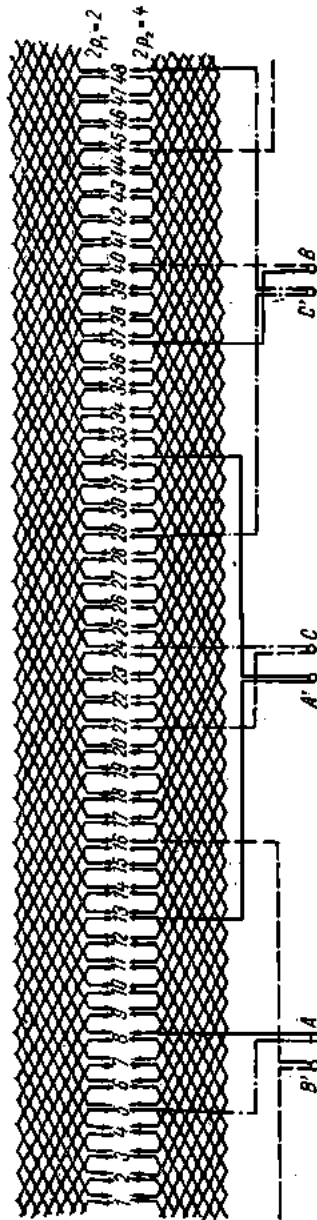


Fig. 6.16. Înășurare trifazată în două straturi, cu schimbarea numărului de poli în raportul 2 : 1, avind  $Z=48$ ,  $2p_1=4$ ,  $2p_2=2$  și  $q_2=4$  (legăturile sunt scoase pentru conexiunea tip Dahländer).

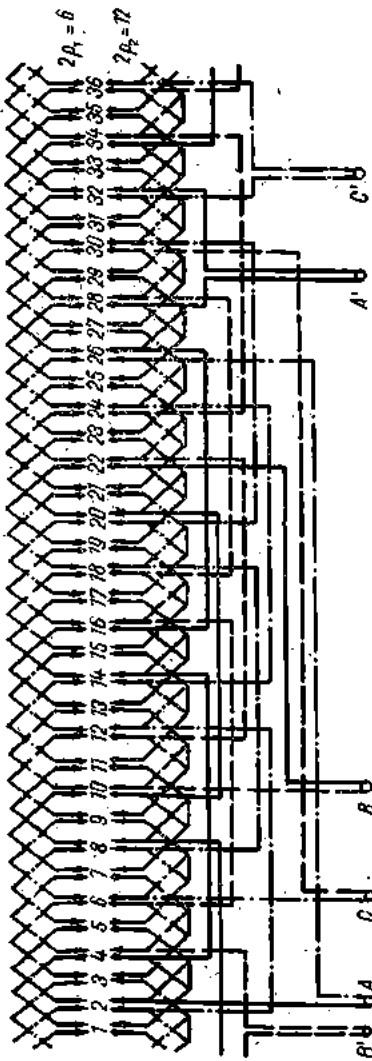


Fig. 6.17. Înășurare trifazată în două straturi, cu schimbarea numărului de poli în raportul 2 : 1, avind  $Z=36$ ,  $2p_2=12$ ,  $2p_1=6$  și  $q_2=1$  (legăturile sunt scoase pentru conexiunea tip Dahländer).

Sensurile corespunzătoare de pe laturile bobinelor (sensurile de jos) indică formarea numărului mare de poli ( $2p_2=8$  poli).

Modul deosebit de legare a grupelor de bobine pentru obținerea conexiunilor  $YY/\Delta$ , respectiv  $\Delta/YY$ , rezultă din comparația schemelor din fig. 6.18 și 6.14. Având ca model acest exemplu, toate schemele tip Dahlander cu conexiunile  $\Delta/YY$ , pot fi transformate, prin legături corespunzătoare între grupele de bobine, în scheme cu conexiunile  $YY/\Delta$ .

De observat că pasul bobinelor care compun înfășurările din fig. 6.14 și 6.18 este mai mare decât pasul diametral corespunzător numărului mare de poli, adică înfășurarea este cu pas scurtat pentru numărul mic de poli și cu pas lungit pentru numărul mare de poli. În acest fel, factorii de înfășurare în cele două cazuri au aproximativ aceeași valoare, dar se obțin în schimb nesimetrii importante ale cîmpului magnetic învîrtitor și apar cîmpuri de scăpări relativ mari în întreier.

Înfășurările cu extinderea totală a zonelor asigură un cîmp magnetic învîrtitor simetric numai cînd pasul bobinelor componente este egal cu pasul diametral corespunzător numărului mare de poli.

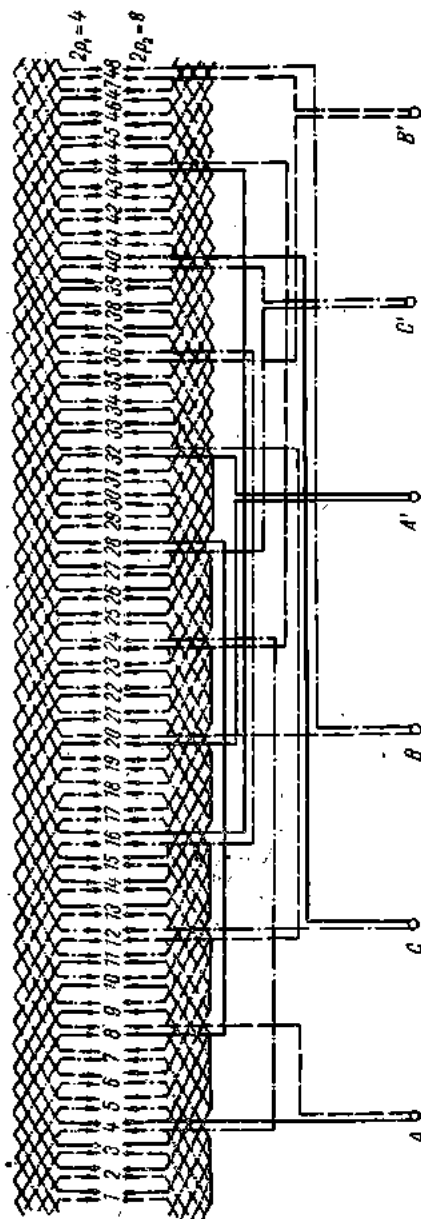


Fig. 6.18. Înfășurarea trifazată în două straturi, cu schimbarea numărului de poli în raportul 2 : 1, având  $Z=48$ ,  $2p_1=4$ ,  $2p_2=8$ , conexiunea  $YY/\Delta$ .

### 6.3. INFĂŞURĂRI CU SCHIMBAREA NUMĂRULUI DE POLI ÎN RAPOARTE DIFERITE DE 2 : 1

Există scheme de infăşurări pentru motoarele asincrone prin care se realizează rapoarte de numere de poli egale cu  $3 : 2$  sau  $4 : 3$ ; s-au construit și infăşurări care realizează trei sau chiar patru rapoarte de numere de poli, mărindu-se astfel corespunzător numărul treptelor de viteză.

În cele ce urmează se vor prezenta scheme de infăşurări trifazate prin care se realizează rapoarte de numere de poli diferite de  $2 : 1$ , cu o singură infăşurare, și scheme prin care se realizează trei și chiar patru trepte de turatie, tot printr-o singură infăşurare.

Înfăşurarea reprezentată în fig. 6.19, a are  $2p_2 = 6$ , raportul numerelor de poli fiind  $6 : 2$  și este construită într-un singur strat. Schemele de legături la placa de borne sunt indicate în fig. 6.19, b și c.

La ambele numere de poli, infăşurarea este conectată în stea; realizarea celor două numere de poli se face în acest caz prin schimbarea pozițiilor porțiunilor de infăşurare dintr-o fază în alta (vezi infăşurarea înainte de conectare și după conectare).

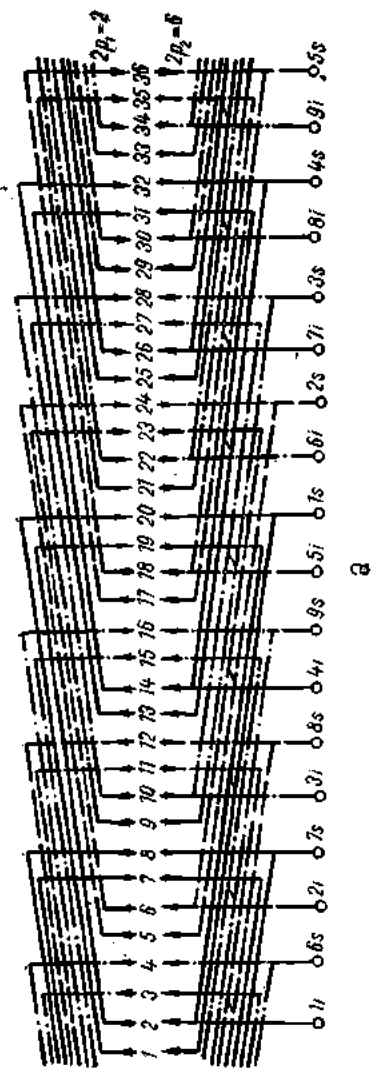
În fig. 6.20, a este reprezentată schema desfăşurată a unei infăşurări în două straturi cu schimbarea numărului de poli în raportul  $8 : 6$ . Deschiderea bobinelor este egală cu 5 pași în crestături (1 la 6), iar pașii diametrali sunt 4,5 crestături pentru prima treaptă a vitezei și 6 crestături pentru a doua treaptă a vitezei. Înfăşurarea are 18 ieșiri la placa de borne și necesită 16 borne.

Schemele de legături la placa de borne sunt arătate în fig. 6.20, b și c; infăşurarea este conectată în stea la ambele numere de perechi de poli.

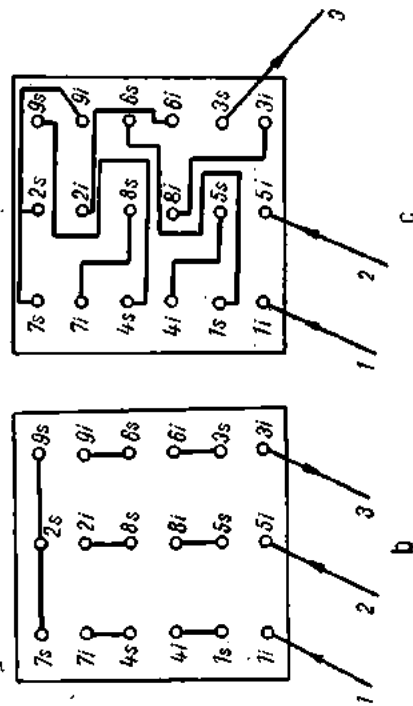
În cazurile tratate în acest paragraf metoda constă în conectarea anumitor porțiuni de infăşurare dintr-o fază în altă fază. Astfel, în faza  $A_1A_3$  la numărul mare de poli sunt cuprinse porțiunile de infăşurare  $A_1A'_1$ ,  $A_2A'_2$  și  $A_3A'_3$  (fig. 6.20, b), iar la numărul mic de poli sunt cuprinse porțiunile  $A_1A'_1$ ,  $C_2C'_2$  și  $B_3B'_3$  (fig. 6.20, c).

De observat că între placa de borne a motorului și comutator se află 15 conductoare de legătură, cîte un conductor pentru fiecare bornă. Legarea a două borne între ele (fig. 6.20, b și c) este realizată de comutator la schimbarea numărului de poli.

Pentru infăşurările care ar trebui să asigure schimbarea turatiei în același raport ( $750/1\,000$  rot/min) și ar avea alt număr de crestă-



a



c

b

Fig. 6.19. Schema și legăturile unei înășurări cu schimbarea numărului de poli în raportul 6:2:

a — schema desfășurată 2=36 creștături; b — schema de conexiune la borne, stă (Y), pentru  $2p_2=6$  poli;

c — schema de conexiune la borne stă (Y), pentru  $2p_2=2$  poli.

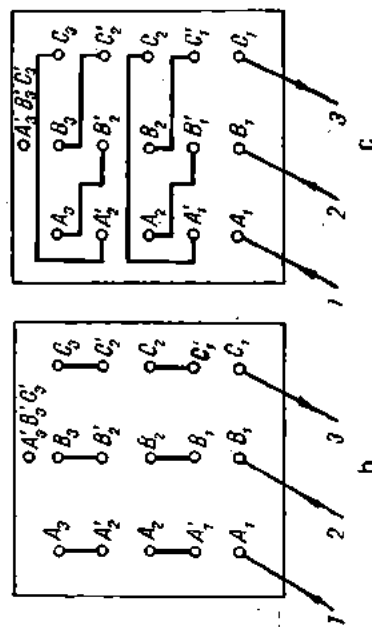
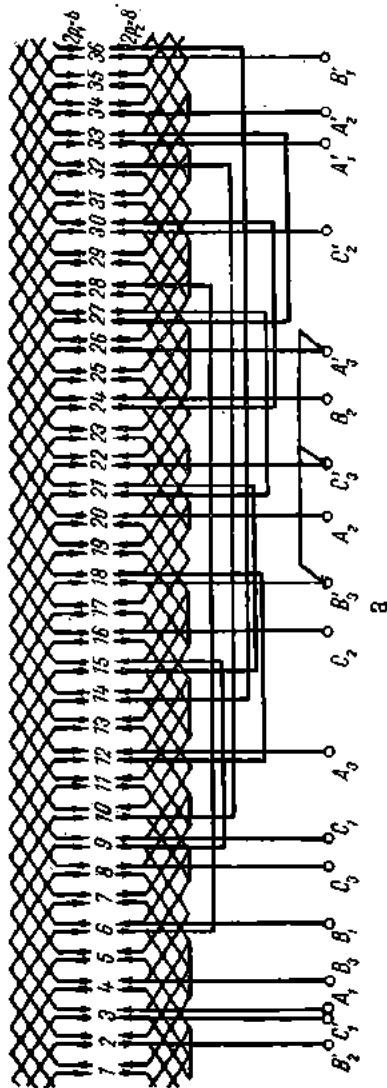


Fig. 6.20. Schema și schimbarea numărului de poli în raportul 8 : 6 :

a — schema desfășurată Z=36 creșători; b — schema de conexiune la borne, stea (Y), pentru  $2p_2=8$  poli; c — schema de conexiuni la borne, stea (Y),  $2p_4=6$  poli.

turi față de înfășurarea din fig. 6.20, a s-ar schimba corespunzător numărul bobinelor ce compun grupele de bobine din înfășurare. De exemplu, o înfășurare cu  $Z=72$  crestături, pentru 750/1 000 rot/min ar avea același număr de grupe de bobine ca înfășurarea din fig. 6.20, a, dar pe fiecare grupă numărul bobinelor componente ar fi dublu față de cel din această figură. Pasul bobinelor din noua înfășurare devine egal cu 10 (adică 1 la 11).

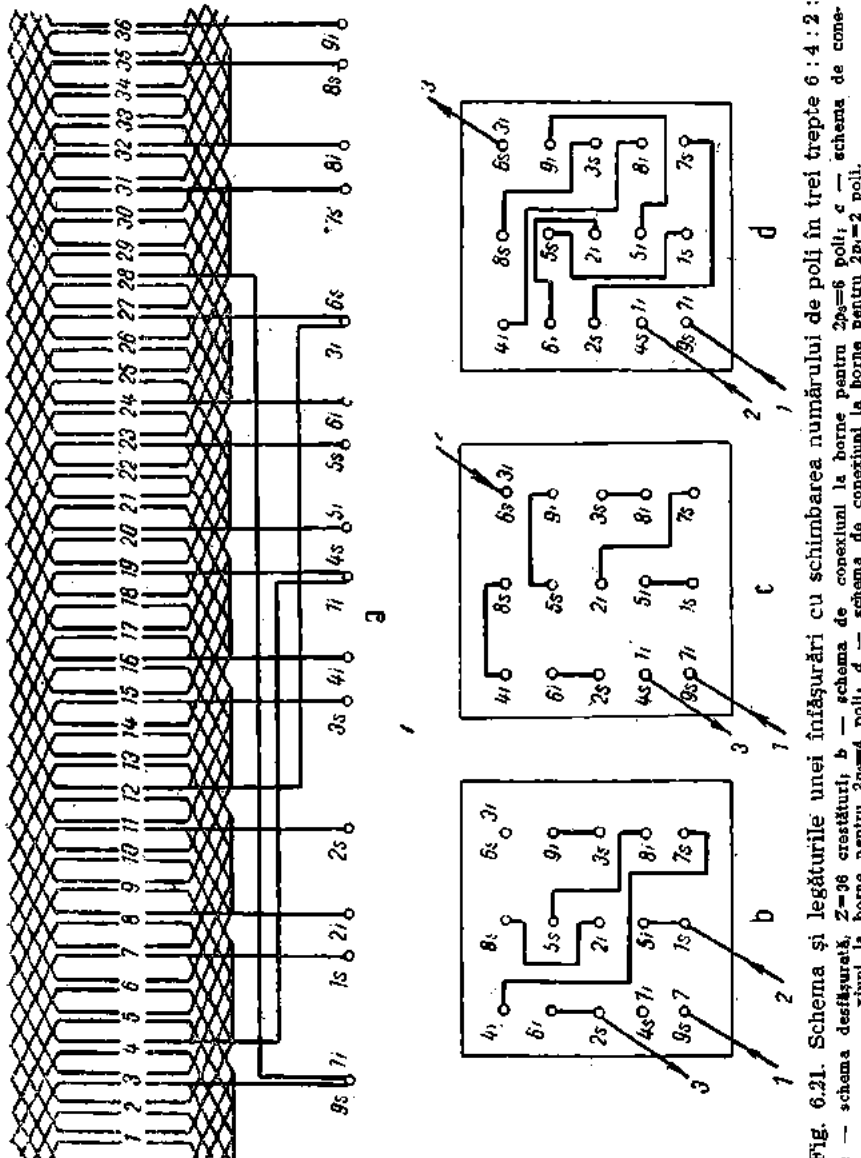
În fig. 6.21, a este reprezentată o schemă desfășurată a unei înfășuri în două straturi, cu schimbarea numărului de poli în trei trepte 6 : 4 : 2.

Schemele de conexiune la placa de borne, corespunzătoare pentru formarea celor 6, 4 și respectiv 2 poli sunt indicate în fig. 6.21, b, respectiv 6.21, c și d.

Între placa de borne a înfășurării din fig. 6.21, și comutator se găsesc 15 conductoare de legătură : cîte un conductor de la fiecare bornă.

Pentru înfășurările care ar trebui să asigure aceleași viteze de rotație (1 000, 1 500, 3 000 rot/min) și ar avea alt număr de crestături față de înfășurarea din fig. 6.21, a, s-ar schimba corespunzător numărul bobinelor ce compun grupele de bobine din înfășurare. De exemplu, o înfășurare avînd  $Z=54$  crestături, pentru 1 000, 1 500, 3 000 rot/min ar avea același număr de grupe de bobine ca înfășurarea din fig. 6.21, a, dar pe fiecare grupă numărul bobinelor va crește cu raportul crestăturilor  $54 : 36 = 1,5$ , adică numărul bobinelor ce compun grupele de bobine ale noii înfășurări va fi  $1,5 \cdot 4 = 6$ . Pasul bobinelor y va fi egal cu 9 (1 la 10) în cazul cînd înfășurarea se va executa ca înfășurare de bază pentru  $2p=6$  poli. În rest, legăturile interioare dintre grupele de bobine, numărul ieșirilor la placa de borne, numărul bornelor și schemelor de conexiuni corespunzătoare celor trei viteze rămîn aceleași.

În cazul cînd nu se poate realiza o singură înfășurare cu schimbarea numărului de poli pentru trei viteze, se caută să se combine două numere de poli pentru care se poate executa o singură înfășurare cu schimbarea numărului de poli, urmînd ca pentru al treilea număr de poli să se execute o altă înfășurare, distinctă, așezată în aceleași crestături cu prima. În asemenea cazuri, în timpul funcționării, cele două înfășurări nu se vor afla niciodată simultan sub tensiune.



## 7. Înfășurările mașinilor electrice de puteri mici

Înfășurările prezentate în capitolele precedente se întâlnesc în principal și la mașinile electrice de puteri mici și foarte mici. Dar la mașinile electrice, având puterea sub 100 W și utilizate în special ca motoare, se recurge la cele mai simple înfășurări, pentru a reduce la minimum prețul de cost al mașinii.

Reprezentarea grafică a acestor înfășurări se face la fel ca pentru înfășurările mașinilor mijlocii și mari, menținîndu-se toate notațiile și denumirile respective.

Tipurile de înfășurări utilizate la mașinile mici sunt înfășurări concentrate și înfășurări repartizate.

Majoritatea mașinilor mici sunt bipolare având doi poli principali.

La mașinile cu colector, se reduce mult lungimea mașinii prin așezarea perilor în spațiul liber dintre capetele bobinelor de excitație ; o grijă deosebită este acordată dispunerii capetelor de bobine ale înfășurării rotorului, pentru a rezulta rotorul cât mai scurt posibil.

### 7.1. ÎNFĂȘURĂRI CONCENTRATE

#### 7.1.1. Înfășurări de excitație

Asemenea înfășurări se întâlnesc la motoarele asincrone cu pol ecranat, la polii inductori ai motoarelor de curent continuu, de curent alternativ sau universale ; înfășurările de excitație ale selsinelor generatoare și motoare se execută cel mai adesea tot de tip concentrat. În fig. 7.1 sunt reprezentate două tipuri de înfășurări concentrate, împreună cu armăturile lor, întinute la motorul asincron cu pol ecranat (fig. 7.1, a), și la polii inductori ai selsinului (fig. 7.1, b).

Caracteristic pentru aceste înfășurări concentrate este utilizarea lor și la motoarele de curent alternativ, unde îndeplinește rolul unor înfășurări de excitație sau de înfășurări primare (cum este cazul la motorul cu pol ecranat). Din această cauză execuția acestor înfășurări este mai pretențioasă.

De obicei aceste înfăşurări se realizează cu conductor de cupru izolat cu email. Bobinele se execută fie direct pe o carcăză izolantă (v. fig. 7.1, a), fie pe un şablon și ulterior li se dă forma corespunzătoare polilor pe care se montează, pentru a încăpea în spațiul rezervat înfăşurării.

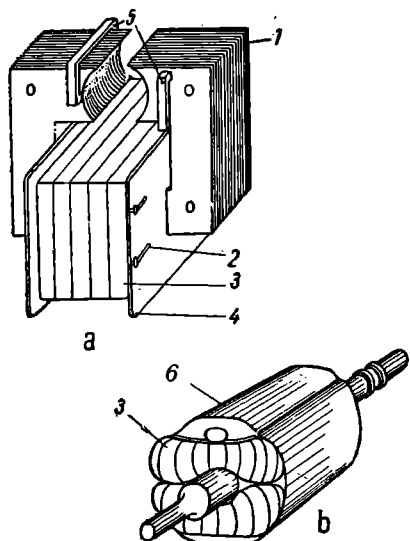


Fig. 7.1. Înfăşurări concentrate și armăturile pe care să sint montate :

a — pentru un motor asincron cu pol ecranat; b — pentru polii inductori ai selsinului; 1 — miezul statorului; 2 — bornele de alimentare; 3 — înfăşurarea de excitare; 4 — carcasa bobinei; 5 — spira ecran; 6 — miezul rotorului.

Pentru pornirea motoarelor asincrone monofazate se prevăd înfăşurări sau dispozitive speciale ; în acest scop se utilizează o înfăşurare în scurtcircuit, care cuprinde aproximativ 1/3 din secțiunea polului (v. fig. 7.1, a, spira este notată cu 5). Această înfăşurare constă de cele mai multe ori dintr-o spire în scurtcircuit introdusă în creștătura prevăzută în piesa polară și care se închide în jurul polului, având capetele sudate între ele. Spira nu se izolează față de pol. Secțiunea spirei se determină experimental, urmărindu-se realizarea unei mașini cu cuplu mare de pornire și un factor de putere bun în funcționare.

De remarcat sensul în care se închid spirele în jurul polului respectiv ; astfel dacă la polul din stînga spira se închide sus, la polul din dreapta spira se închide jos. Numai astfel se obține un cîmp magnetic progresiv (adică un cîmp magnetic învîrtitor care apare numai în zonele polilor) în același sens și mașina poate să dezvolte un cuplu la pornire.

S-au experimentat cu succes și motoare monofazate cu două spire în scurtcircuit pe pol. Una din spire cuprinde 1/3 din pol, iar a doua spire de la 1/2 pînă la 2/3 din pol. Execuția este însă mai complicată, deoarece trebuie executate pe fiecare pol două spire în scurtcircuit.

S-au executat și motoare asincrone monofazate echipate cu o înfăşurare în scurtcircuit în locul spirei scurtcircuitate. Această înfăşurare constă din cîte o bobină așezată pe cîte un pol ocupînd locul

spirei în scurtcircuit ; bobina este executată din conductor izolat cu bumbac sau email direct pe pol și este izolată față de pol. Capetele bobinei se leagă la o rezistență care constă de cele mai multe ori dintr-o lampă cu incandescentă. La pornire, filamentul lămpii fiind rece, rezistența sa este mică și bobina funcționează aproape în scurtcircuit. Pe măsură ce motorul pornește, filamentul lămpii se încălzește și rezistența sa se mărește de 6—8 ori ; bobina va fi parcursă în funcționare de un curent mai mic, așa că rolul ei de seamă este numai la pornire. Asemenea scheme se întâlnesc, de exemplu, la motoarele sincrone monofazate cu pornire în asincron ; după ce a pornit motorul, cuplul asincron scade și motorul intră în sincronism datorită cuplului sincron.

## 7.2. ÎNFĂȘURĂRI REPARTIZATE

De cele mai multe ori înfășurările repartizate utilizate în construcția mașinilor mici se execută în principal după aceleași scheme întâlnite la mașinile mijlocii și mari. Particularitatea unora dintre ele provine din faptul că se renunță în parte la simetria perfectă a înfășurării și se adoptă soluții constructive adecvate, pentru a simplifica procesul tehnologic. Din dorința de a elimina la aceste mașini zgomotele produse de armonicele cîmpului magnetic, de exemplu la mașinile mici utilizate în instalațiile de înregistrare, s-au propus înfășurări repartizate speciale, denumite înfășurări sinusoidale ; prin aceste înfășurări se caută să se realizeze un cîmp magnetic practic sinusoidal în întregierul mașinii.

În ultima vreme au apărut mașini de putere mici avînd înfășurările imprimate, prin asemănare, cu circuitele imprimate ale aparatelor de radio.

### 7.2.1. Înfășurările mașinilor cu colector

*Tipuri de înfășurări bobinate pentru industria  
mașinilor mici, cu colector*

Întrucît la mașinile de mică putere curenții sunt mici, la toate mașinile bipolare cu colector se utilizează în industrie înfășurarea buclată simplă ; de obicei, numărul de mânunchiuri pe creștătură se alege egal cu 2, 4 sau 6 (numărul laturilor de bobină pe creștătură

este egal cu raportul dintre dublul numărului de lamele la colector și numărul de crestături). Înfășurarea într-un singur strat permite mai ușor automatizarea procesului tehnologic de bobinare direct pe mașină.

În fig. 7.2 este reprezentată o înfășurare buclată simplă diametrală, bipolară, cu două mânunchiuri pe crestătură și având  $Z=K=12$ . Spre deosebire de înfășurările buclate obișnuite, la această înfășu-

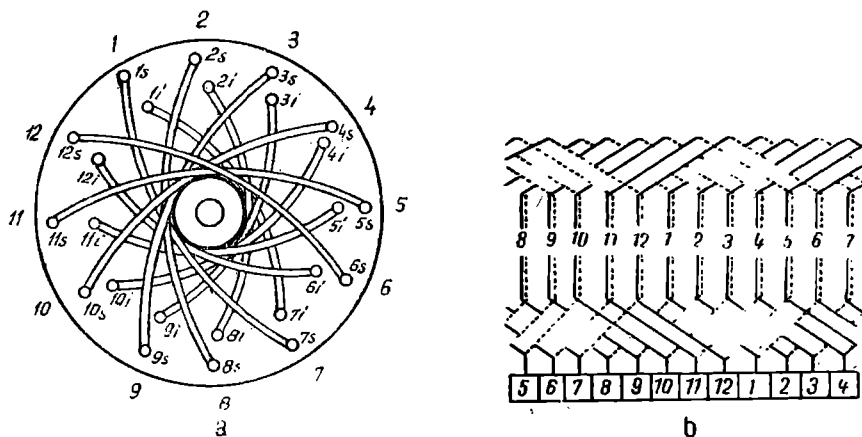


Fig. 7.2. Înfășurare bipolară buclată simplă într-un strat avind  $Z=K=12$ ,  $y_1=5$ :  
a — vedere a capetelor de bobină de partea opusă colectorului; b — schema desfășurată;  
c — o altă dispunere a capetelor de bobine.

rare nu mai este respectată poziția identică a bobinelor; jumătate din numărul bobinelor au ambele laturi așezate la fundul crestăturii, iar jumătate în exteriorul crestăturii.

Din fig. 7.2, a, în care s-a reprezentat vedere frontală a capetelor de bobine, rezultă modul de bobinare. Se execută întii bobinele care au laturile așezate la fundul crestăturii în ordinea  $1i-7i$ ,  $2i-8i$ ,  $3i-9i$ ,  $4i-10i$ ,  $5i-11i$ ,  $6i-12i$ , capetele de bobină dispunindu-se frontal, în coroană, în sensul bobinării astfel încât axul rotorului să rămînă la stînga. Se execută apoi bobinele care au laturile așezate în exteriorul crestăturilor în ordinea  $7s-1s$ ,  $8s-2s$ ,  $9s-3s$ ,  $10s-4s$ ,  $11s-5s$ ,  $12s-6s$ , capetele bobinelor dispunindu-se în continuare în coroană (fig. 7.2, a). Înfășurarea se putea executa în mod asemănător în cazul în care se dispun capetele de bobină astfel încât axul să rămînă la dreapta.

În fig. 7.2, b este reprezentată schema desfășurată a înfășurării, indicindu-se atât poziția capetelor de bobină unele față de altele, cit și legăturile la colector. Executând înfășurarea în acest fel se evită preformarea bobinelor pe şablon. Dezavantajul acestei înfășurări il constituie inegalitatea rezistențelor bobinelor datorită lungimii inegale a capetelor de bobină dispuse în plane frontale diferite. În schimb, așa cum s-a arătat mai sus, înfășurarea se poate executa la o mașină automată de bobinat, direct pe miezul magnetic.

O înfășurare în două straturi, cu capetele de bobină dispuse în V este reprezentată în fig. 7.3. După cum rezultă din vederea frontală

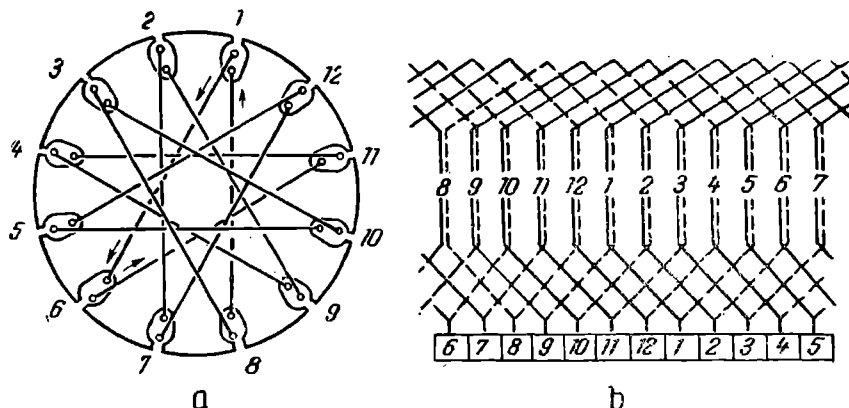


Fig. 7.3. Înfășurare bipolară buclată simplă în două straturi avînd  $Z=K=12$ ,  $y_1=5$ , cu capetele de bobină dispuse în V:  
a — vedere frontală a capetelor de bobină; b — schema desfășurată.

a capetelor de bobină (v. fig. 7.3, a) se bobinează mai întâi stratul interior din crestăturile 1 și 8, apoi stratul exterior din 1 și stratul interior din 6, apoi stratul exterior din 6 și stratul interior din 11 s.a.m.d.

Execuția înfășurării se încheie cu bobina 3—8 dispusă în straturile exterioare ale acestor crestături. În fig. 7.3, b este reprezentată schema desfășurată a acestei înfășurări. După cum rezultă din schema desfășurată pentru execuția legăturilor la colector, conductoarele de legătură dintre bobine trebuie să intre rupe și să conecteze conform schemei din fig. 7.3, b. Această înfășurare are capetele de bobină repartizate mai uniform decât înfășurarea din fig. 7.2 și rotorul echipat cu această înfășurare rezultă aproape echilibrat.

O înfășurare buclată simplă, bipolară, într-un strat, însă cu patru laturi de bobină pe crestătura, este reprezentată în fig. 7.4, având același număr de crestături și lamele ca înfășurarea din fig. 7.2. Pentru a putea executa înfășurarea, se alege pasul scurtat  $I-VI$ , măsurat în crestături geometrice (care s-au notat cu cifre romane) spre deosebire de crestăturile elementare corespunzătoare lamelelor de colector care s-au notat cu cifre arabe. Introducerea în crestături a bobinelor înfășurării se face în ordinea  $I-VI$ ,  $VII-XII$ ,  $III-VIII$ ,  $IX-II$ ,  $V-X$ ,  $XI-IV$ , capetele de bobină fiind aşezate suprapus în mai multe plane frontale, aşa cum rezultă din fig. 7.4, a. Legăturile

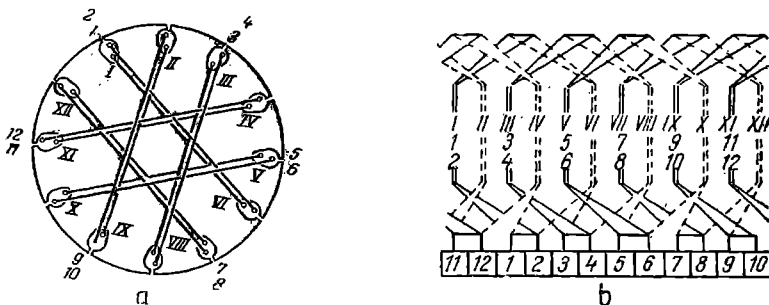


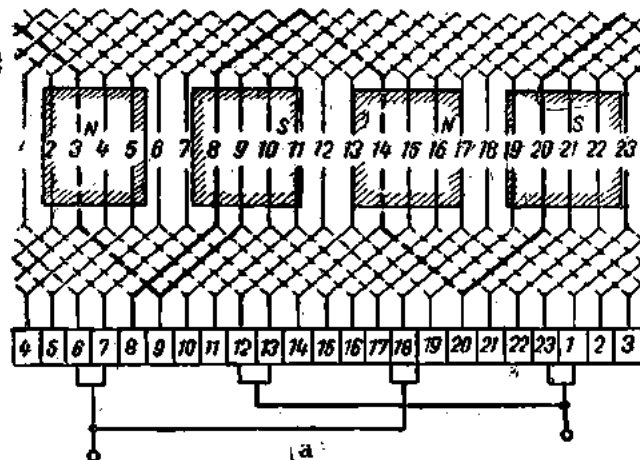
Fig. 7.4. Înfășurare bipolară buclată simplă în două straturi având  $Z=K=12$ ,  $y_1=6$ :

a — vedere a capetelor de bobine de partea opusă colectorului; b — schema desfășurată.

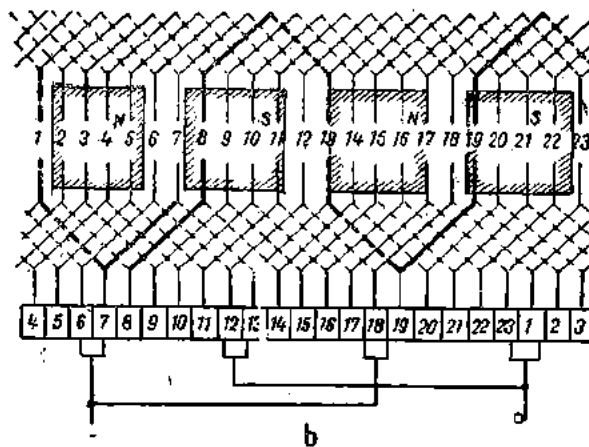
la colector se pot urmări în fig. 7.4, b. Remarcăm că se pot executa fie o dată ambele bobine (care au laturile de ducere, respectiv de întoarcere situate corespunzător în aceleași crestături, aşa cum s-a indicat în fig. 7.4, a), fie se execută mai întâi bobinele care au laturile situate la fundul crestăturii și apoi cele din exterior.

În fig. 7.4, c se prezintă această dispunere mai echilibrată a capetelor de bobină; în acest caz se bobinează mai întâi straturile interioare (1, 7, 11, 5, 9, 3), iar apoi cele exterioare (2, 8, 12, 6, 10, 4). Și la această înfășurare bobinele au rezistențe diferite, datorită lungimii inegale a capetelor de bobină și prezintă avantajul că se poate executa la o mașină automată de bobinat. De subliniat că la mașina construită cu acest tip de înfășurare pulsurile tensiunii electromotoare induse în circuitul rotorului sunt mai mari decât la o înfășurare în două straturi. Astfel, prin adoptarea acestor tipuri de înfășurări se realizează o automatizare a operațiilor de bobinare, deci o creștere a productivității muncii. Mașina de bobinat va trebui să asigure o întindere constantă a conductorului izolat.

După bobinarea numărului de spire, pentru care se reglează în prealabil mașina, oprirea și trecerea la secția următoare se face automat. Mașina trebuie să se oprească automat după ce s-au executat toate secțiile.



a



b

Fig. 7.5. Infășurare ondulată tetrapolară având  $Z=K=23$  :  
 a — încrucișată  $y=12$ ,  $y_1=6$ ,  $y_2=6$ ; b — neîncrucișată  $y=11$ ,  $y_1=5$ ,  $y_2=4$ .

## *Înfășurările în bare ale indisului mașinilor cu colector*

Înfășurările ondulate sunt utilizate la mașinile mici cu colector numai în cazul înfășurărilor executate din bare.

În fig. 7.5 este reprezentată o înfășurare ondulată simplă în bare utilizată la demaroare pentru autovehicule; în această figură s-a desenat îngroșat cîte un parcurs. Indusul are 23 crestături și 23 lamele, iar mașina este tetrapolară ( $p=2$ ). Pasul rezultant este  $y = \frac{Z+1}{p} = \frac{23+1}{2}$ . La înfășurarea încrucișată se ia semnul (+) și rezultă pasul  $y = \frac{23+1}{2} = 12$ ; în fig. 7.5, a este reprezentată această înfășurare cu o secție pe crestătură și avînd pașii  $y_1=6$  și  $y_2=6$ .

Pentru a rezulta o înfășurare neîncrucișată se ia semnul (-) și rezultă pasul  $y = \frac{23-1}{2} = 11$ , în fig. 7.5, b este reprezentată această înfășurare cu două mânunchiuri pe crestătură și avînd pașii  $y_1=5$ ,  $y_2=6$ .

În cazul în care rotorul nu are numărul de crestături potrivit pentru a se executa o înfășurare ondulată, se recurge la realizarea unei înfășurări ondulate închisă artificial sau executată cu bobine oarbe (v. cap. 4).

## *Legăturile la colector*

Mașinile mici bipolare sau tetrapolare, datorită configurației lor geometrice, comportă un spațiu relativ mare între înfășurările de excitație; în schimb, capetele de bobină rezultă ceva mai lungi, deoarece pentru introducerea bobinelor peste piesa polară spre a fi așezate pe pol (polul nefiind demontabil), aceste bobine trebuie executate mai lungi; forma capătului de bobină se obține după ce s-a introdus bobina pe pol.

Înfășurările indisului mașinilor de curent continuu sunt executate din bobine avînd capetele de bobină simetrice; legăturile la colector se execută însă în general în alt mod decît la mașinile mari, urmărindu-se în special așezarea perilor în spațiul liber dintre poli pentru a rezulta o mașină cît mai compactă. În fig. 7.6, a este reprezentată o bobină cu capetele de bobină simetrice, cu legăturile la colector simetrice. Mașina la care înfășurarea este executată cu acest tip de bobine va avea perile așezate pe colector, în dreptul axei polilor.

În fig. 7.6, b este reprezentată o altă bobină, avînd de asemenea capetele de bobină simetrice; racordurile la colector sunt simetrice,

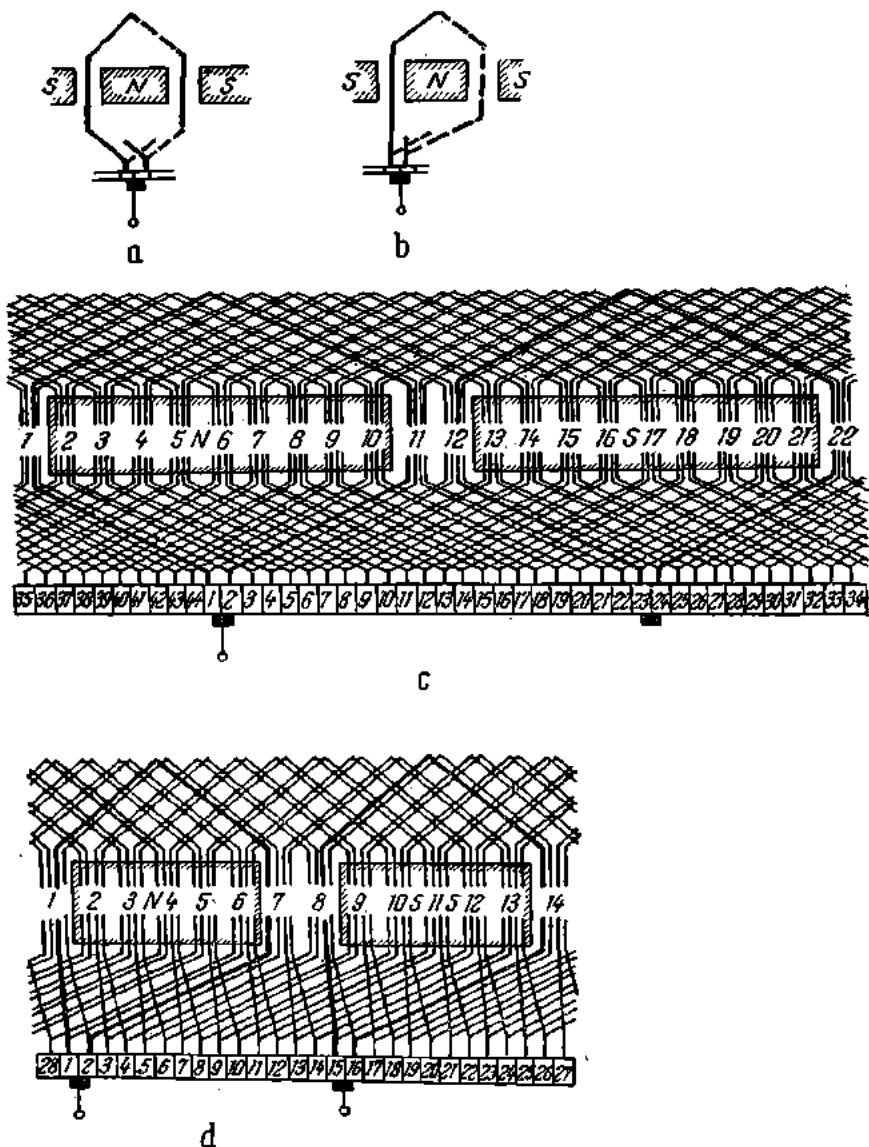


Fig. 7.6. Infăsurări repartizate :

a — bobine cu legături la colector simetrice și perile pe axe polilor; b — bobine cu legături la colector nesimetrice și perile pe axe neutră a polilor; c — infăsurare buclată simplă a unui dinam auto avind  $Z=22$ ,  $K=44$ ,  $2p=2$  (exemplu pentru fig. 7.5, a); d — infăsurare buclată simplă a unui dinam de motocicletă avind:  $Z=14$ ,  $K=28$ ,  $2p=2$  (exemplu pentru fig. 7.5, b).

astfel încit un capăt al bobinei este lipit la lamela din dreptul creștării în care se află una din laturile bobinei.

În acest caz periile se aşază în axa neutră a polilor și deci tija cu portperiile poate să ocupe spațiul liber dintre bobinele înfășurării de excitație din stator ; prin această soluție înfășurarea își păstrează aceleași caracteristici funcționale. În figura 7.6, c și d s-au reprezentat scheme ale înfășurărilor executate cu racorduri la colector simetrice și nesimetrice.

### 7.2.2. Înfășurările mașinilor fără colector

Înfășurările mașinilor mici fără colector se execută în principal după aceleași scheme ca și înfășurările mașinilor mari de curent alternativ. Se întâlnesc însă numeroase înfășurări monofazate, bifazate sau trifazate de construcție specială.

#### *Înfășurări monofazate*

Cea mai simplă înfășurare monofazată se obține dintr-o înfășurare trifazată, conectată în stea dacă se reține numai porțiunea de înfășurare cuprinsă între două borne, adică numai înfășurările a două fazelor. Cum înfășurarea unei faze ocupă  $1/3$  din numărul de creștări al mașinii, rezultă că înfășurarea monofazată compusă din două faze de înfășurare ocupă  $2/3$  din numărul total de creștări. Creșterea tensiunii, respectiv a puterii mașinii, cind s-ar bobina toate creștăurile este relativ mică și nu justifică utilizarea conductorului suplimentar pentru bobinarea completă a mașinii.

În fig. 7.7, a este reprezentată schema desfășurată a unei înfășurări trifazate bipolare, având  $Z=12$  creștări și fiind executată într-un singur strat în coroană. Pe schemă sunt indicate conexiunile necesare pentru a obține o înfășurare monofazată. Înfășurarea se alimentează între bornele U și V, bornele W și Z rămânind libere. Înfășurarea s-ar putea alimenta și între bornele U și W dacă X este legat cu Z și respectiv între bornele V și W dacă Y este legat cu Z.

De remarcat că tensiunea pe fază la înfășurarea monofazată este de  $\sqrt{3}$  ori tensiunea pe fază a înfășurării trifazate ; în schimb puterea mașinii este numai de 0,66 din puterea mașinii trifazate. În fig. 7.7, b este reprezentată schema de principiu cu legăturile la borne.

Dacă se conectează toate trei fazele așa cum se indică în schema din fig. 7.8, adică fazele U—X, Y—V conectate în serie cu faza Z—W rezultă un consum suplimentar de cupru de 50% și pierderi în înfășurare de 1,50 ori mai mari ; în schimb puterea crește numai cu 15%.

Înfășurarea de excitație a selsinelor (înfășurare monofazată de curent alternativ) se poate de asemenea obține dintr-o înfășurare trifazată realizându-se în acest fel înfășurări de excitație repartizate. Modul de transformare a înfășurării trifazate în înfășurări monofazate este pus în evidență în fig. 7.9, unde s-a transformat o înfășurare obișnuită (fig. 7.9, a) și în două straturi avind  $Z=18$ ,  $2p=2$  și  $q=3$  într-o înfășurare monofazată (fig. 7.9, b) cu două cai de curent în

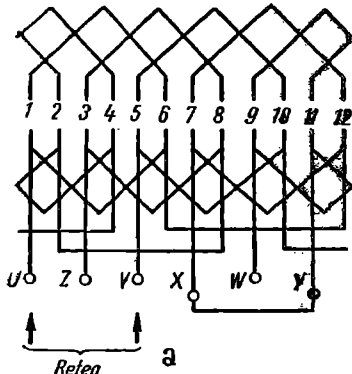


Fig. 7.7. Înfăsurare trifazată conectată în schema de infăsurare monofazată:  
 a — schema desfăsurată și legăturile infăsurărilor de fază; b — schema de principiu.

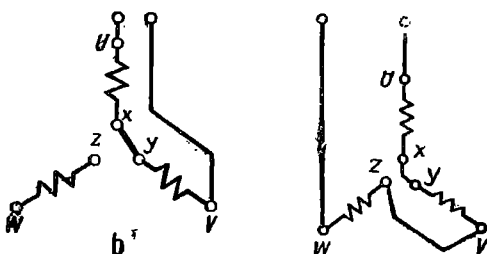


Fig. 7.8. Schemă de principiu a unei înfășurări trifazate pentru alimentarea de la o sursă monofazată.

paralel. De observat că înfăşurarea de excitație propriu-zisă se obține prin legarea în paralel a înfăşurărilor  $U-X$  și  $Z-W$ , iar înfăşurarea  $V-Y$  legată în scurtcircuit constituie înfăşurarea de amortizare a selsinului.

Se construiesc și înfășurări monofazate destinate exclusiv mașinilor monofazate; asemenea înfășurări se utilizează, de exemplu, la generatoarele sincrone monofazate sau la tahogeneratoarele sincrone. În fig. 7.10 este reprezentată schema desfășurată a unui tahogenerator sincron cu 6 poli pentru  $Z=18$  crestături. Înfășurarea a fost repartizată numai în 12 crestături, 6 crestături rămînind libere (în figură s-au reprezentat numai 17 crestături).

## *Înfăsurări bifazate*

O infășurare bifazată se poate obține dintr-o infășurare trifazată care are toate capetele infășurărilor de fază scoase la cutia de borne. Dacă se leagă, de exemplu, bornele X și Y împreună rezultă infășurările cuprinse între bornele U—V și W—Z, care reprezintă o infă-

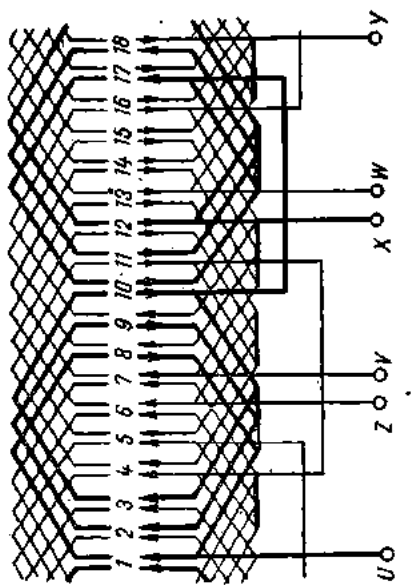
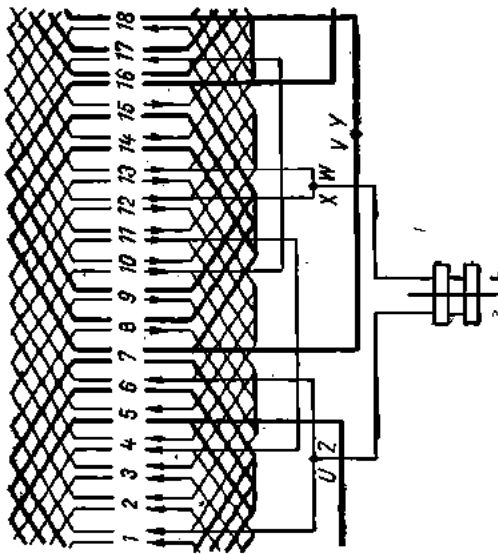


Fig. 7.9 Transformarea înfășurărilor trifazate în înfășurări monofazate pentru excitația selzinelor:  
a — schema unei înfășurări trifazate, în donă straturi avind  $Z=18$ ,  $2p=2$ ,  $y=0$ ;  
b — schema înfășurări monofazate rezultată din fig. 7.9, c.

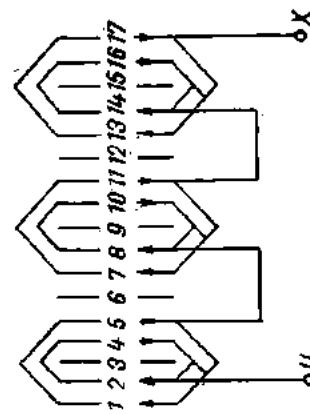


Fig. 7.10. Schema desfășurată a unei înfășurări monofazate avind  $Z=16$ ,  $2p=6$ .

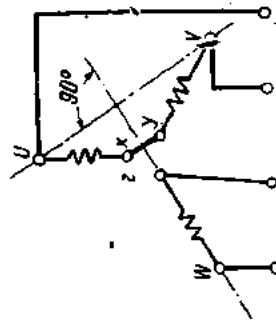


Fig. 7.11. Schema de principiu a unei înfășurări trifazate conectată în schema de măsurare bifazată.

surare bifazată. Axele înfăşurărilor obținute sint decalate la  $90^\circ$  una față de alta (fig. 7.11). De remarcat că în acest caz tensiunile care se pot aplica celor două înfăşurări de fază  $U-V$  și  $W-Z$  pot fi diferite; fazei  $U-V$  i se poate aplica o tensiune de două ori mai mare decât fazei  $W-Z$ .

Există însă și mașini care se construiesc să funcționeze la început ca mașini bifazate; cele mai importante dintre acestea sunt motoarele monofazate cu fază auxiliară care la pornire funcționează ca mașini bifazate; altele sunt servomotoarele bifazate cu rotorul sub formă de pahar.

Înfăşurările de fază ale mașinilor bifazate se execută fie cu conductor de secțiune diferită, fie cu numărul de spire diferit, aproximativ în raportul  $\frac{1}{3}$ ; dat fiind rolul lor diferit; una este utilizată ca înfăşurare de sarcină (cea care are volumul de conductor mai mare), iar cealaltă ca înfăşurare de comandă.

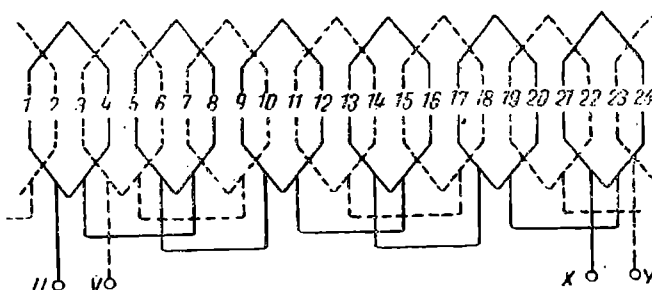


Fig. 7.12. Înfăşurare bifazată deschisă, hexapolară ( $2p=6$ ) având  $Z=24$ ,  $q=2$ , executată într-un strat.

În fig. 7.12 este reprezentată schema desfășurată a unei înfăşurări bifazate, deschisă, hexapolară, pentru  $Z=24$ . Numărul de crestături pe pol și fază este

$$q = \frac{Z}{2mp} = \frac{24}{2 \cdot 2 \cdot 3} = 2.$$

Pasul diametral al înfăşurării este  $y = \frac{24}{2p} = \frac{24}{6} = 4$ ; înfăşurarea din fig. 7.12 s-a construit cu pasul scurtat  $y=3$ , iar deschiderea bobinei este  $Y = \frac{3}{4}\tau$ . Una dintre faze este desenată cu linie continuă, iar cealaltă cu linie întretreruptă.

În fig. 7.13 este reprezentată schema desfășurată a unei înfășuri bifazate închise, executată la fel ca o înfășurare buclată pentru indusul mașinilor de curent continuu și având în principal aceleași

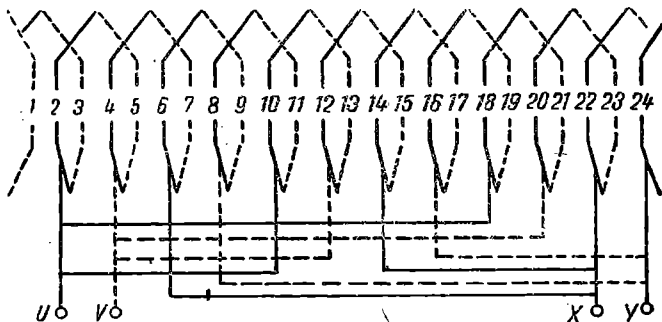


Fig. 7.13. Înfășurare bifazată închisă, hexapolară ( $2p=6$ ) având  $Z=24$ ,  $q=2$ , executată într-un strat.

caracteristici ca prima. De remarcat, însă, că în acest caz ea are trei căi de curent în paralel. O asemenea înfășurare se poate utiliza în deosebi în cazul curentilor mari.

#### *Înfășurări cu faza auxiliară. Dispozitive de conectare și întrerupere*

##### **Scheme de înfășurări ale mașinilor monofazate cu fază auxiliară**

În cele ce urmează vom prezenta tipurile caracteristice de înfășuri pentru curent monofazat cu fază auxiliară. În execuția acestor înfășurări se folosesc în general grupe de bobine cu bobine concentrice. Dispunerea lor în crestături se face într-un strat, în două straturi sau parțial într-un strat și parțial în două straturi. În părțile frontale capetele bobinelor înfășurării de lucru sau de sarcină se dispun într-un etaj, iar cele ale bobinelor din înfășurarea auxiliară sau de pornire într-un alt etaj, suprapus peste primul.

În fig. 7.14 se poate vedea dispunerea capetelor bobinelor înfășurării de sarcină, executată parțial într-un strat și parțial în două straturi, a unui tip de motor utilizat la mașina de spălat rufe. Înfășurarea auxiliară, suprapusă în părțile frontale peste înfășurarea de sarcină, se poate vedea din fig. 7.15.

Schema desfășurată a înfășurării din fig. 7.15 este reprezentată în fig. 7.16. Înfășurarea de sarcină este desenată cu linie plină și are

extremitățile  $A$  și  $X$ , iar înfășurarea auxiliară, desenată cu linie intreruptă, are extremitățile  $A'$  și  $X'$ . Înfășurarea de sarcină este executată din conductor de cupru izolat cu email, avind diametrul de 0,55 mm, iar numărul de spire este repartizat pe bobine în cadrul grupelor în felul următor: bobina  $y$  are 70 spire, bobina  $y_1$  — 115 spire, iar bobina  $y_2$  — 66 spire. Corespunzător, se poate identifica înfășurarea auxiliară, executată cu conductor de cupru emailat având diametrul de 0,3 mm, iar bobinele având  $y' = 66$  spire și  $y'_1 = 120$  spire. Numerele diferite de spire ale bobinelor din cadrul grupelor de bobine au fost calculate pentru a se obține o repartiție sinusoidală a înfășurării. Ca urmare a acestui fapt, la stabilirea curentului prin bobine apare în întregierul mașinii un cîmp aproape sinusoidal. În acest fel cuplurile parazite datorită armonicilor sunt foarte mult reduse și în consecință se reduce în mod corespunzător zgomotul motorului în timpul funcționării.

Spre exemplu la o înfășurare avind  $k_w = 0,812$  și  $q = 8$  crestături pe pol, executată cu două crestături centrale rămase libere (fig. 7.17, a) se obține suprimarea totală a armonicilor de ordinul 3 și 5, iar armonica 7 este redusă la 2,8% din valoarea ei. În această dispunere repartiția spirelor în cele trei bobine este următoarea: 41,4% spire în bobina  $y$ , 29,3% spire în bobina  $y_1$  și 29,3% spire în bobina  $y_2$ .

În fig. 7.18 este reprezentată o înfășurare monofazată cu fază auxiliară cu repartiție sinusoidală avînd  $q = 8$  și două crestături centrale libere (pentru înfășurarea de sarcină) cu repartiția spirelor în proporție de 40,5% pentru bobina  $y$ , 34,7% pentru bobina  $y_1$  și 24,8% pentru bobina  $y_2$ . În bobinele înfășurării auxiliare spirele sunt

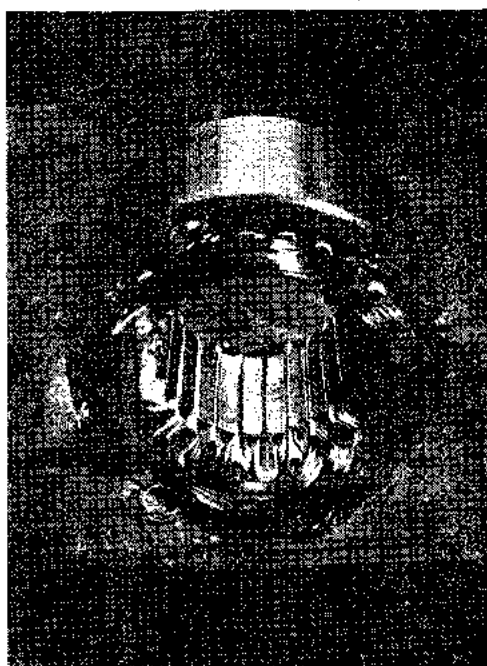


Fig. 7.14. Dispunerea capetelor de bobină în părțile frontale ale înfășurării de sarcină a unui motor monofazat.

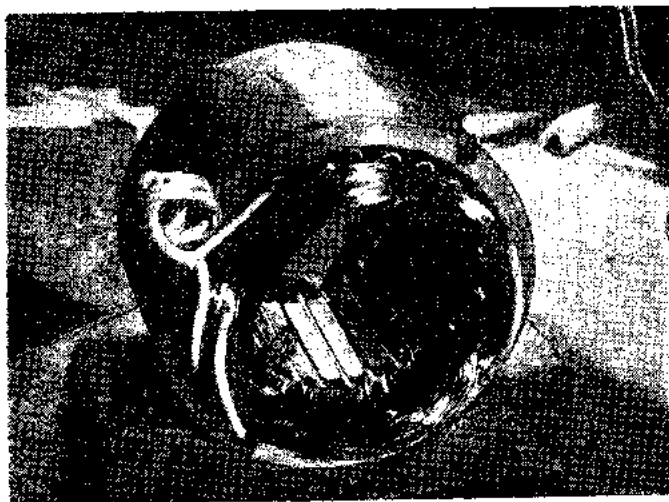


Fig. 7.15. Dispunerea în părțile frontale a înfășurărilor de sarcină și auxiliară la motorul monofazat reprezentat în fig. 7.14.

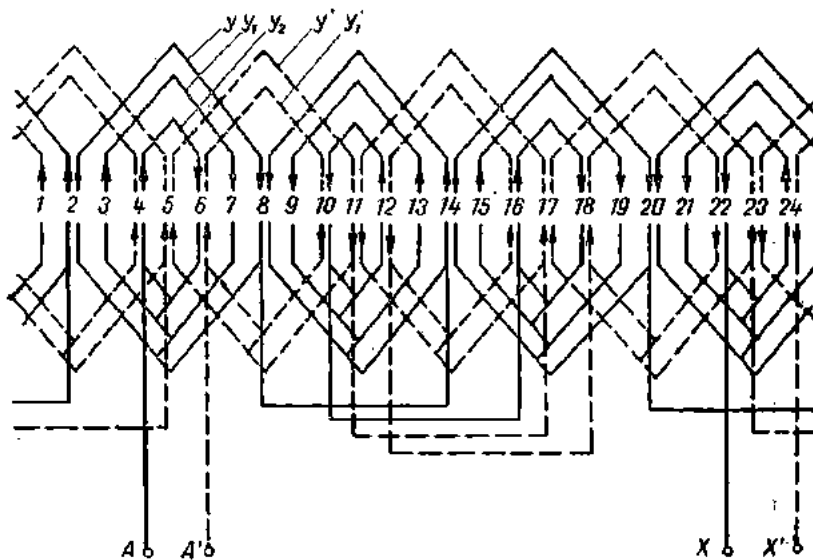


Fig. 7.16. Schema unei înfășurări monofazate cu fază auxiliară, cu repartiție sinusoidală, având  $Z=24$ ,  $2p=4$ .

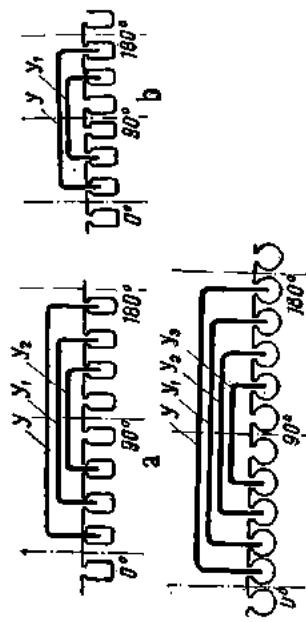
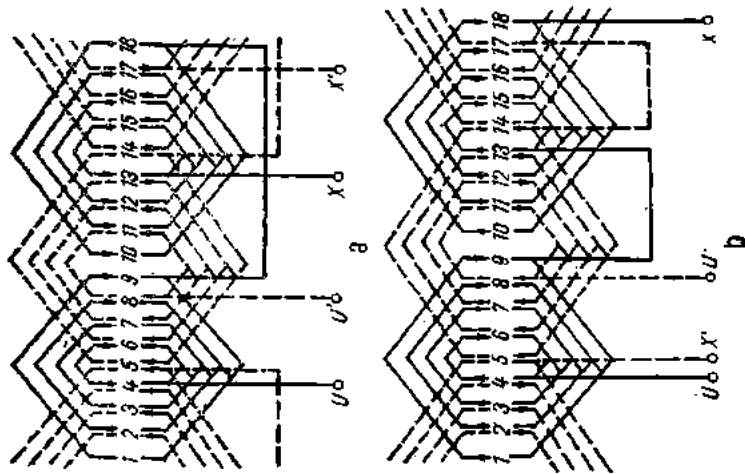


Fig. 7.17. Dispunerea bobinelor într-o grupă de bobine dintr-o înfășurare de sarcină cu repartiție sinusoidală:  
a — pentru  $q=8$  cu două creștăuri centrale libere; b — pentru  $q=10$  cu două creștăuri centrale libere; c — pentru  $q=10$  cu două creștăuri centrale libere.



22 — Cărțea bobinătorului de mașini electrice

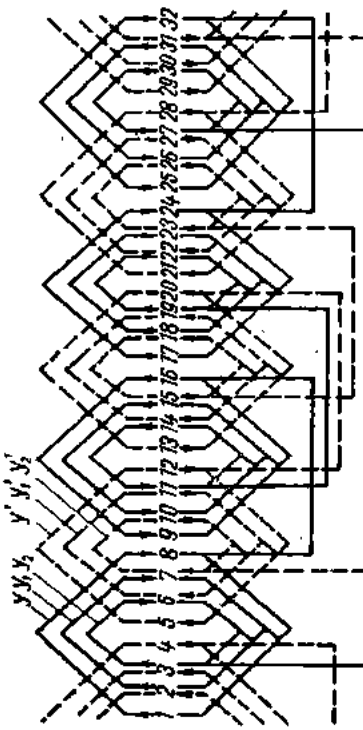


Fig. 7.18. Schema unei înfășurări monofazate cu fază auxiliară, cu repartiție sinusoidală monofazată, avind  $Z=32$ ,  $2p=4$ .

Fig. 7.19. Schema unei înfășurări monofazate cu auxiliară, cu repartiție sinusoidală ;  
a — pentru  $Z=18$ ,  $2p=4$ ; b — pentru  $Z=18$ ,  $2p=4$

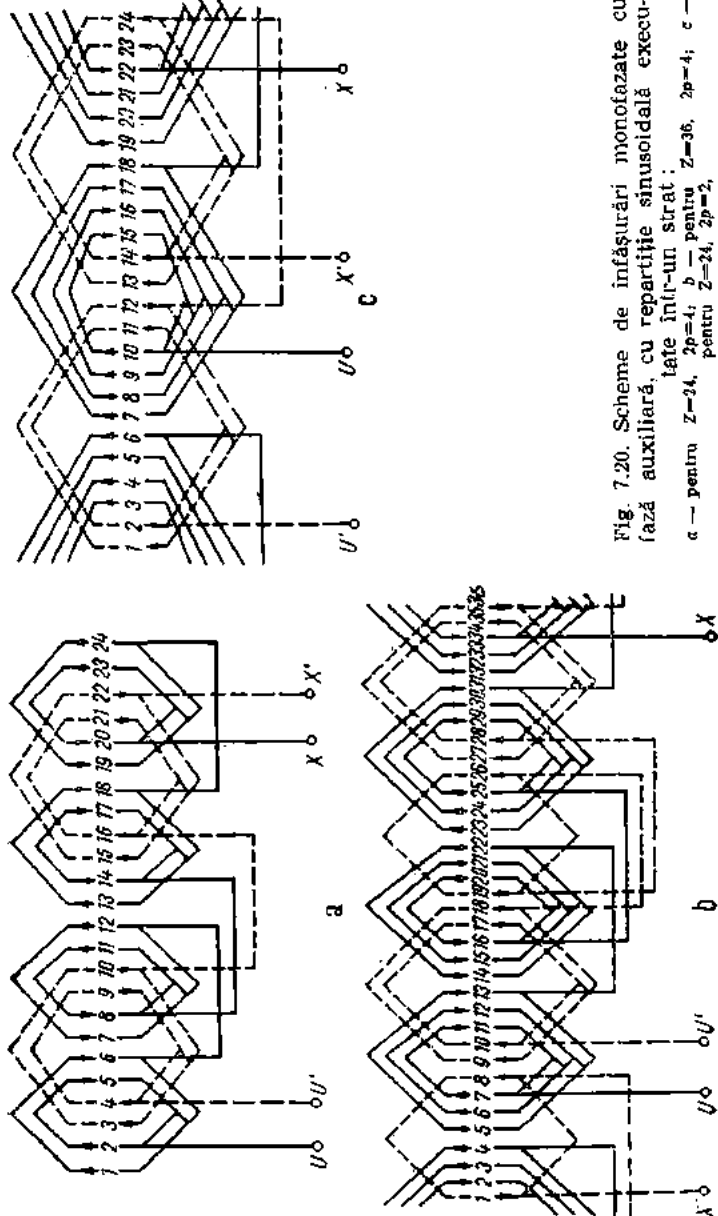
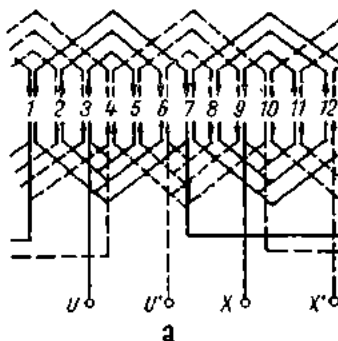


Fig. 7.20. Scheme de înfășurări monofazate cu fază auxiliară, cu repartiție sinusoidală executată într-un strat:  
a — pentru  $Z=24$ ,  $2p=4$ ; b — pentru  $Z=36$ ,  $2p=4$ ; c —  
pentru  $Z=24$ ,  $2p=2$ .

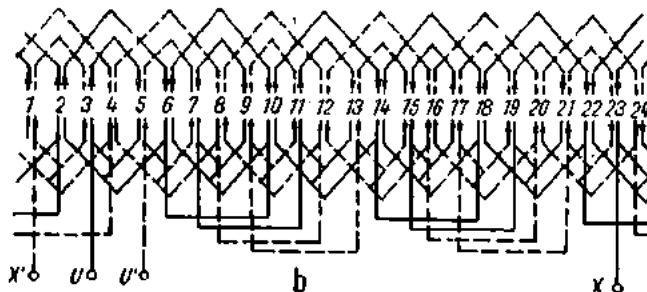
repartizate astfel: 42,50% în bobina  $y'$ , 35% în bobina  $y_1$  și 22,50% în bobina  $y_2$ .

Repartiția sinusoidală în cazul unei înfășurări având  $q=9$ , cu o crestătură centrală liberă la un factor de înfășurare  $k_w = 0,793$ , este următoarea: 34,75% spire în bobina  $y$ , 30,55% spire în bobina  $y_1$ , 22,65% spire în bobina  $y_2$  și 12,05% spire în bobina  $y_3$ .

Alte înfășurări monofazate cu fază auxiliară executată parțial într-un strat și parțial în două straturi sunt reprezentate în fig. 7.19. De observat că înfășurarea tetrapolară reprezentată în fig. 7.19, b se obține din înfășurarea din fig. 7.19, a prin legarea grupelor de bobine în ordinea sfîrșit cu început în loc de sfîrșit cu sfîrșit.



a



b

Fig. 7.21. Scheme de înfășurări monofazate cu fază auxiliară, cu repartiție sinusoidală, executate în două straturi:  
a — pentru  $Z=12$ ,  $2p=2$ ; b — pentru  $Z=24$ ,  $2p=6$ .

Înfășurările monofazate cu fază auxiliară, cu repartiție sinusoidală se pot executa într-un singur strat. Astfel de înfășurări sunt reprezentate în fig. 7.20. În fig. 7.21 sunt reprezentate înfășurări cu fază auxiliară, executate în două straturi.

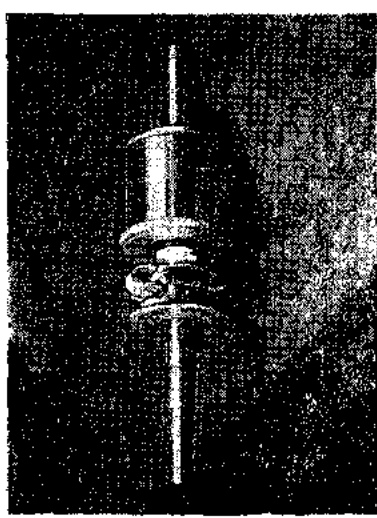
## **Conexiunile înfășurărilor și dispozitive de conectare și întreruperea înfășurării**

În fig. 7.22, a se poate vedea dispozitivul centrifugal cu care este echipat rotorul unui motor monofazat cu fază auxiliară. În serie cu înfășurarea fazei auxiliare sunt conectate cele două contacte (fig. 7.22, b) fixe față de stator și acționate de dispozitivul centrifugal; cind motorul este în repaus, contactele sunt închise. După pornirea motorului, pe măsură ce rotorul se accelerează, dispozitivul centrifugal acționează, iar discul circular care menține contactele închise, în stare de repaus, se îndepărtează de acestea și ca urmare contactele se deschid (fig. 7.22, c). O dată cu deschiderea acestor contacte, înfășurarea auxiliară este scoasă din circuit ea având numai rolul de a asigura pornirea. În fig. 7.22, d se pot vedea contactele folosite pentru faza auxiliară și modul de consolidare a suporturilor acestora, de scutul mașinii. Schemele de conexiuni ale înfășurărilor motorului înainte de pornire și după pornire sunt reprezentate în fig. 7.23 și 7.24.

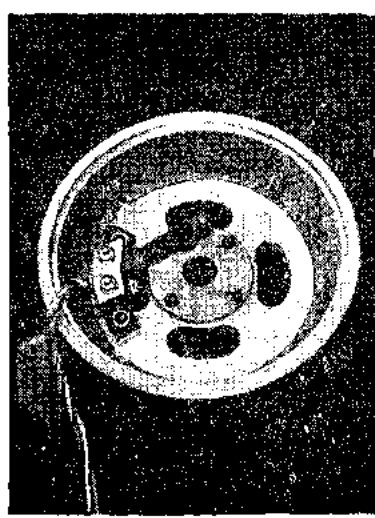
În ultima schemă, la închiderea întrerupătorului K se stabilește un curent relativ mare prin înfășurarea de sarcină inseriată cu bobina electromagnetului ab. Ca urmare a acestui fapt armătura articulată în 0 este atrasă și astfel se închid contactele c, d care introduc în circuit și înfășurarea de pornire. Motorul pornește și pe măsură ce rotorul se accelerează, curentul care străbate bobina electromagnetului scade și, ca urmare contactele c, d se deschid sub acțiunea resortului r deconectând înfășurarea auxiliară din circuit. De obicei, electromagnetul cu bobina ab se montează chiar pe motor pentru a fi ușor accesibil.

La alimentarea fazei auxiliare de la aceeași sursă ca fază principală, se utilizează condensatoare conectate în serie cu faza auxiliară. Utilizând condensatoare pentru defazarea tensiunii de alimentare a fazei auxiliare, cuplul de pornire crește; dacă circuitul fazei auxiliare nu este întrerupt după pornire, condensatorul are și rolul de a îmbunătăți factorul de putere al acestor motoare.

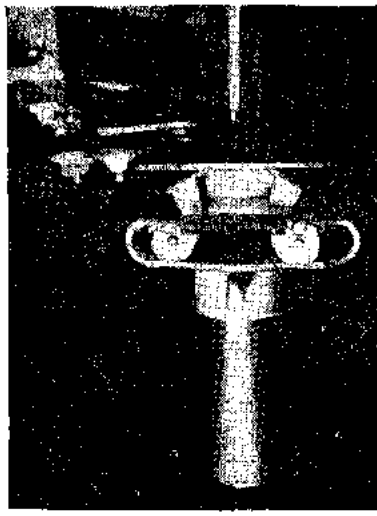
Schema cea mai răspîndită pentru motoarele monofazate cu condensator conectat în faza auxiliară este reprezentată în fig. 7.25. La pornire, condensatorul  $C_1$  este conectat în paralel cu condensatorul  $C$ , cu ajutorul comutatorului  $K_1$  aflat pe poziția 1. După pornire condensatorul  $C_1$  poate fi scos din circuit (comutatorul  $K_1$  pe poziția 0) sau poate fi pus în paralel cu schema motorului între bornele  $U'$ — $X'$ — $X$ , (comutatorul  $K_1$  pe poziția 2). Condensatorul  $C$  rămîne în circuit în tot timpul funcționării.



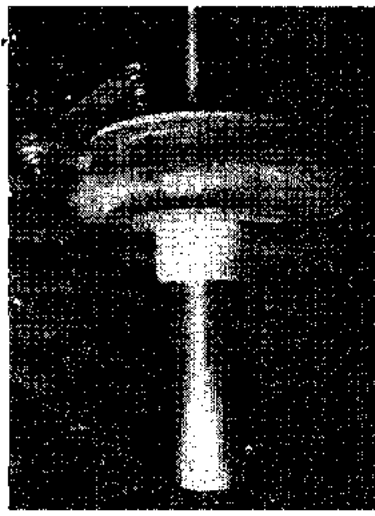
b



d



a



c

Fig. 7.22. Elemente constructive componente ale unui motor monofazat cu fază auxiliară și dispozitiv centrifugal:

- a — rotorul și dispozitivul centrifugal; b — dispozitivul centrifugal cind rotorul se mișcă în miscare de rotație; c — dispozitivul centrifugal, cind rotorul se mișcă în poziție pentru fază auxiliară; consolidarea suporturilor lor de scurtul motorului.

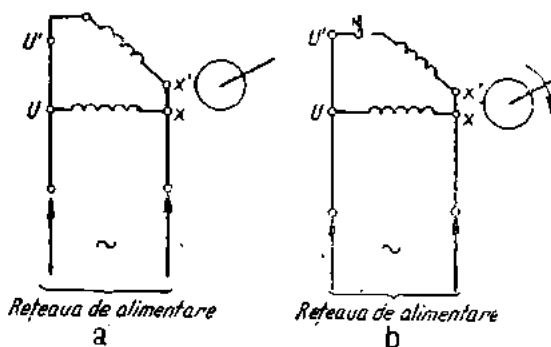


Fig. 7.23. Schemă electrică de conexiune a înșurărilor motorului monofazat cu fază auxiliară și dispozitiv centrifugal:  
a — înainte de pornire; b — după pornire (în funcționare).

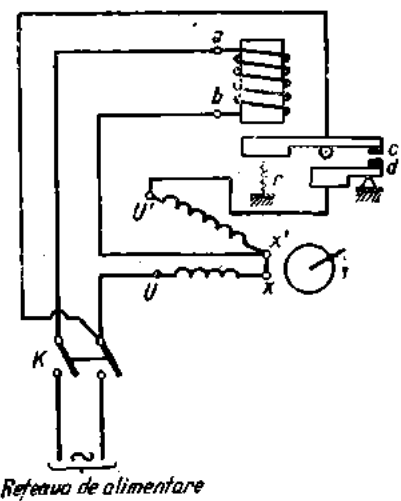


Fig. 7.24. Schemă electrică de principiu a motorului monofazat cu fază auxiliară cu dispozitiv electromagnetic.

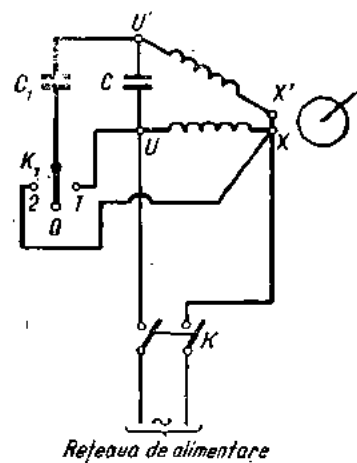


Fig. 7.26. Schemă electrică de principiu a unui motor monofazat cu fază auxiliară, cu condensatoare

In practică se întâlnesc adesea motoare monofazate cu fază auxiliară obținute din motoare trifazate obișnuite. Schemele electrice principale ale acestor motoare sunt reprezentate în fig. 7.26. Notațiile de pe scheme corespund extremitățile înfășurărilor trifazate:  $A-X$  pentru înfășurarea fazei 1,  $B-Y$  pentru înfășurarea fazei 2 și  $C-Z$  pentru înfășurarea fazei 3 (v. cap. 5). Condensatoarele reprezentate în diferitele scheme (fig. 26, a, b, c, d) sănătate conectate în circuit în tot timpul funcționării motorului.

#### Înfășurare monofazată cu schimbarea numărului de poli

O înfășurare pentru un motor asincron monofazat prevăzut cu schimbarea numărului de poli, este reprezentată în fig. 7.27. Înfășurarea principală, reprezentată în figură prin linie continuă, este realizată din două conduceuri bobinate în paralel, însă izolate între ele. La comutatorul  $K$  se scot patru capete de la înfășurarea principală. Înfășurarea auxiliară este reprezentată în figură cu linie întreruptă și conectată la comutatorul  $K$  printr-un întrerupător centrifugal  $Ic$ .

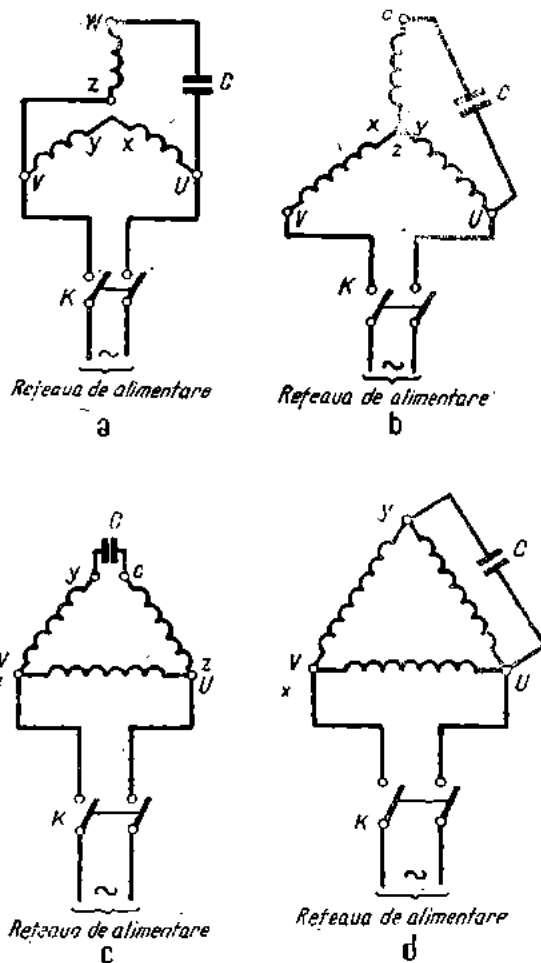


Fig. 7.26. Schemele electrice principale ale înfășurărilor motoarelor monofazate cu fază auxiliară și cu condensatoare:

a și b — rezultate din înfășurări trifazate conectate în stea; c și d — rezultate din înfășurări trifazate conectate în triunghi.

Așezând comutatorul  $K$  pe bornele 1 și 3, înfășurarea principală este tetrapolară; cind comutatorul  $K$  este așezat pe bornele 2 și 4, înfășurarea principală este bipolară. Înfășurarea auxiliară se comportă în parte ca o înfășurare bipolară și în parte ca înfășurare tetrapolară.

Avantajul acestei scheme constă în faptul că printr-o schemă simplă de conexiuni la borne și cu un număr minim de capete de înfășurare se realizează schimbarea numărului de poli, menținind același număr de spire pe calea de curent.

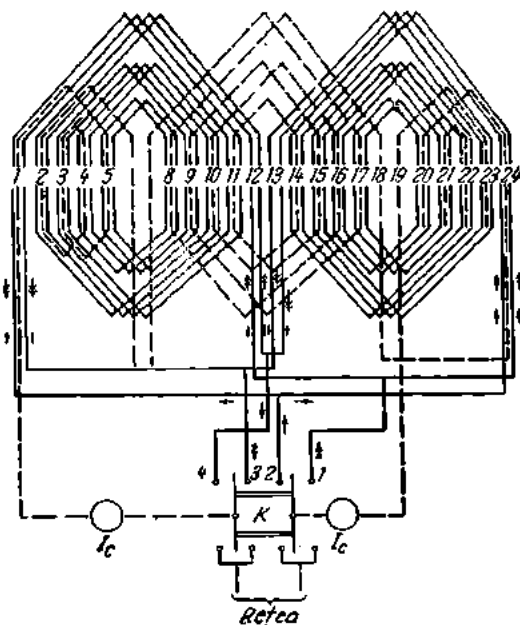


Fig. 7.27. Înfășurare monofazată, cu fază auxiliară prevăzută cu schimbarea numărului de poli în raportul 2=1.

$K$  — comutator;  $I_c$  — interzis centrifugal.

Înfigurările cu repartita sinusoidală a numărului de spire au fost utilizate la motoarele asincrone și sincrone de puteri mici, în vederea micșorării armonicilor cîmpului magnetic. O înfășurare sinusoidală specială a cărei descriere se prezintă mai jos s-a executat la generatoarele sincrone de tensiune sinusoidală folosite în laboratoarele institutelor de cercetări și ale fabricilor constructoare. Concepția și realizarea acestui tip de înfășurare la generatoarele sincrone aparține inginerului M. Bîrgăuanu.

În fig. 7.28 este reprezentată schema desfășurată a unei asemenea înfășurări pentru un motor sincron bipolar. Înfășurarea trifazată are  $Z=12$  crestături, pasul fiind  $y=6$ , și este executată în trei straturi.

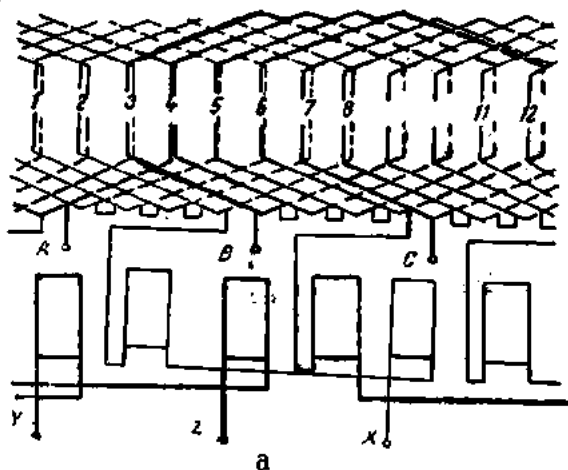
Straturile inferior și din mijloc aparțin înfășurării în două straturi executată cu număr de spire diferit de bobină, fiind reprezentată în fig. 7.28, a; dispunerea în crestături a laturilor de bobine este reprezentată în fig. 7.28, b, iar așezarea laturilor de bobină în crestătură 1 este reprezentată în fig. 7.28, c.

### Înfășurări sinusoidale trifazate

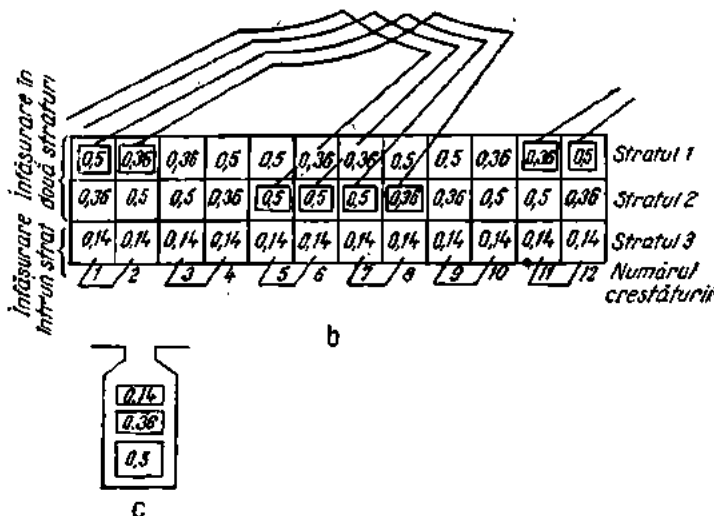
Înfășurările cu repartita sinusoidală a numărului de spire au fost utilizate la motoarele asincrone și sincrone de puteri mici, în vederea micșorării armonicilor cîmpului magnetic. O înfășurare sinusoidală specială a cărei descriere se prezintă mai jos s-a executat la generatoarele sincrone de tensiune sinusoidală folosite în laboratoarele institutelor de cercetări și ale fabricilor constructoare. Concepția și realizarea acestui tip de înfășurare la generatoarele sincrone aparține inginerului M. Bîrgăuanu.

În fig. 7.28 este reprezentată schema desfășurată a unei asemenea înfășurări pentru un motor sincron bipolar. Înfășurarea trifazată are  $Z=12$  crestături, pasul fiind  $y=6$ , și este executată în trei straturi.

Straturile inferior și din mijloc aparțin înfășurării în două straturi executată cu număr de spire diferit de bobină, fiind reprezentată în fig. 7.28, a; dispunerea în crestături a laturilor de bobine este reprezentată în fig. 7.28, b, iar așezarea laturilor de bobină în crestătură 1 este reprezentată în fig. 7.28, c.



a



c

Fig. 7.20. Înăsurare trifazată cu repartiție sinusoidală având trei mănușchiuri pe creștătură:

- schema desfășurată;
- dispozitiva laturilor de bobine în creștătură;
- așezarea laturilor de bobine în creștătură 1.

Din fig. 7.28, b în care s-a reprezentat desfășurat repartitia spirelor înfășurării, rezultă că bobinele care compun înfășurarea de fază au numere diferite de spire și sunt astfel dispuse încât se repartizează în crestături după o lege sinusoidală, la fel ca înfășurările monofazate cu fază auxiliară cu repartitie sinusoidală (v. fig. 7.16—7.21). De observat că la înfășurările sinusoidale trifazate se dispun în toate crestăturile același număr de conductoare, adică toate crestăturile au același factor de umplere, spre deosebire de înfășurările monofazate cu fază auxiliară și repartitie sinusoidală la care în crestături sunt numere diferite de conductoare.

Înfășurările de fază ale înfășurărilor sinusoidale trifazate sunt identice și cuprind același număr de bobine (bobine diferite între ele ca deschidere și număr de spire (fig. 7.28, a, sus și jos). Eficacitatea acestor înfășurări este cu atât mai mare cu cât numărul de crestături pe pol (care este egal cu  $mg$ ) este mai mare, repartitia lor apropiindu-se în acest fel de cea sinusoidală.

### 7.3. ÎNFĂȘURARI IMPRIMATE

Reducerea costului de fabricație la aparatelor de radio și televizoare prin utilizarea circuitelor imprimante a condus la extinderea acestor circuite și la mașinile electrice mici, urmărindu-se și în acest caz reducerea costului mașinii.

Rezultatele pozitive obținute la experimentarea unor astfel de mașini permit să se întrevadă aplicații interesante, în viitor, și ale acestor înfășurări.

În fig. 7.29 este reprezentată schița unei mașini de curent continuu plană cu înfășurarea imprimată. În legenda figurii se pot identifica elementele constructive ale acesteia.

Mașina nu mai are crestături; înfășurarea în acest caz este situată direct în întrefierul mașinii. Pentru simplitate, mașina se execută cu întrefierul plan, rotorul căpătind astfel forma unui disc. De fapt rotorul constă dintr-un disc sau alt material izolant, având pe ambele fețe imprimată înfășurarea buclată sau ondulată.

În fig. 7.30 sunt reprezentate grafic o înfășurare buclată (fig. 7.30, a) și una ondulată (fig. 7.30, b) de curent continuu, de tipul înfășurărilor imprimante. De remarcat că în acest caz înfășurarea are o singură bobină pe crestătură formată dintr-o singură spiră. Laturile active ale spirei sunt notate cu 1—1', părțile frontale ale spirelor — cu 3—3', iar extremitățile spirei (care îndeplinește și rolul lamelor

de colector) — cu 2—2'. Discul izolant rotoric reprezintă în acest caz izolația dintre cele două straturi ale înfășurării și îndeplinește și rolul de suport al înfășurării. Unul dintre straturile înfășurării este așezat pe o parte a discului, iar celălalt strat pe partea cealaltă ; legătura dintre cele două conductoare ale spirei se face pe partea exterioară

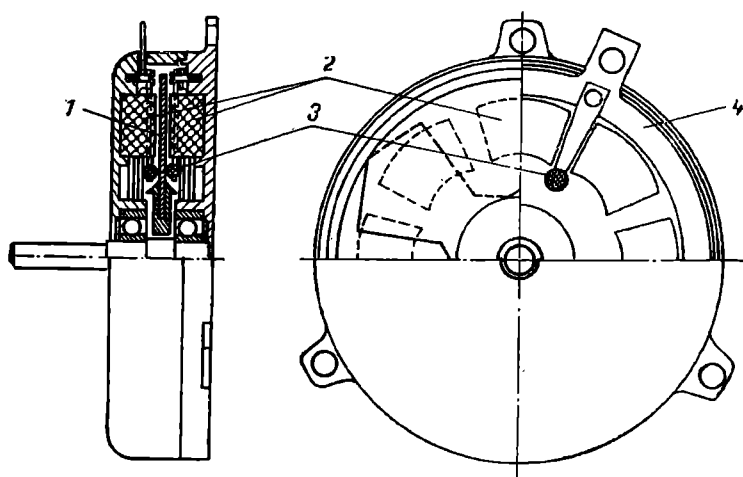


Fig. 7.29. Schița unei mașini de curent continuu cu înfășurarea imprimată :

1 — discul rotor cu bobinaj imprimat; 2 — polii din magnezi sinterizați; 3 — periile de grafit; 4 — inel de legătură între portperi.

a discului și respectiv pe partea interioară dinspre centrul discului ; legăturile din interior îndeplinesc și rolul de lamele de colector pe care calcă periile colectoare.

**Înfășurarea se poate executa în două feluri :**

— în primul caz se depune un strat conductor din grafit sau din argint în stare coloidală, prin presare sau prin imprimare pe fundul canalelor executate în discul izolant, de o parte și de alta a acestuia. Stratul conductor poate fi aplicat o dată cu imprimarea discului. Umplerea canalului se face prin depunerea cuprului în baie electrică ;

— în al doilea caz se procedează astfel : pe fiecare față a discului se lipește, cu o substanță izolantă, cîte o foaie de cupru (avînd grosimea de cîteva zecimi de milimetru), se acoperă apoi suprafața liberă a cuprului cu lac de bachelită polimerizat parțial. Pe suprafața liberă

se trasează, prin zgăriere, „izolația“ dintre conductoare. Cuprul dezisolat se atacă apoi cu acid ortofosforic în baie electrolitică; după aceea se execută „lipiturile“ cu cositor sau pe cale mecanică la capetele conductoarelor.

Caracteristic pentru aceste înfășurări sunt următoarele :

- permit densități mari de curent (pînă la  $100 \text{ A/mm}^2$ );
- se construiesc pentru tensiuni relativ joase, din cauza numărului relativ mic de conductoare ale înfășurării.

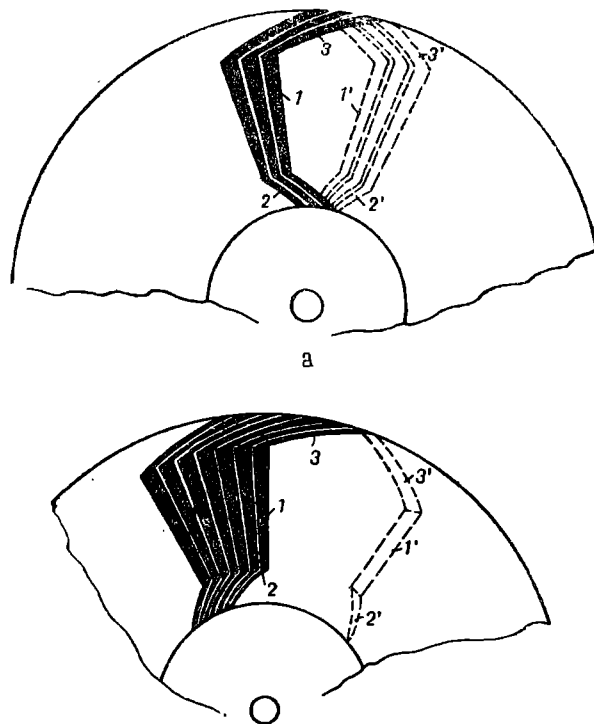


Fig. 7.30. Porțiune din schema desfășurată a unei porțiuni de înfășurare imprimată :  
a — înfășurare buclată; b — înfășurare ondulată.

Asemenea înfășurări se pot construi și pentru mașinile de curent alternativ, tehnologia rămînind aceeași. Si în acest caz se trece de la mașinile cilindrice la mașinile plane pentru a simplifica la maximum operațiile de execuție.

## 8. Elementele constructive ale circuitului înfășurărilor mașinilor electrice

### 8.1. ELEMENTELE AUXILIARE ALE CIRCUITULUI ELECTRIC

Circuitul electric al înfășurărilor mașinilor electrice este alcătuit din înfășurarea propriu-zisă și dintr-o serie de piese din materiale conducătoare, cu ajutorul cărora se face legătura electrică între înfășurare și borne.

Extremitățile înfășurărilor statorice se leagă la borne prin conductoare de legătură (cabluri de legătură sau bare de legătură), așa cum este reprezentat în fig. 8.1. În fig. 8.2 sunt reprezentate elementele componente ale circuitului unei înfășurări de excitație a unei mașini de curent continuu.

În cazul înfășurărilor așezate pe rotoare se întâlnesc în plus elementele de contact, având o parte situată pe rotor și mișcindu-se o dată cu acesta (colectorul la înfășurările de tip inducție de curent continuu și inelele de contact la înfășurările de tip curent alternativ) și o parte fixă (periile colectoare) montată pe statorul mașinii, așa cum este reprezentat în fig. 8.3 pentru o înfășurare de curent alternativ trifazată, așezată pe rotor.

Din examinarea acestor figuri rezultă că circuitele înfășurărilor au elemente comune. În esență, ele se compun din următoarele :

- înfășurarea propriu-zisă ;
- conductoarele de legătură între capetele înfășurării și conductoarele de legătură la borne ;
- colectorul sau inelele de contact și periile, la înfășurările așezate pe rotor ;
- bornele montate pe placa de borne.

Circuitul înfășurărilor în colivie ale motoarelor asincrone, ca și acelea ale celorlalte tipuri de înfășurări în scurtcircuit (înfășurări de pornire, înfășurări de amortizare), se compun din barele conductoare introduse în crestăturile miezului magnetic și inelele de scurtcircuitare care leagă barele între ele, așa cum este reprezentat în fig. 8.4.

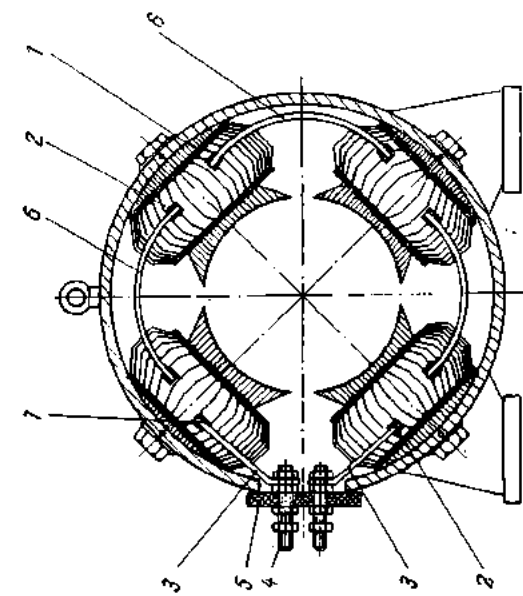


Fig. 8.2. Elementele componente ale circuitului unei înăsurări de excitare a unei mașini de curent continuu:

1, 2 — capetele înăsurării; 3 — conductoare de conexiune;

4 — bornă; 5 — placă de borne; 6 — conductoare de conexiune a bochinei polare.

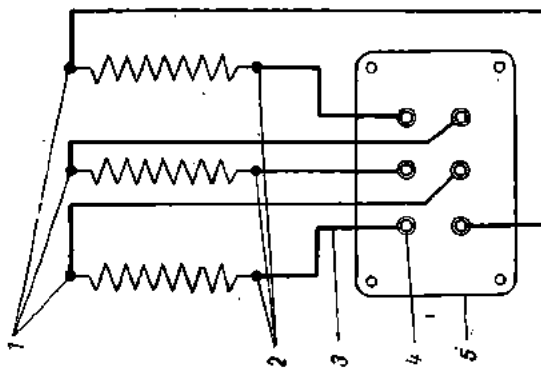


Fig. 8.1. Elementele componente ale circuitului unei înăsurări de curent alternativ trifazată statotică:

1, 2 — capetele înăsurării; 3 — conductoare de conexiune la bornă; 4 — bornă;

5 — placă de borne.

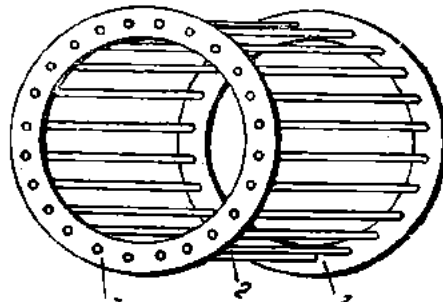
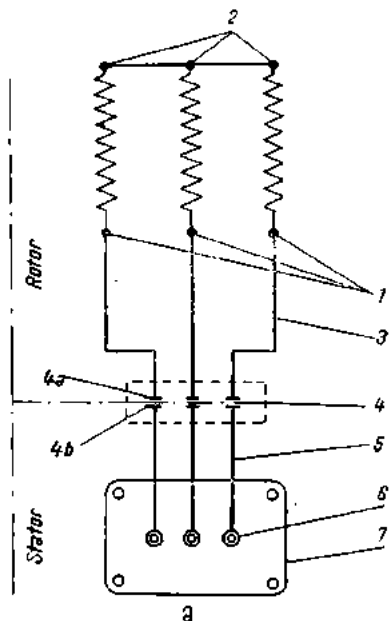


Fig. 8.4. Elementele componente ale circuitului înfășurării în colivie a rotoarelor motoarelor asincrone:  
1 — inele de scurtcircuitare; 2 — bară.

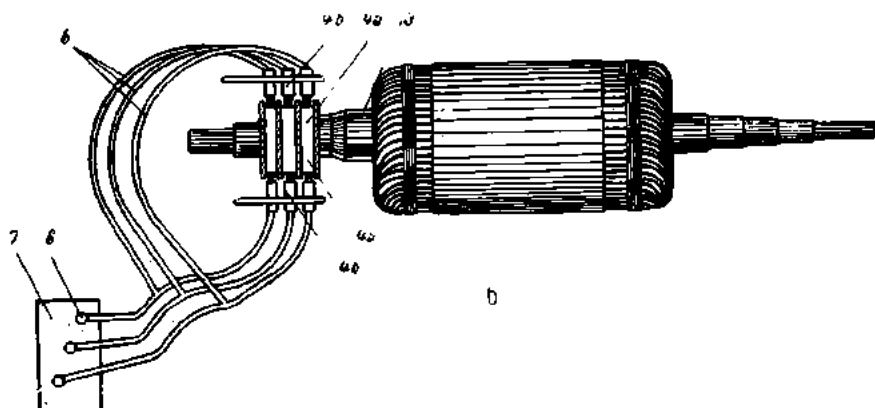


Fig. 8.3. Elementele componente ale circuitului unei înfășurări de curent alternativ trifazat așezată pe rotorul unei mașini asincrone:  
a — schema electrică; b — vedere; 1, 2 — bornele înfășurării fazelor; 3 — conductoare de legătură la inelele de contact; 4a — inelele de contact; 4b — perile colectoare; 5 — conductoare de conexiune la borne; 6 — borne; 7 — placă de borne.

## 8.2. CONDUCTOARELE DE LEGĂTURĂ

Conductoarele de legătură servesc la conectarea între ele a bobinelor înfășurărilor atât în vederea realizării schemei înfășurării, cît și pentru legarea înfășurării la borne.

Conductoarele de legătură dintre secțiunile înfășurării se aleg corespunzător porțiunii din înfășurare în care sunt utilizate.

Astfel, pentru legături în cadrul aceleiași căi de curent se folosesc conductoare având aceeași secțiune ca cele utilizate pentru confectionarea înfășurării. În multe cazuri (în special în cazul mașinilor de tensiune joasă și de putere mică ale căror înfășurări sunt executate din conductor rotund), pentru executarea acestor legături se folosesc capetele secțiunilor de înfășurare (ale bobinelor) care se lasă ceva mai lungi; operația de legare constă din lipirea sau sudarea acestor capete între ele potrivit schemei de conexiuni.

În tabela 8.1 sunt date principalele dimensiuni ale conductoarelor de conexiune cu izolație din cauciuc cloropren, cauciuc butil și cau-

*Tabela 8.1*

**Dimensiunile principale ale conductorului de conexiuni în fabricație la FCME pentru mașinile electrice**

Nr. crt	Secțiunea nominală mm <sup>2</sup>	Grosimea radială a izolației mm	Diametrul exterior al conductorului mm	Masa pe unitatea de lungime kg/km	Caletul de sarcini nr.
<b>1. Conductorul cu izolație din cauciuc cloropren sau butilic</b>					
1.1	4	1,0	6,8	100	
1.2	6	1,0	7,6	130	
1.3	10	1,2	9,6	190	
1.4	16	1,2	10,8	260	
1.5	25	1,4	13,7	380	
1.6	35	1,4	14,3	500	
1.7	50	1,6	16,3	700	
1.8	70	1,6	18,4	920	
1.9	95	1,8	22,2	1230	
<b>2. Conductoare cu izolație din cauciuc siliconic (Pff Si)</b>					
2.1	0,75	0,60	2,50	29	
2.2	1,00	0,60	2,70	31	
2.3	1,50	0,85	3,30	35	
2.4	2,50	1,00	4,10	55	
2.5	4,00	1,00	5,00	75	
2.6	6,00	1,20	6,00	100	
2.7	10,00	1,45	7,70	150	

cauciuc siliconic ce se produc la FCME pentru utilizare în construcția mașinilor electrice.

Pentru executarea legăturilor între căile de curent (cind numărul acestora este mai mare decât două) și pentru realizarea legăturilor la borne, se folosesc conductoare de secțiune mărită, deoarece la înfășurările cu mai multe căi de curent în paralel, curentul care circulă prin conductoarele de legătură este mai mare decât acela care străbate fiecare cale de curent în parte.

În cazul mașinilor de joasă tensiune, conductoarele de legătură la borne se realizează din cabluri flexibile cu izolație de cauciuc și țesătură impregnată, sau din cablu foarte flexibil din liță de cupru cu izolație de cauciuc și textilă.

Înfășurările de curenți mari, cum sunt înfășurările de excitație serie și ale polilor auxiliari la mașinile de curent continuu, se racordă la borne prin conductoare bară, izolate manual după fasonare.

Legătura între înfășurare și conductoarele de legătură se realizează prin sudare electrică, prin lipire, prin nituire sau prin șuruburi, în funcție de secțiunea conductoarelor și de construcția înfășurării. În fig. 8.5 sunt reprezentate tipurile principale de legături.

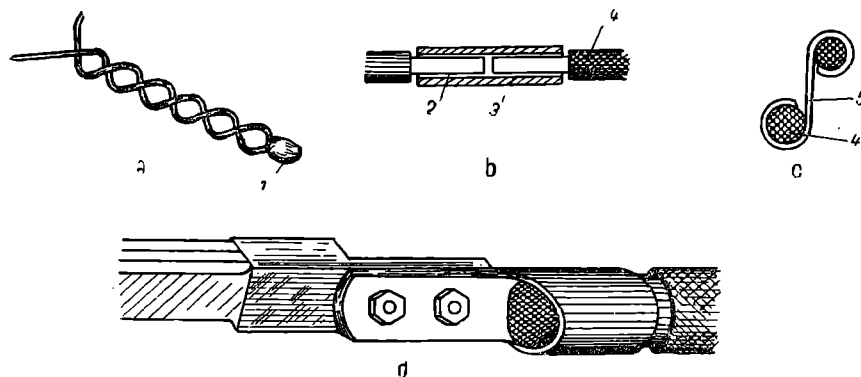


Fig. 8.5. Tipuri de legături între înfășurări și conductoare de legături :  
a — prin sudură; b și c — prin lipire; d — prin șuruburi; 1 — sudură; 2 — cositor; 3 — papuc;  
4 — conductor de legătură; 5 — clemă.

Izolația legăturilor la borne și a conductoarelor de legătură între bobine, căi de curent etc. se alege în funcție de dimensiunea conductoarelor, de tensiunea de serviciu și de clasa de izolație a înfășurării respective.

### 8.3. BORNELE ȘI PLACA DE BORNE

Bornele sunt piesele de legătură dintre circuitul electric al mașinii și rețeaua exteroară mașinii.

Bornele se montează în marea majoritate a cazurilor pe o placă comună, denumită placă de borne. În cazul mașinilor electrice de tensiune joasă (pînă la 500 V) placă de borne se realizează dintr-un material electroizolant cu caracteristici mecanice superioare (pertinax, sticlotextolit, materiale presate, portelan).

Montarea bornelor pe placa de borne se face de obicei prin strîngerea între piulițe de ambele părți ale plăcii de borne sau o dată cu presarea materialului (la plăcile din materiale presate). În fig. 8.6, 8.7 și 8.8 sunt reprezentate unele tipuri de borne și modul de fixare a bornelor pe placă.

Bornele se confectionează de preferință din alamă sau bronz.

De asemenea piulițele și șaibele de strîngere se execută din alamă.

Montarea bornelor pe plăcile de borne se face la distanțe care să asigure izolația corespunzătoare tensiunii electrice de încercare a ansamblului. Distanța izolantă dintre borne se consideră de-a lungul suprafeței plăcii de borne prin aer între borne, considerind papucii cablurilor de legătură montați. În STAS 243-60 sunt indicate dimensiunile papucilor de cablu cu ureche închisă (tip. A) și cu ureche deschisă (tip B). La stabilirea distanțelor  $a$  și  $b$  trebuie de asemenea să se țină seama de legăturile care se pot face la placa de borne cu punți de legătură, cum, de exemplu, este situația arătată în fig. 8.6, b și c pentru ca aceleași punți să poată fi folosite la realizarea atât a conexiunii stea, cât și a conexiunii triunghi, la o infășurare trifazată (cînd  $a = b$ ). Așa cum este arătat în fig. 8.9 pentru o mașină de curent continuu și în fig. 8.10 pentru o mașină sincronă cu excitatoare, legăturile infășurărilor la placa de borne se fac după o schemă de conexiuni a mașinii, bornele fiind marcate corespunzător.

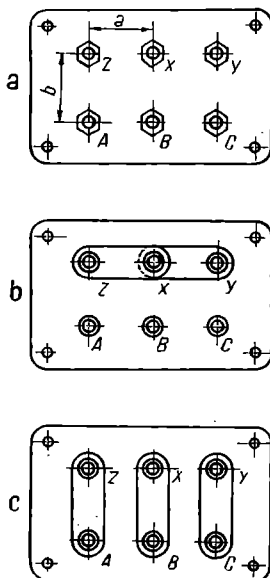


Fig. 8.6. Placa de borne a unei mașini de curent alternativ trifazată (a), cu schema de conexiuni stea (b) și triunghi (c).

În figura 8.6, a și b se arată schema de conexiuni a unei mașini trifazate. Schema de conexiuni este similară cu cea arătată în figura 8.9, dar se aplică la un motor trifazat. În figura 8.6, c se arată schema de conexiuni a unei mașini trifazate, unde bornele sunt fixate pe plăcile de borne.

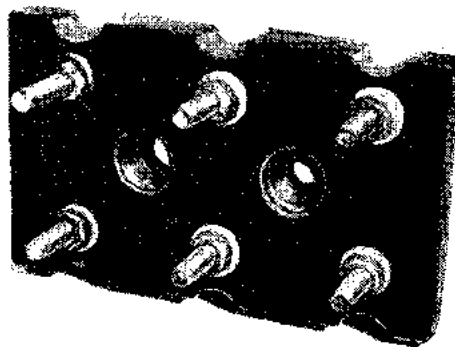


Fig. 8.7. Placă de borne pentru mașini de joasă tensiune.

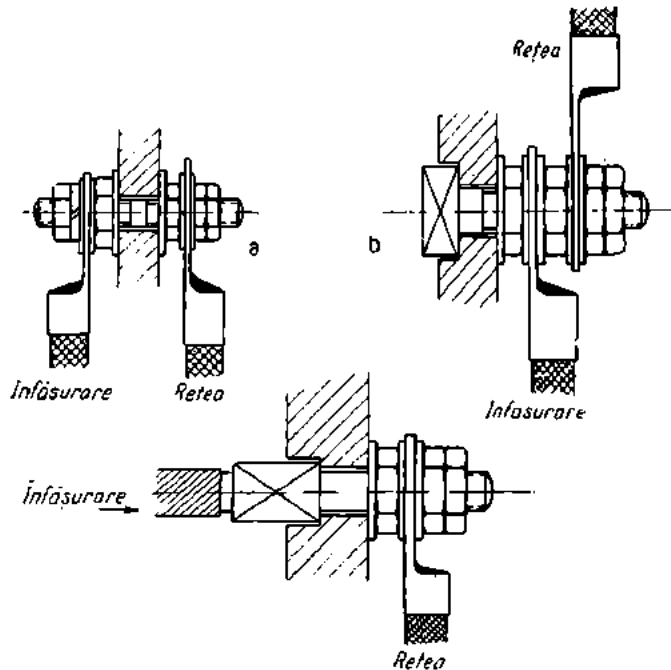


Fig. 8.8. Moduri de fixare a bornelor mașinilor electrice de joasă tensiune la placă de borne și de executare a legăturilor :

a — strângere prin șurub și pigiliță, legăturile de ambele părți; b — bornă.

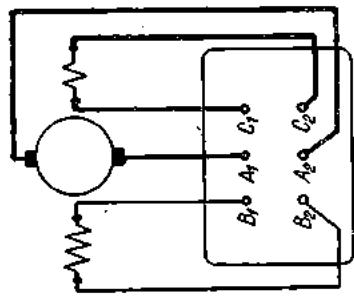
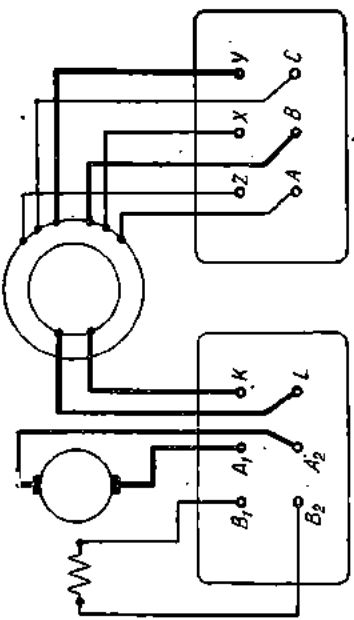
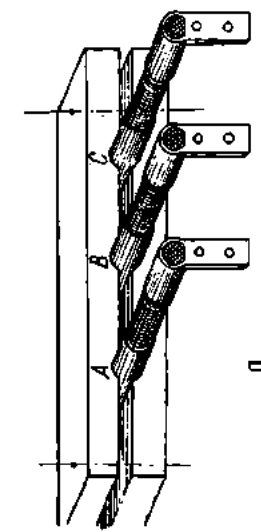


Fig. 8.9. Legăturile la placă de borne la o mașină de borne la o mașină de curent continuu compund.



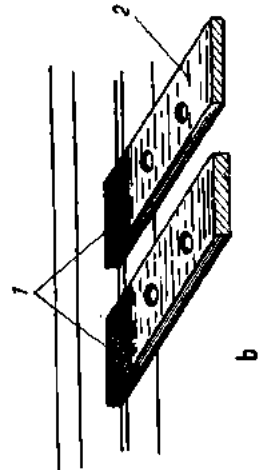
a

Fig. 8.10. Legăturile la placă de borne la o mașină sincronă cu excitație proprie : a — placă de borne cu legea de excitație la infășurarea de excitație; b — placă de borne a mașinii sincrone.



d

Fig. 8.11. Tipuri de borne pentru mașinile electrice de tensiune joasă și curenti mari : a — caburi cu papet de legătură; b — bare de legătură; 1 — strat de vopsea; 2 — strat de cositor sau argint.



b

La mașinile de tensiune joasă și curent mare, la conductoarele sau cablurile de legătură se leagă direct cablurile rețelei; în acest scop capetele infășurării se prevăd cu papuci sau capete de legătură, așa cum este reprezentat în fig. 8.11 și 8.12.

În cazul mașinilor de tensiune înaltă, bornele infășurărilor se realizează de obicei în două forme constructive, așa cum este reprezentat în fig. 8.13 și anume: sub formă de bare izolate, terminate cu porțiuni special pregătite pentru raccordul cablurilor de legătură (barele de legătură) ale rețelei (fig. 8.13, a) sau conductoarele de legătură de la infășurare sunt legate la borne care trec prin izolație (fig. 8.13, b). În ultimul caz, placa de borne este metalică și pentru a se evita producerea de pierderi suplimentare se creștează canale radiale față de borne, în jurul fiecărui izolator (4 în fig. 8.13, b).



Fig. 8.12. Borne realizate cu cabluri flexibile.

Pentru ușurarea condițiilor de montaj și de utilizare a mașinilor electrice în instalații existente este necesar uneori ca ele să poată fi alimentate de la rețea dintr-o anumită poziție a cablurilor de alimentare. Pentru aceasta se obisnuiește ca în special motoarele să fie astfel construite, încât să poată fi alimentate cu cablu din ambele părți ale carcasei. La motoare de puteri mici pînă la 100 kW, acestea se realizează prin construcția statorului mașinii cu pachetul de tole așezat simetric în carcăsă, astfel încît poziția cutiei de borne să se poată inversa ușor prin schimbarea scuturilor între ele.

La motoarele cu puteri mai mari sau la unele motoare de putere mică, dar de construcție mai veche, statorul este prevăzut cu cîte o cutie de borne pe ambele părți, respectiv cu două cutii de borne, în care scop cablurile de legătură de la infășurare la borne se dublează, așa cum este reprezentat în fig. 8.14.

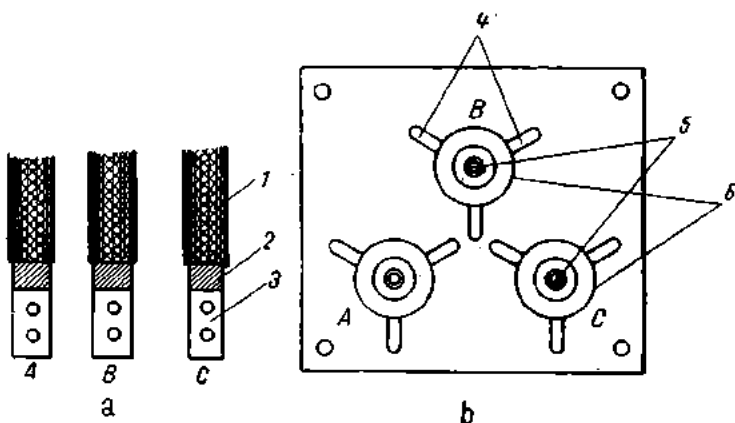


Fig. 8.13. Tipuri de borne pentru mașinile electrice de tensiune ridicată (3 000, 6 000, 10 000 V);

a — cu bare izolate; b — cu izolatoare de trecere cu borne; 1 — izolatie mică-bandă; 2 — vopsea; 3 — suprafață argintată; 4 — canale în placă de borne; 5 — borne; 6 — izolatoare.

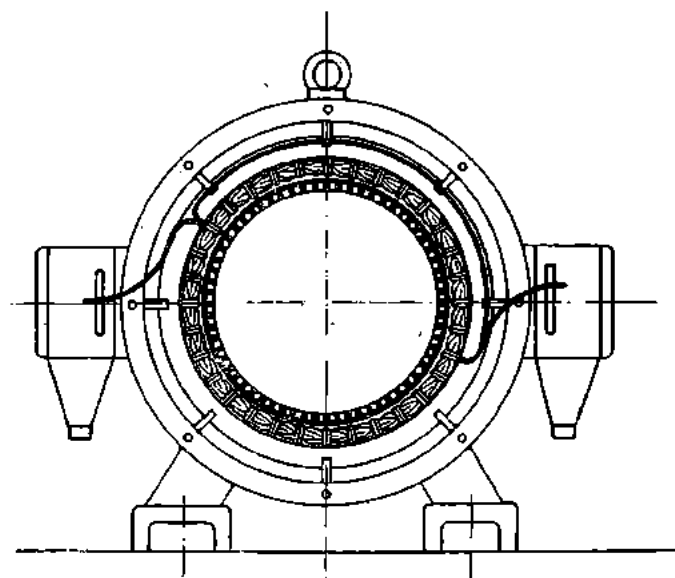


Fig. 8.14. Carcasa mașinilor de curent alternativ de putere mare cu două cutii de borne.

## 8.4. COLECTOARELE ȘI INELELE DE CONTACT

Colectoarele, împreună cu periile care calcă pe acestea, formează dispozitivul de legătură dintre înfășurarea așezată pe rotorul mașinii de curent continuu, respectiv de curent alternativ și placa de borne.

### 8.4.1. Colectoarele

În mașina de curent continuu, colectorul redreseză tensiunea alternativă indușă în înfășurarea rotorului, într-o tensiune aproape continuă și realizează împreună cu periile care calcă pe suprafața sa contactul electric dintre înfășurare și circuitul exterior al mașinii.

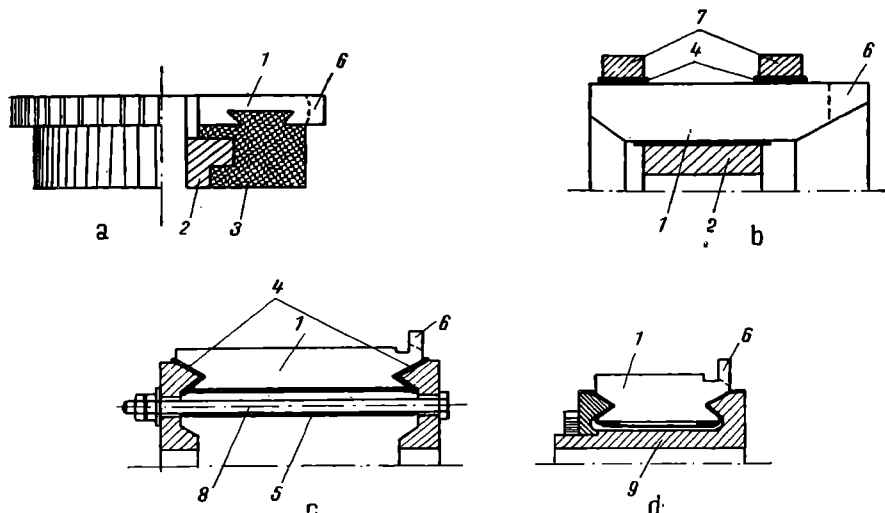


Fig. 8.15. Tipuri uzuale de colectoare :

a — colector radial frontal; b — cilindric, cu inele de stringere; c — cilindric, în coadă de rindunică, cu tijă filetată de stringere; d — cilindric, în formă de pană; 1 — lamelă; 2 — bucă; 3 — masă izolantă; 4 — izolație; 5 — izolație buloane; 6 — steguleț; 7 — inel de stringere; 8 — buloane de stringere; 9 — butuc.

În fig. 8.15 sunt reprezentate principalele tipuri constructive de colectoare folosite în construcția mașinilor electrice și anume : colectorul radial-frontal (fig. 8.15, a), pentru mașini de turăție mare și de puteri reduse (excitațoarele turbogeneratoarelor) și pentru mașini

la care se impun condiții de funcționare fără zgomot ; colector cilindric cu inele de strîngere (fig. 8.15, b), pentru mașini de puteri mijlocii și turații mari ; colector cilindric în coadă de rîndunică (fig. 8.15, c), pentru mașini de putere mare și turație redusă și, în sfîrșit, colector cilindric în formă de pană (fig. 8.15, d), pentru mașini de puteri mici și medii și turații medii și mari (mașinile uzuale).

În fig. 8.16 este reprezentat colectorul în coadă de rîndunică și elementele componente ale acestuia. Lamelele de cupru 1, avînd secțiunea trapezoidală, pentru rigidizarea lor în cadrul colectorului, sînt prelucrate în sistem coadă de rîndunică, ceea ce permite strîngerea lor între suprafețele conice (în V) ale butucului 5 și conul de strîngere 6. Între lamelele de cupru se introduc lamelele izolante 2 confectionate din micanită specială de colector. În zona stegulețelor, lamelele izolante ies în afara lamelelor de cupru cu 2—3 mm, pentru a împiedica eventuala scurtcircuitare a lamelelor de cupru la execuțarea lipiturilor, prin cositorul scurs de pe steguleț.

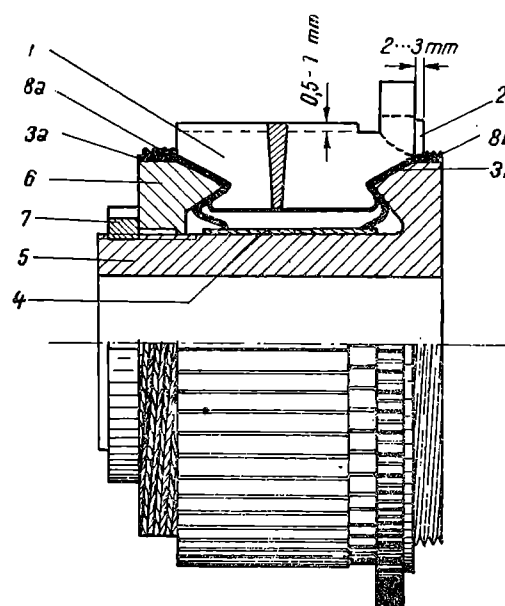


Fig. 8.16. Elemente constructive componente ale colectorului cilindric în coadă de rîndunică :

1 — lamela de cupru; 2 — lamela izolantă; 3a și 3b — conuri izolante; 4 — izolație față de butuc; 5 — butuc colectorului; 6 — conul de strîngere; 7 — piuliță de strîngere; 8a și 8b — bandaje din sfoară pentru consolidarea izolației.

lamelei de micanită la suprafața colectorului, pe o adîncime de 0,5—1 mm ; această operație se numește canelare.

Un colector în stare de funcționare normală trebuie să prezinte următoarele calități :

— suprafața să să fie lucioasă, de culoare uniformă și închisă; apariția de pete de culoare cuprului curat ca și apariția de pete cu depuneri de cărbune de la peria de contact indică o funcționare anormală a colectorului;

— încălzirea colectorului să fie uniformă, în special pe suprafața sa; apariția de zone mai calde pe suprafața colectorului indică funcționarea sa anormală și duce la degradarea colectorului, ca urmare a dilatării neuniforme a unor părți din ansamblul său;

— strângerea colectorului să fie foarte bună la orice regim de funcționare; lovirea sa cu un ciocanel, sunetul obținut trebuie să fie ca al unui corp omogen;

— în funcționarea sa să nu apară bătăi sau jocuri ale lamelelor sau ale coroanei acestora, datorită slăbirii strângerii;

— colectorul trebuie să aibă lamelele de cupru izolate între ele și față de butucul sau dispozitivul de strângere al acestuia; controlul

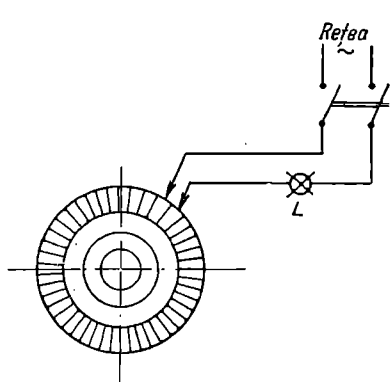


Fig. 8.17. Controlul izolației între lămele de cupru ale colectorului:

$L$  — lampa cu incandescență.

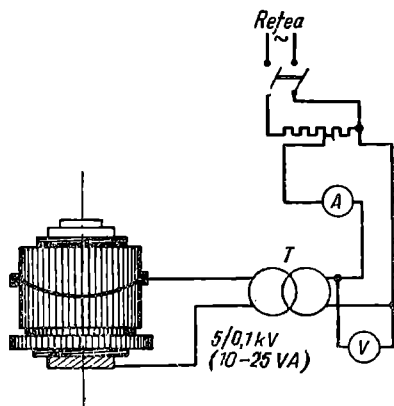


Fig. 8.18. Controlul izolației colectorului față de masă:

$T$  — transformator ridicător având raportul de transformare  $5/0,1$  kV sau  $3/0,1$  kV, iar puterea aparentă de aproximativ, 50 VA.

izolației între lămele se execută conform indicațiilor din fig. 8.17, folosindu-se o lampa de control cu incandescență; verificarea se face între fiecare două lamele vecine.

Controlul izolației lămelor față de butucul colectorului și față de inelul de strângere în V se execută cu ajutorul unei scheme ca

aceea reprezentată în fig. 8.18. Tensiunea de încercare se aplică timp de un minut și se alege în funcție de tensiunea nominală a mașinii ; în nici un caz nu este mai mică decât 2 500 V.

În cazul în care se constată că izolația între lamele sau izolația lamelelor față de butucul colectorului este distrusă, este necesară remedierea sau înlocuirea colectorului.

Datorită frecării periilor pe colector, lamelele de cupru se uzează neuniform și prin aceasta suprafața colectorului nu mai asigură un contact bun cu periile ; în acest caz se recurge la strunjirea colectorului. Lamelele colectoarelor sunt însă astfel dimensionate, încât în exploatare colectorul poate fi strunjit de mai multe ori pînă la

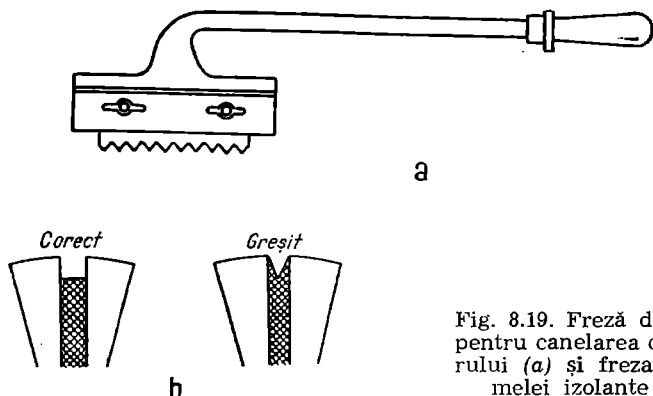


Fig. 8.19. Freză de mină pentru canelarea colectorului (a) și frezarea lamei izolante (b).

10 mm pe rază. După operația de strunjire, se execută canelarea lamelelor izolante pe o adâncime de 0,5—1 mm pe rază. Canelarea se poate executa cu mașini de frezat speciale (în fabricație de serie) sau scule manuale reprezentate în fig. 8.19, unde se arată și felul în care trebuie executată frezarea corectă a lamelei de micanită.

#### 8.4.2. Colectoarele mașinilor mici și micromășinilor

În fig. 8.20 sunt reprezentate două colectoare cilindrice executate cu material plastic și avînd lamelele cu secțiunea fie trapezoidală, fie în L. Pentru asigurarea unei bune consolidări în materialul plastic, profilul conturului lamelelor diferă de coada de rîndunică. De asemenea, pentru consolidare se folosesc inelele 4 (fig. 8.20, b) care se confectionează din sîrmă de oțel arc sau din țeavă.

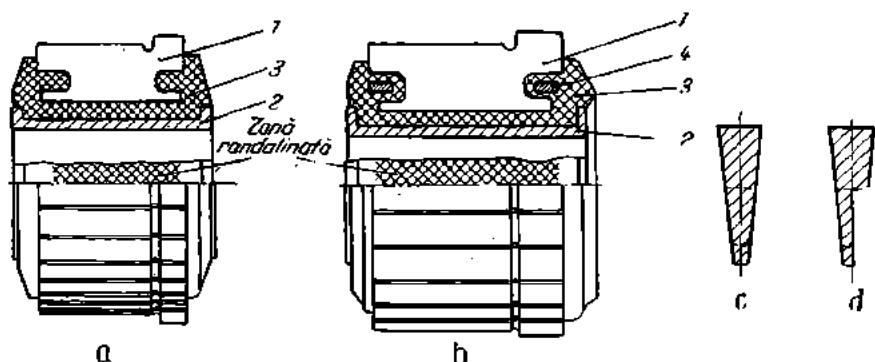


Fig. 8.20. Colectoare cilindrice cu material plastic pentru mașini electrice de putere mică :

a — fără inele de consolidare; b — cu inele de consolidare; c — lamelă cu secțiunea trapezoidală; d — lamelă cu secțiunea în „L”; 1 — lamela de cupru; 2 — bucsă-butuc; 3 — masa plastică; 4 — inele de consolidare.

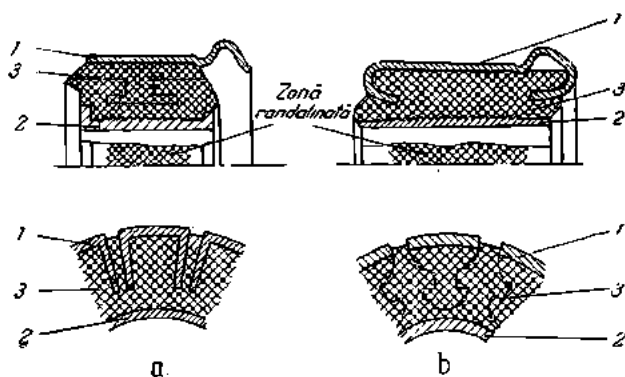


Fig. 8.21. Colectoare cilindrice cu masă plastică și lamelele din bandă de cupru, pentru micromotoare electrice cu fixarea lamelelor : în masa plastică de-a lungul lamelei (a) sau în capetele lamelei (b) ;

1 — lamela de cupru; 2 — bucsă-butuc; 3 — masa plastică.

În fig. 8.21 sunt reprezentate două tipuri de colectoare cilindrice în material plastic de tipul celor ce se utilizează în construcția micro-motoarelor electrice. La aceste colectoare, lamelele de cupru sunt realizate din benzi de cupru cu fixarea de-a lungul lamelelor (fig. 8.21, a) sau în capete (fig. 8.21, b), izolația între lamele fiind realizată de materialul plastic 3 folosit și pentru asamblarea mecanică.

#### 8.4.3. Inelele de contact

Inelele de contact servesc pentru stabilirea legăturii electrice a circuitului exterior cu înfășurarea așezată pe rotorul mașinilor de curent alternativ. Împreună cu periile, ele formează sistemul colector al mașinilor de curent alternativ (asincrone și sincrone). În fig. 8.22 sunt reprezentate două tipuri constructive de inele de contact și anume: tipul realizat prin montarea la cald a inelelor metalice pe bucșă suport izolantă (fig. 8.22, a) și un tip mai modern, utilizat în fabricația în serie, la care inelele metalice sunt înglobate în masa de presare (fig. 8.22, b).

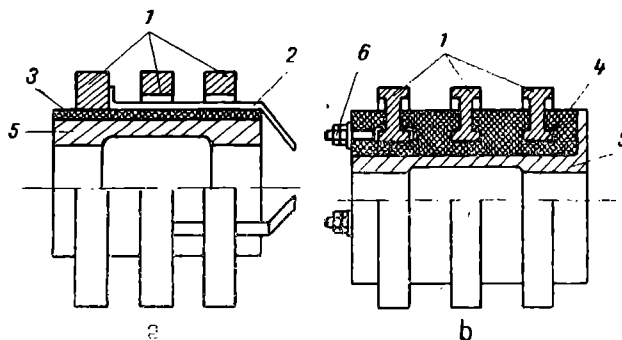


Fig. 8.22. Inele de contact:  
a — trase la cald pe butuc; b — în masă izolantă de presare;  
1 — inele de contact; 2 — lamelă de legătură; 3 — izolație; 4 —  
masă izolantă; 5 — butuc; 6 — bornă.

Ca și colectoarele, inelele de contact trebuie să fie izolate între ele și față de butuc. De asemenea, suprafața de contact de pe inele trebuie să fie lustruită, pentru ca între inel și perie să se obțină o rezistență electrică de trecere cît mai mică. În caz contrar apar scîn-

tei la inele și încălziri excesive care degradează suprafața de lucru și provoacă deranjamente în funcționarea mașinilor.

Izolația dintre inele și față de corp se verifică fie cu ajutorul unui megohmmetru de minimum 500 V, fie cu ajutorul montajului reprezentat în figurile 8.17 și 8.18, operația executându-se între fiecare două inele și între inele și butuc.

## 8.5. PERIILE MAȘINILOR ELECTRICE

### 8.5.1. Condițiile pe care trebuie să le îndeplinească periile

Periile servesc pentru culegerea tensiunii induse în înfășurările rotoarelor mașinilor electrice sau pentru alimentarea lor.

Pentru o bună funcționare a mașinii periile trebuie să îndeplinească următoarele condiții :

- să asigure o cădere de tensiune minimă la trecerea curentului prin suprafața de contact cu colectorul, respectiv cu inelele de contact ;
- să asigure o cădere de tensiune cît mai mică prin corpul periei și în legătura dintre perie și cablu (lița de legătură la partperie) ;
- să suporte o densitate de curent cît mai mare ;
- să aibă un coeficient de frecare cît mai mic în contact cu materialul din care este confecționat colectorul sau inelele de contact ;
- să aibă o structură uniformă, lipsită de incluziuni (granule) de durată și diferențe ;
- să aibă un coeficient de uzură cît mai mic ;
- să suporte cît mai bine vibrațiile atât cele provenite din funcționarea mașinii, cît și cele transmise de la mașină sau mecanismul cu care este cuplată mașina electrică respectivă.

### 8.5.2. Tipuri de perii. Caracteristici

Periile sunt împărțite în patru clase de calitate, în funcție de materialul din care sunt confecționate, caracteristicile lor diferind de la clasă la clasă.

În cadrul claselor sunt stabilite mai multe calități de perii, pe de o parte după granulația materialului, iar pe de altă parte după durata diferențială realizată prin procesul tehnologic (presare, tratament termic).

În tabela 8.2, sunt date clasele și grupele calitative ale periilor și caracteristicile lor funcționale.

Una și aceeași perie, la utilizarea ei pe inelele de contact (la o mașină sincronă sau motor asincron), admite o densitate de curent mai mare decât în cazul utilizării ei pe colector; în cazul colectoarelor la mașinile de curent continuu sau la mașinile de curent alternativ.

**Clasele, grupele calitative**

Clasa materialului și simbolul clasei	Tipul periei			Rezistivitate $\Omega \cdot \text{mm}^2/\text{m}$	Duritatea (Shore)	Tensiunea de rupere V			
	Grupa								
	Nr. grupel	Simbolul grupei	Calitatea materialului						
Clasa I Cărbune grafit „K“	1	K1	Dur	85–40 $<40$	50–70 40–50	8–12 5–10			
	2	K2	Semidur						
Clasa II Grafit „G“	1	G1	Foarte rezistiv	>200 200–80	>30 >30	— — 8–12 3–7 —			
	2	G2	Rezistiv						
	3	G3	Normal	70–30	>30				
	4	G4	Conductiv	30–12	<25				
	5	G5	Abraziv	—	—				
Clasa III Electrogra- fit : „E“	1	E1	Foarte tare	65–51	—	>20 20–15			
	2	E2	Tare	50–41	—				
	2	E3	Normal	40–31	—	15–10			
	4	E4	Slab	30–21	10–75	12–8			
	5	E5	Foarte slab	20–12	—	5–2			
	6	E6	Special	—	—	—			
	7	E7	—	—	—	—			
Clasa IV Metal- grafit „M“	1	M1	Foarte slab	12–6	>20	>1,5 1,5–1,0			
	2	M2	Slab	6–1,5	>20				
	3	M3	Normal	1,5–0,5	>20	1,0–0,5			
	4	M4	Bogat	0,6–0,25	<20	1,0–0,5			
	5	M5	Foarte bo- gat	0,25–0,2	<20	1,0–0,5			
	6	M6	Aliat	0,12–0,08	<20	<0,5			
	7	M7	Bogat aliat	<0,08	—	<0,5			
	8	M8	Bronz spe- cial	—	—	<0,9			

tiv cu colector, datorită fenomenului de comutație, peria este solicitată de curenti mai mari decât cei măsurați în circuitul rotorului (se adaugă curentul de comutație).

Cunoscând presiunea specifică  $p_p$ , admisibilă pe suprafața de contact, se calculează, la o secțiune de perie  $S_p$  dată, forța de apăsare cu care resortul portperiei trebuie să apese peria pe colectorul mașinii (fig. 8.23, a), cu relația

$$F_p = p_p S_p \quad [\text{gf}]. \quad (8.1)$$

Tabela 8.2

și caracteristicile periilor

Cădere de tensiune maximă pe o pereche de peri, V	Densitatea de curent maximă A/cm²		Viteză maximă m/s		Rezistență la întindere (rupere) kgf/cm²	Presiunea, gf/cm²		
	Colector	Inele de contact	Colector	Inele de contact		Colector	Colector tracțiune	Inele de contact
2,5	3-6	—	12	—	300-800	180	350	—
2,5	6-8	—	15	—	150-500	160	320	—
4,5	7	—	15	—	300-400	210	380	—
3,5	9	—	40	—	—	180	280	—
3	10	11	50	60	—	160	—	140
2,5	11	13	25	40	120-250	180	—	160
2,5	—	9	10	15	300-400	210	380	190
3,5	9	10	45	60	—	—	—	—
3,5	10	12	40	50	250-800	—	—	—
3,5	11	13	40	50	—	210	380	210
3,5	10	12	30	40	—	—	—	—
3,0	12	13	40	50	100-300	—	—	—
—	6-9	—	—	—	—	—	—	—
<2,5	10	12	20	25	—	—	—	—
<2	11	15	25	30	150-500	—	—	—
<1,5	12	18	20	23	—	280	380	225
<1,5	13	20	20	23	500-800	—	—	—
<1,2	—	25	—	20	—	—	—	—
<0,5	—	25	—	20	800-2 000	—	—	—
<0,5	—	25	—	20	—	—	—	—
<0,4	—	20-30	—	12-25	—	300	—	250

La înlocuirea unei perii uzate cu una nouă, dacă aceasta nu este bine ajustată pentru a călca pe toată suprafața de contact (fig. 8.23, b), presiunea specifică pe suprafața de contact se mărește.

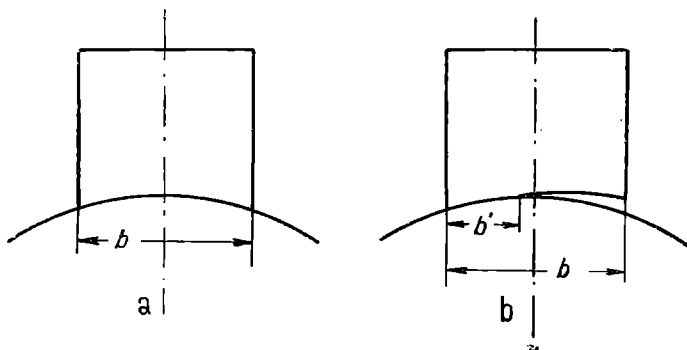


Fig. 8.23. Așezarea periei pe suprafața colectorului (în cele două de contact) :  
a — corectă; b — incorectă.

### 8.5.3. Formele constructive ale periilor

Datorită utilizării și condițiilor de lucru foarte variate la care trebuie să corespundă periile, formele și dimensiunile lor sunt foarte diferite.

În forma completă, o perie are următoarele elemente (fig. 8.24) :

- peria propriu-zisă 1 ;
- armătura din tablă de cupru 2, fixată de peria de cărbune prin niturile 5 ;
- conductorul flexibil de conexiuni 3, fixat de armătura 2 cu ajutorul urechii 6 și care se leagă la contactul fix prin papucul 4.

*Periile de categoria A* ; materialul presat sub formă de placă se taie la dimensiunea periei sau se presează în matrițe la dimensiunile dorite. În fig. 8.25, a, b, c și d sunt arătate cîteva tipuri de peri aparținînd acestei categorii. Periile de cărbune (K1 și K2), din grafit (G1, G2, G3, G4 și G5), precum și acelea din electrografit (E1, E2, E3, E4, E5 și E6) se execută cu suprafața arămită (cuprată) pe maximum o treime din înălțimea periei, aşa cum este reprezentat în fig. 8.26, pentru asigurarea unui contact electric bun cu caseta portperiei.

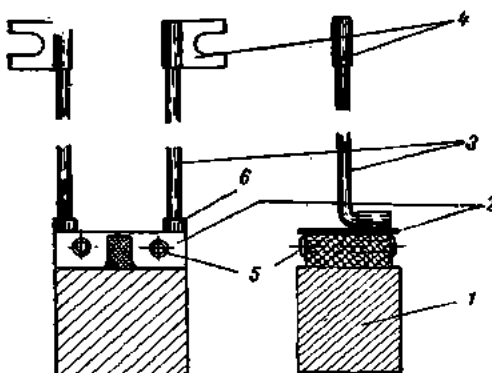


Fig. 8.24. Elementele constructive ale unei perii cu armătură și conductor flexibil de conexiune :

1 — perie de cărbune; 2 — armătura; 3 — conductorul de conexiune; 4 — papucul conductorului; 5 — nit de fixare a armăturii pe perie; 6 — ureche pentru raccordul la conductorul de conexiune.

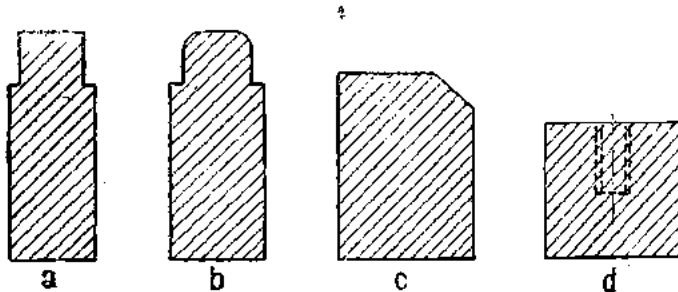


Fig. 8.25. Perii de cărbune simple, fără conductor de conexiuni și fără armătură (categoria A).

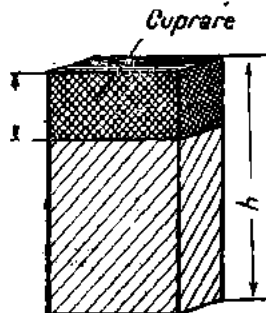


Fig. 8.26. Perie de cărbune arămită.

*Perile din categoria B* au în componența lor (în afară de corpul periei) conductorul de conexiune pentru racordul periei la cablul de racord al portperiei, aşa cum este arătat în fig. 8.27, a, b, c, d, e, f și g.

Conductorul de conexiune, realizat din liță de cupru, se cositor-reste și se introduce în orificiul practicat în perie, fiind solidarizat de aceasta fie prin presare, fie prin nituire.

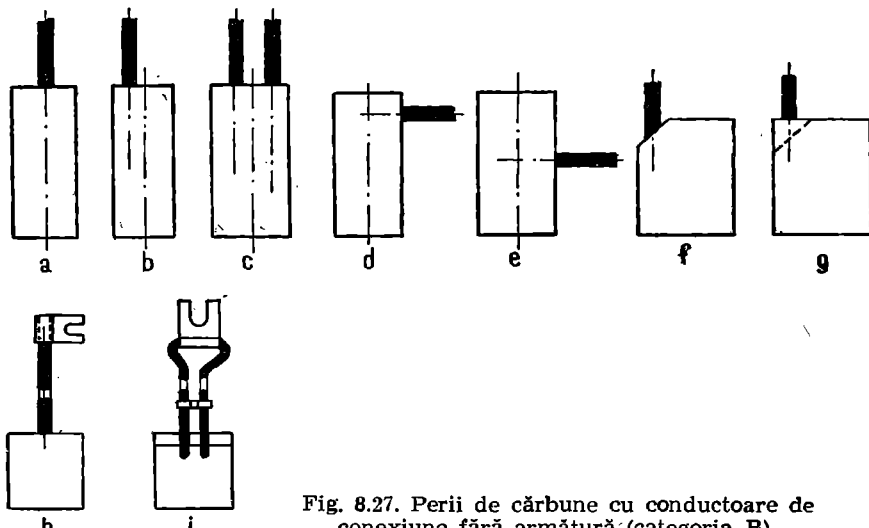


Fig. 8.27. Perii de cărbune cu conductoare de conexiune fără armătură (categoria B).

La extremitatea cealaltă, conductorul de conexiune are un papuc sau clemă, spre a servi la legarea sa la bornele portperiei (fig. 8.27, h și i).

*Perile din categoria C* sunt echipate cu armătură din tablă de cupru și conductor de conexiune, aşa cum se arată în fig. 8.24. În cazul perilor de cărbune, grafit sau electrografit, din această categorie, care sunt arămită, zona arămită este determinată de tipul armăturii aplicate, ea trebuind să fie cel puțin egală cu înălțimea armăturii.

#### 8.5.4. Dimensiunile periilor

Dimensiunile principale ale periilor paralelipipedice sunt reprezentate în fig. 8.28, a și b și anume :

- lungimea  $l$ ;
- lățimea  $b$ ;
- înălțimea  $h$ .

Prin STAS 4199-53 sunt standardizate dimensiunile  $l$ ,  $b$  și  $h$  pentru perile paralelipipedice, valorile standardizate fiind date în STAS 4199-53.

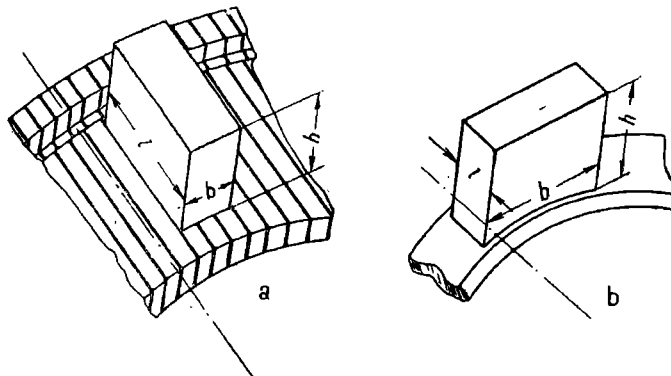


Fig. 8.28. Notarea dimensiunilor periilor.

### 8.5.5. Alegerea periilor

La alegerea celui mai indicat tip de perie pentru fiecare mașină electrică în parte trebuie cunoscute următoarele :

- tipul mașinii (de curent continuu sau alternativ) ;
- regimul de lucru al mașinii care poate fi, din punctul de vedere al duratei de funcționare, regim de durată (continuu) sau regim intermitent (în cicluri), iar din punctul de vedere al caracterului regimului de lucru : regim greu de lucru (tractiune, șocuri mari de sarcină), regim normal de lucru, regim ușor de lucru ;
- caracteristicile funcționale principale ale periei impuse de mașină ; densitatea curentului prin perie și viteza periferică a colectorului sau inelului de contact ;
- caracteristicile de exploatare ale tipurilor de perii ;
- tipul de perie folosit anterior, în cazul alegерii unei perii noi cu ocazia operațiilor de întreținere curentă la mașinile din exploatare.

Densitatea curentului prin perie,  $J_p$  se calculează cu relația

$$J_p = \frac{I_p}{S_p} \quad [\text{A/cm}^2] \quad (8.2)$$

în care :

$I_p$  este intensitatea curentului prin perie, în A ;

$S_p$  — secțiunea periei, în  $\text{cm}^2$ .

La mașina de curent continuu, valoarea intensității curentului nominal  $I$  (în amperi) este dată pe eticheta mașinii. Acest curent se distribuie pe toate periile pozitive și respectiv pe toate periile negative.

Curentul  $I_p$  printr-o perie se determină împărțind curentul  $I$  la numărul de peri pozitive (sau negative)  $n_p$ , adică

$$I_p = \frac{I}{n_p} \quad [\text{A}]. \quad (8.3)$$

Numărul de peri de același nume (pozitive sau negative) se obține la rîndul său lînd jumătatea produsului dintre numărul tijelor portperi și numărul periilor de pe o tijă.

La mașina asincronă sau sincronă, este dată valoarea intensității curentului rotoric  $I_r$  (în amperi) pe eticheta mașinii.

Curentul  $I_p$  printr-o perie se determină împărțind curentul  $I_r$  la numărul total de peri care calcă pe același inel  $n_{pi}$ , adică

$$I_p = \frac{I_r}{n_{pi}} \quad [\text{A}]. \quad (8.4)$$

Viteza periferică a colectorului sau inelului de contact  $v_k$  se determină din valoarea turăției rotorului, în rotații pe minut, și diametrul colectorului  $D_k$  sau inelul de contact, exprimat în metri, cu ajutorul relației

$$v_k = \frac{3,14 D_k n}{60} = 0,0524 D_k n \quad [\text{m/s}]. \quad (8.5)$$

Diametrul  $D_k$  al colectorului sau al inelilor de contact este diametrul măsurat pe suprafața pe care calcă periile.

În tabela 8.3 sunt date unele indicații privind alegerea calității periei în funcție de caracteristicile mașinii.

În anexa IX este dată corespondența unor tipuri de peri de fabricații diverse.

Tabelă 8.3

## Indicații cu privire la alegerea calității perilor

Caracteristicile mașinii		Densitatea de curent la ferii A/cm. <sup>2</sup>	Viteză periferică a colecto- rului sau a inelului m/s	Calitatea periei	
				I alegere	Alte posibilități
Cu inele	Cu ridicător de perii	<20	<15	M6	—
	Cu ridicător de perii	<15	<25	M5	—
	Cu ridicător de perii	<12	<20	M4	—
	Cu ridicător de perii	< 6	<15	M3	E3
	Fără ridicător de perii (inclusiv convertizor cu un induc)	<20 10—12	<15 <25 <25	M1 M6 M3	M6 M3, E5 F5, G4
	Perii protejate (capsu- late)	—	—	M1	—
	Perii protejate și venti- late	—	—	M5	M4
	Mașini cu ax vertical	—	—	M3	—
	Normale	4—8 5—8	<25 <30	G3 G4	—
Generatoare de curent alternativ	<i>Asincrone</i>				
	Perii normale	<9	<50	E1	E2—G2
	Perii înguste (pentru mașini sub 10 kW)	<10	<30	E3	—
	Perii înguste (10—>0 kW)	<10	<30	E2	—
	Perii înguste (peste 50 kW)	<10	<40	E2	G2
	<i>Monofazate</i>				
	Sub 1 kW (și repulsie)	<6	<10	K1	K2
	Peste 1 kW	—	—	E4	E3—K2—G2
	Inele de cupru și de bronz				
Inele de fontă și de oțel	Normale	<3	<25	E5	E4—G4
	Normale	10—12	<25	E5	E4—M3
	Normale	<3	<25	G3	G4
	Normale	10—12	< 5	E5	G4
Colectorul excitatorului	Peste 100 V	—	<25	E3	G3
	60—100 V	—	<25	E5	E4—E3—G4
	20— 60 V	—	<25	M3	—

Tabela 8.3 (continuare)

Caracteristicile mașinii			Densitatea de curenț la perie A/cm²	Viteză periferică a colecto-rului sau a inelului m/s	Calitatea periei		
					I alegere	Alte posibil	
Generatorul de curenț alternativ	Inele de cupru și bronz	Normale Normale	<8 <10	<25 <25	E1 M3	E5 E5	
	Inele de fontă și de oțel	Normale Normale	<8 <10	<25 <25	E5 E1	G4 E5	
	Colecțorul excitatoarei	— —	—	<25 <25	E3 E4	G3 G4	
Motoare de curenț continuu (stabile)	Industriale	Sub 10 kW	normale, max. 220 V supersilente cu ax vertical	— —	G3 E4	K2 —	
		10—30 kW	<120 V	<8	K2	K1	
		30—50 kW	<120 V	<10	E4	E3—K2	
		50—100 kW	<120 V	<10	20—25	E3	
	Ascensoare, macarale, pompe	10—25 kW	250 V 250—500 V 250—500 V în mediu cu gaze	<8 <7 —	<15 <12 —	E3 E2 K1	K2 K2 —
		25—100 kW	sub 500 V reversibile Idem peste 500 V, în mediu cu gaze	<10 <10 —	<15 15—30 50	E4 E3 E2	E3 E2 E1
Ascensoare miniere și utilaj naval			—	—	E3	G3	
Servomotoare	100—220 V	<6	<10	K2	K1		
	60—100 V	<10	<5	E4	E3		
	24—15 V	—	—	M3	M2		
Motoare pentru laminoare	6—15 V	—	—	M6	—		
	Linia grea (blooming)	—	<9	<50	E1		
	Linia mijlocie	—	<9	30—40	E2		
Linia ușoară			—	10	30—40	E3	

Tabela 8.3 (continuare)

Caracteristicile mașinii		Densitatea de curent la perie A/cm <sup>2</sup>	Viteză periferică a colecto- rului sau a înelului m/s	Calitatea periei	
				I alegere	Alte posibilități
Motoare de curent continuu (stabile)	Motoare pentru convertizoare	50—100 V idem	<10 <10	<5 7—8	E4 E2— E1
		idem	<10	<10	E1
		25—50 V	<10	<4	M3
		idem	10—12	<4	M2
		idem	13—15	<4	E5
		Sub 20 V	<10	<2	M6
		idem	<10	<2	M1
Generator de curent continuu (stabile)	Industriale	Peste 500 V	—	—	E3
		220—500 V	—	—	E2
		110—220 V	<10	20—30	E3
		80—110 V	<10	20—25	E2
		40—80 V	<12	<20	E4
		24—40 V	<12	<20	E5
		12—24 V	10—15	<20	M1
		6—12 V	<20	<20	M4
		Sub 6 V	—	—	M6
	Leonard și	Viteză medie	<10	21—30	E3
		Viteză mare	<10	40—50	E1
Masini de curent continuu (mobile)	Excitatoare pentru mașini sincrone	Sub 30 kW	<8	<15	E3
		Peste 30 kW normale	<10	20—25	E4
		Peste 30 kW rapide	<10	20—30	E3
		Peste 30 kW foarte rapide	<9	40—60	E1
	Generatoare de sudură		—	—	E5
	Tracțiune cu acumulatori	peste 100 V	—	—	E4
		50—100 V	—	—	E4
		sub 50 V	—	—	M3
	Generatoare sistem Dick (compresoare de frână)		—	—	E2
Diesel electrice	Generatorul	Motorul	—	—	E4
			—	—	E4

Tabelul 8.3 (continuare)

Caracteristicile mașinii		Densitatea de curent la perii A/cm <sup>2</sup>	Viteză periferică a colectorului său a inelului m/s	Calitatea periei	
				I atâtate	Alte posibilități
Masini de curent continuu (mobile)	Locomotive electrice	100—220 V 220—500 V miniere <100 V	<10 <10 <10—12	20—30 30 20	E3 E2 E4 E3 G4 M1
	Troleibusu normale	—	—	—	E3 G2
	Tramvaie, motorul principal și compresoarele	—	—	—	E3 K2
	Motoare monofazate cu colector 15 <sup>2/3</sup> Hz	—	—	—	E3 K1
Auto	Dinam	Perii principale Perii de cimp	— —	— —	E3 M3 E3 G2
	Demaror	24 V 12 V 6 V	— — —	— — —	M5 M6 M7
	Dinam-demaror	Perii principale Perii de cimp	— —	— —	M5 M1 M1 —
	Distribuitor (Delco)	—	—	—	K2 K1
	Magnetouri	—	—	—	K2 K1
	Motoare pentru actionarea stergătorului de parbriz	—	—	—	M1 M6
	Universale	Motoare mici	Ventilatoare, aspiratoare, uscătoare de păr etc.	— —	K2 K1 E3 —
Universale	Unelte electrice de mină	—	—	—	—

### 8.5.6. Montarea și întreținerea periilor mașinilor electrice

Înainte de montarea periilor se execută : pregătirea portperiilor, pregătirea periilor și şlefuirea periilor.

*Pregătirea portperiilor* constă din două operații și anume : curățirea portperiilor de praf și impurități și montarea rigidă a acestora pe tija suport. În legătură cu a doua operație trebuie ținut seama că periile trebuie să fie astfel așezate pe suprafața colectorului încât să-l uzeze uniform. Din acest motiv, portperiile se montează astfel pe tijele suport, încât grupele de peri să fie așezate decalat între ele pe suprafața colectorului, așa cum este reprezentat în fig. 8.29 (reprazentare desfășurată a colectorului).

Pentru ca peria să fie bine ghidată și susținută în portperie, se recomandă ca muchiile portperiei să nu fie situate la o distanță mai mare de 4 mm de la suprafața colectorului sau inelelor de contact, așa cum este reprezentat în fig. 8.30.

*Pregătirea periilor* constă îndeosebi în aducerea lor la dimensiunile necesare. Este de preferat ca periile să fie comandate la astfel de

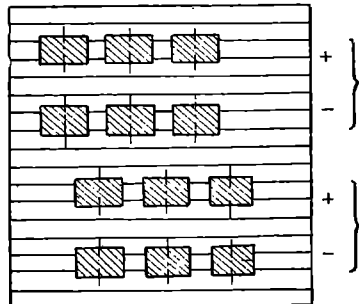


Fig. 8.29. Așezarea periilor pe suprafața colectivului.

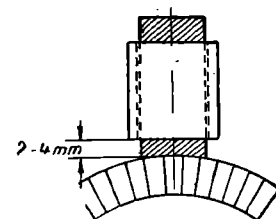


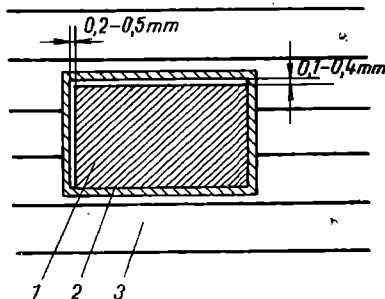
Fig. 8.30. Poziția portperiei față de colector.

dimensiuni încât să se evite această operație. În cazul cînd sunt mai mari decît dimensiunile necesare, periile se șlefuiesc fie cu ajutorul unei pile fine, fie cu ajutorul hîrtiei sticlate de granulație din ce în ce mai fină (numere din ce în ce mai mici). În final șlefuirea se execută numai în sensul de rotație al mașinii, dacă acesta este stabilit.

La executarea acestei operații se au în vedere jocurile necesare dintre perie și portperie (fig. 8.31), și anume :

- în sensul rotației mașinii : 0,06—0,15 mm ;
- în sensul axei mașinii : 0,06—0,21 mm.

Pentru a obține o cît mai bună așezare a periei pe suprafața colectorului, șlefuirea cu hîrtie sticlată se execută aşa cum se arată în fig. 8.32, hîrtia fiind cu suprafața abrazivă spre perie.



8.31. Jocurile dintre perii și portperie :

1 — peria din cărbune; 2 — portperie; 3 — colector.

Această uniformitate a presiunilor este necesară pentru uzarea uniformă a periilor și colectorului și pentru ca toate periile să fie încărcate la fel.

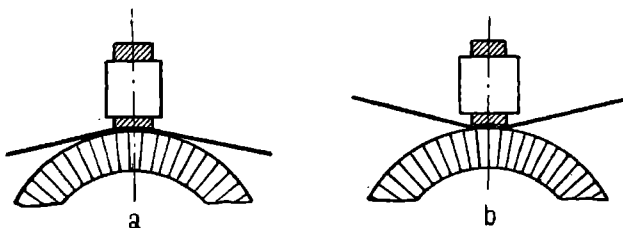


Fig. 8.32. Șlefuirea periilor :  
a — corectă; b — incoracătă.

După montarea periilor și executarea verificărilor menționate se pornește mașina și se lasă să funcționeze în gol cîteva ore, pentru o mai bună șlefuire a periilor pe suprafața de contact cu colectorul sau în cele de contact.

In timpul funcționării mașinilor, în exploatare, este bine ca la intervale de timp stabilite să se execute o curățire a periilor de praful de cărbune sau alte impurități. Operația se face prin spălarea în benzină a periilor și suflarea cu aer comprimat a portperiilor.

## 9. Construcția și execuția înfășurărilor concentrate

Forma constructivă și metodele de confectionare a înfășurărilor concentrate depind de tipul acestora (v. cap. 3) de modul de așezare pe miezul feromagnetic, de tipul conductorului de bobinaj folosit (rotund sau dreptunghiular) și de caracteristicile nominale ale mașinii. Având în vedere modul de așezare a bobinelor pe miezul feromagnetic se deosebesc :

- înfășurări concentrate cu bobine polare,
- înfășurări concentrate pentru poli înecați.

### 9.1. CONSTRUCȚIA ȘI EXECUȚIA ÎNFĂȘURĂRILOR CONCENTRATĂ, CU BOBINE POLARE

#### 9.1.1. Tipuri constructive

/

Elementul constructiv de bază al înfășurărilor concentrate este bobina polară. Pe un miez polar poate fi așezată o singură bobină (v. fig. 3.1) sau mai multe bobine denumite *secții ale bobinei polare* sau *bobine polare elementare*. Dacă bobinele elementare aparțin aceleiași înfășurări se execută cu același tip de conductor, iar dacă aparțin la înfășurări diferite, se execută cu conductoare de bobinaj de secțiuni (eventual și de forme) diferite.

Se disting următoarele tipuri constructive de bobine polare :

- bobine polare cu conductor rotund ;
- bobine polare cu conductor de secțiune dreptunghiulară ;

— bobine polare secționate formate din două sau mai multe bobine elementare cu conductoare de secțiuni diferite.

În tabela 9.1 este arătată utilizarea tipurilor de bobine polare în componența înfășurărilor concentrate ale mașinilor electrice.

*Tabela 9.1*

**Domenii de utilizare în construcția mașinilor electrice a înfășurărilor concentrate cu bobine polare**

Nr. crt.	Tipul bobinei polare	Domeniul de utilizare
1	Bobine polare cu conductor rotund	<ul style="list-style-type: none"> <li>— Înfășurări de excitație derivație sau separată la mașinile de curent continuu cu puteri pînă la 50 kW ;</li> <li>— Înfășurări de excitație serie la mașinile de curent continuu cu puteri pînă la 3 kW ;</li> <li>— Înfășurări ale polilor auxiliari la mașinile de curent continuu cu puteri pînă la 3 kW ;</li> <li>— Înfășurări de excitație la mașinile sincrone cu poli aparenti, de putere mică (sub 100 kW) și turată, peste 750 rot/min ;</li> <li>— Înfășurări polare la mașinile electrice monofazate, de putere mică ;</li> </ul>
2	Bobine polare cu conductor de secțiune drept-unghiulară	<ul style="list-style-type: none"> <li>— Înfășurări de excitație derivație sau separată la mașinile de curent continuu cu puteri peste 50 kW ;</li> <li>— Înfășurări de excitație serie la mașinile de curent continuu cu puteri de peste 3 kW ;</li> <li>— Înfășurări ale polilor auxiliari la mașinile de curent continuu cu puteri peste 3 kW ;</li> <li>— Înfășurări de excitație la mașinile sincrone cu poli aparenti cu puteri peste 100 kW precum și cu puteri sub 100 kW, dar la turătii mici (sub 750 rot/min).</li> </ul>
3	Bobine polare cu două sau mai multe secțiuni (bobine elementare), cu conductoare de secțiuni diferite	<ul style="list-style-type: none"> <li>— Înfășurările de excitație compuse ale mașinilor de curent continuu formate dintr-o înfășurare de excitație derivație sau separată (cu conductor de secțiune circulară) și o înfășurare de excitație serie (cu conductoare drept-unghiulare) ;</li> <li>— Înfășurările de excitație ale mașinilor de curent continuu cu excitații multiple (de exemplu generatorul de sudură de tip GES-350), cu bobinele elementare cu conductor de bobinaj circular, de secțiuni diferite.</li> </ul>

### 9.1.2. Bobinele polare cu conductor rotund

Bobinele polare cu conductor subțire (sîrmă) pot fi bobine întregi (fig. 9.1, a și b) sau bobine secționate (fig. 9.1, c, d și e).

Forma bobinelor polare rezultă din modul în care sunt distribuite spirele pe straturi. Dacă numărul de spire pe toate straturile este același ( $w_{str}$ ), bobina are forma reprezentată în fig. 9.1, a și se numește bobină dreaptă. Numărul total de spire  $w_p$  ale unei astfel de bobine este egal cu produsul dintre numărul de straturi ( $n_{str}$ ) și numărul de spire pe strat ( $w_{str}$ ) :

$$w_p = n_{str} \cdot w_{str}. \quad (9.1)$$

Astfel de bobine se folosesc în construcția înfășurării de excitație a mașinilor de curent continuu cu puteri peste 50 kW și cu turații mici precum și la mașinile sincrone cu un număr mare de poli (cu turații mici).

În construcția mașinilor de curent continuu de puteri mici și mijlocii, cum și în general în construcția tuturor mașinilor de curent continuu cu excitație independentă sau derivată sau a mașinilor sincrone de puteri pînă la 200 kVA și cu număr redus de poli la care se urmărește folosirea judicioasă a spațiului dintre miezurile polilor vecini, se folosesc bobine polare avînd forma constructivă similară celei reprezentate în fig. 9.1, b denumite bobine în trepte.

Dispunerea spirelor la o astfel de bobină se poate urmări în fig. 9.2 (spirele sunt numerotate în ordinea în care se bobinează). Numărul total de spire al bobinei este egal cu suma numerelor de spire așezate pe fiecare strat în parte. Pentru a se asigura bobinei o bună rigiditate mecanică, este necesar ca, la executarea ei, trecerea de la un strat la altul să se facă aşa cum rezultă din fig. 9.2. La mașinile cu puteri mari, pentru a mări capacitatea de transmitere a căldurii datorită pierderilor în înfășurare, se recurge la formele constructive de bobine reprezentate în fig. 9.1, c, d și e, la care suprafața de răcire crește, bobina fiind secționată în mai multe bobine elementare între care sunt prevăzute canale de răcire.

La tipul reprezentat în fig. 9.1, c care constă din două bobine elementare concentrice, canalul de răcire pentru circulația aerului este lăsat în zona frontală a bobinei. Acest tip de bobină se utilizează în rotoare sau în mașinile cu ventilație radială puternică. În cazul mașinilor prevăzute cu ventilație axială, se recurge la tipul constructiv reprezentat în fig. 9.1, d, bobinele polare fiind împărțite într-un număr de două, trei sau mai multe bobine elementare, denumite *galeți*. Între galeți se pot prevedea distanțe din tablă, ca în

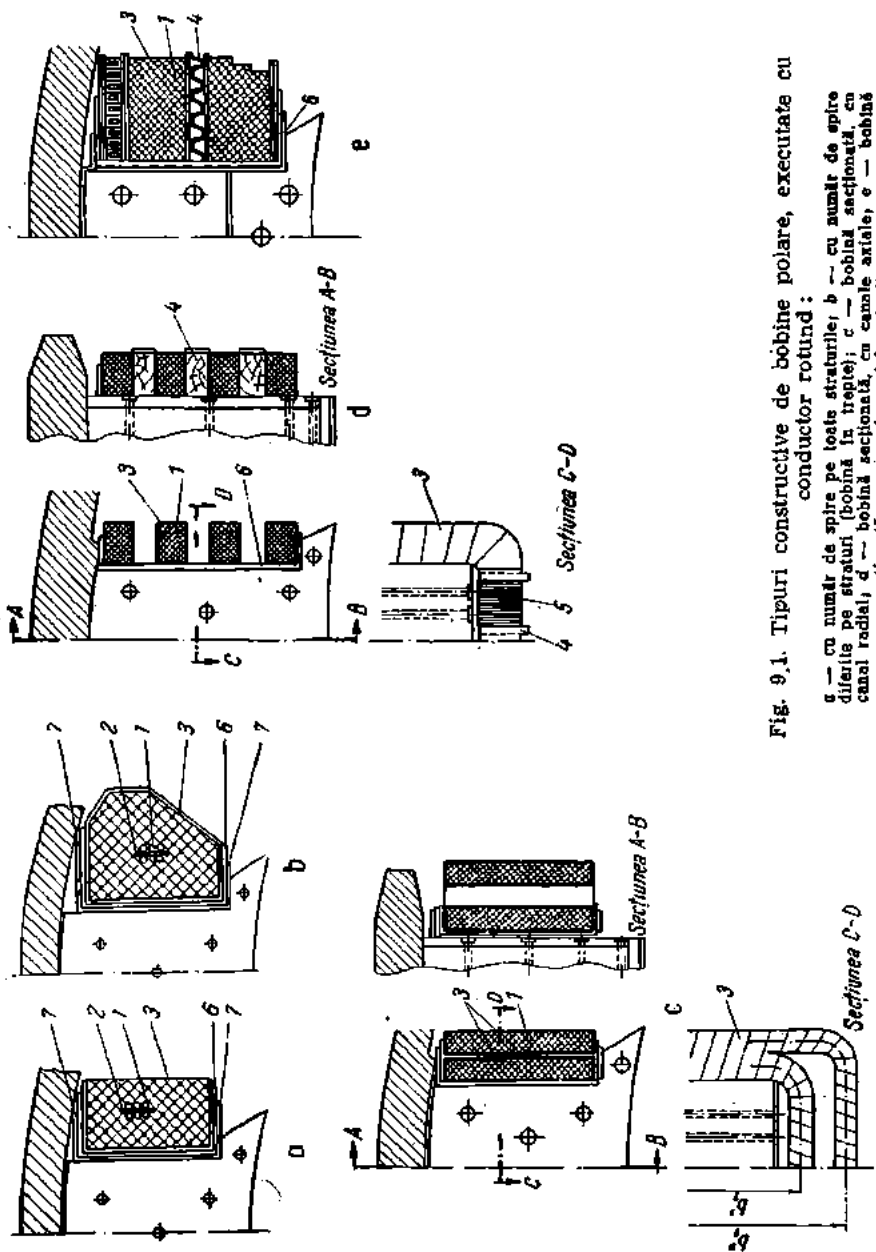


Fig. 9.1. Tipuri constructive de bobine polare, executate cu conductor rotund :

a — cu număr de spire pe întreg strălucile; b — cu număr de spire diferențial pe străluc (bobină în trepte); c — bobină secționată, cu canal radial; d — bobină secționată, cu canale axiale; e — bobină secționată cu canale axiale și distanțoare.

fig. 9.1, e, sau dintr-un material izolant (lemn, pertinax etc.). Galeții se execută de obicei ca și bobinele de tipul reprezentat în fig. 9.1, a cu spirele distribuite în număr egal pe toate straturile.

În construcția bobinelor polare realizate cu conductor rotund intervin o serie de elemente componente care ca formă constructivă și ca funcțiune depind de tipul constructiv al bobinei și de funcțiunile ei în mașină (fig. 9.1 și 9.2) și anume :

- conductorul de bobinaj 1 ;
- izolația între straturi 2 ;
- izolația la suprafața bobinei 3 ;
- distanțor 4 (numai la bobinele secționate, de exemplu în fig. 9.1, e) ;
- bandaj pentru consolidare 5 ;
- carcasa (casetă) izolantă 6 ;
- carcasa (casetă) metalică 7 ;
- bornele 8 ale bobinei, care servesc la racordarea acesteia în circuitul înfășurării.

*Conductoarele de bobinaj 1* din cupru sau aluminiu ce se folosesc la aceste bobine au secțiunea de formă circulară (sîrme rotunde) pînă la 4—6 mm și pînă la 3 mm diametru sau patrată (sîrme patrate) cu aria peste 4—6 mm<sup>2</sup>.

Izolația acestora este de tipurile arătate în cap. 2 și se stabilăsează corespunzător clasei de izolație a înfășurării sau mașinii.

*Izolația între spire* situate pe același strat este însăși izolația conductorului de bobinaj.

*Izolația între straturi* 2 se utilizează cu un dublu scop și anume : ca izolație electrică între conductoarele aparținînd la două straturi vecine și ca protecție mecanică a stratului de spire inferior în timpul aplicării stratului superior de spire.

După cum rezultă din fig. 9.3 tensiunea maximă dintre două straturi este egală cu tensiunea de spiră înmulțită cu numărul de spire cuprins în cele două straturi, între punctele vecine considerate.

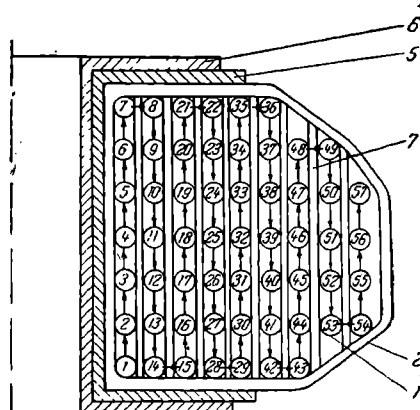


Fig. 9.2. Bobină polară în trepte ; elemente constructive și dispozitionea spirelor :

1 — conductor de bobinaj izolat; 2 — izolația exterioară a bobinei; 5 — carcasa (casetă) izolantă; 6 — carcasa (casetă) metalică; 7 — izolație între straturi.

Din punct de vedere mecanic, izolația dintre straturi are rolul de a proteja izolația conductorului de bobinaj în timpul operațiilor de confectionare și manipulare a bobinei.

Pentru izolația între straturi se folosesc materiale electroizolante sub formă de foi (hirtii, folii, țesături), alegerea acestora făcindu-se corespunzător clasei de izolație a bobinei.

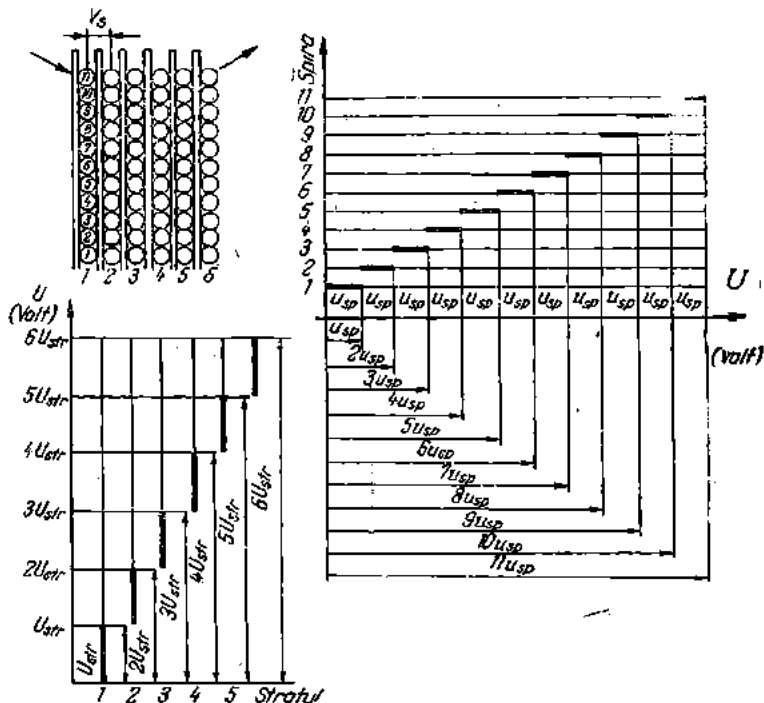


Fig. 9.3. Repartizarea tensiunii de-a lungul straturilor și pe suprafața bobinei polare:

$u_{sp}$  — tensiunea pe spără;  $u_{str}$  — tensiunea pe strat;  $u_s$  — tensiunea pe suprafața bobinei (distanță între straturi).

La alegerea materialului pentru izolația dintre straturi se ține seama nu numai de tensiunea dintre două straturi vecine ci și de condițiile de executare a bobinei care sunt determinate în primul rînd de diametrul conductorului și de metoda de confectionare (cu mîna sau cu mașina).

În fig. 9.4 este redată recomandarea privind alegerea grosimii izolației din hîrtie în cazul executării bobinei cu o mașină de bobinat pentru diferite mărimi de conductoare.

*Izolația exterioară a bobinei 2*, avînd rol de protecție mecanică și electrică, se întâlnește de obicei în construcția bobinelor realizate cu conductor foarte subțire, a bobinelor mașinilor destinate să funcționeze în condiții de lucru grele (mașini navale, tractoare etc.) sau atunci când se prevăd măsuri speciale de protecție constructivă (protecție climatică tropicală).

Izolația pe suprafața bobinei se realizează cu benzi din țesături (bumbac, mătase, fire sintetice) sau din foi izolante; natura materialului benzilor se stabilește corespunzător clasei de izolație a bobinei.

Benzile electroizolante se aşază jumătate suprapus, în unele cazuri deasupra ultimului strat de spire aplicîndu-se o izolație suplimentară din benzi textile.

*Izolația bobinei față de miezul magnetic al polului* este realizată de carcasa izolantă 6. În cazul bobinelor cu izolație exterioară continuă o parte din funcțiunile izolației față de miez este preluată de această izolație.

Principalele tipuri constructive de carcase izolante folosite în construcția mașinilor electrice sunt arătate în fig. 9.5 respectiv: carcasele închise (fig. 9.5, a folosite la bobine cu conductor subțire și cu spire multe, la mașinile de mică putere și la micromasinile electrice), carcasele semideschise (fig. 9.5, b folosite la bobinele infășurărilor de excitație separată sau derivație la mașini de curent continuu cu puteri pînă la 50 kW) și carcasele deschise (fig. 9.5, c) de cele mai multe ori aplicate direct pe miezul polului (la bobinele cu izolație exterioară continuă și compundate, bobine cu conductor profilat).

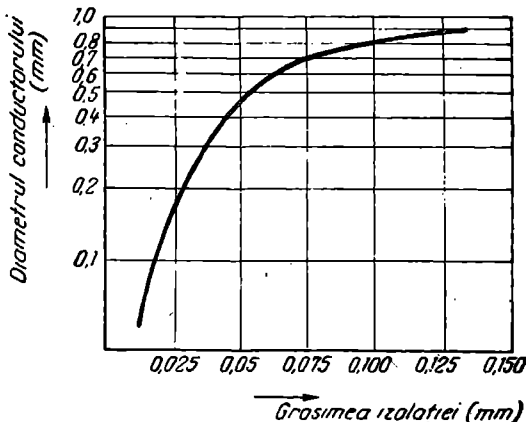


Fig. 9.4. Variația grosimii izolației de hîrtie dintre straturi, cu diametrul conductorului de bobinaj, în cazul bobinelor cu conductor rotund executat pe mașini de bobinat (valori informative, Micafil).

Materialele utilizate pentru confectionarea acestor izolații sunt în general carton electrotehnic impregnat, pertinax, textolit, sticlo-textolit, micanită, hîrtie de mică sau de azbest impregnată, folii sintetici, iar în cazul pieselor presate în forme, se utilizează prafuri de presare (pentru carcase mici).

*Suportul mecanic* necesar pentru rigidizarea bobinei cît și pentru o mai bună fixare a acesteia la montarea pe miezul polar se rea-

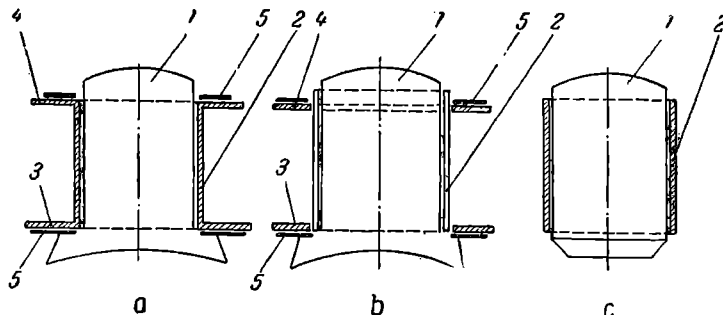


Fig. 9.5. Tipuri constructive de carcase (casete) izolante pentru bobinele polare :

a — carcăsa închisă; b — carcăsa semideschisă; c — carcăsa deschisă (aplicată pe miezul polilor); 1 — miezul polilor; 2 — corpul izolant al carcasei; 3 — rama superioară; 4 — rama inferioară; 5 — ramă metalică de protecție.

lizează fie sub formă de carcăsa (casetă continuă similară reprezentărilor din fig. 9.2 și 9.6, fie sub formă de rame, în special atunci cînd izolația bobinei față de miezul polar este aplicată direct pe acesta (v. fig. 9.5, c). Carcasele metalice complete se folosesc de obicei în cazul bobinelor realizate cu conductor foarte subțire sau în cazul bobinelor mașinilor destinate unor regimuri grele de lucru cînd formează un subansamblu rigid și complet.

### 9.1.3. Bobinele polare cu conductor dreptunghiular

Bobinele polare cu conductor dreptunghiular (profilat) au în general un număr de spire mai redus în raport cu bobinele polare cu conductor subțire.

Numărul total de spire este dispus de regulă într-un singur strat (v. fig. 9.7) sau într-un număr redus de straturi.

Conductorul se aşază de obicei pe latura mică a secțiunii sale (fig. 9.8, a și fig. 9.9, a) spirele așezîndu-se una peste alta în sensul axial al bobinei. Se poate adopta însă și așezarea conductorului pe

latura mare (fig. 9.8, b și 9.9, b) spirele așezindu-se una peste alta în sens radial, formând galeți. În acest caz, însă, numărul de straturi este mai mare, iar consolidarea bobinei este ceva mai dificilă.

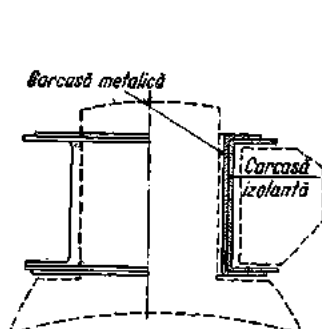


Fig. 9.6. Carcasă metalică și izolantă pentru bobine polare.

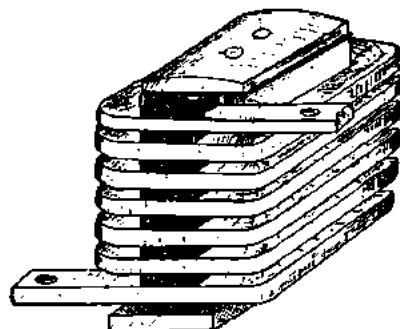


Fig. 9.7. Bobină polară într-un singur strat, din conductor dreptunghiular.

În cazul bobinelor în galeți, cînd numărul acestora este mai mare ca 2, se folosesc galeți răsturnați, așa cum se arată în fig. 9.8, b. În acest fel se evită legăturile de trecere de la interiorul unui galet la exteriorul galetului următor, cînd se inseriază galeții între ei.

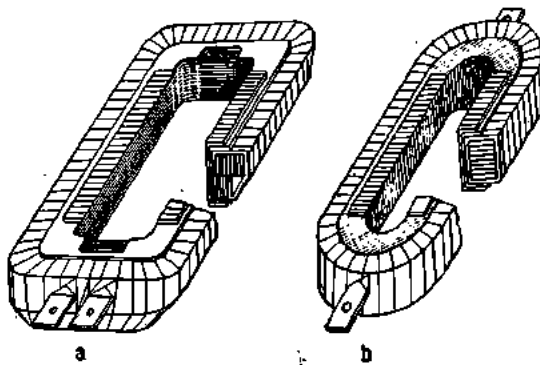


Fig. 9.8. Bobine polare executate cu conductor dreptunghiular :  
a — cu conductor așezat pe muchie; b — cu conductor așezat pe lat.

Dacă numărul de straturi necesar depășește două straturi, se recurge la divizarea bobinei în bobine elementare coaxiale, forma constructivă a bobinei fiind similară acelora reprezentate în

fig. 9.1, c, pentru bobine cu conductor subțire. În aceste bobine, conductorul se aşază de obicei pe latura mică.

În general elementele constructive componente ale bobinelor polare realizate cu conductor dreptunghiular nu diferă de acelea întâlnite

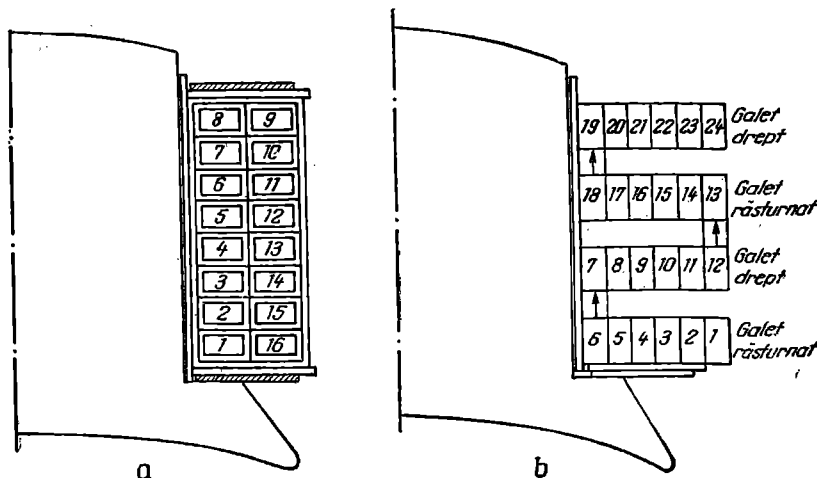


Fig. 9.9. Dispunerea conductorului dreptunghiular la realizarea bobinelor polare :

a — conductor aşezat pe latura mică; b — conductor aşezat pe lat la bobine realizate în patru galefi (doi drepti și doi răsturnați).

la bobinele polare cu conductor rotund, dispunerea și forma lor constructivă fiind însă determinate de secțiunea mare a conductoarelor de bobinaj.

În fig. 9.10 sunt indicate elemente constructive a căror denumire și numerotare este identică cu aceea folosită la bobinele cu conductor rotund (fig. 9.1).

De remarcat că în cazul utilizării conductoarelor dreptunghiulare de secțiune peste  $20 \text{ mm}^2$ , carcasa (caseta) metalică este în general redusă la ramele metalice 7 (v. fig. 9.10) având numai un rol protector (mecanic) la strângerea și consolidarea bobinei pe miez, iar carcasa (caseta) izolantă 6 (v. fig. 9.10) se compune în aceste cazuri dintr-o izolație aplicată pe miezul polar și din ramele izolante plasate între bobină și ramele metalice 7 de strângere.

*Conductorul de bobinaj dreptunghiular 1* de cupru (foarte rar din aluminiu și numai la mașinile de curent continuu sau la mașinile sincrone de putere mică și construcție inversă) pot fi cu izolație pro-

prie sau neizolat. Conductoarele neizolate se folosesc de obicei atunci cînd bobina are spirele dispuse într-un singur strat. La bobinele cu mai multe straturi realizarea atît a izolaiei între spire cît și a izolaiei între straturi complică construcția și deci executarea bobinei. În aceste cazuri se folosesc de regulă conductoare izolate. Izolaia conductoarelor dreptunghiulare poate fi din fire de sticla sau alte fire vegetale, sau din email. La realizarea bobinelor tipul de izolaie al conductoarelor se stabilește în funcție de clasa de izolaie a înfășurării sau mașinii, conform indicațiilor date în cap. 2 și exemplelor din anexă.

*Izolaia între spire.* În cazul conductoarelor izolate, izolaia dintre spire este constituită de izolaia proprie a conductorului; în cazul conductoarelor neizolate, izolaia dintre spire se realizează din materiale electroizolante sub formă de foi sau plăci. Dacă distanța între spire este suficient de mare, între spire se introduc distanțoare din loc în loc pe perimetrul spirei, realizindu-se astfel izolaia între spire. Materialele electroizolante se aleg conforme cu clasa de izolaie și de obicei sint cel puțin de clasa B (sticlotextolit, azbest, micanită), foarte rar materiale de clasa A sau E (preșpan impregnat, pertinax, textolit).

*Izolaia între straturi 2.* În la bobinele polare în mai multe straturi realizate cu conductor dreptunghiular, ca izolaie între straturi, se folosesc materiale electroizolante sub formă de foi: micafoliu, țesături din fire de sticla sau de azbest impregnate.

*Izolaia la suprafața 3* a bobinei se folosește în general la bobinele cu multe straturi și de dimensiuni relativ mici; materialele utilizate sint în general similare celor indicate pentru izolaia la suprafața a bobinelor cu conductor rotund (§ 9.1.2).

*Izolaia față de miezul polului* la bobinele polare cu conductor dreptunghiular se realizează de obicei, fie ca izolaie aplicată direct pe miez, fie ca manșon (tub dreptunghiular) ce se introduce pe miezul

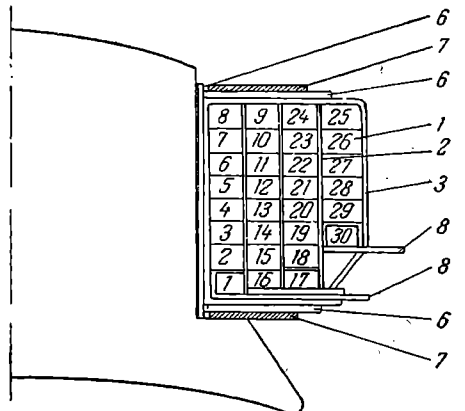


Fig. 9.10. Elementele constructive ale bobinei polare cu conductor dreptunghiular:  
 1 — conductor izolat; 2 — izolaie între straturi;  
 3 — izolaie la suprafața bobinei; 6 — izolaie față de miezul polului (carcasa izolantă); 7 — rame metalice; 8 — bornele bobinei.

polului. În ambele cazuri se folosesc pentru confectionarea acestora materiale stratificate pe bază de hirtie (pertinax), țesături (textolit, sticlotextolit) sau produse pe bază de mică (micafoliu, micanită).

#### 9.1.4. Bobinele polare din două sau mai multe bobine elementare, din conductoare de secțiuni diferite

Asemenea bobine se întâlnesc în construcția mașinilor de curent continuu (generatoare și motoare) cu excitație compund sau a mașinilor de curent continuu cu mai multe înfășurări de excitație așezate pe aceleași miezuri polare și formind circuite electrice separate între ele. În mod frecvent însă, astfel de înfășurări se întâlnesc în construcția mașinilor cu excitație serie și derivăție.

În fig. 9.11 sunt reprezentate două tipuri de înfășurări, care diferă prin poziția pe care o ocupă pe pol cele două bobine I și II.

În unele construcții se realizează cele două bobine elementare coaxiale și anume: bobina serie în interior, bobina derivăție spre

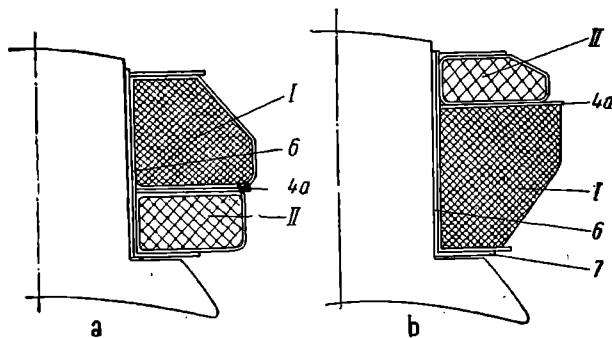


Fig. 9.11. Bobine polare realizate cu bobine elementare cu conductoare de secțiuni diferite, folosite în construcția mașinilor de curent continuu cu excitație compund :

I — bobina derivăție; II — bobina serie; 4a — izolație între bobine; 6 — izolație față de miezul polului; 7 — rama metalică.

exterior. Această formă constructivă nu este cea mai indicată, deoarece nu permite examinarea cu ușurință în exploatare și mai ales repararea comodă în caz de defectare. În sfîrșit, la unele mașini electrice, cele două bobine elementare sunt izolate împreună, formind astfel o singură unitate constructivă. Nici această soluție nu este indicată datorită complicațiilor tehnologice în timpul execuției, lipsei

posibilități de control în exploatare și necesități de înlocuire complete în cazul defectării numai a unei singure bobine elementare.

Realizarea bobinelor polare cu două sau mai multe bobine elementare din conductoare de secțiuni diferite implică în plus față de bobinile cu un singur tip de conductor, o izolație între bobinile elementare (4 a în fig. 9.11).

Izolația între bobinile derivație și serie (4 a în fig. 9.11) se realizează fie din carton electrotehnic, fie dintr-un material presat (pertinax, textolit, sticlotextolit sau micanită).

### 9.1.5. Bornele bobinelor polare

Bornele bobinelor polare (denumite și ieșirile bobinelor) și prizele lor (dacă acestea există) trebuie să îndeplinească în general următoarele condiții :

- să realizeze un contact bun cu cablurile de conexiune, pentru care motiv se curăță bine și se cositoresc ;
- să nu producă scurtcircuite între spirele pe lîngă care trec ;
- să fie ușor accesibile montajului cablului de legătură ;
- să reziste la eforturile mecanice care se produc în timpul manipulării și montajului bobinelor și respectiv al mașinii, precum și la eforturile ce apar în timpul funcționării mașinii.

La bobinile polare din conductor rotund, bornele bobinelor se realizează fie din însuși conductorul utilizat (capete lăsate mai lungi), fie prin lamele de contact special aplicate la capetele bobinei (v. figura 9.12), fie prin cabluri flexibile imbinate prin papuci speciali cu capetele bobinei (v. fig. 9.13), acestea servind atât pentru execuția conexiunilor între bobine cât și ale infășurării la bornele mașinii.

Execuțarea ieșirilor prin lăsarea de capete mai lungi are avantajul de a elimina introducerea de contacte suplimentare în circuitul

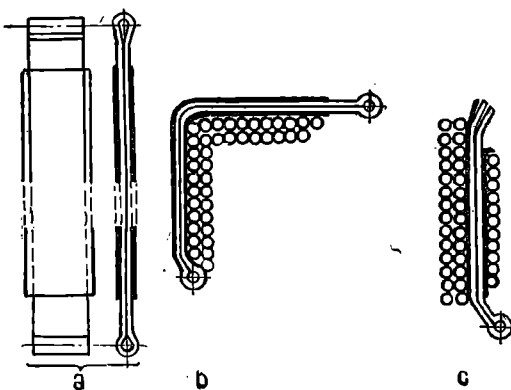


Fig. 9.12. Bornele și scoaterea lor la bobine polare confectionate cu conductor rotund.

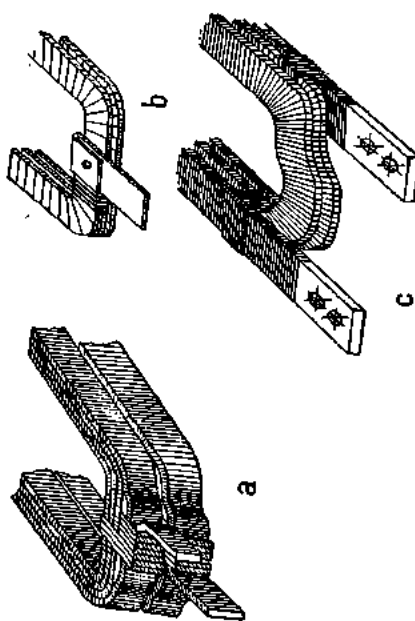


Fig. 9.14. Bornele bobinelor polare confectionate din conductoare dreptunghiulare:  
a — conductor așezat pe lat; b, c — conductor așezat pe latura mică,

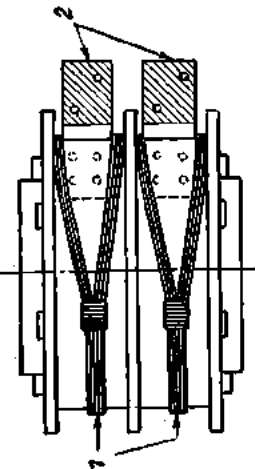


Fig. 9.15. Bobină polară pentru pol auxiliar executată din conductor bandă, asezată direct în mijlocul polului și consolidată cu bandaj:  
1 — bandaj de stocă; 2 — bornele bobinei.

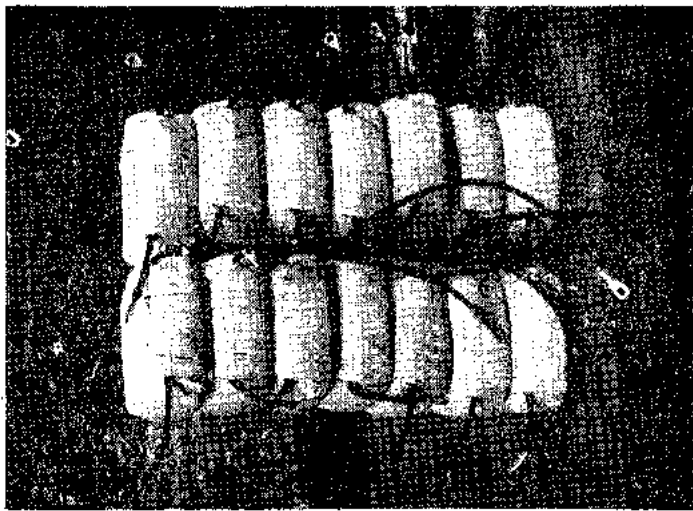


Fig. 9.13. Bobine polare având iesinile realizate cu cabluri flexibile.

înfășurării. Acest sistem are însă dezavantajul că nu rezistă la manipulări repetate.

La executarea bornelor cu bandă de tablă (ca în fig. 9.11) se utilizează pentru izolare fie materiale izolante sub formă de foi sau benzi, fie tuburi izolante din material plastic sau din țesături impregnate (bumbac, fire de sticlă).

În cazul bobinelor din conductor dreptunghiular, ieșirile se realizează prin capetele primei și ultimei spire în prelungire, astă cum este reprezentat în figurile 9.14 și 9.15, fără a exista riscul arătat în cazul folosirii de conductoare rotunde.

La aceste bobine polare bornele se consolidează fie prin aplicarea de bandaje din sîrmă (așa cum se arată în fig. 9.15) fie cu bandă textilă, rigidizindu-se ultima spiră de spirele vecine (v. fig. 9.8), fie în cazul bobinelor de dimensiuni mari, prin așezarea unei mufe care îmbrățișează capătul bobinei și utimele două spire, fiind izolată de acestea.

#### 9.1.6. Execuția bobinelor polare

Fazele de lucru la confectionarea bobinelor polare sunt următoarele :

- confectionarea izolațiilor ;
- executarea bobinei ;
- izolarea bobinei ;
- impregnarea bobinei ;
- montarea bobinei în carcasa de protecție (dacă există).

La executarea carcaselor izolante trebuie avute în vedere : stabilitatea materialelor (natura, dimensiuni, cantități) procedeele de lucru, dispozitivele și sculele de lucru, dimensiunile piesei rezultate pentru a corespunde ansamblului bobinei polare.

Pentru executarea carcaselor închise se procedează astfel :

— Ramele izolante supericară și inferioară se decupează interior și exterior, manual (cu foarfece) sau prin ștanțare pe o presă cu excentric, rezultând o piesă ca aceea reprezentată în fig. 9.16, a 1. Prin îndoirea umerilor de fixare manual sau chiar pe presă de ștanțare (dacă ștanța este prevăzută și cu dispozitiv de îndoare) se obține rama finită ca în fig. 9.16, a 2.

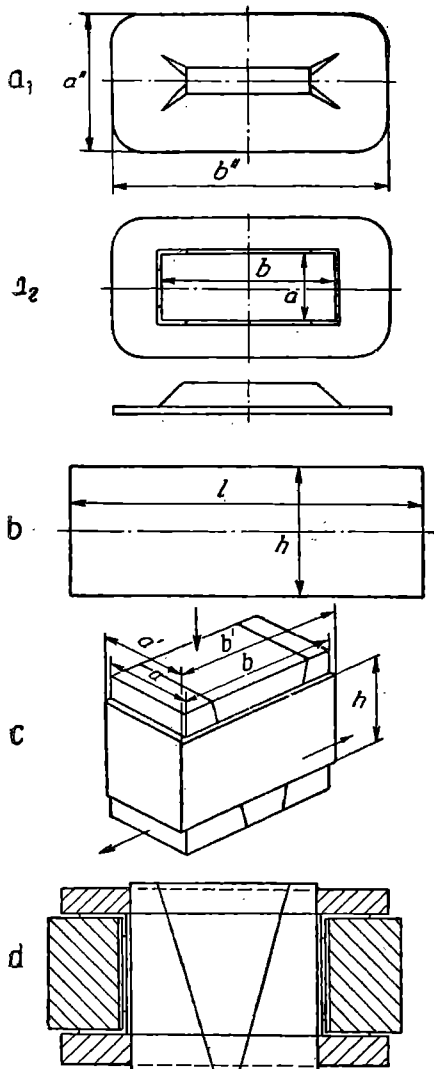


Fig. 9.16. Confecționarea casetelor izolante închise :

a<sub>1</sub> — ramă izolantă și stănătă; a<sub>2</sub> — ramă izolantă finită; b — bandă izolație pentru corpul izolant; c — corp izolant pe săblon de formare; d — carcasa închisă cu dispozitivele de presare.

— Corpul izolant se obține din benzi de material izolant, de lățime egală cu înălțimea carcasei, iar de lungime ( $l$  în figura 9.16, b) determinată de grosimea finală necesară, grosimea materialului și dimensiunile interioare ale carcasei.

Notând cu  $d$  grosimea finală necesară a carcasei,  $\lambda$  — grosimea materialului și folosind notația dimensiunilor din figura 9.16, c rezultă :

— numărul de straturi :  

$$n_{str} = \frac{d}{\lambda};$$
  
 — lungimea  $l$  a benzii :  

$$l = 2n_{str} \left[ \frac{a+a'}{2} + \frac{b+b'}{2} \right].$$

(9.2)

Formarea corpului se realizează pe un săblon metalic compus din trei părți ce se aşază între ele pe suprafete în unghi (pană) pentru a permite presarea piesei (v. fig. 9.16, c) la rulara materialului izolant se folosește un lac electroizolant de încleiere. Pentru asigurarea așezării corecte a straturilor se efectuează succesiv călcarea materialului.

Asamblarea carcasei închise se face cu dispozitive de asamblare de tipul celor reprezentate în fig. 9.16, d, scoaterea din dispozitiv având loc numai după tratarea termică a ansamblului, pentru ca lacul de încheiere folosit să fie bine polimerizat.

In cazul carcaselor inchise secționate (v. fig. 9.17) de dimensiuni mici, acestea se pot realiza din material stratificat (pertinax, textolit etc.).

La executarea carcaselor semideschise operațiile sunt similare una din rame, de obicei cea inferioară (dinspre jugul polului) aplicindu-se la montarea bobinei pe miez. Această ramă se ștanțează uneori și fără umerii de fixare.

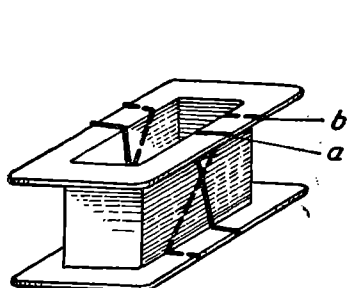


Fig. 9.17. Carcasă (casetă) izolantă rigidă (tare) secționată în sens axial (a) sau oblic (b).

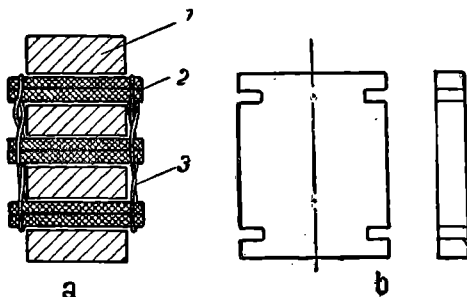


Fig. 9.18. Izolația între spirele unei bobine de pol auxiliar:

a — așezarea și consolidarea izolației între spire;  
b — distanțorul izolant; 1 — conductorul; 2 — distanțorul izolant; 3 — sfoară.

Izolația între spire la bobinele polare din conductor profilat sau bandă, așezat pe cant, și avînd spirele aplicate una peste cealaltă, se realizează din materialul indicat, sub formă de foie (placă) prin decuparea manuală sau prin ștanțarea conturului necesar.

În cazul infășurărilor realizate cu conductoare de secțiune mare, neizolate, izolația între spire se asigură prin introducerea între acestea de distanțoare izolante așa cum este prezentat în fig. 9.18, a și b.

Forma distanțoarelor execute din lemn, pertinax, textolit sau porțelan electrotehnic, permite solidarizarea spirelor între ele prin legare cu sfoară de cîneapă, de azbest, sau din fire de sticle ; prin această operație bobina devine rigidă.

#### *Executarea bobinelor polare cu conductor rotund ; șabloane, dispozitive, mașini de bobinat*

La executarea bobinelor cu conductor rotund se aşază spirele în straturi, intercalind între ele izolația prevăzută, etapele de lucru fiind acelea reprezentate în fig. 9.19.

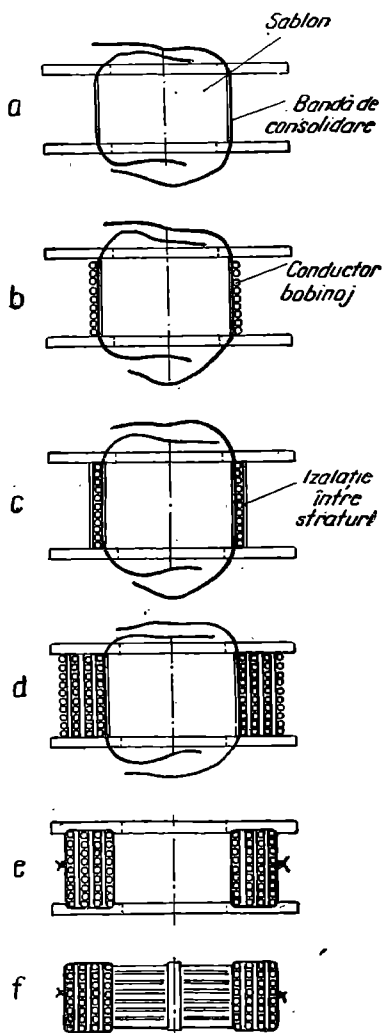


Fig. 9.19. Execuția bobinelor polare cu conductor rotund:  
 a — dispunerea benzilor de consolidare;  
 b — așezarea primului strat de spire;  
 c — așezarea primei izolații între straturi;  
 d — bobina pe sablon;  
 e — bobina consolidată pe sablon;  
 f — bobină consolidată.

Executarea bobinelor poate fi făcută fie manual, fie cu dispozitive mecanice sau cu mașini de bobinat, alegerea uneia sau alteia dintre metode depinzând de numărul de spire pe bobină, de tipul carcasei (casetei) izolante și de numărul de bobine ce trebuie executate. Cu cât numărul de spire este mai mare, și cu cât numărul de bobine este mai mare, cu atât este mai indicată executarea acestor bobine cu dispozitive sau cu mașini de bobinat.

La executarea manuală a bobinelor, spirele acesteia sunt așezate în straturi folosind șabloane de bobină, similare celei reprezentate în fig. 9.20. Plăcile 2 și 3 se pot aplica pe diferite mizeuri 1 ale căror dimensiuni trebuie să corespundă dimensiunilor bobinelor. Cînd bobinele sunt prevăzute cu carcase izolante rigide, acestea pot servi de șablon. Acest procedeu se aplică numai în cazul reparațiilor sau atunci cînd trebuie executate numai un număr extrem de redus de bobine.

Dispozitivele folosite la confectionarea bobinelor cu spire multe, cu conductor rotund dau o mișcare /de rotație șablonului, permitînd astfel dispunerea spirelor una lîngă alta.

În fig. 9.21 este reprezentată schema cinematică a unui dispozitiv pentru executarea manuală a bobinelor cu multe spire (a), sau cu ajutorul unui dispozitiv cu pedală pentru acționarea cu piciorul (b), (c).

Se poate prevedea ca sistemul de roți  $r_1, r_2$  (fig. 9.21, d) să se poată schimba, alegîndu-se în funcție de diametrul conductorului, un raport optim de transmitere a mișcării. Astfel, pentru diametrul de sîrmă

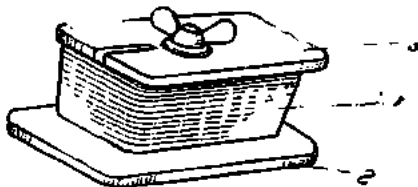


Fig. 9.20. řablon pentru executarea manuală a bobinelor polare cu conductor rotund :

1 — miezul řablonului; 2, 3 — plăci de strin-  
gere.

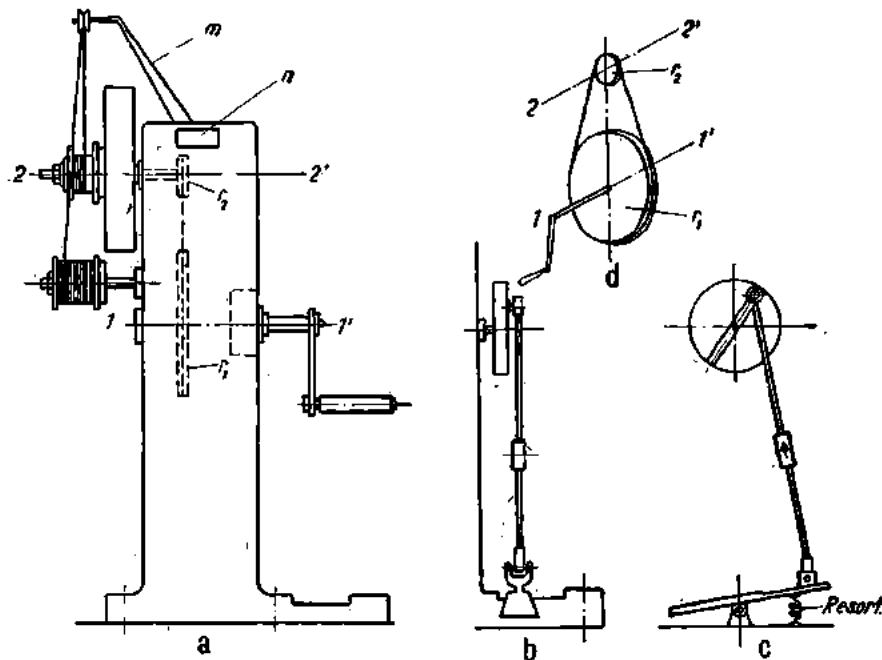


Fig. 9.21. Dispozitiv pentru executarea manuală a bobinelor polare cu conductor rotund :

a — schița dispozitivului; b, c — dispozitiv cu pedala pentru actionare cu piciorul; d — schema cinematică a transmisiei miscării la axul bobinei.

cuprins între 0,1 și 0,3 mm se recomandă ca raportul între diametrul roților  $r_1$  și  $r_2$  să fie 1/5; pentru diametre sub 0,1 mm se poate merge pînă la raportul 1/10.

Mașinile de bobinat realizează mișcarea de rotație a șablonului cu ajutorul unui motor electric de antrenare așa cum este reprezentat în fig. 9.22. Construcția mașinilor de bobinat este adaptată tipurilor de bobine. Astfel în fig. 9.23 este reprezentată o mașină de bobinat Micafil tip OPA-TS pentru bobine polare de înălțimi pînă la 110 mm și conductor cu diametrul maxim de 0,6 mm. Pentru bobine de dimensiuni mai mari și pentru conductori de bobinaj peste 0,5 mm se folosesc mașini de bobinat de tipul celei reprezentate în fig. 9.24.

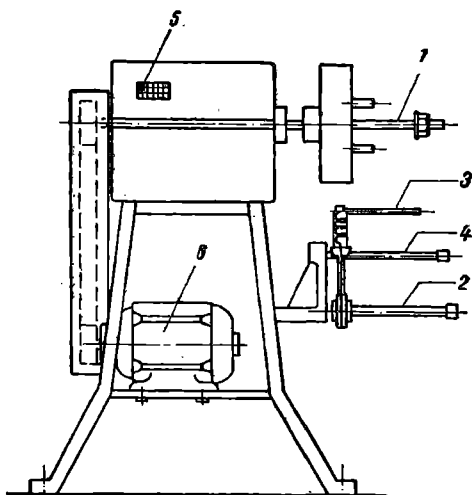


Fig. 9.22. Schiță de principiu a unei mașini pentru confectionarea bobinelor polare cu conductor rotund :

1 — dispozitivul de fixare a șablonului bobinelor; 2 — suport pentru tamburul cu conductor; 3 — înținderul firului; 4 — suport pentru materialul izolant; 5 — numărător de spire; 6 — motor de antrenare.

Şablonul se compune din : miezul aproximativ miezul polar și plăcile inferioară și superioară. Miezul șablonului nu se execută cu pereți laterali paraleli, ci, pentru a ușura scoaterea bobinei, pereții săi au o mică înclinare, unghiul folosit fiind de aproximativ 3—5°. Șabloanele se confectionează din lemn de esență tare sau din metal.

În cazul în care construcția bobinelor nu permite folosirea șablonului cu pereți înclinați, pentru ușurarea scoaterii sale din bobină, miezul se execută din bucăți în formă de pană, așa cum este exemplul reprezentat în fig. 9.26. Pentru asamblarea acestui tip de miez și rigidizarea sa în vederea executării bobinei se folosește pană notată cu 3 în fig. 9.26 (cu 1, respectiv 2 s-au notat miezurile șablonului).

Şabloanele folosite la confectionarea bobinelor cu ajutorul dispozitivelor sau mașinilor de bobinat diferă de acelea folosite la execuția manuală în principal prin aceea că permit fixarea în suportul dispozitivului sau mașinii de bobinat. În fig. 9.25 sunt arătate două tipuri de șabloane pentru bobine întregi (a) și pentru bobine secționate (b).

Şablonului 1 care reproduce

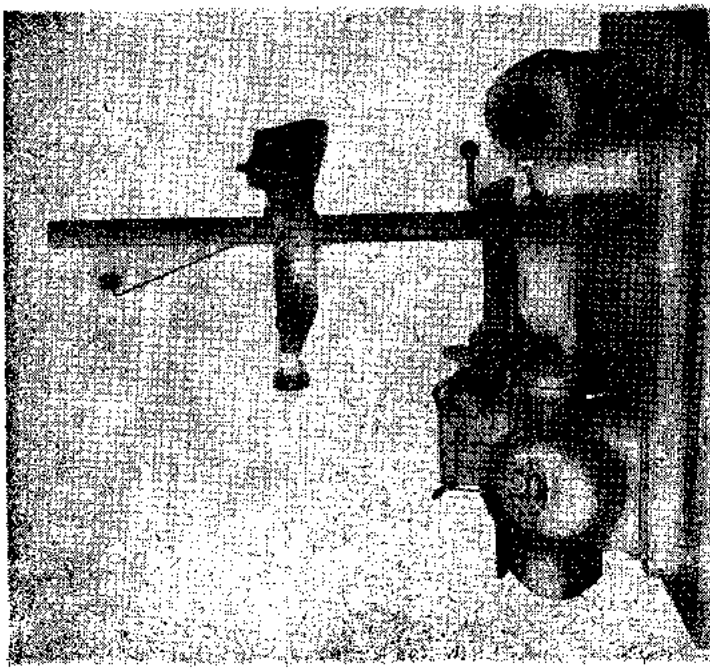


Fig. 9.23. Mașină automată pentru confectionarea bobinelor polare cu conductor rotund, tip OPA-TS (Micafil-Elveția).



Fig. 9.24. Mașină pentru confectionarea bobinelor polare cu conductor rotund, pentru bobine de dimensiuni mari.

Intrucit după executare bobina nu este suficient de rigidă, iar la scoaterea ei de pe şablon există riscul ca să se deformeze prin alunecarea spirelor între ele sau chiar să se desfacă, bobina se consolidează din loc în loc prin legături din sfoară sau bandă albă, aşa cum se

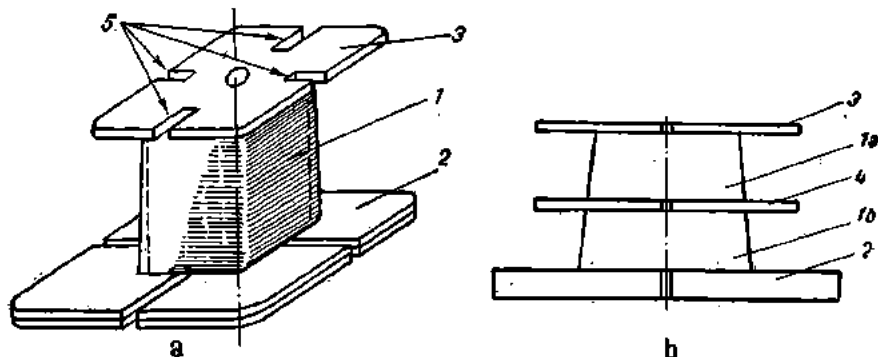


Fig. 9.25. Tipuri de şabloane folosite pentru confectionarea bobinelor polare cu conductor rotund, cu ajutorul dispozitivelor sau maşinilor de bobinat :  
a — şablon pentru o bobină simplă; b — şablon pentru o bobină secţionată; 1, 1a, 1b — mizeuri ale şablonului; 2 — placă inferioară (de bază) a şablonului; 3 — placă superioară a şablonului;  
4 — perete intermediar; 5 — crestături pentru introducerea legăturilor de consolidare.

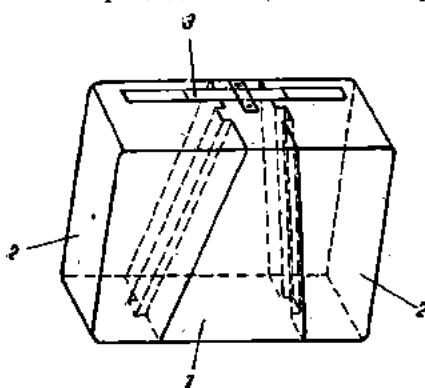


Fig. 9.26. Miez de şablon cu pereţi paraleli, executat din trei bucăţi.

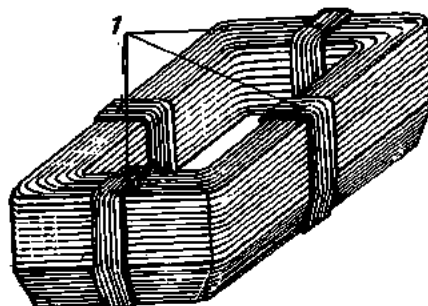


Fig. 9.27. Consolidarea bobinei polare executată pe şablon :  
1 — legături din sfoară sau bandă albă.

arată în fig. 9.27, legături care sunt provizori și pentru executarea căror pereți frontalii ai şablonului au practicate degajările notate cu 5 în fig. 9.25, a.

Confectionarea bobinelor secționate în mai multe bobine elementare, cum este cazul reprezentat în fig. 9.1, d se execută cu același

tip de şablon, prevăzut cu o ramă intermedieră, aşa cum este reprezentat în exemplul din fig. 9.28. Rama intermedieră 1 este prevăzută cu o crestătură 2, în care se introduce un ochi al conductorului de bobinaj, astfel încit atunci cind se incepe rotirea şablonului, se depun simultan spire in ambele jumătăți ale şablonului. Intrucât modul de depunere a spirelor este diferit în cele două secţiuni de bobină, la montarea acestora pe miezul polului, una din bobinele elementare se întoarce cu  $180^\circ$ .

*Execuția bobinelor polare cu conductor dreptunghiular*

Bobinele polare cu conductor dreptunghiular se execută fie cu dispozitive, fie cu mașini de bobinat, date fiind în general eforturile mari necesare la realizarea spirelor bobinei. Pentru aceste bobine se folosesc şabloane de tipul celui reprezentat în fig. 9.29 și care, spre deosebire de şabloanele ce se folosesc pentru bobinele cu conductor rotund, sunt mai robuste. Pentru scoaterea ușoară a miezului şablonului, acesta este secționat după un plan înclinat.

În cazul aşezării conductorului pe lat, executarea bobinelor în galeti legăti este arătată în fig. 9.30. Aşa cum rezultă din această figură, primul galet, conținând spirele 1, 2, 3 și 4 se obține prin răsturnarea spirelor respective (se execută spirele unele peste altele, apoi se desfac și se înfășoară în interior).

Se execută trecerea în S la galetul al doilea (fig. 9.30, b). Galetul al doilea se obține prin aşezarea spirelor unele peste altele.

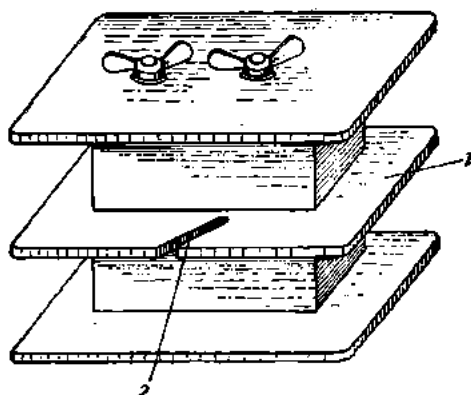


Fig. 9.28. Şablon pentru bobine secţionate.

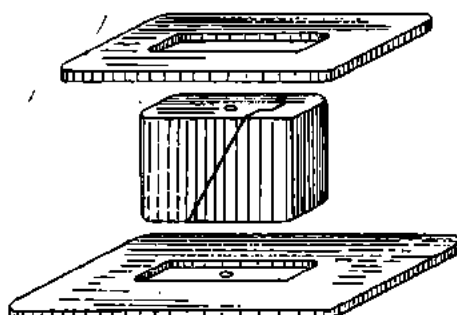


Fig. 9.29. Şablon pentru executarea bobinelor polare cu conductor dreptunghiular.

La bobinele executate cu galeți complet separați (fig. 9.31) legătura între aceștia se face în exterior.

În fig. 9.32 este reprezentată executarea bobinelor polare cu conductor dreptunghiular cu mai multe straturi. Legătura între straturi se face prin treceri în S culcat.

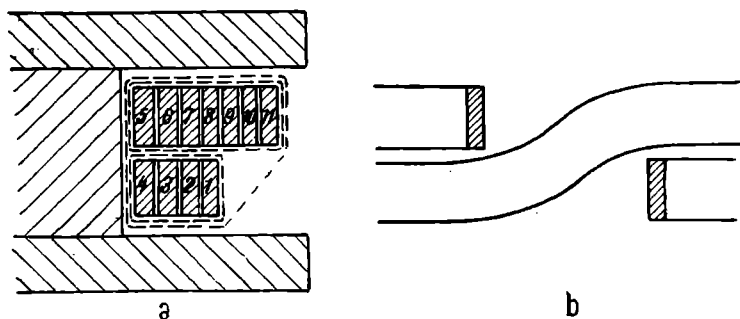


Fig. 9.30. Executarea bobinelor polare din conductor dreptunghiular pe lat, spirele fiind așezate în galeți:  
a — ordinea spirelor; b — trecerea în S de la un galet la altul.

În timpul executării bobinei se introduce între fiecare două straturi izolația pregătită anterior, după care se continuă bobinarea, iar bobina astfel confectionată și consolidată cu legături provizorii (pentru a împiedica desfacerea spirelor) este gata pentru izolare.

La confecționarea bobinelor cu conductor dreptunghiular așezat pe muchie pentru ca deformarea barelor să fie redusă la minimum în timpul operației de formare a spirelor, se utilizează sabloane speciale, de tipul aceluia reprezentat în fig. 9.33 prevăzute cu ghidarea conductorului. Întrucât totuși conductorul se deformează în timpul executării bobinelor, astfel încât spirele nu mai sunt plane (fig. 9.34, a), iar în porțiunea din interiorul spirelor apar îngrămadiri de material, (v. fig. 9.33) după formarea spirelor, se trece la îndreptarea și ajustarea acestora. Îndreptarea se execută pe prese sau manual, aşa cum este arătat în fig. 9.34, b și c. La îndreptarea pe presă, se introduc între spirele bobinei discuri sau plăci de oțel perfect plane.

După operația de îndreptare denivelările sau bavurile se înălță cu hîrtie sticlată. După ce spirele au fost îndreptate și curățate se

verifică dimensiunile lor și dacă acestea nu corespund se execută o aducere la dimensiuni, folosind un dispozitiv similar celui reprezentat în fig. 9.35. Această operație se numește *calibrare*.

Introducerea penei dispozitivului de calibrare se poate face prin batere cu ciocanul, sau cu ajutorul unei prese de mână mecanice.

În cazul secțiunilor mari bobinele din conductor dreptunghiular se execută cu ajutorul mașinilor, deoarece efortul necesar pentru confectionarea spirelor este mare. Mașinile folosite în acest scop se asemănă foarte mult cu strungurile, din care cauză ele se mai numesc și strunguri pentru bobinat. În fig. 9.36 este reprezentată o astfel de mașină. În atelierele de bobinaj din exploatare și întreținere se pot folosi, în scopul confectionării bobinelor din conductor dreptunghiular, strunguri modificate, modificarea constând în principal în adaptarea pe sănie, care nu mai este acționată de axul de avans normal al strungului, a unui dispozitiv pentru depunerea ordonată a spirelor.

În cazul confectionării de bobine din conductor de secțiune mare, așezat pe muchie, sau din bandă, trebuie evitată deformarea conductorului în timpul formării spirelor.

O astfel de mașină folosită în special pentru conductor de cupru-bandă este aceea reprezentată în fig. 9.37 (tip HWB Micafil Elveția), iar în fig. 9.38 este arătată o astfel de bobină realizată de mașină.

O astfel de mașină este indicată a fi utilizată în special pentru conductoare cu dimensiuni de  $(1 \dots 7) \times 60$  mm și secțiuni pînă la  $420$  mm $^2$ , dimensiunile principale ale bobinelor polare ce se pot ex-



Fig. 9.31. Bobine polare (compuse din cîte doi galeti) executate cu conductor de secțiune dreptunghiulară așezat pe lat.

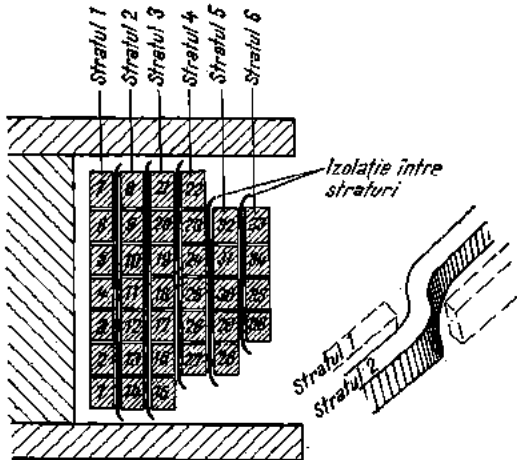


Fig. 9.32. Executarea bobinelor polare cu conductor dreptunghiular așezat pe lat, spirele fiind așezate în straturi concentrice:  
a — trecerea de la un strat la altul.

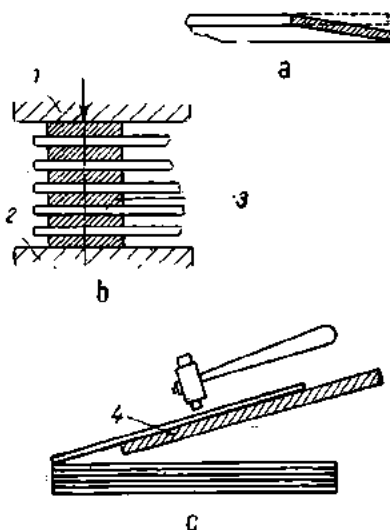


Fig. 9.34. Indreptarea spirelor bobinelor polare execute cu conductor dreptunghiular așezat pe muchie:

a — spira, la scoaterea ei de pe sablon; b — indreptarea pe presă între discuri metalice; c — indreptarea manuală a spirelor;  
1 — berbecul presei; 2 — masa presei; 3 — discuri metalice; 4 — placă de oțel.

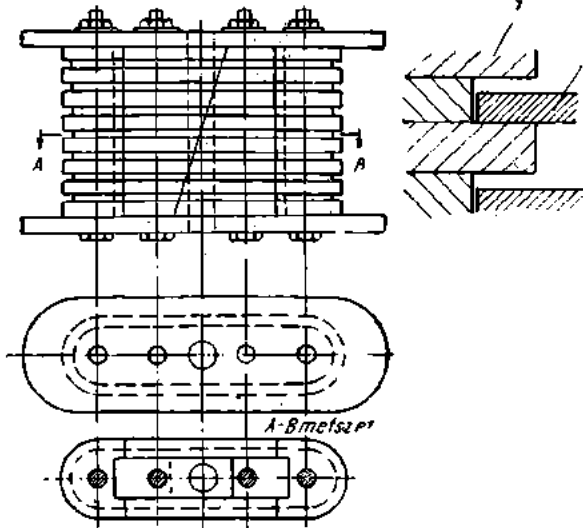


Fig. 9.33. Sablon metallic pentru confectionarea bobinelor polare cu conductor dreptunghiular așezat pe muchie.

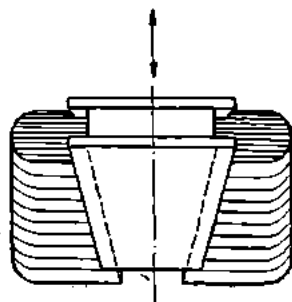


Fig. 9.35. Dispozitiv pentru întinderea (calibrarea) și indreptarea bobinelor din conductor dreptunghiular.

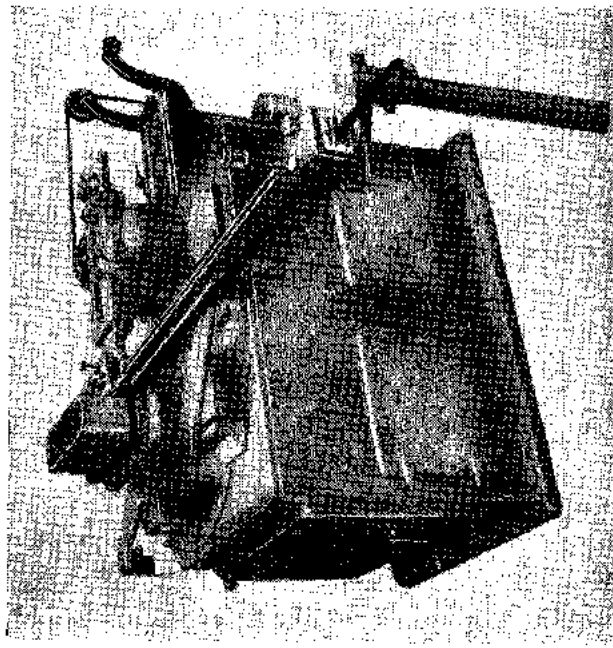


Fig. 9.37. Mașină de confectionat bobine polare din conductor bandă, dispus pe muchie (tip HWB, Micafil-Elefant).

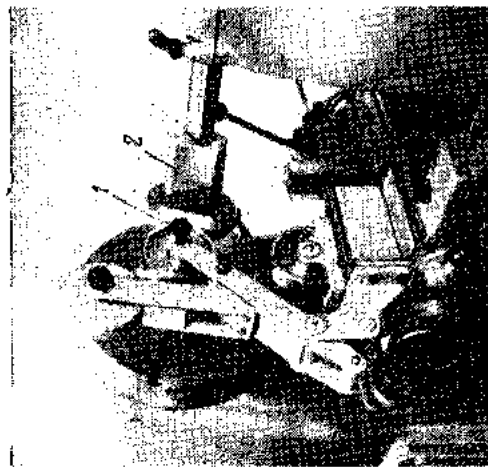


Fig. 9.36. Mașină pentru confectionat bobine polare din conductor dreptunghiular, cu șablonul pentru așezarea conductorului pe lat :  
1 — spirale bobinei; 2 — sabionul.

cuta în funcție de lățimea  $b$  a conductorului (v. fig. 9.39) determinindu-se cu ajutorul următoarelor relații :

$$\begin{aligned} R_{min} &= 1,8 b ; & R_{max} &= 500 \text{ mm} \\ B_{min} &= 3,5 b ; & B_{max} &= 700 + 0,62 R \\ L_{max} (\text{pentru } C_{max} = 1000 \text{ mm}) &= 1000 + B \\ L_{max} (\text{pentru } C_{max} = 2000 \text{ mm}) &= 2000 + B \\ L_{min} &= 440 + (\text{execuție specială}). \end{aligned}$$

În construcția înfășurărilor polare ale mașinilor sincrone de putere mijlocie (pînă la 1 000 kW) și turații reduse, se folosesc bobine din bandă de cupru cu raport mare între lățimea și grosimea benzii. Aceste bobine se realizează din tablă de cupru, de grosimea necesară, din care se decupează spirele (manual sau prin ștanțare); spirele se conectează în serie prin sudare (sau lipitură tare). La execuțarea acestor bobine, o mare atenție trebuie dată atât curățirii foarte bune a

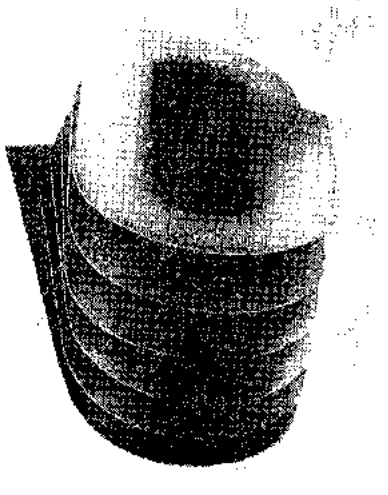


Fig. 9.38. Bobină polară din conductor bandă, realizată cu ajutorul mașinii HWB (Micafil-Elveția).

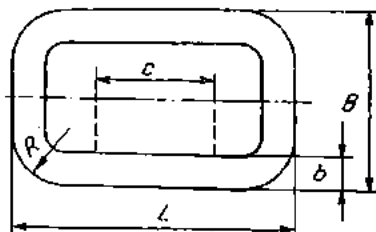


Fig. 9.39. Dimensiunile principale ale bobinii realizate cu conductor drept-unghiular foarte lat, așezat pe mușchie, la execuțarea pe mașină.

zonei de sudură (lipire) de scorii rezultați (zgură sau decapant), cît și aducerii la grosime (prin ajustare) a acestei zone a spirei.

#### Izolarea bobinelor

Unele bobine polare se izolează complet pe toată suprafața și după toate operațiile de impregnare și acoperire formează un produs finit complet, care la montarea pe mașină nu mai suportă nici o altă opere-

rație decit introducerea pe miezul polului. Izolarea completă se face imbrăcind bobina cu bandă neimpregnată jumătate suprapus în mai multe straturi, aşa cum este reprezentată în fig. 9.40. Numărul straturilor ca și tipul materialului se alege în funcție de clasa de izolație și de condițiile de mediu în care va funcționa mașina. Intrucit grosimea stratului izolant aplicată poate împiedica pătrunderea lacului de



Fig. 9.40. Aplicarea benzii albe izolante pe suprafața bobinei polare.

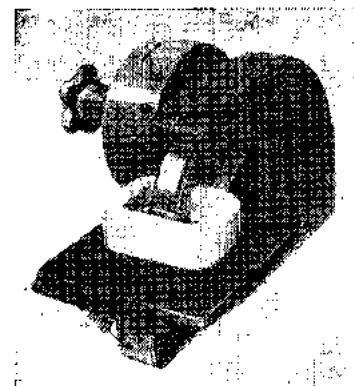


Fig. 9.41. Mașină pentru aplicarea izolației la suprafața bobinelor polare.

impregnare în interiorul bobinei (între spire), este bine ca izolarea pe suprafață a bobinelor să fie precedată de impregnarea acesteia. De asemenea se obisnuiește ca pe fiecare strat de bandă să se aplice cu pensula o peliculă de lac de impregnare.

In cazul fabricației de serie mare, în întreprinderi, izolarea bobinelor se realizează cu ajutorul unor mașini speciale, de tipul aceleia reprezentate în fig. 9.41.

## 9.2. INFĂȘURĂRI CONCENTRATE DISPUSE ÎN CRESTĂTURI

Înfășurările concentrate așezate în crestături se întâlnesc la mașinile sincrone, pentru realizarea polilor inecați și la mașinile de curent continuu la înfășurările de compensație dispuse în crestăturile pieselor polare.

Înfășurările polilor inecați ai mașinilor sincrone se realizează cu conductor de secțiune dreptunghiulară, sau conductor rotund. În ge-

neral aceste înfăşurări de excitaţie se întâlnesc la maşinile cu puteri mari şi cu turări de 3 000 şi 1 500 rot/min şi sunt realizate cu conduceoare de secţiune dreptunghiulară, aşezate în crestături repartizate pe periferia miezului magnetic al rotorului maşinii, ca în exemplele reprezentate în fig. 9.42.

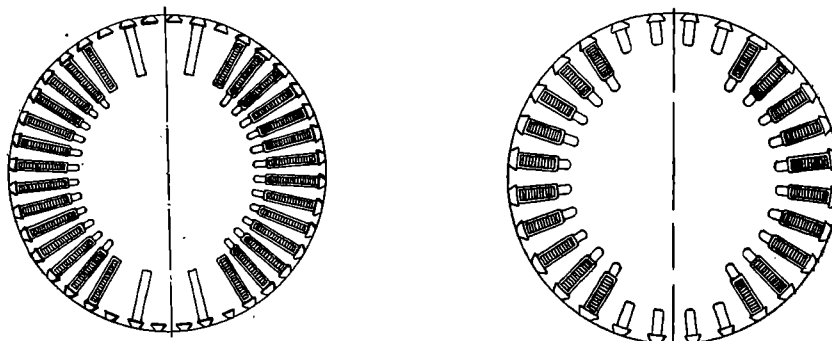


Fig. 9.42. Dispunerea crestăturilor la realizarea polilor înnecaţi, în construcţia maşinilor sincrone (turbogeneratoare).

Conductoarele sunt aşezate pe lat în crestături, aşa cum este reprezentat în fig. 9.43, lăţimea conductorului alegindu-se corespunzător lăţimii crestăturii.

Elementele constructive care intră în componenţa acestor înfăşurări se pot observa în fig. 9.43.

În unele cazuri, determinate de tensiunea nominală și de regimul de lucru ale maşinii, în special în cazul motoarelor sincrone și al compensatoarelor sincrone, conductoarele înfăşurării se izolează suplimentar unele în raport cu altele, fiind prevăzute cu teci izolante (3) ca în cazul reprezentat în fig. 9.43, c.

Execuția acestor înfăşurări fiind foarte asemănătoare cu execuția înfăşurărilor repartizate, se vor urma indicațiile date în cap. 10 pentru înfăşurările repartizate.

În construcția maşinilor sincrone de putere mică cu polii în rotor (în special generatoare sincrone), datorită diametrului exterior redus al rotorului, spațiul dintre doi poli vecini poate fi considerat ca o crestătură în care se introduc două laturi de bobină, aparținând bobinelor polare respective. În fig. 9.44 sunt reprezentate două exemple diferite de înfăşurări și elementele constructive corespunzătoare. La confectionarea acestor înfăşurări se folosește un conductor rotund.

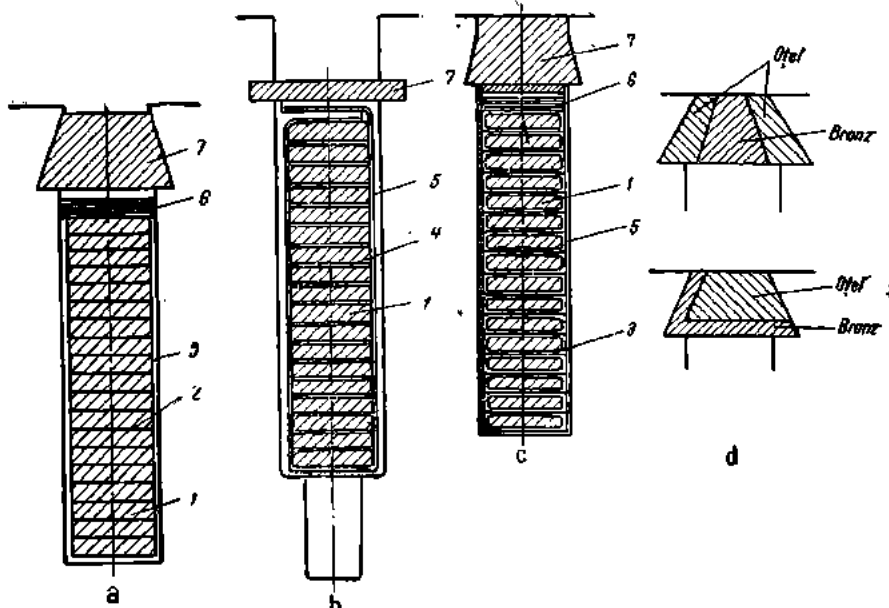


Fig. 9.43. Dispunerea în crestătură a conductorilor încărcărilor concentrate (cu poli înnecăți) la turbogeneratoare:

a — cu conductor cu izolație proprie; b — cu conductorale neizolate și cu izolație între spire; c — la conductorale izolate în teacă continuă; d — tipuri de pane pentru închiderea crestăturii;  
 1 — conductor; 2 — izolația conductostrului; 3 — teacă izolantă pentru conductor; 4 — izolație între spire; 5 — izolația crestăturii; 6 — izolația sub pană; 7 — pană pentru închiderea crestăturii.

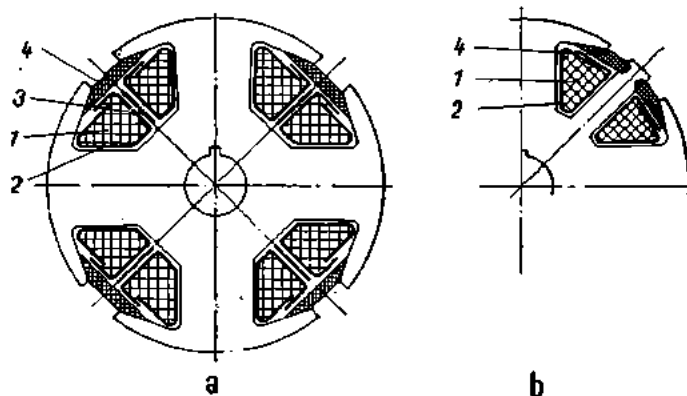


Fig. 9.44. Dispunerea înfășurărilor concentrate cu poli înnecăți, realizate cu conductor rotund.

### **9.3. EXECUȚIA CIRCUITULUI ÎNFĂȘURĂRILOR CONCENTRATE**

Indiferent de așezarea înfășurării în stativul sau în rotorul mașinii, la executarea înfășurărilor concentrate trebuie îndeplinite următoarele etape de lucru :

- asamblarea polilor (bobină polară ; miez feromagnetic) ;
- montarea polilor pe jugul feromagnetic al statorului, respectiv al rotorului ;
- executarea legăturilor între bobinele polare și legăturile la placa sau bornele mașinii (în cazul înfășurărilor așezate în rotor aceste legături se fac la inelele de contact și de la periile ce calcă pe inel se efectuează legături la bornele sau placa de bobine a mașinii).

#### **9.3.1. Asamblarea polilor**

Asamblarea polilor constă din așezarea bobinelor polare pe miezul feromagnetic și necesită următoarele operații :

- Se pregătește miezul feromagnetic asamblat și controlat ca execuție și dimensiuni prin curățire de impuritățile metalice sau nemetaleice, cu aer comprimat și în stare perfect uscată.
- Se introduc succesiv carcasele (metalică și izolantă) pe miezul feromagnetic și apoi bobinele polare. Aceste operații se realizează în funcție de tipul constructiv al carcaselor izolante.

De exemplu, la bobinele polare cu carcase închise, bobina se introduce o dată cu carcasa izolantă, în timp ce la bobinele cu izolație exterioară continuă sau la cele cu un singur strat de spire din conductor dreptunghiular, operația constă din introducerea bobinei pe suportul izolant.

În toate cazurile bobina se fixează în carcasa izolantă pentru a evita jocuri sau deplasări ulterioare.

#### **9.3.2. Montarea polilor pe jugul feromagnetic**

Această operație constă din asamblarea polilor montați (conform 9.3.1) cu dispozitivele de consolidare a bobinelor polare (resoarte, piese de fixare etc.). La montarea polilor se are în vedere ca asamblarea să fie foarte bine făcută și să fie asigurată contra demontării (deșurubare, alunecarea penelor de fixare) prin folosirea de piese de asigurare (șaibe de siguranță, șaibe crenelate, cuie spintecate, piese

de asigurare, contrapiulițe). De calitatea asamblării depinde în măsură foarte mare funcționarea înfășurării și respectiv a mașinii. În cazul polilor montați în rotor se adaugă operațiile de echilibrare statică (v. cap. 10), obligatorie la toate tipurile de mașini și de echilibrare dinamică, obligatorie pentru mașini cu turărie mai mare de 750 rot/min (v. cap. 10).

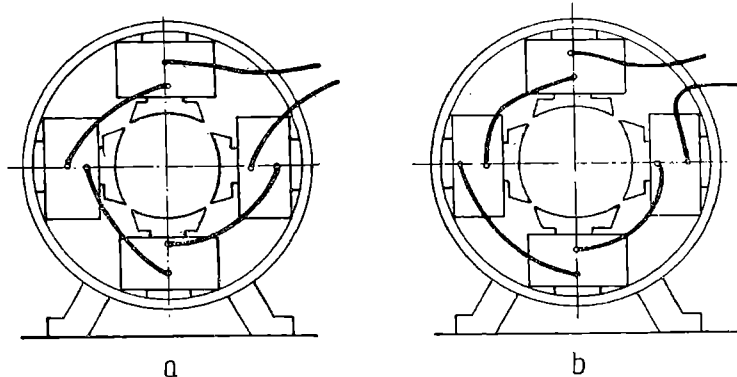


Fig. 9.45. Executarea legăturilor între bobinele polare pentru realizarea corectă a succesiunii polilor :

a — cind toate bobinele au același sens de înfășurare; b — cind sensul de înfășurare a bobinelor este alternat.

O atenție deosebită la montarea bobinelor pe miezul feromagnetic al polului trebuie dată sensului de înfășurare a spirelor pe bobină pentru realipirea corectă a succesiunii și pentru realizarea legăturilor între poli aşa cum rezultă din fig. 9.45.

### 9.3.3. Executarea legăturilor (conexiunilor) între bobinele polare și a legăturilor la bornele sau placă de borne a mașinii

La realizarea conexiunilor între bobinele polare se folosește întotdeauna o schemă de legături pentru realizarea corectă a succesiunii polilor mașinii.

Corespunzător tipului de bobină, secțiunii de conductor și tipului de borne ale bobinei, executarea conexiunilor se face prin :

— lipirea sau sudarea capetelor de bobină ce se leagă în circuitul electric, în cazul bobinelor cu conductor de secțiune mică și cu capetele lungi lăsate la execuție ; la aceste bobine nu se folosesc conductoare speciale de legătură între bobine ;

— asamblarea mecanică (cu șurub și piuliță) în cazul bobinelor prevăzute cu bobine tip papuc sau borne plate;

— asamblarea cu șurub și piuliță și lipire la același tip de bobine ca mai sus, dacă se prevede și operația de lipire (la mașinile de putere mare și întotdeauna în cazul polilor montați pe rotorul mașinii).

Pentru realizarea legăturilor la bornele mașinii sau la inelele de contact (la rotoare) ca și pentru realizarea legăturilor între căile de curent ale înfășurării, se folosesc conducte de legătură de tip FffBC sau F ffsi (fabricate de FCME-București), secțiunea stabilindu-se în funcție de valoarea curentului prin circuitul înfășurării.

#### 9.4. INCERCĂRILE ÎNFAȘURĂRILOR CONCENTRATE

În timpul execuției elementelor înfășurărilor concentrate, a înfășurării și după executarea acesteia se execută o serie de încercări menite să asigure buna funcționare a mașinii. Se pot grupa încercările efectuate asupra înfășurărilor concentrate în :

- încercări asupra materialelor ;
- încercări în timpul fabricației ;
- încercări finale asupra înfășurării concentrate.

##### 9.4.1. Încercările asupra materialelor

Aceste încercări se execută asupra materialelor electroizolante și asupra conductoarelor înainte de a le folosi în confectionarea vreunei înfășurări și au ca scop verificarea calității acestora. Se recomandă verificarea calitativă a materialelor înainte de a se lucra cu ele și în-deosebi controlul calitativ asupra conductorului de bobinaj (dimensiuni, izolație și asupra uniformității caracteristicilor pe toată lungimea sa).

##### 9.4.2. Încercările în timpul fabricației

În timpul executării tuturor elementelor componente ale înfășurării, ca și în timpul executării circuitului înfășurării, se efectuează următoarele încercări de verificarea calității :

- verificarea dimensională și a aspectului carcaselor, a izolațiilor, a conductoarelor de conexiune ;
- verificarea bobinelor polare după confectionare, înainte de izolare (dimensiuni, număr de spire și izolația din interiorul bobinei);

- încercarea bobinelor polare gata pentru montarea pe miezul polar;
- verificarea sensului de înfăşurare după montarea polilor pe jugul magnetic înainte de efectuarea conexiunilor.

La verificarea dimensiunilor imediat după scoaterea de pe şablon, trebuie măsurate dimensiunile  $a_l$ ,  $b_l$ ,  $a_e$ ,  $b_e$  și  $h$  (v. fig. 3.1.) ținindu-se seama că bobina urmează să fie izolată la exterior (în care caz cotele exterioare măsurate trebuie să fie mai mici decât cele prescrise pentru bobina gata), sau că bobina urmează să fie consolidată prin presare (în care caz cota  $h$  ce se măsoară poate să fie mai mare decât cota  $h$  prescrisă).

Determinarea numărului de spire al bobinei se face diferit, după tipul bobinei. Numărul de spire la bobinele cu spire multe se determină introducând bobina pe un circuit magnetic cu jugul mobil (v. fig. 9.46) prevăzut cu o înfăşurare fixă 1 cu număr de spire cunoscut.

Apliind bobinei fixe 1 o tensiune alternativă  $U_1$  care se măsoară cu voltmetrul  $V_1$ , la bornele bobinei de încercat se obține o tensiune electromotoare  $U_2$ , care se măsoară cu voltmetrul  $V_2$ . Numărul de spire al bobinei fixe fiind  $w_1$ , numărul de spire  $w_b$  ale bobinei ce se încearcă este dat de relația :

$$w_b = w_1 \frac{U_2}{U_1}. \quad (9.3)$$

Numărul de spire  $w_b$  se poate determina și prin compararea tensiunii măsurate cu tensiunea indușă într-o bobină similară al căruia număr de spire  $w_{br}$  este cunoscut și care este luată ca bobină de referință. Compararea tensiunilor induse se face legind cele două bobine în opoziție, așa cum este arătat în schema din fig. 9.47, diferența dintre tensiunile electromotoare „ $u$ “ se măsoară cu ajutorul voltmetrului  $V_1$  de tensiune mică sau chiar a unui milivoltmetru.

Se măsoară și tensiunea  $U$  la bornele bobinei de referință, iar numărul de spire cu care diferă bobina încercată de cea de referință se calculează cu relația

$$w_b = w_b \frac{U}{U_b}. \quad (9.4)$$

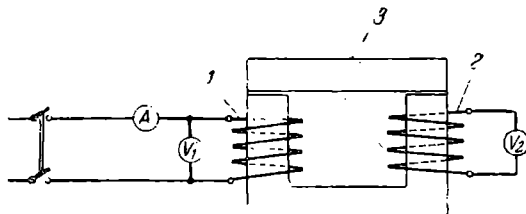


Fig. 9.46. Schema electrică pentru determinarea numărului de spire al bobinelor polare cu multe spire :

1 — bobină fixă; 2 — bobină de încercat; 3 — jug mobil.

Pentru a cunoaște dacă bobina încercată are un număr  $\Delta w_b$  de spire mai mare sau mai mic decât bobina de referință, respectiv dacă trebuie scoase sau adăugate spirele  $\Delta w_b$ , se repetă încercarea aplicând la bornele înfășurării 1 o tensiune continuă (de la o baterie de acumulator) și folosind în locul voltmetrului  $V_2$  un milivoltmetru de curent continuu. La închiderea circuitului de alimentare de la baterie polaritatea bornelor  $a_1$  și  $a_2$  trebuie să fie aceeași ca a bornei  $b$ , și respectiv a bornelor  $b_1$  și  $b_2$  ca a bornei  $a$ . Rezultă că în schema de legături indicată dacă mili-

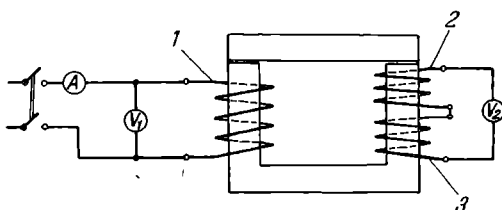


Fig. 9.47. Schemă pentru determinarea numărului de spire al unei bobine, prin metoda comparației :

1 — bobină fixă; 2 — bobină de incercat; 3 — bobină elalon.

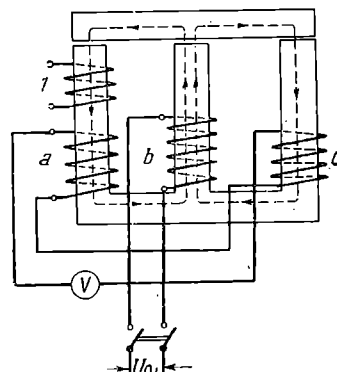


Fig. 9.48. Schema electrică a dispozitivului pentru determinarea scurtcircuitului unei bobine concentrice.

voltmetrul va indica păstrarea polarității bornei  $a_1$ ,  $\Delta w_b$  reprezintă numărul de spire ce trebuie adăugate, în caz contrar  $\Delta w_b$  reprezintă numărul de spire ce trebuie scoase.

La bobinele executate din conductor dreptunghiular și cu un singur strat, numărul de spire se determină prin numărare.

*Controlul izolației spirelor* constă în verificarea izolației între spirele vecine și între straturile de spire. În acest scop, folosind dispozitivul din fig. 9.46, se aplică înfășurării 1 o tensiune alternativă a cărei mărime se stabilește astfel încât la bornele bobinei 2 de incercat să se obțină o tensiune egală cu de 1,5 ori tensiunea nominală a bobinei. Durata încercării este de 5 minute.

Pentru detectarea scurtcircuitului între spire, la Uzina de mașini electrice din București se folosește un dispozitiv de încercare (v. fig. 9.48) funcționând astfel : pe un miez cu trei coloane lungi, care poate fi închis în partea superioară cu un jug mobil, se află trei înfășurări : una pe coloana centrală 3 și două (4 și 5) pe coloanele extreme. Bobinele 4 și 5 sunt similare și constituie bobinele auxiliare de măsură. Dacă bobina 3 se alimentează de la o rețea de tensiune alternativă, în bobinele 4 și 5 se vor induce tensiuni electromotoare.

Legind în opoziție cele două bobine 4 și 5 un voltmetriu V conectat în circuitul lor va indica o tensiune foarte mică și anume datorită eventualelor diferențe constructive între bobinele 4 și 5 și disimetriilor lor de natură magnetică.

Dacă pe una din coloanele extreme se introduce o bobină 6, în funcționarea aparatului intervin schimbări numai atunci cînd spirele bobinei 6 sînt scurtcircuitate, fapt care cauzează disimetrii mari în repartizarea cîmpului magnetic prin coloanele extreme și deci la voltmetrul V apare o tensiune de valoare mare. Scurtcircuitul între spire poate să fi apărut în timpul execuției bobinei sau poate fi provocat de străpungerea izolației între spirele înfășurării (în punctele în care ea este necorespunzătoare) în timpul încercării, dacă tensiunea indușă în aceste spire este suficientă pentru solicitarea corespunzătoare a izolației respective. În fig. 9.49, este reprezentată schema mai completă a aparatului, care cuprinde bobinele auxiliare de măsură 4 și 5 așezate pe miezul 1 și în plus bobina 6 legată în serie cu bobinele 4 și 5 și care servește pentru compensarea tensiunii măsurate de voltmetrul V, datorită diferențelor constructive sau de poziție în cîmpul magnetic al bobinelor 4 și 5. Bobina 6 poate fi deplasată pe coloană, ceea ce permite aducerea la zero a aparatului de măsurat. După punerea la zero a aparatului pe această cale se introduce pe una din coloanele extreme bobina de încercat 7, care poate fi concentrică cu bobina auxiliară de măsură.

La bobinele polare impregnate, complet consolidate și izolate, la care prin plasarea pe miezul polului nu se mai produce nici o modificare a construcției sau dimensiunilor lor, se verifică izolația între spire.

În cazul bobinelor așezate în cărcasă metalică se verifică și izolația dintre bobină și această carcăsă prin determinarea rezistenței de izolație și încercarea rezistenței de străpungere a acesteia.

*Determinarea rezistenței de izolație* se face cu ajutorul unui megohmmetru cu tensiunea de 500 sau 1 000 V. Se consideră că bobina

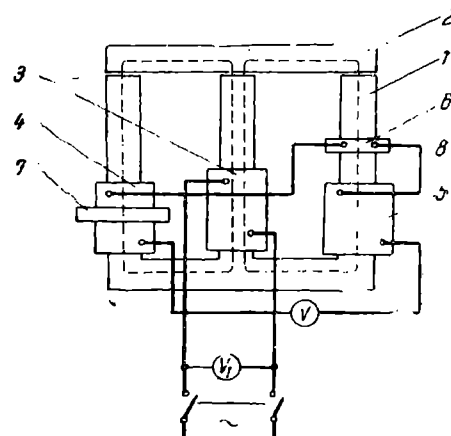


Fig. 9.49. Schema dispozitivului folosit la U.M.E. Bucuresti pentru detectarea scurtcircuitului între spire la bobinele polare.

are o bună rezistență de izolație atunci cînd prin măsurare se obține mai mult decît  $2 \text{ M}\Omega$  ( $1 \text{ M}\Omega = 1\,000\,000 \Omega$ ), pentru tensiuni nominale de funcționare a bobinei sub  $1\,000 \text{ V}$  și  $5 \text{ M}\Omega$  pentru tensiuni mai mari decît  $1\,000 \text{ V}$ , bobinele fiind în stare rece la temperatura mediului ambiant.

*La încercarea izolației bobinei se aplică timp de  $60 \text{ s}$ , între conductorul bobinei și carcasa metalică, o tensiune înaltă alternativă cu frecvență de  $50 \text{ Hz}$ . Schema de principiu a instalației este reprezentată în fig. 9.50.*

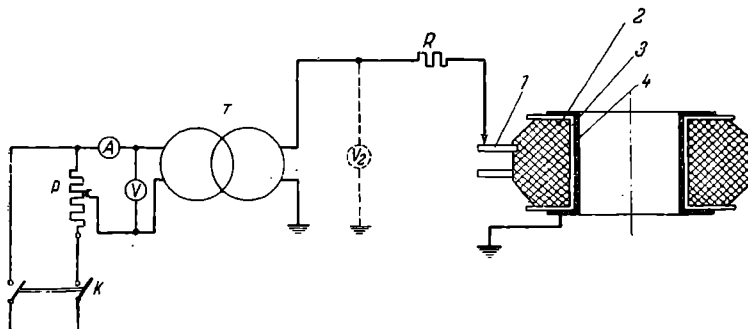


Fig. 9.50. Schema instalației pentru încercarea rigidității dielectrici a izolației bobinelor polare față de carcasa metalică suport:  
 $K$  — intrerupător;  $P$  — potențiometru;  $T$  — transformator de  $0,1\text{--}15 \text{ kV}, 5\text{--}20 \text{ kVA}$ ; 1 — borne; 2 — bobină; 3 — izolație bobinei față de carcăsa; 4 — carcăsa metalică.

tată în fig. 9.50. Tensiunea aplicată se reglează treptat timp de minimum  $1 \text{ min.}$ , pînă la valoarea prescrisă. Valoarea tensiunii de încercare se stabilește cu relația

$$U_{inc} = (10 U_e + 1\,000) [\text{V}] \quad (9.5)$$

dar nu mai mică decît  $2\,500 \text{ V}$ , unde  $U_e$  este tensiunea nominală a înfășurării (conform datelor nominale ale mașinii).

Încercarea se poate executa și după introducerea bobinelor polare pe miez înainte de montarea polilor în mașină.

#### 9.4.3. Încercările finale

Înfășurările concentrate complet montate se supun următoarelor încercări finale :

- încercarea rezistenței la străpungere a izolației ;
- măsurarea rezistenței de izolație ;
- determinarea rezistenței electrice a înfășurărilor ;
- verificarea polarităților polilor.

*Încercarea rezistenței la străpungere a izolației* se face de două ori respectiv înainte și după executarea legăturilor între bobine. În acest scop, folosind o instalație de încercare a cărei schemă e dată în fig. 9.50, se aplică timp de 1 minut o tensiune egală cu :

1 000 V + 2× tensiunea nominală maximă de excitație la înfășurările de excitație ale mașinilor de curent continuu nu însă mai puțin de 1 500 V ;

de 10 ori tensiunea nominală de excitație (însă minimum 1 500 V și maximum 3 500 V) la înfășurările de excitație ale generatoarelor sincrone ;

1 000 V + 2× tensiunea nominală de excitație însă nu mai puțin de 1 500 V, la înfășurările de excitație ale motoarelor și compensatoarelor sincrone care la pornirea în asincron au înfășurarea de excitație scurtcircuitată sau conectată la circuitul indusului excitatoarei ;

1 000 V + 2× valoarea maximă a tensiunii efective care se poate produce în înfășurarea de excitație a motoarelor sau compensatoarelor sincrone dacă pornirea are loc cu înfășurarea de excitație deschisă sau conectată la bornele unei rezistențe, nu mai puțin de 1 500 V.

Aceste valori ale tensiunii de încercare la 50 Hz corespund STAS 1893-65.

*La măsurarea rezistenței de izolație a înfășurării*, valorile obținute la măsurători trebuie să fie mai mari decât 0,5 MΩ, pentru mașini având tensiunea nominală pînă la 1 000 V și funcționînd în mediu normal și de 2 MΩ pentru mașinile funcționînd la tensiuni mai mari decât 1 000 V. Valorile 0,5 MΩ, respectiv 2 MΩ, sunt considerate ca valori limită inferioare admisibile.

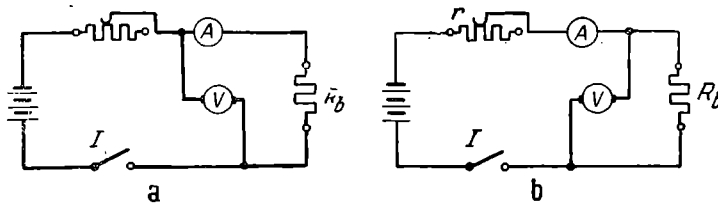


Fig. 9.51. Schemele folosite pentru determinarea rezistenței electrice a înfășurărilor concentrate :

a — pentru înfășurări de rezistență mare (înfășurări de excitație principală independentă sau derivativă); b — pentru înfășurări de rezistență mică (înfășurări de excitație serie, înfășurările polilor auxiliari).

*Rezistența electrică a înfășurării* se poate determina cu ajutorul punților speciale (puntea de rezistență) sau cu ajutorul metodei voltmetrului și ampermetrului, conform schemelor din fig. 9.51.

*Verificarea polarității polilor* se execută după executarea legăturilor între bobinile polare. În acest scop se alimentează înfășurarea

de la o sursă de tensiune continuă, valoarea tensiunii alegindu-se astfel încât curentul prin înfăşurare să nu depăşească jumătate din valoarea nominală a curentului ; înfăşurarea fiind alimentată, se verifică polaritatea polilor cu ajutorul unei busole sau a unui magnet permanent.

În cazul mașinilor de curenț continuu prevăzute cu poli de comutăție, se alimentează și înfăşurarea acestora. Polaritatea polilor de comutăție este determinată de faptul că mașina este generator sau motor, precum și de sensul de rotație al mașinii, astfel :

- la generatoarele de curenț continuu, după un pol principal nord, în sensul de rotație al rotorului, urmează un pol de comutăție sud, iar după un pol principal sud, un pol de comutăție nord ;
- la motoarele de curenț continuu, după un pol principal nord urmează un pol de comutăție nord, iar după un pol principal sud, un pol de comutăție sud.

### 9.5. DEFECTELE ÎNFAŞURĂRILOR CONCENTRATE

Principalele defecte ale înfăşurărilor concentrate pot fi următoarele (v. fig. 9.52) :

- rezistență de izolație mică dintre înfăşurări și masă (corful mașinii), sau între diferitele înfăşurări ale mașinii (fig. 9.52, a) ;

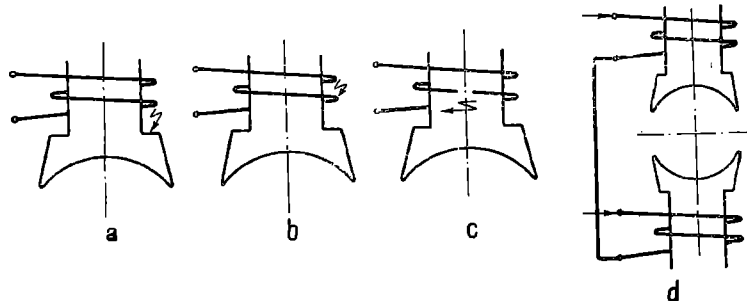


Fig. 9.52. Reprezentarea schematică a defectelor înfăşurărilor concentrate :

- rezistență de izolație mică între înfăşurări și masă; b — scurtcircuit între spire;

— intreruperea înfăşurării (fig. 9.52, c) ;

— conexiuni inversate între bobinele polare (fig. 9.52, d).

Defectul se precizează fie pe baza observațiilor constatate direct în timpul funcționării mașinii, fie efectuând măsurători electrice și magnetice suplimentare. S-ar putea întâmpla ca la aceeași înfășurare să existe același defect în mai multe locuri; de asemenea, este posibil ca o aceeași înfășurare să prezinte simultan defecte diferite. Cazurile complexe se examinează numai dacă se cunosc defectele elementare menționate mai înainte, reprezentate schematic în fig. 9.52.

### 9.5.1. Rezistența de izolație mică față de corpul mașinii

Acest defect se constată la mașinile a căror sursă de alimentare a excitației este izolată față de pămînt; la o atingere întâmplătoare a oamenilor de aceste mașini, ele „curentează“. După ce mașina a fost oprită și separată de alte circuite electrice și cu înfășurările derivație, serie sau compund deconectate de borne, se măsoară cu inducțorul (megohmmetrul) sau cu un ohmmetru, rezistența de izolație a fiecărui din aceste înfășurări. Dacă rezistența de izolație este mică, și anume mai mică decât :

$$R_{iz. \text{ necesară}} = \frac{U}{P} [Ω], \quad (9. \text{ b})$$

$1\ 000 + \frac{100}{100}$

unde  $U$  este tensiunea nominală a mașinii, măsurată în volți, iar

$P$  — puterea sa nominală, în kilowați, se consideră defect de izolație.

Cauzele producerii acestui defect pot fi următoarele :

— funcționarea mașinii în mediu umed, necorespunzător cu tipul de construcție al mașinii și cu tipul de materiale electroizolante utilizate, fapt care conduce la degradarea izolației; în acest caz, rezistența de izolație este foarte mică; la funcționarea în sarcină, pe măsură ce mașina se încălzește, umezeala este îndepărtată, iar rezistența de izolație crește;

— îmbătrînirea izolației datorită funcționării îndelungate a mașinii sau datorită suprasarcinii care a avut ca urmare o încălzire a înfășurării peste limitele admisibile;

— distrugerea izolației dintre înfășurare și carcasa pe cale mecanică, în timpul transportului mașinilor sau funcționării, datorită execuției neîngrijite, a jocului dintre bobină față de miezul polului și jug.

Defectul se localizează demontând mașina și examinând înfășurarea parte cu parte. În cazul când nu se constată direct nici o atingere între fier și bobine sau între carcasa și conductoarele de legătură la borne sau între legăturile dintre bobine, se separă înfășurarea în

două părți egale, desfăcind una dintre legăturile dintre bobine. Se măsoară pe rînd rezistența de izolație a fiecărei din cele două părți de infășurare astfel create. Dacă rezistențele de izolație măsurate sunt egale între ele și egale cu dublul valorii rezistenței de izolație măsurate anterior, înseamnă că este puțin probabil ca defectul să fie localizat; în acest caz concluzia este că întreaga izolație a infășurării are o rezistență de izolație mică.

Dacă una din laturi are o rezistență de izolație mare, iar cealaltă o rezistență de izolație mică, atunci se examinează în continuare ultima latură.

Cind s-a localizat defectul pe o bobină, se scoate polul împreună cu bobina din stator și se încearcă separat bobina față de pol, fiindcă este posibil ca bobina să fi fost în contact cu carcasa. Dacă rezistența de izolație dintre bobină și miezul polar este mică, se scoate bobina de pe miezul polar și se examinează cu ochiul liber.

Defectul se poate localiza și astfel: se aplică o tensiune între infășurare și carcasa și se examinează mașina cîteva minute, observînd locul unde izolația

începe să fumege. Schema de conexiuni folosită este indicată în fig. 9.53. Reostatul  $R$  se alege astfel încît prin circuit să treacă cel mult curentul admisibil prin infășurarea respectivă. Folosirea unei lămpi în locul reostatului  $R$  nu este indicată.

### 9.5.2. Scurtcircuitul între spire sau scurtcircuitarea unei bobine

Scurtcircuitul dintre spire are drept consecință funcționarea defectuoasă a mașinii, mers neuniform, cu vibrații; mașina nu produce la borne tensiunea nominală, iar la funcționarea ca motor de curent continuu viteza mașinii este mai mare decît viteza nominală, cu toate că tensiunea aplicată este egală cu tensiunea nominală.

Scurtcircuitul spirelor din infășurarea polilor auxiliari are ca urmare o comutație defectuoasă: scînteile la perii sunt comparabile cu acelea care s-ar obține cînd mașina nu ar avea infășurarea polilor auxiliari conectată în circuit.

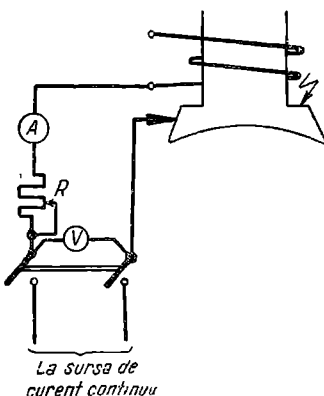


Fig. 9.53. Schema de incercare pentru determinarea defectului de izolatie la o bobină polară.

Cauzele defectului pot fi :

- îmbătrînirea izolației ;
- supratensiuni periculoase care se produc la deschiderea circuitului de excitație alimentat de la o sursă de tensiune.

Localizarea defectului se poate face în diferite moduri :

- se măsoară rezistențele electrice ale bobinelor care aparțin la poli diferenți și se compară valorile între ele ; bobinele care prezintă scurtcircuite au rezistență electrică mai mică ; identificarea spirelor scurtcircuite este posibilă numai dacă se desface bobina defectată ;
- se detectează scurtcircuitul între spire, procedând aşa cum s-a arătat la pct. b (9.4.2), la controlul fiecărei bobine, cu aparatul descris.

### 9.5.3. Întreruperea infășurării

Întreruperea infășurării se constată prin aceea că, alimentind infășurarea respectivă de la o sursă avînd tensiunea nominală, curentul prin infășurare este nul (dacă toate bobinele sunt în serie) sau are o valoare mai mică decît curentul nominal dacă infășurarea are mai multe circuite legate în paralel.

Întreruperea infășurării se produce din cauza :

- execuțării defectuoase a lipiturilor la legături ;
- în urma distrugerii conductorului, ca urmare a unui scurtcircuit între spire sau a unei degradări a conductorului în timpul operației de confectionare a bobinei.

Localizarea defectului este relativ simplă : se măsoară pe rînd rezistența electrică a fiecărei bobine cu puntea pentru măsurarea rezistențelor și se identifică bobina defectă. Este posibil ca defectul să fie chiar la una din legăturile dintre bobine.

### 9.5.4. Conexiuni greșite între bobinele polare ale infășurării

Acest defect se manifestă diferit în funcționarea mașinii, după cum infășurarea respectivă este o infășurare de excitație, de compensare sau este infășurarea polilor auxiliari și apare datorită realizării greșite a schemei de conexiuni a infășurărilor, de exemplu după reparație. La mașina de curent continuu care are conexiunea greșită a unei bobine de excitație se produc scînteie mari la colectorul în funcționare. La o mașină bipolară (v. fig. 9.54, a), tensiunea indușă la perii este nulă. Decalind una din perii din axa neutră spre axa unui pol, tensiunea la perii crește. La o mașină tetrapolară

(fig. 9.54, b), buclată de exemplu în rotor, în cazul cînd una din bobinele polare este legată greșit în circuit (polul de jos), datorită faptului că perile care în mod normal ar trebui să fie de aceeași polaritate sînt legate între ele, prin înfășurare trec curenți importanți. Acești curenți se închid prin perii, tensiunea la perii este relativ mică, iar la perii se observă scînteie nepermise în cazul funcționării

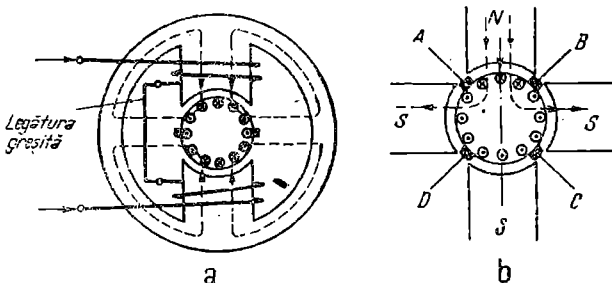


Fig. 9.54. Cimpul magnetic prin mașina cu conexiune greșită a înfășurării de excitație:  
a — mașină de curent continuu bipolar; b — mașină de curent continuu tetrapolar.

în gol ; mașina vibrează puternic datorită nesimetriei distribuției forțelor de atracție magnetică multilaterale care se produc. Inversarea conexiunilor la înfășurările polilor de comutare (auxiliari) se manifestă în timpul funcționării mașinii în sarcină, cînd comutația este înrăutățită. Același fenomen se produce și la inversarea bornelor înfășurării de compensare.

Pentru localizarea defectului, se procedează așa cum s-a arătat la § 9.4.2, verificîndu-se polaritatea tuturor polilor mașinii de curent continuu.

## 10. Construcția și execuția înfășurărilor repartizate

Tipul, construcția, materialele utilizate și metodelé de fabricație ale înfășurărilor repartizate sînt determinate de caracteristicile și condițiile de funcționare ale mașinilor electrice pe care le echipează.

## **10.1. TIPURI CONSTRUCTIVE DE ÎNFĂŞURĂRI REPARTIZATE ; ELEMENTELE CONSTRUCTIVE ALE ÎNFĂŞURĂRII**

Tipurile constructive ale înfăşurărilor repartizate se pot clasifica :

- după mărimea solicitărilor de natură electrică, în
  - . înfăşurări de tensiune foarte joasă (pînă la 24 V) ;
  - . înfăşurări de tensiune joasă (sub 1 000 V exclusiv) ;
  - . înfăşurări de înaltă tensiune (de la 1 000 V inclusiv) ;
- după mărimea intensității curentului prin înfăşurări, se deosebesc
  - . înfăşurări cu conductor subțire, rotund ;
  - . înfăşurări cu conductor de secțiune mare, profilat.

Corespunzător solicitărilor de natură mecanică datorate turației mașinii, înfăşurările din rotoare se execută ca :

- . înfăşurări pentru mașini cu turații mici (pînă la 1 000 rot/min, inclusiv) ;
- . înfăşurări pentru mașini cu turații ridicate (peste 1 000 rot/min).

Corespunzător condițiilor de mediu, înfăşurările repartizate se realizează în diferite tipuri de protecție climatică (normală, tropicală etc.).

În practică, înfăşurările repartizate se execută în tipuri constructive care țin seama de combinarea solicitărilor arătate, de exemplu : înfăşurare de înaltă tensiune, cu conductor dreptunghiular, pentru turații mici, în protecție climatică tropicală TH (pentru climat tropical umed) etc.

Elementele constructive ce compun înfăşurările repartizate, după funcția ce o îndeplinesc în mașină, se grupează în : *elemente active* (conductor, spiră, bobină), *elemente electrice de legătură* (conducatoare și cabluri de conexiuni, legături borne etc.) și *elementele izolației înfăşurării față de corpul mașinii* (elementele schemei de izolație a mașinii). Elementele electrice de legătură sunt examineate în capitolul 8.

## **10.2. ELEMENTELE ACTIVE : CONDUCTORUL, SPIRA, BOBINA ; TIPURI DE BOBINE**

În timp ce conductorul și spira formează elementele funcționale de bază ale înfăşurării, bobina formează elementul constructiv de bază al acestora.

Bobinele pot fi formate din una sau mai multe spire. La confecționarea înfăşurărilor pot fi folosite bobine de același tip (bobine egale) sau de tipuri diferite, în fiecare din aceste cazuri ca bobine singulare, sau ca grupe de două sau mai multe bobine.

Se deosebesc următoarele tipuri constructive de bobine : bobinele moi, bobinele semitari (semirigide) și bobinele tari (rigide).

*Bobinele moi*, denumite astfel întrucât își capătă forma lor definitivă numai după introducerea în crestături, se execută de obicei cu conductor rotund, forma lor constructivă fiind similară celor reprezentate în fig. 10.1, a, b, c și d. Se folosesc de obicei la mașinile

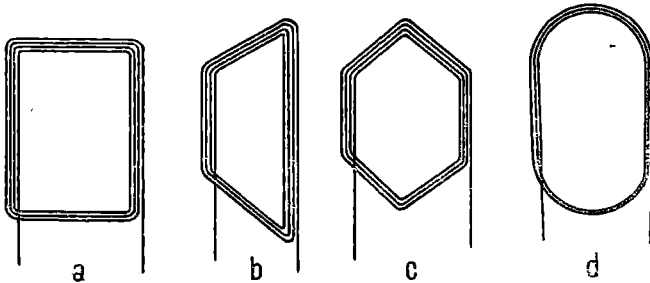


Fig. 10.1. Tipuri constructive de bobine moi :  
a — bobină dreptunghiulară; b — bobină trapezoidală; c — bobină hexagonală; d — bobină cu capete rotunde.

de curent alternativ de tensiune joasă și puteri mici și mijlocii, precum și la indusurile mașinilor de curent continuu de putere mică și în rotoarele mașinilor de curent alternativ cu colector, de putere mică. Cu grupe de bobine concentrice (vezi fig. 10.2, a și b) respectiv cu grupe de bobine egale, cu bobine moi (vezi fig. 10.3, a și b) se realizează de obicei înfășurările în două straturi și înfășurările într-un strat.

Bobinele moi se folosesc în cazul crestăturilor semiînchise (de regulă cu pereți neparaleli) sau închise.

*Bobinele semitari (semirigide)*, denumite astfel întrucât porțiunea ce se introduce în crestătura complet izolată este rigidă, se execută atât din conductor rotund (similar bobinei reprezentată în fig. 10.4), cât și din conductor dreptunghiular. Se folosesc la indusurile mașinilor de curent continuu de putere mijlocie și de tractiune, precum și la mașinile de curent alternativ de putere mijlocie (barele din înfășurările rotoarelor). Înfășurările cu bobine semirigide sunt de regulă în două straturi. Bobinele semirigide se folosesc în cazul crestăturilor semideschise sau semiînchise (cu pereți paraleli) aşa cum se arată în fig. 10.5.

*Bobinele tari (rigide)*, denumite astfel întrucât după confectionare nu mai suportă nici o modificare de formă nici chiar la introducerea lor în crestături, se execută de regulă din conductor de secțiune dreptunghiulară și pot avea una din formele reprezen-

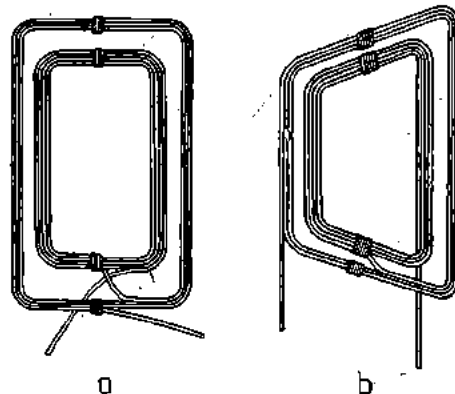


Fig. 10.2. Grupe de bobine moi, concen-  
trice :  
a — cu bobine dreptunghiulare; b — cu bobine  
trapezoïdale.

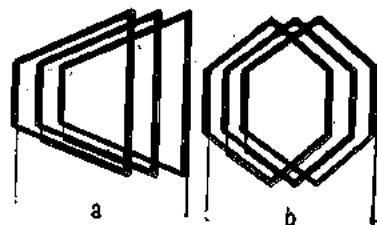


Fig. 10.3. Grupe de bobine moi  
égales :  
a — cu bobine trapezoïdales; b — cu bobine  
hexagonales.

Fig. 10.4. Bobină semitare cu  
conductor rotund, folosită în  
construcția infășurărilor de cu-  
rent continuu :

*i* — teacă izolantă rigidă.

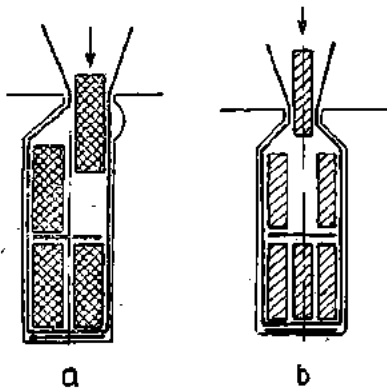
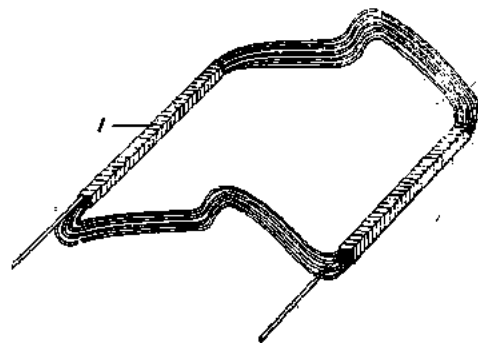


Fig. 10.5. Utilizarea crestăturilor cu  
pereti paraleli, la infășurări cu bo-  
bine semitari :  
a — semideschisă; b — seminchisă.

tate în fig. 10.6. Se folosesc bobine tari (rigide) ca bobine cu mai multe spire (fig. 10.6, a) la indusurile mașinilor de curent continuu și în stătoarele mașinilor de curent alternativ de joasă și de înaltă tensiune, iar ca bobine cu o singură spiră sau ca semispire (fig. 10.6, b și c) la stătoarele mașinilor de curent alternativ de joasă

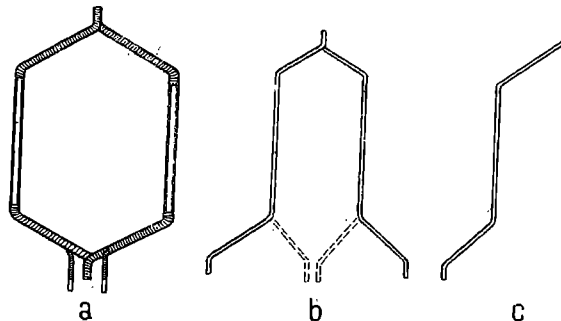


Fig. 10.6. Forme constructive de bobine tari (rigide) :  
a — bobină cu mai multe spire; b — bobină formată dintr-o singură spiră; c — semibobină (bară).

tensiune cu viteza de rotație mică sau de înaltă tensiune de putere mare, precum și la rotoarele mașinilor asincrone și indusurile mașinilor de curent continuu de tensiune foarte joasă sau de joasă tensiune și putere mare.

### 10.3. IZOLAȚIA ÎNFĂȘURĂRILOR REPARTIZATE

#### 10.3.1. Elementele componente ale izolației ; schema de izolație a infășurării

Schmea de izolație a infășurării, denumită pe scurt izolația infășurării, include toate izolațiile electrice ale tuturor elementelor circuitului infășurării față de restul părților componente ale mașinii. De calitatea materialelor electroizolante ce intră în componența schemei de izolație și de stabilitatea în timp, sub acțiunea solicitărilor electrice, termice și mecanice a caracteristicilor acestor materiale, depinde funcționarea mașinii. De aceea la execuția infășurărilor se dă o mare atenție modului în care se aleg materialele și se realizează izolația mașinii. Modul de realizare a izolației este determinat în primul rînd de soluția constructivă generală a infășurării repartizate pe care o izolează. Cum aceasta este legată de tipul de bază al infășurării, tip indus de curent

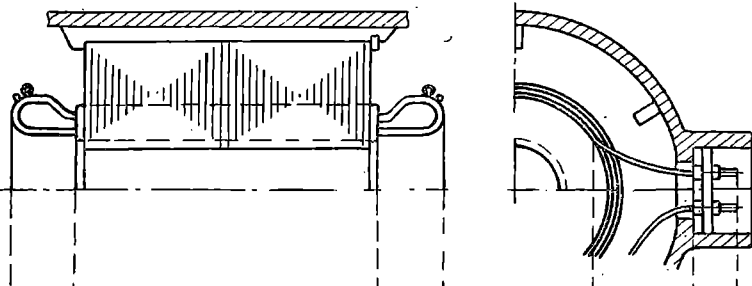
<i>Elementul înășurării</i>	<i>Conducătoare active</i>	<i>Isolatia în crestătură</i>
<i>Isolatia la poate magne- tata de care se izolează electric înășurarea</i>	<i>Caboul de bobiine bobiine ventilator buntăci pentru cap buntăci bocătărele su-</i>	<i>Pachet de role (oile strângute ale înășurării*)</i>
<i>Elementul schemei de izolare</i>	<i>Copuile de bobiine copuile de bobiine bandăi copuile de bobiine bandăi bobiine</i>	<i>Isolatia în crestătură</i>
<i>Isolatia la conectorul lamela de cupru</i>	<i>Isolatia la conectorul lamela de cupru</i>	<i>Isolatia culterului</i>
<i>Isolatia la borduri la conectorul lamela de cupru</i>	<i>Borduri la conectorul lamela de cupru</i>	<i>Isolatia la borduri la conectorul lamela de cupru</i>
<i>Isolatia la borduri la conectorul lamela de cupru</i>	<i>Isolatia la borduri la conectorul lamela de cupru</i>	<i>Isolatia la borduri la conectorul lamela de cupru</i>

Fig. 10.7. Elementele schemei de izolare a înășurărilor repartizate de tip induș de curent continuu.

(\*) Se referă la înășurările în două sau mai multe straturi

continuu sau de curent alternativ, iar în acest de al doilea caz de situația ei în stator sau în rotor, se disting trei tipuri de bază și generale de scheme de izolație reprezentate în figurile 10.7, 10.8 și 10.9, în care sunt indicate și elementele principale ale schemelor și anume :

— scheme de izolație pentru înfășurări tip inducție de curent continuu, dispuse în rotoarele mașinilor de curent continuu și în rotoarele motoarelor de curent alternativ cu colector (fig. 10.7) ;



<i>Elementul înfășurării</i>	<i>Conductoare active</i>	<i>Conductoare legături</i>
<i>Partea mașinii față de care se izolează electric înfășurarea</i>	<i>Capul de bobine</i> <i>Carcasă pacet de tole, scut etc.</i>	<i>Capul de bobine</i> <i>Carcasă pacet de tole, scut etc.</i>
<i>Elementul schemei de izolație (denumire)</i>	<i>Pachet de tole (alte straturi ale înfășurării *)</i> <i>Izolația la capul de bobine</i>	<i>Izolația la capul de bobine</i> <i>Izolația conductoarelor legături</i> <i>Izolația borneelor</i>

(\*) Se referă la înfășurările în două sau mai multe straturi

Fig. 10.8. Elementele schemei de izolație a înfășurărilor repartizate de curent alternativ, din statorul mașinilor electrice de curent alternativ.

— scheme de izolație pentru înfășurări de curent alternativ dispuse în statorul mașinilor de curent alternativ (fig. 10.8) ;

— scheme de izolație pentru înfășurări de curent alternativ dispuse în rotorul mașinilor de curent alternativ (fig. 10.9).

Fiecare din aceste trei tipuri de bază poate fi realizat pentru a corespunde diferitelor tipuri constructive de înfășurări, arătate la

subcap. 10.1. Pentru orice alt tip de înfăşurare repartizată, schema de izolație se stabilește în același mod.

Elementele ce compun schema de izolație a unei înfăşurări repartizate sunt grupate pentru diferitele porțiuni ale circuitului electric al înfăşurării, aşa cum se arată în figurile 10.7, 10.8 și 10.9.

Elementul înfăşurării	Capul de bobine	Conductoare active	Capul de bobine	Conductoare de legătură la inelele de contact	Inelele de contact	Arbore	Piese asamblăriene	Borne	Carcosu inele
Partea mașinii fără decore se izolează electric înfăşurarea	Suport cap bobine, ax ventila tor, bornăj	Pachet de tale (alte straturi ale înfăşurării*)	Suport cap bobine, ax ventila tor, bornăj						
Elementul schemei de izolație (denumire)	Izolația la capul de bobine	Izolația la creștătură	Izolația la capul de bobine	Izolația conductoarelor de legătură la inelele de contact	Izolația inelelor de contact				

(\*) Se referă la înfăşurările în două sau mai multe straturi

Fig. 10.9. Elementele schemei de izolație a înfăşurărilor repartizate, de curent alternativ, din rotorul mașinilor electrice de curent alternativ.

Astfel, la înfăşurările tip inducție de curent continuu (fig. 10.7) se deosebesc :

- izolația în creștătură ;
- izolația la capul de bobine ;
- izolația legăturilor la colector ;
- izolația colectorului ;
- izolația periielor ;
- izolația conductoarelor de legătură la borne ;
- izolația bornelor.

La înfăşurările de curent alternativ, din statorul mașinilor electrice de curent alternativ (fig. 10.8) se disting :

- izolația în creștătură ;
- izolația la capul de bobine ;

- izolația conductoarelor de legătură la borne ;
- izolația bornelor.

La înfășurările de curent alternativ din rotorul mașinilor electrice de curent alternativ (fig. 10.9) se deosebesc :

- izolația în crestătură,
- izolația la capul de bobină,
- izolația conductoarelor de legătură la inelele de contact,
- izolația inelelor de contact,
- izolația periilor,
- izolația conductoarelor de legătură la borne ;
- izolația bornelor.

Elementele componente ale schemelor de izolație din figurile 10.7, 10.8 și 10.9, se realizează diferit, după construcția elementelor de circuit ale înfășurării pe care le izolează. În capitolul 8 au fost indicate și izolațiile elementelor de legătură respective. Izolația în crestătură depinde în primul rînd de modul în care este dispusă înfășurarea în crestătură, iar izolația la capul de bobină de forma capului de bobină și de dispunerea capetelor de bobină. Aceste elemente constructive sunt determinate pentru fiecare din soluțiile care se adoptă la fiecare din variantele indicate la pct. 10.1.

### **10.3.2. Elementele componente ale izolației în crestătură și izolația la capul de bobină**

Izolația în crestătură este cea mai importantă parte a schemei de izolație a înfășurării, de calitatea ei depinzând în cea mai mare măsură calitatea izolației mașinii.

Elementele ce compun izolația în crestătură, aşa cum rezultă din exemplele date în figurile 10.10, 10.11, 10.16 și 10.17, se stabilesc în funcție de tipul conductorului, tensiunea nominală a înfășurării, clasa de izolație a înfășurării etc. și sint în general următoarele :

- izolația conductorului 1 ;
- izolația între spire 2 ;
- izolația laturii de bobină (izolația mânunchiului, teaca izolantă a mânunchiului) 3 ;
- izolația între straturi 4 ;
- izolația (teaca izolantă) a crestăturii 5 ;
- izolația la fundul crestăturii 6 ;
- izolația sub pană sau sub bandaj 7 ;
- pană izolantă pentru închiderea crestăturii 8.

În componența diferitelor izolații în crestătură în funcție de construcția acesteia, pot intra numai unele din elementele indicate mai sus.

În zona capului de bobină, în componența izolației intervin următoarele elemente :

- izolația conductorului ;
- izolația între spire ;
- izolația pe suprafața (teaca izolantă) mănușchiului ;
- izolația între straturi (etaje) ;
- izolația între faze (la înfășurări de curent alternativ cu conductor rotund) ;
- izolația suportului capului de bobină ;
- izolația față de dispozitivul de consolidare (bandaj la rotoare, inele de consolidare la statoare) ;
- izolația legăturilor ;

#### 10.3.3. Izolația înfășurărilor tip indus de curent continuu

*Dispunerea în crestătură ; izolația în crestătură*

Înfășurările tip indus de curent continuu se realizează fie cu conductor rotund subțire (pentru puteri mici și mijlocii), fie cu conductor dreptunghiular (pentru puteri mijlocii și mari sau pentru tensiuni foarte joase).

Înfășurările cu conductor rotund (sîrmă) se execută de regulă cu bobine moi, crestăturile fiind semiînchise (fig. 10.10, a, b și d) și mai rar cu bobine semitari, în care caz crestătura este deschisă (fig. 10.10, c), sau semideschisă cînd pe fiecare din straturi sînt cel puțin două laturi de bobină.

Înfășurările cu conductor dreptunghiular (bară) se realizează cu bobine semitari (semirigide) sau tari (rigide) în ambele cazuri crestătura fiind deschisă (fig. 10.11, a). Cînd la utilizarea bobinelor semitari pe fiecare strat sînt cîte două laturi de bobine, crestătura poate fi semideschisă (fig. 10.11, b), iar dacă numărul lor depășește 2 pe fiecare strat, crestătura poate fi semiînchisă (fig. 10.11, c și d).

Elementele care compun izolația în crestătură la înfășurările tip indus de curent continuu, reprezentate în fig. 10.10 și 10.11, sunt în general următoarele : izolația conductorului 1, izolația între conductoarele de bobinaj sau între spire 2, izolația laturii de bobină

(teaca izolantă a mănușchiului) 3, izolația între straturi 4, izolația față de peretele crestăturii, denumită și izolația crestăturii sau teaca izolantă a crestăturii 5, izolația la fundul crestăturii 6 și izolația sub pana de închidere a crestăturii sau sub bandaj 7. În mod curent, în lista materialelor izolante este inclusă și pana izolantă de închidere a crestăturii 8.

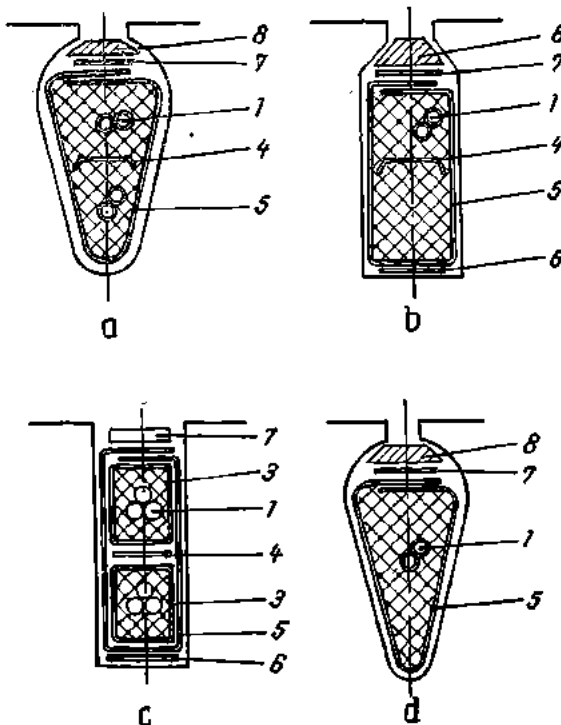


Fig. 10.10. Dispunerea în crestătură a înfășurărilor tip induș de curent continuu cu conductor rotund, cu înfășurare în două straturi (a, b, c) sau cu înfășurare într-un strat (d);

a — crestătură semilinchisă avind formă de pară; b — crestătură semilinchisă cu pereți paraleli; c — crestătură deschisă cu pereți paraleli; d — crestătură semilinchisă avind formă de pară.

La realizarea elementelor izolației în crestătură exceptând izolația proprie conductorului de bobinaj (email sau textilă) și materialele folosite pentru impregnare (lacuri, rășini, compunduri), se folosesc materiale electroizolante sub formă de foi sau benzi. Determinante

pentru stabilirea elementelor izolației în crestătură sunt tensiunea nominală a înfășurării și modul în care se realizează înfășurarea. În tabela 10.1 se dău sub formă de recomandare grosimile de izolație față de peretele crestăturii pentru diferite tensiuni de serviciu nominale la înfășurări de tip inducție de curenț continuu.

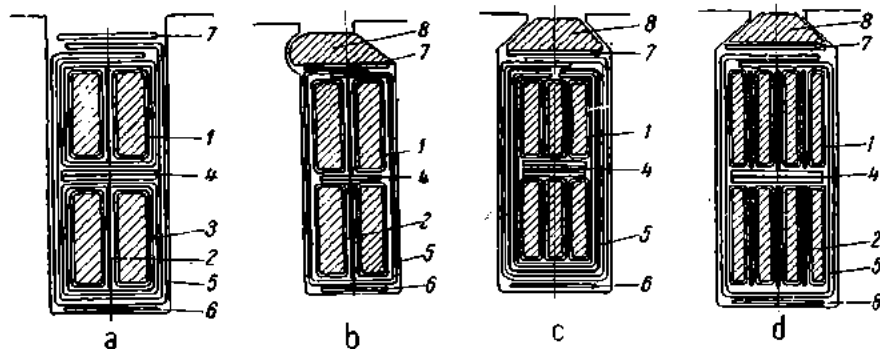


Fig. 10.11. Tipuri de crestături folosite în construcția înfășurărilor tip inducție de curenț continuu :

a — crestătură deschisă; b — crestătură semideschisă; c, d — crestături semiinchise;

Tabela 10.1

**Grosimi de izolație (mm) recomandate pentru înfășurări tip inducție de curenț continuu**

Infășurarea	Numărul de laturi de bobină în crestătură ( $2 \times n$ )	Grosimea izolației (mm) la tensiunea V:					
		100—500		501—800		801—1200	
		Pe înălțime	Pe lățime	Pe înălțime	Pe lățime	Pe înălțime	Pe lățime
Din conductor rotund sau dreptunghiular, cu $w > 1$	oarecare	3,5	1,8	4,5	2,0	5,5	2,2
Cu bare ( $w=1$ )	Cu bandaje de consolidare	2×1 2×2 2×3 2×4 2×5	4 4 4 4 4	1,8 2,6 3,0 3,5 4,1	5 5 5 5 5	2,2 3,0 3,4 3,9 4,5	6 6 6 6 6
	Cu pană de închidere a crestăturii (de grosime $k$ mm)	2×1 2×2 2×3 2×4 2×5	$k+5$ $k+5$ $k+5$ $k+5$ $k+5$	1,8 2,6 3,0 3,5 4,1	$k+6$ $k+6$ $k+6$ $k+6$ $k+6$	2,2 3,0 3,4 3,9 4,5	$k+7$ $k+7$ $k+7$ $k+7$ $k+7$
							2,4 3,2 3,6 4,1 4,7
							2,4 3,2 3,6 4,1 4,7
							2,4 3,2 3,6 4,1 4,7
							2,4 3,2 3,6 4,1 4,7
							2,4 3,2 3,6 4,1 4,7
							2,4 3,2 3,6 4,1 4,7

În anexa II sînt date pentru exemplificare unele soluții folosite pentru realizarea de izolații în crestătură la înfășurări tip induș de curent continuu în clase de izolație diferite (A, E, B, F) cu indicaarea materialelor și a dimensiunilor (grosimea) acestora.

### *Capetele de bobină ; izolația la capetele de bobină*

Forma constructivă a capetelor de bobină și modul în care sunt dispuse legăturile la colector la înfășurările tip induș de curent continuu este diferită în funcție de tipul conductorului (rotund sau dreptunghiular).

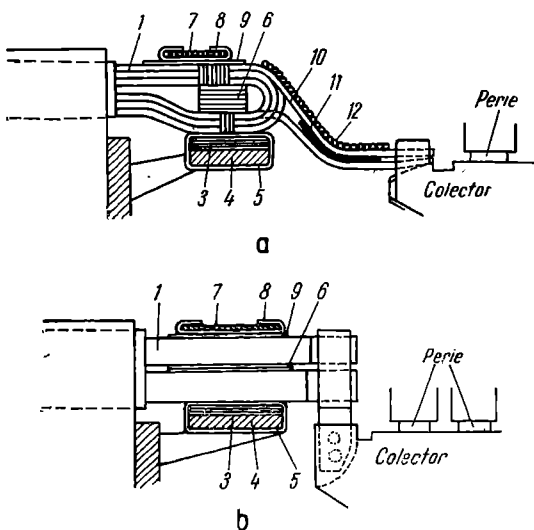


Fig. 10.12. Forma constructivă a capului de bobină și legăturile la colector la înfășurările tip induș de curent continuu :

a — realizate cu conductor rotund; b — realizate cu conductor dreptunghiular; 1 — conductorul izolat; 2 — izolația sub capul de bobină; 3 — suport cap de bobină; 5 — izolația suportului capului de bobină; 6 — izolația în capul de bobină; 7 — bandaj de consolidare a capului de bobină; 8 — cleme de fixare a bandajului; 9 — izolația sub bandaj; 10 — legăturile la colector; 11 — izolația între legăturile la colector; 12 — bandaj izolant.

la colector, care sunt consolidate cu un bandaj izolant. În unele cazuri, în zona capetelor de bobină pe suprafața mănușchiului este aplicată o izolație continuă 2 (fig. 10.13, a) la bobinele cu conductor rotund, iar la bobinele cu conductor dreptunghiular avînd  $w > 1$ , o izolație parțială 2 așa cum este reprezentat în fig. 10.13, b.

În construcția înfășurărilor cu conductor de secțiune dreptunghiulară consolidarea și totodată și izolarea legăturilor la colector se realizează uneori prin aplicarea unei benzi textile (de bumbac sau din fire de sticlă) 2', așa cum este reprezentat în fig. 10.14.

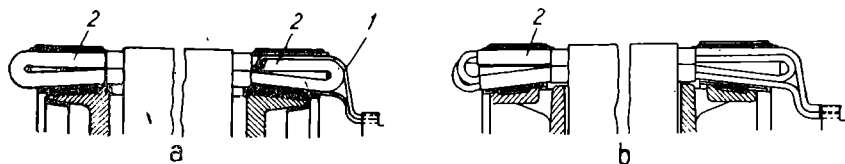


Fig. 10.13. Izolarea mănuunchiului în zona capului de bobină la înfășurările tip indus de curent continuu :

a — realizate cu conductor rotund; b — realizate cu conductor dreptunghiular (bară); 1 — conductorul izolaț; 2 — izolație la suprafața mănuunchiului.

La realizarea izolației la capul de bobină se folosesc materiale în general sub formă de benzi, materiale corespunzătoare clasei de izolație și regimului de funcționare al mașinii.

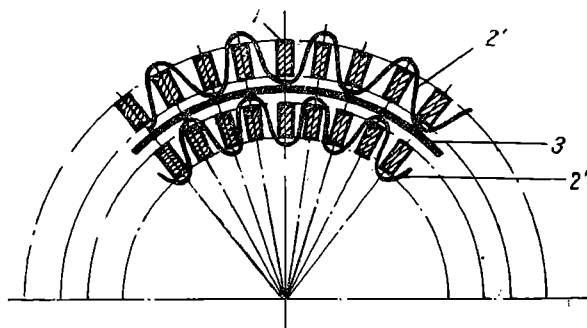


Fig. 10.14. Consolidarea legăturilor la colector cu bandă textilă :

1 — conductor de legătură la colector; 2' — bandă textilă pentru consolidare; 3 — izolația între legături.

În anexa II sînt date pentru exemplificare unele soluții folosite la realizarea izolației la capetele de bobină pentru clase de izolații diferite (A, B, F), la înfășurările tip indus de curent continuu.

## *Conexiunile echipotențiale ; izolația acestora*

În zona capului de bobină la înfășurările tip inducție de curent continuu sunt plasate și legăturile echipotențiale în cazul cînd mașina trebuie să fie prevăzută cu astfel de legături.

Din punct de vedere constructiv, conexiunile echipotențiale se pot grupa în trei tipuri, aşa cum este reprezentat în fig. 10.15, și anume :

- conexiuni circulare (conexiuni la inele) (fig. 10.15, a) ;
- conexiuni frontale (fig. 10.15, b, c și d) ;
- conexiuni de trecere (fig. 10.15, e).

Izolația legăturilor echipotențiale în toate cazurile constă din izolația conductoarelor ce compun această porțiune din înfășurare, izola-

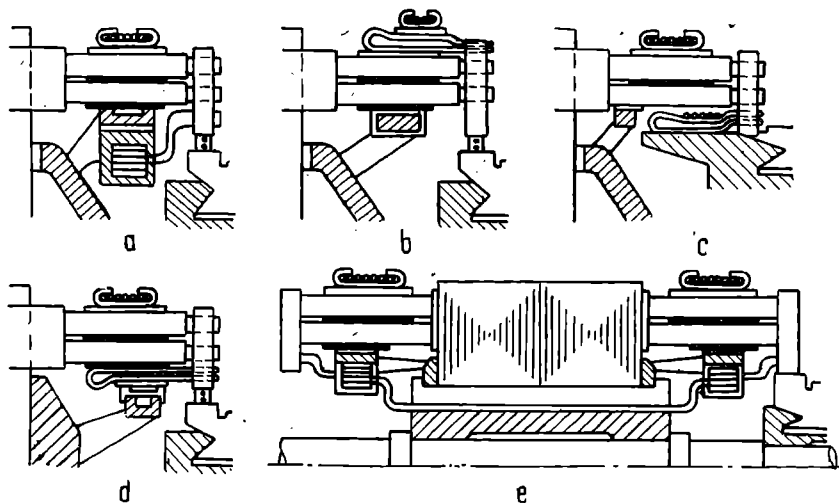


Fig. 10.15. Forme constructive de legături echipotențiale și izolarea acestora :  
a — legături echipotențiale de formă circulară; b, c, d — legături echipotențiale frontale; e — legături echipotențiale de trecere (de speță a două și a treia).

lația între conductoarele legăturilor echipotențiale, izolația față de suportul bobinelor și izolația față de sistemul de consolidare (bandaj de consolidare în cazul conexiunilor frontale etc.). Ca materiale electroizolante se folosesc aceleași materiale ca și pentru restul înfășu-

rării; pentru a se realiza aceeași clasă de izolație precum și pentru a corespunde la solicitările de natură electrică corespunzătoare tensiunii nominale a înfășurării tip indus de curent continuu respective.

#### 10.3.4. Izolația înfășurărilor de curent alternativ de joasă tensiune

*Dispunerea în crestătură ;  
izolația în crestătură*

Înfășurările de curent alternativ de joasă tensiune se realizează fie cu conductor rotund, fie cu conductor dreptunghiular. În cazul utilizării de conductoare rotunde, la mașinile de puteri mici, înfășurările se realizează fie într-un strat, fie în două straturi, cu bobine egale, cu grupe de bobine concentrice sau cu grupe de bobine egale, în tipurile examineate în capitolul 5. De regulă se folosesc bobinele moi în crestături semiînchise. În unele cazuri se folosesc și crestături închise : crestăturile semideschise și cele deschise se folosesc rar pentru înfășurările de curent alternativ cu conductor rotund. În fig 10.16 sunt reprezentate crestături semiînchise de forme diferite, utilizate la înfășurările de curent alternativ de joasă tensiune cu conductor rotund.

În cazul utilizării conductoarelor de secțiune dreptunghiulară, se folosesc de regulă crestături fie semideschise, fie deschise, aşa cum este reprezentat în fig. 10.17. În cazul realizării înfășurărilor cu un număr redus de spire realizate din semispire (bare), în special la ratoarele motoarelor asincrone cu inele de contact, crestăturile pot fi semiînchise, aşa cum se arată în fig. 10.17, e, f sau închise aşa cum se arată în fig. 10.17 g.

Elementele ce compun izolația în crestătură la înfășurările de curent alternativ de joasă tensiune, pot fi în general următoarele : izolația 1 a conductorului de bobinaj, izolația 2 între conductoare sau laturile de bobină, izolația 3 a mânunchiului de conductoare ce formează o latură de bobină, izolația 4 între straturi, țeaca izolantă 5 a crestăturii (în cazul în care teaca izolantă este formată din mai multe materiale distințe, acestea sunt notate ca în fig. 10.17, a și b), izolația 6 la fundul creștăturii, izolația 7 sub pana 8 de închiderea creștăturii.

Intrucit la bobinarea mașinilor, teaca izolantă a crestăturii este puternic solicitată în zona de la ieșirea din crestătură, capetele de bobină, în special la conductoarele dreptunghiulare, tinzind să îndoiească teaca simultan în două direcții opuse așa cum este reprezentat

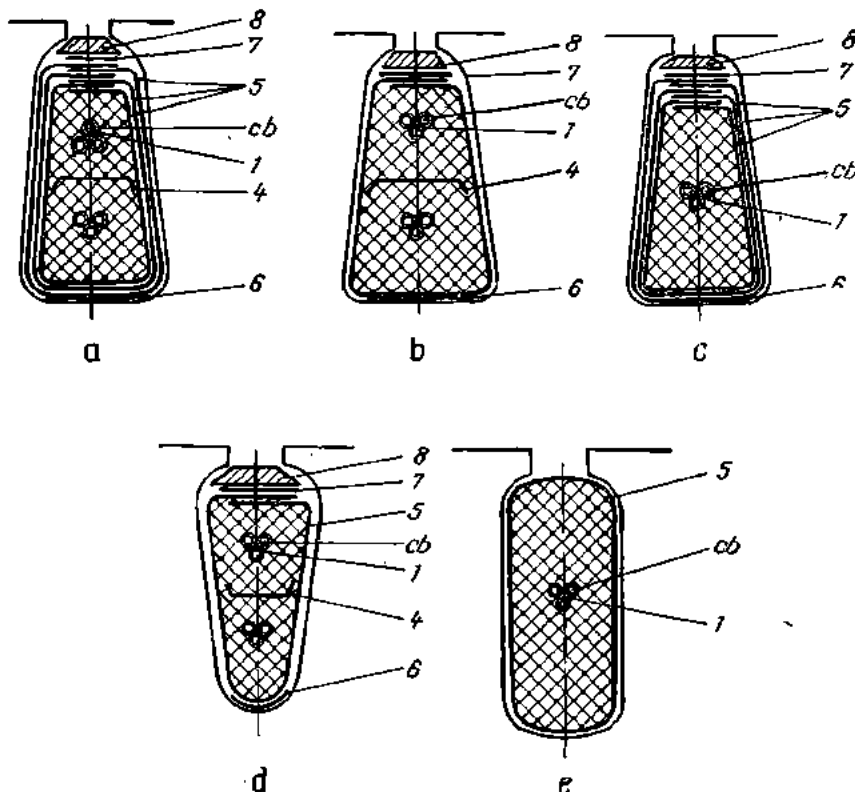


Fig. 10.16. Dispunerea în crestături a înfășurărilor de curenț alternativ de joasă tensiune, cu conductor rotund:

a, b — crestătură tip pară, statorică, cu înfășurări dispuse în două straturi; c — crestătură tip pară, statorică cu înfășurarea dispusă într-un strat; d — crestătură tip pară, rotorică, cu înfășurarea dispusă în două straturi; e — crestătură semilinchisă cu pereti paraleli pentru înfășurare dispusă într-un strat, cu teacă izolantă continuă.

În fig. 10.18, se iau măsuri de întărire a tecilor izolante în această porțiune. În fig. 10.19 sunt reprezentate trei moduri de consolidare a tecii izolante în această zonă.

La realizarea izolației în crestătură se folosesc de obicei materiale sub formă de foi sau folii (de ex. 3, 4, 5, 6, 7, conf. fig. 10.17),

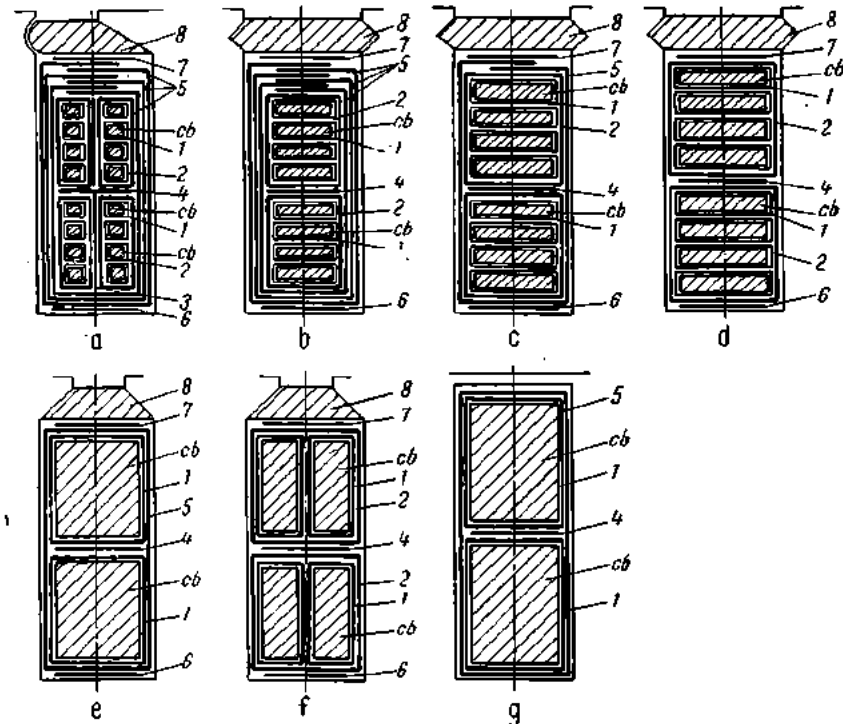
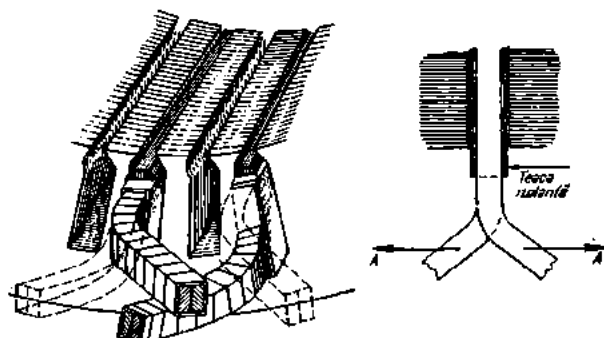


Fig. 10.17. Dispunerea în crestătură a înfășurărilor de curenț alternativ de joasă tensiune, cu conductor dreptunghiular :

a — crestătură semideschisă cu pereti paraleli, cu înfășurarea dispusă în două straturi; b, c, d — crestături deschise, cu înfășurări dispuse în două straturi; e, f — crestături semiînchise, cu pereti paraleli, cu înfășurări dispuse în două straturi; g — crestătură închisă cu înfășurarea dispusă în două straturi și cu teaca izolantă continuă.

Fig. 10.18. Modul în care izolația crestături (teaca izolantă) este solicitată la ieșirea din crestături.



benzi izolante sau izolații flexibile (de ex. 2 conf. fig. 10.17), rășini și lacuri electroizolante pentru impregnare. În anexa III sunt date spre exemplificare unele soluții pentru realizarea de izolații în cres-

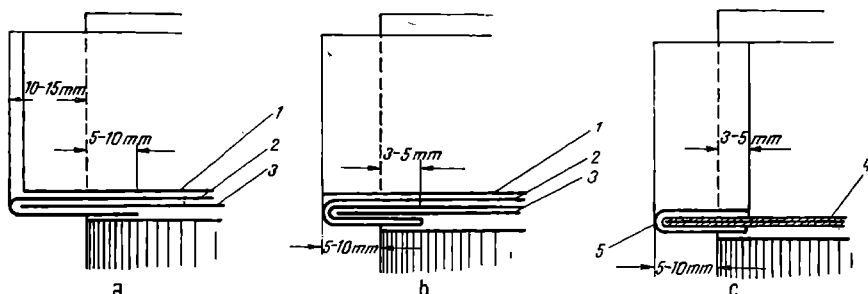


Fig. 10.19. Întărirea izolației crestăturii la ieșirea din crestătură :  
a — întărire prin simpla indoire a pinzei uleiătă; b — întărire prin dubla indoire a pinzei uleiătă; c — întărire în cazul utilizării izolației combinate, prin bandă izolantă cu autoîncleiere; 1, 3 — preșpan; 2 — pinză uleiătă; 4 — izolație combinată în două sau trei straturi; 5 — bandă izolantă cu autoîncleiere.

tătură la joasă tensiune în clase de izolație diferite (A, E, B, F) cu indicarea materialelor utilizate și a dimensiunilor (grosimea) acestora.

#### *Capetele de bobină ; izolația la capetele de bobină*

Formele constructive ale capetelor de bobină la înfășurările de curent alternativ de joasă tensiune sunt variate și depind de tipul conductorului (rotund sau dreptunghiular), de tipul bobinelor, de caracteristicile înfășurării (numărul de poli, numărul de crestături pe pol și fază etc.), de caracteristicile constructive ale înfășurării și ale mașinii etc.

Corespunzător acestor diferite forme constructive și sistemele de izolație ale capetelor de bobină sunt diferite la înfășurările de curent alternativ de joasă tensiune. La realizarea înfășurărilor de joasă tensiune, în special în cazul utilizării de conductoare rotunde, numai în unele cazuri se utilizează izolarea continuă pe suprafața bobinei, ca de exemplu în cazul utilizării de bobine semitari și la dispunerea capetelor de bobină în două sau în trei etaje. La utilizarea conductoarelor dreptunghiulare izolarea suprafeței bobinei este mai frecventă. Deosebit de importantă este izolația între capetele de bobină aparținând la faze diferite, în special la înfășurările cu conductor rotund (și cu multe spire). Ca materiale pentru izolația la capetele de

bobină se folosesc benzi și materiale sub formă de foi sau folii, în anexele IV și V fiind date pentru exemplificare unle soluții pentru realizarea de izolații în clase de izolație A, E, B, F și H. La alegerea materialelor, (indicate în STAS 1893-65) trebuie avute în vedere solicitările termice ce au loc în funcționarea mașinii pentru a nu se realizeze prin alegerea nepotrivită a unor materiale, soluții neeconomice și costisitoare.

#### 10.3.5. Izolația infășurărilor de curent alternativ de înaltă tensiune

##### *Solicitări specifice în funcționarea infășurărilor de curent alternativ de înaltă tensiune*

Mașinile electrice de curent alternativ ce funcționează la înaltă tensiune (generatoare și motoare sincrone, compensatoare sincrone, motoare asincrone) sunt în general mașini de puteri mari. Datorită mărimii tensiunii nominale, a curentului prin infășurare și a regulului de lucru la aceste mașini, izolația infășurărilor de curent alternativ care le echipează este supusă în timpul funcționării la solicitări specifice de natură electrică, termică și mecanică deosebite de acelea întâlnite la infășurările de joasă tensiune.

În legătură cu solicitările de natură electrică, mărimea acestora este determinată de disponerea conductoarelor, de dimensiunile și forma constructivă alese, de tipul materialelor izolante folosite și de modul de realizare a izolației. Nu trebuie neglijat faptul că deosebit de importantă pentru evitarea apariției de solicitări electrice locale este uniformitatea caracteristicilor izolației de-a lungul bobinei sau porțiunilor de bobină din crestătură și din zona capului de bobină. Cum izolația infășurărilor de înaltă tensiune se realizează din materiale stratificate, la confectionarea ei trebuie dată o atenție deosebită pentru evitarea apariției de incluziuni (interstiții) de aer în izolație. Acestea prilejuiesc o distribuție neuniformă a cîmpului electric care duce la solicitări electrice locale intense următe de apariția de descărcări electrice și chiar de străpungeri ale izolației. În porțiunea din crestătură ca și în zona capului de bobină, efecte similare se produc de-a lungul muchiilor conductorului de bobinaj, o mare importanță avînd modul de realizare a colțurilor izolației, aşa cum se indică în fig. 10.20. Rezultă că solicitările electrice de-a lungul muchiilor conductorului izolat se reduc la minimum dacă izolația conductorului

are aceeași rotunjire a muchiei ca și conductorul. În zona capului de bobină, în porțiunea de trecere de la crestături la capul de bobină trebuie dată atenția cuvenită mai ales atunci cînd se folosesc în aceste părți materiale izolante diferite sau așezate diferit.

Solicitările termice sînt consecința transmisiei necorespunzătoare prin izolație a căldurii produse în conductoare și se datorează fie

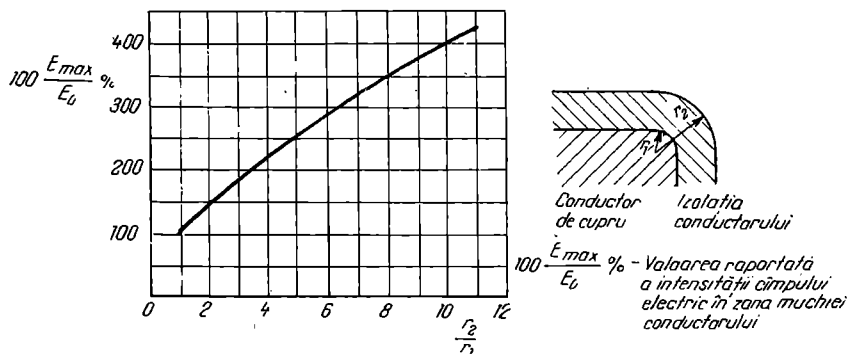


Fig. 10.20. Cresterea solicitării datorită cîmpului electric în zona muchiei conductorului, în funcție de racordarea în această zonă a conductorului și izolației acestuia (după H. Meyer) ;

$100 \frac{E_{max}}{E_0} \%$  reprezintă valoarea raportată a intensității cîmpului electric în zona muchiei conductorului.

alegerii necorespunzătoare a materialelor ce compun izolația, fie calității necorespunzătoare a execuției. Astfel, transmisia de căldură de la conductor la aer la o izolație realizată cu mică (50%), fire de sticlă (15%) și râșini sintetice (35%) este mai bună cu 50% decît aceea a izolației realizată cu mică (25%), șerlac (37,5%) și hîrtie (37,5%). Prezența pungilor de aer în izolație înrăutătește transmisia de căldură și duce la încălziri locale mari. Astfel, din literatură rezultă că prin reducerea cu 1% a acestor interstiții, transmisia de căldură la sistemul de izolație cu mică-șerlac și hîrtie în grosime totală de 3 mm poate fi îmbunătățită cu 15%. Intensitatea solicitărilor termice devine și mai importantă în timpul producerii unor suprasarcini sau a unor curenți excesivi în funcționarea mașinii.

Solicitările mecanice, atât cele cu caracter permanent, cât și cele ce iau naștere în mod accidental în funcționarea mașinilor trebuie avute în vedere la alegerea sistemului de izolație și la modul de consolidare a înfășurării.

## Izolația mixtă și izolația continuă

La realizarea izolației înfășurărilor de curenț alternativ de înaltă tensiune se pot folosi aceleasi materiale electroizolante de-a lungul conturului întreg al bobinei dispuse în același mod sau se pot folosi materiale electroizolante diferite în porțiunea din crestătură față de porțiunea din zona capului de bobină, iar uneori chiar în cazul utilizării acelorași materiale, în cele două zone ale înfășurării dispunerea acestor materiale poate fi făcută diferit. De aceea se deosebesc din acest punct de vedere două moduri de realizare a izolației înfășurărilor de înaltă tensiune și anume : izolația continuă (uniformă) și izolația discontinuă (mixtă). Primul sistem se folosește la bobinele tari, al doilea atât la bobinele tari cât și mai ales la bobinele semi-tari, la care în timpul operațiilor de bobinare a miezului capul de bobină este supus operațiilor de formare.

Din fig. 10.21 reies diferențele constructive între izolația continuă și izolația mixtă.

La dimensionarea izolației pentru a corespunde solicitărilor de natură electrică datele mărimii tensiunii nominale se poate proceda la adoptarea unei izolații uniforme denumită și izolație plină (aceeași pentru toate spirele înfășurării) sau a unei izolații gradate (în trepte) care ține seama de solicitarea permanentă diferită a izolației diferențelor spire în funcționarea înfășurării, datorită dispunerii diferite a spirelor de-a lungul înfășurării și în crestătură.

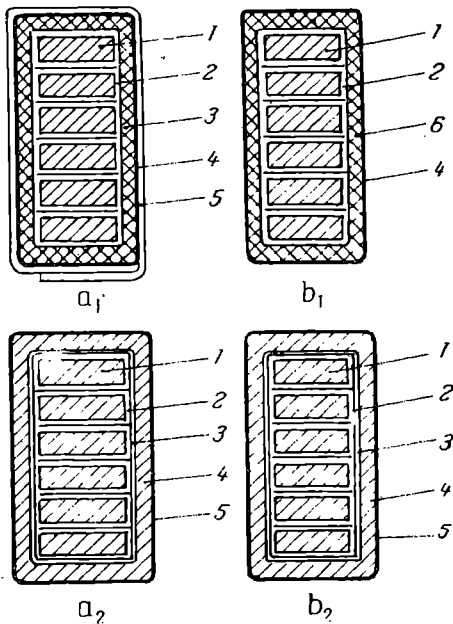


Fig. 10.21. Realizarea izolației mixte și a izolației continue la înfășurările de curenț alternativ de înaltă tensiune :

*Izolație mixtă:* a<sub>1</sub> — în crestătură; b<sub>1</sub> — la capul de bobină; 1 — conductor; 2 — izolația conductorului; 3 — teacă izolantă continuă; 4 — strat de protecție din bandă de bumbac; 5 — teaca izolantă a crestăturii (carton electrotehnic); 6 — strat de bandă din țesătură impregnată și lăcuită.

*Izolație continuă:* a<sub>2</sub>, b<sub>2</sub> — în crestătură și la capul de bobină (identice); 1 — conductor; 2 — izolația conductorului; 3 — strat de consolidare a mânunchiului (bandă țesătură din fir de sticlă); 4 — teacă izolantă continuă; 5 — strat de protecție din bandă de bumbac.

La înfășurările ce funcționează la tensiuni nominale pînă la 10 000 V se folosește de obicei izolația plină în timp ce pentru tensiuni de serviciu mai ridicate este mai indicată izolația în trepte deși în aceste cazuri poate fi utilizată izolația plină, însă cu dezavantajele supradimensionării locale a acesteia.

### *Dispunerea în crestătură ; izolația în crestătură*

La dispunerea în crestătură a înfășurărilor de curent alternativ de înaltă tensiune trebuie avut în vedere, în funcție de numărul și secțiunea conductorilor : tipul izolației (plină sau în trepte), izolația conductorilor și natura materialelor electroizolante ce urmează a fi folosite pentru realizarea izolației în crestătură.

În ceea ce privește izolația conductorului, la stabilirea acestuia se va ține seama de tensiunea care apare între două conductori vecini, care depinde la rîndul ei de modul în care se face înscrierea conductorilor în înfășurare. În fig. 10.22 sunt reprezentate cele patru moduri posibile de parcurgere a conductorilor înfășurării într-o crestătură.

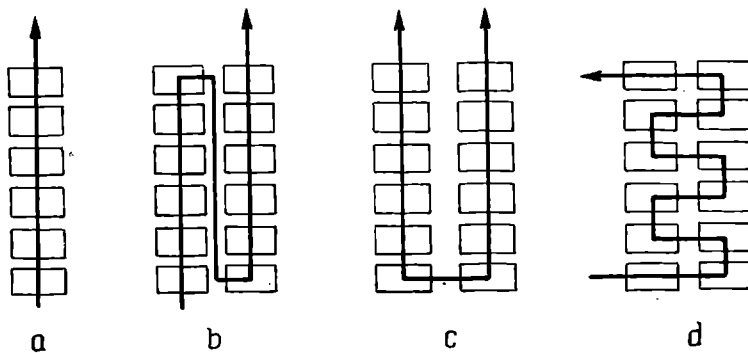


Fig. 10.22. Moduri de inseriere a spirelor, respectiv a conductorilor, în crestăturile mașinilor de înaltă tensiune, de curent alternativ :  
 a — înfășurare longitudinală; b, c — înfășurare longitudinală în mai multe secțiuni;  
 d — înfășurare transversală.

Referitor la tensiunea ce se poate produce între două conductori vecini, trebuie reținut faptul că la înfășurările de înaltă tensiune nu tensiunea pe spiră (10 ... 150 V) este determinată, ci supratensiunile ce se pot transmite din rețea în înfășurare conduc la diferențe de potențial electric mari între două conductori, aşa cum este cazul la dispunerea longitudinală în mai multe secțiuni (b în fig.).

10.22) sau la dispunerea transversală (c în fig. 10.22) a conductoarelor în crestătură. În cazul înfăşurărilor de înaltă tensiune prevăzute cu circulația fluidului de răcire prin conductor, izolația conductoarelor și izolația între conductoarele legate în paralel se stabilește conform cu forma constructivă a conductorului, așa cum este reprezentat în figura 10.23.

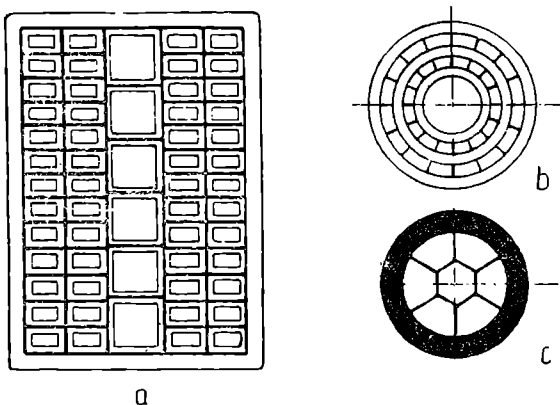


Fig. 10.23. Sisteme de izolație la utilizarea de conductoare cu circulație interioară a mediului de răcire :

a — la o înfășurare pentru tensiuni pînă la 25 kV (după H. Meyer); b — la o înfășurare de 33 kV (după Parsons și Rosen); c — la o înfășurare de 36 kV (sistem BBC).

Dispunerea în crestătură a conductoarelor și a elementelor izolației la înfășurările cu izolație plină, pentru tensiuni pînă la 10 000 V, este reprezentată în figura 10.24. Pentru tensiuni mai mari de 10 000 V în fig. 10.25, a, b sunt reprezentate exemple de izolație realizată în trepte, iar în figura 10.25, c, este dat un exemplu de izolație plină pentru 110 000 V.

Elementele ce compun izolația în crestătură sunt evidențiate în fig. 10.24 și anume : izolația conductorului de bobinaj 1, izolația între conductoare 2, izolația mânunchiului (teaca izolantă) 3, izolația între straturi 4, teaca izolantă a crestăturii 5, izolația la fundul crestătrii 6, izolația sub pană 7, pana de închidere a crestăturii 8.

Materialele electroizolante ce se folosesc în mod curent pentru realizarea izolației în crestăturile înfășurărilor de 3 000 și 6 000 V sunt indicate în tabela 10.2.

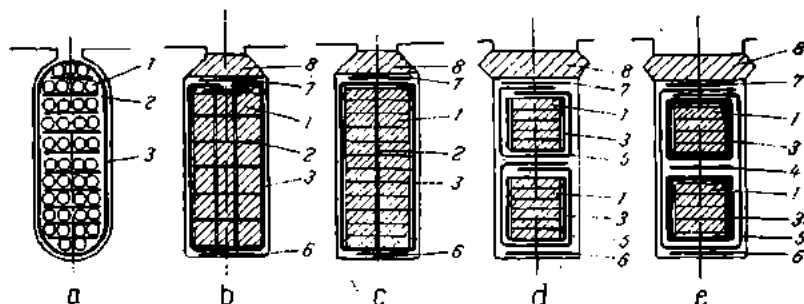


Fig. 10.24. Dispunerea în crestătură a înfășurărilor de curent alternativ de înaltă tensiune (sub 10 000 V), izolație plină:  
 1 — conductor izolat; 2 — izolație între conductoare; 3 — teacă izolantă a mănonchiului;  
 4 — izolație între straturi; 5 — teacă izolantă a crestăturii; 6 — izolație la fundul crestăturii; 7 — izolație sub pană; 8 — pană de închidere a crestăturii.

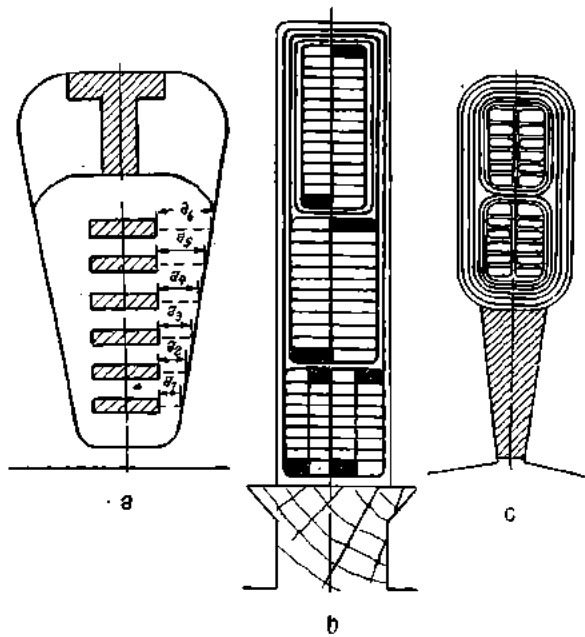


Fig. 10.25. Dispunerea în crestătură a conductoarelor și izolației, la înfășurări de înaltă tensiune:  
 a — înfășurare de 35 kV cu izolație în trepte (crestătură închisă); b — înfășurare de 31,5 kV cu izolație în trepte (crestătură deschisă); c — înfășurare de 110 kV cu izolație uniformă (crestătură semiînchisă).

**Materiale electroizolante utilizate în construcția izolației la înfășurările de curenț alternativ pentru tensiuni de 3 000 și 6 000 V**

Denumirea izolației	Material electroizolant		Grosimea totală a izolației (mm) în crestătură					
	Denumirea	Gro- simea (mm)	pe lățime		pe înălțime			
			la tensiunea nominală (V)					
			3 000	6 000	3 000	6 000		
Izolația conducto- rului	Fire de sticlă	v. cap. 2						
Izolația între con- ductoare (spire)	Țesătură de sticlă im- pregnată cu rășini sin- tetice mi- cafoliu	0,2 0,2					În funcție de disponerea conductoarelor (spirelor) în crestătură	
Izolația mănu- chiului	Micafoliu + + țesătură	0,13 0,25	2,6 0,5		4,68 0,5		2,6 × 2 0,5 × 2	4,68 × 2 0,5 × 2
Izolația între stra- turi	Carton elec- trotehnic impregnat	0,8	—		—		0,8	0,8
Teaca izolantă a crestăturii	idem	0,5	0,5 × 2		0,5 × 2		0,5 × 3	0,5 × 3
Izolația la fundul crestăturii	idem	0,3	—		—		0,3	0,3
Izolația sub pană	idem	0,5	—		—		0,5	0,5

Pentru tensiuni mai mari ca 6 000 V se folosesc în general materiale pe bază de mică foișă, cu suport din țesătură din fire de sticlă și cu rășini sintetice, cu o structură cît mai compactă și mai uniformă în diferitele porțiuni ale izolației.

La stabilirea grosimii tecii izolante a mănuuchiului în crestătură se recomandă să se folosi indicațiile din tabela 10.3 pentru izolația mixtă și respectiv din tabela 10.4 pentru izolația continuă.

În ultimii ani, paralel cu metodele devenite clasice, pentru izolare înfășurărilor de înaltă tensiune, s-a extins realizarea izolației

Tabelă 10.3

**Dimensiunile tecii izolante la înfășurări de curenț alternativ de înaltă tensiune, în cazul izolației mixte**

Denumirea izolației	Tensiunea nominală a înfășurării V	Grosimea materialului mm	Grosimea bilaterală a izolației bobinei, mm							
			pe lățime		pe înălțime					
			pentru un număr de conductoare egal cu:							
			1	2	6	7	8	9	10	
Tuburi de micanită	3 150 6 300	0,15 0,25	2,5 4,5	2,5 4,5	2,5 4,5	2,5 4,5	2,5 4,5	2,5 4,5	2,5 4,5	2,5 4,5
Izolația spirelor	6 300	0,2	—	—	1,0	1,2	1,4	1,6	1,8	
Îngroșarea izolației conductorului prin impregnare	—	—	0,1	0,2	0,6	0,7	0,8	0,9	1,0	
Total pentru o bobină	3 150 6 300	— —	2,6 4,6	2,7 4,7	3,1 6,1	3,2 6,4	3,3 6,7	3,4 7,0	3,5 7,5	

Tabelă 10.4

**Dimensiunile tecii izolante la înfășurările de curenț alternativ de înaltă tensiune, în cazul izolației continue**

Denumirea izolației	Tensiunea nominală a înfășurării V	Grosimea materialului mm	Grosimea bilaterală a izolației bobinei, mm							
			pe lățime		pe înălțime					
			pentru un număr de conductoare egal cu:							
			1	2	6	7	8	9	10	
Izolația spirelor : carton electrotehnic, micanită	3 150 6 300	0,1 0,2	— —	— —	0,5 1,0	0,6 1,2	0,7 1,4	0,8 1,6	0,9 1,8	
Micabandă	3 150 6 300	0,13 0,13	3,5 5,4	3,5 5,4	3,5 5,4	3,5 5,4	3,5 5,4	3,5 5,4	3,5 5,4	3,5 5,4
Bandă de bumbac un strat (cap la cap)	—	0,2	0,4	0,4	0,4	0,4	0,4	0,4	0,4	0,4
Lăcuirea benzii	—	0,2	0,2	0,2	0,2	0,2	0,2	0,2	0,2	0,2
Îngroșarea izolației conductorului prin impregnare	—	—	0,1	0,2	0,6	0,8	0,8	0,9	1,0	
Total pentru o bobină	3 150 6 300	— —	4,2 6,1	4,3 6,2	5,2 7,6	5,4 7,9	5,6 8,2	5,8 8,5	6,0 8,8	

mănușchiului cu ajutorul micabenzilor pe suport din fire de sticlă cu liant format din rășini sintetice. S-au dezvoltat două tipuri de benzi : benzi cu conținut ridicat de rășină și benzi cu conținut redus de rășină. Primele se aplică de-a lungul conturului bobinei prin presare la cald ; conținutul de rășină din compoziția micabenzii este suficient pentru a ocupa toate interstițiile și să dea astfel o izolație cu structură uniformă, cu proprietăți electrice, mecanice și termice mult superioare sistemului clasic. În fig. 10.26 este reprezentată o secțiune printr-o latură de bobină realizată cu o astfel de izolație. La utilizarea celui de al doilea tip de micabandă trebuie adăugat conținutul de rășină necesar în final, după aplicarea benzii de-a lungul conturului bobinei, printr-o operăție suplimentară de impregnare. Utilizarea acestui din urmă tip de micabandă are ca avantaj major față de micabanda cu conținut mare de rășină faptul că poate fi păstrată în condiții bune un timp mult mai lung pînă a fi folosită.

La tensiuni nominale mai mari ca 22 000 V, pentru a se reduce posibilitatea apariției de solicitări electrice locale datorită eventualelor interstiții rămase între ansamblul bobinei și peretele creștării, se aplică pe suprafața tecii izolante o peliculă de lac cu grafit (strat conductor) și deasupra acestuia un strat semiconductor din azbest sau dintr-o peliculă de lac de acoperire.

### *Izolația la capul de bobină*

La realizarea izolației la capul de bobină se ține seama nu numai de tipul constructiv al izolației (mixtă sau continuă), ci și de solicitările electrice ce au loc în special în zona de trecere de la porțiunea din creștătură la capul de bobină.

În fig. 10.27 este reprezentată construcția izolației în zona capului de bobină și a cotului la utilizarea izolației mixte.

Dimensiunile izolației și dispunerea materialelor se va face conform cu recomandările din tabela 10.5. În ceea ce privește izolația în porțiunea de curbură (cotul bobinei), dimensiunile și numărul de

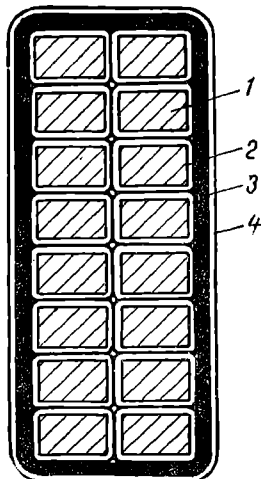


Fig. 10.26. Izolație cu micabandă și rășini sintetice și izolație cu micabandă cu serlac (după 15 ore la 120 °C) (după H. Meyer).

straturi se aleg conform cu recomandările din tabela 10.6 iar pentru capetele de legătură, a căror construcție este indicată în fig. 10.28, izolația se realizează conform cu recomandările date în tabela 10.7.

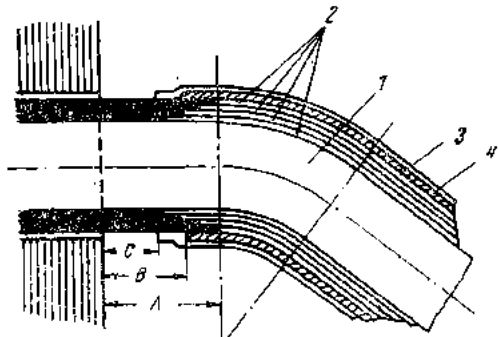


Fig. 10.27. Elementele constructive ale izolației mixte a curburii bobinei:

1 — bobină; 2 — teacă din micafoliu; 3 — bandă de țesătură lăcuită; 4 — bandă de bumbac.

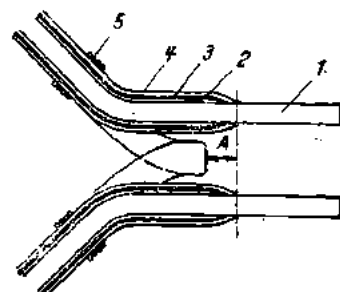


Fig. 10.28. Izolația mixtă a capeteelor de legătură:

1 — conductorul; 2 — bandă de mică; 3 — bandă de țesătură impregnată și lăcuită; 4 — bandă de bumbac; 5 — bandaj de siloxan.

Tabelă 10.5

**Dimensiunile izolației (mm) la capul de bobină la înfășurările de curenț alternativ de înaltă tensiune cu izolația mixtă**

Denumirea izolației	Tensiunea nominală a înfășurării V	Grosimea materialului mm	Grosimea bilaterală a izolației bobinelor, mm							
			pe lățime		pe înălțime					
			pentru un număr de conductoare egal cu:							
			1	2	6	7	8	9	10	
Bandă lăcuită jumătate suprapus	3 150 6 300	0,2×3 0,2×5	2,4 4,0	2,4 4,0	2,4 2,0	2,4 4,0	2,4 4,0	2,4 4,0	2,4 4,0	2,4 4,0
Bandă de bumbac	—	0,2×1	0,8	0,8	0,8	0,8	0,8	0,8	0,8	0,8
Izolare spirelor cu bandă de bumbac	6 300	0,15×1	0,3	0,4	0,9	1,2	1,2	1,5	1,5	
Toleranță pt. umflare	—	—	1,0	1,5	1,2	1,4	1,6	1,8	2,0	
Total pt. o bobină	3 150 6 300	— —	4,2 6,1	4,7 6,6	4,4 6,9	4,6 7,4	4,8 7,6	5,0 8,1	5,2 8,3	

Tabela 10.6

**Dimensiunile izolației la capul de bobină (mm) la înfășurări de curent alternativ de înaltă tensiune cu izolație mixtă (fig. 10.27)**

Tensiunea nominală a înfășurării V	Distanțe minime, mm			Numărul de straturi la utilizare de:		
	A	B	C	micabandă	pinză lăcuită	bandă de bumbac
3 150	35	15	10	3	1	1
6 300	60	25	15	5	1	1

Tabela 10.7

**Distanțe minime de izolare și numărul de straturi la capetele de legătură ale înfășurărilor de curent alternativ de înaltă tensiune, în sistemul izolației mixte (fig. 10.28)**

Tensiunea nominală a înfășurării V	Valoarea minimă a dimensiunii A mm	Numărul de straturi la utilizare de		
		micabandă	pinză lăcuită	bandă de bumbac
3 150	10	—	2	1
6 300	15	2	2	1

În cazul utilizării izolației continue, izolația pe suprafața mănușchiului capului de bobină fiind aceeași ca și în crestătură, se recomandă aplicarea indicațiilor date în tabela 10.4. Zona de curbură în acest caz se izolează așa cum este reprezentat în fig. 10.29, distanțele A și B alegindu-se conform recomandărilor din tabela 10.8. Izolare legăturilor se realizează de data aceasta conform reprezentării din fig. 10.30, distanțele și numărul de straturi alegindu-se conform recomandărilor din tabela 10.9.

Tabela 10.8

**Dimensiunile izolației (mm) curburii capului de bobină la înfășurări de curent alternativ de înaltă tensiune în sistemul izolației uniforme (fig. 10.29)**

Tensiunea nominală a înfășurării V	Distanțe minime mm	
	A	B
3 150	25	15
6 300	40	25

Tabela 10.9

**Distanțele minime de izolare (mm) și numărul de straturi ale izolației la capetele de legătură ale înfășurărilor de curent alternativ de înaltă tensiune în sistemul izolației uniforme (fig. 10.30)**

Tensiunea nominală a înfășurării V	Valoarea minimă a dimensiunii A mm	Numărul de straturi de micabandă
3 150	10	3
6 300	15	5

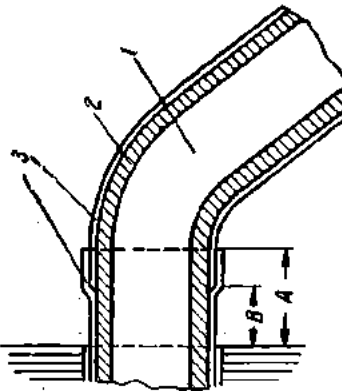


Fig. 10.29. Izolarea curburii bobinei  
in sistemul izolatii uniforme :  
1 — conductor de bobină; 2 — izolația din  
micăbandă; 3 — banda de bumbac.

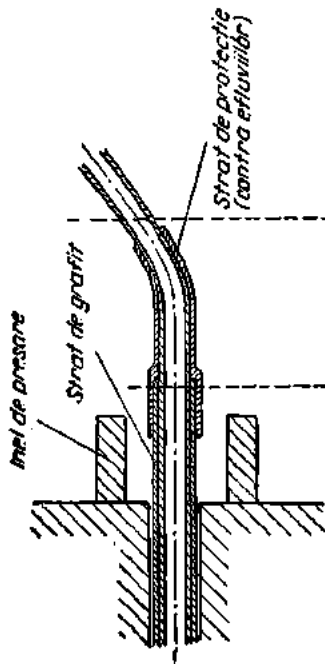


Fig. 10.30. Izolarea uniformă a ca-  
pătelor pentru legături :  
1 — conductor; 2 — micăbandă; 3 — banda  
de bumbac.

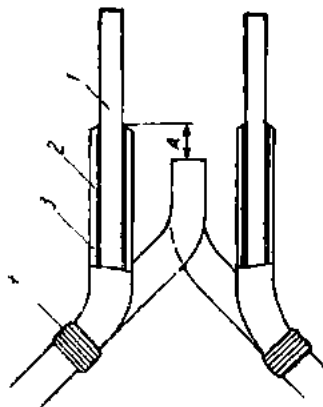


Fig. 10.31. Distribuția potențialului în zona de trecere de la  
portiunea din creșătură la capul de bobină, cu și fără strat  
de protecție contra efluviilor (după H. Meyer — Die Isolie-  
rung grösser elektrischer Maschinen).

Fig. 10.31. Distribuția potențialului în zona de trecere de la  
portiunea din creșătură la capul de bobină, cu și fără strat  
de protecție contra efluviilor (după H. Meyer — Die Isolie-  
rung grösser elektrischer Maschinen).

În cazul tensiunilor mai mari de 6 300 V, la realizarea izolării porțiunii cotului trebuie ținut seamă de solicitările electrice produse de variația bruscă a potențialului de-a lungul bobinei.

În fig. 10.31 este reprezentată distribuția potențialului în zona de trecere de la crestătura la capul de bobină în două variante de realizare a izolației, cu și fără strat suplimentar de protecție contra apariției de curenti de suprafață și respectiv efluxui (strat semiconductor de rezistență mare). Din această reprezentare rezultă că în lipsa stratului semiconductor apare o variație bruscă a potențialului electric, cu consecințe asupra comportării izolației. Pentru obținerea unei repartiții uniforme a potențialului electric, se recomandă aplicarea soluțiilor reprezentate în fig. 10.32, a și b.

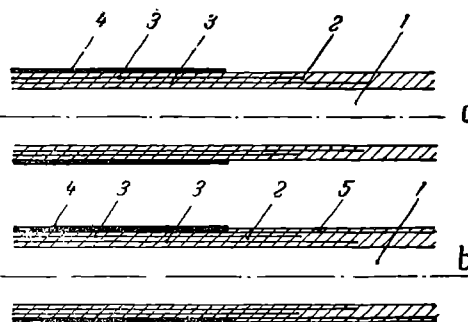


Fig. 10.32. Dispunerea izolației în zona de trecere crestătura-cap de bobină, pentru îmbunătățirea distribuției potențialului electric:  
1 — conductor; 2 — teacă izolantă; 3 — strat rezistiv semiconductor; 4 — strat conductor cu grafit; 5 — strat rezistiv exterior (după H. Meyer).

#### 10.4. DIMENSIUNILE ÎNFĂȘURĂRILOR

Stabilirea dimensiunilor bobinelor formează o etapă importantă atât în calculul mașinilor noi cât și în timpul execuției înfășurărilor. Odată stabilite dimensiunile bobinelor, în baza acestora se pot determina consumurile de materiale electroizolante necesare realizării izolației în crestătura și la capul de bobină și consumul de conductoare de bobinaj. Cu ajutorul dimensiunilor bobinelor se determină rezistența electrică a înfășurărilor precum și unele caracteristici de funcționare ale mașinilor respective.

În toate cazurile, și la mașinile noi ca și la mașinile ce se repară, pentru determinarea dimensiunilor bobinelor se pornește de la elementele constructive. La mașinile noi, se pornește de la datele principale ale înfășurării stabilindu-se din aproape în aproape soluția constructivă a acestora, dimensiunile crestăturii și ale izolației și apoi dimensiunile bobinelor folosind relațiile de calcul date în capitolul

de față. În cazul mașinilor ce se repară, trebuind a fi reproduse toate dimensiunile bobinelor ce se înlocuiesc în aceeași construcție, este indicat să se procedeze cu o grijă deosebită la scoaterea bobinelor din crestătură, în special la bobinele semitari și tari.

Principalele dimensiuni ale înfășurărilor, sunt :

- dimensiunile conductorului de bobinaj, neizolat și izolat, cu secțiunea conductorului ;
- dimensiunile mănușchiului bobinei în crestătură și în zona capului de bobină ;
- dimensiunile bobinelor în porțiunea din crestătură și din zona capului de bobină.

#### 10.4.1. Dimensiunile conductorului de bobinaj

La stabilirea dimensiunilor conductorului de bobinaj se pornește de la valoarea curentului prin înfășurare  $I_a$ , calculându-se aria secțiunii necesare a conductorului. Dimensiunile conductorului se determină pentru conductorul neizolat ca și pentru conductorul izolat, acestea din urmă fiind necesare la calculul dimensiunilor mănușchiilor bobinelor și a dimensiunilor crestăturii.

*Aria secțiunii conductorului se calculează cu relația*

$$s_{cond} = \frac{I_a}{J_a} \quad [\text{mm}^2] \quad (10.1)$$

unde :

$I_a$  este curentul prin înfășurare, în A ;

$J_a$  — densitatea de curent stabilită conform tabelei 10.10, în  $\text{A/mm}^2$ .

*Tabela 10.10*

**Valori admisibile pentru densitatea de curent  $J_a$  [ $\text{A/mm}^2$ ] la înfășurările repartizate de curent continuu și de curent alternativ**

Tipul înfășurării	Densitatea de curent $J_a$ [ $\text{A/mm}^2$ ] admisibilă pentru clasa de izolație a înfășurării :		
	A, E	B, F	H
Înfășurări tip induc de curent continuu	3–5	4–6	5–7
Înfășurări de curent alternativ din rotor	3–5,5	4–6,5	5–7,5
Înfășurări de curent alternativ din stator	3–5	3,5–5,5	4,5–6,5

**Dimensiunile secțiunii conductorului** rezultă din aria secțiunii calculată și anume :

— la **conductoarele rotunde**, diametrul  $d$  [mm] se calculează cu :

$$d = \sqrt{\frac{4s_{cond}}{3,14}} \quad [\text{mm}] \quad (10.2)$$

și se incadrează în valorile indicate în STAS 685-59, STAS 542-59, STAS 543-59

— la **conductoarele dreptunghiulare**, dimensiunile  $a$  și  $b$  (v. fig. 2.1) se incadrează în valorile din STAS 2873-55 pentru valori căt mai aproape de valoarea calculată pentru  $s_{co}$

După stabilirea dimensiunilor  $d$  sau  $a \times b$  se calculează densitatea de curent  $J_a$  [ $\text{A}/\text{mm}^2$ ].

$$J_a = \frac{I_a}{s_{cond}} \quad [\text{A}/\text{mm}^2] \quad (10.3)$$

care trebuie să fie cuprinsă între limitele date în tabela 10.10.

#### 10.4.2. Dimensiunile mănușchiului bobinei

Ca dimensiuni ale mănușchiului bobinei, atât în porțiunea din crestătură căt și în zona capetelor de bobină, se determină înălțimea  $h_m$  și lățimea  $b_m$  (v. fig. 10.33). În cazul infășurărilor cu con-

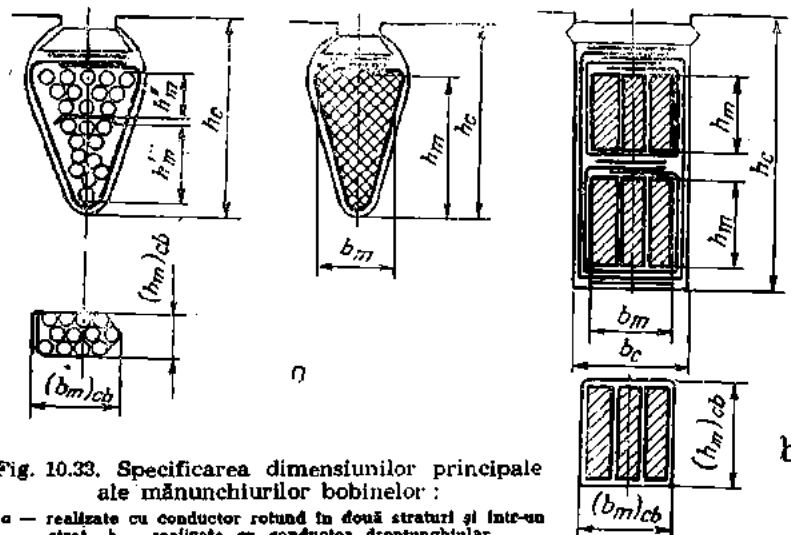


Fig. 10.33. Specificarea dimensiunilor principale ale mănușchiurilor bobinelor :

a — realizate cu conductor rotund în două straturi și între-un strat; b — realizate cu conductor dreptunghiular.

ductor rotund aceste dimensiuni nu au sens în porțiunea din crestătură, în zona capetelor de bobină dispunerea conductoarelor spirelor bobinei făcindu-se aşa cum se arată în fig. 10.33, a. La infăşurările cu conductoare dreptunghiulare, realizate cu bobine formate dintr-o spiră sau semispiră (bară), dimensiunile mănușchiului bobinei sunt aceleași cu ale conductorului izolat.

### Determinarea dimensiunilor mănușchiului în crestătură

Înainte de determinarea dimensiunilor mănușchiului bobinei pe porțiunea din crestătură trebuie să fie stabilite atât dispunerea conductoarelor în crestătură și a elementelor izolației, cît și dimensiunile tuturor acestora. Din motive constructive și de natură tehnologică cunoscute, existând legătura strânsă între dimensiunile mănușchiului bobinei și ale crestăturii, stabilirea acestora nu poate fi făcută independent. De aceea la mașinile noi, ce se proiecteză, dimensiunile crestăturii se stabilesc odată cu ale mănușchiului bobinei, iar la mașinile ce se repară, înainte de a stabili dimensiunile mănușchiului, trebuie precizate dimensiunile crestăturii.

În general, la un mănușchiu având  $n_x$  conductoare dispuse pe lățime și  $n_y$  conductoare pe înălțime, dimensiunile conductorului izolat fiind  $a' \times b'$ , pentru dimensiunile  $h_{m_{cr}}$  și  $b_{m_{cr}}$  ale mănușchiului în porțiunea din crestătură, se pot folosi relațiile de calcul :

$$h_{m_{cr}} = n_y \cdot b' + \Delta_{iz,y} + \sum y \quad [\text{mm}] \quad (10.4)$$

și

$$b_{m_{cr}} = n_x \cdot a' + \Delta_{iz,x} + \sum x \quad [\text{mm}] \quad (10.5)$$

unde :  $\Delta_{iz,y}$  rezultă din însumarea tuturor grosimilor izolației după direcția axei  $y$  (pe înălțime), iar  $\Delta_{iz,x}$  are aceeași semnificație dar după direcția axei  $x$  (pe lățime) ;

$\sum y$  este jocul pe înălțime și se calculează cu relația

$$\sum y = 0,05 n_y \quad [\text{mm}]; \quad (10.4, a)$$

$\sum x$  este jocul pe lățime și se calculează cu relația

$$\sum x = 0,05 n_x + 0,2 \quad [\text{mm}]. \quad (10.5, a)$$

Pentru o corectă creare a dimensiunilor mănușchiului cu ale crestăturii, în practică se procedează astfel : se stabilesc toate materialele ce intră în compoziția izolației în crestătură, făcindu-se schița crestăturii cu dispunerea infășurării în crestătură pe fișă dată în anexa VI la punctul 1 (unde ca exemplu s-au reprezentat schițele unei infășurări de tip indus de c.c. cu conductor dreptunghiular în

crestătură deschisă). Se completează apoi tabelul din aceeași fișă la pct. 2 (anexa VI) și din însumarea pe înălțime și pe lățime a dimensiunilor rezultate se obțin  $h_{mc}$  și  $b_{mc}$ , respectiv  $h_c$  și  $b_c$ .

### *Factorul de umplere a crestăturii*

În stabilirea modului de așezare a conductoarelor în crestătură, avându-se în vedere dimensiunile crestăturii, ale conductoarelor de bobinaj și ale elementelor izolației în crestătură este necesar să se verifice modul în care secțiunea crestăturii este utilizată prin introducerea înfășurării. Această verificare este cu atit mai importantă cu cît formează un indiciu asupra posibilităților de realizare a înfășurării, știut fiind faptul că operația de bobinare (ca posibilități și ca timp necesar) depinde în foarte mare măsură de așezarea conductoarelor în crestătură. În acest scop, se calculează *factorul de umplere a crestăturii* cu relația

$$k_u = \frac{N_{cr} \cdot s_{cond}}{s_{cr}} \quad (10.6)$$

unde :

$N_{cr}$  este numărul de conductoare în crestătură; acesta se determină la rebobinarea mașinii prin numărarea conductoarelor dintr-o crestătură la scoaterea înfășurării defecte din crestătură, iar în cazul unei mașini noi se stabilește cu relația :

$$N_{cr} = \frac{n_p N}{Z} \quad (10.7)$$

$n_p$  fiind numărul de conductoare în paralel cu care se execută înfășurarea;

$N$  — numărul total de conductoare stabilit prin calcul; (la înfășurările de curent alternativ  $N = 2$  mwa);

$Z$  — numărul total de crestături ale indisului;

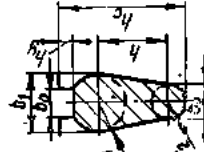
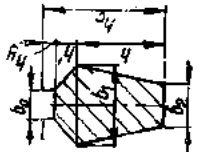
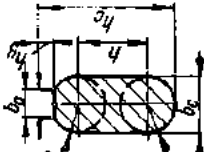
$s_{cond}$  — aria secțiunii unui conductor neizolat, care în cazul conductoarelor rotunde se calculează cu relația

$$s_{cond} = 0,785 d^2;$$

$s_{cr}$  — aria secțiunii totale a crestăturii (secțiunea de stațare) care se stabilește în funcție de tipul și dimensiunile acesteia. În tabela 10.11 sunt date, pentru cele mai uzuale tipuri de crestături, formulele de calcul ale secțiunii totale a crestăturii.

Tabelă 10.11

Formulele de calcul al secțiunii crestăturii pentru tipurile uzuale de crestături

Nr. cauzent crestături	Tipul crestături	Relativile de calcul ale secțiunii		Observații
		totală	netă	
1		$s_{cr} = 1,57 (r_1^2 + r_2^2) + h(r_1 + r_2)$ $h = h_c - r_1 - r_2 - h_y$	$s'_{cr} = 1,57 (r_2 - \Delta)^2 +$ $+ 0,5 (b_1 + b_2 - 2\Delta) +$ $+ 1,57 [r_1 - \Delta - 0,5 h_p (b_{1p} + b_{2p})]$	$\Delta = \Delta_{tz} + 0,1$ [mm] $\Delta_{tz}$ este grosimea peretelui tecii izolante a crestături, în mm $h_p, b_{1p}, b_{2p}$ – dimensiuni penet, *) în mm.
2		$s_{cr} = 0,5 h (b_1 + b_2) + 0,5 h' \cdot (b_1 + b_2)$ ; $h = h_c - h' - h_y$	$s'_{cr} = 0,5 h (h - \Delta) (b_1 + b_2 - 2\Delta) +$ $+ 0,5 h' (b_1 + b_2 - 4\Delta) -$ $- 0,5 h_p (b_{1p} + b_{2p})$	Idem
3		$h = h_c - b_c - h_y$	$s'_{cr} = 0,785 b_c^2 + h b_c$ $+ h (h_c - 2\Delta) - 0,5 h_p (b_{1p} + b_{2p})$	Idem

$$\Delta = \Delta_{l_2} + 0,1 \text{ [mm]}$$

$\Delta_{l_2}$  este grosimea peretelui tecii izoante a casetelor, in mm.

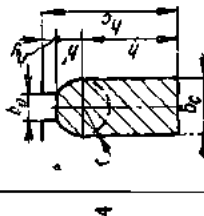
$h_p$ ,  $b_{1p}$ ,  $b_{2p}$  — dimensiunile penelui, " in mm.

$$s'_{cr} = b_e h + 0,5 h' (b_e + b_0) +$$

$$+ 0,5 h' (b_c + b_0 - 4) -$$

$$- 0,5 h_p (b_{1p} + b_{2p})$$

$$h = h_e - h' - h_y$$



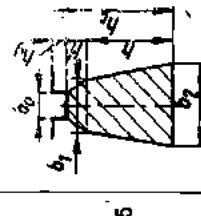
$$s'_{cr} = (b_e - 2\Delta) (h - \Delta) +$$

$$+ 0,392 (b_c - 2\Delta)^2 -$$

$$- 0,5 h_p (b_{1p} + b_{2p})$$

$$s_{cr} = b_e h + 0,392 b_e^2$$

$$h = h_e - h' - h_y$$



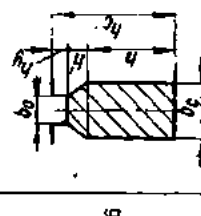
$$s'_{cr} = 0,5 (h - \Delta) (b_1 + b_2 - 2\Delta) +$$

$$+ 0,5 h' (b_1 + b_0 - 4\Delta) -$$

$$- 0,5 h_p (b_{1p} + b_{2p})$$

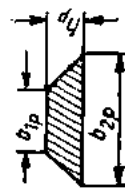
$$s_{cr} = 0,5 h (b_1 + b_2) + 0,5 h' (b_1 + b_0)$$

$$h = h_e - h' - h_y$$



Tabelă 10.11 (continuare)

Z z z	Tipul crestăturii	Relațiile de calcul ale secțiunii		Observații
		totală	netă	
7		$s_{cr} = b_c h + 0,5 h' (b_c + b_1)$ $h = h_c - h' - h_y$	$s'_{cr} = (b_c - 2 \Delta) (h - \Delta) +$ $+ 0,5 h' (b_c + b_1 - 4 \Delta) -$ $- 0,5 h_p (b_{1p} + b_{2p})$	$\Delta = \Delta_{tz} + 0,1$ [mm] $\Delta_{tz}$ este grosimea a peretelui tecii izolante a cusăturii, în mm. $h_p, b_{1p}, b_{2p}$ – dimensiunile penei, *) în mm.
8		$s_{cr} = b_1 h + 0,5 h' (b_c + b_1)$ $h = h_c - h' - h_y$	$s'_{cr} = (b_c - 2 \Delta) (h - \Delta) +$ $+ 0,5 h' (b_c + b_1 - 4 \Delta) -$ $- 0,5 h_p (b_{1p} - b_{2p})$	Idem
9		$s_{cr} = b_2 h + 0,5 h' (b_c + b_0)$ $h = h_c - h' - h_y$	$s'_{cr} = (b_c - 2 \Delta) (h - \Delta) +$ $+ 0,5 h' (b_c + b_0 - 4 \Delta) -$ $- 0,5 h_p (b_{1p} + b_{2p})$	Idem



\*) Dimensiunile penei se notează conform schiței :

În funcție de tipul crestăturii și al conductorilor, valoarea factorului de umplere a crestăturii  $k_u$  trebuie să se încadreze între anumite limite pentru a se putea realiza în condițuni bune înfășurarea. În tabela 10.12 sunt indicate limitele valorilor factorului de umplere  $k_u$  a crestăturii pentru tipurile uzuale de crestături și de înfășurări.

**Tabela 10.12**

**Valori uzuale pentru coeficientul de utilizare a crestăturii  $k_f$**

Tipul crestăturii	Valoarea factorului de umplere $k_u$ pentru	
	Înfășurări într-un strat	Înfășurări în două straturi
Crestături trapezoidale cu rotunjiri mici la unghiuri și la fundul crestăturii	0,36 – 0,43	0,33 – 0,40
Crestături ovale și cu contur circular	0,40 – 0,48	0,36 – 0,43

Se numește *factor de umplere* al bobinei raportul

$$k_{u_1} = \frac{N_{cr} \cdot d_{tz}^2}{s'_{cr}} \quad (10.8, a)$$

unde :

$d_{tz}$  este diametrul izolat al conductorului în mm ;

$s'_{cr}$  — aria secțiunii nete a crestăturii care se obține scăzind din suprafața totală suprafața penei și a izolației crestăturii, iar dimensiunile crestăturii considerate *în lumină* adică după reducerea cu 0,1 mm atât a lățimii cât și a înălțimii pentru luare în considerare a toleranțelor de stațare și împachetare.

La conductorul dreptunghiular, factorul de umplere devine :

$$k_{u_2} = \frac{N_{cr} \cdot a' \times b'}{s'_{cr}} \quad (10.8, b)$$

$a'$  și  $b'$  fiind dimensiunile conductorului izolat.

Valoarea factorului de umplere  $k_u$  este cuprinsă pentru mașini cu puteri între 30 și 100 kW între un minim economic (0,65 ... 0,68) și un maxim posibil tehnologic (0,75 ... 0,82 ; la puteri mai mici valoarea factorului de umplere poate fi mai mică. La mașinile cu con-

ductoare dreptunghiulare și cu număr redus de conductoare elementare în crestătură, valoarea factorului de umplere atinge valori mai ridicate.

### *Dimensiunile mărunchiului în zona capului de bobină*

În cazul infășurărilor cu conductor rotund, înălțimea  $h_{mcb}$  și lățimea  $b_{mcb}$  în zona capului de bobină se determină după stabilirea dispunerii conductoarelor și a izolației respective, așa cum este reprezentat în fig. 10.33, a. În cazul conductoarelor dreptunghiulare, dispunerea conductoarelor în mărunchi în general rămînind aceeași la capul de bobină ca și în crestătură, aceste dimensiuni rezultă după stabilirea izolațiilor în această parte a infășurării (fig. 10.33, b). În acest scop se completează tabela de la pct. 3 din anexa VI, dimensiunile  $h_{mcb}$  și  $b_{mcb}$  rezultând din însumarea dimensiunilor pe înălțime, respectiv pe lățime.

#### 10.4.3. Dimensiunile bobinelor infășurărilor tip indus de curent continuu

Principalele dimensiuni ce se stabilesc la bobinele infășurărilor tip indus de curent continuu, așa cum este reprezentat și în fig. 10.34, sunt : deschiderea bobinei ( $l_y$ ), lungimea medie a spirei ( $l_w$ ) și lungimile axiale ale capetelor de bobină înspre colector ( $l_{fk}$ ) și în partea opusă colectorului ( $l_{f'}$ ).

##### *Determinarea deschiderii bobinei ( $l_y$ )*

În fig. 10.35 este reprezentată așezarea în crestătură pentru o bobină a unei infășurări tip indus de curent continuu în două straturi și principalele dimensiuni ce intervin în determinarea așezării bobinei. Folosind notațiile din această figură și cunoscînd : pasul  $y_1$  (în spate) al infășurării, în număr de lamele la colector și  $y_k$ , pasul la colector, numărul total de crestături  $Z$ , numărul de crestături elementare  $u$  într-o crestătură și numărul  $K$  de lamele ale colectorului ( $Z \cdot u = K$ ), relațiile de calcul sunt :

$$l_y = l_{y1} + l_{y2} \quad [\text{cm}] \quad (10.9 \text{ a})$$

unde :

$$l_{y1} = \frac{3,14 R_1 y_1}{Z \cdot u} \quad \text{și} \quad l_{y2} = \frac{3,14 R_2 y_1}{Z \cdot u} \quad [\text{cm}] \quad (10.9 \text{ b})$$

deci

$$l_y = \frac{3,14 y_1}{Z \cdot u} (R_1 + R_2) \quad [\text{cm}] \quad (10.9)$$

În spate colector se poate scrie :

$$l_k = l_{k2} + l_{k1} \quad [\text{cm}] \quad (10.9 \text{ a}')$$

și respectiv

$$l_{k1} = \frac{3,14 R_1 y_k}{2K} \quad \text{și} \quad l_{k2} = \frac{3,14 R_2 y_k}{2K} \quad [\text{cm}] \quad (10.9 \text{ b}')$$

și deci :

$$l_k = \frac{3,14 y_k}{K} (R_1 + R_2) \quad [\text{cm}] \quad (10.9')$$

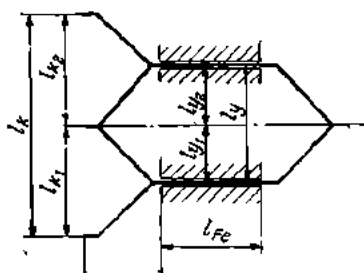


Fig. 10.34. Specificarea dimensiunilor principale ale bobinelor înfășurărilor tip inducție de curent continuu.

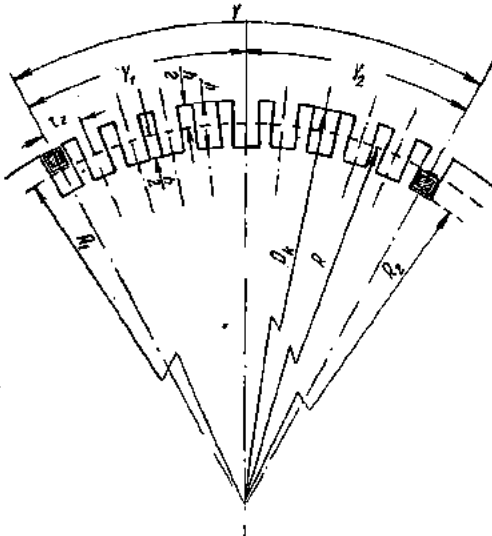


Fig. 10.35. Așezarea în creștături a unei bobine la o înfășurare tip inducție de curent continuu realizată cu conductor de secțiune dreptunghiulară.

**Observație.** Razele  $R_1$  și  $R_2$  se determină după cunoașterea dimensiunilor creștături și a modului de așezare a laturilor de bobine în creștături, iar raza  $R$  se calculează cu relația

$$R = \frac{D_a - h_c}{2} \quad [\text{cm}] \quad (10.10)$$

în care :

$D_a$  este diametrul exterior al indușului, în cm ;  
 $h_c$  — înălțimea creștături, în cm.

**Determinarea lungimii medii a spirei** ( $l_w$ ) se face folosind notările din fig. 10.36 și 10.37 ; pentru lungimea spirei medii se poate scrie relația :

$$l_w = \overline{AB} + \overline{BB'} + \overline{B'A'} + \overline{A'A} = 2\overline{AB} + \overline{BB'} + \overline{A'A}$$

unde :  $\overline{AB} = \overline{B'A'}$  este lungimea conductorului în crestătură,  $\overline{BB'}$  și  $\overline{A'A}$  sunt lungimile medii ale conductorului în cel două zone ale capului de bobină.

*Lungimea conductorului în crestătură* egală cu lungimea crestăturii este dată de lungimea  $l_{Fe}$  a pachetului de tole al miezului feromagnetic.

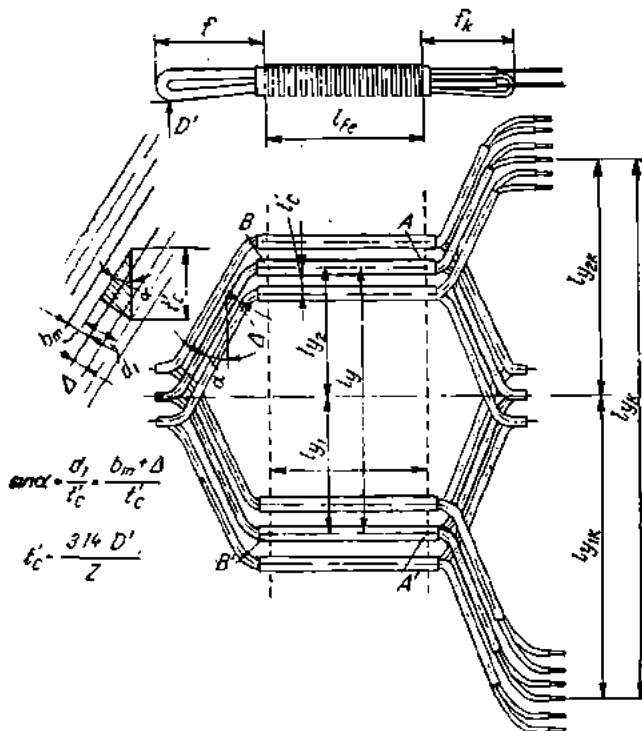


Fig. 10.36. Dimensiunile bobinei realizată cu conductor rotond la o infăsurare tip Indus de curent continuu.

magnetic al rotorului. La mașinile noi această mărime se calculează, la valoarea de calcul adăogindu-se (3...6) mm pentru a ține seamă de evazarea tolelor în zonele de capăt ale pachetului rotoric.

*Lungimea medie a conductorului în zona capului de bobină* este notată cu  $l_f$  în partea opusă colectorului ( $l_f + \overline{BB'}$ ) și cu  $l_{fk}$  în partea dinspre colector ( $l_{fk} = \overline{A'A'}$ ). Deci relația de calcul a lungimii medii a spirei ( $l_w$ ) devine :

$$l_w = 2l_{Fe} + l_f + l_{fk} \quad (10.11)$$

Pentru determinarea lungimii  $l_f$  se folosesc relațiile de calcul de mai jos.

În cazul bobinelor realizate cu conductor rotund (v. fig. 10.38).

$$l_f = 2a_0 + 2s + c \quad [\text{cm}] \quad (10.12)$$

unde :

$$2a_0 + c = 2,5 h_c \quad (10.12 \text{ a})$$

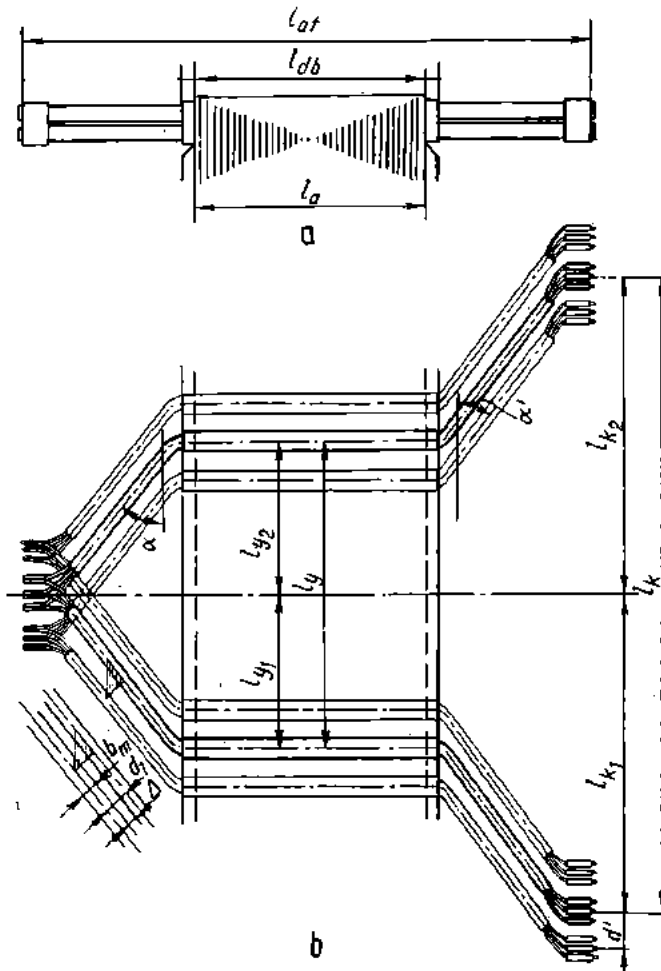


Fig. 10.37. Dimensiunile bobinelor înfășurării tip inducție de curent continuu cu conductor dreptunghiular.

( $h_c$  fiind înălțimea crestăturii)

$$2s = \frac{3,14 (D_a - 2h_c)}{2p \sqrt{1-\beta^2}} ; \quad (10.12 \text{ b})$$

notind cu

$$\beta = \frac{\text{lățimea medie a crestăturii}}{\text{pasul crestăturii la baza dintelui}} = \frac{b_{c \text{ med}}}{t_{c \text{ min}}}$$

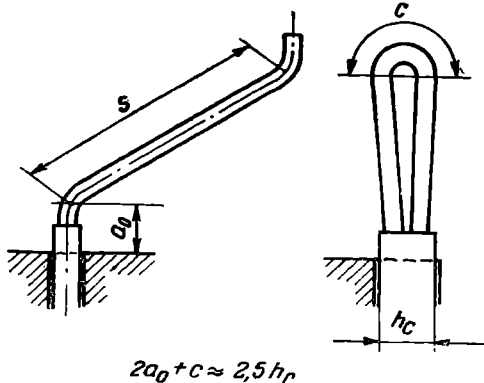


Fig. 10.38. Dimensiunile capului de bobină la înfăşurările tip induc de curent continuu realizate cu conductor rotund.

unde

$$t_{c \text{ min}} = \frac{3,14 (D_a - 2h_c)}{Z}$$

rezultă :

$$l_f = \frac{3,14 (D_a - 2h_c)}{2p \sqrt{1-\beta^2}} + 2,5 h_c . \quad (10.13)$$

*Observații.* 1. Unii autori, pentru determinarea lungimii medii a conductorului în zona capului de bobină recomandă relația de calcul :

$$l_f = K_M \cdot l_y + l_i \quad [\text{cm}] \quad (10.14)$$

unde  $K_M = 1,25$  pentru  $2p=2$  și  $K_M = 1,3$  pentru  $2p=4$  ;

$$l_i = 1 \dots 3 \text{ cm}.$$

2. La calculul bobinelor înfășurărilor mașinilor de mică putere, lungimea  $l_f$  se stabilește cu relația :

$$l_f = 1,884 (D_a - h_c) \quad [\text{mm}] \quad (10.15)$$

În cazul bobinelor realizate cu conductor dreptunghiular (v. fig. 10.39), relația de calcul este de asemenea

$$l_f = 2a_0 + 2s + c \quad [\text{cm}] \quad (10.16)$$

unde :

$a_0$  se determină conform datelor din tabela 10.13 conform tensiunii nominale a înfășurării,

$$2s = \frac{3,14 (D_a - 2h_c)}{2p \sqrt{1-\beta^2}}$$

*c* — la bobinele realizate conform fig. 10.39 *a* ;

$$c = 3,14 \left( r + \frac{h'_m}{2} \right), \quad (10.16 \text{ a})$$

*r* având valoarea indicată în tabela 10.14 (în funcție de înălțimea conductorului) și  $h'_m$  fiind înălțimea mănușchiului neizolat în zona budlei capului de bobină ;

Tabelă 10.13

Tensiunea nominală a înfășurării V	$a_0$ mm
până la 150	8
150–400	10
400–700	12
700–1 200	16
1 200–2 000	22
2 000–3 000	32

Tabelă 10.14

Înălțimea conductorului mm	<i>r</i> mm
până la 8	3
8–12	4
12–15	5
peste 15	6

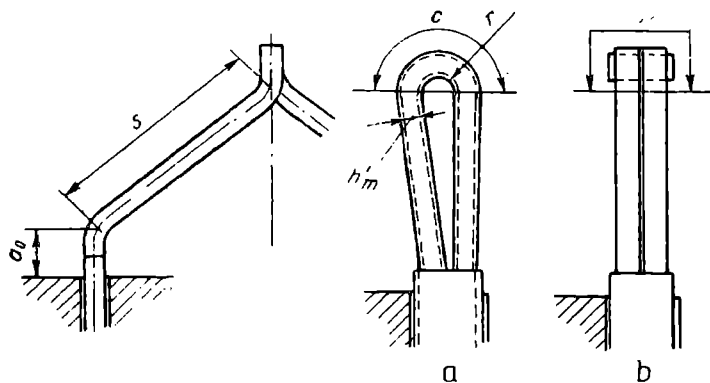


Fig. 10.39. Dimensiunile capului de bobină la înfășurările tip induc de curent continuu realizate cu conductor dreptunghiular :

$$\begin{aligned} a &— bobină semitare (cu mai multe spire  $c = 3,14 \left( r + \frac{h'_m}{2} \right)$ ); \\ b &— cu semispire.  $c = (1 \dots 3) \text{ cm}$ . \end{aligned}$$

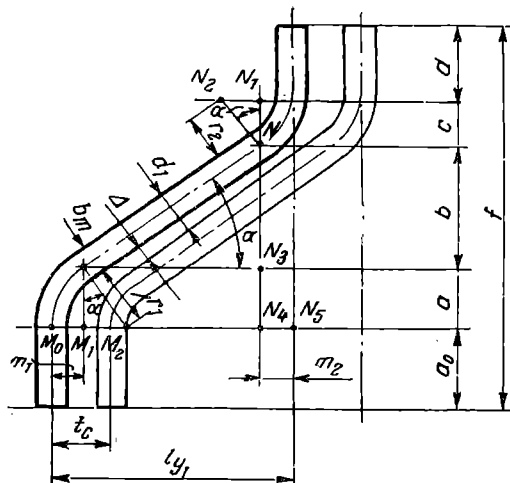
— la bobinele realizate conform fig. 10.39 *b* din bare (semispire) în funcție de mărimea mufei se stabilește :

$$c = 1 \dots 3 \text{ cm.} \quad (10.16 \text{ b})$$

*Observație:* Pentru determinarea lungimii  $s$  din relația de calcul de mai sus, unii autori recomandă relația :

$$2s = K_s \cdot l_y \quad (10.17)$$

unde  $K_s$  este indicat în tabela 10.15 în funcție de mărimea raportului



$$\frac{d_1}{t_c} = \frac{b_m + (0,15...0,20)\Delta}{\frac{3,14}{Z}(D_a - 1,5 h_c)} = \sin \alpha.$$

Determinarea lungimii axiale a capului de bobină  $f_f$ , respectiv  $f_k$ . Cu notările din figurile 10.36, 10.37 și 10.40, pentru lungimea axială de bobină relația de calcul este

$$l_f = a_0 + a + b + c + d. \quad (10.18)$$

Lungimea  $a_0$  se stabilește în funcție de tensiunea nominală a înfășurării conform indicațiilor din tabela 10.13.

Tabela 10.15

$\frac{d}{t_c}$	0,25	0,30	0,35	0,40	0,45	0,50	0,55	0,60
$K_s$	1,03	1,05	1,07	1,09	1,12	1,15	1,20	1,26

Pentru porțiunea curbă a capului de bobină, relațiile de calcul pentru fiecare din cele patru cote reprezentate în fig. 10.40 sunt următoarele :

— pentru lungimea  $a$  :

$$a = \overline{N_4 N_3} = \left( r_1 + \frac{b_m}{2} \right) \cos \alpha \quad (10.18 \text{ a})$$

$r_1$  fiind raza de curbură la trecere din porțiunea dreaptă a bobinei în zona capului de bobină ;

$b_m$  fiind lățimea mănușchiului bobinei, iar

$$\sin \alpha = \frac{b_m + \Delta}{t'_c} = \frac{d_1}{t'_c},$$

deci

$$\cos \alpha = \frac{\sqrt{t'^2_c - d_1^2}}{t'_c} \quad (10.18. b)$$

— pentru lungimea  $b$ :

$$b = \bar{N}_3 \bar{N} - \bar{M}_1 \bar{N}_4 \quad \operatorname{tg} \alpha = (\bar{M}_0 \bar{N}_5 - \bar{M}_0 \bar{M}_1 - \bar{N}_4 \bar{N}_5) \quad \operatorname{tg} \alpha = \\ = (l_{y1} - m_1 - m_2) \operatorname{tg} \alpha$$

și cum

$$m_1 = r_1 + \frac{b_m}{2} - \left( r_1 + \frac{b_m}{2} \right) \sin \alpha = \left( r_1 + \frac{b_m}{2} \right) (1 - \sin \alpha)$$

$$\text{și } m_2 = \left( r_2 + \frac{b_m}{2} \right) (1 - \sin \alpha)$$

rezultă

$$b = [l_{y1} - (r_1 + r_2 + b_m) (1 - \sin \alpha)] \operatorname{tg} \alpha \quad (10.18 c)$$

— pentru lungimea  $c$ :

$$c = \bar{N} \bar{N}_1 - \bar{N} \bar{N}_2 \cdot \cos \alpha = \left( r_2 + \frac{b_m}{2} \right) \cos \alpha \quad (10.18 d)$$

— pentru lungimea  $d$ :

— la bobinele de tipul reprezentat în fig. 10.36

$$d = r + b_m$$

$r$  fiind dat în tabela 10.14 în funcție de înălțimea conductorului.

— la bobinele de tipul reprezentat în fig. 10.37

$d = (1 \dots 3) \text{ cm}$ , în funcție de mărimea barelor și a mufelor de legătură.

*Distanțele între capetele de bobină în zona frontală și ieșirile spre colector.* Înfășurările de tip induc de curent continuu și caracterizate prin aceea că atât în zona capului de bobină opus colectorului, cât și înspre colector, capetele bobinelor și respectiv ieșirile bobinelor sunt distribuite uniform pe suprafața cilindrică a rotorului. Ținând seama de numărul de laturi de bobină de ducere sau întoarcere situate într-o creștătură (numărul de creștături elementare,  $u$ , într-o

crestătură) și cu datele folosite și pentru restul calculului dimensiunilor, rezultă :

— între părțile frontale ale capetelor de bobină (fig. 10.36) :

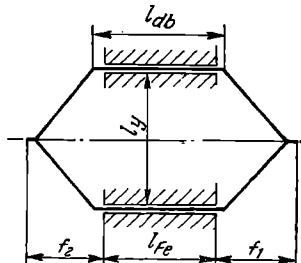


Fig. 10.41. Specificarea principalelor dimensiuni ale unei bobine de înfăsurare de curent alternativ.

$$\frac{3,14(D_a - h_c)}{Z};$$

— între ieșirile la colector, pe același strat :

$$\frac{3,14 D'_k}{K}.$$

$D'_k$  fiind diametrul colectorului la stegulete .

#### 10.4.4. Dimensiunile bobinelor înfășurărilor de curent alternativ

La bobinele înfășurărilor de curent alternativ se determină următoarele dimensiuni principale : lungimea porțiunii drepte a bobinei  $l_{db}$ , lungimea axială a capului de bobină  $f$  și lungimea medie a spirei  $l_w$ , așa cum sunt notate în fig. 10.41.

##### Lungimea porțiunii drepte a bobinei, $l_{db}$

Folosind notatiile din fig. 10.42, a și b și ținând seama de modul de așezare a bobinelor în statorul sau în rotorul mașinii, porțiunea dreaptă  $l_{db}$  a bobinei se determină astfel :

— la înfășurările de curent alternativ din stator (fig. 10.42, a) porțiunea dreaptă a bobinei se calculează cu relația :

$$Tabelă 10.16 \quad l_{db} = l_{Fe} + 2(t+j) \quad [\text{mm}], \quad (10.19)$$

Tensiunea nominală a înfășurării V	(t+j) mm
pînă la 500	20–25
3 000–3 300	35–40
6 000–6 300	50–55

valorile uzuale pentru depășirea în linie dreaptă  $(t+j)$  a crestăturii fiind date în tabela 10.16.

— la înfășurările de curent alternativ din rotor (fig. 10.42, b) se procedează ca și în cazul înfășurărilor tip induc de curent continuu, respectiv :

$$l_{db} = l_{Fe} + 2t \quad [\text{mm}]. \quad (10.20)$$

La stabilirea lungimii pachetului de tole  $l_{Fe}$ , cînd aceasta se face prin măsurare directă (în cazul mașinilor ce se rebobinează), trebuie ținut seama de evazarea părților marginale laterale ale pachetului, care poate fi de 3...6 mm.

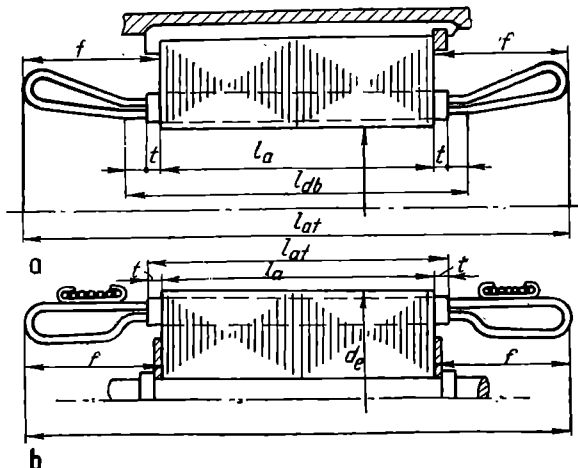


Fig. 10.42. Stabilirea dimensiunilor părții drepte a bobinelor:

a — la înfășurările de curent alternativ din stator; b — la înfășurările de curent alternativ din rotor.

Dacă  $l_{Fe}$  se determină în dreptul jugului (fig. 10.42), se folosește relația :

$$l_{Fe} = (l_{Fe})_{jug} + 2 \times (3 \dots 6 \text{ mm}) \quad [\text{mm}]. \quad (10.21)$$

#### *Deschiderea bobinei $l_y$*

În general, deschiderea  $l_y$  (în fig. 10.43 notată cu Y) a bobinei se stabilește pornind de la pasul  $y$  al bobinei, exprimat în număr de creștări (v. cap. 5), ținînd seama de poziția în stator sau în rotor a înfășurării și anume :

— Pentru înfășurări așezate în stator (v. fig. 10.43, a) :

$$l_y = \frac{3,14 (2R_i + h_c)}{Z} y = \frac{3,14 (D_i + h_c)}{Z} y \quad [\text{mm}]. \quad (10.22)$$

— Pentru înfășurări așezate în rotor (v. fig. 10.43, b)

$$l_y = \frac{3,14 (2R_a - h_c)}{Z} y = \frac{3,14 (D_a - h_c)}{Z} y \quad [\text{mm}] \quad (10.23)$$

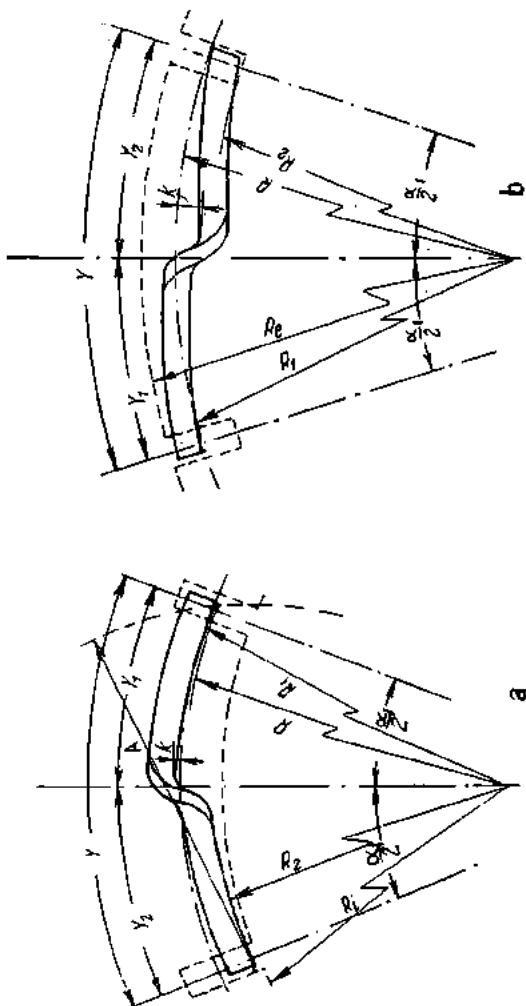


Fig. 10.48. Așezarea în crestături a bobinelor infășurărilor de curent alternativ din stator (a) și din rotor (b).

In aceste relații de calcul  $D_i$  este diametrul interior al pachetului de tole statoric,  $D_a$  este diametrul exterior al pachetului de tole rotoric,  $h_c$  este înălțimea crestăturii iar  $Z$  este numărul total de crestături.

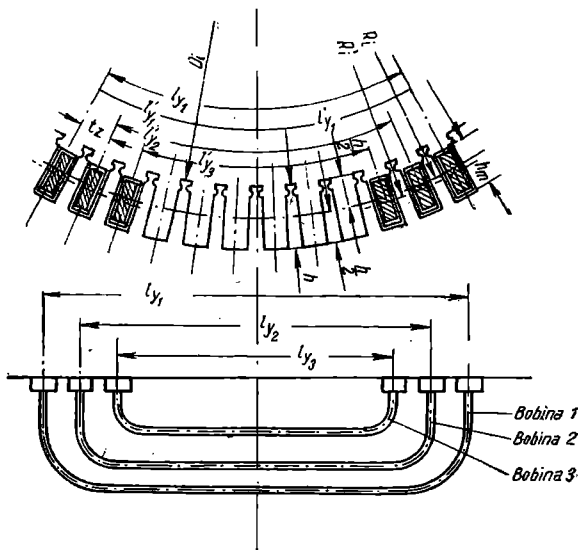


Fig. 10.44. Deschiderea bobinelor la o înfășurare într-un strat, cu bobine concentrice,  $q=3$  crestături pe pol și fază.

Pentru diferitele tipuri constructive de bobine se calculează deschiderea acestora astfel :

— În cazul înfășurărilor de curent alternativ cu bobine concentrice, sau grupe de bobine concentrice, dispuse într-un strat, de tipul celor reprezentate în fig. 10.44, ținându-se seama de faptul că :

$y = m \cdot q$  ( $m$  = numărul de faze — în trifazat  $m=3$ , iar  $q$  este numărul de crestături pe pol și fază)

iar pentru deschiderea bobinei rezultă relația :

$$l_y = 3,14 \frac{D_i + h_c}{Z} \cdot mq \quad [\text{mm}], \quad (10.24)$$

sau înlocuind  $\frac{D_i + h_c}{2}$  cu  $R'_i$  conform reprezentării din fig. 10.44 se obține :

$$l_y = 6,28 mq \frac{R'_i}{Z} \quad [\text{mm}]. \quad (10.24 \text{ a})$$

Dacă  $q$  este un număr impar, de ex. :  $q=3$  (v. fig. 10.44), rezultă pentru fiecare din bobinele grupei deschiderile :

$$\text{bobina 1 : } l_{y1} = 6,28 (mq+2) \frac{R'_i}{Z} \left( \text{în trifazat : } l_{y1} = 69,08 \frac{R'_i}{Z} \right) (\text{mm})$$

$$\text{bobina 2 : } l_{y2} = 6,28 mq \frac{R'_i}{Z} \left( \text{în trifazat : } l_{y2} = 56,52 \frac{R'_i}{Z} \right) (\text{mm})$$

$$\text{bobina 3 : } l_{y3} = 6,28 (mq-2) \frac{R'_i}{Z} \left( \text{în trifazat : } l_{y3} = 44 \frac{R'_i}{Z} \right) (\text{mm})$$

Cind  $q$  este un număr par, de exemplu  $q=4$

— la bobina 1

$$l_{y1} = 6,28 (mq+3) \frac{R'_i}{Z} \left( \text{în trifazat : } l_{y1} = 94,2 \frac{R'_i}{Z} \right) (\text{mm})$$

— la bobina 2

$$l_{y2} = 6,28 (mq+1) \frac{R'_i}{Z} \left( \text{în trifazat : } l_{y2} = 81,64 \frac{R'_i}{Z} \right) (\text{mm})$$

— la bobina 3

$$l_{y3} = 6,28 (mq-1) \frac{R'_i}{Z} \left( \text{în trifazat : } l_{y3} = 69,1 \frac{R'_i}{Z} \right) (\text{mm})$$

— la bobina 4

$$l_{y4} = 6,28 (mq-3) \frac{R'_i}{Z} \left( \text{în trifazat : } l_{y4} = 56,52 \frac{R'_i}{Z} \right) (\text{mm})$$

*În cazul înfăşurărilor de curent alternativ într-un strat, cu grupe de bobine egale, aşa cum este exemplul reprezentat în fig. 10.45, bobinele au aceeaşi deschidere  $l_y$ , care se calculează cu relația :*

$$l_y = 6,28 mq \frac{R'_i}{Z} \quad [\text{mm}] ; \quad (y= mq). \quad (10.25)$$

*În cazul înfăşurărilor de curent alternativ în două straturi se procedează ca și în cazul înfăşurărilor tip induc de curent continuu și folosind notațiile din fig. 10.43, a și b rezultă :*

$$l_y = 3,14 mq \frac{(R_1 + R_2)}{Z} \quad (10.26)$$

Fig. 10.45. Deschiderea bobinelor într-un singur strat, cu grupe de bobine egale,  $q=3$  crestături pe pol și fază.

la stabilirea valorilor pentru  $R_1$  și  $R_2$  ținindu-se seamă dacă infășurarea se introduce în crestăturile unui pachet de tole din stator sau din rotor.

#### *Dimensiunile capului de bobină*

În cazul infășurărilor de curent alternativ, spre deosebire de infășurările de tip inducție de curent continuu, diversitatea mare de forme constructive conduce la moduri diferite de determinare a dimensiunilor în zona capului de bobină.

— La înfășurările intr-un singur strat, din statoarele mașinilor de curent alternativ, capetele de bobină fiind dispuse în două sau trei etaje, aşa cum este reprezentat în fig. 10.46, a și b, se urmărește asigurarea distanțelor minime de izolare.

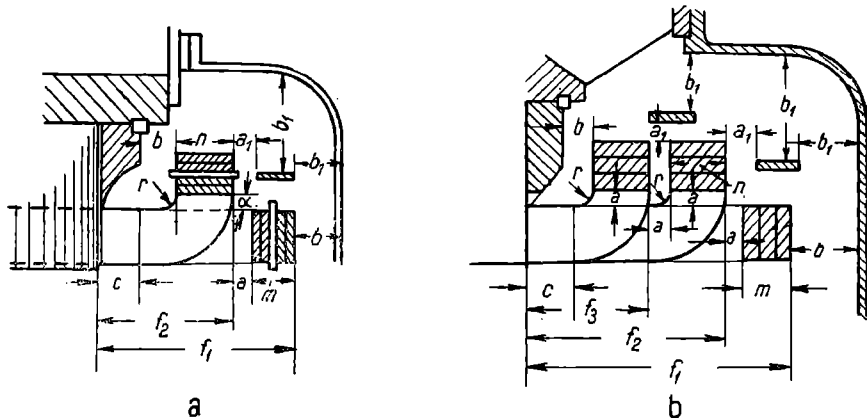


Fig. 10.46. Dimensiunile capetelor de bobină ale înfăşurărilor într-un singur strat; distanțele izolante minime:

Folosind notațiile din fig. 10.46, a și b, lungimile axiale ale capetelor de bobină se stabilesc cu ajutorul relațiilor :

— pentru înfăşurările cu capul de bobină dispus în două etaje (fig. 10.46, a)

$$f_1 = m + n + a + b + c \quad (10.27 \text{ a})$$

$$f_2 = n + b + c \quad (10.27 \text{ b})$$

— pentru înfășurările cu capul de bobină dispus în trei etaje (fig. 10.46, b) :

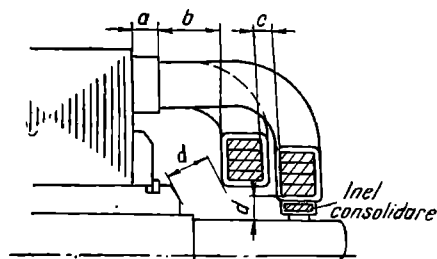


Fig. 10.47. Dispunerea în două etaje a capului de bobine la o înfășurare într-un strat cu bobine concentrice, la rotoarele motoarelor asincrone cu inele de contact ; distanțele de izolare.

constructivă este similară aceleia distanțele izolante  $a$ ,  $b$ ,  $c$  și  $d$  se aleg conform tabelii 10.18.

$$f_1 = m + 2n + 2a + b + c \quad (10.28 \text{ a})$$

$$f_2 = 2n + a + b + c \quad (10.28 \text{ b})$$

$$f_3 = n + b + c \quad (10.28 \text{ c})$$

unde distanțele  $a$ ,  $b$ ,  $c$  și cotele  $a_1$ ,  $b_1$  și  $r$  din figură se aleg conform indicațiilor din tabela 10.17.

La înfășurările de curent alternativ trifazate sau bifazate, dintr-un strat cu bobine concentrice, cu capul de bobină dispus în două etaje, utilizate în rotoarele motoarelor asincrone cu inele de contact, a căror formă reprezentate în fig. 10.47, destabilisează conform indicațiilor din

Tabelă 10.17

Tensiunea nominală a înfășurării V	Distanțele de izolare minime, în zona capului de bobină (fig. 10.46) mm					
	a	b	c	$a_1$	$b_1$	r
pînă la 500	15	15	15	5	5	10
3 000–3 150	20	20	45	5	5	10–20
6 000–6 300	30	40	60	10	10	20

Tabelă 10.18

Tensiunea nominală a înfășurării V	Valorile minime pentru distanțele (fig. 10.47) mm			
	a	b	c	d
pînă la 120	10	8	6	6
121–220	12	10	8	6
221–280	15	12	10	8
281–800	20	15	12	10

Lungimea conductorului în zona capului de bobină pentru fiecare dintre etaje se calculează cu relația

$$l_{cb} = 2f + l_y,$$

unde  $f$  este lungimea axială a capului de bobină pe etajul considerat, iar  $l_y$  este deschiderea bobinei.

*La înfăşurările în două straturi se procedează diferit după aşezarea în stator sau în rotor a înfăşurării, precum și după tipul bobinei folosite.*

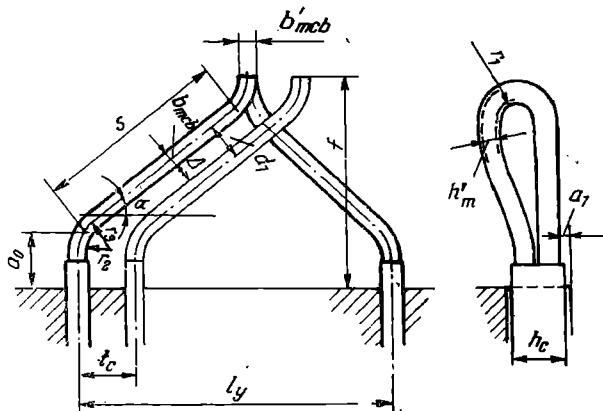


Fig. 10.48. Dimensiunile capului de bobină la înfăşurările de curent alternativ realizate cu conductor rotond și situate în stator.

În cazul *bobinelor tari (rigide) situate în stator*, folosind notațiile din fig. 10.48 și fig. 10.43, a, dimensiunile capului bobinei se calculează astfel :

— distanța între mănușchiuri vecine  $\Delta$  conform cu indicațiile date în tabela 10.19.

Tabela 10.19

Tensiunea nominală a înfăşurării V	Valoarea în (mm) a cotelor, (fig. 10.48)		
	$\Delta$	$a_1$	$a_0$
pînă la 500	4,0–4,5	6 ... 12	20–25
3 000; 3 300	4,5–5,0	14	35–40
6 000; 6 600	5,0–5,5	16	40–66

— distanța între axele a două mănușchiuri vecine :

$$d_1 = b_{mcb} + \Delta \quad (\text{mm}) \quad (10.29)$$

La bobinele cu izolație continuă :  $b_{mcb} = b_c$  (lățimea crestăturii).

— unghiul  $\alpha$  de așezare a mănușchiului la capul de bobină în raport cu planul tolelor.

$$\sin \alpha = \frac{d_1}{3,14 D_i} Z$$

— lungimea conductorului în zona capului de bobină :

$$l_{cb} = K_1 \left[ (l_y \cdot \gamma) - \left( r_1 + \frac{h_1}{4} \right) \right] + 3,14 \left( r_2 + \frac{h_1}{2} \right) + K_2 \cdot r_3 + 2\Delta \text{ (mm)} \quad (10.30)$$

unde

$K_1$  și  $K_2$  sunt doi coeficienți dați în tabela 10.20. ;

$r_1$  este raza în porțiunea frontală a capului de bobină, determinată pentru conductor, valoarea minimă pentru înaltă tensiune fiind pentru 3 000 V  $r_1 = 12$  mm și pentru 6 000 V  $r_1 = 15$  mm ;

$r_2$  — raza de racordare a capului de bobină pentru a forma unghiul de așezare a mănușchiului și care se alege :

$r_2 = 25$  mm pentru bobine ce nu sunt izolate cu micăbandă ;

$r_2 = 50$  mm pentru bobine izolate cu micăbandă ;

$r_3 = r_2 + \frac{b}{2}$  ( $b$  este lățimea conductorului) ;

$\Delta$  — conform tabelei 10.19

Tabela 10.20

$\alpha^\circ$	$K_1$	$K_2$	$K_3$	$\alpha^\circ$	$K_1$	$K_2$	$K_3$
30	1,15	0,94	0,58	43	1,37	0,77	0,44
31	1,17	0,93	0,47	44	1,39	0,75	0,43
32	1,18	0,92	0,56	45	1,41	0,74	0,41
33	1,19	0,91	0,54	46	1,44	0,73	0,40
34	1,21	0,90	0,53	47	1,47	0,71	0,39
35	1,22	0,89	0,52	48	1,50	0,70	0,38
36	1,24	0,87	0,51	49	1,52	0,68	0,37
37	1,25	0,85	0,50	50	1,56	0,67	0,36
38	1,27	0,84	0,49	51	1,59	0,65	0,35
39	1,29	0,83	0,48	52	1,62	0,64	0,34
40	1,31	0,82	0,47	53	1,66	0,62	0,33
41	1,33	0,80	0,46	54	1,70	0,61	0,32
42	1,35	0,79	0,45	55	1,74	0,59	0,32

— coeficientul  $\gamma$  calculat pentru înfășurările bipolare cu relația :

$$\gamma = \frac{Z \sin \frac{\pi \cdot y}{Z}}{\pi y}; \quad (10.30. a)$$

( $y$  — pasul bobinei în crestături) iar la înfășurări cu  $2p > 2$  :  $\gamma = 1$

— lungimea axială a capului de bobină,  $f$ :

$$f = \frac{l_y}{2} \gamma \cdot \operatorname{tg} \alpha + K_3 \cdot r_3 + \Delta + \frac{h_1}{2} \quad [\text{mm}] \quad (10.31)$$

$K_3$  fiind dat în tabela 10.20.

În cazul bobinelor din bare situate în rotor, conform cu notăjile din fig. 10.49 și fig. 10.43, b se stabilesc dimensiunile în zona capului de bobină astfel:

— distanța  $\Delta$  între bare, în mm se alege  $\Delta = 1$  mm pentru bare având lățime până la 4 mm și  $\Delta = 2$  mm pentru bobine al căror conductor (bară) este mai lat ca 4 mm.

— distanța  $d_1$  între axele a două bare vecine (mm):

$$d_1 = b_{mc} + \Delta \quad (10.32)$$

— unghiul de așezare  $\alpha$  al barelor în zona capului de bobină :

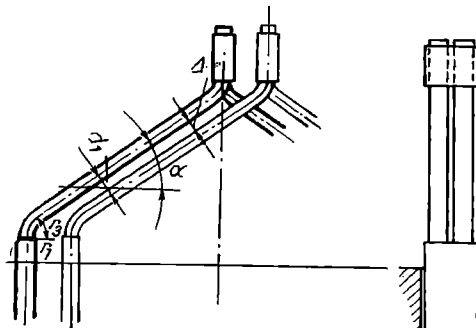


Fig. 10.49. Dimensiunile capului de bobină de înfășurare de curent alternativ, realizată cu conductor dreptunghiular și așezată în rotor.

$$\sin \alpha = \frac{d_1}{3,14(D_a - 2h_c)} Z = \frac{d_1}{t_c} \quad (10.33)$$

$h_c$  fiind înălțimea crestăturii rotorice, iar  $t_c$  — pasul crestăturii:

$$t_c = 6,28 \frac{R_1}{Z} = \frac{3,14(D_a - 2h_c)}{Z}$$

— lungimea medie a conductorului, în mm, în zona capului de bobină :

$$l_{cb} = \frac{l_y}{2} K_1 + A + C + K_2 r_3 + \ell \quad (10.34)$$

unde

$K_1$ ,  $K_2$  sunt indicații în tabela 10.20,

$A$  — se alege între 15 și 25 mm,

$C$  — se stabilește în funcție de lățimea conductorului (barei) conform indicațiilor din tabela 10.21.

Tabelă 10.21

Lățimea barei mm	C mm
1,7–3,8	16
3,9–5,5	20
5,6–9,0	25

— lungimea axială a capului de bobină,  $f$ , în mm.

$$l_f = \frac{l_y}{2} \operatorname{tg} \alpha + 2K_3 r_3 + A + C + 6 \quad (10.35)$$

$K_3$  fiind dat în tabela 10.20.

Lungimea axială a capului de bobină, mai poate fi calculată și cu relația :

$$f = \left[ r_2 \left( \frac{1}{\sin \alpha} - 1 \right) + \frac{l_y}{2} \right] \operatorname{tg} \alpha + b'_{mcb} \quad (10.35. a)$$

unde  $b'_{mcb}$  este grosimea mânunchiului în zona buclei capului de bobină, iar

$r_2$  — raza de curbură la poziunea de formare a unghiu-lui  $\alpha$  și se stabilește astfel :

$$r_2 = r + \frac{b_{mcb}}{2}$$

unde  $r$  = 25 mm la bobinele moi sau semitari, și  
 $r$  = 50 mm la bobinele tari.

Săgeata  $k$  cu care capul de bobină se depărtează de la nivelul porțiunii drepte (din creștătură) a bobinei, se determină cu :

$$k = (f - h - r_1) \operatorname{tg} \beta \quad (10.36)$$

unde  $\beta$  se alege între  $6^\circ$  și  $8^\circ$  iar  $r_1$  între 10 și 15 mm.

La bobinele tari este necesar să se determine suficient de exact unghiul de înclinare a mânunchiului pentru a corespunde poziției în spațiu a creștăturilor și pentru a se putea prevedea operația corespunzătoare cu ajutorul dispozitivului de întindere.

În acest sens, se calculează raza  $A$  (v. fig. 10.43, a) cu ajutorul relației

$$A = \sqrt{R_1^2 + R_2^2 - 2R_1 R_2 \cos(\alpha_1 - 2\gamma_1)} \quad (10.37)$$

în care  $\alpha_1$  este unghiul la centru corespunzător deschiderii bobinei :

$$\alpha_1 = \frac{360y}{Z}$$

( $y$  este pasul bobinei, în număr de creștăuri),

$\gamma_1$  — definit prin  $\sin \gamma_1 = \frac{(b_{mcb}) \text{ neizolat}}{2R_2}$ .

Pentru unele mașini având diametrul cuprins între 350 și 750 mm, în tabela 10.22 sunt date valorile razei  $A$  precum și pentru dimensiunile creștăturii.

Tabelă 10.22

<i>D</i>	<i>R<sub>a</sub></i>	<i>R<sub>1</sub></i>	<i>2p</i>	<i>Z</i>	Dimen- slunile crestăturii	<i>y</i>	<i>a<sub>1</sub></i>	<i>r</i>	$\cos(\alpha_1 - 2r)$	<i>A</i>
350	179	201	4	42	$\frac{12,5}{42,8; 43,8}$	9	77	$1^\circ 20'$	0,27	230
390	198	220	6	54	$\frac{11,4}{41,8; 44,8}$	8	53	$1^\circ$	0,629	181
420	214	236	4	48	$\frac{13,6}{44,8; 48,8}$	10	75	$1^\circ 10'$	0,281	271
425	214	236	4	60	$\frac{13,6}{44,8; 48,8}$	13	78	$1^\circ 10'$	0,247	276
460	234	257	6	72	$\frac{10,7}{45,6; 49,6}$	10	50	$40^\circ$	0,66	203
475	241	265	4	60	$\frac{12,3}{46,5; 50,5}$	12	72	$1^\circ$	0,342	271
475	241	270	4	72	$\frac{12,3}{46,5; 53,5}$	13	65	$1^\circ$	0,454	265
475	241	270	4	72	$\frac{11}{56,5; 60,5}$	14	70	$50^\circ$	0,370	186
495	251	271	8	72	$\frac{12,3}{40,6; 44,6}$	7	35	$50^\circ$	0,835	151
525	266	288	6	90	$\frac{9,2}{43,5; 47}$	13	52	$30'$	0,629	239
545	276	308	4	60	$\frac{14,2}{64; 68}$	11	66	$1^\circ$	0,438	316
545	276	308	4	60	$\frac{13,6}{52,5; 56,5}$	12	72	$50'$	0,386	337
545	276	301	8	96	$\frac{8,5}{49,5; 53}$	10	37	$30'$	0,8	184
545	276	301	8	96	$\frac{8,5}{43,5; 53}$	11	41	$30'$	0,766	199
565	286	309	10	90	$\frac{8,5}{44,5; 48}$	7	28	$40'$	0,892	144
565	286	309	10	9	$\frac{8,5}{44,5; 48}$	8	32	$40'$	0,850	168

Tabela 10.22 (continuare)

<i>D</i>	<i>R<sub>b</sub></i>	<i>R<sub>t</sub></i>	<i>2p</i>	<i>Z</i>	Dimensiunile creșăturii	<i>y</i>	<i>a<sub>1</sub></i>	<i>r</i>	$\cos(a_1 - 2r)$	<i>A</i>
605	306	335	6	72	$\frac{13,2}{58; 62}$	10	50	50'	0,66	266
605	306	332	6	72	$\frac{11,8}{51; 55}$	9	45	40'	0,727	236
605	306	335	6	72	$\frac{13,2}{58; 62}$	11	57	50'	0,597	289
640	234	356	4	60	$\frac{16,5}{63,5; 68}$	12	72	1°	0,342	391
640	234	348	8	72	$\frac{12,6}{47; 51}$	7	35	40'	0,832	199
640	341	357	8	96	$\frac{11,5}{55,5; 59,5}$	10	37	40'	0,81	200
640	324	352	10	75	$\frac{12,6}{47; 51}$	6	29	40'	0,884	165
640	324	352	10	90	$\frac{11,9}{62; 66}$	7	28	40'	0,892	152
705	356	386	6	72	$\frac{13,6}{59,5; 63,5}$	10	50	40'	0,77	306
750	379	408	8	84	$\frac{13,6}{58; 63}$	8	34	40'	0,840	224
750	379	408	8	84	$\frac{14,2}{56,7; 62,7}$	9	39	40'	0,790	256
750	379	412	10	90	$\frac{12,8}{66,7; 70,7}$	7	28	40'	0,890	186
750	379	412	10	90	$\frac{12,8}{66,7; 70,7}$	9	36	40'	0,82	239

În cazul *bobinelor moi, în două straturi*, principalele dimensiuni în zona capului de bobină sint următoarele :  
— lungimea medie a conductorului, în mm, în zona capului de bobină :

$$l_{cb} = K \cdot l_y + 20 \quad [\text{mm}]. \quad (10.38)$$

*K* fiind dat în tabela 10.23.

Dacă se urmărește asigurarea unei mai bune răciri prin circulația aerului prin capul de bobină, valoarea determinată pentru  $l_{cb}$  este necesar a fi mărită cu 10...40 mm.

*Tabela 10.23*

Lungimea axială, în mm, a capului de bobină se determină cu relația

$$f = \frac{1}{2} \sqrt{l_{cb}^2 - l_y^2}. \quad (10.39)$$

Numărul de perechi de poli	Valoarea coeficientului $K$	
	Cap bobină parțial neizolat	Cap bobină izolat
2	1,2	1,45
4	1,3	1,55
6	1,4	1,75
8 și peste	1,5	1,90

## 10.5. EXECUTAREA BOBINELOR

Executarea bobinelor formează una din principalele etape premergătoare bobinării miezului feromagnetic. Desfășurarea operațiilor necesare acestui scop depinde de tipul bobinei, construcția acesteia și felul conductorului de bobinaj și de izolația stabilită.

Principalele faze tehnologice în procesul de confectionare a bobinelor sunt :

- confectionarea bobinei propriu-zise ;
- confectionarea izolației și izolarea bobinei ;
- impregnarea bobinei ;
- controlul calitativ și încercarea bobinelor.

### 10.5.1. Confectionarea bobinelor ; șabloane și dispozitive

Pentru confectionarea bobinelor se presupun cunoscute sau determinate tipul constructiv al bobinei, numărul de spire, dimensiunile bobinei și conductorul de bobinaj.

Exceptind înfășurările ce se execută direct pe miezul feromagnetic (prin coasere, prin infiruire sau cu ajutorul mașinilor de bobinat), toate celelalte înfășurări se realizează cu bobine ce se confectionează separat pe dispozitive denumite șabloane.

Pentru confectionarea bobinelor moi, semitari și tari se folosesc dispozitivele denumite *șabloane*, care sunt de tipuri sau de construcții diferite. Din punct de vedere constructiv se deosebesc șabloane care

permite realizarea completă a bobinei (pentru bobinele moi și unele şabloane pentru bobine semitari) și şabloane pentru operații distințe prin executarea cărora se realizează confectionarea bobinei (pentru bobine semitari, iar pentru bobine tari, semispire).

În practica bobinajului mașinile electrice, în funcție de numărul de bobine ce trebuie realizate se recurge la şabloane de dimensiuni fixe (pentru confectionarea unui mare număr de bobine) și şabloane reglabile (pentru confectionarea de bobine de dimensiuni diferite sau număr mic de bobine de dimensiuni diferite, în special în ateliere de reparații).

#### 10.5.2. Confectionarea bobinelor moi ; şabloane de bobinaj

*Construcția şabloanelor pentru bobine moi ;  
tipuri de şabloane. Modul de utilizare*

Şabloanele pentru confectionarea bobinelor moi (fig. 10.50) se compun dintr-un miez 1 cu pereți drepti sau înclinați și doi pereți laterali 2 fixați cu un șurub 3.

Miezurile cu pereți înclinați se folosesc pentru confectionarea bobinelor cu număr mare de spire sau ale înfășurărilor cu număr mic de poli (2 sau 4 poli).

Pereții laterali sunt prevăzuți cu cel puțin patru canale pentru introducerea benzii de bumbac sau a sfiorii de cînepe cu ajutorul cărora bobina se consolidează înainte de scoaterea ei de pe şablon.

La confectionarea bobinelor, se fixează şablonul pe dispozitivul sau pe ma-

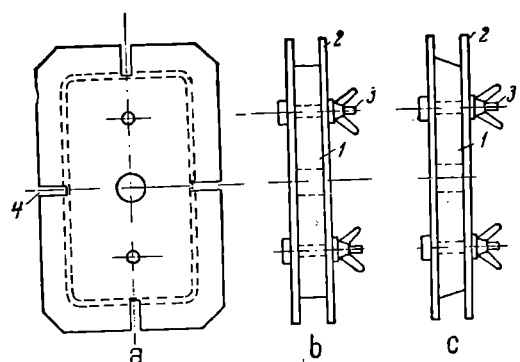


Fig. 10.50. Şablon pentru executarea bobinelor moi dreptunghiauale :

1 — miezul şablonului; 2 — perete lateral; 3 — șuruburi cu piulițe fluture pentru asamblarea şablonului; 4 — canale.

șina de bobinat, se introduce capătul conductorului în una dintre crestăturile pereților laterali și se pune în mișcare şablonul.

Pentru așezarea corectă a spirelor sîrma este întinsă înainte de a se așeza pe şablon cu ajutorul unui dispozitiv simplu aplicat pe con-

ductorul de bobinaj prin intermediul unui manșon protector din preșpan, sau cu ajutorul unui dispozitiv cu role, reprezentat în fig. 10.51.

Pentru confectionarea grupelor de bobine şablonul este prevăzut cu mai multe secțiuni (mai multe miezuri despărțite prin pereti) aşa cum sunt şabloanele reprezentate în fig. 10.52.

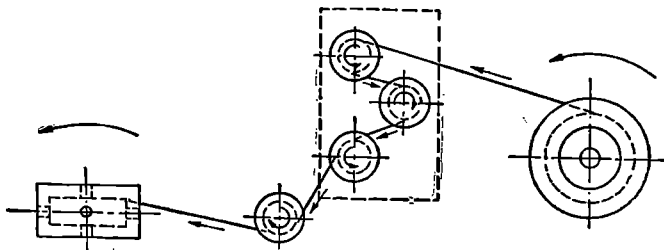


Fig. 10.51. Dispozitiv cu role pentru întinderea conductorului de bobinaj în timpul confectionării bobinei (schemă cinematică).

Deoarece bobinele concentrice au deschideri și lungimi diferite, miezurile şablonului au dimensiuni diferite, spre deosebire de şablonul pentru confectionarea bobinelor de aceeași deschidere (v. fig. 10.52, a și b).

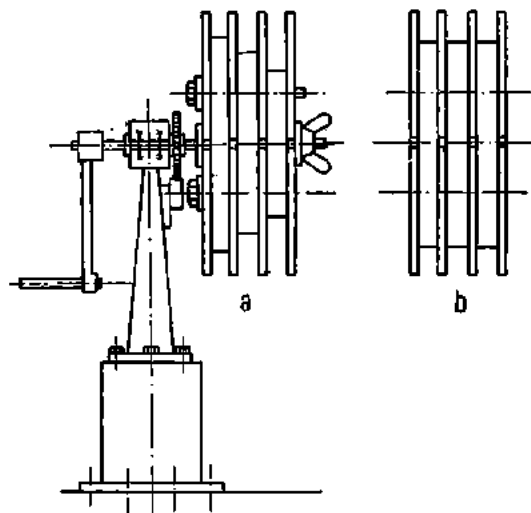
Pentru realizarea diferitelor forme de bobine moi reprezentate în fig. 10.1, miezurile şabloanelor se construiesc dreptunghiulare, trapezoidale, hexagonale sau cu capete rotunde, aşa cum este reprezentat în fig. 10.53.

Şabloanele pentru bobinele moi se execută din lemn sau din metal (pentru serii mari de bobine).

În atelierele de reparații, datorită varietății mari de tipuri de bobine ce trebuie executate în număr redus de bucăți, se obișnuiește să se lucreze cu şabloane ce pot fi folosite pentru mai multe dimensiuni de bobine, denumite *şabloane reglabile*. La acestea, adaptarea se face prin schimbarea (reglarea) dimensiunilor miezului, înlocuit de distanțoare care prin poziția lor reproduc conturul miezului.

În fig. 10.54 este reprezentat un şablon reglabil pentru confectionarea bobinelor moi ale unei grupe de bobine concentrice. Şablonul se compune din patru distanțoare 1 care se fixează prin intermediul suruburilor 2 și piulițelor 3 pe traversele 4 construite sub formă de glisiere.

În fig. 10.55, a este reprezentat un şablon reglabil pentru confectionarea bobinelor moi trapezoidale. Prin deplasarea distanțoarelor 1



c

Fig. 10.52. Dispozitiv cu actionare manuală pentru confectionarea bobinelor moi și sabloane pentru grupe de bobine :

a, b — schema dispozitivului și sablonul unei grupe de bobine concentrice respectiv egale; c — mod de executare.

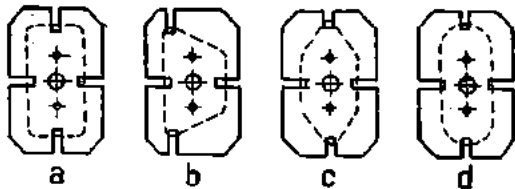


Fig. 10.53. řabloane pentru confectionarea bobinelor moi de tipuri constructive diferite :  
a — pentru bobine dreptunghiulare;  
b — pentru bobine trapezoidale; c —  
pentru bobine hexagonale; d — pen-  
tru bobine cu capul rotund.

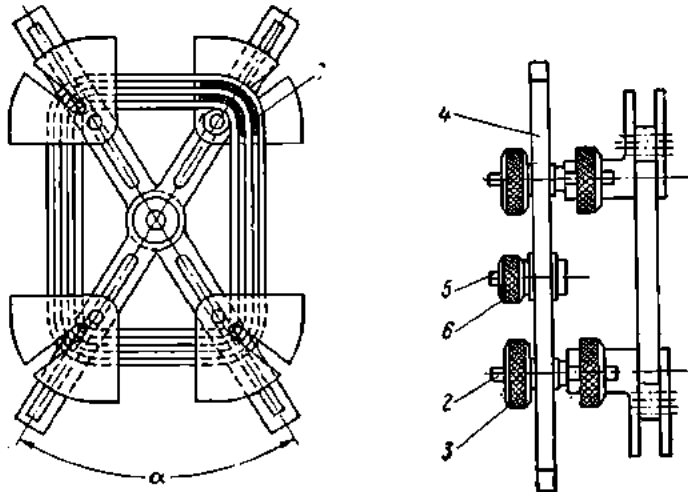


Fig. 10.54. řablon reglabil pentru confectionarea bobinelor moi dreptunghiulare.

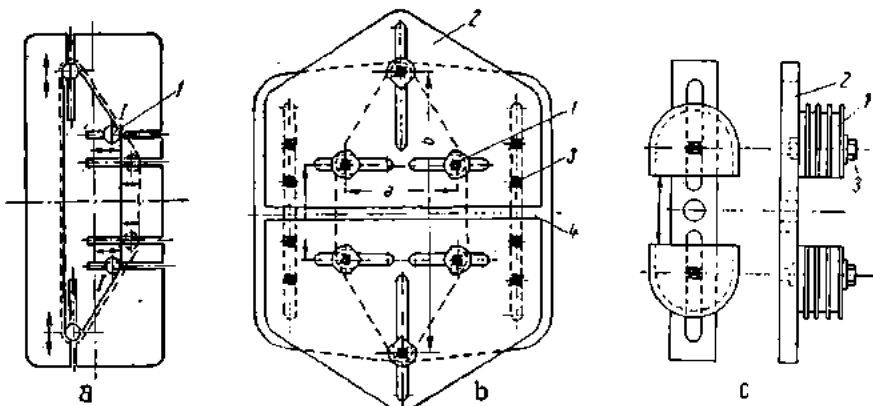


Fig. 10.55. řabloane reglabile pentru confectionarea bobinelor moi :  
a — trapezoidale; b — hexagonale; c — cu cap de bobină rotund.

în canalele practicate în pereții lateralăi se obțin diferite dimensiuni de bobine. În fig. 10.55, b este reprezentat un şablon reglabil; pentru confectionarea bobinelor moi cu cap rotund se utilizează şabloane reglabile de tipul reprezentat în fig. 10.55, c.



Fig. 10.56. Mașină de confectionat bobine, echipată cu şablon reglabil, pentru bobine cu cap rotund.

In fig. 10.56 este reprezentată o mașină folosită pentru confectionarea bobinelor moi cu număr relativ mare de spire.

#### *Dimensiunile şabloanelor pentru confectionarea bobinelor moi*

La confectionarea şablonului, dimensiunile miezului se stabilesc în funcție de dimensiunile bobinelor ce trebuie realizate.

Pentru stabilirea dimensiunilor  $Y_s$  și  $l_s$  ale şablonului pentru bobine dreptunghiulare (v. fig. 10.57) trebuie să fie cunoștute deschiderea  $l_y$  și lungimea axială totală a bobinei neformate.

Lățimea  $Y_s$  a miezului şablonului se ia ceva mai mare decit deschiderea  $l_y$  a bobinei.

Lungimea  $l_s$  a miezului şablonului, ținând seamă și de notațiile din fig. 10.46 se stabilește astfel :

— În cazul infășurărilor avind capul de bobină așezat în două etaje (v. fig. 10.46, a) pentru miezurile ambelor bobine, se poate lăsa lungimea  $l_s$  egală cu :

$$l_s = l_a + 2f_2 + 2a; \quad (10.40)$$

raza  $r_s$  de curbură a miezului se alege în funcție de grosimea bobinei și diametrul conductorului, luându-se minimum  $r_s = 15$  mm.

— În cazul infășurărilor avind capul de bobină dispus în trei etaje (v. fig. 10.46, b), miezul pentru bobinele 1 și 2 se execută cu aceeași lungime  $l_s$  calculată mai sus, iar pentru bobina 3, lungimea miezului şablonului se calculează cu relația :

$$l_{s3} = l_a + 2f_3 + 2a. \quad (10.41)$$

În cazul şabloanelor pentru bobine trapezoidale cu notaţiile din fig. 10.58 dimensiunile miezului şablonului se calculează astfel :

— lăţimea miezului şablonului :

$$Y_s = 1,04 (l_y - b_m) \quad (10.42)$$

unde :

$l_y$  — este deschiderea bobinei (în mm) și

$b_m$  — grosimea mănuşchiului ;

— lungimea maximă a miezului şablonului :

$$l_{s1} = l_a + 2l_1 \quad (10.43)$$

unde

$$l_1 = r_s + x + z. \quad (10.43 \text{ a})$$

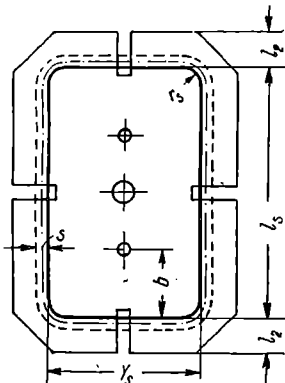


Fig. 10.57. Dimensiunile şablonului pentru bobine moi dreptunghiulare.

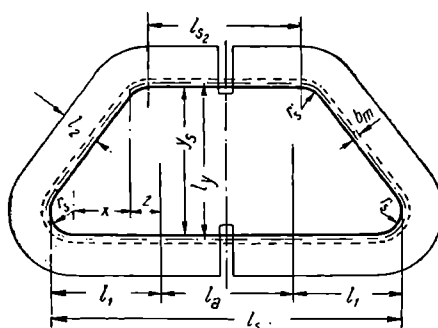


Fig. 10.58. Dimensiunile şablonului pentru confectionarea bobinelor moi trapezoidale.

În această relaţie, pentru  $x$  se iau două valori :  $x=0$  şi  $x=0,1 Y_s$ , iar  $z$  se ia egal cu 15 mm.

Raza de racordare  $r_s$  se stabileşte în funcţie de valoarea lui  $z$ , de deschiderea şablonului  $Y_s$  şi de dimensiunile bobinei. Pentru aceasta se calculează lungimea medie a conturului părţii frontale a şablonului cu relaţia :

$$l_{fs} = l_{cb} - 30 - 1,57 b_m \quad (10.43 \text{ b})$$

unde

$l_{cb}$  este lungimea medie a conturului capului de bobină care, pentru bobinele trapezoidale, se poate calcula cu relaţia

$$l_{cb} = k \cdot l_y + 30 \quad (10.43 \text{ c})$$

coeficientul  $k$  depinzind de numărul de poli ai mașinii și având valo-  
rile indicate în tabela 10.28.

Se calculează apoi raportul

$$k_s = \frac{l_{fs}}{Y_s} \quad (10.43 \text{ d})$$

și cu ajutorul acestui coeficient ( $k_s$ ), din diagrama din fig. 10.59 se determină, pentru  $x=0$  și  $x=0,1 Y_s$ , raportul  $\frac{r_s}{Y_s}$ . Cunoscîndu-se  $Y_s$

rezultă astfel două valori pentru  $r_s$  și anume  $r_{s0}$  (pentru  $x=0$ ) și  $r_{s1}$  (pentru  $x=0,1 Y_s$ ). Cu aceste date se calculează două valori ale lui  $l_1$ :

— pentru  $x=0 : l_{1,x=0} = r_{s0} + 15$   
(10.43 e)

— pentru  $x=0,1 Y_s : l_{1,x=0,1 Y_s} = r_{s1} + 0,1 + 15 Y_s$ . (10.43 f)

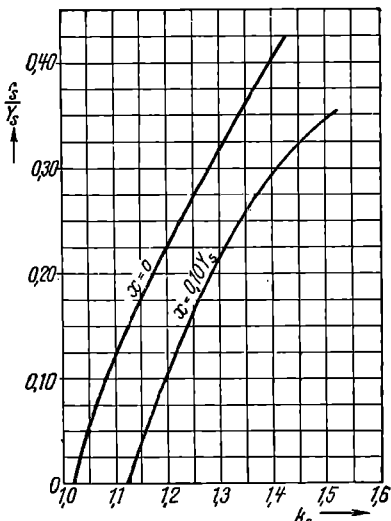


Fig. 10.59. Curbele pentru determinarea razei de racordare  $r_s$  a capului bobinei.

Pentru construcția şablonului se alege cea mai mare din valorile rezultate pentru  $l_1$ , calculîndu-se valoarea corespunzătoare lungimii  $l_{s1}$ .

Lungimea bazei mici  $l_{s2}$  a trapezului conturului miezului se calculează cu relația:

$$l_{s2} = l_a + z = l_a + 15. \quad (10.43 \text{ g})$$

Raza  $r'_s$  de racordare se stabilește de la caz la caz, asigurîndu-se trecerea lină de pe o suprafață pe alta a miezului.

Pentru confectionarea bobinelor moi din conductor rotund pentru motoare asincrone trifazate cu puteri pînă la 13 kW, se dimensiunează şabloanele folosind relații de calcul bazate pe experiența uzinelor producătoare de mașini electrice din țară. Astfel :

— Pentru bobinele concentrice (grupe de bobine) dispuse în creștătură într-un singur strat sau în două straturi și cu capul de bobină în două sau trei etaje sau în coroană, în fig. 10.60 este reprezentat un şablon corespunzător grupiei de trei bobine.

Notind cu :

- $h_c$  — înălțimea crestăturii, care la acest tip de bobine este cu pereți neparaleli (crestătură tip pară) în mm ;
- $h_{mc}$  — înălțimea medie a crestăturii, în mm ;
- $b_c$  — lățimea crestăturii, în mm ;
- $b_{mc}$  — lățimea medie a crestăturii, în mm ;
- $y_{z1, 2, 3}$  — pasul bobinelor 1, 2, respectiv 3 (în număr de crestături) ;
- $Z$  — numărul de crestături ;
- $l_{Fe}$  — lungimea pachetului de tole, în mm ;
- $D_1$  — diametrul interior al pachetului de tole în mm,

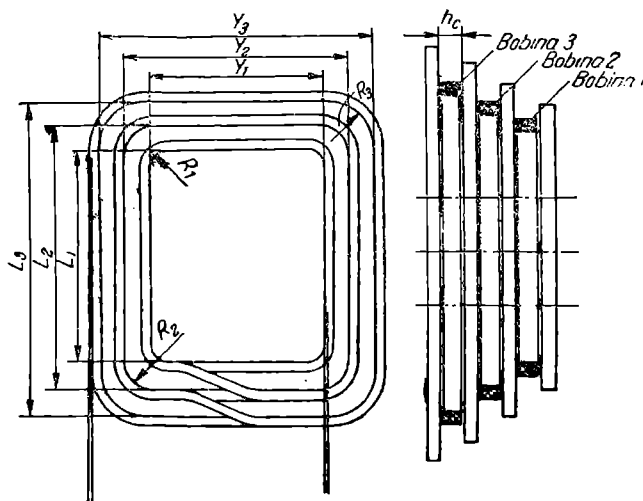


Fig. 10.60. Dimensiunile şablonului pentru confectionarea bobinelor cu conductor rotund, grupă de bobine concentrice, cu capul de bobine în două etaje, bobinaj într-un singur strat.

pentru dimensiunile notate în fig. 10.60 ale şablonului se folosesc următoarele relații uzuale de calcul :

— pentru lățimea miezului şablonului

$$Y_{1, 2, 3} = \frac{3,14(D_1 - h_c)}{Z} y_{z1, 2, 3} - b_c \quad [\text{mm}]; \quad (10.44)$$

— pentru lungimea miezului şablonului :

$$L_1 = l_{Fe} + 2y + 2R_1 \quad [\text{mm}] \quad (10.45 \text{ a})$$

$$L_2 = L_1 + 2b_{mc} + 2x \quad [\text{mm}] \quad (10.45 \text{ b})$$

$$L_3 = L_2 + 2b_{mc} + 2x \quad [\text{mm}]. \quad (10.45 \text{ c})$$

În cazul particular al motoarelor având  $2p=4$  poli și cu puteri pînă la 13 kW, au rezultat din practica întreprinderilor producătoare de mașini electrice din țară, valorile pentru  $y$ ,  $x$ ,  $R_1$ ,  $R_2$  și  $R_3$  indicate în tabela 10.24.

Tabela 10.24

$D_1$ mm	$y$ mm	$x$ mm	$R_1$ mm	$R_2$ mm	$R_3$ mm
85	10	2	10	20	—
92	10	2	12	22	32
104	10	2	14	26	34
118	10	3	16	28	36
152	12	3	18	30	38

Relațiile de calcul pentru lungimile  $L_1$ ,  $L_2$  și  $L_3$  sunt indicate pentru un factor de umplere a crestăturii pînă la 0,73, peste această valoare fiind necesare majorări.

În cazul motoarelor cu  $2p=6$  poli, folosindu-se grupe de cîte două bobine, aceiași coeficienți au valorile indicate în tabela 10.25.

— Pentru bobinele exagonale, dispuse în crestături în două straturi și cu capul dispus în coroană, folosind aceleași notații, pentru dimensiunile notate în fig. 10.61 se indică următoarele relații de calcul :

Tabela 10.25

$D_i$ mm	$y$ mm	$x$ mm	$R_1$ mm	$R_2$ mm
92	10	2	12	22
114	12	3	14	26
135	12	3	14	26
172	12	3	14	26

$$Y = \frac{3,14(D_i - h_c)}{Z} y_z \quad (10.46)$$

$$L = l_{Fe} + 2y \quad (10.47)$$

$$A = 0,35 Y \quad (10.48)$$

$$a = \frac{h_{mc}}{2}. \quad (10.49)$$

La mașinile asincrone trifazate, avînd  $2p=8$  poli se recomandă pentru mărimele  $R_1$ ,  $R_2$  și raportul  $\frac{A}{Y}$  valorile din tabela 10.26.

— Pentru bobinele trapezoidale, folosite în înfăşurări cu bobine egale (grupe de bobine egale) dispuse în crestătură într-un singur strat sau în două straturi, dimensiunile şablonului reprezentat în fig. 10.62 se calculează cu următoarele relații :

— pentru lățimea  $Y$  a miezului şablonului :  
la înfăşurări într-un strat :

$$Y = \frac{3,14 (D_t - h_c)}{Z} y_z - b_c \quad (10.50 \text{ a})$$

la înfăşurările în două straturi :

$$Y = \frac{3,14 (D_t - h_c)}{Z} y_z \quad (10.50, \text{ b})$$

Tabelă 10.26

$D_t$ mm	$y$ mm	$R_1$ mm	$R_2$ mm	$A/Y$
114	10	6	15	0,35
135	12	8	20	0,35
172	14	8	20	0,35

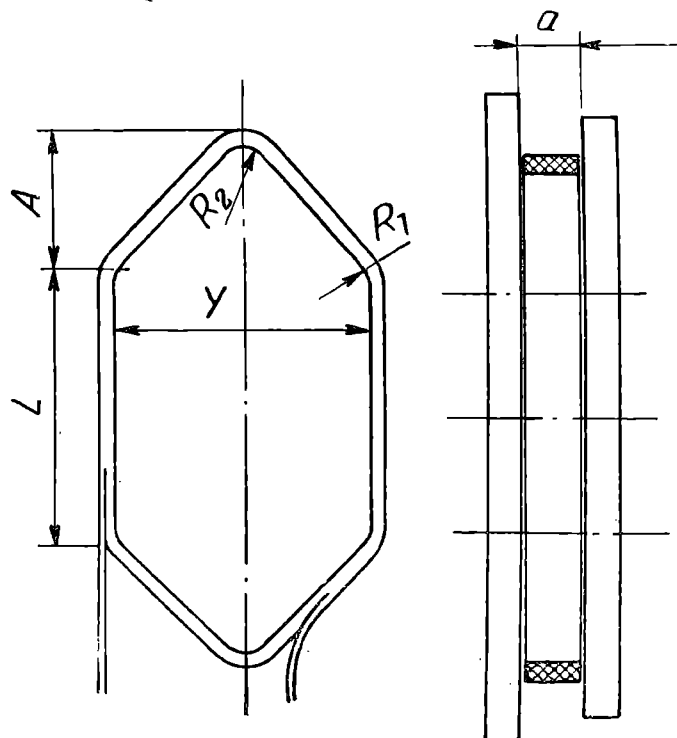


Fig. 10.61. Dimensiunile şablonului pentru confectionarea bobinelor cu conductor rotund, hexagonale, pentru înfăşurări cu bobine egale dispuse în crestătură în două straturi și cu capul de bobină dispus în coroană.

Tabela 10.27

$D_t$ mm	y mm	$R_1$	$R_2$	$A/Y$
78	10	6	15	0,30
84	10	6	15	0,30
98	10	6	15	0,35
110	12	8	16	0,35
140	12	8	16	0,35

— pentru lungimea  $L$  a miezului șablonului :

$$L = l_{Fe} + 2y \quad (10.51)$$

— pentru înălțimea  $a$  a miezului șablonului :

$$a = \frac{h_{mc}}{Z}. \quad (10.52)$$

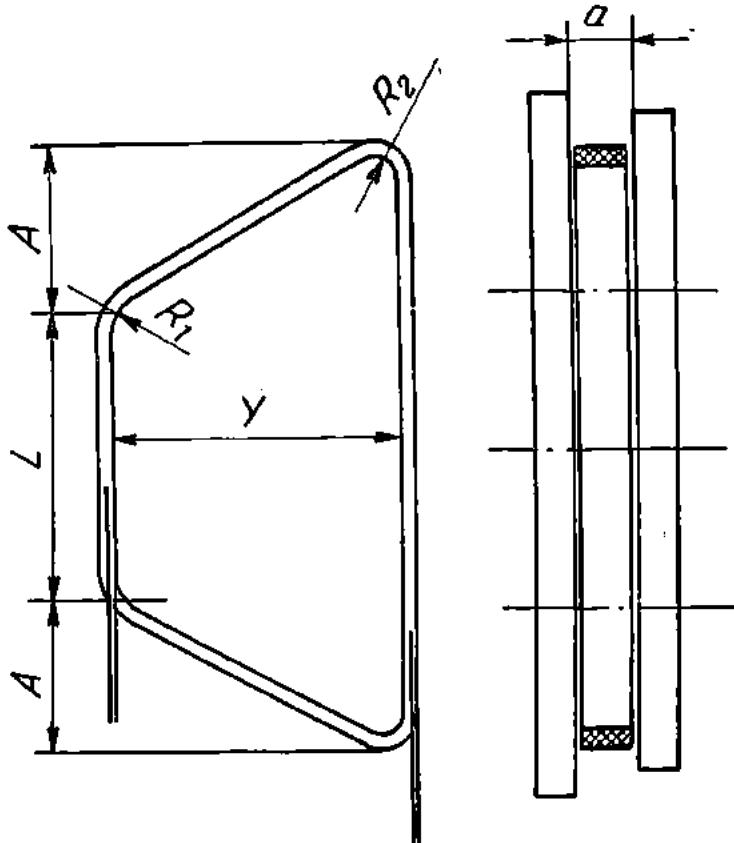


Fig. 10.62. Dimensiunile șablonului pentru confectionarea bobinelor cu conductor rotund, trapezoïdale, pentru înfășurări cu bobină egale dispuse în crestătură într-un strat sau în două straturi, cu capul de bobină dispus în coroană.

La mașinile asincrone trifazate avind  $2p=2$  poli pentru  $R_1$ ,  $R_2$  și raportul  $A/Y$  se recomandă folosirea valorilor indicate în tabela 10.27.

### 10.5.3. Confecționarea bobinelor semitari ; şabloane și dispozitive

Bobinele semitari sunt în general confeționate cu conductor drept-unghiular. Realizarea formei constructive a acestor bobine se face în două etape : confeționarea bobinei primare și formarea bobinei.

#### *Şabloane pentru confeționarea bobinelor în formă primară ; dimensionarea şablonelor*

În fig. 10.63, a și b sunt reprezentate două bobine confeționate în formă primară, iar în fig. 10.64 este reprezentat şablonul pentru confeționarea bobinei din fig. 10.63, a. Constructiv şabloanele pentru bobinele semitari sunt similare celor folosite pentru bobinele moi însă sunt mult mai robuste pentru a rezista la eforturile ce apar în timpul confeționării bobinelor datorită dimensiunilor conductorului.

Cunoscând dimensiunile bobinei și folosind notatiile din figura 10.64, a și b dimensiunile miezului şablonului se calculează astfel :

$$s_1 = \frac{l_{y1}}{\cos \alpha}; \quad (10.53)$$

$$s_2 = \frac{l_{y2}}{\cos \alpha}. \quad (10.54)$$

Lungimea  $l_{s1}$  a miezului rezultă

$$l_{s1} = l_{Fe} + 2a_0 + 2s_2 + 2r_0 \quad (10.55)$$

unde cota  $a_0$  se alege în funcție de tensiunea nominală a înfășurării conform indicațiilor din tabela 10.13, iar raza de racordare  $r_0$  se alege în funcție de dimensiunile conductorului (diametrul sau înălțimea), conform indicațiilor din tabela 10.28.

Lungimea  $l_{s2}$  rezultă egală cu

$$l_{s2} = l_{Fe} + 2a_0. \quad (10.56)$$

Inălțimea miezului şablonului pentru bobina din conductor cu secțiunea circulară se calculează după relația :

$$h_m = \frac{m \cdot d_{tz}^2}{b_m}, \quad (10.57)$$

unde  $b_m$  este lățimea mănușchiului,  $m$  numărul total de spire ale bobinei, iar  $d_{tz}$  — diametrul conductorului izolat.

*Tabela 10.28*

$2p$	$k$	$2p$	$k$
2	1,3	6	1,45
4	1,35	8	1,55

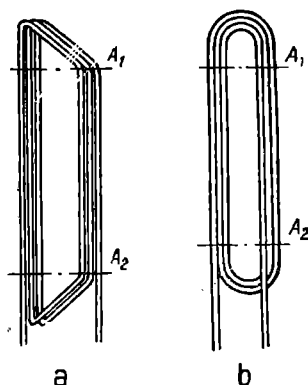


Fig. 10.63. Bobine semitari după confectionarea în formă primară.

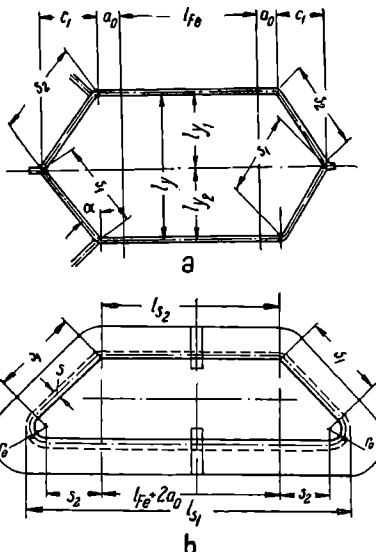


Fig. 10.64. Dimensiunile sablonului pentru confectionarea bobinelor semitari, ale infăsurărilor tip inducție curent continuu:

a — cotarea bobinei finite; b — cotarea miezului sablonului.

În cazul conductoarelor de secțiune dreptunghiulară, așezate unele deasupra celorlalte, înăltimea miezului este

$$h_m = b'_c + 0.5 \text{ mm}, \quad (10.58)$$

în care  $b'_c$  este dimensiunea conductorului izolat pe care se face aşezarea pe suprafaţa miezului săblonului.

Pentru confectionarea şablonului, se montează şablonul pe axul masinii de bobinat aşa cum este reprezentat în schema din fig. 10.65,

între şablon şi tamburul conductor fiind un întinzător pentru reaşzarea aşezării corecte a conductorului pe şablon.

Capătul conductorului care se scoate printr-o crestătură a plăcii frontale a şablonului se fixează cu ajutorul unei menghine. Pentru aşezarea corectă a conductorului pe miezul şablonului se pot utili-

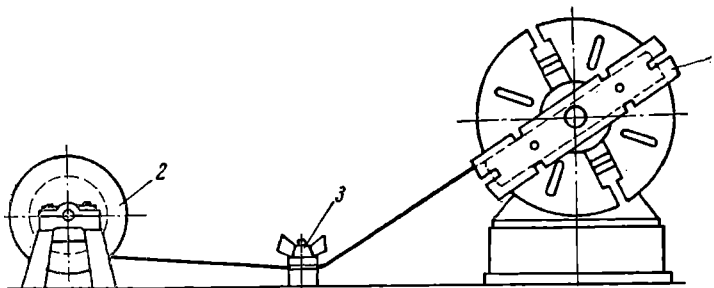


Fig. 10.65. Executarea bobinelor semitari pe maşina de bobinat :  
1 — şablonul bobinei; 2 — tambur cu conductor; 3 — întinzător.

liza pene de lemn, de pertinax sau de textolit. Pentru evitarea degradării izolației conductorului sub bacurile întinzătorului, se introduce între acestea și conductor o teacă de preșpan, iar conductorul se unge cu parafină.

#### *Şabloane pentru formarea bobinelor semitari*

Prin operația de formare, li se dă bobinelor forma care trebuie să-o aibă înainte de introducerea lor în crestătură. În timpul formării, porțiunile din bobina confecționată, cuprinsă între dreptele  $A_1$  și  $A_2$  în fig. 10.63 fiind menținute rectilinii, bobina este supusă la o operație de întindere prin care se obține forma dorită a capului de bobină.

Operația de întindere a bobinei (v. fig. 10.66) se execută cu ajutorul dispozitivelor de întindere cu acționare manuală sau cu acționare mecanică, numite în practica curentă șabloane de întindere. Un astfel de şablon (fig. 10.67) se compune dintr-o placă de bază 1 pe care poate aluneca un cursor 2, atât placă cît cursorul fiind prevăzute cu canale 3' și 3'' în care se introduce bobina. Întinderea bobinei se obține prin deplasarea cursorului 2 pînă ajunge la opritorul 4. După întindere, bobina capătă forma din fig. 10.66, b, iar apoi se consolidează prin legături cu sfoară sau cu bandă albă.

Utilizarea unui astfel de dispozitiv pentru formarea bobinelor are două dezavantaje și anume : disponerea după formare a mânunchiu-

rilor bobinei nu se face după o suprafață cilindrică, iar formarea capului de bobină este complet necontrolată. Primul dezavantaj este înălțurat prin utilizarea unui dispozitiv de tipul celui reprezentat în

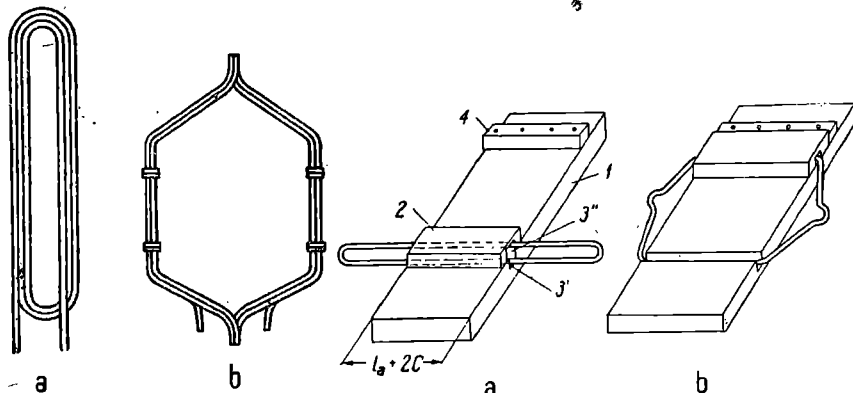


Fig. 10.66. Bobină semitare înainte (a) și după (b) operația de întindere.

Fig. 10.67. Formarea bobinelor semitari cu săblon special.

fig. 10.68, care se întrebunează la Uzina de Mașini Electrice din București. Folosind notațiile din fig. 10.68, a se stabilesc relațiile :

$$h + K = c + R_m \quad (10.59 \text{ a})$$

$$R_m = c + h \quad (10.59 \text{ b})$$

de unde :

$$c = \frac{K}{2} \quad (10.59 \text{ c})$$

$$h = R_m - \frac{K}{2} \quad (10.59 \text{ d})$$

$$a = \frac{K}{2} \operatorname{ctg} \frac{\alpha_1}{2} \cdot \quad (10.59 \text{ e})$$

Aceste valori se calculează, cunoscute fiind :  $K$ ,  $R_m$  și  $\alpha_1$  (din dimensiunile bobinei finite) și dispozitivul se reglează în consecință.

Pentru obținerea unei forme corecte a capului de bobină, se regurge la dispozitive complete care execută și întinderea bobinei și asigură totodată formarea corectă a buclei bobinei.

În confectionarea bobinelor semitari pot fi folosite și săbloane universale de tipul celui reprezentat în fig. 10.69.

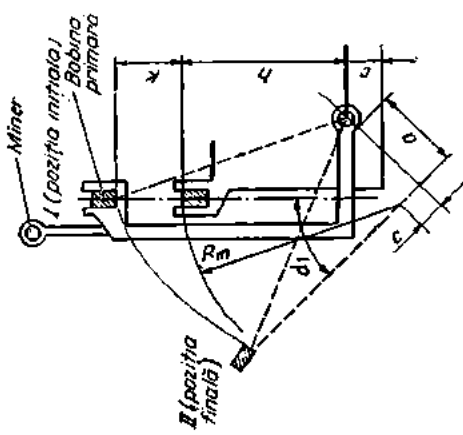


Fig. 10.68. Dispozitiv pentru formarea bobinelor semitari, cu actionare manuală :  
a — schema cinematice a dispozitivului; b — introducere bobine în dispozitiv.

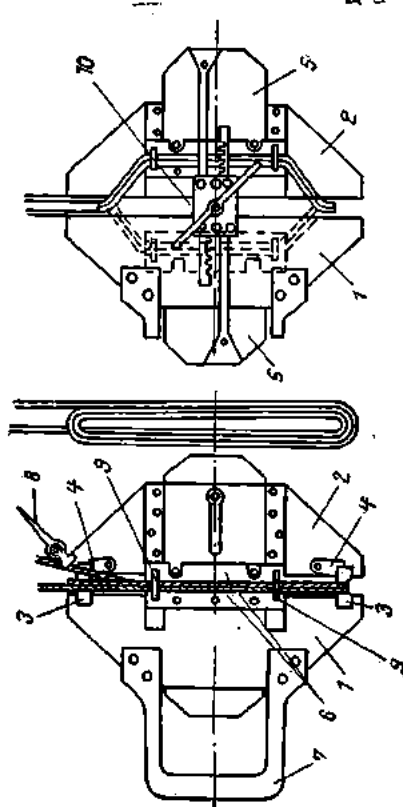


Fig. 10.69. Sablon universal pentru confectionarea și formarea bobinelor semitari.

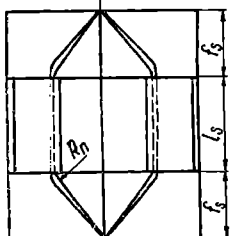
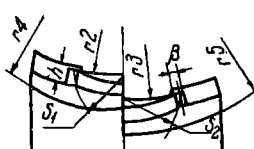
#### 10.5.4. Confecționarea bobinelor tari (rigide) ; șabloane și dispozitive

La confeționarea bobinelor tari (rigide) se folosesc șabloane și dispozitive a căror construcție și utilizare este determinată de construcția și de numărul de spire ale bobinei. Astfel, în cazul bobinelor cu mai multe spire se procedează similar cu bobinile semitari, în timp ce la bobinile cu o spiră sau cu o semispiră confeționarea acestora are caracterul de operație de formare.

##### *Şabloane și dispozitive pentru confeționarea bobinelor cu mai multe spire*

Constructiv, șabloanele pentru confeționarea acestor bobine sunt similare celor pentru bobinile semitari, dar sunt mai rezistente ca acestea din punct de vedere mecanic.

La formarea bobinelor, această operație trebuind să fie făcută cu suficient de mare exactitate, se dă o atenție deosebită la stabilirea profilului şablonului, în special în zona de curbare a capului de bobină. După operația de formare se mai aduc corectări formei capului de bobină, operația fiind denumită *rihtuire*, iar șabloanele folosite în acest scop sunt similare celui reprezentat în fig. 10.70.



Folosind notatiile din fig. 10.43 și din fig. 10.70, dimensiunile şablonului de rihtuit (de format) bobine rigide se calculează cu următoarele relații :

$$h = h_{m_{netz}} + (2 \dots 3) \text{ mm} ; \quad (10.60 \text{ a})$$

$$r_2 = R_1 - (2 \dots 3) \text{ mm} ; \quad (10.60 \text{ b})$$

$$r_3 = R_2 - (2 \dots 3) \text{ mm} ; \quad (10.60 \text{ c})$$

$$r_4 = r_2 + h + 1,5 k ; \quad (10.60 \text{ d})$$

$$r_5 = r_3 + h + 1,5 k + 2r_1 ; \quad (10.60 \text{ e})$$

$$S_1 = 2 \sin \frac{\alpha_1}{4} r_2 ; \quad (10.60 \text{ f})$$

$$S_2 = 2 \sin \frac{\alpha_1}{4} r_3 ; \quad (10.60 \text{ g})$$

$$f_{s1,2} = l_f - \frac{S_{1,2}}{2 \cos \alpha} . \quad (10.60 \text{ h})$$

Fig. 10.70. Şablon pentru formarea bobinelor tari (rigide) ; dimensiunile şablonului.

## Şabloane pentru confectionarea bobinelor cu o spiră și a semispirelor

În procesul tehnologic de executare a bobinelor rigide din conductor bară, nu pot fi despărțite operațiile de confectionare de operațiile de formare a bobinei.

În fig. 10.71 sunt reprezentate fazele prin care trece o bobină rigidă cu o singură spiră în timpul executării ei.

Îndoarea barelor pentru obținerea buclei din fig. 10.71, b se

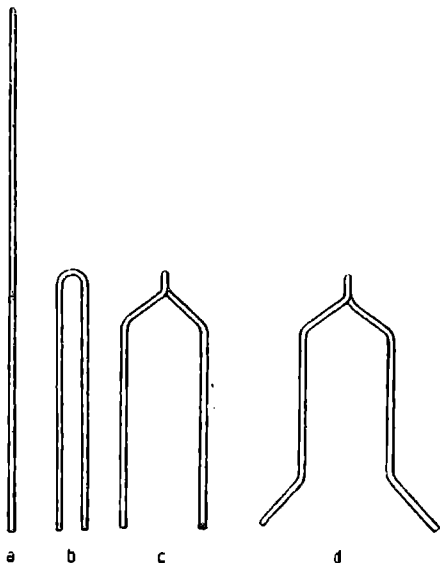


Fig. 10.71 Fazele prin care trece o bobină rigidă dintr-o singură spiră în timpul executării ei.

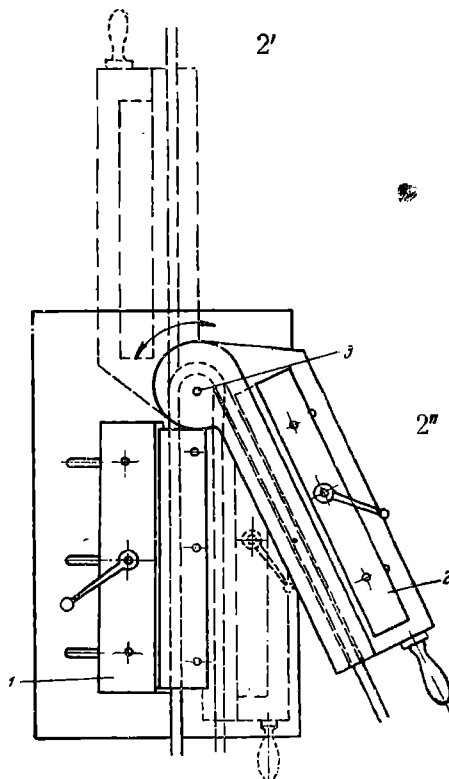


Fig. 10.72. Dispozitiv pentru îndoarea pe muchie (pe cant) a barelor pentru confectionarea bobinei rigide formate dintr-o singură spiră.

face cu ajutorul unui dispozitiv de forma reprezentată în fig. 10.72. Acesta se compune dintr-o placă pe care sunt montate două dispozitive de strîngere a barei (menghine), din care unul este fix 1, iar al doilea 2 se poate roti în jurul axei 3. Prin rotirea dispozitivului 2 din poziția 2' în poziția 2'' se obține bucla spirei.

Pentru formarea capului de bobină se utilizează un şablon similar celui reprezentat în fig. 10.73. Se strângе bucla spirei 1 în menghina 2 a şablonului, iar laturile spirei, cu ajutorul unui ciocan de lemn se aştern de-a lungul ramelor 3 și 4, a căror poziție se stabilește corespunzător deschiderii spirei. Pentru executarea operațiilor de formare a spirei se poate utiliza și dispozitivul reprezentat în fig. 10.74. În această figură se arată modul în care se pot realiza toate operațiile de con-

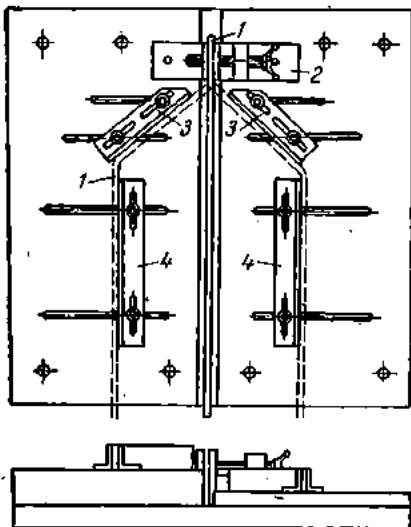


Fig. 10.73. Dispozitiv (şablon) pentru formarea capului bobinelor rigide formate dintr-o singură spiră (conductor-bară).

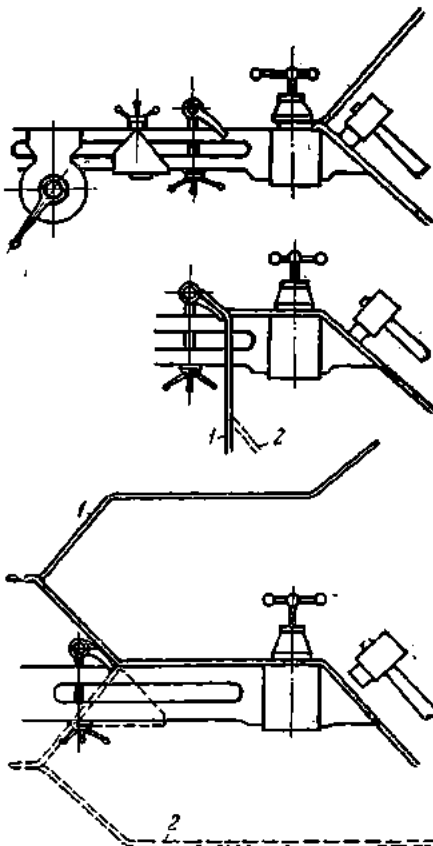


Fig. 10.74 Dispozitiv reglabil pentru confectionarea bobinelor rigide dintr-o singură spiră și operațiile de formare a spirei.

fecționare și formare a bobinei din conductor bară cu acest dispozitiv. Pentru confectionarea de semibobine din conductor bară se poate utiliza și dispozitivul reglabil din fig. 10.75. Spre deosebire de acela reprezentat în fig. 10.74, acest dispozitiv se prezintă cu ușu-

riță la executarea unui mai mare număr de tipuri de bobine, reglajul distanțoarelor 3 fiind foarte simplu de executat. Indoirea barei se realizează cu ajutorul pirghiei 4 prevăzută cu cama 5.

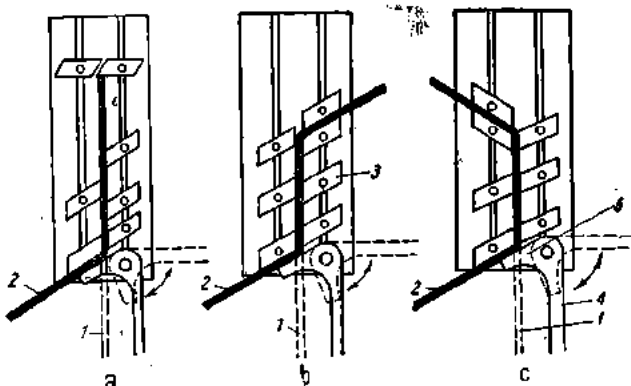


Fig. 10.75. Dispozitiv reglabil pentru confectionarea semi-bobinelor (semispirelor) din conductor-bară.

După realizarea acestor operații, este necesară formarea bobinei după o suprafață cilindrică. În acest scop se utilizează fie dispozitivul din fig. 10.76 fie (pentru curbura barei în zona capului de bobină), dispozitivul din fig. 10.77.



Fig. 10.76. Dispozitive pentru formarea bobinelor pe suprafață cilindrică.

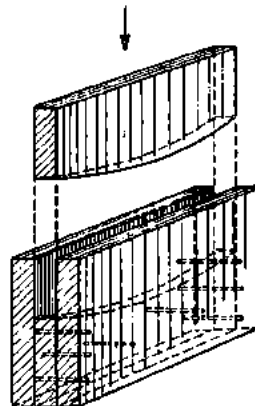


Fig. 10.77. Dispozitiv pentru formarea (rihuirea) capului de bobină.

### 10.5.5. Confecționarea bobinelor cu transpoziții

În cazul curentilor mari, secțiunea conductorului de bobinaj rezultă mare și datorită așezării în crestătură, la funcționarea mașinilor la turația nominală apar pierderi suplimentare mari. De aceea se recurge la divizarea conductorului în conductoare elementare.

La utilizarea de conductoare rotunde, numărul conductoarelor elementare dispuse în paralel este limitat la maximum șase conductoare. În cazul conductoarelor de secțiune dreptunghiulară, pentru asigurarea unei funcționări în condiții similare la toate conductoarele elementare (pentru evitarea producerii de curenti de circulație între conductoarele în paralel), este necesar ca fiecare conductor să ocupe succesiv toate pozițiile din crestătură. Aceasta se realizează cu ajutorul transpozițiilor.

Transpozițiile se realizează în două forme constructive :

— cu bare încrucișate, așa cum este reprezentat în fig. 10.78 și se aplică la încrucișări de cîte două bare vecine avîndu-se grija ca secțiunea în zona încrucișării să nu fie mai mică decît secțiunea conductorului elementar ;

— cu bare răsucite, conform cu reprezentările din fig. 10.79.

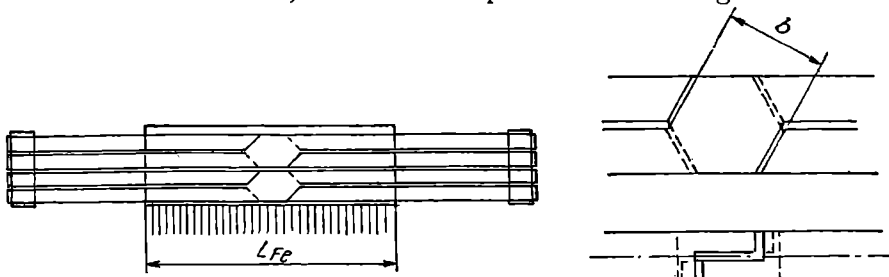


Fig. 10.78. Realizarea transpozițiilor prin bare încrucișate.

În fig. 10.79, se reprezintă cazul transpungerii prin răsucire la un număr redus de conductoare elementare și etapele de confeționare : conductoarele gata pentru formare (răsucire) (fig. 10.79, a) barele răsucite (fig. 10.79, b) și ansamblul de bare cu transpoziții (fig. 10.79, c).

În fig. 10.80 este reprezentată realizarea transpozițiilor prin răsucire în cazul unui număr mai mare de bare elementare (la mașinile electrice de mare putere).

Pentru realizarea transpozițiilor, barele elementare se profilează așa cum se arată în fig. 10.80, a, lungimea porțiunii de deviere a barei depinzînd de numărul de conductoare elementare  $n$  și de distanța  $a$ .

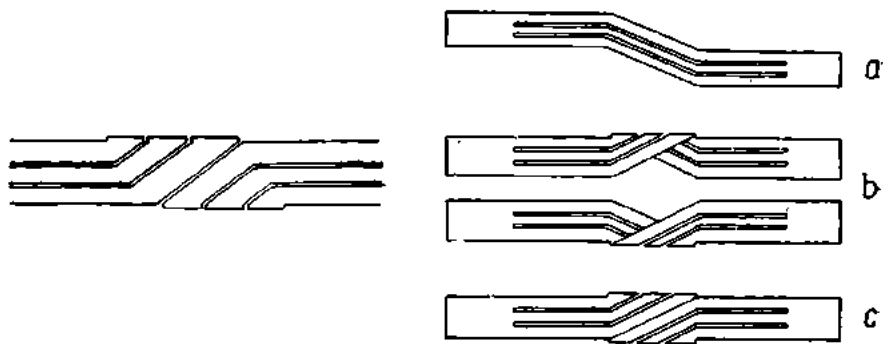


Fig. 10.79. Realizarea transpozițiilor prin bare răsucite:  
 a — ansamblu de bare gata pentru formare; b — ansamblu de bare înclinate; c — ansamblu cu transpozițiile realizate.

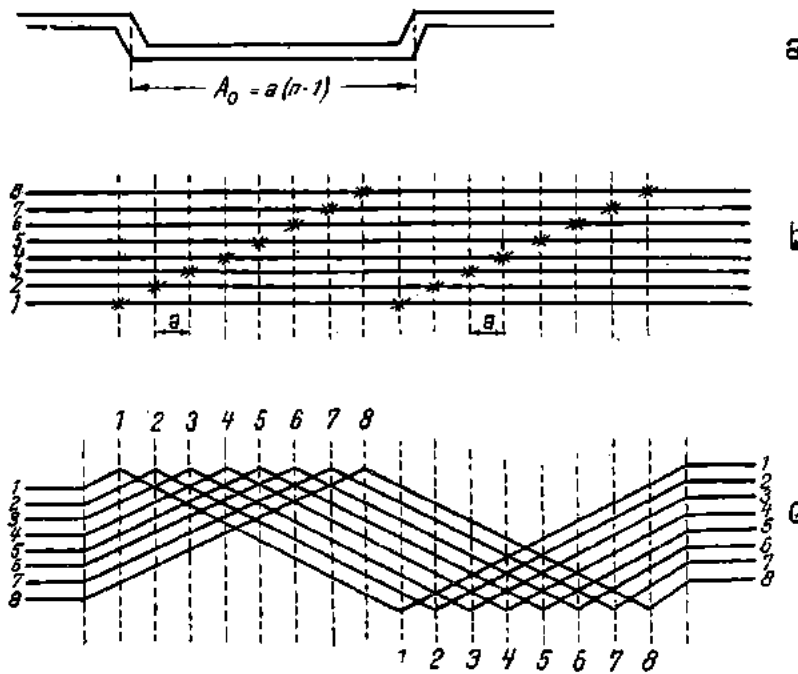


Fig. 10.80. Executarea transpozițiilor barelor impletești:  
 a — disperarea porțiunilor de trecere la un conductor elementar; b — disperarea porțiunilor de trecere pe o jumătate a barei; c — schema de principiu a transpozițiilor conductoarelor elementare ale unei jumătăți de bară.

intre transpoziții. Cunoscind că de-a lungul creștăturii transpozițiile fiind  $2n$ , rezultă că distanța  $a$  între două transpoziții se poate calcula cu relația

$$a = \frac{l_{Fe}}{2n+1} \quad (10.61)$$

$l_{Fe}$  fiind lungimea miezului feromagnetic.

Impletirea barelor pentru realizarea transpozițiilor se execută în următoarele etape : așezarea conductoarelor în trepte, operație denumită și împachetarea conductoarelor elementare ; îndoirea în portiunea de trecere și impletirea propriu-zisă. La împachetare conductoarele elementare se așează în trepte cu ajutorul unui şablon (pieptene), având forma reprezentată în fig. 10.81. Pachetul de bare consolidat pe lungime cu ajutorul unor scoabe de oțel (fig. 10.82) este supus operației de îndoire, pentru treceri, folosindu-se un dispozitiv cu camă profilată (fig. 10.83). Impletirea barelor elementare conform schemei reprezentată în fig. 10.80, c se execută manual.

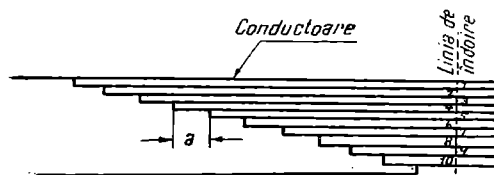


Fig. 10.81. Pieptene pentru completarea pachetului de benzi ale barei conductoare.

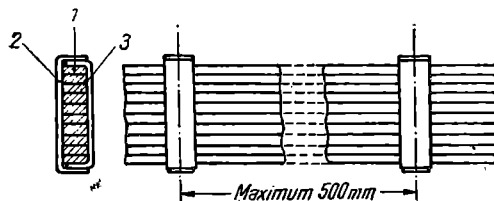


Fig. 10.82. Fixarea barelor conductoare în scoabe :

1 — benzi conductoare; 2 — scoaba de sus; 3 — scoaba de jos.

La realizarea izolației bobinelor cu transpoziții se ține seamă dacă conductoarele elementare sunt neizolate sau izolate. Între conductoarele vecine neizolate se introduc benzi de micanită de 0,25 mm. Cind conductoarele elementare sunt izolate, între jumătățile de bară se introduc izolații verticale de micanită de grosime cuprinsă între 0,8 și 1,0 mm, forma acestora fiind reprezentată în fig. 10.84. Benziile au lățimea egală cu înălțimea unei bare neizolate. În portiunile de trecere se introduc plăcuțe de micanită având o formă rombică, între toate conductoarele elementare (cind acestea sunt neizolate) sau la întâlnirea conductelor aparținând la jumătăți diferite de bară (în cazul conductoarelor elementare izolate).

După executarea izolației între conductoarele elementare se ajustează portiunile de trecere, după care barele de transpoziții se pre-

sează la cald, pentru a forma un conductor compact. În vederea pre-sării barelor cu conductoare elementare neizolate, acestea se ung cu lac de bachelită care se lasă să se zvinte la 50—60 °C timp de 3—4 ore. Ansamblul barelor se infăsoară cu un strat de bandă de bumbac și apoi cu cîteva straturi de hîrtie parafinată, iar apoi se presează la 140—160 °C timp de 60 min pentru barele din conductoare elementare izolate, sau timp de 2,5 ore pentru cele realizate cu conductoare elementare acoperite cu lac de bachelită.

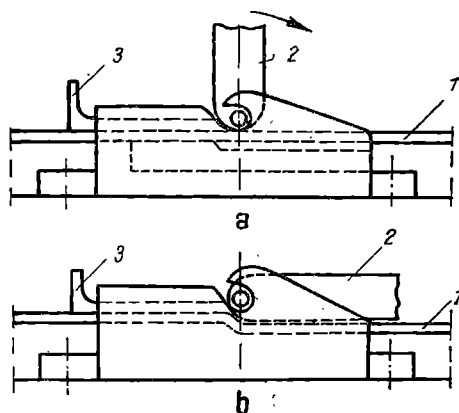


Fig. 10.83. Dispozitiv pentru îndoarea barelor la locul de trecere :

a — la introducerea și fixarea barei; b — după îndoarea barei; 1 — conductorul; 2 — pîrghie cu camă profilată; 3 — pană pentru fixarea conductorului în dispozitiv.

Izolarea la exterior a barelor cu transpoziții se execută la fel ca la bobinele tari.

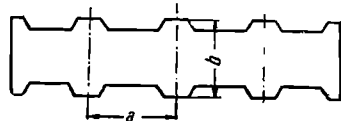


Fig. 10.84. Placă verticală izolantă din micanită, ce se introduce între jumătățile unei bare cu transpoziții.

## 10.6. IZOLAREA BOBINELOR ÎNAINTE DE INTRODUCEREA LOR ÎN CRESTĂTURI

Bobinele semitari și bobinele tari se izolează înainte de a fi introduse în crestături. Se deosebesc două metode de izolare dependente de forma izolației : una pentru bandă electro-izolantă, iar alta pentru materiale electroizolante sub formă de foi sau folii.

### 10.6.1. Izolarea bobinelor cu bandă

*Izolarea cu bandă* poate fi făcută, așa cum este reprezentat în fig. 10.85 în trei moduri : bandă infășurată rar (a), bandă infășurată cap la cap (b) sau bandă aşezată suprapus (c).

Aplicarea benzii poate fi făcută manual sau cu ajutorul mașinilor de izolat cu bandă, de tipul celei reprezentată în fig. 10.86. La izolare bobinei cu bandă, trebuie să se lucreze cu multă atenție, evitându-se punctele de discontinuitate (neuniformitate) sau goluri în izolației bobinei, precum și supraîngroșări inutile ale izolației.

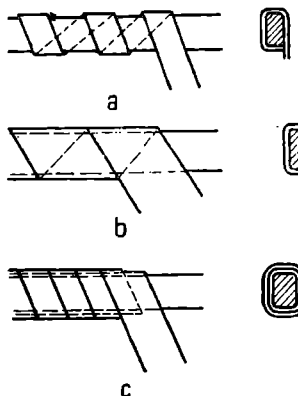


Fig. 10.85. Moduri de izolare cu bandă a laturilor bobinelor :  
a — înfășurare rară; b — înfășurare cap la cap; c — înfășurare jumătate suprapus.

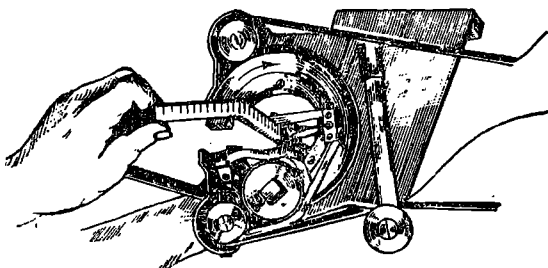


Fig. 10.86. Mașină de izolat cu bandă.

La aplicarea benzilor izolante se are în vedere și natura materialului benzii și a izolației ce trebuie în final realizată. Astfel, aplicarea unei izolații cu bandă din țesătură de fire de sticlă constă în general dintr-un strat de bandă aplicată jumătate suprapus pe porțiunea dreaptă a bobinei, în zona capetelor de bandă, banda putind fi aplicată la fel sau cap la cap.

Prin izolarea cu micabandă a bobinelor se realizează unul din următoarele două sisteme de izolație : sistemul clasic și sistemul de izolație continuă impregnate cu rășini sintetice.

În sistemul clasic se folosește micabandă cu lac oleobituminos.

Izolarea cu micabandă se poate face manual sau cu mașina. Ordonea de așezare a micabenzi de-a lungul conturului bobinei este arătată în fig. 10.87, iar începutul acestei operații se execută conform fig. 10.88.

În tot timpul izolării micabanda este înfășurată în același sens. Pentru asigurarea unor izolări corecte a bobinei, în timpul izolării cu micabandă este necesar ca :

- banda de mică să fie crudă (umedă) și suficient de flexibilă;
- fiecare strat de micabandă trebuie să fie așezat jumătate suprapus;
- micabanda să fie așezată strîns. Aceasta se realizează prin tensionarea cu mîna sau cu benzi de bumbac după aplicarea micabenzi;

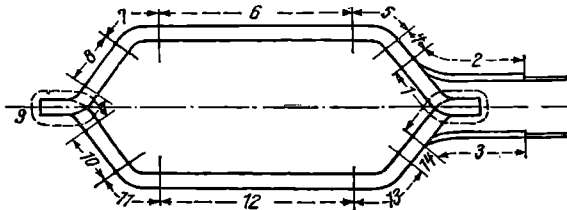


Fig. 10.87. Ordinea de izolare a unei bobine tari cu micabandă.

Tabela 10.29

Tensiunea nominală a înfășurării V	C mm
Pînă la 150	8
150—400	10
401—700	12
701—1 200	16

— la ruperi, începutul benzii se așează sub capătul rupt cu o suprapunere care să nu depășească înălțimea stratului care se izolează; suprapunerea nu se poate face decât pe partea lată a bobinei.

Pentru realizarea unei izolații cît mai uniforme în diferitele porțiuni ale bobinei, ținindu-se seamă de forma construcțivă a acestora, se alege bandă lată de 25—35 mm pentru izolarea porțiunilor drepte, iar pentru zona capetelor de bobină se întrebuintează benzi înguste (10—20 mm). Pentru evitarea supraîngroșărilor izolației, în cazul utilizării benzilor late la izolarea capetelor de bobină, în zona coturilor se practică decupări în lățimea benzii, păstrîndu-se aceeași număr de straturi ale izolației.

În cazul izolării bobinelor cu micabandă, alegerea lățimii benzii se stabilește conform indicațiilor din tabela 10.29.

Pentru tensiuni nominale mai mari la 3 000 V numărul de straturi necesare cu care se izolează porțiunea dreaptă a bobinei se alege cu ajutorul diagramei din fig. 10.89.

La rezolvarea izolației și deci la stabilirea numărului de straturi de micabandă trebuie ținut seamă că pe diferite porțiuni ale bobinei

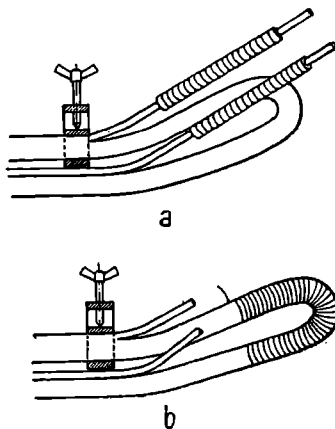


Fig. 10.88. Începutul izolării bobinei :

a — izolare capetelor de legătură;  
b — izolare buclei capului de bobină.

acest număr nu este același. Astfel, pentru izolarea unei bobine pentru tensiunea de 6 kV, pe porțiunile drepte și la curburi se aplică 10 straturi, pe porțiunile frontale ale capului de bobină 8 straturi, iar la buclă — 5 straturi.

După izolarea cu micabandă, bobina este supusă operației de impregnare sau compundare. Prin strîngerea corespunzătoare a materialului (fig. 10.90), se obține o izolație uniformă. După impregnare se face calibrarea bobinei pe porțiunile drepte, corectându-se izolația pentru obținerea cotelor din desen.

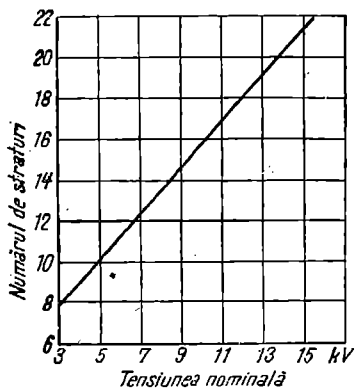


Fig. 10.89. Numărul de straturi de micabandă în funcție de valoarea tensiunii nominale a înfășurării.

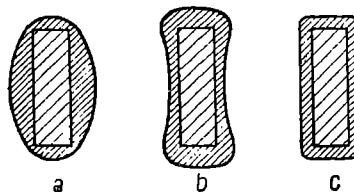


Fig. 10.90. Bare izolate cu micabandă înainte și după compundare :

a — înainte de compundare; b — după compundare, cind micabanda a fost slab înfășurată; c — după compundare, cind micabanda a fost bine înfășurată.

Cind pentru izolarea bobinei se folosesc mai mult de 10 straturi de micabandă, aplicarea benzii se poate face în două sau trei etape, alternate cu operația de impregnare.

În construcția modernă a mașinilor electrice, izolarea bobinelor se realizează în principiu cu micabandă folosind ca material de impregnare rășini sintetice. S-au dezvoltat sistemele de izolație cunoscută sub denumirea : Termalastic (Westinghouse-S.U.A.) Micalastic (Siemens S.W.-R.F.G), Micapol (General Electric-S.U.A.), Micardur (B.B.C.-Elveția), Romicafil (Micafil-Elveția). În țara noastră, Institutul de cercetare și Proiectare pentru Industria Electrotehnică (ICPE) în colaborare cu Uz. Electropuțere-Craiova și cu Fabrica de Mașini Electrice a U.C.M.-Reșița au realizat un sistem de izolație folosind micabandă și rășini sintetice.

Trecerea la sistemul nou de izolare a fost determinată de obținerea unei comportări mai bune a izolației barelor cu izolație continuă la variații repetitive ale temperaturii. În realizarea izolației cu micabandă și rășini sintetice se folosește micabandă cu foită de mică sau

hîrtie de mică pe un suport, preferabil țesătură din fire de sticlă, iar ca liant o râșină sintetică, în cele mai multe cazuri râșină epoxidică. Sînt două moduri de lucru, determinate de conținutul de liant al benzii, respectiv cu sau fără impregnare după aplicarea micabenzii pe tot conturul bobinei. După aplicarea benzii izolante bobinele sînt trecute la operațiile de uscare și impregnare cu lacul pe bază de râșini sintetice, după care, pe porțiunea dreaptă, se lasă la cald în vederea realizării atît a dimensiunilor necesare, cît și a întăririi râșinii din componența benzii și a lacului de impregnare. Presarea se face în dispozitive de tipul celor reprezentate în fig. 10.91, iar încălzirea, în cazul utilizării benzilor Romica (Micafil), durează 3 ore la  $120 \dots 135^\circ\text{C}$  sau 90 min la  $145^\circ\text{C}$ . Pentru a evita aderarea bobinei la dispozitivul de presare, se aplică pe suprafața ei o foaie sau o bandă intermediară (bandă sau foliu de tereftalat de polietilenă, hîrtie cu lac siliconic, hîrtie parafinată etc.). Întărirea completă se realizează încălzind la  $110 \dots 120^\circ\text{C}$  timp de  $10 \dots 12$  ore bobinele scoase din presă, în unele cazuri introduse deja în crestăturile miezului feromagnetic.

Întrucît prin întărirea râșinei de-a lungul întregului contur al bobinei se obțin bobine tari (rigide), pentru a se realiza bobinele se-

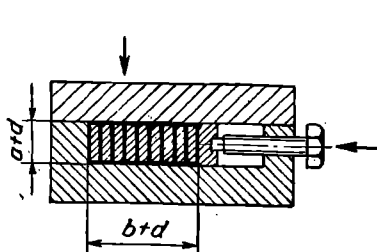


Fig. 10.91. Sisteme de presare a bobinelor după aplicarea izolației cu micabandă și râșină sintetică (după Micafil).

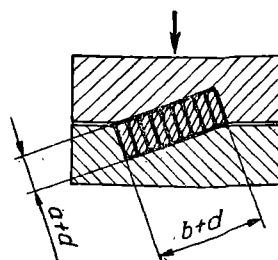


Fig. 10.92. Sistem de presare a bobinelor izolate cu micabandă pe suport de țesătură din fire de sticlă și râșină epoxi.

mitari în acest sistem de izolare, se poate proceda fie la izolarea și tratarea întii a porțiunii drepte a bobinei după întărirea completă aplicîndu-se micabanda în zona capetelor de bobină, sau se asigură în timpul presării la cald a bobinei râcirea corespunzătoare a zonelor capetelor de bobină izolate.

În fig. 10.92 se arată sistemul de presare a bobinelor la motoarele de  $160\text{ kW}$ ,  $6\text{ kV}$ ,  $600\text{ rot/min}$  realizate la Uz. Electropuțere-Craiova în sistemul de izolare cu micabandă pe suport de țesătură din fire de sticlă și râșină expoxidică.

În tehnica izolării bobinelor mașinilor electrice de înaltă tensiune în ultimii ani au fost realizate sisteme folosind benzi izolante lipsite de mică (foiță sau hîrtie de mică). Astfel de benzi izolante sunt : benzi de cauciuc siliconic (Dow Corning, SUA), sau benzi din țesătură de sticlă cu râșină epoxidică (Fuji Denki, Japonia), acest din urmă sistem pentru tensiuni pînă la 11 kV. Prin izolarea cu benzi de cauciuc siliconic, se deschide posibilitatea realizării mașinilor de înaltă tensiune în clase de izolație superioare clasei B din sistemul clasic, putîndu-se merge eventual la clasa de izolație F și H.

#### 10.6.2. Izolarea cu folii a porțiunii drepte a bobinelor

La folosirea de materiale sub formă de folii (foi) izolația bobinei se compune din teaca izolantă continuă (pe porțiunea dreaptă), micabandă (pe părțile frontale ale capetelor de bobină) și pînză lăcuită pe suprafața capetelor bobinei (în cazul izolației mixte).

Înainte de începerea izolării porțiunilor drepte ale bobinelor se execută izolarea legăturilor, părților frontale și buclelor capetelor de bobină, după care se izolează coturile.

După executarea izolației curburii se trece la confectionarea tecii din micafoliu, aceasta constînd din : aplicarea micafoliului, rularea materialului și presarea tubului.

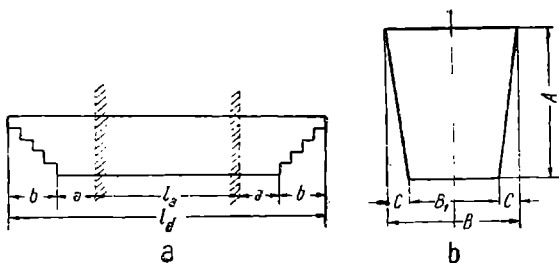


Fig. 10.93. Șabloane de trasare pentru izolația coturilor (a) și a micafoliului tecii continue pe porțiunea dreaptă (b) a bobinelor.

Pentru trasarea izolației se folosesc șabloane avînd forma reprezentată în fig. 10.93, a. Distanța  $a$  (fig. 93, a) corespunzînd stratului exterior de micabandă trebuie respectată cu strictețe, asigurîndu-se astfel o grosime normală a tubului izolant al porțiunii drepte a bobinei la ieșirea din crestătură a acesteia. De asemenea trebuie respectată cu strictețe așezarea în trepte uniforme a straturilor de micabandă.

Dimensiunile foliului izolant sunt funcție de lungimea porțiunii drepte ( $l_d$ ) și de secțiunea bobinei și se stabilesc cu ajutorul șablonului reprezentat în fig. 10.93, b. Dimensiunile acestui șablon se calculează astfel :

— lățimea  $A$  a șablonului se calculează cu relația :

$$A = n \cdot f = \frac{d}{t} (a + b + d), \quad (10.62)$$

în care

$n = \frac{d}{2t}$  este numărul de straturi de micafoliu necesar pentru obținerea grosimii izolației,  $t$  fiind grosimea micafoliului, iar  $d$  — grosimea bilaterală a tecii izolante ;

$f$  este perimetru mediu al secțiunii porțiunii drepte a bobinei, care, conform cu notațiile din fig. 10.94 se calculează cu relația

$$f = 2 (a + b + d); \quad (10.63)$$

celelalte dimensiuni ale șablonului din fig. 10.93, b au următoarea semnificație :

$B$  este lungimea totală a tubului izolant (a tecii izolante) ;

$C$  este lungimea conului în zona de trecere la izolația cotului (curburii) ;

$B_1$  este lungimea porțiunii compacte a tubului (tecii) așezată pe latura bobinei.

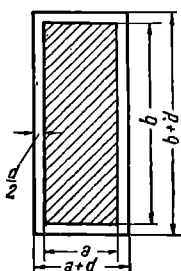


Fig. 10.94. Notarea dimensiunilor mănușchiului izolat cu teaca din micafoliu.

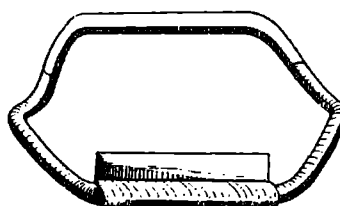


Fig. 10.95. Aplicarea micafoliului pentru realizarea tecii izolante continuă.

Aplicarea micafoliului pe bobina unsă cu un lac de încleiere se face manual, aşa cum se arată în fig. 10.95. Deasupra ultimului strat de micafoliu se aşază  $1\frac{1}{2} \dots 2$  straturi de hîrtie parafinată de 0,07 mm acoperită cu lac de încleiere, iar peste acesta se adaugă cîteva straturi

de preșpan de 0,1—0,2 mm, care servesc numai pentru protejarea mecanică a tubului în timpul operației de rulare.

Rularea se realizează prin strângerea izolației în jurul bobinei, la temperaturi cuprinse între 180 și 200 °C (teci aplicate pe bare) sau între 200 și 250 °C (teci aplicate pe bobină). Operația de rulare se realizează cu ajutorul unor mașini speciale de rulat prevăzute cu dispozitive de călcare de tipul reprezentat în fig. 10.96.

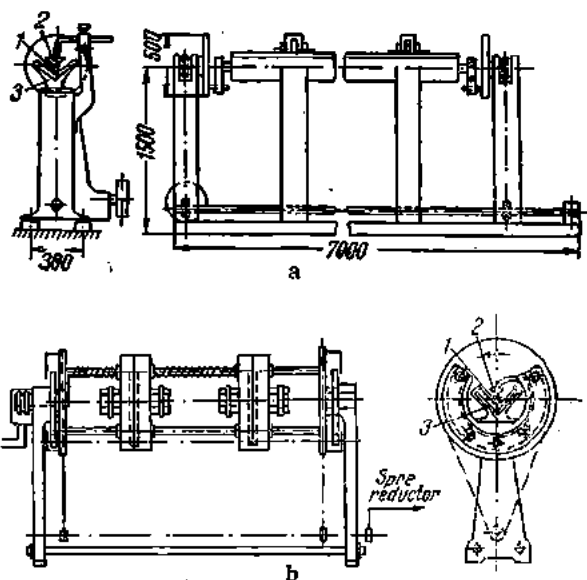


Fig. 10.96. Dispozitiv pentru călcarea tecii izolante din micafoliu.

Fig. 10.97. Mașini de rulat teaca izolantă a bobinelor : a — pentru rularea tecii izolante a barelor; b — pentru rularea tecii izolante a bobinelor închise.

În practică se folosesc mașini pentru rularea izolației barelor și mașini pentru rularea izolației bobinelor întregi. În fig. 10.97 sunt reprezentate schematic aceste mașini. La mașina pentru rularea izolației barelor, dispozitivul de călcare este fix, bara 1 rotindu-se între suprafețele active ale călcătorului. Pentru rularea tecii izolante a bobinelor închise, bobina este fixă, călcătorul fiind în mișcare de rotație. Durata rulării tuburilor izolante pentru bobine de dimensiuni mici este de 20—30 min (pentru o latură de bobină), putând ajunge pînă la 45 min.

În atelierele de reparații, în locul mașinilor complicate pentru rularea izolației barelor de dimensiuni pînă la 600 mm se poate folosi un dispozitiv similar celui reprezentat schematic în fig. 10.98.

Presarea tubului se execută *la rece* (adică pe prese fără încălzire) imediat după operația de rulare, tubul și întreaga bobină fiind în stare caldă din timpul rulării. Executarea presării după răcirea bo-

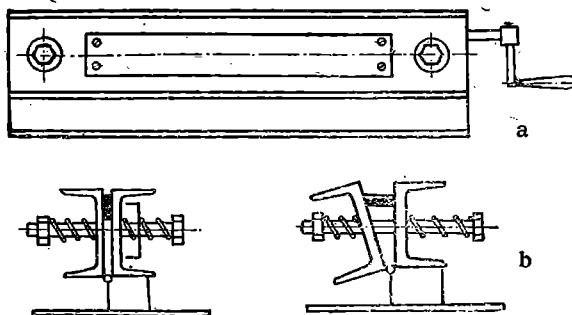


Fig. 10.98 Dispozitiv pentru rularea izolației barelor (a) cu rotirea barei între piesele de călcare (b).

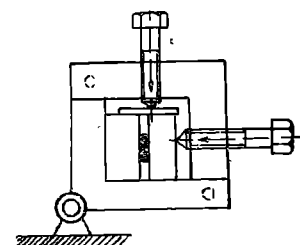


Fig. 10.99. Presă manuală cu suruburi pentru presarea teacelor rulate.

binei și a tubului întărit nu este recomandată, întrucât tubul se detriorează. Presele folosite la această operație sunt de obicei cu acțiune manuală (fig. 10.99).

În atelierele de reparații se folosesc simultan mai multe prese de acest gen montate în linie pe o placă comună.

În cazul bobinelor destinate infășurărilor cu tensiune nominală de 6 kV sau peste această valoare, teaca izolantă presată la rece se mai supune unui tratament de presare la cald, prin aceasta îndepărându-se resturile de diluant din locul de încleiere și aerul dintre straturile de micafoliu. Această operație este obligatorie pentru bobinele mașinilor de mare putere (peste 4 000 kW).

Operația de presare la cald se execută cu ajutorul unei prese hidraulice. Timpul total de presare, inclusiv răcirea în presă a bobinei, durează pînă la 2 ore, temperatura plăcilor dispozitivului de presare în timpul presării fiind de 180 °C. În timpul presării, teaca izolantă se protejează printr-o infășurare cu preșpan de grosime 0,15—0,20 mm.

## **10.7. INTRODUCEREA BOBINELOR ÎN CRESTĂTURĂ ; BOBINAREA**

### **10.7.1. Etapele procesului tehnologic de bobinare**

Executarea operațiilor legate de bobinarea mașinilor electrice necesită o calificare ridicată a lucrătorilor bobinatori, căci de modul în care sunt îndeplinite aceste operații depind caracteristicile funcționale ale mașinii. Bobinatorul trebuie să cunoască în amănunt toate operațiile care compun procesul de bobinare, să cunoască construcția înfășurărilor, a bobinelor, a izolațiilor, precum și caracteristicile materialelor folosite în construcția înfășurărilor și caracteristicile ce trebuie să fie realizate de înfășurare.

Etapele principale ale procesului tehnologic de bobinare a mașinilor electrice sunt în general următoarele :

- pregătirea miezului magnetic în vederea bobinării ;
- izolarea crestăturilor și a suportilor pentru capetele de bobină ;
- introducerea bobinelor în crestături ;
- executarea conexiunilor bobinelor ;
- executarea conexiunilor la borne (pentru înfășurările din stator) și la sistemul de colectare (colectare, inele de contact) pentru înfășurările din rotor ;
- încercarea înfășurărilor.

După executarea acestor operații statorul sau rotorul este gata pentru impregnare și respectiv pentru montare.

### **10.7.2. Pregătirea miezului magnetic în vederea bobinării**

Pregătirea miezului magnetic constă în examinarea pachetului și îndepărțarea eventualelor bavuri sau scurtcircuitări între tole. Miezul magnetic se suflă cu aer și se acoperă prin pulverizare cu un strat fin de vopsea de protecție. Izolația inelelor de contact și a colectoarelor montate pe arbore se încearcă cu megohmmetru pentru a constata că nu există puneri la masă sau contacte electrice între lamelele colectorului.

În vederea bobinării, miezurile magnetice se aşază în atelierul de bobinat într-un loc luminos, curat și suficient de larg, astfel încât să fie accesibil din toate direcțiile. Rotoarele se aşază pe stative

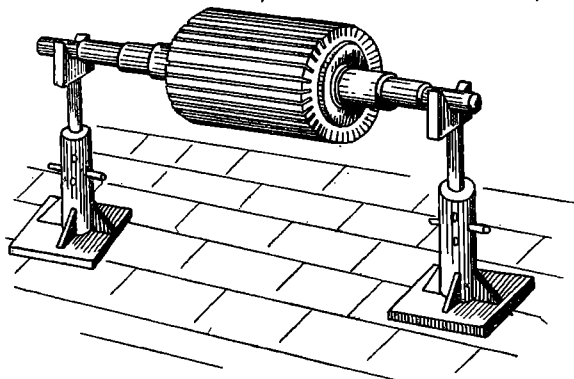


Fig. 10.100. Stative (capre) reglabile pentru asezarea rotoarelor în vederea executării operației de bobinare.

(capre fig. 10.100) iar statoarele se aşază pe postamente (mesă), astfel ca să se poată lucra cât mai comod.

### 10.7.3. Izolarea miezului feromagnetic

*Izolarea crestăturilor : teaca izolantă  
a crestăturii*

În această fază a procesului tehnologic se introduc în crestături elementele izolației confectionate separat : izolația la fundul crestăturii și teaca izolantă.

Din punct de vedere constructiv se deosebesc două tipuri de tecii izolante și anume : teacă deschisă și teacă închisă.

Teaca deschisă utilizată în construcția mașinilor de tensiune joasă se confectionează din fișii de material electroizolant.

Debitarea fișilor din foi se face cu foarfece de mână sau foarfece cu role, lățimea fișilor stabilindu-se în funcție de perimetru cresăturii și ținându-se seamă că, după introducerea în crestătură, este necesar ca teaca izolantă să depășească crestătura cu 10...15 mm pe fiecare parte (fig. 10.101). Tecile se formează manual (prin îndoire), sau mecanic cu ajutorul unei matrițe cu poanson (fig. 10.102, a) de același profil ca și crestătura sau cu ajutorul unui dispozitiv cu role profilate corespunzător conturului (v. fig. 10.102, b). Se execută ma-

nual indoirea capetelor și prin formare se obține în final teaca reprezentată în fig. 10.103.

In fig. 10.104 este arătat un rotor cu pachetul de tole (fabricat de Intr. Electromotor-Timișoara) și avind tecile izolante introduse în crestături.

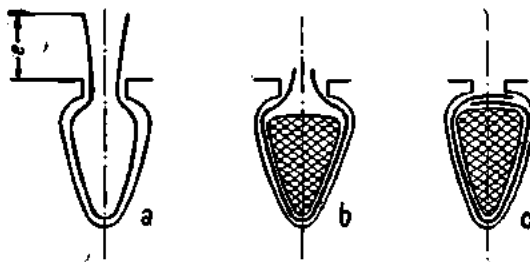


Fig. 10.101. Fazele confectionării tecii izolante deschise :

**a** — la introducerea conductorelor în crestură; **b** — după introducerea conductorilor; **c** — la închiderea cresturii; ( $e=10 \dots 15 \text{ mm}$ ).

În cazul producției de serie mare, în întreprinderile constructoare de mașini electrice pentru confectionarea țevilor izolante ale crestăturilor se folosesc mașini automate.

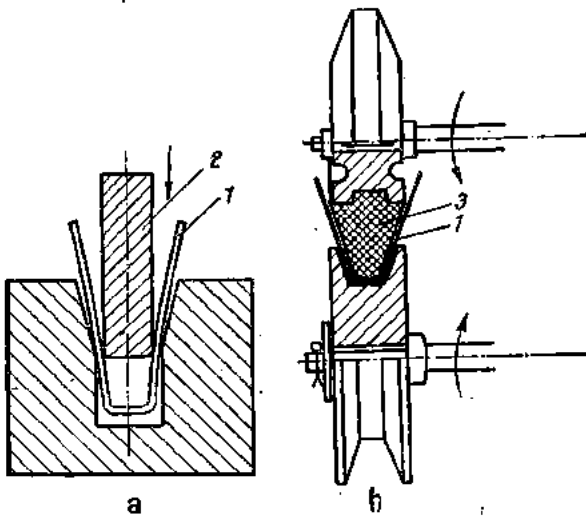


Fig. 10.102. Formarea tecii izolante deschise :

**a** — în matră; **b** — cu dispozitiv cu două role; **1** — teacă izolantă;

**2** — poansonul matrăi; **3** — rolă cu bandaj din cauciuc tare.

După introducerea în crestătură, tecile izolante se calibrează după forma crestăturii cu ajutorul unei pene de lemn (de preferință mes-teacăn sau plop de munte), al cărei profil are forma crestăturii (fig. 10.105).

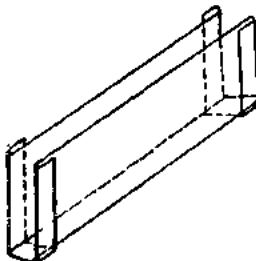


Fig. 10.103. Teacă izolantă deschisă complet formată, gata pentru introducerea în crestătură.

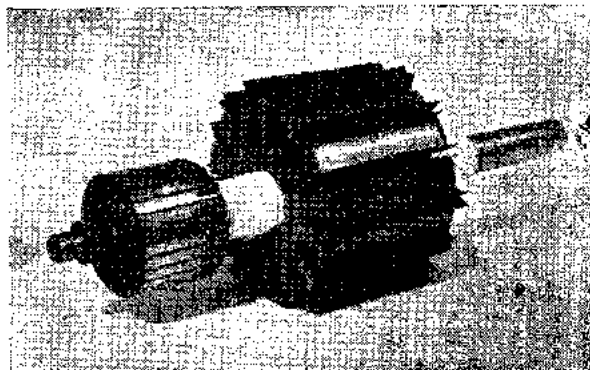


Fig. 10.104. Pachetul de tole rotoric cu tecile izolante introduse în crestături în vederea bobinării (Întrepr. Electromotor — Timișoara).

În cazul rotoarelor motoarelor mici, se poate recurge la execuția completă a tecii direct pe miezul feromagnetic, cu ajutorul unui dispozitiv cu mișcare automată (v. fig. 10.106).

Teaca închisă se execută separat (la infășurările realizate prin coasere).

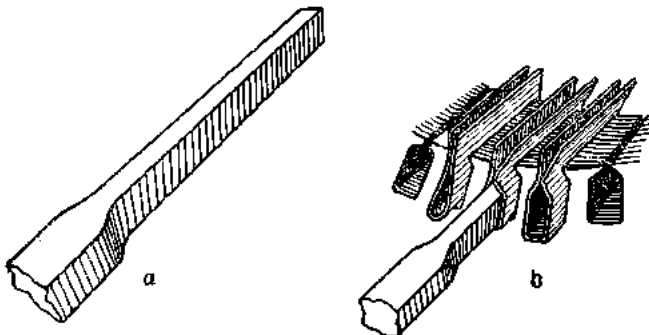


Fig. 10.105. Pană pentru formarea tecilor deschise în crestătură (a) și formarea tecilor în crestătură cu ajutorul penei (b).

La alegerea materialului pentru confectionarea tecilor închise, trebuie ținut seama de valoarea tensiunii nominale și de clasa de izolație a infășurării. Astfel, pentru infășurări de joasă tensiune, tecile se confectionează din micanită flexibilă, micafolii sau preșpan.

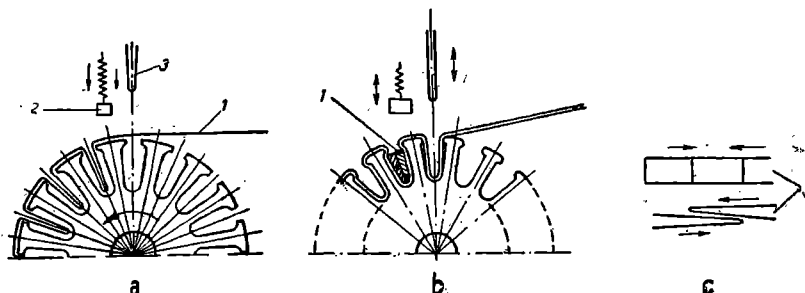


Fig. 10.106. Realizarea tecii izolante a crestăturii la rotoarele mașinilor electrice de putere mică :

a — introducerea materialului în crestătură; b — formarea tecii izolante; c — penele pentru formarea izolației (teci izolante) crestăturii.

Dimensiunile tecilor se stabilesc conform dimensiunilor pachetului pe tole și ale crestăturii; ele trebuie să depășească pachetul de tole în ambele părți, această depășire și grosimea tecilor fiind indicate în tabela 10.30.

Tabela 10.30

Dimensiunea conductorului (diametrul sau înălțimea) mm	$r_0$
Pînă la 8	3
8—12	4
12—15	5
Peste 15	6

Pentru obținerea unei forme similară crestăturii, la executarea tecilor se folosesc forme de presare și pene având profile speciale, așa cum sint reprezentate în fig. 10.107, a, b, c. În toate cazurile, lungimea formelor de presare trebuie să fie mai mare decât cea a tecilor cu 35...40 mm.

Procesul tehnologic de confectionare a tecilor continue constă din pregătirea materialului, rularea materialului și presarea în forme. Rularea materialului se face manual pe penele încălzite. Pe o placă de oțel plană, încălzită la 70...100 °C se aşază o foaie de preșpan având lățimea egală cu un contur al crestăturii. Preșpanul încălzit se rulează pe pene, lăsîndu-se o rezervă de lungime de 75...100 mm pentru presare. Înainte de rulare, penele se ung cu săpun de micanită (parafină 21 părți, vaselină 6 părți, ulei mineral 3 părți, talc 24 părți). La o jumătate de rotație a preșpanului se începe rularea micafoliului (micafoli sau micanită flexibilă), se unge cu lac de incleiere. La exterior, se adaugă un strat de preșpan. În stare caldă, tecile

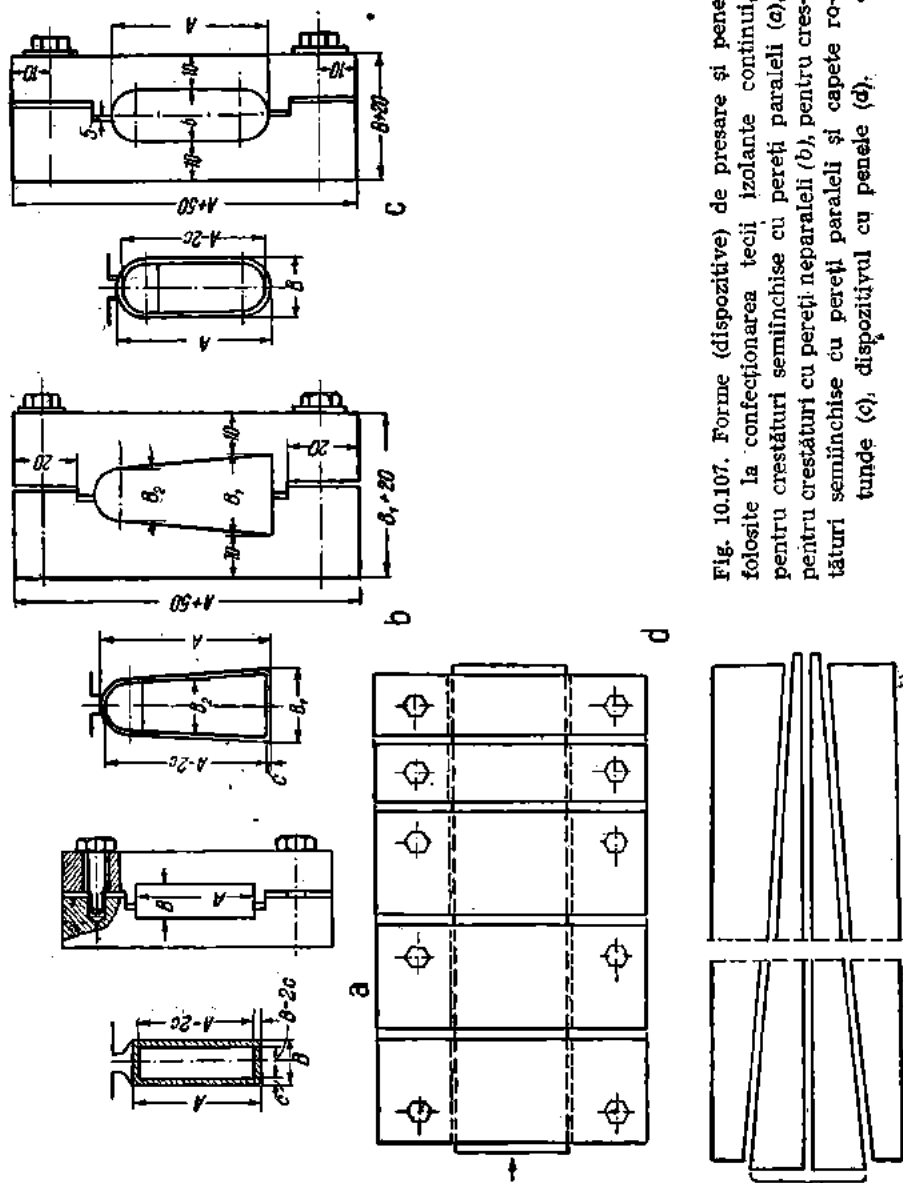


Fig. 10.107. Forme (dispozitive) de presare și penă folosite la confectionarea tecii izolante continuu, pentru creșături cu pereti paraleli (a), pentru creșături cu pereti neparaleli (b), pentru creșături semiinchiise cu pereti paraleli și capete rotunjite (c), dispozitivul cu penă (d).

rulate pe pene se introduc în presele încălzite de asemenea la  $70 \dots 100^{\circ}\text{C}$ . După presare, teaca se lasă să se răcească în dispozitiv, evitându-se accelerarea răcirii care poate provoca umezirea tecii.



Fig. 10.108. Pene pentru calibrarea tecilor izolante continui.

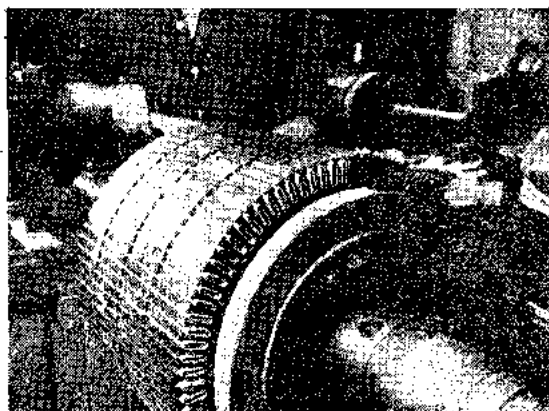


Fig. 10.109. Izolarea crestăturilor unui rotor al unui motor asincron trifazat de  $100 \text{ kW}$ ,  $1000 \text{ rot/min}$ , în vederea bobinării (la Uzina de Mașini Electrice București).

În cazul tecilor izolante tari, introducerea acestora se face manual, de pe o parte a miezului feromagnetic. La intrarea tecilor în crestătură, trebuie avut grijă ca tecile să nu se degradeze.

#### *Izolarea suporturilor pentru capete de bobină*

Modul de izolare al suportului capului de bobină se stabilește în funcție de forma constructivă a acestuia. Când suportul capului de bobină face corp comun cu butucul ventilatorului sau cu butucul

După răcire se bat ușor penele cu un ciocan de cupru pentru a se scoate teaca din forma de presare.

Tecile izolante se păstrează în loc uscat și la temperatură pînă la  $20^{\circ}\text{C}$ . Dacă s-au deformat în timp, se procedează la o îndreptare pe presă, la cald. În cazul unor deformări mici, se poate adopta o simplă recalibrare a tecilor, folosindu-se două pene ca în reprezentarea din fig. 10.108.

Introducerea în creștături a tecilor închise moi se face în același mod, operația fiind însotită de o calibrare cu ajutorul unei pene de lemn avînd profilul creștăturii. În fig. 10.109 este dată fotografia unui rotor cu creștăturile semînchise și cu tecii din preșpan închise.

colectorului (v. fig. 10.110), pentru izolare se aplică materialul sub formă de foi. Pentru ca izolația să nu se depleteze în timpul operațiilor de bobinare, ca și în funcționarea ulterioară a mașinii, este necesar să se folosească un lac electroizolant de încleiere, cu uscarea în aer sau în cupor.

#### 10.7.4. Introducerea bobinelor în crestături

##### *Procedee de introducere a bobinelor în crestături*

La introducerea bobinelor în crestături, operație care formează etapa principală a procesului tehnologic de bobinare a mașinilor electrice, se execută următoarele operații: introducerea conductelor în crestături, închiderea crestăturilor și izolare capetelor de bobină.

Dacă în trecut toate operații se executa în general pe cale manuală, în ultima perioadă de timp s-au introdus în procesul de bobinare o serie de mașini sau dispozitive care înlocuiesc în bună parte operațiile manuale. Aceste mașini și dispozitive sunt denumite în general, *mașini de bobinat*. Cu mașinile de bobinat destinate executării înfășurărilor direct în crestături, pentru statoarele și rotoarele de putere mică și în fabricația în serie mare, s-au obținut rezultate bune, iar productivitatea muncii a crescut de 5—6 ori.

Legat de tipul bobinei, al conductorului și de tipul crestăturii, principalele moduri de introducere a bobinelor în crestătură sunt:

- introducerea radială, prin deschiderea crestăturii semiînchise, a bobinelor conductor cu conductor, procedeu întlnit la înfășurările realizate cu conductor rotund (sîrmă);

- introducerea radială prin deschiderea crestăturii semideschise sau deschise a mânunchiurilor sau a conductoarelor de secțiune dreptunghiulară;

- introducerea axială în crestătură semiînchisă sau închisă, izolată cu teacă continuă a conductoarelor de secțiune circulară, procedeu cunoscut sub denumirea de *coasere*;

- introducerea axială în crestătură semiînchisă sau închisă, izolată cu teacă continuă a conductoarelor de secțiune dreptunghiulară.

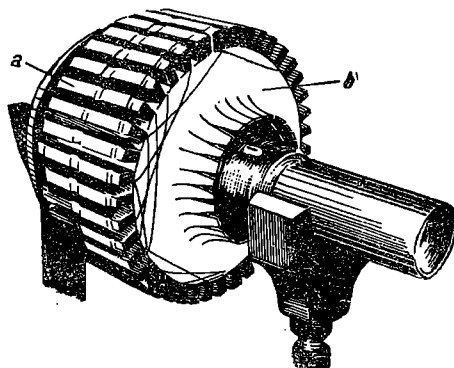


Fig. 10.110. Izolare suportului capului de bobină la indusul unei mașini de curent continuu :

a — izolare părții dinspre colector; b — izolare în partea opusă colectorului.

Bobinarea prin introducerea radială conductor cu conductor este foarte răspândită și se practică de obicei în cazul înfășurărilor de joasă tensiune cu bobine moi așezate în crestături semiînchise. La introducerea radială conductor cu conductor, trebuie avut grije

o așezarea acestora în crestătură să se facă pe cît posibil fără încrucișări, pentru a se evita bobinarea greoai și apariția scurtcircuitelor între spire.

În timpul bobinării, după introducerea a 10—15 conductorare în crestătură este indicat să se preseze conductorale cu o sculă specială denumită călcător (vezi fig. 10.111). Între conductorare și călcător se va introduce obligatoriu, o fișie de preșpan groasă de 2 mm și lată cît crestătura sau o pană de lemn.

Introducerea radială a mânunchiurilor sau conductoralelor de secțiune dreptunghulară se practică în special la înfășurările de tip induș de curent continuu și la înfășurările din statoaarele mașinilor sincrone și asincrone, crestăturile fiind semideschise sau deschise. În cazul crestăturilor semideschise trebuie ținut seama de ordinea de introducere în crestătură a barelor.

Introducerea axială în crestătură semiînchi-

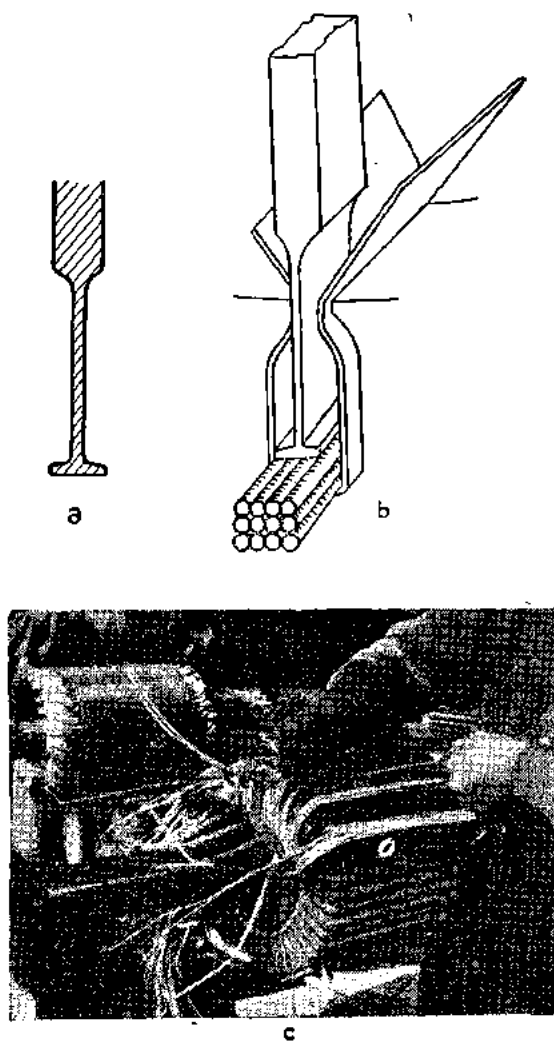


Fig. 10.111. Călcătorul (talpașul) :  
a — profilul călcătorului (secțiune); b, c — operație de călcare a conductorelor în crestătură.

să sau închisă, conductor cu conductor, numită *coasere*, necesită folosirea unor vergele rotunde de oțel (ace) având diametrul egal cu diametrul conductorului de bobinaj izolat, sau pene de lemn (v. fig. 10.112). În teaca crestăturii se introduce un număr de vergele metalice egal cu numărul de conductoare, ce revin pe înălțimea unei crestături sau se recurge la un număr de vergele limitat, restul spațiului din crestătură fiind completat cu pene de lemn.

La bobinarea prin coasere, de o parte și de alta a mașinii care se bobinează, trebuie să se rezerve un spațiu liber suficient, conducto-

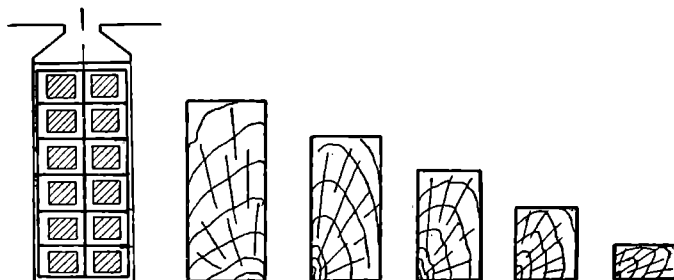


Fig. 10.112. Pene de lemn pentru executarea bobinării prin coasere (tragere).

rul formind bucle mari. Lungimea conductorului se ia de obicei egală cu lungimea necesară executării unei grupe de bobine ; se evită în acest fel un număr mare de lipituri, mai ales la înfășurările cu număr mare de crestături pe pol și fază. După introducerea primei bobine (bobina de contur interior), pe partea ei frontală se aşază garnituri de carton electrotehnic, care să asigure distanța necesară dintre capetele frontale ale bobinelor. Capetele bobinelor se izolează cu bandă albă separat, iar apoi împreună. Uneori se renunță complet la izolarea în părțile frontale, iar consolidarea bobinelor se face cu sfoară. Între grupele de bobine care aparțin diferitelor faze și care se suprapun, se introduc garnituri de preșpan pentru izolație.

#### *Introducerea în crestături a înfășurărilor tip induc de curent continuu*

Înfășurările tip induc de curent continuu se realizează în general cu bobine moi sau cu bobine semitari și numai la puteri mai mari sau la tensiuni mici și curenți mari cu bobine tari (monospiră, semispiră).

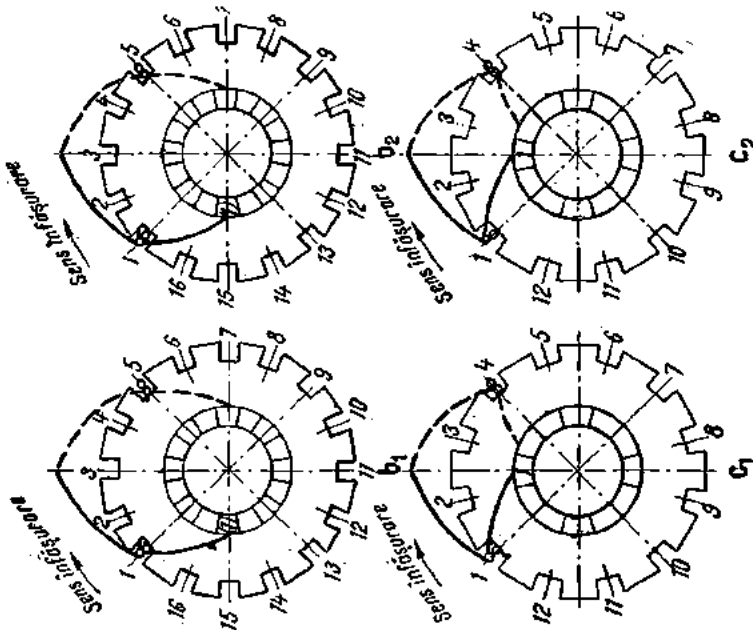
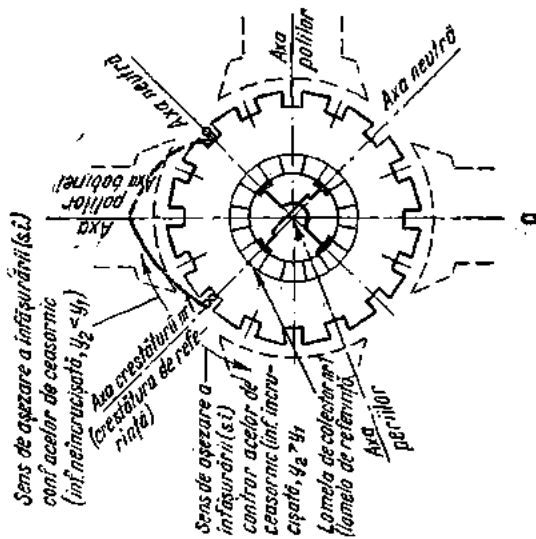


Fig. 10.113.



În ceea ce privește introducerea în crestături a acestor înfășurări, dată fiind marea varietate constructivă se folosesc toate cele patru metode de lucru arătate.

Înainte de introducerea primei bobine se execută marcarea crestăturilor și a lamelelor colectorului montat pe arbore, avindu-se ca reper fie axa de simetrie a bobinei, fie axa primei crestături (crestătura nr. 1). În ambele cazuri trebuie avută în vedere poziția colectorului față de elementul luat ca reper, așa cum este arătat în fig. 10.113.

În acest scop, folosind ca reper crestătura 1 se notează lamela colectorului având numărul de ordine 1, folosind schema frontală a bobinajului (fig. 10.114), după care se fixează, conform schemei desfășurate a înfășurării, sensul de înfășurare. În fig. 10.115 și 10.116 sînt arătate modurile de marcare, folosind ca reper axa crestături 1 pen-

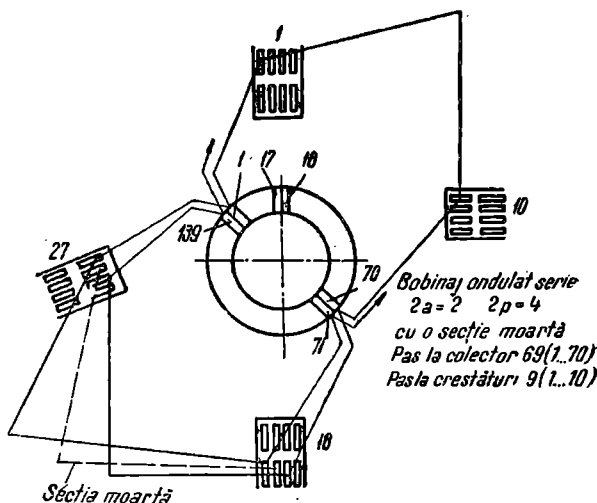


Fig. 10.114. Schema de legături frontale a înfășurării tip induc de curent continuu; marcarea primei crestături și a primei lamele a colectorului.

tru înfășurările bucate (fig. 10.115) și înfășurările ondulate (fig. 10.116). După aceste operații se poate trece la introducerea mănușchiului inferior. Odată cu introducerea laturilor inferioare în crestături, se trag la colector și capetele de legătură din stratul inferior al legăturilor la colector, legăturile din stratul superior fiind resfirate în evantai (fig. 10.117). Dacă bobinele sunt confectionate cu conductor subțire (bobine moi), conductoarele se introduc în crestătură radial, procedindu-se la așezarea corectă a spirelor cu ajutorul călcătorului.

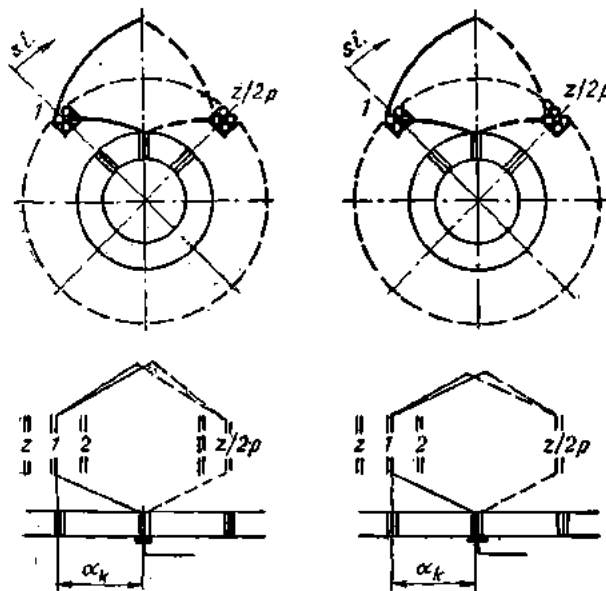


Fig. 10.115.

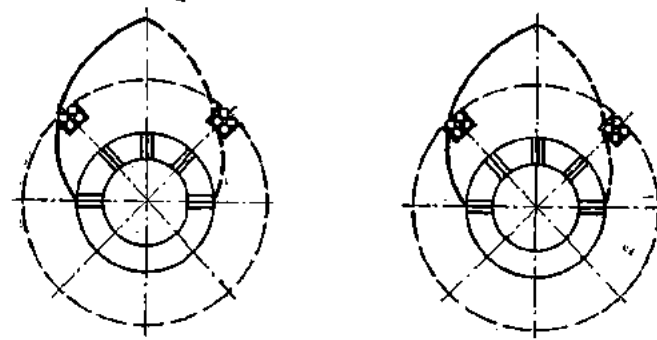
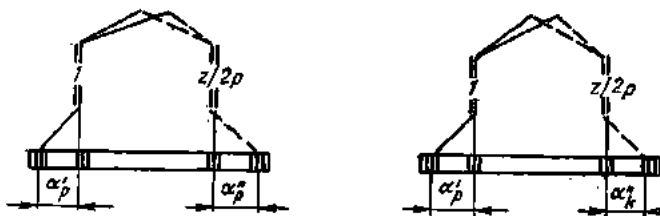


Fig. 10.116.



În cazul acestor bobine moi, scoaterea legăturilor la colector este importantă pentru realizarea unei așezări cît mai uniforme a conduceoarelor. În fig. 10.118 s-au reprezentat scoaterea conductoarelor de legătură la colector corectă (a) și greșită (b). Distanțele  $R$  și  $r$  se

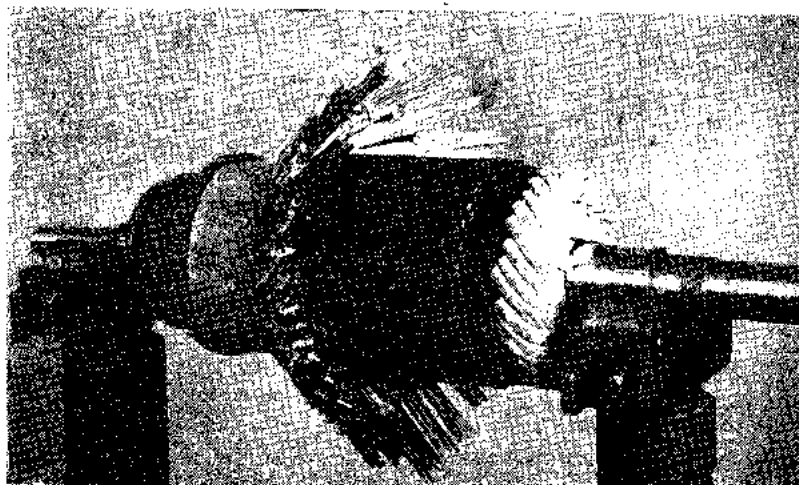
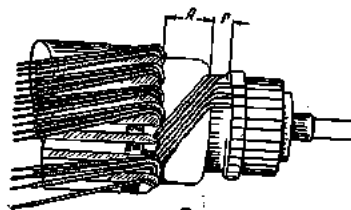


Fig. 10.117. Rotoare avînd infășurarea tip indus de curent continuu introdusă în crestături :

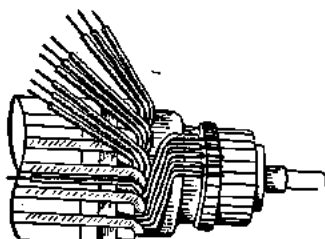
a — înainte de tragerea stratului inferior de legături; b — după tragerea stratului inferior de legături la colector.

stabilesc de la caz la caz, în funcție de diametrul rotorului și pasul la colector al bobinelor introduse în crestături marcate.

O dată cu introducerea bobinelor, se introduc și izolațiile între mânunchiuri (în crestătură), la capetele de bobină și între straturile de conductoare de legătură la colector. În fig. 10.119 se poate urmări modul de așezare a izolațiilor la cele două capete de bobine și la legăturile la stegulete. În acest exemplu, izolațiile sunt realizate cu un material



a



b

Fig. 10.118. Așezarea capetelor de legături la colector:  
a — corectă; b — greșită.

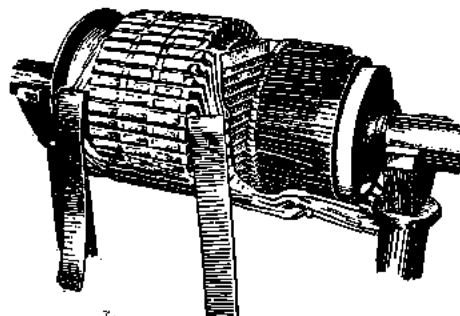


Fig. 10.119. Aplicarea izolației la capul de bobină la infășurările tip induc de curent continuu.

electroizolant combinat (două straturi de țesătură de sticlă lăcuită între care este interpus un strat de hârtie de azbest).

După introducerea tuturor bobinelor în crestătură și aducerea conductoarelor de legătură la colector, se execută închiderea cres-

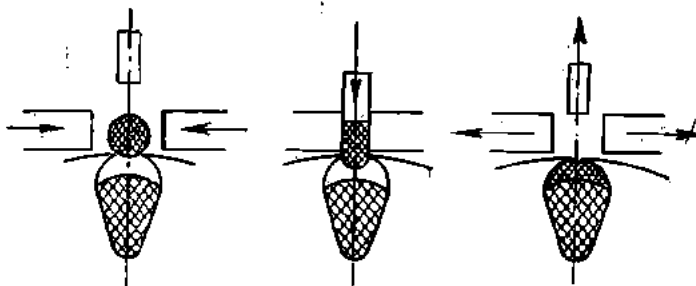


Fig. 10.120. Înciderea crestăturilor la motoarele electrice de mică putere, cu ajutorul unui șnur textil și operațiile de introducere și așezare a șnurului.

tăturii și anume se închide izolația crestăturii, se introduce izolația de sub pană, iar apoi pana. În cazul crestăturilor deschise care nu au prevăzute pene de închidere, se aplică deasupra tecii izolante o fășie de preșpan (izolație sub bandaj) și bandajul de consolidare. La rotoarele mașinilor electrice de mică putere, închiderea crestăturii poate fi făcută cu un șnur textil, așa cum este reprezentat în fig. 10.120. După aceste operații, se execută încercările de control ale izolației față de masă și izolației între spire.

*Executarea bobinării indusurilor mașinilor  
de curent continuu sau universale  
de mică putere*

La rezolvarea înfășurării indusurilor mașinilor electrice de curent continuu de mică putere ca și la motoarele mici universale sau de curent alternativ cu colector, o dată cu introducerea în crestătură se realizează practic și bobinele înfășurării, conductorul fiind de secțiune mică (circular). Dat fiind numărul mare de spire în general la aceste înfășurări ca și numărul mare de astfel de mașini în fabricație și respectiv în exploatare, realizarea înfășurării se face cu dispozitive și mașini de bobinat.

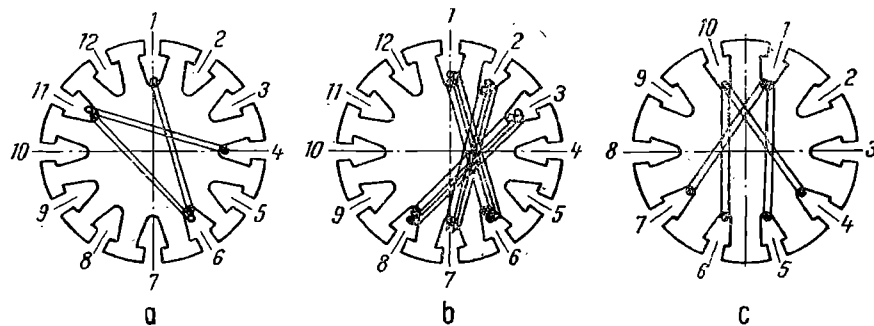
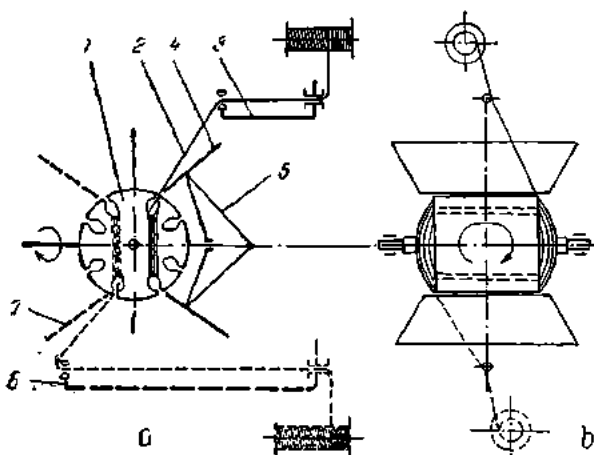


Fig. 10.121.

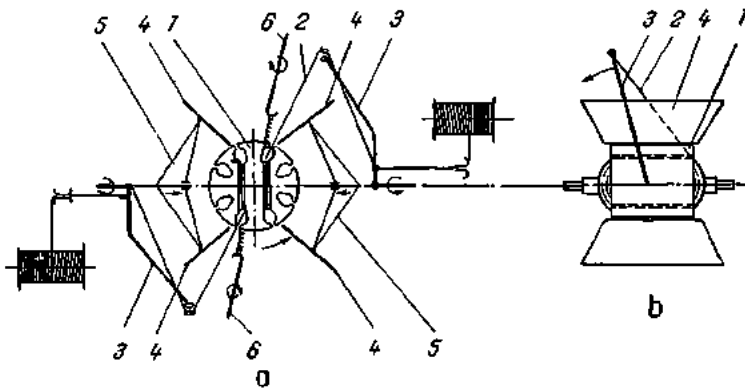
În fig. 10.121 sunt reprezentate posibilitățile de realizare a acestor tipuri de înfășurări, respectiv, în straturi multiple succesive (bobinare succesivă), în straturi alternate și coroane multiple (bobinare consecutivă), în straturi multiple și coroană de grupe de bobine (bobinare simultană) și înfășurare în stea și dublă coardă.

În funcție de diametrul indușului care se bobinează, de conductorul folosit și de datele înfășurării de realizat, se folosesc în executarea acestor înfășurări patru tipuri de mașini de bobinat :



**Fig. 10.122. Schema cinematică a mașinii de bobinat automată pentru motoarele motoarele de mică putere, cu mișcare de rotație a rotorului ce se bobinează :**

**1 — indușul; 2 — conductorul de bobinaj; 3 — brațul de ghidaj al conductorului; 4 — aripi de ghidaj pentru introducerea conductorului în creștătură; 5 — dispozitiv pentru pozitionarea aripiilor de ghidaj 4; 6 — braț suplimentar; 7 — aripi de ghidaj suplimentare, fixe.**



**Fig. 10.123. Schema cinematică a mașinii de bobinat automată pentru motoarele mici, mașină cu braț rotitor, rotorul fiind fix (după Micafil) :**

**1 — indușul; 2 — conductorul de bobinaj; 3 — brațul rotitor; 4 — aripi de ghidaj pentru introducerea conductorului în creștătură; 5 — dispozitiv pentru pozitionarea aripiilor de ghidaj; 6 — braț pentru consolidarea bobinelor.**

— mașină de bobinat cu rotirea indusului în jurul unei axe perpendiculară pe axa arborelui, spirele fiind introduse în crestătură cu ajutorul aripițelor de ghidaj (fig. 10.122) ;

— mașină de bobinat cu rotorul fix la care spirele se introduc în crestătură cu ajutorul unui braț ce se rotește în jurul indusului (fig. 10.123) ;

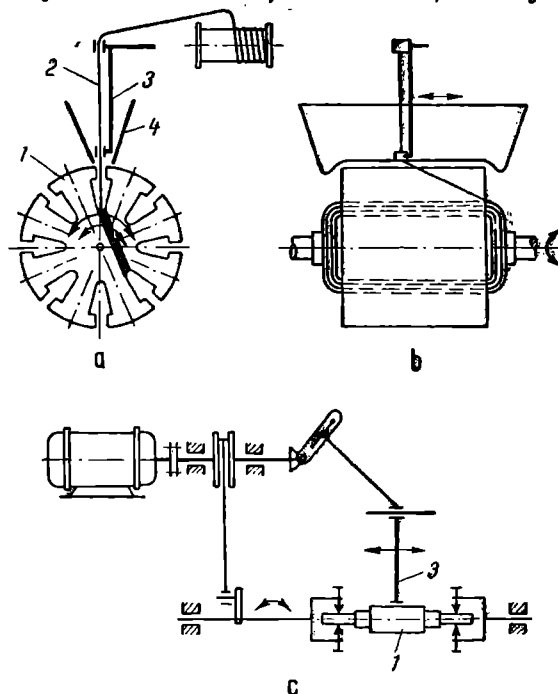


Fig. 10.124. Principiul de funcționare (a, b) și schema cinematică (c) a mașinii automate de bobinat ratoarele motoarelor de putere mică, cu suveică și cu mișcare alternată a indusului :

1 — indus; 2 — conductorul de bobinat; 3 — suveica cu mișcare alternativă; 4 — aripi de ghidaj pentru introducerea conductorului în crestătură.

— mașină de bobinat cu suveică ; la această mașină suveica și conductorul având o mișcare rectilinie alternativă de-a lungul crestăturii, iar indusul o mișcare de rotație alternativă cu cursa egală cu deschiderea bobinei, această din urmă mișcare făcîndu-se alternat după fiecare cursă a suveicăi (fig. 10.124) ;

— mașină de bobinat cu mișcări combinate ale indusului, aceasta executînd atât mișcarea rectilinie alternativă cît și mișcarea de rotație alternativă.

### *Introducerea în crestături a înfășurărilor de curent alternativ*

La introducerea în crestături a bobinelor înfășurărilor de curent alternativ, trebuie ținut seama de tipul constructiv al acesteia și de datele de bobinaj, urmărindu-se și dispunerea corectă a capetelor de bobină.

În cazul înfășurărilor intr-un singur strat cu bobine concentrice cu capetele de bobină dispuse în etaje, este indicat să se introducă

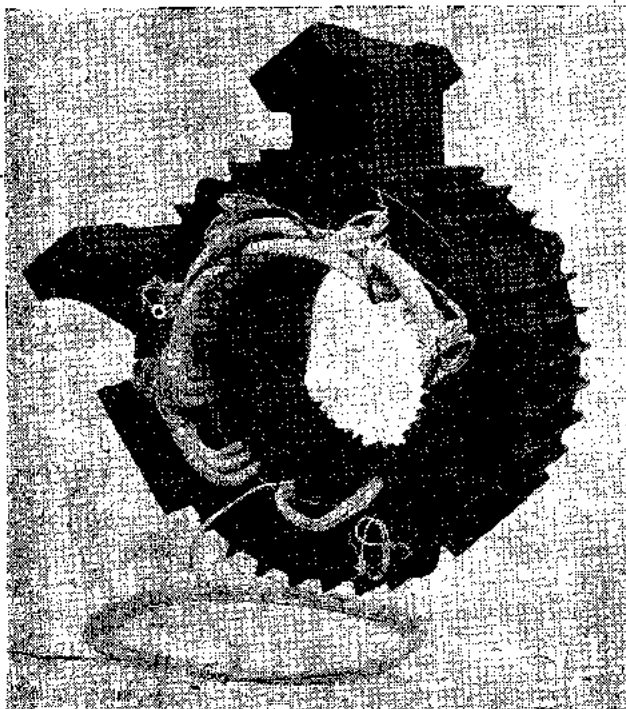


Fig. 10.125. Introducerea în crestături a unei înfășuri trifazate într-un singur strat, cu grupe de bobine concentrice și cu capetele de bobine dispuse în două etaje.

succesiv în crestături bobinele ale căror capete sunt așezate în același etaj; dacă capetele de bobină sunt dispuse în două etaje, se introduc mai întâi bobinele pentru etajul inferior, acestea aparținând la toate cele trei înfășurări de fază (v. fig. 10.125), în timp ce atunci

cînd capetele de bobină sînt dispuse în trei etaje, se introduc numai bobinele ale căror capete se dispun în același etaj aparțin unei singure faze.

În cazul infășurărilor intr-un strat cu capetele de bobine dispuse în coroană de grupe de bobine concentrice, se introduc în crestături la prima grupă de bobine numai laturile de întoarcere. În ordine apoi se dispun toate grupele de bobine, introducindu-se în crestături și laturile de ducere și laturile de întoarcere. Capetele grupelor de bobine succeseive în ordinea bobinării se dispun între ele în coroană. Coroana se închide după ce se introduc și ultimele laturi de bobine (laturile de ducere a primei grupe).

La infășurările intr-un strat, cu bobine egale, avînd capetele dispuse în coroană, se introduc la început în crestături numai laturile de întoarcere a bobinelor care revin unui pas polar. În același sens de bobinare se introduce apoi complet restul bobinelor. Laturile de ducere a bobinelor de pe primul pas polar se introduc ultimele în crestături, capetele acestora închizînd coroana.

În cazul infășurărilor în două straturi, cu capetele de bobine dispuse în coroană de grupe de bobine concentrice sau în coroană de bobine egale, bobinarea se face la fel (v. fig. 10.126). Se introduc la început, în crestături, laturile de întoarcere a bobinelor care revin primului pas polar. Apoi se introduc complet restul bobinelor în ordine succesiivă. La urmă se aşază în crestături laturile de ducere a grupelor de bobine, respectiv a bobinelor cu ale căror laturi de întoarcere s-a început bobinarea.

Atât la infășurările într-un strat, cât și la cele în două straturi, cu capetele bobinelor dispuse în coroană, numărul laturilor de bobine care se introduc ultimele în crestături (în cazul formării unei coroane simetrice) este cu atit mai redus cu cit pasul bobinelor este mai mic. Coroana formată din capetele bobinelor nu apare simetrică dacă laturile de ducere ale primelor bobine nu se introduc ultimele în crestături.

La infășurările în două straturi, se prevede uneori izolație între straturi în zona capului de bobine, (v. fig. 10.127).

În cazul infășurărilor în două straturi cu conductor profilat, se procedeaază la introducerea tuturor barelor din stratul inferior ; după așezarea izolației între bare (între mânunchiuri) se introduc barele din stratul superior al crestăturii. De reținut că în cazul rotoarelor se introduc mai întîi barele cu legătura de întoarcere. Forme consecutive de bare cu legătură de întoarcere sînt reprezentate în fig. 10.128.



Fig. 10.126. Introducerea în creștări a bobinelor înfășurărilor de curent alternativ, în două straturi, cu bobine egale, cu capetele de bobine dispuse în coroană de bobine :  
a — înălțură statorică; b — înălțură rotorică.

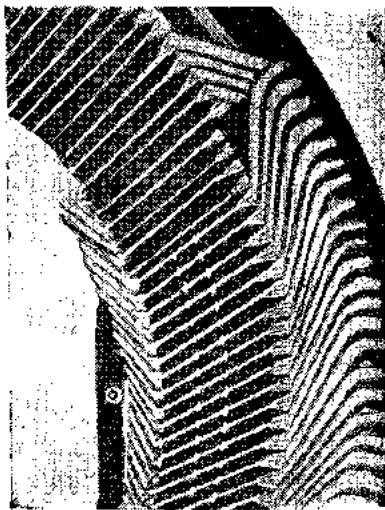


Fig. 10.127. Izolația între straturi în zona capului de bobine la o înălțură de curent alternativ în două straturi,

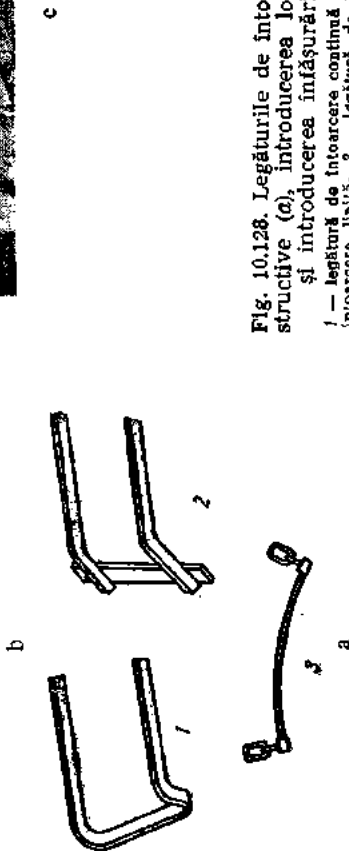


Fig. 10.128. Legăturile de întoarcere. Forme constructive (a), introducerea lor în creșături (b) și introducerea înășurării rotorice (c):  
1 — legătură de întoarcere continuă (întorcă); 2 — legătură de întoarcere cu stegulete;  
3 — legătură lipită;

Pentru realizarea infășurărilor statoarelor mașinilor de curenț alternativ de putere mică, dat fiind numărul mare al seriilor de fabricație, în întreprinderile producătoare s-au introdus în ultimii ani în măsură din ce în ce mai mare mașini automate sau semi-automatice pentru bobinat.

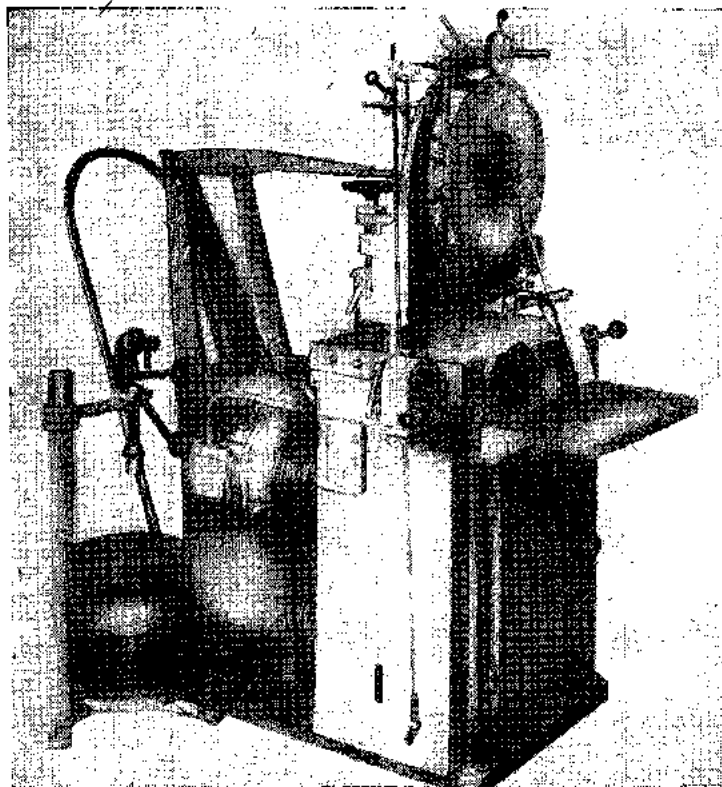


Fig. 10.129. Mașini de bobinat statoare, cu dispozitiv de ghidare sablon.

Se disting patru categorii de mașini de bobinat statoare :

- mașini de bobinat la care suveica realizează o mișcare de reproducere a conturului spirei (mișcare combinată), lucrând deci prin înfiruire ;
- mașină de bobinat la care suveica realizează o mișcare rectilinie alternativă, iar statorul o mișcare circulară alternativă, lucrând de asemenea prin înfiruire ;

- mașină de bobinat cu dispozitiv de ghidare șablon, care permite introducerea în crestătură a bobinelor spiră cu spiră (fig. 10.129) ;
- mașină de bobinat la care bobinele se introduc radial în crestătură de pe șablonul pe care ele săn confectionate, acestea având o utilizare specializată.

## 10.8. EXECUTAREA LEGĂTURILOR ȘI CONEXIUNILOR ÎNFĂŞURĂRILOR

### 10.8.1. Executarea legăturilor la colectorul mașinilor de curent continuu

După tragerea capetelor de legătură la colectoare și introducerea acestora în stegulete după o prealabilă curățire a conductorului, este necesară executarea operației de lipire a acestora la colector.

În timpul lipirii trebuie să se evite arderea izolației conductoarelor de legătură sau depuneri de cositor în spatele steguletelor, sub conductoarele de legătură (care ar provoca scurtcircuit între lamelele de colector). În acest scop se iau următoarele măsuri :

— se izolează suplimentar capetele de legătură prin bandajări cu bandă de azbest ;

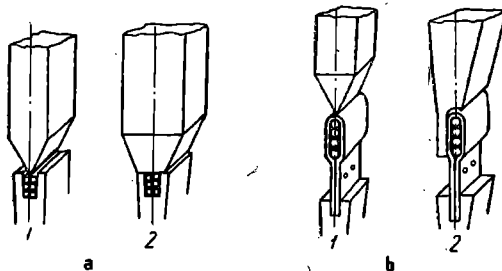


Fig. 10.130. Forme de ciocane de lipit pentru executarea legăturilor la colector :

a — pentru lipituri directe la lamele; b — pentru lipituri la stegulete; 1 — forme necorespunzătoare; 2 — forme corespunzătoare.

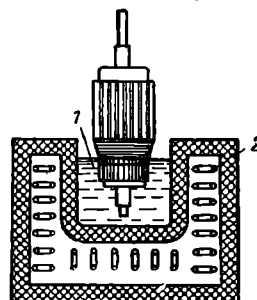


Fig. 10.131. Executarea lipiturii la colector în baie de cositor :

1 — cositor; 2 — elemente de încălzire (rezistență electrică).

— se folosesc ciocane de lipit de formă adecvată profilului stegulețului (v. fig. 10.130) ;

— tot timpul lipirii rotorul este menținut înclinat.

Un mijloc mai productiv de realizare a lipiturilor la colector este reprezentat în fig. 10.131, colectorul cufundându-se într-o baie de cositor topit pînă la nivelul steguletelor. Pentru a feri colectorul și

arborele rotorului de depuneri de cositor, se îmbracă aceste părți cu un strat de glucoză, care se înlătură după cositorire.

În atelierele de reparații și în general pentru executarea legăturilor la colectoarele mașinilor de curenț continuu de putere mică, se poate folosi schema prezentată în fig. 10.132. Tensiunea secundară a

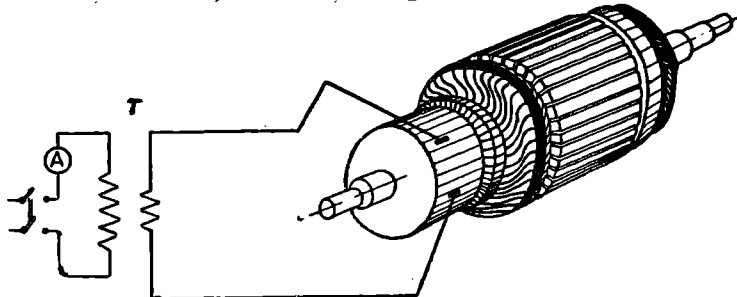


Fig. 10.132. Schema montajului pentru lipirea legăturilor la colector cu ajutorul transformatorului de joasă tensiune  $T$ .

unei transformatori ( $T$ ) de tensiune mică și curenț mare se aplică unei porțiuni din înfășurarea inducției la care urmează să se execute lipurile; apoi prin deplasarea electrozilor pe lamele se alimentează alte porțiuni. Datorită încălzirii locale în punctele de contact imperfecte dintre conductoarele de legătură și stegulețe, acestea se încălzesc și prin topirea cositorului atât de pe capetele conductoarelor de legătură cât și de pe suprafața stegulețelor, se realizează lipirea dintre conductor și steguleț.

#### 10.8.2. Executarea legăturilor și conexiunilor înfășurărilor de curenț alternativ

##### *Legăturile între bobinele aparținând acelieiși faze*

Felul în care se leagă între ele grupele de bobine, respectiv bobinele aparținând acelieiși faze, depinde de tipul de înfășurare (vezi cap. 5). Astfel în cazul înfășurărilor într-un strat cu capetele de bobine dispuse în două etaje grupele de bobine se leagă între ele sfîrșit cu început, sfîrșit cu început și.a.m.d.

Această ordine de legare se păstrează pentru toate înfășurările într-un strat și în două etaje care au pe fază  $p$  grupe de bobine ( $p$  fiind numărul perechilor de poli). În acest caz grupele de bobine succesive care aparțin acelorași faze sunt decalate între ele cu  $2\tau$ . La aceste

înfășurări, numărul de legături care se fac între grupele de bobine va fi egal cu  $p-1$ , în ipoteza că pe fază există o singură cale de curent. În cazul că înfășurarea se realizează cu  $a$  căi de curent în paralel pe fază, numărul de legături pe calea de curent va fi egal cu  $\frac{p-a}{a}$  (v. schemele din cap. 5).

Aceeași ordine de legare a grupelor de bobine pe fază și același număr de legături se păstrează și în cazul înfășurărilor intr-un strat, în coroană de grupe de bobine concentrice, dacă înfășurarea fiecărei faze este compusă din  $p$  grupe de bobine (v. cap. 5).

Cind înfășurările intr-un strat în două etaje sau în coroană de grupe de bobine concentrice au mai mult de  $p$  grupe de bobine pe fază, legăturile dintre grupele de bobine care sunt decalate între ele cu  $\tau$  fac sfîrșit cu sfîrșit, început cu început, iar între cele decalate cu  $2\tau$ , sfîrșit cu început, sfîrșit cu început etc.

La înfășurările bipolare în trei etaje revin pe fiecare fază două semigrupe de bobine, adică două grupe având fiecare  $q/2$  bobine. În cazul acestor înfășurări, semigrupele fiind decalate între ele cu  $\tau$ , se leagă sfîrșit cu sfîrșit. La înfășurările bipolare în trei etaje se scot la placă de borne fie începuturile celor săse semigrupe de bobine, fie sfîrșiturile lor.

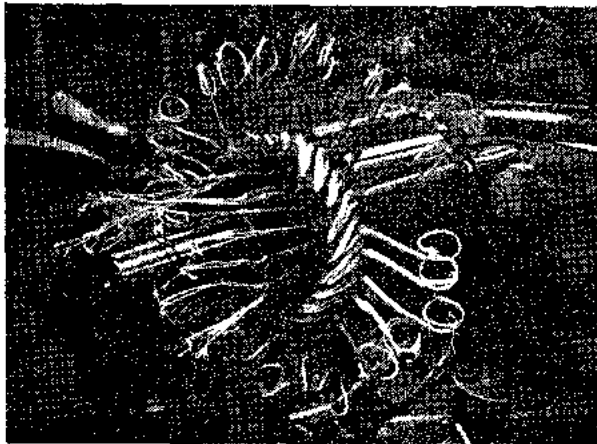
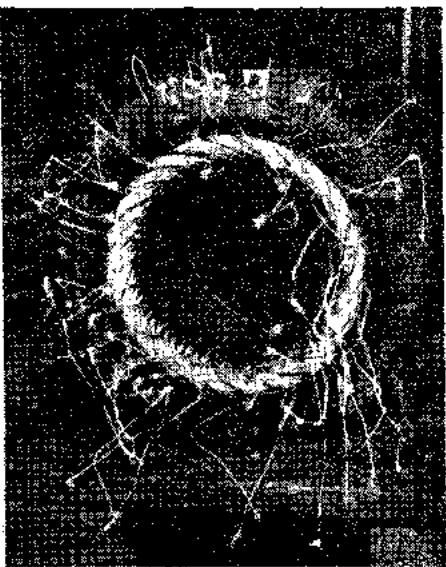
Pentru înfășurările în trei etaje cu 4 sau mai mulți poli, cele  $2p$  grupe de bobine care revin unei faze se leagă între ele alternat, sfîrșit cu sfîrșit, început cu început și.a.m.d. La aceste înfășurări, numărul de legături între grupele de bobine pe fiecare fază va fi  $2p-1$  pentru  $a=1$ . Dacă  $a>1$ , atunci numărul de legături dintre grupele de bobine pe fiecare cale de curent va fi  $\frac{2p-a}{a}$ .

În cazul înfășurărilor în două straturi, legăturile între grupele de bobine care aparțin aceleiași faze se fac alternat sfîrșit cu sfîrșit, început cu început și.a.m.d., dacă fiecărei faze îi revin  $2p$  grupe de bobine. Pentru  $a=1$ , se fac pe fiecare fază  $2p-1$  legături, iar pentru  $a>1$  se fac pe fiecare cale de curent  $\frac{2p-a}{a}$  legături.

Pentru înfășurările în două straturi cu extinderea totală a zonelor, numărul de grupe de bobine care aparțin fiecărei faze este egal cu  $p$ . La acestea, legăturile între grupele de bobine se fac sfîrșit cu început, sfîrșit cu început și.a.m.d. La înfășurările cu extinderea totală a zonelor (v. cap. 5), numărul de legături pe fază, respectiv pe calea de curent, se stabilește cu relațiile :

$$p-1, \text{ respectiv } \frac{p-1}{a}.$$

În cele de mai sus s-a presupus că în toate grupele bobinele au fost inseriate între ele la preformare.



**Fig. 10.133.** Înășurări de curent alternativ gata pentru executarea legăturilor :  
a — înășurare statorică; b — înășurare rotorică.

În fig. 10.133 este reprezentat statorul unui motor asincron avînd capetele grupelor de bobine pregătite pentru executarea conexiunilor.

Conexiunile între bobinele aceleiași faze se pot realiza fie prin lipire, fie prin sudare electrică.

În fig. 10.134 se arată executarea prin sudare electrică a legăturilor infășurării unui stator de mașină asincronă. Pentru sudare, firele se răsucesc între ele. Între doi electrozi de cărbune legați la secundarul unui transformator se provoacă arcul electric, care topesc conductoarele, realizând o sudură locală între acestea.

Legăturile între grupele de bobine sau între căile în parale trebuie executate cu conductoare de secțiune corespunzătoare curentului total care circulă prin acestea.

În cazul infășurărilor executate din semispire (din bare) legăturile între bare se execută prin sudare (cu cupru sau aliaj de cupru-argint) sau lipire cu cositor prin intermediul unei mufe de legătură (fig. 10.135).

Înainte de introducerea mufelor de legătură este necesar să se execute o operație de retezare (de tundere) a capetelor barelor pentru a le aduce în același plan, aşa cum este reprezentat în fig. 10.136, a. Pentru asigurarea unei bune lipiri a mufelor, capetele de bară se recositoresc dacă prin tundere porțiunea cositorită a barei a fost înălțată, cositorindu-se de asemenea și mufele. După aceste operații se poate proceda la aplicarea mufelor de legătură, aşa cum este reprezentat în fig. 10.136, b.

Lipirea mufelor se face de regulă cu ajutorul ciocanului de lipit avînd o formă adecvată a capului. Se consideră că ciocanul de lipit



Fig. 10.134. Executarea conexiunilor între bobine prin sudare electrică, la infășurare de curent alternativ realizată cu conductor rotund.

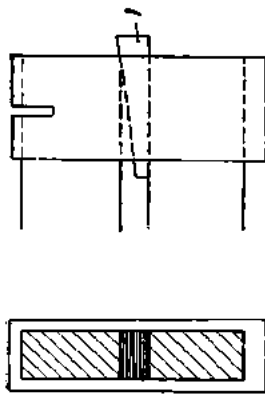


Fig. 10.135. Construcția mufeii pentru legătura între bare la înfășurări în două straturi:  
j — pană.

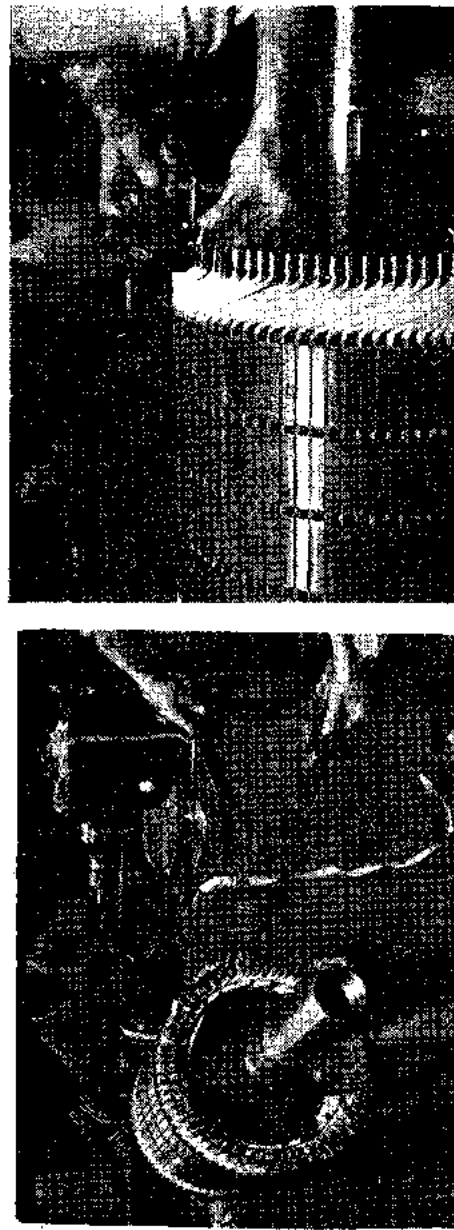


Fig. 10.136. Execuțarea legăturilor înfășurărilor de curent alternativ cu conductor dreptunghiular, prin mufe de legătură:  
a — tinderea capelelor barelor; b — aplicarea mufelor de legătură.

coresponde utilizării atunci cind forma capului permite realizarea unui contact pe o suprafață cît mai mare, pentru ca încălzirea mufei și capului de legătură să se facă cît mai repede și mai uniform (fără supraîncălzire locală). În vederea protejării izolației barelor de evenualele determinări (arderi) în timpul lipirii mufelor, se recomandă izolarea acestora în zona imediat apropiată de mufa cu bandă de azbest sau eventual bandă de sticlă.

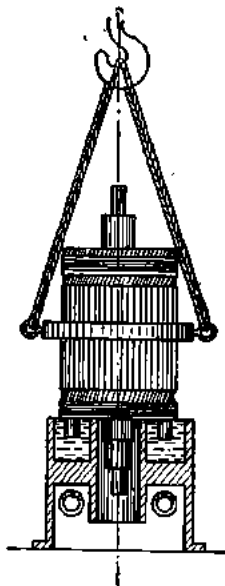


Fig. 10.137. Executarea lipiturilor în baia de cositor la rotorul unui motor asincron, având înfășurarea executată cu bare.

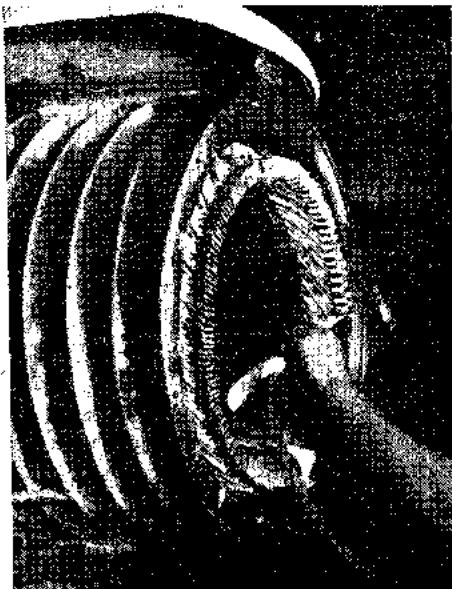


Fig. 10.138. Izolarea mufelor de legătură la o infășurare de curent alternativ în două straturi, în bare, la statorul unui motor asincron.

În cadrul atelierelor de bobinaj, lipirea mufelor la capetele de bobină se face prin introducerea infășurării (numai în zona mufelor de legătură) într-o baie cu cositor în stare topită, așa cum este reprezentat în fig. 10.137.

Metoda aceasta de lucru este foarte productivă, toate lipiturile făcindu-se simultan. Se poate aplica la o gamă mai mare de piese (statoare și rotoare).

După realizarea lipiturilor la mufe, se procedează la izolarea acestora cu materiale electroizolante sub formă de bandă, așa cum este reprezentat în fig. 10.138.

## *Conexiunile fazelor*

Pentru obținerea schemei de conexiune a înfășurării unei armături statorice sau rotorice, este necesară realizarea conexiunilor fazelor direct în înfășurare sau la placa de borne a mașinii.

Conecțarea înfășurărilor fazelor direct în bobinaj se face în cazul mașinilor mici (în stator), la rotoarele motoarelor asincrone și la generațoarele sincrone de mare putere. Legăturile se execută (corespunzător intensității curentului și tensiunii nominale) prin cabluri de legătură, sau printr-o bară de formă specială, similară celei reprezentate în fig. 10.139. Aceste bare sunt prevăzute cu mufe de legătură.

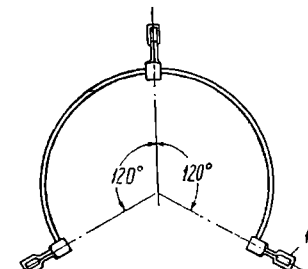


Fig. 10.139. Bară pentru realizarea conexiunilor înfășurărilor fazelor unui rotor de motor asincron trifazat :

1 — mufă de legătură.

apăr datorită forțelor centrifuge (la rotoare), a forțelor datorite vibrațiilor și a forțelor electrodinamice ce se produc în cazul scurtcircuitelor.

*Consolidarea înfășurărilor tip inducție continuu* se realizează prin bandaje de consolidare aplicate în zona crestăturilor, a capetelor de bobină și a legăturilor la colector, așa cum este reprezentat în fig. 10.140.

Consolidarea porțiunii de înfășurare așezată în crestături se realizează încă în timpul bobinării propriu-zise, prin așezarea corectă a mânunchiurilor și a izolațiilor în crestături, prin închiderea crestăturii cu ajutorul penei și în fine prin impregnare.

În cazul înfășurărilor dispuse în crestături deschise și fără pană de închidere a crestăturii, consolidarea se face numai cu ajutorul bandajelor aplicate pe suprafața exterioară a rotorului.

Consolidarea capetelor de bobină și a legăturilor la colector se realizează prin bandajare, astfel încât ansamblul să fie bine strâns și totodată să formeze coroane coaxiale cu arborele rotorului. La rotoarele mașinilor de putere mică se recurge de multe ori la consolidare cu sfoară, așa cum este reprezentat în fig. 10.141.

## **10.9. CONSOLIDAREA ÎNFĂȘURĂRILOR**

### **10.9.1. Sistemele de consolidare a înfășurărilor**

Consolidarea înfășurărilor față de miezul feromagnetic se face în scopul de a asigura preluarea eforturilor mecanice care apar datorită forțelor centrifuge (la rotoare), a forțelor datorite vibrațiilor și a forțelor electrodinamice ce se produc în cazul scurtcircuitelor.

*Consolidarea înfășurărilor tip inducție continuu* se realizează prin bandaje de consolidare aplicate în zona crestăturilor, a capetelor de bobină și a legăturilor la colector, așa cum este reprezentat în fig. 10.140.

Consolidarea porțiunii de înfășurare așezată în crestături se realizează încă în timpul bobinării propriu-zise, prin așezarea corectă a mânunchiurilor și a izolațiilor în crestături, prin închiderea crestăturii cu ajutorul penei și în fine prin impregnare.

În cazul înfășurărilor dispuse în crestături deschise și fără pană de închidere a crestăturii, consolidarea se face numai cu ajutorul bandajelor aplicate pe suprafața exterioară a rotorului.

Consolidarea capetelor de bobină și a legăturilor la colector se realizează prin bandajare, astfel încât ansamblul să fie bine strâns și totodată să formeze coroane coaxiale cu arborele rotorului. La rotoarele mașinilor de putere mică se recurge de multe ori la consolidare cu sfoară, așa cum este reprezentat în fig. 10.141.

Consolidarea legăturilor la colector se face prin aplicarea unui bandaj din sfoară, șnur sau bandă. Prin impregnarea bandajului aplicat strîns și bine legat, se obține o bună rigidizare a acestuia.

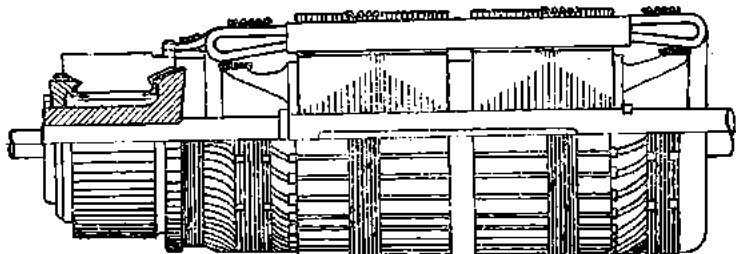


Fig. 10.140. Consolidarea cu bandaje a unei infășurări tip induc de curent continuu.

Consolidarea infășurărilor din statorul mașinilor de curent alternativ constă în general din solidarizarea capetelor bobinelor unele în raport cu altele și împreună față de miezul magnetic sau carcasa (la mașini de putere mare). Se disting : consolidare prin bandajare, consolidare prin inele și consolidare prin distanțoare.

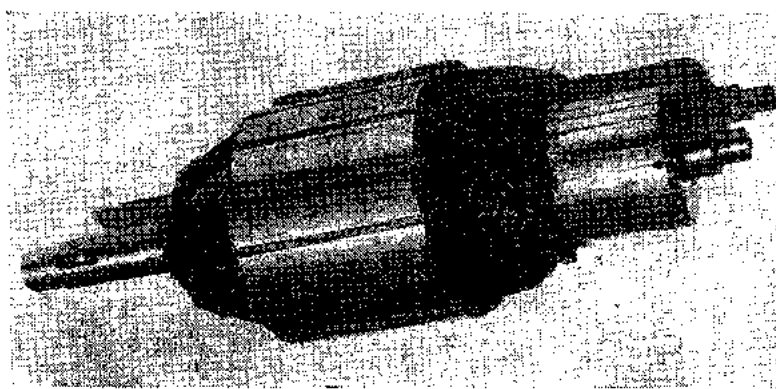


Fig. 10.141. Infășurare tip induc de curent continuu avind capetele de bobină consolidate prin legături cu sfoară (la mașini de putere mică).

Consolidarea prin bandajare se realizează cu sfoară sau benzi textile, legindu-se strîns capetele de bobină între ele. Sistemul se folosește în construcția mașinilor asincrone de joasă tensiune și de puteri

Fig. 10.142. Consolidarea capetelor de borbină cu bandă textilă așezată spiră lingă spiră (a, b) sau dispusă rar (c).



mici și mijlocii. În fig. 10.142 este reprezentată consolidarea capeteelor de bobină cu bandă textilă la înfășurarea statorică a motoarelor asincrone trifazate de putere mijlocie.

Prin acoperirea integrală a suprafeței cu bandă se înrăutățește transmiterea căldurii în timpul funcționării mașinii: din acest punct de vedere procedeul este deci inferior consolidării cu sfoară, șnur sau bandă înfășurată rar.

*Consolidarea prin inel de consolidare* se aplică la mașinile de putere mari, a căror înfășurare este realizată cu conductor de secțiune

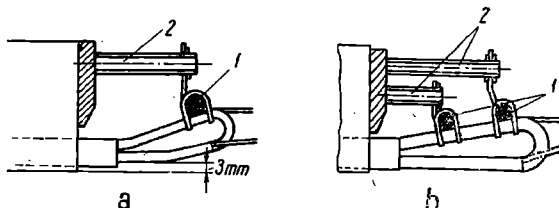


Fig. 10.143. Consolidarea capetelor de bobină ale unei înfășurări în două straturi prin inele de consolidare :

a — cu un inel de consolidare; b — cu două inele de consolidare; 1 — inel de consolidare; 2 — izolație de micană.

circulară sau dreptunghiulară în bobine mari. În fig. 10.143 sunt reprezentate două consolidări cu inel pentru înfășurări în două straturi : cu un inel de consolidare (a) și cu două inele de consolidare (b).

În construcția înfășurărilor mașinilor de putere mari, consolidarea capetelor de bobină ridică probleme deosebite datorită solicitărilor electrodinamice la care este supusă această parte a înfășurării. La aceste înfășurări se aplică simultan : consolidarea prin inele suport, prin distanțoare și consolidarea prin strângere în scoabe. În construcția înfășurărilor pentru mașinile mari, distanțoarele izolante se fixează prin legare cu sfoară, așa cum este reprezentat în fig. 10.144.

În fig. 10.145 sunt reprezentate inelele suport de consolidare a capeteelor de bobine, la turbogeneratorul de 3.000 kW produs de Fabrica de Mașini Electrice a U.C.M. — Reșița.

*Consolidarea înfășurărilor de curent alternativ din rotoare* se realizează prin bandajare. Bandajele, în cazul înfășurărilor în două straturi din bare se execută ca în fig. 10.146, a pentru rotoare având diametrul pînă la 450 mm și turărie mică, în timp ce soluția reprezentată în fig. 10.146, b este indicată pentru rotoare având diametrul peste 450 mm și viteză de rotație pînă la 3 000 rot/min (inclusiv).

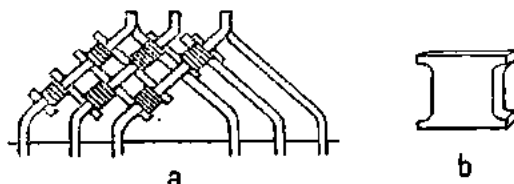


Fig. 10.144. Consolidarea capetelor de bobină prin distanțoare :  
a — modul de așezare a distanțoarelor; b — forma constructivă a distanțoarelor.

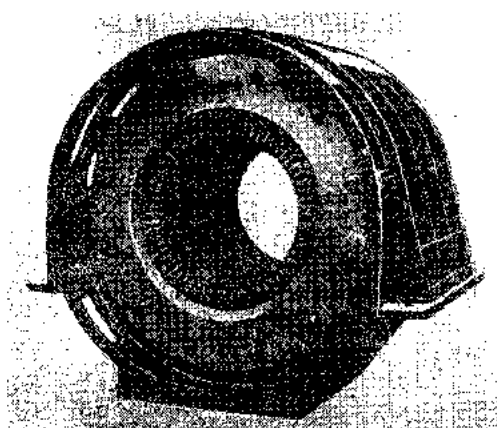


Fig. 10.145. Inelele de consolidare ale înfășurărilor statorice a turbogeneratorului de 3 000 kW (U.C.M. Reșița).

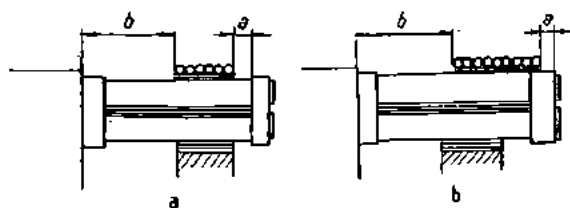


Fig. 10.146. Așezarea bandajelor de consolidare la înfășurările rotorice executate cu conductor profilat ; bobinaj în două straturi :

a — la rotoare cu diametrul pînă la 450 mm și viteză mică de rotație; b — la rotoare cu diametrul peste 450 mm și turărie de 3 000 rot/min.

### 10.9.2. Construcția, calculul și execuția bandajelor de consolidare

Bandajele se execută din sîrmă de oțel coardă de pian, sau sîrmă din bronz. Spirele bandajelor, așezate una lîngă alta pe un suport de material izolant, sunt consolidate între ele cu ajutorul unor scoabe (v. fig. 10.147) din tablă cositorită sau din cupru cositorit de 0,25 mm grosime pentru sîrmă cu diametrul pînă la 1,2 mm, sau de 0,35—0,5 mm pentru sîrme cu diametrul mai mare de 1,5 mm.

O atenție deosebită trebuie acordată fixării capetelor bandajului (începutul și sfîrșitul, la ieșirea din scoabele de capăt). Scoaba de la capătul bandajului (începutul) se îndoiește în jurul primei spire și peste capătul îndoit se infășoară celelalte spire. Începutul și sfîrșitul bandajului trebuie să se depășească unul pe altul (v. fig. 10.147). Lățimea acestor scoabe este de 15—20 mm, iar a celor intermedii de 8—10 mm. Scoabele de capăt sunt mai lungi decît lățimea bandajului cu 20—25 mm, iar cele interioare cu 10—12 mm.

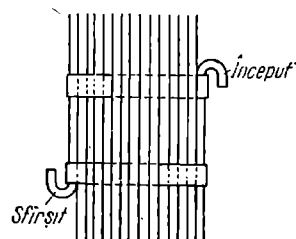


Fig. 10.147. Consolidarea cu scoabe a capetelor bandajelor din sîrmă.

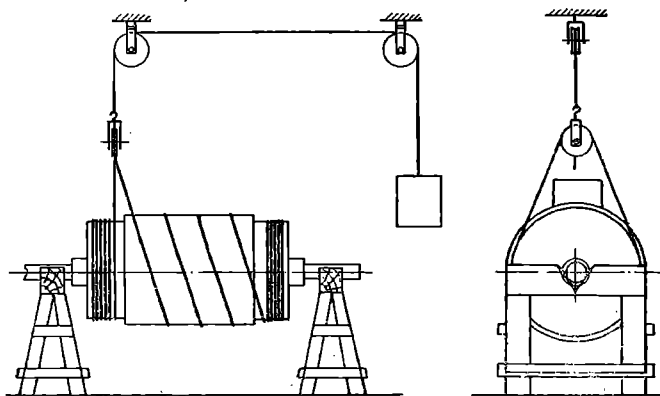


Fig. 10.148. Dispozitiv pentru întinderea bandajelor.

La așezarea bandajelor pe rotor se procedează astfel : se fixează de rotor un capăt al sîrmei bandajului, apoi prin învîrtirea rotorului (v. fig. 10.148) se aplică numărul de spire necesar plus 2...3 spire. Apoi se continuă așezarea spirelor celui de-al doilea bandaj după ce

sîrma a fost trecută pe după o rolă de întindere. Capătul liber al sîrmei se prinde de rotor. Rotind de cîteva ori (3—4 ori) în ambele sensuri rotorul, se obține aceeași întindere și o așezare uniformă a spirelor bandajului. Pentru întinderea corectă a sîrmei se alege valoarea greutății  $G$  egală cu dublul forței de întindere  $F$ , care se stabilește conform tabelei 10.31, în funcție de diametrul sîrmei.

Tabela 10.31

Diametrul sîrmei mm	Întinderea $F$ kgf	Diametrul sîrmei mm	Întinderea $F$ kgf
0,5	10	1,5	100
1,0	45	2,0	180

Numărul de spire  $w_b$  ale bandajului se calculează cu relația

$$w_b = 1,27 \frac{F}{d_b^2} \quad (10.64)$$

în care  $d_b$  este diametrul sîrmei, în mm.

Secțiunea transversală a bandajului se calculează cu relația :

$$s_b = \frac{P}{k_z} \quad [\text{cm}^2] \quad (10.65)$$

în care  $P$  este forța transversală care solicită bandajul

$$P = l N_c s_{\text{Cu}} D n^2 \gamma_{\text{Cu}} \cdot 10^{-10} \quad [\text{kgf}] \quad (10.65, \text{a})$$

iar  $k_z$  este solicitarea admisibilă la întindere a bandajului, în kgf/cm<sup>2</sup>.

În calculul forței  $P$ , așa cum rezultă din relația (10.65, a) intervin :

- $l$  — lungimea părților frontale care se consolidează (cm) ;
- $N_c$  — numărul total de bare ale rotorului ;
- $s_{\text{Cu}}$  — secțiunea transversală a barei de cupru (cm<sup>2</sup>) ;
- $D$  — diametrul rotorului la bandaje (cm) ;
- $n$  — turăția rotorului (rot/min) ;
- $\gamma_{\text{Cu}} = 0,0089 \text{ kgf/cm}^3$  — greutatea specifică a cuprului.

Atunci cînd se înlocuiește un bandaj din sîrmă cu diametrul  $d_1$  și un număr de spire  $w_1$  cu un bandaj nou din sîrmă de alt diametru  $d_2$ , numărul nou de spire  $w_2$  se calculează cu relația :

$$w_2 = w_1 \left( \frac{d_1}{d_2} \right)^2. \quad (10.66)$$

La bandajare trebuie să se țină seamă de următoarele :

- pe rotor scoabele trebuie să fie așezate deasupra dinților și nu peste crestături ;
- lățimea scoabelor nu trebuie să depășească grosimea părții superioare a dinților ;

— grosimea bandajului și a scoabei nu trebuie să depășească adâncimea canalului ;

— distanța dintre scoabe trebuie să fie sub 150 mm, iar repartizarea scoabelor trebuie să se facă uniform la periferia rotorului ;

— distanța dintre două bandaje vecine trebuie să fie mai mică de 250 mm.

— bandajarea la părțile frontale se va face dinspre rotor spre capetele infășurării ; se evită în acest fel bombarea bandajului.

După bobinare, întregul bandaj se lipește cu aliaj de cositor 30—40%. Mai întii trebuie să se lipească începutul și sfîrșitul bandajului, adică scoabele de capăt, apoi scoabele intermediare și pe urmă întregul bandaj. Se formează în acest fel o centură metalică continuă, care asigură repartizarea uniformă a tensiunilor în toate spirele bandajului, chiar în cazul cind, la infășurare, nu s-a aplicat o forță de întindere egală în toate spirele bandajului.

Lipirea bandajului trebuie să se facă cu ciocane de lipit electrice cu secțiune lată, bine încălzite. În acest fel se va putea efectua lipitura mai rapid, evitându-se supraîncălzirea infășurării de sub bandaje. De recomandat sunt ciocanele de lipit relativ mari, având temperatură ridicată, 350—400 °C. Pentru evitarea supraîncăzirii infășurării de sub bandaje se folosesc adeseori răcirea suplimentară. În timpul lipirii bandajului, prisosurile de aliaj de pe bandaj se îndepărtează, înainte ca acesta să se întărească, cu ajutorul unei lavete de bumbac umedă.

#### 10.10. INCERCARI LA EXECUTIA INFASURARILOR

Realizarea unei infășurări de calitate necesită încercări de verificare pe parcursul procesului tehnologic, în vederea stabilirii porțiunilor de izolație deteriorate sau slăbite.

Controlul începe înainte de executarea bobinelor, prin examinarea și încercarea materialelor izolante care urmează să fie folosite. Se evită utilizarea izolației vechi de la o mașină căreia i s-a scos infășurarea ; de asemenea se evită utilizarea izolației care a fost depozitată în locuri necorespunzătoare, caracterizate prin umezeală, aciditate, praf etc. De la o infășurare veche se poate utiliza cel mult conductorul, dacă nu prezintă perlări superficiale în urma unor evenuale scurtcircuite între spire.

Bobinele prefabricate se încearcă la proba între spire înainte de introducerea lor în creștăturile mașinii, pentru a se elimina bobinele

care prezintă scurtcircuite între spire. După introducerea bobinelor în crestături se efectuează încercări pentru verificarea inceputului și sfîrșitului bobinelor, pentru executarea corectă a legăturilor între porțiunile de infășurare. Apoi se încearcă izolația infășurării față de masă.

Încercarea izolației între spirele infășurării nu se poate executa decit la mașina montată sau care are cel puțin statorul și rotorul montate provizoriu împreună.

#### **10.10.1. Încercarea și controlul izolației**

Încercările pentru determinarea rigidității dielectrice, a umidității și a celorlalte caracteristici ale materialelor electroizolante, implicind instalații și aparate costisitoare, se execută de laboratoare specializate în asemenea lucrări.

În atelier se execută încercări de control pentru verificarea grosimii izolației, starea izolației și caracteristicile mecanice ale acesteia.

Grosimea izolației se măsoară cu micrometrul. Trebuie avut grije ca moșta măsurată să fie perfect plană. Se execută măsurări în mai multe puncte pentru a se constata uniformitatea grosimii.

Caracteristicile mecanice se verifică prin indoirea materialului la  $180^{\circ}$ . Se examinează astfel starea izolației spre a se constata evenualele fisuri în zona de indoire; se stabilește totodată numărul de indoiri la care rezistă. Flexibilitatea izolației este cu atât mai mare cu cît numărul de indoiri la care rezistă este mai mare. Indoirile se realizează succesiv după direcția fibrei, și transversal pe aceasta.

Celelalte caracteristici mecanice și anume rezistența la întindere, la încovoiere, la compresiune, duritatea, viscozitatea, se pot măsura numai cu instalații speciale, în laboratoarele de încercări.

#### **10.10.2. Verificarea izolației conductorului de bobinaj**

Conductorul de bobinaj izolat cu bumbac, mătase sau altă izolație textilă, poate prezenta locuri desgolite pe anumite porțiuni, izolație neregulată, cu noduri sau rărită. Aceste defecte, în cazul în care nu sunt în număr exagerat, se elimină corectând izolația prin executarea manuală a izolației în zonele în care s-au constatat defectele.

Conductoarele izolate cu email pot prezenta ciupiri (locuri în care izolația conductorului este deslipită), sau fisuri. În ambele cazuri porțiunile respective de conductor sunt de neutilizat, prezentând pericolul

străpușgerii între spire. Condutoarele izolate cu email se verifică la numărul de îndoiri; o izolație corespunzătoare este cea care se rupe sau se desprinde de pe conductor după sau o dată cu ruperea conductorului.

#### 10.10.3. Controlul bobinelor prefabricate

Încercările de control ale înfășurărilor repartizate executate cu bobine prefabricate (semitari sau tari) încep cu controlul bobinelor, deoarece bobinele prefabricate, nu mai suferă modificări constructive, după ce au fost realizate și sunt gata pentru a fi introduse în creștături (în special bobinele tari).

La bobinele prefabricate se execută controlul dimensiunilor geometrice pentru a le putea încadra în spațiul prevăzut pentru ele în mașină. Controlul izolației bobinei prezintă importanță și din cauză că nu sunt permise spații goale în creștătură în care să rămână interstiții de aer, fiindcă în acest fel este îngreunată transmiterea căldurii de la bobină la miez și deci înfășurarea se va încălzi peste limitele admisibile; interstițiiile de aer conduc la o îmbătrâinire rapidă a izolației.

Bobinele tari gata prefabricate, la care nu se mai aduc modificări ulterioare se încearcă la proba între spire și la străpușere.

*Încercarea izolației la proba între spire* are drept scop găsirea eventualelor scurtcircuite între spire și se poate face după metoda descrisă în § 10.10.5, cu ajutorul unei instalații în care bobina de încercat formează secundarul unui transformator (cu jugul mobil, în vederea introducerii ușoare a bobinei de încercat).

Pentru a putea utiliza aceeași instalație la încercarea unor bobine de dimensiuni diferite, instalația se alimentează de la o sursă de frecvență variabilă; în acest fel curentul în primarul transformatorului rămâne aproximativ constant (fiindcă se menține constantă inducția magnetică în miezul transformatorului), creșterea tensiunii obținându-se prin creșterea frecvenței. Tensiunea de alimentare are frecvență variabilă între limitele 59—1 000 Hz și se obține de la un generator de unde cu frecvență variabilă construit cu tuburi electronice.

În tabela 10.32 sunt date valorile tensiunilor de încercare în funcție de tipul izolației între spire.

*Încercarea izolației față de masă* se poate face cu o instalație de tipul celei descrise în cap. X însă de putere mai mică. Încercarea se face asupra porțiunilor de bobină sau conductor izolate complet înainte de introducerea în creștătură în vederea prevenirii punerilor la masă ale înfășurării. În acest scop bobina sau conductorul se îmbracă cît mai strâns cu o teacă conductoare (staniol) numai pe por-

Tabelă 10.32

Nr. crt.	Tipul izolației	Tensiunea de încercare a izolației spiralelor în V/spiră
1	Conductor izolat cu un singur strat de bumbac (impregnat)	150
2	Conductor izolat de 2 ori cu bumbac (impregnat)	300
3	Conductor izolat cu email și o dată bumbac (impregnat)	400
4	Conductor izolat cu email și o dată mătase (impregnat)	400
5	Conductor izolat cu bandă de bumbac, jumătate suprapusă	500
6	Conductor izolat cu bandă de mică de 0,3 mm, jumătate suprapusă	800
7	Conductor izolat cu bandă de mică de 0,13 mm, jumătate suprapusă și deasupra cu o bandă de bumbac așezată marginea la margine	1 000
8	Conductor izolat de 2 ori cu bumbac și cu un strat de mică de 0,13 mm, jumătate suprapusă și unul de bandă de bumbac jumătate suprapusă	1 500
9	Conductor izolat de 2 ori cu bumbac, cu 2 straturi de bandă de mică de 0,13 mm și un strat de mică, marginea la margine	2 000

*Observații.* Durata încercării 10—15 s.

Tensiunea de încercare a unei bobine se obține înmulțind numărul de spire cu tensiunea de încercare pe spiră.

țiunea izolată care la montaj este așezată în crestătură. Teaca metalică se leagă la masă (fig. 10.149), iar conductorul se leagă la sursa de fază tensiune (la transformatorul  $T$ ). Transformatorul  $T$  este alimentat de la rețea prin intermediul unui autotransformator reglabil  $AT$ . Tensiunea se citește la voltmetrul  $V$  conectat la bornele infășurării

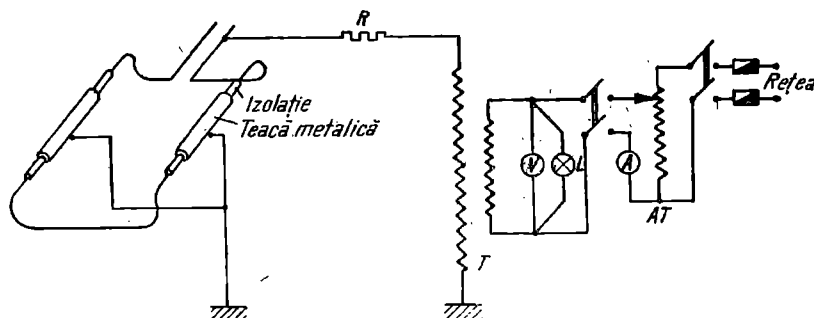


Fig. 10.149. Schemă pentru încercarea rigidității dielectrice a bobinelor prefabricate:

$T$  — transformator;  $AT$  — autotransformator;  $R$  — rezistență de protecție;  $L$  — lampă de semnalizare.

primare a transformatorului  $T$  și etalonat direct pentru tensiunea pe partea de înaltă tensiune a transformatorului  $T$ .

O creștere a curentului măsurat de ampermetrul  $A$  conectat în serie cu înfășurarea primară a transformatorului  $T$ , indică prezența unei puneri la masă a conductorului.

În tabela 10.33 sunt date valorile tensiunilor de încercare pentru teaca izolantă, bobine și secții în funcție de tensiunea nominală la bornele mașinii și de reparația efectuată.

#### 10.10.4. Verificarea legăturilor între bobinele aceleiași căi de curent în timpul execuției

După ce s-au introdus bobinele în crestături trebuie executate legăturile între bobine și izolate regiunile de imbinare, lipire sau sudare. Aceasta se poate face cunoșcind începutul și sfîrșitul fiecărei bobine și urmărind schema înfășurării respective; în acest scop este necesar să se cunoască și crestăturile pe care le ocupă fiecare bobină. De cele mai multe ori toate acestea se pot constata direct. Însă la mașinile mici sau la cele care sunt executate cu bobine prefabricate este necesar un control și trebuie efectuate măsurători pentru identificarea bobinelor.

**Identificarea capetelor unei bobine.** Se leagă capătul cunoscut la borna unei surse de curent; borna cealaltă a sursei se leagă la o bornă a unui voltmetru de scară potrivită. Cu un cordon având un capăt legat la cealaltă bornă a voltmetrului se încearcă pe rînd celelalte capete libere; cînd acul aparatului de măsurat deviază, înseamnă că s-a făcut legătura cu celălalt capăt al bobinei, circuitul închizîndu-se prin bobină. De remarcat că în ateliere se utilizează în locul voltmetrului o lampă de control; utilizarea acesteia este potrivită numai dacă se alege lampa de putere potrivită, pentru a nu trece prin înfășurare un curent peste curentul nominal, care ar putea conduce la avarierea înfășurării.

**Identificarea crestăturilor în care se află o bobină, o secție sau înfășurarea unei faze.** Se alimentează capetele bobinei de la o sursă de curent continuu reglabilă, fără a se depăși curentul nominal al bobinei. Cu o lamă feromagnetică a cărei lățime este mai mică decît pasul crestăturii se palpează deschiderile crestăturilor pe rînd. În dreptul crestăturilor în care se află bobina alimentată lama este atrasă spre miezul feromagnetic.

Tabelă 10.33

Nr. crt.	Denumirea piesei și a operației de reparare	Tensiunea nominală a mașinii, în voltii						
		plină la 500			3 000		Gradui	
		I	II	I	I	II	I	II
1	Teaca izolantă a înfășurării cusute după executare, înainte de introducerea în crestătură	$2U+2\ 500$	$2U+2\ 500$	16 000	16 000	26 000	26 000	26 000
2	Bobinele executate din nou sau rezolate la locul reparației, apartinând la înfășu- rări în două straturi	$2U+2\ 000$	$2U+2\ 000$	13 500	13 500	22 500	22 500	22 500
3	Idem, însă pentru bobine executate în fa- brică	$2U+2\ 000$	$2U+2\ 000$	11 500	11 500	17 500	17 500	17 500
4	TeVii izolație ale înfășurării cusute după introducerea în crestături, înainte de ex- ecutarea înfășurării	$2U+1\ 500$	$2U+1\ 500$	13 500	13 500	22 500	22 500	22 500
5	Idem, după așezarea bobinelor, înainte de executarea conexiunilor	$2U+1\ 500$	$2U+1\ 500$	9 500	9 500	17 000	17 000	17 000
6	Executarea sau rezolarea la locul repara- ției bobinelor înfășurării în două stra- turi, după așezarea în crestături și intro- ducerea penelor, înainte de execuțarea conexiunilor	$2U+2\ 000$	$2U+2\ 000$	9 500	9 500	17 000	17 000	17 000
7	Idem pentru bobine folosite ca bobine de închidere, pînă la introducerea penelor	$2U+2\ 500$	$2U+2\ 500$	10 000	10 000	18 000	18 000	18 000
8	Bobinele înfășurării în două straturi exé- cutate de fabrică, după așezarea în crestă- turi și introducerea penelor ; înainte de execuțarea conexiunilor	$2U+1\ 500$	$2U+1\ 500$	9 000	9 000	15 000	15 000	15 000

9	Idem, însă pentru bobine folosite ca sectii de inchidere, pînă la introducerea penelor	$2U+2\ 000$	$2U+2\ 000$	9 500	9 500	16 500	16 500
10	Încercarea de sortare a ţevilor izolante ale înfăşurării cusute, aşezate în crestături	—	—	—	11 500	18 000	—
11	Bobine ale înfăşurărilor cusute la folosirea ţecilor vechi, înainte de execuarea conexiunilor	$U+1\ 000$	$U+1\ 000$	—	7 500	—	13 500
12	Încercarea de sortare a bobinelor vechi, ale înfăşurării în două straturi aşezate în crestături	$U+1\ 500$	$U+1\ 500$	—	10 000	—	16 500
13	Încercarea de sortare a bobinelor vechi ale înfăşurării în două straturi scoase din crestături	$U+1\ 000$	$U+1\ 000$	—	8 500	—	14 000
14	Bobine vechi ale înfăşurării în două straturi după aşezarea în crestături și introducerea penelor, înainte de execuarea conexiunilor	$U+1\ 000$	$U+1\ 000$	—	7 500	—	13 500
15	Idem, pentru bobine de închidere, înainte de introducerea penelor	$U+1\ 500$	$U+1\ 500$	—	8 000	—	14 500
16	Întreaga înfăşurare, după execuarea conexiunilor și lipiturilor	$1,5U+1\ 200$	$U+750$	8 000	5 500	14 000	10 500
17	Încercări de recepție	$1,7U+850$ cel puțin $1\ 500\ V$	$U+500$	$1,7\ U+$ +850	$1,3\ U$	$1,7\ U+$ +850	$1,3\ U$

Observații:

- Gradul I corespunde reparatiei capitale cu înlocuirea completă a izolației sau a întregii înfășurări. Gradul II corespunde reparatiei în care se folosesc o parte din secțiile vechi, o parte din secții sălbatice executate din nou sau rezolate la locul reparării, de asemenea cu folosirea unor secții noi executate de fabrică.
- $U$  este tensiunea nominală de linie (a rețelei).
- La încercarea conform punctelor 1, 2, 3 armătura metalică se așază numai pe porțiunea ce se dispune în creșterătură.
- La aşezarea bobinelor înfăşurărilor în două straturi, izolația bobinelor folosite cu bobine de închidere se înearăză de două ori; după introducerea unei laturi a secției și după introducerea definitivă a ambelor laturi și montarea penelor.
- Durata încercării: 1 minut.

**Determinarea începutului și sfîrșitului unei bobine în raport cu altă bobină.** Se aleg arbitrar începutul și sfîrșitul unei bobine, ale unei secții sau faze de referință; începutul și sfîrșitul tuturor celorlalte bobine, secții sau faze se determină în raport cu aceasta. În acest scop se alege o bobină situată în crestături vecine cu bobina de referință sau chiar în aceleași crestături. Se alimentează bobina de referință de la o sursă de curent continuu legîndu-se spre exemplu începutul bobinei la borna + și sfîrșitul la borna -. La bornele bobinei la care trebuie identificate capetele se conectează un milivoltmetru de curent continuu ca în fig. 10.150. La închiderea întrerupătorului K, se va constata că acul milivoltmetrului deviază; dacă se întîmplă ca acul să devieze spre stînga și milivoltmetrul nu are nulul la mijloc, atunci se schimbă legăturile la aparatul de măsurat. Se deduce din figură că la închiderea întrerupătorului K, în bobina care se cercetează se inducă de către cîmpul magnetic B o tensiune electromotoare E; tensiunea se măsoară cu milivoltmetrul mV. Cind acul deviază spre dreapta la închiderea întrerupătorului K, capătul de bobină legat la borna - reprezintă începutul bobinei, iar capătul legat la borna + reprezintă sfîrșitul bobinei. La întreruperea circuitului, cînd se deschide întrerupătorul K, tensiunea electromotoare este

de sens opus; în acest caz dacă acul milivoltmetrului deviază spre dreapta atunci începutul este legat la borna + și sfîrșitul la borna -.

**Determinarea capetelor înfășurării trifazate.** În vederea realizării legăturii în stea sau triunghi, la placa de borne, trebuie cunoscute precis care sunt începuturile, respectiv sfîrșiturile celor trei înfășurări. Determinarea lor se poate face foarte ușor în felul următor :

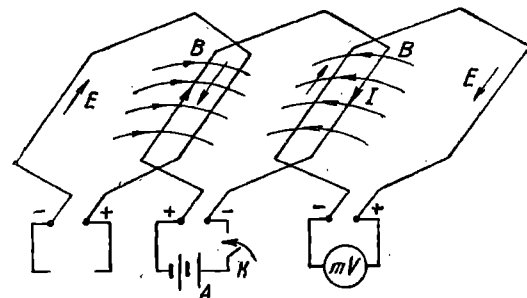


Fig. 10.150. Schemă pentru determinarea începutului și sfîrșitului la un element de înfășurare :

A — sursă de alimentare; K — întrerupător; mV — milivoltmetru.

Se leagă în serie, la întîmplare, înfășurările a două faze și se alimentează cu o tensiune alternativă redusă (v. fig. 10.151). Se măsoară apoi tensiunea inducă la bornele celei de-a treia faze. Dacă tensiunea inducă în înfășurarea fazei a treia este nulă, atunci cele două înfășurări au legate între ele început cu început sau sfîrșit cu sfîrșit (fig. 10.151, a<sub>1</sub> sau a<sub>2</sub>). Din contră, în cazul că înfășurările celor două

faze se leagă între ele cu extremitățile de nume contrar, (fig. 10.151, b<sub>1</sub> sau b<sub>2</sub>), atunci în infășurarea a treia se va induce o tensiune electro-motoare egală cu aproximativ jumătate din tensiunea aplicată pentru motoare cu rotorul bobinat (infășurare deschisă) și o tensiune mai mică în cazul motoarelor cu rotorul în scurtcircuit. După ce s-au sta-

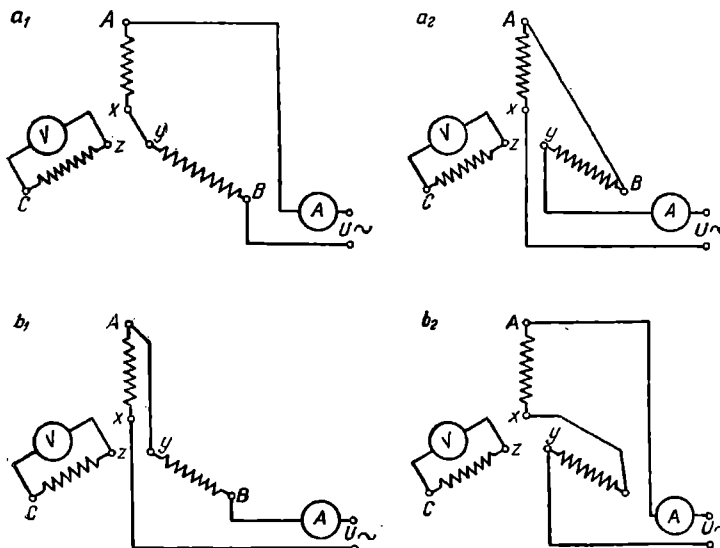


Fig. 10.151. Scheme pentru determinarea începuturilor și sfîrșiturilor fazelor la infășurări trifazate.

bilit capetele de același nume a două infășurări, se ia una din aceste infășurări ale cărei ieșiri sint determinate și se leagă în serie cu infășurarea a treia. Infășurarea rămasă liberă se leagă la bornele voltmetrului. Identificarea începuturilor, respectiv sfîrșiturilor, decurge ca mai sus, luîndu-se fază de referință una din fazele identificate anterior.

Pentru identificarea capetelor infășurării, se pot lega cele două infășurări de fază și în paralel, însă atunci se induce o tensiune în infășurarea a treia cind se leagă început cu început și sfîrșit cu sfîrșit și tensiunea indușă este nulă cind se leagă început cu sfîrșit (sau sfîrșit cu început).

*Observație.* Determinarea extremităților de același nume ale celor trei infășurări, prin metoda indicată mai sus, presupune că nu sînt legături gresite între grupele de bobine care compun infășurările fazelor respective. În caz contrar, voltmetrul va indica diferențe pentru oricare legătură.

**Verificarea legăturilor la colector prin metoda milivoltmetrului.**  
După ce s-au introdus bobinele în crestături și s-au executat legăturile la colector conform schemei înfășurării se trece la verificarea legăturilor corecte la colector.

Metoda milivoltmetrului necesită o sursă de curent continuu, un ampermetru, un reostat, un milivoltmetru și cordoane de legătură. În

fig. 10.152 este dată schema de conexiuni pentru verificarea colectorului. Se aplică tensiunea de la sursa de alimentare la două lamele de colector situate diametral la înfășurarea buclată, sau la un pas polar la înfășurarea ondulată. În cazul înfășurărilor multiple care se închid de mai multe ori, dacă nu sunt realizate încă legăturile echipotențiale se va alimenta și verifica pe rînd fiecare înfășurare.

Cu milivoltmetrul  $mV$  se măsoară cădereea de tensiune între două lamele succesive; la o înfășurare executată corect trebuie să se constate următoarele :

— pornind de la lamela + la care se alimentează trebuie să se mențină polaritatea constantă verificată cu milivoltmetrul conectat la cîte două lamele succesive ; astfel, conform fig. 10.152, acul milivoltmetrului va devia în același sens cînd se conectează succesiv între lamelele  $1-2$ ,  $2-3$ ,  $3-4$ , ..., sau  $1'-2'$ ,  $2'-3'$ ,  $3'-4'$ , ...;

— căderile de tensiune dintre lamele trebuie să fie egale între ele.

Dacă la un moment dat milivoltmetrul indică o tensiune de polaritate schimbătă, atunci rezultă că legăturile la colector sunt inversate.

Dacă milivoltmetrul nu indică nici o tensiune la un moment dat cu toate că între lamelele precedente a indicat, rezultă că între lamelele respective este un scurtcircuit, sau o lamelă este în afara circuitului.

În sfîrșit dacă pe o cale de curent nu se constată între lamele nici o tensiune cu excepția a două lamele între care se măsoară o tensiune aproape egală cu tensiunea aplicată, rezultă că înfășurarea prezintă o întrerupere în secția legată la lamelele între care se constată o tensiune ridicată.

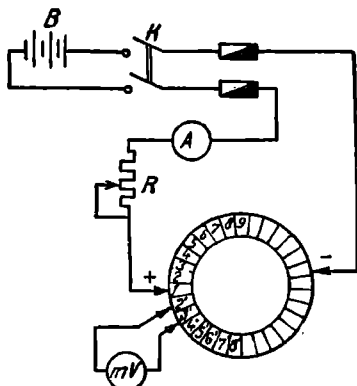


Fig. 10.152. Schema de conexiuni pentru verificarea legăturilor la colector :

B — sursă de alimentare; R — reostat de reglaj; A — ampermetru; mV — milivoltmetru.

mele succesive ; astfel, conform fig. 10.152, acul milivoltmetrului va devia în același sens cînd se conectează succesiv între lamelele  $1-2$ ,  $2-3$ ,  $3-4$ , ..., sau  $1'-2'$ ,  $2'-3'$ ,  $3'-4'$ , ...;

— căderile de tensiune dintre lamele trebuie să fie egale între ele.

Dacă la un moment dat milivoltmetrul indică o tensiune de polaritate schimbătă, atunci rezultă că legăturile la colector sunt inversate.

Dacă milivoltmetrul nu indică nici o tensiune la un moment dat cu toate că între lamelele precedente a indicat, rezultă că între lamelele respective este un scurtcircuit, sau o lamelă este în afara circuitului.

În sfîrșit dacă pe o cale de curent nu se constată între lamele nici o tensiune cu excepția a două lamele între care se măsoară o tensiune aproape egală cu tensiunea aplicată, rezultă că înfășurarea prezintă o întrerupere în secția legată la lamelele între care se constată o tensiune ridicată.

La aplicarea metodei trebuie avut grija ca mai întii să se închidă întrerupătorul  $K$  de la sursa de alimentare și numai după aceea să se conecteze milivoltmetrul; după efectuarea măsurărilor, se deconectează mai întii milivoltmetrul și apoi sursa, spre a nu periclită instrumentul expunîndu-l la supratensiunile ridicate care se produc la întreruperea circuitului de alimentare.

#### 10.10.5. Încercarea izolației înfășurărilor așezate în crestături

O dată așezate înfășurările în crestătură, după introducerea penelor, consolidarea capetelor de bobină și executarea legăturilor între bobine, se execută cîteva încercări pentru a verifica starea izolației între spire și față de masă și pentru a stabili corectitudinea legăturilor între bobine conform schemei de înfășurare.

Metodele utilizate în acest scop sint comune tuturor mașinilor electrice; numai puterea instalațiilor de măsură variază în funcție de puterea mașinilor de încercat.

**Măsurarea rezistenței de izolație.** Se execută cu ajutorul megohmmetrului; pentru mașinile a căror tensiune nominală este sub 500 V, încercarea se execută cu un megohmmetru de 500 V, iar mașinile care au tensiunea peste 500 V se încearcă cu un megohmmetru care produce tensiunea de 1 000 V sau 2 500 V.

Mașina de încercat este deconectată de la oricare aparat; înfășurarea care se încearcă se leagă la una din bornele megohmmetrului iar celelalte înfășurări se leagă împreună cu miezul feromagnetic și carcasa la cealaltă bornă (fig. 10.153). Rezistența de izolație în  $M\Omega$  trebuie să fie mai mare sau cel puțin egală cu rezistența care rezultă din relația

$$R_{iz} = \frac{U}{1000 + \frac{P}{100}}, \quad (10.67)$$

în care  $U$  este tensiunea nominală a înfășurării măsurată în V, iar  $P$  — puterea mașinii măsurată în kVA. Rezistența de izolație a înfășurărilor motoarelor electrice nu trebuie să fie sub  $0,5 M\Omega$ .

Rezistența de izolație se măsoară succesiv pentru toate înfășurările așezate atît în stator cît și în rotor. Înfășurările care au puneri la

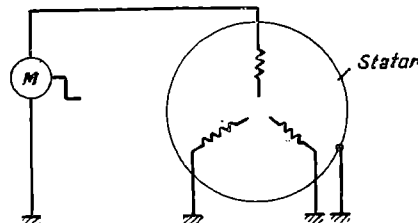


Fig. 10.153. Măsurarea rezistenței de izolație a unei înfășurări, cu megohmmetru  $M$ .

masă vor avea o rezistență de izolație foarte mică iar cele umezite vor prezenta o rezistență scăzută.

Experiența a dovedit însă că o infășurare cu o rezistență de izolație mică, nu este neapărat deteriorată; astfel o infășurare cu o umiditate ridicată la suprafață are o rezistență de izolație scăzută. Pentru a stabili mai precis starea infășurării mai trebuie efectuate și alte încercări.

**Încercarea izolației între spire, după montarea infășurărilor în mașină.** Cea mai simplă metodă pentru încercarea izolației dintre spire care se poate aplica numai la mașinile de curent alternativ care nu au infășurări în scurtcircuit sau în colivie, constă în următoarele: se montează rotorul și statorul provizoriu fără scuturi, introducindu-se în întregie distanțoare din preșpan sau pertinax (fig. 10.154, a). Rotorul este așezat într-o poziție oarecare și în timpul probei el rămîne fix față de stator. Se alimentează una din infășurări, fie a statorului, fie a rotorului, cealaltă răminind deschisă. Alimentarea se face de la un generator sincron GS la care putem varia tensiunea atât prin creșterea excitației cât și a frecvenței (mărindu-i viteza de antrenare) (fig. 10.154, b); în acest scop generatorul sincron este antrenat de exemplu de un motor de curent continuu MC alimentat de la o sursă de tensiune continuă variabilă (de exemplu de la un generator de curent continuu). În felul acesta o dată cu creșterea tensiunii de ali-

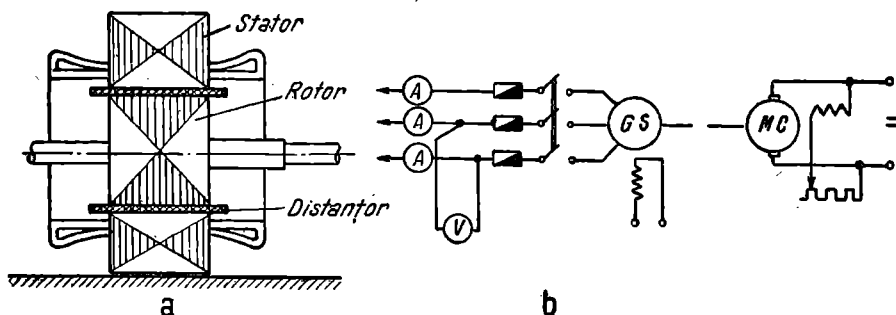


Fig. 10.154. Montajul provizoriu al statorului și rotorului pentru încercarea la probe între spire (a) și schema instalației (b).

mentare se mărește și frecvența, curentul rămînind practic constant (sub curentul nominal). Dacă nu se produc scurtcircuite între spire curenții pe cele trei faze vor fi egali între ei; inegalitatea curenților precum și variațiile bruse ale curentului pe una din faze în timpul probei, indică prezența unor scurtcircuite între spire.

Pentru încercarea infășurărilor indusului mașinilor de curent continuu se aplică o metodă asemănătoare, denumită metoda inductivă,

însă cu deosebirea că în locul statorului se utilizează un electromagnet între armăturile căruia se introduce rotorul ca în fig. 10.155, a. Deschiderea dintre armătura mobilă a electromagnetului și cea fixă este variabilă și se ia aproximativ egală cu pasul polar  $\tau$  al înfășurării. Înfășurarea electromagnetului se alimentează de la o sursă de frecvență ridicată (500—1 000 Hz). De remarcat că tensiunea dintre la-

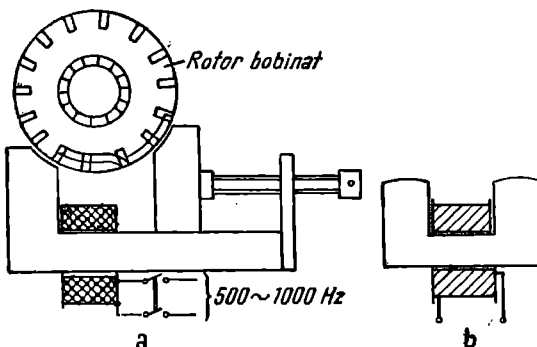


Fig. 10.155. Dispozitiv pentru încercarea izolației între spire a rotoarelor (a) și electromagnetul pentru probă între spire a rotoarelor (b).

mele nu trebuie să depășească 1,3 din tensiunea nominală între lamele. În cazul cînd o bobină se încălzește rezultă că înfășurarea este defectă, bobina respectivă prezentînd scurtcircuitate între spire. Locul scurtcircuitului se mai poate stabili și cu ajutorul unei lamele feromagnetic sau cu o cască telefonică alimentată de la o bobină mobilă care se plimbă pe suprafața rotorului; în zona scurtcircuitată lamela vibrează puternic, iar în casca telefonică se aude un ton de frecvență tensiunii de alimentare a electromagnetului.

Această metodă inductivă se poate utiliza și la încercarea rotoarelor sau a statoarelor mașinilor de curent alternativ. În cazul încercării statoarelor trebuie numai să se dea o formă potrivită armăturilor electromagnetului aşa cum se arată în fig. 10.155, b pentru a se înscrie după curbura interioară a statorului.

**Încercarea izolației înfășurărilor montate în mașină** se face utilizînd instalația reprezentată în fig. 10.149 și descrisă și în cap. 11. În acest scop înfășurarea de încercat se leagă la o bornă a transformatorului; celelalte înfășurări și carcasa se leagă la pămînt împreună cu cea de a două bornă a transformatorului.

Durata încercării este de 1 minut iar tensiunile de încercat sunt indicate în tabela 10.32, liniile 16 și 17. Ridicarea tensiunii se face treptat.

**Măsurarea rezistenței înfășurărilor în curent continuu.** Înfășurările mașinilor mici au în general o rezistență relativ mare (mai mare decât  $1 \Omega$ ) ; măsurarea acestei rezistențe se face cu o punte Wheatstone sau Thomson.

Înfășurările mașinilor de tensiuni mici sau de puteri mijlocii și mari au rezistență relativ mică ; o metodă pentru măsurarea acestora o constituie metoda voltmetru-ampermetru. În fig. 10.156, a este dată

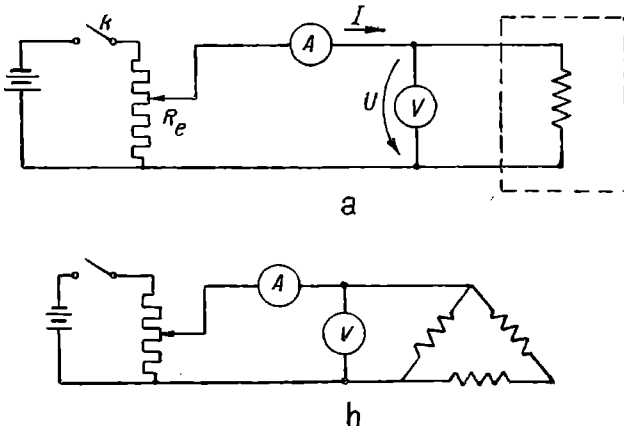


Fig. 10.156. Schema pentru măsurarea rezistenței înfășurărilor prin metoda voltmetru-ampermetru.

schema de măsură ; voltmetrul este montat în aval față de ampermetru. După închiderea întreupătorului  $K$  se stabilește în circuit un curent  $I$  care se măsoară cu ampermetrul  $A$ . Curentul se reglează prin intermediu rezistenței  $R_e$  montată potențiometric. Cunoscind și valoarea  $U$  a tensiunii la bornele înfășurării (fiind măsurată cu voltmetrul  $V$ ), rezistența înfășurării ținând seama și de rezistența  $R_v$  a voltmetrului, rezultă din expresia

$$R = \frac{U}{I - \frac{U}{R_v}}. \quad (10.68)$$

Dacă  $U$  se ia în volți,  $I$  în amperi și  $R_v$  în ohmi, rezultă  $R$  în ohmi.

Rezistența  $R$  măsurată la temperatura  $t$  se recalculează la temperatură de  $75^\circ\text{C}$  după relația

$$R_{75} = R_t \frac{210}{235 + t}, \quad (10.69)$$

în care rezistența  $R_t$  se ia în ohmi, iar temperatura  $t$  în  $^\circ\text{C}$ .

La înfășurările conectate în triunghi se măsoară rezistența  $R_{\Delta}$  între două faze (figura 10.156, b); rezistența  $R$  pe fază se calculează din relația

$$R = 1,5 R_{\Delta}. \quad (10.70)$$

La înfășurările conectate în stea se măsoară direct rezistența unei faze conectând schema de măsură între nul și fază.

La înfășurările buclate simple, fără conexiuni echipotențiale rezistența  $R$  a indusului se determină din rezistența  $R_D$  măsurată între două puncte diametrale astfel

$$R = \frac{R_D}{a^2}, \quad (10.71)$$

unde  $a$  este numărul perechilor de căi de curent.

La înfășurările ondulate simple, rezistența măsurată între două lamele situate la un pas polar la colector (adică la  $\frac{K}{2p}$  lamele) reprezintă rezistența înfășurării indusului.

La înfășurările buclate multiple, ondulate multiple sau combinate, rezistența înfășurării se determină măsurând curentul total  $I$  și tensiunea  $U$  între două lamele situate sub perii, înfășurarea indusului fiind alimentată de la o sursă de curent continuu. Valoarea rezistenței se calculează după relația

$$R = \frac{U}{I}.$$

*Observație.* După măsurarea rezistenței este bine să se deplaseze cursorul reostatului  $R_e$  astfel încât curentul prin circuitul înfășurării să scadă la zero și abia după aceea să se deschidă întreupătorul  $K$ . Dacă întreupătorul  $K$  se deschide cînd curentul prin circuitul înfășurării este mare, se pot produce supratensiuni periculoase atît pentru personalul care lucrează cît și pentru aparatele de măsură.

**Încercarea de atelier în gol și în sarcină a mașinii.** După ce s-a constatat că mașina nu prezintă nici un defect de izolație, se poate trece la încercarea mai întîi în gol, iar apoi în sarcină a mașinii. În acest scop mașina se montează și se realizează schema de conexiuni respectivă după cum mașina este motor sau generator.

La funcționarea mașinii în regim de motor trebuie să se dispună de sursă de alimentare continuă sau alternativă după cum motorul este de curent continuu sau de curent alternativ. De asemenea tensiunea de alimentare trebuie să fie egală cu tensiunea nominală a motorului.

La funcționarea mașinii în regim de generator trebuie să se disponă de o mașină de antrenare care să aibă aceeași viteză nominală ca și mașina de încercat.

La încercarea mașinii în funcționare se pot ridica toate caracteristicile de funcționare.

În timpul funcționării mașinii trebuie verificate următoarele :

- turăția mașinii (care se măsoară cu tachometrul) ;
- dacă mașina este bine echilibrată și nu prezintă vibrații ;
- încălzirea mașinii, încălzirea infășurărilor, a legărelor etc.

În mod curent la mașinile rebobinate nu se ridică toate caracteristicile ca în cazul mașinilor noi construite. Informațiile obținute însă cu prilejul funcționării mașinii sunt necesare spre a se confirma calitatea execuției bobinajului.

#### **10.11. DEFECTELE INFĂȘURĂRILOR REPARTIZATE ȘI REPARAREA ACESTORA ÎN TIMPUL EXECUȚIEI**

În timpul procesului tehnologic pot surveni anumite defecte la infășurările care se execută, iar scopul încercărilor pe parcurs este tocmai de a găsi aceste defecte spre a le înlătura.

Mult mai rar pot surveni intreruperi ale bobinajului dacă lipiturile au fost executate corect.

Cele mai frecvente defecte ale infășurărilor în timpul execuției provin datorită deteriorării izolației ; astfel se pot produce :

- scurtcircuitate între spire la bobinele prefabricate sau la infășurările montate în crestături ;
- puneri la masă directe sau în timpul încercărilor de control.

Metodele de încercare descrise în paragraful precedent permit stabilirea și localizarea defectului.

##### **10.11.1. Scurtcircuitul între spire**

Acest defect se produce datorită izolației de calitate slabă — datorită utilizării unui conductor, neizolat în acastă regiune sau datorită deteriorării mecanice a izolației în timpul execuției — și apare la probă între spire. Procedind din aproape în aproape, încercând pe rînd fiecare bobină în parte, se pot identifica bobinele care prezintă scurtcircuitate între spire. Bobinele defecte se înlocuiesc cu bobine noi, în cazul în care defectul nu se poate remedia ușor prin întărirea izo-

lației cu o izolație suplimentară în locul defect. Trebuie avut grijă ca prin întărirea izolației să nu rezulte o îngroșare a bobinei care ar conduce la introducerea forțată a acesteia în crestătură dind astfel posibilitatea apariției unor noi defecte. În acest scop se înlătură izolația din locul defect și se bandajează cu o nouă izolație asigurînd totodată strîngerea și menținerea izolației pe conductor și între-spire.

#### 10.11.2. Punerea la masă

La măsurarea rezistenței de izolație sau la încercarea rigidității bobinelor prefabricate sau a infășurării montate în crestături se poate constata o punere la masă a acestora. Defectul apare datorită deteriorării izolației infășurării față de masă; astfel izolația crestăturii poate fi tăiată de către toalele care au marginile ieșite, sau izolația are calități mecanice și electrice slabe. În primul caz după ce s-a scos bobina din crestătura în care s-a produs punerea la masă, se iau mai întîi măsuri de înlăturarea cauzei defectului; în acest scop se pilesc marginile toalelor ieșite în afară. Izolația defectă a crestăturii se înlocuiește cu una nouă.

### 10.12. IMPREGNAREA, ACOPERIREA ȘI COMPUNDAREA BOBINELOR ȘI INFĂȘURĂRILOR MAȘINILOR ELECTRICE

În construcția mașinilor electrice se utilizează încă în mare măsură materialele electroizolante pe bază de fibre (bumbac, mătase, carton electrotehnic, țesături din fire de sticlă etc.) care prezintă porozitate, canale capilare și în general multe interstiții umplute cu aer. Totodată ele prezintă o hidroscopicitate ridicată absorbind apă din mediul ambient. Aerul din interstiții prezintă o conductibilitate termică redusă, constituind de fapt un izolant termic și mărind astfel încălzirea infășurărilor. Rigiditatea dielectrică scăzută a aerului favorizează descărcările electrice în aceste interstiții în timpul funcționării mașinii conducînd la o uzură prematură a izolației.

Materialele electroizolante fibroase neimpregnate nu prezintă o rigiditate mecanică suficientă pentru a rezista la forțele electrodinamice de scurtcircuit și chiar la forțele mecanice care se produc în decursul procesului tehnologic.

Totodată materialele electroizolante fibroase neimpregnate au o mare aderență la praf (se mărește astfel stratul izolant termic de la

suprafața înfășurării, conducind implicit la o creștere a încâlzirii înfășurării), precum și o rezistență scăzută la acțiunea agenților chimici.

Toate aceste deficiențe se elimină prin procedeele de impregnare, acoperire sau compundare. Aceste procedee constau în principal din următoarele operații :

- uscarea bobinajelor neimpregnate ;
- impregnarea, acoperirea sau compundarea cu lacuri electroizolante respectiv compunduri bituminoase ;
- uscarea lacului sau compundului.

În funcție de procedeu, respectiv de tipul de lac sau compund utilizat, instalațiile necesare operațiilor implică anumite utilaje specifice.

În urma impregnării, acoperirii sau compundării, lacul electroizolant respectiv compundurile bituminoase umplu interstițiile și golurile de aer din bobine și înfășurări. Lacurile și compundurile electroizolante utilizate în acest scop au caracteristici electrice, mecanice și termice net superioare față de cele ale aerului, împiedicînd totodată acțiunea agenților chimici asupra materialelor electroizolante fibroase, pătrunderea umezelii în înfășurări și apariția îmbătrînirii premature a izolației.

Prin operațiile de uscare, impregnare și compundare trebuie să se realizeze următoarele :

- izolația înfășurărilor să nu prezinte înaintea acestui proces o umiditate ridicată ; apa din înfășurare ar rămîne inolusă în izolație în urma impregnării sau compundării și ar reduce caracteristicile electroizolante ale acesteia ;
- izolația înfășurărilor să nu prezinte incluziuni umplute cu agenți chimici și solvenți care pot aciona asupra materialelor electroizolante ;
- izolația să nu prezinte unul din agenții din mediul ambiant (praf, pilitură etc.), care ar putea micșora eficiența impregnării, respectiv a compundării ;
- lacul de impregnare sau compundul bituminos de compundare să pătrundă prin toate interstițiile bobinelor sau înfășurărilor, ocupînd locul aerului care trebuie scos ;
- prin uscarea lacului trebuie să rezulte o suprafață lucioasă, neaderentă la praf, fără fisuri și care să nu permită pătrunderea aerului, umezelii etc.

Impregnarea, acoperirea și respectiv compundarea efectuate îngrijit, asigură însăși clasa de izolație a mașinii ; astfel, materialele pe bază de hîrtie și bumbac neimpregnate fac parte din clasa Y de izolație (care admite o temperatură limită de 90 °C), iar după impregnare trec în clasa A de izolație, admitînd o temperatură limită de 105 °C.

#### 10.12.1. Pregătirea bobinelor și înfășurărilor pentru operațiile de impregnare sau compundare

Înainte de a se efectua impregnarea sau compundarea, bobinele și înfășurările trebuie supuse anumitor operații de uscare. Bobinele, respectiv înfășurările care urmează să fie uscate în vederea impregnării, trebuie supuse în prealabil următoarelor operații pregătitoare :

- curățirea cu aer comprimat uscat ;
- consolidarea bobinelor pentru a nu se deformă în timpul uscării și impregnării ;
- așezarea bobinelor pe căruciorul cuporului și introducerea lor în cupitor.

În fig. 10.157 se arată un grup de bobine așezate pe o ramă, gata pentru uscare și impregnare.

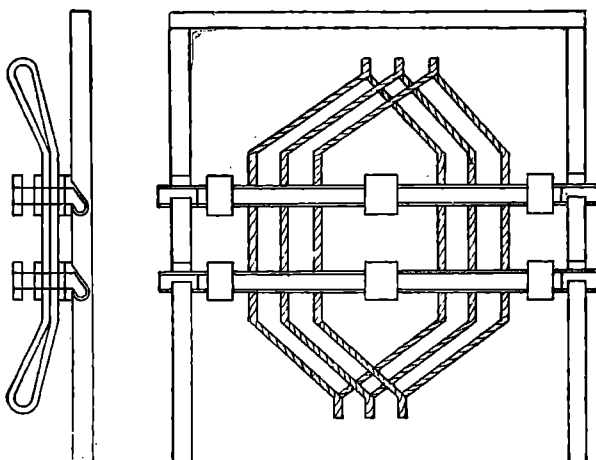


Fig. 10.157. Bobine fixate în dispozitiv-ramă gata de impregnare.

Operația de bază în perioada de pregătire a bobinelor și înfășurărilor o constituie uscarea efectuată în vederea eliminării umidității absorbită de materiale izolante care constituie izolația înfășurării.

Uscarea se face în cuptoare izolate termic, protejate împotriva incendiilor și amenajate special în vederea asigurării desfașurării controlate a procesului de uscare :

- uscarea în curent de aer încălzit (cu circulație de aer naturală sau forțată) ;
- uscarea în vid ;
- uscarea cu radiații infraroșii.

Cuptoarele de uscare sunt amenajate corespunzător fiecărui procedeu. În primul caz cînd uscarea se face prin circulația aerului cald, sursa de căldură poate fi o rezistență electrică alimentată de la rețea, lămpi cu radiații infraroșii alimentate de asemenea de la rețea, o

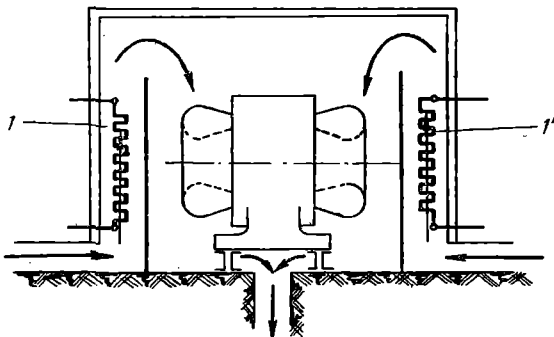


Fig. 10.158. Schema cuptorului cu circulație naturală de aer pentru uscarea infășurărilor :  
1, 1' — rezistențe de încălzire.

conductă de abur încălzit etc. Aerul încălzit care spală mașina poate circula într-un circuit deschis sau închis ; cînd aerul circulă în circuit deschis conductele de alimentarea cu aer și cea de refugare sunt în legătură directă cu mediul ambiant (fig. 10.158).

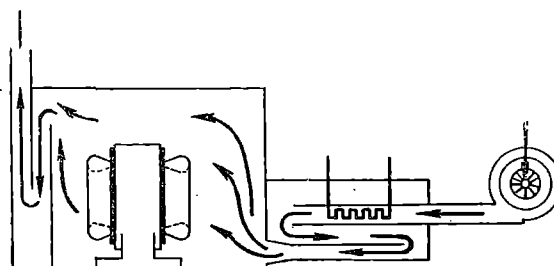


Fig. 10.159. Schema instalației de uscare cu circulație forțată de aer cald.

În fig. 10.159 este reprezentat schematic un cuptor cu circulație forțată a aerului încălzit. Aerul absorbit din exterior de o suflantă este refugat printr-o conductă într-o cameră de încălzire, iar de aici pătrunde în camera de uscare ; după ce spală obiectul de uscat este refugat spre mediul ambiant.

Uscarea în vid (adică într-un spațiu în care s-a scos aerul) este realizată de obicei în instalațiile complexe de uscare și impregnare sau uscare și compundare.

Uscarea cu radiații infraroșii are loc în cuptoare amenajate special; lămpile care emit radiații infraroșii se aşază în rînduri pe pereteii, cuporului iar radiația este îndreptată spre obiectul de uscat. Aceste lămpi se produc pe scară largă în țara noastră. Prin utilizarea lămpilor cu radiații infraroșii, durata procesului de uscare se poate scurta de 6—7 ori, iar consumul de energie se poate reduce de 2 ori. Cuptoarele cu radiații infraroșii se pretează foarte bine la procesul de uscare continuu prin transportor.

Regimul de uscare, temperatura și durata uscării influențează gradul de eliminare a umidității; în tabela 10.33 sunt indicate temperaturile optime și durata uscării. De remarcat că uscarea în vid poate fi efectuată la o temperatură mai scăzută (solicitându-se astfel mai puțin materialul din punct de vedere termic); temperaturile de uscare în vid (adică într-un spațiu din care s-a scos aerul) sunt mai reduse deoarece prin scăderea presiunii aerului în instalațiile de uscat a izolației mașinilor electrice, viteza de evaporare a umezelii de pe suprafața materialelor izolante crește; se mărește totodată adâncimea de la care se elimină umezeala.

Durata procesului de uscare se stabilește în funcție de dimensiunile bobinei și mai precis în funcție de grosimea bobinei, respectiv în funcție de gabaritul mașinii.

La uscarea în cuptoare cu circulație de aer, se disting două perioade: în prima perioadă după introducerea obiectelor de uscat în cupor și închiderea ușilor, se asigură o circulație de aer maximă și o reîmpărtăre puternică a aerului, reglind corespunzător ventilele conductelor de acces și refulare; în a doua perioadă se micșorează debitul de aer la o valoare minimă, asigurându-se astfel o creștere corespunzătoare a temperaturii.

Și în cazul uscării în vid se deosebesc două perioade: în prima perioadă încălzirea bobinelor, respectiv infășurarea are loc la presiunea atmosferică (perioada de preîncălzire), iar în a doua parte după ce infășurările au ajuns la temperatura de uscare propriu-zisă, se face vid (punind în funcțiune pompele de vid) și începe uscarea propriu-zisă.

Controlul uscării se face măsurând rezistența de izolație a infășurării cu megohmmetrul. În decursul procesului de uscare rezistența de izolație scade întrucâtva la început ca în fig. 10.160, iar apoi crește,

Tabel 10.33

**Regimul de uscare în funcție de modul de uscare, dimensiuni și clasa de izolație a bobinelor și infășurărilor**

Nr. crt.	Tipul bobinajului	Dimensiuni gabarit	Modul de uscare	Temperatură °C	Durată uscării ore
1	Bobine ale mașinilor de joasă tensiune izolate cu izolație clasa A	mici mijlocii mari	Cu circulație de aer în vid Cu circulație de aer în vid Cu circulație de aer în vid	110—120 80—100 110—120 80—100 110—120 80—100	2—3 1—2 3—4 2—3 4—8 3—6
2	Bobine ale mașinilor de joasă tensiune izolate cu izolație clasa B, F	mijlocii sau mari	Cu circulație de aer	130—140	6—8 și mai mult
3	Bobinile mașinilor de înaltă tensiune cu izolație din produse de mică tensiune	—	în vid	140—150	6—10 și mai mult
4	Statoare și rotoare bobinate pentru tensiuni pînă la 500 V, izolație clasa A	mic mijlocii mare	Cu circulație de aer	110—120	3—5 5—8 8—14 și mai mult
5	Idem izolație clasa B, F	mijlocii mare	Cu circulație de aer	130—160	4—6 6—8 și mai mult
6	Idem rezistențe la umiditate	mic mijlociu mare	Cu circulație de aer	120—130	4—6 6—10 10—16 și mai mult
7	Statoare și rotoare bobinate pentru tensiuni de 600—600 V	—	Cu circulație de aer în vid	120—130 110—120	12—18 și mai mult 8—12 și mai mult

atingînd astfel valoarea maximă care rămîne constantă apoi spre sfîrșitul procesului. În fig. 10.160 s-a mai reprezentat și variația prescrisă a temperaturii în timpul uscării.

Reușita operației de impregnare depinde foarte mult de uscarea înfășurărilor și bobinelor ; prezența umidității în izolația înfășurării are un rol deosebit de negativ grăbind îmbătrînirea și distrugerea ei și face ineficientă impregnarea sau compundarea.

### 10.12.2. Impregnarea și acoperirea înfășurărilor

După uscarea bobinelor și înfășurărilor urmează procesul de impregnare a acestora efectuat în scopul golirii interstițiilor de aer, din izolație și umplerea acestora cu lac izolant.

Impregnarea se poate face după două procedee principale :

- impregnarea prin cufundarea obiectului într-o baie de lac la presiunea atmosferică ; procedeul se numește și impregnare prin imersiune ;

- impregnarea în autoclavă în vid.

În unele cazuri, cînd nu se poate aplica nici unul din aceste două procedee (la mașinile de dimensiuni mari și în cazul mașinilor electrice de mică putere destinate a funcționa în locuri lipsite de umezeală), lacul de impregnare se aplică local prin turnare sau prin șprîtuire (v. fig. 10.161 — după Beck).

Calitatea impregnării depinde de gradul în care a pătruns lacul în porii și canalele materialului izolant deci de numărul de bule de aer rămase în materialul izolant după impregnare.

#### *Impregnarea prin cufundare*

După uscare bobinele și înfășurările izolate cu bumbac sau mătase se lasă să se răcească pînă la 40—60 °C ; cele izolate cu email se lasă să se răcească pînă la temperatura mediului ambient. La această temperatură obiectele sunt pregătite pentru impregnare.

Baia de lac la o temperatură de 20—30 °C trebuie să fie suficient de adîncă pentru a permite cufundarea completă a obiectului de

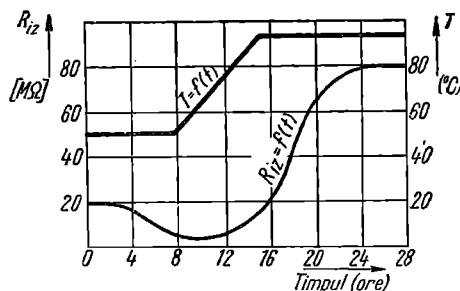


Fig. 10.160. Variația rezistenței de izolație și a temperaturii în timpul uscării unei înfășurări.

Fig. 10.162. Impregnarea prin cufundare.

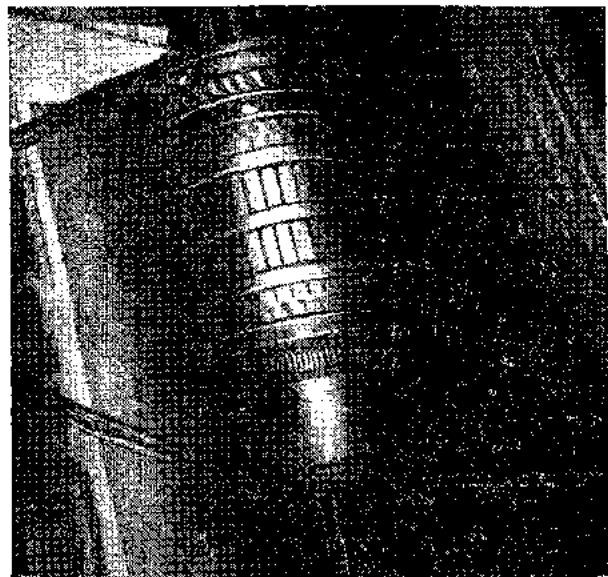
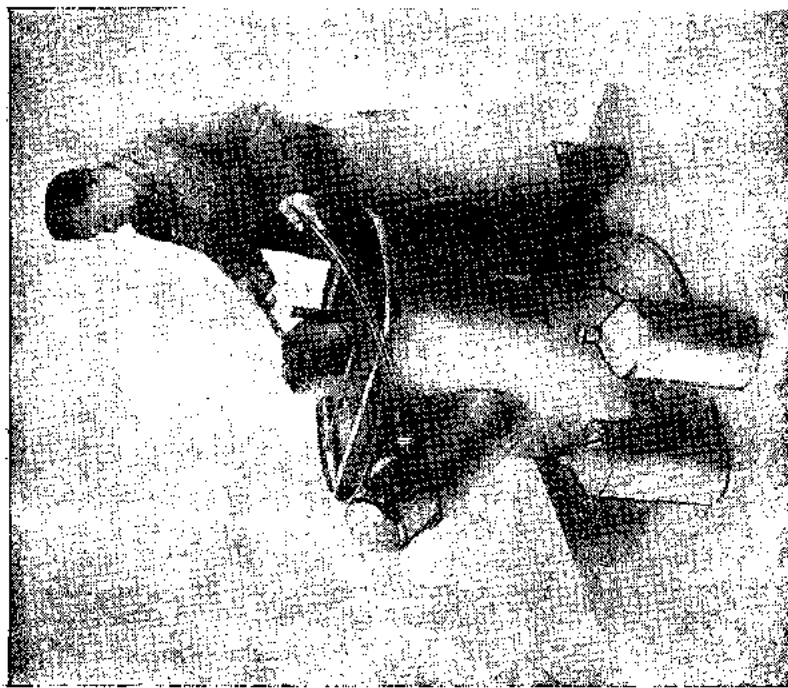


Fig. 10.161. Impregnarea prin sprătuire.



impregnat. Piezile susținute de dispozitive prin agățare sunt introduse manual sau cu o macara încet într-o poziție înclinată, pentru a permite o evacuare usoară a aerului și o pătrundere cît mai adâncă a lacului. Bobinele și înfășurările se țin cufundate în lac 10 minute sau mai mult, pînă dispare complet ridicarea buzelor la suprafața lacului din baie (v. fig. 10.162).

După aceea se scot obiectele din baie și se mențin suspendate deasupra ei pînă încetează surgingerea surplusului de lac antrenată o dată cu obiectul la ridicare; rotoarele se pot învîrti, pentru centrifugarea eventualelor pungi acumulate în golurile dintre capetele de bobină, canale etc.

După impregnare obiectele sunt supuse unui proces de uscare.

În general la prima impregnare este indicat să se folosească lacuri puțin viscoase, conținînd 20—25% elemente nevolatile; în acest fel lacul pătrunde rapid și adînc în interstițiile și în porii izolați. La o a doua impregnare conținutul de elemente nevolatile poate ajunge pînă la 40—50%. La următoarele impregnări conținutul de elemente nevolatile poate fi sporit. Durata menținerii înfășurărilor la impregnare este maximă pentru prima impregnare. Durata ultimei impregnări nu poate fi mai mică de 5—10 min.

### *Impregnarea în vid*

Procedeul tehnologic de impregnare în vid este mai complex și necesită instalații mai complicate.

În fig. 10.163 este reprezentată schematic o instalație de impregnare.

În autoclava 1 se introduc bobinele, rotoarele sau statoarele bobinate și uscate, gata pentru impregnare. De multe ori uscarea are loc tot în această autoclavă. Autoclava este închisă etanș pentru a se putea realiza vidul, și este izolată termic și prevăzută cu dispozitiv de răcire. Circuitul prin peretii autoclavei, asigură tocmai răcirea sau încălzirea acesteia. Autoclava 2 este un rezervor de lac cu dispozitiv de răcire. Autoclava 3, echipată cu ventilator și dispozitiv de încălzire, servește la uscarea obiectelor.

Instalația este echipată cu o pompă de vid pentru realizarea vidului în autoclavele de impregnare și uscare și cu un compresor pentru realizarea presiunii de 7—8 at.

După uscarea bobinelor și a înfășurărilor etapele acestui procedeu sunt următoarele :

— răcirea bobinelor la temperatură cerută de procedeul de impregnare;

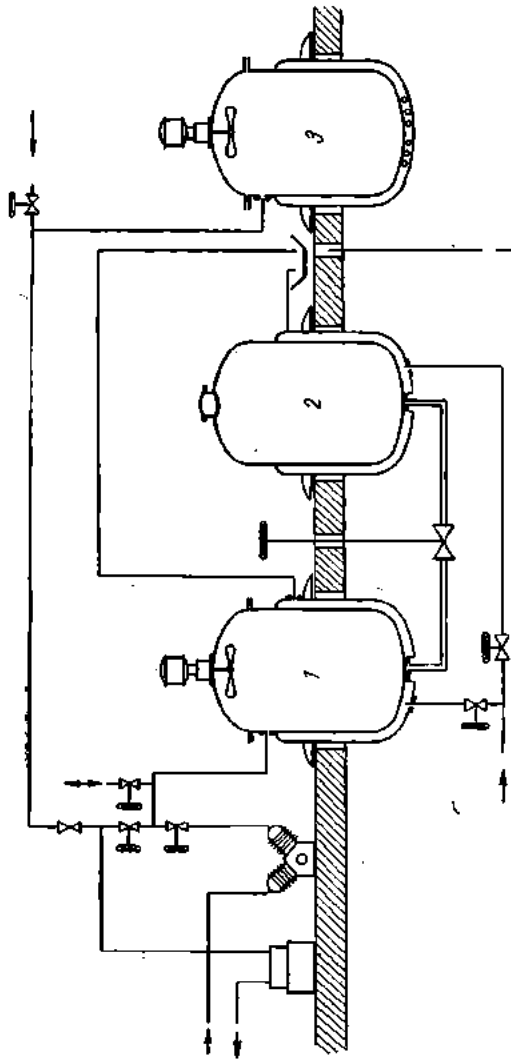


Fig. 10.163. Schema unei instalatii de impregnare:  
 1 — autoclavă de impregnare cu dispozitiv de răcire și ventilator interior; 2 — rezervor cu lichid cu dispozitiv de răcire;  
 3 — autoclavă pentru uscarea în vid.

- introducerea obiectelor de impregnat în autoclave speciale și producerea vidului (se scoate aerul din autoclave cu pompe de vid) ;
- introducerea lacului în autoclavă prin aspirație sau pompare și revenirea la presiunea atmosferică ; menținerea lacului la această presiune pînă la 10 min ;
- evacuarea sub o ușoară presiune a lacului din autoclavă ;
- scurgerea surplusului de lac de pe obiectele din autoclavă în timp de 20—30 min ; după scurgerea surplusului de lac se poate realiza din nou vidul în autoclavă și menține timp de 30 min în vederea evaporării rapide a solventului ; urmează apoi o aerisire de 10 min ; procedeul poate fi reluat de două-trei ori, evaporind astfel o mare cantitate de solvent ;
- scoaterea obiectelor din autoclavă și uscarea în aer.

Impregnarea în vid și sub presiune este însotită de o creștere a presiunii — după ce s-a introdus lacul în autoclavă — pînă la o presiune de 7—8 at (adică 7—8 ori presiunea atmosferică, așa cum rezultă din curba notată cu  $p=f(t)$  dată în fig. 10.164.

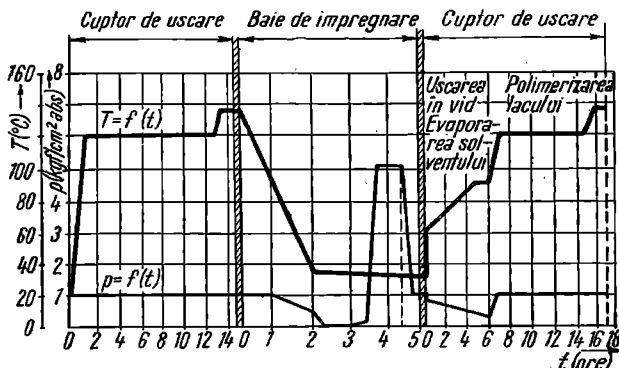


Fig. 10.164. Graficul procesului tehnologic (temperatura  $T$  și presiunea  $p$ ) de uscare-impregnare-uscare pentru o instalație cu lacuri pe bază de rășini sintetice.

Variatia temperaturii obiectului de impregnat introdus într-o instalație complexă de uscare-impregnare în vid și apoi sub presiune și uscarea este reprezentată de curba  $T=f(t)$  din fig. 10.164.

Impregnarea sub presiune asigură o pătrundere și mai adâncă a lacului de impregnare.

Operația de vidare — introducerea lacului — realizarea presiunii se poate repeta de 2—3 ori în vederea obținerii unei calități bune a impregnării fără a socoti aceasta o impregnare repetată.

### *Acoperirea înfășurărilor*

Pentru a face infășurările rezistente la umiditate sau în condițiile tropicale, se recurge la acoperirea suprafetei înfășurărilor cu o peliculă de lac de acoperire realizată prin pulverizare (fig. 10.165), prin aplicarea cu pensula sau printr-o cufundare de scurtă durată de 10—15 s pînă la 2—3 min.



Fig. 10.165. Pulverizarea lacului de acoperire.

Metoda pulverizării permite realizarea unor straturi subțiri și uniforme de lac, însă are dezavantajul că nu poate realiza o acoperire sigură a suprafețelor mai greu accesibile ale înfășurărilor.

Aplicarea lacului cu pensula se utilizează numai în cazul retușărilor acoperirilor.

Metoda cea mai bună de acoperire este aceea a cufundării bobinelor într-o baie de lac de acoperire; prin acest procedeu rezultă o peliculă subțire și continuă.

Înfășurările uscate după operația de împregnare, se răcesc pînă la 50—60 °C, se acoperă cu un lac de acoperire printr-una din metodele de mai sus, iar apoi se usucă fie în aer liber, fie în cuptorul de uscat.

Lacurile recomandate pentru acoperiri sunt lacurile asfalto-uleioase. În prezent se întrebunează pentru acoperire și emailurile pig-

mentate ce conțin un pigment anorganic în scopul de a ridica conductivitatea termică și rezistența emailului la temperaturi ridicate.

Uscarea în mediul ambiant necesită 3 pînă la 12 ore în funcție de tipul lacului de acoperire. Uscarea în cuptor pentru cazul cînd se utilizează un lac de acoperire cu uscarea în cuptor, durează 4—8 ore și se face la temperatura de 100—130 °C.

### *Uscarea după impregnare*

După impregnare, înfășurările sunt supuse procedeului de uscare în vederea eliminării solventului din lacul de impregnare și polimerizării lacului.

Astfel în prima perioadă are loc evaporarea solventilor la temperatură de 50—70 °C în decurs de 2—4 ore. Ridicarea temperaturii peste 70 °C în această perioadă conduce la o uscare a lacului la suprafața bobinelor și înfășurărilor, împiedicînd astfel evaporarea solventilor din interiorul lacului de impregnare.

În perioada a două are loc procesul de polimerizare a lacului de impregnare. Temperatura de uscare are o influență importantă asupra rigidității dielectrice a peliculelor de lacuri oleobituminoase. În figura 10.166 este reprezentată variația rigidității dielectrice a unui lac de impregnare în funcție de durata procesului, pentru diferite temperaturi de uscare.

Din figură rezultă că menținerea înfășurării la o anumită temperatură peste 4 ore nu va conduce la o modificare sensibilă a rigidității dielectrice. În schimb prin creșterea temperaturii de uscare de la 80 °C la 120 °C rezultă o mărire a rigidității dielectrice de cîteva ori.

Temperatura de uscare a bobinelor și înfășurărilor izolate cu izolație clasa A este de 120—130 °C, iar a celor din clasele de izolație

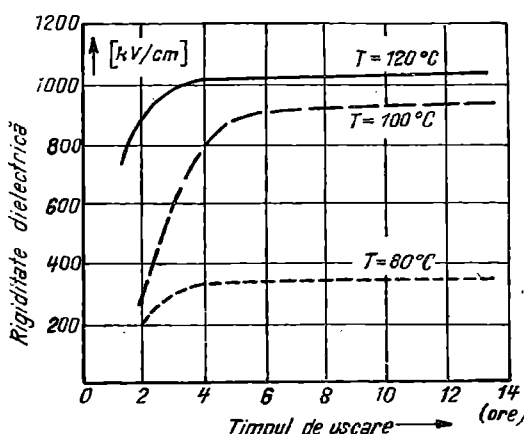


Fig. 10.166. Rigiditatea dielectrică în funcție de durata uscării pentru diferite temperaturi de uscare.

B-F este de 140—160 °C. Durata procesului de uscare variază de la 2—3 ore la bobinele de grosime mică, la 12—24 ore la statoarele și rotoarele mari.

#### *Procedee de impregnare și acoperire*

Impregnarea infășurărilor se face după diferite procedee în funcție de lacurile de impregnare și acoperire alese, de numărul de impregnări etc.

Lacul de impregnare trebuie să corespundă clasei de izolație a materialului izolant. Impregnarea bobinajelor din conductor izolat cu email de ulei implică alegerea unor lacuri oleorăšinoase, având ca solvent terebentina, care nu dizolvă emailul. La utilizarea unor lacuri pe bază de hidrocarburi (lacul 447), care pot ataca puternic emailul, trebuie aleasă o durată scurtă de cufundare în lac a obiectului; aceste lacuri se pot utiliza în leșebi cind mai au peste stratul de email, un strat de bumbac sau mătase.



Fig. 10.167. Instalație de impregnare prin picurare.

Numărul de impregnări depinde de tensiunea mașinii și de regimul și condițiile de funcționare; astfel la mașinile de tensiune joasă se efectuează 2—4 impregnări, iar la mișinile de tracțiune — 3—5 impregnări.

Procedeele de impregnare cu indicarea tipului de lac și a temperaturilor de uscare, impregnare, acoperire și uscare sunt indicate în tabela 10.34 pentru diferite tipuri de bobine, funcționând în diferite condiții.

În ultimii ani, pentru impregnarea mașinilor electrice de mică

putere a fost introdusă o metodă nouă de lucru: impregnarea prin picurare (firma Dr. Beck GmbH — R.F.G.) care constă din aplicarea de rășini de impregnare (epoxidice) într-o stare viscoasă (fără diluant) sub formă de picături direct pe infășurare, așa cum este reprezentat în fig. 10.167. Prin rotirea piesei (rotor sau stator) ținută înclinat în

tot timpul turnării rășinii, se asigură astfel umplerea golurilor din creștări și a interstițiilor din zona capului de bobină. După terminarea operației de picurare a rășinii (în compoziția căreia intră și un întăritor), se introduc piesele în cuptor la temperatura de  $120^{\circ}\text{C}$  timp de 1—4 ore sau 24 ore la temperatură camerei.

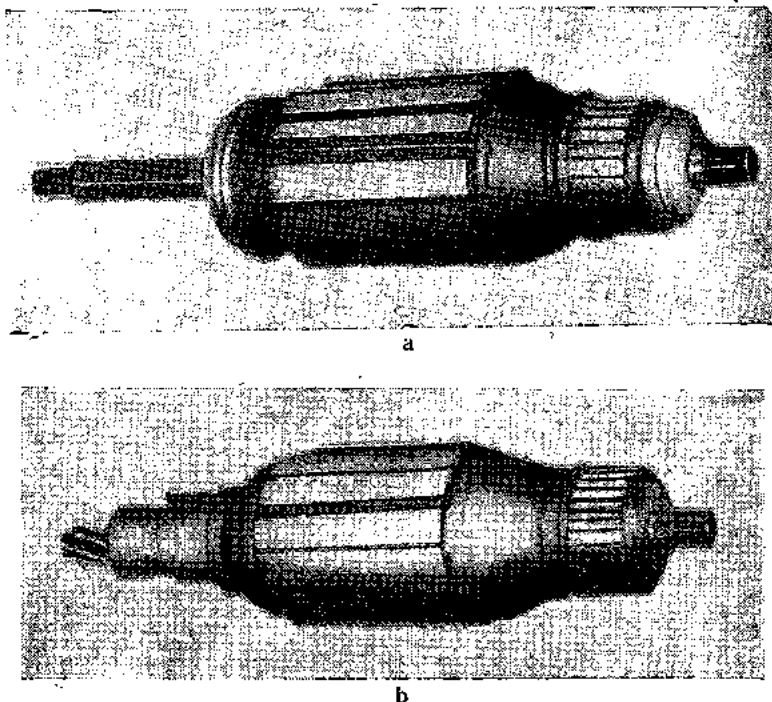


Fig. 10.168. Rotoare ale mașinilor de curent continuu.

În fig. 10.168 sînt arătate două rotoare de motoare de mică putere, realizate de întreprinderea Electromotor-Timișoara, executate după procedeul clasic (a) care necesită bandajarea capetelor de bobină și după procedeul de impregnare prin picurare (b).

### 10.12.3. Compundarea bobinelor

Compundarea este o impregnare cu un amestec ce are ca bază bitumul lichid. Ea se aplică cu precădere bobinelor rigide care compun înfășurările mașinilor electrice de tensiune înaltă sau care funcțio-

nează în medii umede. Compundarea asigură pentru izolația mașinilor o mare rezistență la umiditate.

La fiecare fel de bitum folosit corespunde un anumit bitum solvent.

Compundarea se face în mediu de azot sub o presiune de 6—8 atmosfere la o temperatură care poate atinge valoarea de 165—175 °C. Uscarea prealabilă compundării se face de regulă cu vid înaintat

peste 96% și la temperatură de 160—165 °C.

Procesul tehnologic al unei singure compundării este de aproximativ 22 ore.

Obiectele de compundat se usucă în prealabil și se consolidează în cazul cînd nu prezintă o rigiditate suficientă; în fig. 10.169 se arată cum se fixează capătul de bobină cu ajutorul unui colțar de tablă.

Fig. 10.169. Consolidarea capetelor de bobină prin colțare din tablă de oțel înainte de compundare.

O instalație de compundare are ca utilaj principal o autoclavă de impregnare (notată cu 1 în fig. 10.170) și una pentru topire și realizarea amestecului (notată cu 2). Celelalte elemente ale instalației și anume rezervorul pentru compund, sistemul de încălzire, de răcire, pompele de vid și pompele de circulație, compresorul, condensorul etc. reprezintă utilaje auxiliare care asigură desfășurarea procesului de compundare. Datorită complexității procesului tehnologic și a instalației, asemenea utilaje se întâlnesc numai în fabricile mari construcțoare de mașini electrice.

În fig. 10.171 este reprezentată diagrama procesului tehnologic de compundare indicindu-se variația temperaturii, a presiunii și etapele în funcție de timp. Etapa de uscare preliminară este realizată în autoclavă.

După cum rezultă din fig. 10.171, procesul tehnologic de compundare decurge astfel: bobinele de compundat avînd temperatura de circa 30° se introduc în autoclava 1 care are o temperatură de 100 °C. Se închide etanș autoclava și se produce vid cu ajutorul pompelor 9 și 8. Se introduce apoi azot la presiunea atmosferică și se menține astfel circa 2 ore. Între timp temperatura în interiorul autoclavei crește pînă la 160 °C, menținîndu-se apoi constantă.

Apoi este retras azotul din autoclavă realizîndu-se iarăși vid și menținîndu-se această situație circa o oră; autoclava este umplută cu

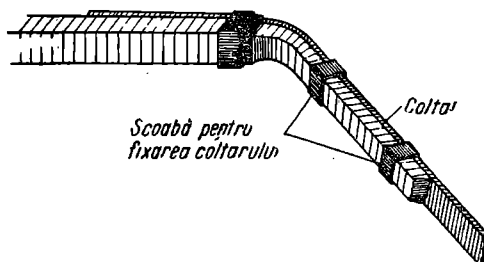


Fig. 10.169. Consolidarea capetelor de bobină prin colțare din tablă de oțel înainte de compundare.

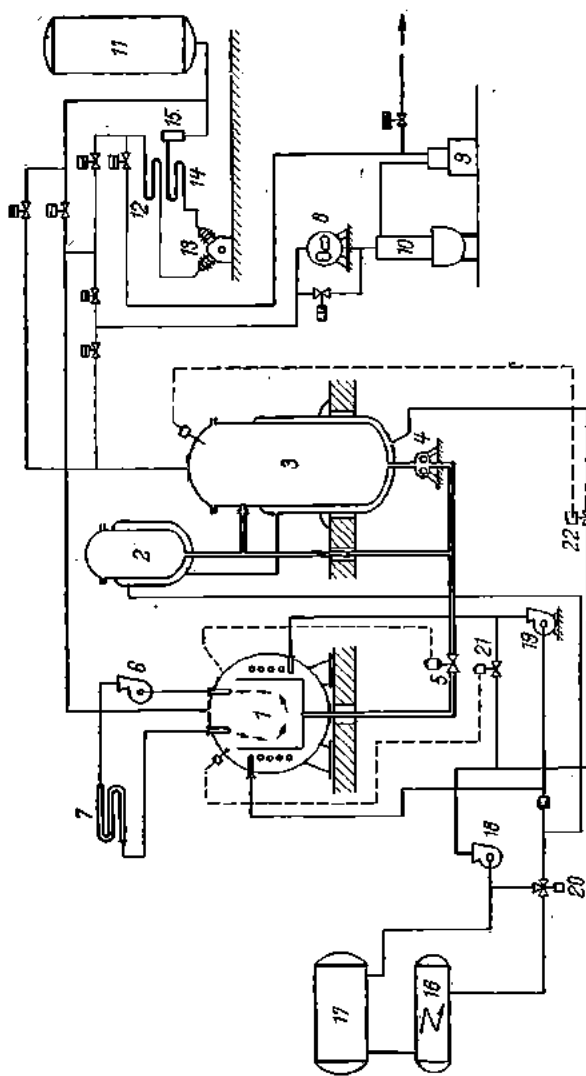


Fig. 10.170. Schема de principiu a unei instalații de compundare:

1 — autoclav de împresari; 2 — autoclav pentru tăierea compundului; 3 — rezervor pentru compund; 4 — pompă pentru circulația compundului; 5 — valvă pentru comandă lecțuiu prin râcitor; 6 — râcitor de circulație; 8 — pompă de vid; 9 — pompă de vid preliminar; 10 — râcitor de vid; 11 — rezervor de azot; 12 — râcitor preliminar pentru compresorul de azot; 13 — compresorul de azot; 14 — condensator; 15 — separator principal; 16 — pompă de amestec; 17 — vas din expandare; 18 — râcitor central de încălzire; 19 — pompă pentru circulația uleiului; 20 — regulator de regaj; 21 — supape de regaj pentru temperatură.

compund prin deschiderea vanei 5 și cu ajutorul pompei 4, după care se introduce din nou azot sub presiune ridicîndu-se presiunea azotului cu compresorul 13 pînă la 7–8 at. După 20–30 min compundul este retras din autoclavă și începe răcirea bobinelor.

La circa 3 ore de la realizarea presiunii este retras și azotul trimîndu-se iar în rezervorul de azot 11; presiunea scade pînă la presiunea atmosferică. Între timp temperatura în autoclavă a ajuns la aproximativ 100 °C.

Se deschide autoclava și se scot bobinele, operația de compundare fiind încheiată.

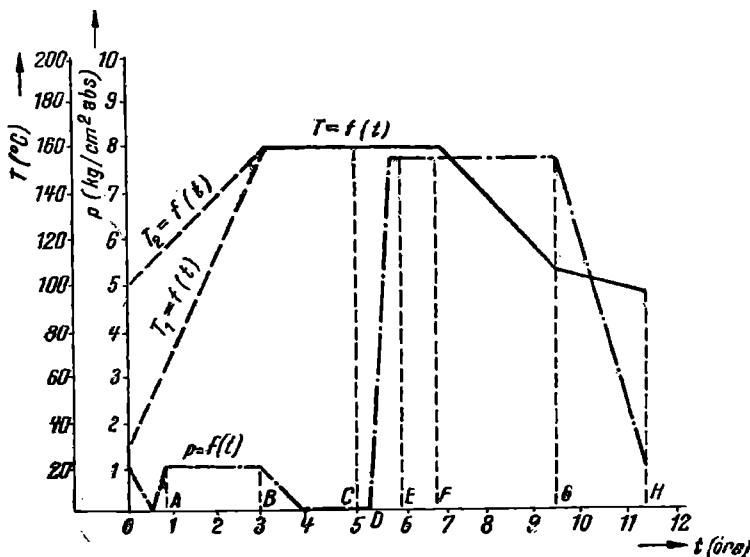


Fig. 171. Diagrama procesului tehnologic de compundare a bobinelor :  
 T — temperatura; p — presiunea; A — umplerea cu azot a autoclavei sub vid; B — scoaterea azotului și vidarea autoclavei; C — introducerea compundului în autoclavă; D — introducerea azotului pînă la presiunea de impregnare; E — scoaterea compundului din autoclavă și depunerea lui în autoclavă de topire; F — începerea răcîrîlîi infășurărilor; G — scoaterea azotului din autoclavă; H — scoaterea infășurărilor din autoclavă.

Durata etapelor procesului de compundare se alege funcție de dimensiunile bobinelor de grosimea izolației etc. În tabela 10.35 sunt indicate duratele diferitelor etape, etapa de uscare preliminară fiind realizată în autoclava de compundare.

Din tabelă rezultă că în cazul cînd numărul de straturi de mica-bandă este mai mare decît zece, se execută două sau trei compundări.

Tabelă 10.35

## Procedee de compundare pentru diferite tipuri de bobine

Nr. crt.	Tipul de bobine	Izolația	Regimul de uscare și compundare	Durata ore
1	Bobine polare	conductor izolat cu bumbac	Uscare la 150—170 °C Uscare în vid Compundare sub presiune	2 1/2 1/2—1
2	Bobine de stator de tensiune joasă	micabandă	Uscare în vid Compundare sub presiune	4 4
3	Bobine de stator de tensiune înaltă	3—6 straturi micabandă	Uscare la 150—170 °C Uscare în vid Compundare sub presiune	1 6 4
4	Idem	6—10 straturi micăbandă	Uscare la 150—170 °C Uscare în vid Uscare sub presiune Uscare în vid Compundare sub presiune	2 5 1 6 5
5	Bobine de stator de tensiune înaltă	11—16 straturi micăbandă	Două compundări ca mai sus, una după izolarea cu 5—8 straturi și a doua după izolarea definitivă	40
6	Idem	17—21 straturi micăbandă	Trei compundări ca la nr. 4	60

### 10.13. STABILIREA DEFECTELOR INFĂŞURĂRILOR REPARTIZATE LA MAŞINILE MONTATE

Defectele infăşurărilor se constată fie în timpul funcționării mașinii electrice datorită schimbării caracteristicilor de funcționare ale mașinii, fie cu prilejul verificării periodice a stării mașinii. De cele mai multe ori în cazul din urmă defectele existente nu scot mașina din funcțiune dar pot conduce la deteriorarea accentuată a acesteia, adică nu se iau măsuri de înlăturare a defectelor sesizate.

Tabelă 10.34

## Caracteristicile procedeelor de impregnare

Nr. crt.	Tipul bobinelor	Tipul izolației conductorului	Mediu de exploatare	Impregnarea		Acoperirea		Uscare		Impregnare I		Impregnare II		Impregnare III, IV		Acoperire I		Acoperire II		
				Lac	Numărul de impregnări	Lac	Numărul de impregnări	°C	ore	°C	ore	°C	ore	°C	ore	°C	ore	°C	ore	
1	Bobine polare ale mașinilor de joasă tensiune	email-bumbac	normal	447–458 sau 447–462	2	462	2	105–120	2–7	110–120	6–8	110–120	8–12	—	—	—	—	—	—	
		email email-bumbac sau bumbac email	normal umed (miner sau marin)	61 447	1 3	462 SVD	2	100 105–120	2	100 110–120	25 6–8	— 110–120	— 8–12	— 110–120	— 12	— —	— —	— —	— —	— —
		—	idem normal umed (miner sau marin)	61 447–462	1 2–3	SVD 462	2	100 120	2	100 120	25 8	— 120	— 12	— —	— —	— —	— —	— —	— —	
		—	idem normal umed (miner sau marin)	447	3	SVD	2–3	120	8–12	120	12	120	15	120	14–15	—	—	—	—	
2	Statoare și rotoare pentru mașini de joasă tensiune	email polivinil acetol	umed	VI 99	2	ISL	2	130–150	4	130–135	10	130–135	10	—	—	—	—	—	—	
3	Bobine polare ale mașinilor de joasă tensiune	email polivinil acetol	umed	VI 99	2	ISL	2	125–130	4–5	130–135	10	130–135	10	—	—	—	—	—	—	
4	Statoare și rotoare ale mașinilor de joasă tensiune	email polivinil acetol	umed	VI 99	2	ISL	2	125–130	4–5	130–135	10	130–135	10	—	—	—	—	—	—	
5	Bobine polare, statoare de joasă tensiune	email poliamidic și tereftalic TH	normal sau umed tropical	AIM VI 99	2 3	SPD VI 99-lac cu fungicide	2 2–4	120 120–130	4–6 4	120 135–135	10 10–13	120 130–135	10 10–13	— 130–135	— 10–13	120 130–135	2 6–8	120 130–135	2 6–8	120 15 min

Principalele tipuri de defecte care se pot produce la înfășurările repartizate de curent continuu sau alternativ sunt asemenea celor care se pot produce la înfășurările concentrate ; astfel poate surveni întreruperea circuitului înfășurării într-unul sau mai multe puncte, scurtcuite între spire, bobine sau faze, puneri la masă în urma deteriorării izolației înfășurării etc. Influența acestora asupra funcționării mașinii se manifestă întrucâtva diferit și pe baza acestui fapt se poate indica tipul defectului și chiar identifica locul defectului, sau se pot aduce precizări despre zona probabilă în care s-a produs deteriorarea izolației.

#### 10.13.1. Influența defectelor înfășurărilor asupra caracteristicilor de funcționare ale mașinilor electrice

Pentru a stabili influența defectelor înfășurărilor asupra caracteristicilor de funcționare vom considera mai întâi cazurile simple, cind se produce numai unul dintre defecte și într-un singur loc. În principal apariția defectelor conduce la micșorarea capacității de suprareîncărcare a mașinii, la creșterea curentilor prin circuitele în funcțiune și deci la încălziri medii ridicate și încălziri locale accentuate la micșorarea vitezei motoarelor de curent continuu și asincrone, la nesimetrii ale tensiunilor pe fază la generatoarele sincrone, la micșorarea randamentului mașinilor, la creșterea vibrațiilor mașinii etc.

În tabela 10.36 se arată influența defectelor înfășurărilor asupra caracteristicilor de funcționare ale mașinilor electrice.

#### *Influența întreruperii înfășurărilor indusului mașinilor de curent continuu și a înfășurărilor mașinilor de curent alternativ*

În cap. 4 s-a stabilit că înfășurările indusului mașinilor de curent continuu au cel puțin două căi de curent. La întreruperea uneia din căile de curent, curentul din indus se închide prin celelalte căi (în care s-a presupus că înfășurarea în inel a indusului prezintă o întrerupere) ; în cazul înfășurării din rotor a mașinii bipolare reprezentate în fig. 10.172 se constată o creștere a curentului de la  $I/2$  la  $I$  pe calea de curent neîntreruptă și deci o creștere a pierderilor produse în această cale de curent. Pierderile în înfășurare sunt  $p=RI^2$  ; curentul total  $I$  prin mașină a rămas același sau a crescut chiar, însă rezistența  $R$  a înfășurării, a crescut de două ori, deoarece în cazul întreruperii, rezistența înfășurării indusului este egală chiar cu rezistența unei căi de curent (la mașina normală rezistența înfășurării era

Tabelă 10.36

**Influența defectelor asupra caracteristicilor de funcționare ale mașinilor**

Nr. crt.	Defectul	Tipul mașinii	Schimbările care se produc asupra caracteristicilor de funcționare
1	Intreruperea înfășurării indușului	Motor de curent continuu	Scade viteza motorului la aceeași sarcină, crește încălzirea mașinii, apar vibrații și se produc scânteiri ritmice successive la perii
2	Intreruperea înfășurării indușului	Generator de curent continuu	Scade tensiunea la borne la același curent prim induș, crește încălzirea rotorului, apar vibrații și se produc scânteieri ritmice succesive la perii
3	— — rotorului	Motor asincron trifazat	La funcționarea în sarcină se constată oscilații ale curenților din rețea, frecvența de oscilație fiind dublul frecvenței de alimentare
			La pornirea în sarcină motorul ajunge la o viteză pe jumătate din viteză nominală ; pierderile în rotor cresc înadmisibil
4	— unei faze din stator	Motor asincron trifazat	Motorul rămîne în două faze : valoarea cuplului maxim al motorului scade la 0,66 din valoarea cuplului mașinii trifazate ; cresc curenții, crește încălzirea mașinii. Viteza scade
5	— — — —	Generator sincron având conexiunea $\Delta$ în induș	Tensiunea la borne formează un sistem trifazat simetric la funcționarea în gol ; în sarcină au valori inegale
6	— — — —	Generator sincron având conexiunea Y în induș	Tensiunea la borne se produce numai între fazele care au continuitatea circuitului

Tabel 10.36 (continuare)

Nr. crt.	Defectul	Tipul mașinii	Schimbările care se produc asupra caracteristicilor de funcționare
7	Scurtcircuitorarea unor secții (sau a unor băine) din induș	Motor de curent continuu	Crește curentul prin induș foarte mult, o dată cu creșterea numărului de secții scurtcircuite. Încălzirea înfășurării crește. La pornire rotorul rămâne lipit într-o poziție. La colector se produc scînteie cu intensificări ritmice, successive
8	— — — — —	Generator de curent continuu	Cresc pierderile în generator și totodată și încălzirea. Tensiunea la borne scade în funcție de numărul de spire scurtcircuite. La colector se produc scînteie cu intensificări ritmice successive
9	— — — — —	Motor asincron	Caracteristicile nominale nu se schimbă. La motorul asincron cu inele nu se mai poate face reglajul vitezei cu aceleași utilaje în aceleși limite
10	— — — — — stator	Motor asincron	Curentii celor trei faze sunt nesimetrici și încălzirea mașinii crește. Scad performanțele mașinii (viteza, cuplul și randamentul). Se produc încălziri locale suplimentare.
11	— — — — — stator	Generator sincron	Tensiunea indușă în fază scurtcircuitată scade. Se produc încălziri locale
12	Punerea la masă în mai multe puncte a înfășurărilor	Toate tipurile	Se produc efecte comparabile cu cele de la scurtcircuitarea unor porțiuni de înfășurare. În plus apare pericolul electrocutării și perlarea lagărelor cu scoaterea lor prematură din funcțiune

egală cu jumătate din rezistența unei căi de curent). Creșterea pierderilor în infășurare conduce la creșterea încălzirii acesteia.

Creșterea curentului pe calea de curent mai conduce și la creșterea căderii de tensiune  $RI$  în infășurare și deci la micșorarea tensiunii la bornele generatoarelor electrice, respectiv la scăderea vitezei motoarelor.

Forțele  $F$  care se exercită asupra conductoarelor parcuse de curent situate în cîmpul magnetic inductor sunt repartizate neuniform pe periferia rotorului; astfel în fig. 10.172 numai conductoarele din porțiunea de jos a infășurării sunt parcuse de curent și numai asupra lor se exercită forțe. Forța rezultantă are două componente: o componentă tangențială  $F_t$  care produce cuplul în mașină și una normală  $F_n$  care în cazul considerat atrage indusul spre polul inductor sud.

O dată cu învîrtirea rotorului întreruperea infășurării trece în partea de jos dinspre polul inductor sud și atunci numai porțiunea de sus a infășurării este parcursă de curent și rotorul este atras spre polul nord.

Întreruperea infășurării își schimbă însă poziția față de poli la fiecare rotație a indusului și deci sensul forței  $F_n$  variază cu frecvența  $\frac{n}{60}$ ,  $n$  fiind turația motorului în rot/min. Forța  $F_n$  produce astfel vibrații ale rotorului și mărește săgeata de încovoiere a axului.

Întreruperile infășurărilor repartizate de curent alternativ sunt însoțite de efecte asemănătoare. În plus apare nesimetria tensiunilor la bornele infășurărilor. Întreruperea circuitului unei faze la infășurarea trifazată cu o singură cale de curent, transformă mașina, trifazată avînd conexiunea Y într-o mașină monofazată (fig. 10.173); la mașina trifazată cu conexiunea  $\Delta$ , la funcționarea în gol nu se resimte întreuperea infășurării de fază, însă o dată cu creșterea sarcinii curentii celor trei faze sunt nesimetrici și inegali (fig. 10.174).

La motorul asincron trifazat cu rotorul bobinat și avînd o singură cale de curent în rotor, întreruperea unei faze în rotor are următorul efect: la pornirea în sarcină, viteza crește numai pînă la jumătate din viteza nominală, datorită cîmpului alternativ pe care îl produce rotorul cu o fază întreruptă. Curentii au valori ridicate și funcționarea mașinii în acest regim nu este permisă din cauza încălzirilor mari

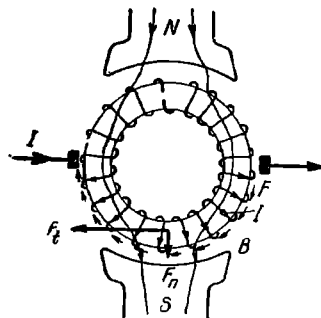


Fig. 10.172. Infășurarea întreruptă a indusului mașinii bipolare de curent continuu.

care se produc. Fenomenul nu se manifestă atât de pronunțat în cazul cînd în circuitul rotorului este conectată o rezistență mare.

La intreruperea unei faze în statorul motorului asincron trifazat avind conexiunea Y, motorul se comportă ca un motor monofazat, cuplul maxim scade la 0,66 din valoarea sa, viteza scade iar curenții prin fazele nefintrerupte cresc la valori mari producind încălziri nepermise dacă mașina funcționează la sarcina nominală. Fenomenele sunt analoge și generatoarele sincrone trifazate.

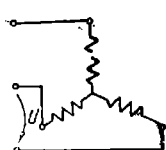


Fig. 10.173. Înfășurare trifazată conectată în stea, cu o singură cale de curent și având o fază întretreruptă.

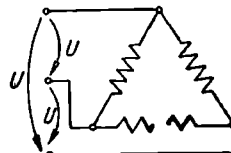


Fig. 10.174. Înfășurare trifazată conectată în triunghi, cu o singură cale de curent și având o fază întretreruptă.

În tabela 10.36 se indică efectele pe care le au întreruperile înfășurării într-un singur loc asupra caracteristicilor de funcționare ale diferitelor mașini.

Întreruperea unei căi de curent la înfășurările cu mai multe căi de curent conduce la efecte asemănătoare, însă mai puțin pronunțate.

#### *Influența scurtcircuitării parțiale a înfășurărilor indușului mașinilor de curent continuu și a înfășurărilor mașinilor de curent alternativ*

Calea de curent care cuprinde secții sau spire scurtcircuitate va avea o rezistență redusă iar la bornele sale se va induce o tensiune electromotoare mai mică. Curentul prin această cale de curent va crește la toate motoarele. Nesimetria curenților prin celelalte căi de curent sau faze crește cu atit mai pronunțat cu cât este mai mare porțiunea de înfășurare scurtcircuitată.

În porțiunea de înfășurare scurtcircuitată se induc tensiuni și apar curenți periculoși pentru porțiunea de înfășurare, putând conduce la topirea conductorului, la deteriorarea izolației în zona respectivă și la punerea la masă a înfășurării.

De remarcat că scurtcircuitarea unei porțiuni de înfășurare a rotorului mașinii asincrone nu influențează performanțele mașinii, cind această înfășurare este normal conectată în scurtcircuit. În schimb în acest caz nu se mai poate efectua reglajul în limite largi prin introducerea unei rezistențe în rotor.

În tabela 10.36 sunt indicate și efectele pe care le au scurtcircuitele porțiunilor de înfășurare asupra caracteristicilor mașinilor.

### *Influența punerii la masă a înfășurării*

O singură punere la masă a înfășurării nu are un efect asupra caracteristicilor de funcționare ale mașinilor; poate prezenta în schimb un pericol pentru oamenii care vin în atingere cu mașina în funcțiune.

Punerea la masă a unei căi de curent în două puncte (fig. 10.175) este identică cu scurtcircuitarea unei porțiuni de înfășurare iar efectele sunt cele care se produc la scurtcircuitarea înfășurărilor. În plus prezintă pericolul de electrocutare pentru persoanele care vin în atingere cu mașina.

Deoarece curenții de scurtcircuit în cazul punerilor la masă se închid prin carcasa, prin rotor etc., se poate produce perlarea și încălzirea lagărelor și scoaterea lor prematură din funcțiune.

Nu întotdeauna avem de a face cu o punere directă la masă a înfășurărilor; de cele mai multe ori rezistența de izolație este mult sub limita admisibilă. În acest caz cu toate că nu se resimte imediat o schimbare a caracteristicilor de funcționare ale mașinii, totuși randamentul scade și încălzirea mașinii poate să crească datorită pierderilor care se produc în izolație.

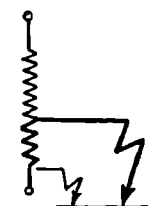


Fig. 10.175. Punere dublă la masă, echivalentă cu un scurtcircuit în înfășurare.

### **10.13.2. Stabilirea tipului de defect, a locului defectului și înălțurarea acestuia**

Un prim indiciu asupra locului și tipului de defect îl constituie modificările observate în caracteristicile de funcționare ale mașinii. Vibrăriile, încălzirea, scînteile la colector, micșorarea vitezei motoarelor, scăderea tensiunii la bornele generatoarelor, creșterea curenților prin circuitele de alimentare a mașinilor sunt simptomele unor defecți.

Pentru a preveni apariția defectelor s-au introdus norme de verificarea periodică a mașinilor electrice în exploatare în scopul deter-

minării din vreme a locurilor defecte și al înlăturării posibilității apariției defectelor. Astfel prin încercări de control se pot determina punctele slabe ale înfășurării, predispușe la defecte și se pot lăsa măsuri de întărire a izolației și de separare a înfășurării în zonele periclitante.

De subliniat că cercetarea pentru găsirea defectului, în cazul în care nu se dispune de date certe, începe cu examinarea părților celor mai accesibile ale mașinii : placa de borne, conductoarele de legătură, colectorul, capetele de bobină și apoi se trece la studierea înfășurării ; majoritatea defectelor se produc de obicei în aceste zone și înlăturarea lor este relativ simplă.

O dificultate mai mare la înfășurările repartizate o constituie faptul că înfășurările sunt așezate în crestături, unde accesul pentru observare directă și control este mai greu, fără a nu recurge adeseori la înlocuirea înfășurării în zona respectivă.

Se întâmplă uneori ca defectul să nu apară decât la funcționarea mașinii. Identificarea locului defect se face în acest caz observând în special încălzirea mașinii.

#### *Defectele în înfășurările rotoarelor mașinilor de curent continuu*

Scurtcircuitele înfășurării indusului se pot identifica și localiza pe calea indicată în § 10.10, prin metoda milivoltmetrului ; în cazul cînd secția sau porțiunea de înfășurare este scurtcircuitată în interiorul crestăturilor, se identifică crestăturile în care se află această secție cu ajutorul unui electromagnet după descrierea din § 10.10. După stabilirea crestăturilor în care se află secția scurtcircuitată se poate trece la scoaterea bobinei și executarea unei noi bobine. Deoarece înfășurările mașinilor de curent continuu sunt executate aproape totdeauna în două straturi, înlocuirea bobinei defecte se face prin coasere (introducerea axială conductor cu conductor).

Intreruperile înfășurării indusului se pot identifica îndeosebi prin metoda milivoltmetrului. În timpul funcționării mașinii în cazul unei interruperi apare o scînteiere intensă de culoare verde caracteristică arderii cuprului, în timp ce în cazul unui contact imperfect scînteierea nu este atât de intensă. Adeseori este suficientă observarea directă a colectorului. Locul interruperi este marcat de înnegrire a două lamele de colector în urma scînteilor care se produc la trecerea lamelelor (între care se află defectul) pe sub perie. De cele mai multe ori interruperea se produce fie la mușele racordurilor la colector, da-

torită contactului imperfect sau a lipiturii defectuoase fie sub banda-jul de strîngere, în urma presiunii bandajului asupra legăturilor la colector.

La prezența legăturilor echipotențiale, în afara lamelelor legate la secțiile defecte se mai înnegresc și lamelele de colector decalate față de cele defecte la o distanță egală cu dublul pasului polar cînd care sunt legate acestea prin legături echipotențiale.

Secțiile sau conductoarele între-rupte trebuie înlocuite.

**Atingerea înfășurării rotorului sau a colectorului la masă.** Locul atingerii directe la masă se detectează prin metoda următoare : se alimentează înfășurarea prin două lamele de colector situate diametral la înfășurările buclate, sau la un pas polar la înfășurările ondulate ; de la o sursă  $B$  de curent continuu (fig. 10.176) conectând în serie un ampermetru  $A$ , un reostat de reglaj  $R$  și un întrerupător  $K$ . Milivoltmetrul  $mV$  are o bornă legată de axul mașinii, iar cealaltă bornă se leagă succesiv la lamelele colectorului. Pe măsură ce ne apropiem de locul defectului cădereea tensiunii măsurată de milivoltmetru scade. Zonele de punere la masă trebuie izolate ; punerile la masă în interiorul secției necesită înlocuirea izolației întregii secții sau chiar înlocuirea ei. Scăderea rezistenței de izolație datorită umezirii se înălță prin uscarea înfășurării.

În cazul îmbătrînirii izolației apar dese puneri la masă și este ne-cesară rebobinarea mașinii.

O soluție provizorie pentru cazul scurtcircuitului sau întreruperii unei secții constă în izolarea secției, care se face astfel :

- se dezlipesc capetele secției de la cele două lamele cu care este legată ;
- lamelele de la care s-a dezlipit secția se conectează între ele printr-o punte conductoare ;
- în cazul cînd secția are o punere la masă se izolează capetele secției și se lasă în continuare în mașină ;
- în cazul cînd secția are spire în scurtcircuit, atunci este ne-cesară scoaterea acestor spire spre a nu se încălzi și a nu conduce la avarierea progresivă a mașinii ; în locul spirelor scoase se pot introduce pene izolante.

De remarcat că scoaterea secției ar putea conduce la dezechili-brarea mașinii.

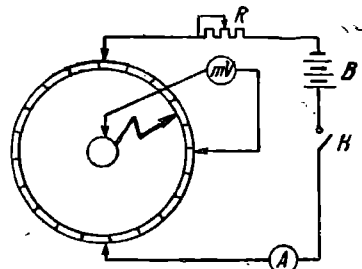


Fig. 10.176. Determinarea punerii la masă a înfășurării indusului mașinilor de curent continuu.

## *Defectele în înfăşurările de curent alternativ*

Şi în înfăşurările de curent alternativ se pot produce întreruperi, scurtcircuite sau puneri la masă. Apariţia prematură a defectelor poate constitui un indiciu că maşina poate fi recondiţionată; apariţia defectelor la maşinile vechi este o consecinţă a îmbătrînirii izolaţiei înfăşurării.

**Scurtcircuite în înfăşurările de curent alternativ.** Acest defect se poate produce între spire, între bobine, sau chiar o fază poate fi scurtcircuitată. Identificarea fazei în care are loc scurtcircuitul se face observînd curenţii prin conductoarele de alimentare ale înfăşurărilor.

Astfel la conexiunea stea a înfăşurării, curenţul este mai mare pe faza care prezintă scurtcircuite. La conexiunea triunghi curenţii sunt mai mari prin conductoarele de linie care încadrează faza defectă.

După ce se demontează maşina se examinează atent înfăşurarea. Bobina scurtcircuitată poate prezenta urme de încălzire exagerată: astfel, izolaţia este răscoaptă, are o culoare mai închisă decît celelalte bobine. Eventual, în zona în care înfăşurarea este scurtcircuitată se găsesc perle de conductor topit și izolaţie carbonizată.

Dacă la demontarea maşinii nu se observă direct nici o urmă de defect se alimentează înfăşurarea de la o sursă de tensiune coborâtă spre a nu se depăşi curenţii nominali și se palpează înfăşurarea pentru a stabili care sunt secţiile care se încălezesc. Locul defectului se precizează prin observarea zonei în care începe să fumege înfăşurarea defectă.

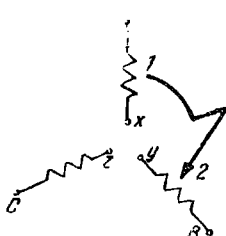


Fig. 10.177. Identificarea scurtcircuitului între faze.

feritele porţiuni de înfăşurare. Astfel, se desfac legăturile stea sau triunghi de la cutia de borne, lăsînd libere capetele înfăşurării; se măsoară apoi rezistenţa dintre capete, efectuînd toate combinaţiile și anume se măsoară, spre exemplu în cazul înfăşurării din fig. 10.177, rezistenţele între bornele  $A-B$ ,  $A-y$ ,  $B-x$  și  $x-y$ , precum și rezistenţele fazelor  $Ax$  și  $By$ . În cazul în care rezistenţa locului de atingere este mică sau comparabilă cu rezistenţa înfăşurărilor, se poate determina cu precizie locul defectului. Notăm cu  $r$  rezistenţa necu-

noscută a locului de atingere și cu  $R$  rezistența pe fază a înfășurării,  $R_{AB}$ ,  $R_{Ay}$ ,  $R_{Bx}$  și  $R_{xy}$  rezistențele măsurate între borne. Din acestea se pot calcula rezistențele  $R$ ,  $R_{B_2}$  și  $r$ , putind să determinăm astfel distanța de la borna  $A$  la locul defectului și de la borna  $B$  la locul defectului. Astfel :

$$r = \frac{R_{AB} + R_{Ay} + R_{xB} + R_{xy}}{4} - R; \quad (10.72 \text{ a})$$

$$R_{A_1} = \frac{R_{AB} + R_{Ay} - R_{xB} - R_{xy}}{4} + R; \quad (10.72 \text{ b})$$

$$R_{B_2} = \frac{R_{AB} + R_{xB} - R_{Ay} - R_{xy}}{4} + R. \quad (10.72 \text{ c})$$

Rapoartele  $R_{A_1}/R$  și  $R_{B_2}/R$  ne dă zona în care fazele  $Ax$  și  $By$  au atingere între ele.

**Intreruperea înfășurării.** Locul intreruperii se stabilește din aproape în aproape, măsurind cu megohmmetrul sau cu o punte pentru măsurarea rezistenței, valoarea rezistenței ; astfel se măsoară mai întii fazele : pe fază defectă instrumentul va indica o rezistență foarte mare. Se procedează apoi la fel în continuare cu fiecare jumătate a înfășurării defecte.

**Punerea la masă a înfășurării.** Locul punerii la masă se poate identifica printr-un procedeu asemănător celui descris la atingerea între două faze, prin măsurarea rezistenței dintre fiecare capăt al înfășurării care are o punere la masă față de carcăsa sau față de ax, după cum înfășurarea este montată în stator sau în rotor.

Zonele defecte trebuie remediate fie prin înlocuirea elementului de înfășurare, fie prin înlocuirea izolației la fața locului dacă defectul nu este prea accentuat.

#### 10.14. ECHILIBRAREA ROTOARELOR

Echilibrarea rotoarelor se face în scopul de a se evita vibrațiile în funcționarea mașinii.

Vibrațiile sunt caracterizate prin amplitudinea și frecvența lor și se măsoară cu ajutorul unor aparate speciale, denumite vibrometre, respectiv vibrografe.

Dezechilibrul rotorului se manifestă nu numai în stare de mișcare (dezechilibru dinamic), ci și în stare de repaus (dezechilibru static).

Pentru înălțarea dezechilibrului rotoarelor, se efectuează măsurători în vederea realizării și stabilirii mărimii dezechilibrului ; apoi se trece la operația de echilibrare, care constă în adăugarea unor greutăți pentru compensarea dezechilibrului.

#### 10.14.1. Echilibrarea statică

Echilibrarea statică a motoarelor se execută asupra tuturor motoarelor și poate fi considerată ca fiind suficientă la mașinile cu o turatie redusă (pînă la 1 000 rot/min), la care vitezele periferice nu depășesc 20 m/s, iar raportul dintre lungimea rotorului și diametru este sub 1/6. Echilibrarea statică se efectuează cu ajutorul unui dispozitiv care se compune în esență din două prisme (cușite) perfect orizontale 1 așezate pe suportul 2 (fig. 10.178).

Echilibrarea statică se execută astfel : rotorul așezat pe dispozitive este învîrtit manual în ambele sensuri, scoțindu-l din poziția lui de echilibru. Se urmăresc oscilațiile rotorului și se adaugă greutăți de compensare pînă se obține starea de echilibru indiferent, în care

rotorul se oprește în urma învîrtirii în oricare poziție, fără a căuta să revină într-o poziție privilegiată.

Pentru ușurință stabilirii locului de așezare a greutăților de compensare se aplică mai întîi bucați de chit, în final acestea fiind înlocuite cu greutăți permanente prinse

Fig. 10.178. Dispozitiv pentru echilibrarea statică a rotoarelor.

prin buloane, garnituri ce se fixează de juguri de presare, suporti de înășurare și uneori în aceste piese se perforază orificii în care se introduc greutăți de plumb. Echilibrarea se poate realiza și prin execuțarea unor găuri în partea opusă a rotorului față de locul în care s-au fixat provizoriu greutățile de compensare.

În construcția unor mașini electrice se prevăd în zonele frontale ale rotoarelor canale în care se pot monta greutăți pentru echilibrare ; forma acestor greutăți este reprezentată în figura 10.179.

Greutățile permanente se fixează în locurile cele mai accesibile.

Este recomandabil să se evite echilibrarea prin adăugarea de cositor pe bandaje, deoarece în timpul funcționării mașinii, cositorul se poate topi sau desprinde producînd dezechilibrarea mașinii.

Dacă greutatea  $P_1$  trebuie fixată față de axa mașinii la o altă distanță  $r_1$  decât distanța  $r$  stabilită pentru greutatea provizorie  $P$ , valoarea greutății  $P_1$  se determină cu relația :

$$P_1 = \frac{Pr}{r_1} \cdot \quad (10.73)$$

Dacă din considerente constructive greutatea permanentă nu poate fi aplicată pe direcția razei greutății, atunci greutatea permanentă provizorie se înlocuiește cu două greutăți așezate în cele două puncte unde fixarea greutăților va fi posibilă.

Determinarea valorilor greutăților  $P_1$  și  $P_2$  ce urmează a înlocui greutatea provizorie  $P$  se face cu ajutorul regulei paralelogramului, așa cum se reprezintă în fig. 10.180. Luând la scară distanța față de ax a greutăților  $P$ ,  $P_1$  și  $P_2$  egală cu greutatea  $P$ , segmentele  $OP_1$  și  $OP_2$  sunt egale la aceeași scară cu greutățile  $P_1$  și  $P_2$ .

Pozitia pe care trebuie să-o ocupe greutățile de echilibrare se deduce din poziția semnelor marcate de creion sau trasator. Trebuie să se țină seamă de faptul că, la turăția nominală, semnele marcate apar de partea surplusului de material, iar viteza de rotație critică apare cu  $90^\circ$  întârziere față de sensul de rotație. În primul caz, greutățile de echilibrare se vor monta de partea opusă semnelor, iar în al doilea caz, acestea se vor monta cu  $90^\circ$  în urma semnelor.

Valoarea acestor greutăți urmează să se determine experimental, prin încercări.

Dacă greutățile permanente nu se pot monta pe circumferința greutății provizorii, se determină mai întâi mărimea greutăților per-

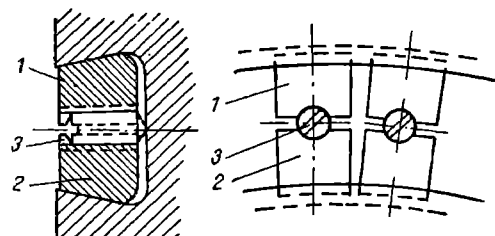


Fig. 10.179. Greutăți pentru echilibrarea rotoarelor - formă constructivă:  
1, 2 — greutăți; 3 — șurub de fixare.

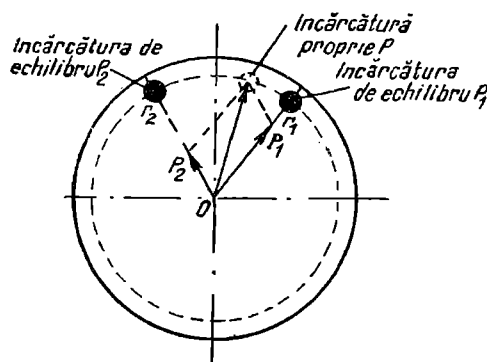


Fig. 10.180. Regula paralelogramului.

manente în ipoteza situației lor pe aceeași circumferință și după aceea se recalculează mărimea fiecărei greutăți conform formulei date mai sus.

Cind numărul greutăților de echilibrare provizorie este mai mare decât unu, numărul lor se poate reduce folosind în sens invers metodele indicate.

Pentru asigurarea unei echilibrări statice bune, în cazul rotoarelor lungi, greutățile permanente se aplică la ambele extremități ale rotorului, în fiecare parte fiind așezată cîte o jumătate din greutățile rezultate ca necesare.

În cazul rotoarelor al căror ax are diametre diferite la cele două excentrități, pentru mărirea sensibilității lucrului și eliminarea frecărilor suplimentare ce apar în rostogolirea rotorului pe cuțite, se folosesc bucăți de diametru apropiat cu diametrul cel mai mare al axului pe cuțite, bucăți care se montează pe arborele de diametru mic.

Pentru echilibrarea statică se folosesc și dispozitive care au în locul prismelor de oțel (cuțitelor), o pereche de discuri de fiecare parte a axului.

La aceste dispozitive se evită apariția forțelor de frecare chiar la diametre diferite ale axului la cele două părți.

#### 10.14.2. Echilibrarea dinamică

Echilibrarea dinamică este obligatorie pentru toate rotoarele care au o turătie de peste 1 500 rot/min și pentru toate rotoarele de lungime mare. Orice echilibrare dinamică trebuie să fie precedată de o echilibrare statică.

În general echilibrarea dinamică se face cu ajutorul dispozitivelor speciale sau a mașinilor de echilibrare dinamică, la viteza de rotație critică la care se poate stabili cu suficientă precizie poziția și mărimea greutății care produce dezechilibrul.

Metodele uzuale pentru echilibrarea dinamică a rotoarelor sunt următoarele :

- metoda parcurgerii cu greutatea de probă,
- metoda trasării semnelor.

*Metoda parcurgerii cu greutatea de probă* constă în măsurarea amplitudinilor vibrațiilor la viteza de rotație minimă a rotorului în stare normală și în urma aplicării unei greutăți „de probă“ în anumite puncte alese dinainte pe periferia rotorului (de exemplu în canalele prevăzute pentru greutățile de echilibrare), aşa cum este reprezentat în fig. 10.181, a. Valorile amplitudinilor vibrațiilor măsurate se înscriu într-o diagramă (fig. 10.181, b) punctele de pe axa ordonatelor corespunzătoare.

punzind pozițiilor punctelor notate pe periferia rotorului. Punctul  $a'$  de pe axa ordonatelor care corespunde amplitudinii vibrației minime în timpul încercărilor indică locul unde trebuie aplicată greutatea de echilibrare. Valoarea greutății necesare pentru echilibrare se determină experimental sau prin calcul, cu ajutorul relației

$$Q = Q_p \frac{a' a''}{a a''}, \quad (10.74)$$

în care  $Q_p$  este valoarea greutății de probă.

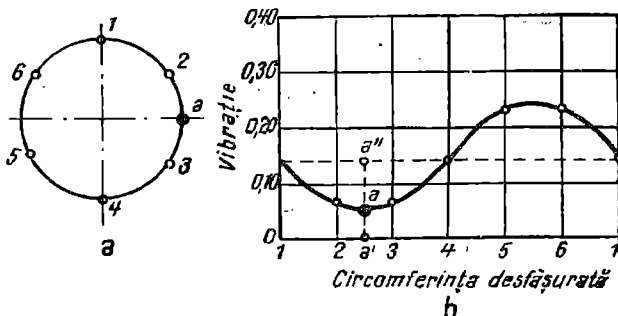


Fig. 10.181. Diagramă la metoda parcurgerii cu greutatea de probă.

Valoarea greutății de probă se alege în așa fel încit să se obțină o diferență sensibilă a amplitudinii oscilațiilor, fiind limitată de producerea vibrațiilor periculoase. Valoarea greutății de probă se poate determina aproximativ cu relația

$$P = 0,10 + 0,23 \frac{G_1 g}{\omega^2 r}, \quad (10.75)$$

în care :

$P$  este valoarea greutății de probă, în kg ;

$G_1$  — sarcina pe paliere dată de greutatea rotorului, în kg ;

$g = 9,81 \text{ m/s}^2$  ;

$\omega = \frac{\pi n}{30}$  — viteza de rotație unghiulară ;

$n$  — turăția mașinii, în rot/min ;

$r$  — raza de fixare a greutății de probă, în m.

Pentru echilibrarea în cealaltă parte frontală a rotorului se procedează în mod similar. Pentru a se evita apariția unei dezechilibrări

în cealaltă parte, greutatea de echilibrare  $Q_2$  din partea a două trebuie să fie descompusă în două componente  $X$  și  $Y$ :

$$X = Q_2 \frac{mn}{mn-ab}; \quad Y = Q_2 \frac{am}{mn-ab}, \quad (10.76)$$

unde  $a$ ,  $b$ ,  $m$  și  $n$  au semnificațiile din fig. 10.182.

Greutatea  $X$  se aplică în locul  $Q_2$ , iar greutatea  $Y$  se fixează pe cealaltă parte frontală a rotorului într-un punct diametral opus greutății  $X$ . Greutatea de echilibrare  $Q_1$ , aplicată la echilibrarea primei părți poate fi însumată după regulă paralelogramului cu greutatea  $Y$  (vezi echilibrarea statică) și astfel ambele greutăți se vor înlocui printr-o singură  $Q'_1$ .

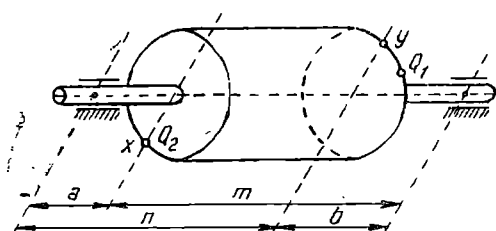


Fig. 10.182. Descompunerea dezechilibrului în două plane perpendiculare.

axului în apropierea palierelor, pe suprafața netedă și bine prelucrată acoperită cu cretă (în emulsie de apă sau benzină), în timpul mișcării motorului, se trasează semne cu un creion colorat bine ascuțit montat pe un suport rigid separat de piesele oscilante, sau cu un trasator ascuțit montat în locul creionului. Semnele reprezintă punctele de amplitudine maximă a vibrațiilor. Poziția pe care trebuie să-o ocupe greutățile de echilibrare se deduce din poziția semnelor marcate de creion sau trasator. Trebuie să se țină seama de faptul că, la turația nominală, semnele marcate apar de partea surplusului de material, iar la viteza de rotație critică apare cu  $90^\circ$  întârziere față de sensul de rotație. În primul caz greutățile de echilibrare se vor monta pe partea opusă semnelor, iar în al doilea caz acestea se vor monta cu  $90^\circ$  în urma semnelor. Valoarea acestor greutăți urmează să se determine experimental prin încercări.

### 10.14.3. Gradul de echilibrare al rotoarelor

În practică nu se poate obține reducerea completă a dezechilibrului, respectiv a vibrațiilor. De aceea normele indică valoarea maxim admisibilă a vibrațiilor. Aceasta depinde de turația mașinii: cu cit viteza de rotație a mașinii este mai mare, cu atât mărimea vibrațiilor admisă este mai mică.

În tabela 10.37 sunt date valori indicative pentru vibrațiile mașinilor electrice în gradele de echilibrare : perfect, bine și admisibil, după norme provizorii ale uzinei Electrosila — Leningrad (U.R.S.S.).

*Tabela 10.37*

**Valori indicative pentru vibrațiile mașinilor electrice (după norme provizorii ale uzinei Electrosila — U.R.S.S.)**

Tipul mașinilor	Vibrația (în mm) pentru o echilibrare		
	perfectă	bună	admisibilă
Mașini cu puteri peste 100 kW, turătie nominală 1 000 rot/min	0,04	0,07	0,10
Mașini cu puteri peste 100 kW, turătie nominală 1 500 rot/min	0,03	0,06	0,09
Mașini cu puteri pînă la 100 kW, turătii nominale 1 000 și 1 500 rot/min	0,01	0,03	0,05
Toate mașinile electrice cu turătii nominale 3 000 rot/min			

Trebuie reținut faptul că executarea echilibrării rotoarelor formează una dintre cele mai importante operații în fabricarea mașinilor electrice noi și la repararea mașinilor, o bună echilibrare asigură înlăturarea apariției defectelor în funcționarea mașinii electrice și în ansamblu a agregatului din care face parte.

## 11. Utilajele și organizarea atelierului de bobinat mașini electrice de puteri mici și mijlocii

Calitatea lucrărilor efectuate de atelierul de bobinat și de reparat mașini electrice depinde în bună măsură și de felul în care este organizată munca în atelier, de utilajele și aparatele de măsură și control cu care este dotat, de calitatea materialelor conductoare și izolante utilizate în atelier.

Dimensiunile și caracteristicile utilajelor și aparatelor de măsură utilizate într-un atelier depind în special de caracteristicile mașinilor electrice care se rebobinează sau care necesită repararea înfășurărilor. În acest capitol se prezintă principalele utilaje și aparete de măsură utilizate în atelierele de rebobinat mașini electrice de puteri mici și mijlocii; mașinile mari de puteri peste 500 kW la tensiuni înalte de 3 000 sau 6 000 V se rebobinează fie de fabrica constructoare, fie de unități specializate în repararea mașinilor de puteri mari și tensiuni ridicate, care dispun de utilajul mai complicat pe care îl necesită procesul tehnologic al acestor înfășurări.

### 11.1. APARATE DE MĂSURĂ, INSTALAȚII AUXILIARE ȘI DISPOZITIVE NECESARE LA EXECUTAREA ȘI ÎNCERCAREA INFĂȘURĂRILOR MAȘINILOR ELECTRICE

Pentru identificarea defectelor înfășurărilor, cît și pentru verificarea mașinilor în funcțiune, a mașinilor la intrarea lor în reparatie, precum și a înfășurărilor rebobinate, este necesar ca atelierul să disponă de un număr minim de aparete de măsurat, de dispozitive auxiliare și de instalații portabile. Fără a se cere ca atelierele să execute toate încercările industriale ale mașinilor electrice, care ar necesita platformele și utilajul complex întărit în marile fabrici constructoare de mașini electrice, cu acest minim de instrumente se pot efectua încercările necesare la rebobinare sau reparări și se pot măsura principalele caracteristici ale înfășurărilor mașinilor.

Aparatele de măsură cunoscute în general, strict necesare pentru un atelier electric, sunt următoarele :

**Aparatul de măsură universal** utilizat pentru măsurarea tensiunii și curentului (cunoscut sub denumirea comercială de AVOMET sau MULTIZET sau MULTAVI), care servește la măsurarea acestor mărimi atât în curent continuu, cît și în curent alternativ. Aparatul este construit pentru a se măsura tensiuni continue sau tensiuni alternative (sinusoidale) și are șapte domenii de măsură, cu scările maxime cuprinse între 1,2 V și 600 V, precum și curenți continui sau alternativi (sinusoidalii) având șapte domenii de măsură cu scările maxime cuprinse între 1,5 mA și 6 A. De obicei, acest aparat mai are o rezistență adițională pentru a putea măsura tensiuni pînă la 1 200 V, un transformator de curent pentru a măsura curenți alternativi pînă la 300 A și un sunt pentru a măsura curenți continui pînă la 30 A. În fig. 11.1 este reprezentată fotografia unui asemenea aparat univer-

sal, împreună cu accesoriile cu care se livrează de către fabrica „Metra“ din Republica Socialistă Cehoslovacă.

În fig. 10.2 sunt date schemele de legături ale aparatului de măsură universal pentru măsurarea curentilor continuu sau alternativi, a tensiunilor continue sau alternative etc.

Astfel în fig. 11.2, a este dată schema de legături pentru măsurarea curentilor continuu pînă la 6 A ; aparatul este conectat în serie în circuit, astfel încît borna + să fie legată la borna + a circuitului, iar borna — la borna —.

În fig. 11.2, b este dată schema de legături pentru măsurarea curentilor continuu peste 6 A, cu ajutorul unui şunt ; bornele principale ale şuntului sunt legate în serie cu circuitul, iar bornele mici sunt legate la instrument astfel încît borna + este legată cu borna + a aparatului, iar borna — cu borna pentru 60 mV (situată între bornele noteate cu A și +).

În fig. 11.2, c este dată schema de legături pentru măsurarea curentilor alternativi peste 6 A, utilizînd transformatorul de intensitate  $T_1$ .

În fig. 11.2, d este dată schema pentru măsurarea tensiunilor pînă la 600 V, iar în figura 10.2, e pentru măsurarea tensiunilor pînă la 1 200 V, utilizînd o rezistență adițională.

În fig. 11.2, f este dată schema pentru măsurarea fie a tensiunii, fie a curentului, fără a se mai efectua schimbări în schema de montaj.

**Aparate pentru măsurarea rezistențelor înfășurărilor și a rezistențelor de izolație ;** pentru aceasta se recomandă :

Puntea pentru măsurarea rezistenței, care servește la măsurarea rezistențelor înfășurărilor cuprinse între  $0,01 \Omega$  și circa  $50\ 000 \Omega$ . Puntea are de obicei drept sursă o baterie de buzunar de 4,5 V, incorporată în aparat ; această baterie trebuie înlocuită periodic. De obicei această punte se construiește pentru cinci trepte, fiecare treaptă avînd un domeniu de măsură de 10 ori mai larg decît cel precedent.

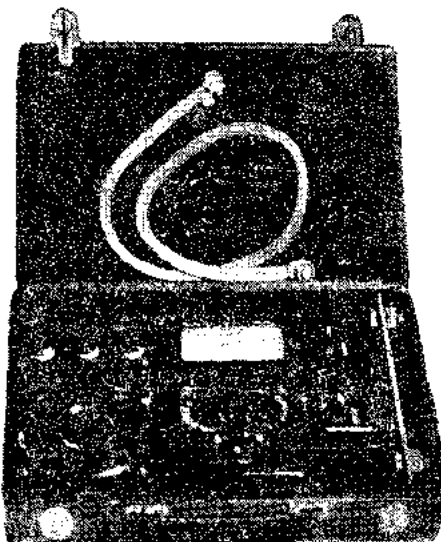


Fig. 11.1. Trusă cu aparat universal de măsurat (ammeter-voltmetru) și anexe :

1 — aparat de măsurat; 2 — comutatoare pentru scările de măsură; 3 — transformator de curent; 4 — cordon; 5 — şunt.

*Megohmmetru* servește la măsurarea rezistenței de izolație dintre înfășurări sau dintre înfășurare și masă. Acest aparat este construit curent cu două scări, o scară pentru rezistențe cuprinse între 1 și  $100\text{ k}\Omega$  ( $1\text{ k}\Omega = 1\ 000\ \Omega$ ) și a doua pentru rezistențe de la 1 la  $100\text{ M}\Omega$  ( $1\text{ M}\Omega = 1\ 000\ 000\ \Omega$ ).

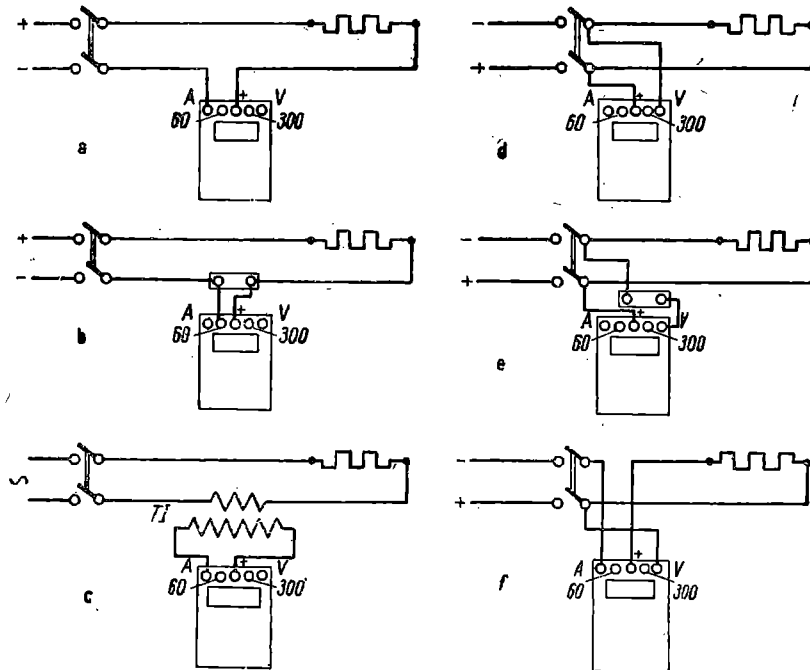


Fig. 11.2. Scheme de legături ale aparatului universal de măsurat.

În fig. 11.3 este reprezentată fotografia unei punți de măsură și a unui megohmmetru.

Un alt instrument necesar într-un atelier de bobinaj este *tahometrul* (fig. 10.4, a), folosit la măsurarea turăției motoarelor electrice pînă la 48 000 rot/min; instrumentul are 6 scări cu următoarele domenii: 40—160 rot/min, 120—480 rot/min, 400—1 600 rot/min, 1 200—4 800 rot/min, 4 000—16 000 rot/min și 12 000—48 000 rot/min.

Pentru măsurarea turăției la motoarele de puteri mici nu se poate utiliza tachometrul, fiindcă ar încărca suplimentar mașina de încercat; se recurge în acest scop la un aparat denumit *stroboscop* (fig. 11.4, b), care are o lampă cu neon alimentată de la un generator

electronic. Aparatul are două scări : o primă scară de la 500 la 3 200 rot/min și o a doua de la 3 000 la 32 000 rot/min și este un produs cunoscut sub denumirea de Oristrob al fabricii „Orion“ din Republica Populară Ungară.

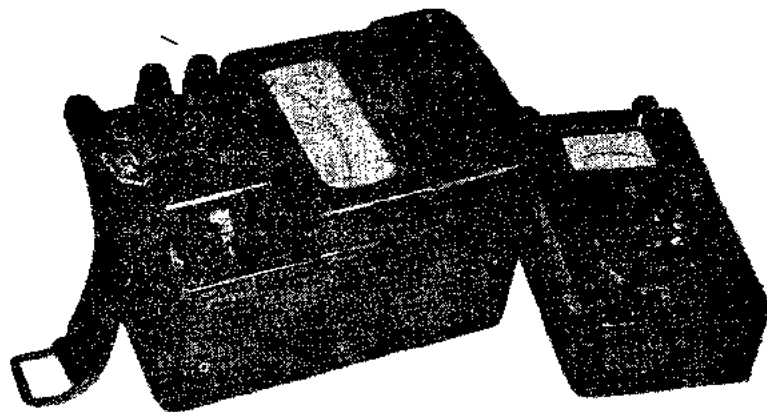


Fig. 11.3. Megohmmetru (stinga) și punte de măsurare a rezistențelor (dreapta).

Dintre instalațiile auxiliare necesare încercării izolației mașinilor electrice este importantă *instalația pentru tensiune înaltă de frecvență industrială*; această instalație servește pentru încercarea rezistenței la străpungeri a izolației înfășurărilor. Schema instalației reprezentată în fig. 11.5 se compune dintr-un autotransformator reglabil  $AT$ , un transformator de tensiune  $T$ , un voltmetriu  $V$ , un intrerupător automat rapid  $IR$  și o rezistență de protecție  $R$ . Autotransformatorul se construiește pentru o tensiune de alimentare egală cu tensiunea rețelei și trebuie să permită un reglaj fin al tensiunii transformatorului de tensiune.

Instalația se construiește pentru o putere cuprinsă între 200 W și 1 kW, pentru o tensiune înaltă de 3 kV, în care caz este destinată încercărilor mașinilor electrice având tensiunea nominală sub 1 000 V, fie pentru o tensiune înaltă de 20 kV, în care caz este destinată încercării mașinilor care au tensiunea nominală pînă la 6 000 V. La voltmetriu se citește direct tensiunea înaltă care se aplică izolației înfășurării. Rezistență de protecție servește la protecția instalației în cazul cînd izolația s-a străpuns și instalația este în scurtcircuit; de obicei, rezistență de protecție are valoarea cuprinsă între 100 000 și 300 000  $\Omega$ .

Această instalație mai este echipată și cu două lămpi de semnalizare (nereprezentate în schemă), dintre care una se aprinde de îndată ce instalația este legată la rețea (sub tensiune se află numai separatorul  $S$ ), iar cealaltă cind autotransformatorul  $AT$  este alimentat.

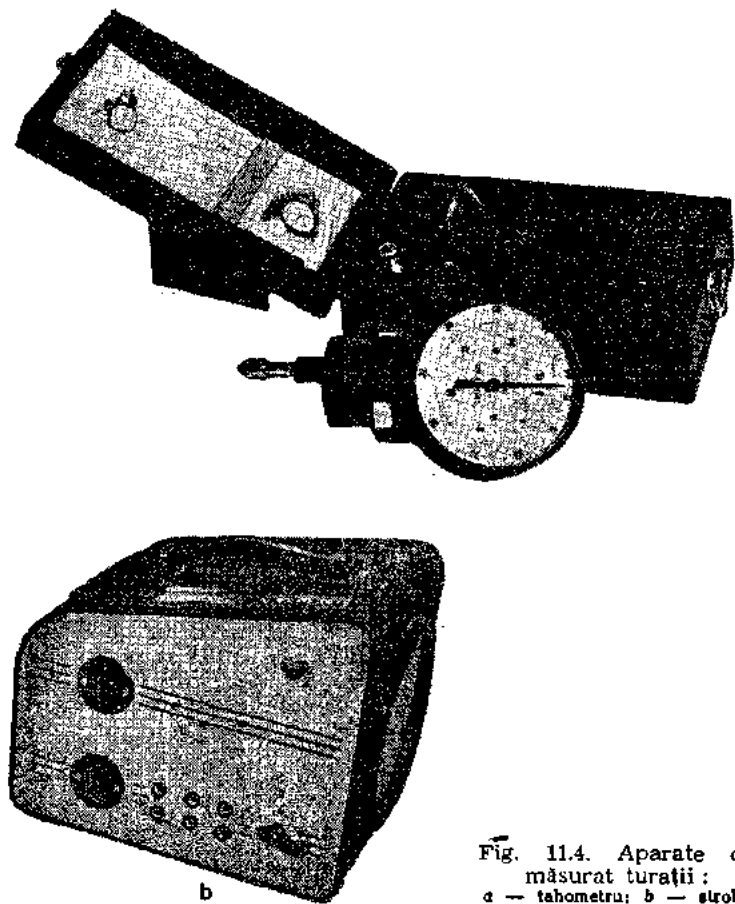


Fig. 11.4. Aparate de măsurat turării :  
a — tachometru; b — stroboscopul tip Oristrob.

Foarte utilă în atelierele de reparații ale mașinilor cu tensiuni ridicate este și instalația pentru încercarea izolației între spire a bobinelor. Această instalație (v. fig. 11.6) se compune dintr-un transformator cu jugul demontabil 1, un autotransformator reglabil de alimentare 2, un ampermetru 3 și un întrerupător 4. Bobina preformată

se introduce pe coloana transformatorului, îndeplinind rolul înfășurării secundare a acestuia. Cînd apare un scurtcircuit între spirele bobinei, ampermetrul indică un curent mai mare decît curentul de mers în gol al instalației în absența bobinei. Dimensiunile acestei instalații depind de dimensiunile bobinelor de încercat.

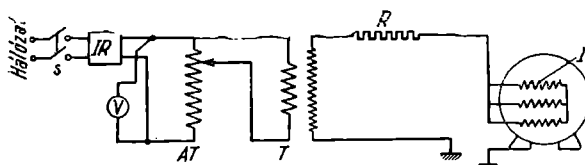


Fig. 11.5. Schema instalației pentru încercarea izolației la străpungere.

Pentru identificarea defectelor înfășurărilor montate în crestăturile statorului sau rotorului se folosesc cîteva dispozitive de construcție foarte simplă, însă deosebit de utile în practică. Dintre acestea menționăm: *lama feromagnetică* și *electromagnetul cu cască telefonică*.

Lama feromagnetică executată din tablă silicioasă, avînd o lățime de 1~2 cm și o lungime de 0,5 m, servește, de exemplu, la identificarea crestăturilor în care se află o anumită înfășurare de fază ; pentru aceasta, fără ca mașina să aibă rotorul montat, se alimentează numai înfășurarea respectivă și se plimbă lama feromagnetică (a cărei lățime este aproximativ egală cu lățimea a doi dinți) prin fața crestăturilor. Între dinții de care lama este atrasă se află o latură de bobină a fazei care se identifică.

Lama mai poate servi și pentru identificarea scurtcircuitului între spirele înfășurării rotorului mașinii de curent continuu, sau a conexiunilor inversate.

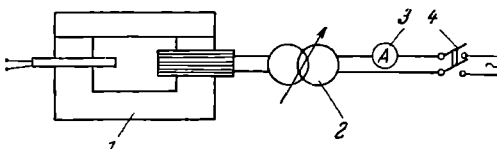


Fig. 11.6. Schema de principiu a instalației pentru încercarea bobinelor la proba între spire.

În acest scop rotorul formează armătura prin care se închide cîmpul magnetic al unui electromagnet (fig. 11.7). Electromagnetul are o formă specială, pentru a putea fi utilizat la rotoare de diferite dimensiuni. Înfășurarea electromagnetului se alimentează de la sursă de tensiune alternativă (de exemplu de la rețeaua de curent alternativ). Între armăturile electromagnetului se aşază rotorul, păs-

trîndu-se un întrefier de 5—7 mm. Se rotește încet rotorul în diferite poziții și se plimbă lama feromagnetică prin fața creștăturilor situate în exteriorul zonei polilor electromagnetului. În dreptul creștăturilor în care se află o secție care cuprinde spire în scurtcircuit, lama este atrasă spre rotor.



Fig. 11.7. Încercarea izolației între spire la bobinele montate la un rotor de curent continuu (U.M.E.B.).

În locul lamei feromagnetică se poate folosi un mic electromagnet a cărei infășurare este legată la o cască telefonică; în zona în care se află secțiile defecte, în cască se audă un sunet de frecvență tensiunii de alimentare a electromagnetului care produce cîmpul magnetic principal.

#### 11.2. SCULELE ȘI UTILAJELE PRINCIPALE ALE ATELIERULUI DE BOBINAJ

Într-un atelier electric în afară de sculele strict uzuale întlnite într-un atelier de întreținere de uz general (clește, ciocan, menghină, nicovală, polizor etc.), mai sunt necesare o serie de scule și utilaje specifice procesului tehnologic de bobinare a mașinilor electrice.

Acste scule se pot confectiona în parte chiar de către bobinator ; sculele mai speciale trebuie executate într-un atelier mecanic sau de tîmplărie.

Dintre aceste scule cele mai importante sint (fig. 11.8) :

— ciocanul de lemn (a), care servește pentru îndreptarea conductoarelor, pentru așezarea spirelor, în zona capetelor de bobină, după un anumit şablon ;

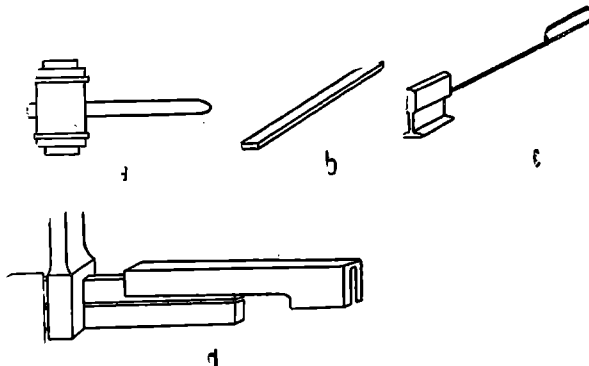


Fig. 11.8. Scule folosite de bobinatori :

a — ciocane de lemn; b — pene din material izolant; c — călcător; d — chei pentru indoirea barelor la capetele de bobine.

— pana de lemn (b), care servește la așezarea conductoarelor în crestătură, la indoirea și presarea izolației peste latura de bobină introdusă în crestăturile semiînchise sau semideschise etc. ;

— călcătorul (c), utilizat la așezarea spirelor la locul prevăzut pentru ele în crestătură ;

— chei (d) pentru indoirea barelor la capetele de bobină, după ce s-a introdus axial bobina ;

— ciocanul de lipit cu putere de 200 W, necesar în special pentru executarea legăturilor la mașinile mici și cu putere de 500 W, pentru executarea lipiturilor la mufele de legătură dintre bare ;

— şabloanele de lemn pentru executarea bobinelor, sau numai a capetelor de bobină în cazul bobinajelor cusute, respectiv înfiruite.

Dintre utilajele mai importante cu care se dotează un atelier electric trebuie menționate următoarele :

— mașina de găurit verticală, necesară la confectionarea placilor de borne, a şabloanelor de bobine, la repararea portperiilor etc. ;

— mașina de izolat conductorul cu bandă ;

— mașina de izolat cu bumbac sau mătase conductorul recuperat ; asemenea mașini se pot execuța chiar de către atelierele de rebobinat. Principal, această mașină se compune dintr-un tambur liber (pe care se află bobinat conductorul neizolat) ; un tambur primitor antrenat printr-o curea sau un mecanism pe care se bobinează conductorul izolat ; motorul de antrenare a tamburului primitor, respectiv a mosoarelor cu fir de bumbac ; dispozitive pentru întinderea și îndreptarea conductorului și dispozitivul pentru întinderea firului de bumbac ;

- dispozitive pentru executarea manuală a bobinelor polare ;
- mașina de bobinat pentru executarea bobinelor concentrate ;
- instalația pentru degresare, compusă dintr-o baie cu lichidul degresant și role de ghidaj pentru conductor ;
- cuptorul de uscare, construit cu rezistențe electrice pentru încălzire ;
- instalația de impregnare.

În cazul în care întreprinderea nu dispune și de un atelier mecanic sau numărul de motoare de rebobinat este relativ mare, atelierul de bobinat se mai dotează cu un strung mic pentru confecționarea unor piese utilizate curent.

Pentru echilibrarea rotoarelor mai sunt necesare :

- suportul pentru verificarea echilibrării statice a rotoarelor ;
- mașina de echilibrat dinamic.

În afară de aceste scule și utilaje, atelierul de bobinat trebuie să disponă de mese de lucru pe care se aşază statoarele gata de reparat, capre pentru susținerea rotoarelor, dispozitive pentru derularea ușoară a conductorului izolat etc.

Atelierele mari, în care se demontează și se montează mașini electrice de puteri mijlocii, între 3 și 100 kW, trebuie să mai disponă și de o grindă rulantă cu o capacitate de 500—1 500 kg, care servește pentru ridicarea și transportul pieselor demontate în cadrul atelierelor și de un electrocar pentru transportul mașinilor electrice în afara și chiar în incinta atelierului.

### 11.3. SURSE DE ALIMENTARE CU ENERGIE ELECTRICĂ

Atelierele de reparat mașini electrice, fiind echipate cu un minimum de mașini-unelte, trebuie să disponă de tablouri de alimentare cu energie electrică pentru a pune în funcțiune agregatele care intră în procesul tehnologic.

În acest scop atelierele pentru reparat mașini mici și mijlocii sunt prevăzute cu tablouri de alimentare legate la rețeaua industrială tri-

fazată cu tensiunea de 380 V (sau 220 V) între faze. De la aceste tablouri se alimentează în derivație fiecare mașină-încărcă, standul de încercări, cuporul pentru uscare și instalația de impregnare. Totodată se prevăd prize monofazate pentru alimentarea ciocanelor de lipit, a instalațiilor pentru încercarea izolației înfășurărilor. În medie, puterea instalată la atelierele de rebobinat mașini de puteri mici și mijlocii variază între 20—50 kW. Aceasta depinde și de numărul de mașini de rebobinat și de felul reparațiilor.

Drept surse de curent continuu se folosesc fie acumulațoare de 6 sau 12 V, fie redresoare cu seleniu fabricate în țara noastră de uzinele „Grigore Preoteasa“; cele din urmă sunt mai recomandabile, întrucât nu necesită întreținere pretențioasă ca acumulațoarele. Sursa de curent continuu este necesară îndeosebi pentru încercarea mașinilor mici de curent continuu, pentru măsurarea rezistenței înfășurărilor cu voltmetre și ampermetre de curent continuu, cum și pentru alimentarea excitației generatorelor de curent continuu.

Pentru a realiza o sursă de curent continuu se poate utiliza și un grup convertizor, format dintr-un motor asincron *MA* cuplat mecanic cu un generator de curent continuu *GC* după schema din fig. 11.9 ; ambele mașini trebuie să aibă aceeași turărie. Pentru protecția motorului se poate utiliza un întrerupător automat sau siguranțe fuzibile ; excitația generatorului de curent continuu se poate regla prin intermediul unui reostat *R<sub>e</sub>*.

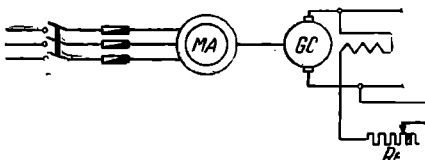


Fig. 11.9. Schema grupului convertizor de curent continuu :  
MA — motor asincron; GC — generator de curent continuu; *R<sub>e</sub>* — reostat de excitație.

#### 11.4. ORGANIZAREA LUCRULUI ÎN ATELIER

Utilizarea la maximum a timpului de lucru și reducerea deplasărilor inutile în cadrul atelierului impun o organizare corespunzătoare a procesului tehnologic, bazată în special pe circuitul tehnologic pe care trebuie să-l parcurgă una dintre părțile mașinii.

Atelierul de rebobinat trebuie amplasat într-un mediu uscat, bine aerisit, curat și trebuie să disponă de un număr de încăperi în care să se execute separat următoarele operații : demontarea mașinii de rebobinat și desfășurarea conductorului, pregătirea conductorului pentru bobinaj ; din atelierul de bobinaj pot să derive camere în care

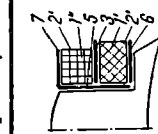
se aşază cuptorul de uscare și cuva de impregnare. De asemenea, pentru încercări trebuie să se prevadă fie o încăpere separată, fie să se separe o parte din spațiul rezervat atelierului propriu-zis, accesibil exclusiv personalului specializat în problemele de încercări și care cunoaște instrucțiunile de tehnica securității.

De remarcat că în atelierul de rebobinat nu trebuie admise prelucrări mecanice care pot conduce la pătrunderea piliturii metalice în infășurări și la degradarea izolației. Prelucrările mecanice trebuie efectuate într-o cameră separată de atelierul de rebobinat.

În atelierul propriu-zis lucrul se poate organiza pe trei linii : prima linie de pregătirea și executarea bobinelor preformate, verificarea izolației lor etc. ; a doua linie de rebobinarea statoarelor și a treia linie de rebobinarea rotoarelor mașinilor electrice, fiecărui loc de muncă fiindu-i necesar un spațiu suficient încât să se poată avea acces la mașina de reparat din orice parte.

## Sisteme de izolație (clasa A) pentru înfășurări concentrate montate pe poli aparenți

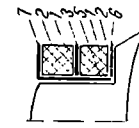
Schita					
Reper	Denumirea materialului	Grosimea mm	Denumirea materialului	Grosimea mm	Denumirea materialului
1 Conductor bobinaj	Cupru, izolație clasa A	—	Cupru, izolație clasa A	—	Cupru, izolație cl. A (1')
—	—	—	—	—	Cupru, izolație cl. A (1'')
2 Izolație bobină	Bandă de bumbac	0,20 × 2	Bandă de bumbac	0,20 × 2	Bandă de bumbac (2')
—	—	—	—	—	Bandă de bumbac (2'') impregnată și lacuită
3 Izolație între bobine (galeți)	—	—	Pertinax	2,0	Carton electrotehnic impregnat
4 Izolație între straturi	—	—	—	—	—
5 Izolație față de miezul polului	Carton electrotehnic impregnat	0,5	Carton electrotehnic impregnat	0,6	Carton electrotehnic impregnat
6 Ramă izolantă inferioară	Carton electrotehnic impregnat	1,5	Pertinax	2,0	Pertinax
7 Ramă izolantă supraioară	Carton electrotehnic impregnat	1,5	Pertinax	2,0	Pertinax



1. Înăsăturare de excitație principală, diametrul statorului 150–350 mm

2. Înăsăturare de excitație principală, diametrul statorului 350–850 mm

3. Înăsăturare de excitație mixtă diametrul statorului 150–350 mm

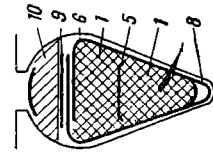


**ANEXA I (continuare)**

#	Denumirea materialului	Grosimea mm	Denumirea materialului	Grosimea mm	Denumirea materialului	Grosimea mm
1	Cupru, izolație clasa A (1')	—	Cupru, bară, neizolat	—	Cupru, bară neizolat	—
1'	Cupru, izolație clasa A (1'')	—	—	—	—	—
2	Bandă de bumbac (2')	0,20 × 2	Bandă de bumbac impregnată și lăcuită	0,45 × 2	Bandă de bumbac impregnată	0,45 × 2
2'	Bandă de bumbac impregnată și lăcuită (2'')	0,45 × 2	—	—	—	—
3	Pertinax	2,0	—	—	Pertinax	2
4	—	—	Carton electrotehnic impregnat	0,20	Carton electrotehnic im- pregnat	0,20
5	Carton electrotehnic impregnat	0,6	Carton electrotehnic impregnat	0,5	Carton electrotehnic im- pregnat	0,60
6	Pertinax	2,0	Carton electrotehnic impregnat	1,50	Pertinax	2,0
7	Pertinax	2,0	Carton electrotehnic impregnat	1,50	Pertinax	2,0

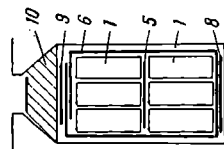
## Sisteme de izolație (clasele A, B, F) pentru înfășurări tip inducție de curent continuu

Poz.	Destinatie (utilizare)	Reper	Materiale	Grosime mm	Numar straturi	Grosimea ambelor parti, mm	Inaltime
1	Conductor bobinaj	Cupru rotund, izolat cu email cl. A, bumbac sau mătășă	—	—	—	—	—
2	Izolație între spire	—	—	—	—	—	—
3	Izolație între straturi în același mărunchi	—	—	—	—	—	—
4	Teaca izolată mărunchi	—	—	—	—	—	—
5	Izolație între straturi	Carton electrotehnic	0,50	1	—	0,50	—
6	Izolația crestăturii	Carton electrotehnic	0,2	1 1/4	0,40	0,60	—
7	Izolația exterioară a mănuștilor	—	—	—	—	—	—
8	Izolația la fundul crestăturii	Carton electrotehnic	0,2	1	—	6,2	—
9	Izolația sub pană (bandaj)	Carton electrotehnic	0,2	4	—	0,2	—
10	Pana pentru închiderea creștăturii	Lemn de fag impregnat	—	—	—	—	—



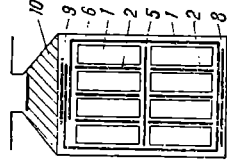
Schita 1

**ANEXA II (continuare)**



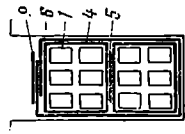
**2. Execuție normală, tensiuni pînă la 600 V, puteri mai mari de 10 kW, clasa izolație A**

No.	Materialul	Grosime mm	Număr străiuri	Grosimea ambeoră partii, mm lățime înălțime	Materialul	Grosime mm	Număr străiuri	Grosimea ambeoră partii, mm lățime înălțime
1	Cupru profilat, izolat cu burmărc sau mătase	—	—	—	Cupru profilat neizolat	—	—	—
2	—	—	—	—	Micanită	0,2	1	0,6
3	—	—	—	—	—	—	—	—
4	—	—	—	—	—	—	—	—
5	Carton electrotehnic	0,5	1	0,5	Carton electrotehnic	0,5	1	0,5
6	Carton electrotehnic	0,2	1 1/4	0,60	Carton electrotehnic	0,2	1 1/4	0,60
7	Pinză uleiăță	0,2	1	0,40	Pinză uleiăță	0,2	1	0,40
8	Carton electrotehnic	0,2	1	0,40	Carton electrotehnic	0,2	1	0,40
9	Carton electrotehnic	0,2	1	0,40	—	—	—	—
10	Lemn de fag impregnat	—	—	—	Carton electrotehnic	0,2	1	0,2
					Carton electrotehnic, sau leteroid	0,2	1	0,2
					Lemn de fag impregnat	—	—	—

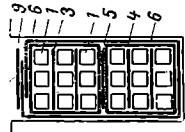


**3. Execuție normală, tensiuni pînă la 600 V, puteri mai mari de 3 kW, clasa izolație A**

No.	Materialul	Grosime mm	Materialul	Grosime mm	Număr străiuri	Grosimea ambeoră partii, mm lățime înălțime		
1	Cupru profilat neizolat	—	—	—	—	—		
2	—	—	—	—	—	—		
3	—	—	—	—	—	—		
4	—	—	—	—	—	—		
5	Carton electrotehnic	0,5	—	0,5	—	—		
6	Carton electrotehnic	0,2	1 1/4	0,60	Carton electrotehnic	0,2	1 1/4	0,60
7	Pinză uleiăță	0,2	1	0,40	Pinză uleiăță	0,2	1	0,40
8	Carton electrotehnic	0,2	1	0,40	Carton electrotehnic	0,2	1	0,40
9	Carton electrotehnic	0,2	1	0,40	—	—	—	—
10	Lemn de fag impregnat	—	—	—	—	—		



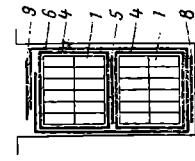
4. Execuție normală, tensiune pînă la 500 V, pînă la 1A  
100 kW, clasă izolație A



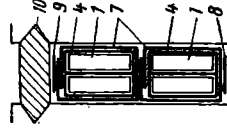
5. Execuție normală, tensiune pînă la 500 V, pînă la 1A  
100 kW, clasă izolație A

Materialul	Grosime mm	Număr străi	Grosimea ambeilor părți, mm la jumătate	Materialul	Grosime mm	Număr străi	Grosimea ambeilor părți, mm la jumătate
							1
1 Cupru profilat izolat	—	—	—	—	—	—	—
2 —	—	—	—	—	—	—	—
3 —	—	—	—	—	—	—	—
4 { Pinză uleiată 5 Bandă de bumbac 6 Carton electrotehnic 7 — 8 — 9 Carton electrotehnic	0,2 0,2 0,3 0,3 — — 0,5	2 1/2 1 1 1 1/4 — — 1	1,00 0,4 0,30 0,90 — — —	0,8×2 0,4×2 0,30 0,90 — — 0,5	4 { Pinză uleiată Bandă de bumbac Carton electrotehnic Carton electrotehnic — — Carton electrotehnic	0,2 0,2 0,3 0,3 — — 0,5	1,00 0,4 0,30 0,90 — — 0,5
10 —	—	—	—	—	—	—	—

**ANEXA II (continuare)**

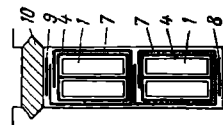


**6. Execuție normală, tensiuni pînă la 500 V, pînă la  
100 kW, clasa izolație B**

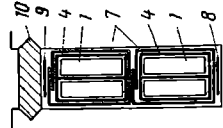


**7. Execuție normală, tensiuni pînă la 500 V,  
clasa izolație B**

poz.	Materialul	Gro- simă- mm	Număr stra- tură	Gro- simă a mă- bleră par- tii, mm	Materialul	Gro- simă- mm	Număr stra- tură	Gro- simă a m- bleră par- tii, mm	inăl- ime
						inăl- ime	inăl- ime	inăl- ime	inăl- ime
1	Cupru profilat, izolat cu bumbac	—	—	—	—	—	—	—	—
2	—	—	—	—	—	—	—	—	—
3	—	—	—	—	—	—	—	—	—
4	Micafoliu, încheiat lateral Furtie telefonice cuită	0,15 0,07 0,07	2 1/4 2 1/4 1/4	0,6 0,28 0,35×2	Conductor profilat, izolat cu fir de sticla	—	—	—	—
5	Carton electrotechnic	0,3	1	0,3	—	—	—	—	—
6	Carton electrotechnic	0,2	1 1/4	0,4	—	—	—	—	—
7	—	—	—	—	—	—	—	—	—
8	Carton electrotechnic	0,2	1	—	—	—	—	—	—
9	Carton electrotechnic	0,5	1	—	—	—	—	—	—
10	—	—	—	—	—	—	—	—	—



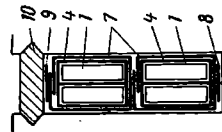
8. Execuție normală, tensiună între 500 V și 1000 V,  
clasa izolație B.



9. Execuție normală, tensiună pînă la 500 V,  
clasa izolație B.

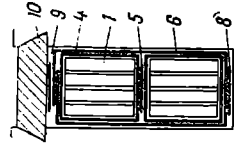
Nr. de ord. d	Materialul	Grosime mm	Număr stra- turi între făji- me	Materialul	Grosimea am- beilor părți, mm	Grosimea am- beilor părți, mm	Număr stra- turi între făji- me	Grosimea am- beilor părți, mm
					Materialul	Grosime mm		
1	Conductor profilat, izolat cu fir de stică	—	—	—	—	Cupru profilat, izolat cu fir de stică	—	—
2	—	—	—	—	—	—	—	—
3	—	—	—	—	—	—	—	—
4	—	—	—	—	—	—	—	—
5	Micabandă jumătate su- prapus	0,125	3	1,50	0,5 × 2	Micafoliu încheiat la- teral	0,12	2 <sup>1</sup> / <sub>4</sub>
6	—	—	—	—	—	Hartie telefonică cuiată	0,03	1 <sup>1</sup> / <sub>4</sub>
7	—	—	—	—	—	—	—	—
8	Bandă de taftă	0,2	1	0,4	0,6 × 2	Carton electrotehnic	0,2	1
9	Carton electrotechnic	0,2	1	—	0,2	Carton electrotechnic	0,2	1
10	Carton electrotechnic	0,2	1	—	0,2	Carton electrotechnic	0,2	1
11	Lemn de fag impregnat	—	—	—	—	Lemn de fag impregnat	—	—

**ANEXA II (continuare)**

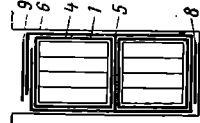


**10. Execuție normală, tensuni între 500 V și 1000 V,  
clasa izolație B**

Nr.	Materialul	Grosime mm	Număr străuturi	Grosimea ambeorării, mm la jumătate	Materialul	Grosime mm	Grosimea ambeorării, mm la jumătate		
							la jumătate	la jumătate	la jumătate
1	Cupru profilat, izolat cu fir de sticla	—	—	—	—	—	—	—	—
2	—	—	—	—	—	—	—	—	—
3	—	—	—	—	—	—	—	—	—
4	Micafoliu închis la teral Hartie telefonică cuțită	0,12 $4\frac{1}{4}$	1,0 $1\frac{1}{4}$	1,0 $1,0 \times 2$	Cupru profilat, izolat cu fir de sticla	—	—	—	—
5	—	—	—	—	—	—	—	—	—
6	—	—	—	—	—	—	—	—	—
7	Carton electrotehnic	0,2 $1\frac{1}{4}$	0,4 —	0,6 $0,6 \times 2$	Micanita flexibilă pe suport de hirtie	0,2 $2\frac{1}{2}$	1	0,40	0,40 $\times 2$
8	Carton electrotehnic	0,2 —	—	—	Bandă de bumbac, înfășurat la margine	0,2 $1\frac{1}{4}$	—	—	—
9	Carton electrotehnic	0,2 —	—	—	Micanita	0,3 $1\frac{1}{4}$	—	—	—
10	Ierni de fag impregnat	—	—	—	Carton electrotehnic	0,2 $1\frac{1}{4}$	—	—	—
					Carton electrotehnic	0,3 $1\frac{1}{4}$	—	—	—
					Carton electrotehnic	0,5 —	—	—	—



12. Pentru mașini de traciuțe, tensiuni pînă la 1000 V, clasa izolație F



13. Pentru mașini cu regim constant de sarcină, tensiuni pînă la 1000 V, clasa izolație F

Nr.	Materialul	Grosime mm	Număr străuturi	Grosimea ambeilor părți, mm înălțime	Materialul	Grosime mm	Număr străuturi		Grosimea ambeilor părți, mm înălțime
							înălțime	înălțime	
1	Cupru profilat, izolat cu fir de sticla și lac clasa F	—	—	—	Cupru profilat, izolat cu fir de sticla și lac clasa F	—	—	—	—
2	—	—	—	—	—	—	—	—	—
3	Sticlocicafoliu cu lac de clasă F	0,2	2 1/2	1,0	0,8×2	4	Sticlocicafoliu cu lac de clasă F	0,2	2 1/2 1,0 0,8×2
4	Sticlocicafoliu cu lac de clasă F	0,07	1	0,14	0,14×2	0,5	Sticlocicafoliu cu lac de clasă F	0,07	1 0,14 0,14×2
5	Bandă de sticla Sticlocicanită	0,5	1	—	—	—	Bandă de sticla Sticlocicanită	0,5	— 0,5
6	Izolație combinată pe bază de ţesături de sticla și foliu sintetic de clasă F	0,5	1 1/4	1,0	1,5	—	Izolație combinată pe bază de ţesături de sticla și foliu sintetic de clasă F	0,5	— 0,5
7	—	—	—	—	—	—	—	—	—
8	Stictotextolit	0,2	1	—	—	0,2	Stictotextolit	0,2	— 0,2
9	Stictotextolit	0,2	1	—	—	0,2	Stictotextolit	0,5	— 0,5
10	Stictotextolit	—	—	—	—	—	—	—	—

*ANEXA III*

**Sisteme de izolație (clasa A, E, B, F) pentru înfășurări de curent alternativ de joasă tensiune, conductor rotund, pentru statoare de mașini sincrone și asincrone**

Domeniul de utilizare	Reper	Denumirea materialului	Grosime mm	Număr de straturi	Grosimea izolației în creșătură (mm)	Inălțime	Inălțime
Schita							

Scită

(vezi figura de la exemplul 1)

Domeniul de utilizare

2. Întăriri într-un strat, pentru tensiuni pînă la 500 V,  
și pentru  $2p=4$  și  $2p=6$ , clasa izolație E

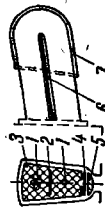
Pozitie	Reper	Denumirea materialului	Grosime mm	Număr de straturi	Grosime izolației în creștătură (mm)	Lățime	Inălțime
1 Conductor de bobinaj	Cupru rotund izolat cu email cl. E	—	—	—	—	—	—
2 Izolație între straturi	—	—	—	—	—	—	—
3 Izolația creștăturii	Izolație prespan + foliu cl. E	0,2	1	0,4	0,4	—	—
4 Izolația sub pană	Izolație prespan + foliu cl. E Lemn de fag impregnat în ulei	0,2	1	—	—	0,2	—
5 Pană	—	—	—	—	—	—	—
6 Izolație între faze	Izolație prespan + foliu cl. E	—	—	—	—	—	—
7 Bandaj	Ciorap ţesătură sticla sau hambac $\varnothing_{int}=5$ mm	0,2	1	—	—	—	—
8 Izolația legăturii	Ciorap de stică impregnat sau tub material plastic $\varnothing_{int}=5$ mm	—	—	—	—	—	—

**ANEXA III (continuare)**

(vezi figura de la exemplu 1)

Pozitie	Reper	Denumirea materialului	Grosime mm	Număr de straturi	Grosimea izolației în creșătură (mm)	
					Lățime	Inălțime
1 Conductor de bobinaj	Cupru rotund izolat cu email cl. E	Cupru rotund izolat cu email cl. E	—	—	—	—
2 Izolație între straturi	—	Izolație prespan+foliu cl. E	—	—	—	—
3 Izolația crestături		Izolație prespan+foliu cl. E	0,25	1	0,5	0,5
4 Izolația sub pană		Izolație prespan+foliu cl. E Lemn de fag impregnat în ulei	0,25	1	—	0,5
5 Pana		—	—	—	—	—
6 Izolație între faze	Izolație combinață (prespan+ +foliu)	Izolație combinață (prespan+ +foliu)	0,25	1	—	—
" Bandaj					Ciorap de sticla sau bumbac $\varnothing_{int} = 5$ mm	
7 Izolația legăturii					Ciorap de sticla sau bumbac imregnat $\varnothing_{int} = 5$ mm	

Schita



Domeniul de utilizare

4. Înășurări în două straturi, pentru tensiuni pînă la 500 V,  
 $2p=2$  și  $2p=8$ , clasa izolație A

Pozitie	Reper	Denumirea materialului	Grosime mm	Număr de straturi	Grosime izolației în creșătură (mm)	Lățime	Inălțime
1	Conductor de bobinaj	Cupru rotund izolat în clasa A	—	—	—	—	—
2	Izolație între straturi	Carton electrotehnic	0,3	1	—	—	0,3
3	Izolația creșăturii	Carton electrotehnic Pinză uleiată	0,25	1	0,5	0,4	0,5
4	Izolația sub pană	Carton electrotehnic	0,25	1	0,5	0,5	0,5
5	Pana	Lemn de fag impregnat în ulei	0,5	1	—	—	—
6	Izolație între faze	Carton electrotehnice	0,25	1	—	—	—
7	Bandaj	Ciorap de bumbac $\varnothing_{int}=5$ mm					
8	Izolația legăturii	Ciorap de bumbac impregnat sau material plastic $\varnothing_{int}=5$ mm					
La capete de bobine							

*ANEXA III* (continuare)

(vezi figura de la exemplul 4)

Schita		Domeniul de utilizare		5. Infășurări în două straturi, penit tensiuni pînă la 200 V, $2p=2-8$ , clasa izolație E			
Pozitie	Reper	Denumirea materialului	Grosime mm	Număr de straturi	Grosimea izolației în creșătură (mm)	Lățime	Inălțime
1	Conductor de bobinaj	Cupru rotund, izolat cu email cl. E	—	—	—	—	—
2	Izolație între straturi	Izolație prespan + foliu plastic	0,2	1	—	—	0,2
3	Izolația creșăturii	Izolație prespan + foliu cl. E	0,2	1	0,4	0,4	—
4	Izolația sub pană	Izolație prespan + foliu cl. E	0,2	1	—	—	0,2
5	Pana	Lemn de fag impregnat în ulei	—	—	—	—	—
6	Izolație între faze	Izolație prespan + foliu	0,2	1	—	—	—
7	Banda j.	Ciorap ţesătură sticla, bumbac $\varnothing int = 5$ mm	—	—	—	—	—
8	Izolația legăturii	Ciorap ţesătură sticla, impregnat $\varnothing int = 10$ mm	—	—	—	—	—

**Schita**

(vezi figura de la exemplul 4)

**Domeniul de utilizare**

6. Înășurari în două straturi, pentru tensiuni pînă la 500 V,  
 $2p=2$  și  $2p=8$ , izolație clasa E

Pozitie	Reper	Denumirea materialului	Grosime mm	Număr de straturi	Grosimea izolației în creșătură (mm)	Lățime	Inălțime
1	Conductor de bobinaj	Cupru rotund izolat cu email cl. E	—	—	—	—	—
2	Izolație între straturi	Izolație prespan+foliu	—	1	—	—	0,25
3	Izolația creșăturii	Izolație prespan+foliu	0,25	1	0,5	—	0,5
4	Izolația sub pană	Izolație prespan+foliu cl. E	—	1	—	—	—
5	Pana	Lenn fag impregnat	—	—	—	—	0,25
6	Izolație între faze	Izolație prespan+foliu	0,25	—	—	—	—
7	Bandaj						
8	Izolația legăturii						

La capete de bobine

Ciorap de sticla

Ciorap de sticla impregnat  $\varnothing_{int} = 5$  mm

**ANEXA III (continuare)**

Schijja		Domeniul de utilizare		7. înășurări în două straturi, pentru tensiuni pînă la 500 V, $2p=8$ ; și $2p=8$ , izolație clasa B			
Pozitie	Reper	Denumirea materialului	Grosime mm	Număr de straturi	Grosimea izolației în creșătură (mm)	lățime	înălțime
1	Conductor de bobinaj	Cupru rot. emallat cl. B, fire sticla cu lac cl. B	—	—	—	—	—
2	Izolație între straturi	Sticlomicanită	0,22	1	—	—	0,22
3	Izolația crestăturii	Pfnză de sticla lăcuită Izolație prespan + foliu cl. B	0,15 0,45	1 1	— 0,90	— 0,90	0,15 0,90
4	Izolația sub pană	Izolație prespan + foliu cl. B	0,45	1	—	—	0,45
5	Pana	Lemn de fag impregnat	—	—	—	—	—
6	Izolație între faze	Sticlomicanită	0,22	1	—	—	—
7	Bandaj	Pfnză de sticla lăcuită	0,15	1	—	—	—
8	Izolația legăturii	Ciorap de țesătură de sticla $\varnothing Int = 5$ mm					

Schita

(vezi figura de la exemplu 4)

Domeniul de utilizare

8. Înășurari în două straturi, pentru tensiuni pînă la 500 V,  
 $2p=2$ , izolație clasa F.

Pozitie	Reper	Denumirea materialului	Grosime mm	Număr de straturi	Grosimea izolației în creșătură (mm)	Înășime	Înășime
1	Conductor de bobinaj	Cupru rot. emailat cl. F sau fire sticla + lac cl. F	—	—	—	—	—
2	Izolație între straturi	Sticlomicanită	0,22	1	—	—	0,22
3	Izolația creșăturii	Pinză de sticla lăcuță	0,15	1	—	—	0,15
4	Izolația sub pană	Sticlomicanită	0,15	1	0,3	0,4	0,44
5	Pana	Electronit	0,22	1	—	—	0,3
6	Izolație între faze	Electronit	0,15	1	0,3	—	0,15
7	Bandaj	Sticlomicanită	0,15	1	—	—	—
8	Izolația legăturii	Pinză de sticla lăcuță	—	—	—	—	—
		Sticlomicanită	0,22	1	—	—	—
		Bandă de sticla	0,15	1	—	—	—
		La capete de bobine	—	—	—	—	—

## ANEXA IV

Sisteme de izolație (clasele A, E, B, F) pentru înășurări de curenț alternativ de joasă tensiune, realizate cu conductoare profilate (bare)

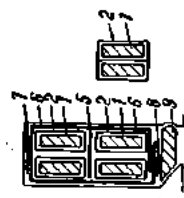


FIG. IV-1.

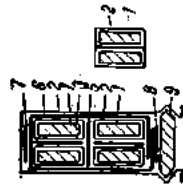


FIG. IV-2.

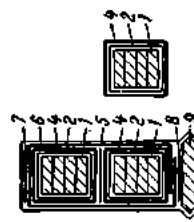


FIG. IV-3.

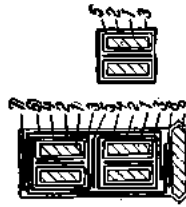


FIG. IV-4.

**ANEXA IV (continuare)**

Domeniul de utilizare		1. Infășurări în două straturi cu bobine rigide, cu 4 mânunchiuri în creștătură semideschise pentru tensiuni pînă la 550 V, izolație clasa A. (v. fig. IV-1)				
Pozitie	Reper	Denumirea materialului	Grosime mm	Număr de straturi	Grosimea materialului în creștătură mm	
					Lățime	Inăltime
În creștătură	1 Conductor bobinaj	Cupru profilat cu izolație textilă	—	—	—	—
	2 Izolația mânunchiului	Hartie telefonică lăcuită	0,07	1 1/4	0,42	0,28
	3 Izolația între mânunchiurile aceluiasi strat	—	—	—	—	—
	4 Teaca izolată a mânunchiului	—	—	—	—	—
	5 Izolația între straturi	Carton electrotehnic	0,50	1	—	0,5
	6 Izolația creștăturii	Carton electrotehnic impregnat Pinză lăcuită galbenă Carton electrotehnic impregnat	0,15 0,20 0,20	1 1/4 1 1/4 1 1/4	0,30 0,40 0,40	0,45 0,60 0,60
	7 Izolația la fundul creștăturii	Carton electrotehnic	0,20	1	—	0,20
	8 Izolația sub pană	Carton electrotehnic	0,20	1	—	0,20
	9 Pană	Lemn de fag impregnat	—	—	—	—
La capete de bobine	2 Izolația mânunchiului	Bandă bumbac	0,15	1 1/2	0,60	0,60
	3 Izolația între spirele mânunchiurilor vecine	—	—	—	—	—
	4 Teacă izolantă continuă	—	—	—	—	—
	5 Izolația la suprafață	—	—	—	—	—

**ANEXA IV (continuare)**

Domeniul de utilizare		2, înășgurări în două straturi, cu bobine rigide, cu număr oarecare de conductoare pe lățimea crestăturii care este deschisă, pentru tensiuni pînă la 550 V, izolație clasa A. (v. fig. IV-2)				
Pozitie	Reper	Denumirea materialului	Gro- simă mm	Număr de stra- turi	Grosimea materialului în crestătu- ră mm	
					lățime	înăl- țime
În crestătură	1 Conductor bobinaj	Cupru profilat, cu izolație textilă	—	—	—	—
	2 Izolația mânunchiului	Bandă taftă, jumătate suprapus	0,18	2	0,72	1,44
	3 Izolația între mânunchiurile aceluiași strat	Hîrtie impregnată	0,20	1	0,20	—
	4 Teaca izolată a mânunchiului	—	—	—	—	—
	5 Izolația între straturi	Carton electrotehnic impregnat	1,00	1	—	1,00
	6 Izolația crestăturii	Pinză lăcuită galbenă	0,20	1 $\frac{1}{4}$	0,40	0,60
		Carton electrotehnic	0,20	1 $\frac{1}{4}$	0,40	0,60
	7 Izolația la fundul crestăturii	Carton electrotehnic	0,20	1	—	0,20
	8 Izolația sub pană	Carton electrotehnic	0,20	1	—	0,20
La capete de bobine	9 Pană	Lemn de fag impregnat	—	—	—	—
	2 Izolația mânunchiului	Bandă taftă, suprapusă trei sferturi	0,18	8	1,44	1,44
	3 Izolația între spirele mânunchiurilor vecine	—	—	—	—	—
	4 Teacă izolantă continuă	—	—	—	—	—
	5 Izolația la suprafață	—	—	—	—	—

**ANEXA IV** (continuare)

Domeniul de utilizare		3. Infăsurări în două straturi, cu bobine rigide, cu conductoare asezate pe iai, crestătură deschisă, pentru tensiuni pînă la 550 V, Izolație clasa A. (v. fig. IV-3)				
Poziția	Reper	Denumirea materialului	Grosime mm	Număr de straturi	Grosimea materialului în crestătură mm	
					Iăjime	înălțime
În crestătură	1 Conductor bobinaj	Cupru profilat cu izolație textilă	—	—	—	—
	2 Izolația mânunchiului	Pînză lăcuită	0,20	2 $\frac{1}{4}$	1,0	1,6
	3 Izolația între mânunchiurile aceluiasi strat	—	—	—	—	—
	4 Teaca izolată a mânunchiului	4 { Pînză lăcuită galbenă Bandă taftă	0,20 0,15	2 $\frac{1}{4}$ 2	1,0 0,6	1,6 1,2
	5 Izolația între straturi	Carton electrotehnic	1,00	1	—	1,00
	6 Izolația crestăturii	Carton electrotehnic	0,2	1	0,4	0,6
	7 Izolația la fundul crestăturii	Carton electrotehnic	0,2	1	—	0,2
	8 Izolația sub pană	Carton electrotehnic	0,2	1	—	0,2
	9 Pană	Lemn de fag impregnat	—	—	—	—
La capete de bobine	2 Izolația mânunchiului	Bandă lăcuită jumătate suprapusă	0,25	2	1,0	1,0
	3 Izolația între spirele mânunchiurilor vecine	—	—	—	—	—
	4 Teacă izolantă continuă	—	—	—	—	—
	5 Izolația la suprafață	Bandă taftă, jumătate suprapusă	0,15	2	0,60	0,60

**ANEXA IV (continuare)**

Domeniul de utilizare		4. Înălțări în două straturi, cu bobine rigide, cu creștări deschise, pentru tensiuni pînă la 550 V, cu izolație întărită, izolație clasa A. (v. fig. IV-1)				
Pozitie	Reper	Denumirea materialului	Grosime mm	Număr de straturi	Grosimea materialului în creștură mm	
					înălțime	înălțime
În creștătură	1 Conductor bobinaj	Cupru profilat cu izolație textilă	—	—	—	—
	2 Izolația mânunchiului	Pînză lăcuită	0,30	2 1/2	1,50	2,40
	3 Izolația între mânunchiurile aceluiși strat	Hîrtie telefonică lăcuită	0,10	1	0,10	—
	4 Teaca izolată a mânunchiului	Bandă de bumbac asezată nesuprapusă	0,15	1	0,30	0,60
	5 Izolația între straturi	Carton electrotehnic	0,50	1	—	0,50
	6 Izolația creștăturii	Carton electrotehnic	0,20	1	0,40	0,60
	7 Izolația la fundul creștăturii	Carton electrotehnic	0,20	1	—	0,20
	8 Izolația sub pană	Carton electrotehnic	0,20	1	—	0,20
	9 Pană	Lemn de fag impregnat	—	—	—	—
La capete de bobine	2 Izolația mânunchiului	Bandă lăcuită, jumătate suprapuse	0,2	4	0,80	0,80
	3 Izolația între spirele mânunchiurilor vecine	Hîrtie telefonică lăcuită	0,10	1	0,10	—
	4 Teacă izolantă continuă	—	—	—	—	—
	5 Izolația la suprafață	Bandă bumbac jumătate suprapusă	0,15	2	0,60	0,60

**ANEXA IV (continuare)**

Domeniu de utilizare		5. Înășurări în două straturi, cu bobine rigide, cu teacă izolantă aplicată, crestături deschise, pentru tensiuni pînă la 550 V, izolație clasa A. (v. fig. IV-3)				
Pozitie	Reper	Denumirea materialului	Grosime mm	Număr de straturi	Grosimea materialului în crestătură mm	
					lățime	înălțime
În crestături	1 Conductor bobinaj	Cupru profilat cu izolație textilă	—	—	—	—
	2 Izolația mânunchiului	Pinză lăcuită	0,20	2½	1,00	1,60
	3 Izolația între mânunchiurile aceluiasi strat	—	—	—	—	—
	4 Teaca izolată a mânunchiului	Bandă de bumbac, ne-suprapus	0,20	1	0,40	0,80
	5 Izolația între straturi	Carton electrotehnic impregnat	0,50	1	—	0,50
	6 Izolația crestăturii	Carton electrotehnic impregnat	0,20	1	0,40	0,60
	7 Izolația la fundul crestăturii	Carton electrotehnic impregnat	0,30	1	—	0,30
	8 Izolația sub pană	Carton electrotehnic impregnat	0,30	1	—	0,30
	9 Pană	Lemn de fag impregnat	—	—	—	—
La capete de bobine	2 Izolația mânunchiului	Bandă lăcuită, jumătate suprapus	0,20	2	0,80	0,80
	3 Izolația între spirele mânunchiurilor vecine	—	—	—	—	—
	4 Teacă izolantă continuă	—	—	—	—	—
	5 Izolația la suprafață	Bandă de bumbac, jumătate suprapus	0,20	2	0,80	0,80

**ANEXA IV (continuare)**

Domeniul de utilizare		6. Înșurări în două straturi, cu bobine rigide, cu 4 mânunchiuri în creștătură, creștături seinideschise, pentru tensiuni plană la 550 V, izolație clasa E. (v. fig. IV-1)				
Poziția	Reper	Denumirea materialului	Grosime mm	Număr de straturi	Grosimea materialului în creștătură mm	
					Lățime	Inălțime
În creștătură	1 Conductor bobinaj	Cupru profilat cu izolație textilă (sticlă) sau email cl. E	—	—	—	—
	2 Izolația mânunchiului	Izolație hârtie telefonică cu un foliu plastic cl. E	0,25	1 1/4	1,50	1,00
	3 Izolația între mânunchiurile aceluiasi strat	—	—	—	—	—
	4 Teaca izolată a mânunchiului	—	—	—	—	—
	5 Izolația între straturi	Izolație carton electro-tehnic între două folii plastice cl. E	0,50	1	—	0,50
	6 Izolația creștăturii	Izolație foliu plastic cl. E între două cartoane electrotehnice	0,35	1	0,70	1,05
	7 Izolația la fundul creștăturii	Carton electrotehnic	0,20	1	—	0,20
	8 Izolația sub pană	Carton electrotehnic	0,20	1	—	0,20
	9 Pană	Lemn de fag impregnat	—	—	—	—
La capete de bobinc	2 Izolația mânunchiului	Bandă de țesătură de sticlă (bandă bumbac), jumătate suprapusă	0,15	2	0,60	0,60
	3 Izolația între spirele mânunchiurilor vecine	—	—	—	—	—
	4 Teacă izolantă continuă	—	—	—	—	—
	5 Izolația la suprafață	—	—	—	—	—

**ANEXA IV (continuare)**

Domeniul de utilizare		7. Înălțări în două straturi, cu bobine rigide, cu teacă rigidă izolantă aplicată, crestături deschise, pentru tensiuni pînă la 550 V, izolație clasa B. (v. fig. IV-3)				
Pozitie	Reper	Denumirea materialului	Grosime mm	Număr de straturi	Grosimea materialului în crestătură mm	
					înălțime	înălțime
În crestături	1 Conductor bobinaj	Cupru profilat, cu izolație textilă (sticla) sau email cl. B	—	—	—	—
	2 Izolația mânunchiului	Micafoliu	0,20	2 $\frac{1}{2}$	1,00	2,00
	3 Izolația între mânunchiurile aceluiasi strat	—	—	—	—	—
	4 Teaca izolată a mânunchiului	Hartie telefonică lăcuită	0,07	1 $\frac{1}{2}$	0,21	0,42
	5 Izolația între straturi	Micanită (sau carton electrotehnic)	0,50	1	—	0,50
	6 Izolația crestăturii	Carton electrotehnic impregnat	0,20	1	0,40	0,60
	7 Izolația la fundul crestăturii	Micanită (sau carton electrotehnic)	0,50	1	—	0,50
	8 Izolația sub pană	Micanită (sau carton electrotehnic)	0,50	1	—	0,50
	9 Pană	Lemn de fag impregnat	—	—	—	—
La capete de bobine	2 Izolația mânunchiului	Micabandă, jumătate suprapus	0,15	2	0,60	0,60
	3 Izolația între spirele mânunchiurilor vecine	—	—	—	—	—
	4 Teacă izolantă continuă	—	—	—	—	—
	5 Izolația la suprafață	Bandă bumbac, jumătate suprapus	0,20	2	0,80	0,80

**ANEXA IV (continuare)**

Domeniul de utilizare		8. Înășurări în două straturi, cu bobine rigide, cu ieacă izolantă moale aplicată pe bobină, cu creștări deschise, pentru tensiuni pînă la 550 V, Izolație clasa B. (v. fig. IV-3)				
Pozitie	Reper	Denumirea materialului	Gro- sime mm	Număr de stra- turi	Grosimea materialului în creștătură mm	
					lățime	înă- jime
În creștătură	1 Conductor bobinaj	Cupru profilat, cu izolație textilă (sticla) sau email cl. B	—	—	—	—
	2 Izolația mănușchiului	Micanită flexibilă	0,20	2½	1,00	2,00
	3 Izolația între mănușchirile aceluiași strat	—	—	—	—	—
	4 Teaca izolată a mănușchiului	Bandă de bumbac nesuprapus	0,20	1	0,40	0,80
	5 Izolația între straturi	Micanită	0,50	1	—	0,50
	6 Izolația creștăturii	Carton electrotehnic impregnat	0,20	1	0,40	0,60
	7 Izolația la fundul creștăturii	Micanită (sau carton electrotehnic)	0,50	1	—	0,50
	8 Izolația sub pană	Micanită (sau carton electrotehnic)	0,50	1	—	0,50
	9 Pană	Lemn de fag impregnat	—	—	—	—
La capete de bobine	2 Izolația mănușchiului	Micabandă, jumătate suprapus	0,15	2	0,60	0,60
	3 Izolația între spirele mănușchirilor vecine	—	—	—	—	—
	4 Teacă izolantă continuă	—	—	—	—	—
	5 Izolația la suprafață	Bandă bumbac, jumătate suprapus	0,20	2	0,80	0,80

**ANEXA IV (continuare)**

Domeniul de utilizare		9. Isofagurări în două straturi, cu bobine rigide, impregnate după izolare cu micabandă, izolație continuă, crestători deschise, tensiuni pînă la 550 V, izolație clasa B. (v. fig. IV-2)				
Poziția	Reper	Denumirea materialului	Groșime mm	Număr de straturi	Grosimea materialului în crestătură mm	
					Lățime	Inalțime
În crestături	1 Conductor bobinaj	Cupru profilat, cu izolație textilă (sticla) sau email cl. B	—	—	—	—
	2 Izolația mânunchiului	Micabandă, jumătate suprapus	0,13	2	1,04	2,08
	3 Izolația între mânunchiurile aceluiși strat	—	—	—	—	—
	4 Teaca izolată a mânunchiului	Bandă de bumbac, nesuprapus	0,20	1	0,40	0,80
	5 Izolația între straturi	Micanită	0,50	1	—	0,50
	6 Izolația cresăturii	Carton electrotehnic impregnat	0,20	1	0,40	0,60
	7 Izolația la fundul crestăturii	Micanită (sau carton electrotehnic)	0,50	1	—	0,50
	8 Izolația sub pană	Micanită (sau carton electrotehnic)	0,50	1	—	0,50
	9 Pană	Lemn de fag impregnat	—	—	—	—
La capete de bobine	2 Izolația mânunchiului	Micabandă, jumătate suprapus	0,13	2	1,04	1,04
	3 Izolația între spirele mânunchiilor vecine	—	—	—	—	—
	4 Teacă izolantă continuă	—	—	—	—	—
	5 Izolația la suprafață	Bandă de bumbac, jumătate suprapus	0,20	2	0,60	0,80

**ANEXA IV (continuare)**

Domeniul de utilizare		10. Infăsurări în două straturi, cu bobine rigide, cu 4 mânunchiuri în crestătură, crestături semideschise, pentru tensiuni pînă la 550 V, Izolație clasa B, (v. fig. IV-1)				
Pozitie	Reper	Denumirea materialului	Grosime mm	Număr de straturi	Grosimea materialului în crestătură mm	
					Lățime	Inalțime
În crestătură	1 Conductor bobinaj	Cupru profilat, cu izolație textilă (sticlă) sau email cl. B	—	—	—	—
	2 Izolația mânunchiului	Țesătură din fire de sticlă lăcuită	0,20	2 $\frac{1}{2}$	1,00	1,60
	3 Izolația între mânunchiurile aceluiasi strat	—	—	—	—	—
	4 Teaca izolată a mânunchiului	—	—	—	—	—
	5 Izolația între straturi	Micanită	0,50	1	—	0,50
	6 Izolația crestăturii	Izolație foliu plastic între două cartoane electrotehnice	0,45	1	0,90	1,35
	7 Izolația la fundul crestăturii	Carton electrotehnic	0,20	1	—	0,20
	8 Izolația sub pană	Carton electrotehnic	0,20	1	—	0,20
	9 Pană	Lemn de fag impregnat	—	—	—	—
La capete de bobine	2 Izolația mânunchiului	Bandă de țesătură de sticlă, jumătate suprapus	0,15	2	0,60	0,60
	3 Izolația între spirele mânunchiurilor vecine	—	—	—	—	—
	4 Teacă izolantă continuă	—	—	—	—	—
	5 Izolația la suprafață	—	—	—	—	—

**ANEXA IV (continuare)**

Domeniul de utilizare		11. Înăștări în două straturi, cu bobine rigide, cu teacă izolantă închisă, creștări deschise, pentru tensiuni pînă la 550 V, izolație clasa B. (v. fig. IV-4).				
Poziția	Reper	Denumirea materialului	Grosime mm	Număr de straturi	Grosimea materialului în creștătură mm	
					Lățime	Inălțime
În creștătură	1 Conductor bobinaj	Cupru profilat, cu izolație textilă (sticlă) sau email cl. B	—	—	—	—
	2 Izolația mânunchiului	Țesătură din fire de sticlă lăcuită	0,20	2½	1,00	1,60
	3 Izolația între mânunchiurile aceluiasi strat	Hîrtie de azbest (sau de mică)	0,20	1	0,20	—
	4 Teaca izolată a mânunchiului	Bandă din țesătură de sticlă, nesuprapus	0,15	1	0,30	0,60
	5 Izolația între straturi	Micanită	0,50	1	—	0,50
	6 Izolația creștăturii	Izolație mică între două folii plastice de clasă B	0,45	1	0,90	1,35
	7 Izolația la fundul creștăturii	Micanită (sau carton electrotehnic)	0,20	1	—	0,20
	8 Izolația sub pană	Micanită (sau carton electrotehnic)	0,20	1	—	0,20
	9 Pană	Lemn de fag impregnat	—	—	—	—
La capete de bobine	2 Izolația mânunchiului	Bandă din țesături de sticlă lăcuită, jumătate suprapus	0,15	2	0,60	0,60
	3 Izolația între spirele mânunchiurilor vecine	Hîrtie de azbest (sau mică)	0,20	1	—	0,20
	4 Teacă izolantă continuă	—	—	—	—	—
	5 Izolația la suprafață	Bandă de sticlă (sau de bumbac) jumătate suprapus	0,15	2	0,60	0,60

**ANEXA IV (continuare)**

Domeniul de utilizare		12. Infășurări în două straturi, cu bobine rigide, su izolație mixtă cu teacă izolantă moale, crestături deschise pentru tensiuni pînă la 550 V, izolație clasa F. (v. fig. IV-3)				
Pozitie	Reper	Denumirea materialului	Grosime mm	Număr de straturi	Grosimea materialului în crestătură mm	
					Îălime	Înălțime
În crestături	1 Conductor bobinaj	Cupru profilat, cu izolație textilă (sticla cu siliconi), emâil cl. F	—	—	—	—
	2 Izolația mânunchiului	Țesătură de sticla lăcuită sau sticlomicanită flexibilă (cu siliconi)	0,20	2	0,80	1,60
	3 Izolația între mânunchiurile aceluiasi strat	—	—	—	—	—
	4 Teaca izolată a mânunchiului	Bandă din țesătură de sticla lăcuită cu siliconi, nesuprapus	0,15	1	0,30	0,60
	5 Izolația între straturi	Micanită	0,50	1	—	0,50
	6 Izolația crestăturii	Izolație mică + țesătură de sticla pe una sau pe ambele părți	0,45	1	0,90	1,35
	7 Izolația la fundul crestăturii	Micanită	0,50	1	—	0,50
	8 Izolația sub pană	Micanită	0,50	1	—	0,50
	9 Pană	Sticlotextolit	—	—	—	—
La capete de bobine	2 Izolația mânunchiului	Sticlomicabandă, jumătate suprapus	0,2	2	0,80	0,80
	3 Izolația între spirele mânunchiurilor vecine	—	—	—	—	—
	4 Teacă izolantă continuă	—	—	—	—	—
	5 Izolația la suprafață	Bandă din țesătură de sticla, jumătate suprapus	0,15	2	0,60	0,60

**ANEXA IV (continuare)**

Domeniul de utilizare		13. Înăgări în două straturi, cu bobine rigide, cu izolație continuă cu teacă izolantă moale, creștări deschise, pentru tensiuni pînă la 550 V, Izolație clasa F. (v. fig. IV-3)				
Pozitie	Reper	Denumirea materialului	Grosime mm	Număr de straturi	Grosimea materialului în creștătură mm	
					Iatăime	îndăjime
În creștătură	1 Conductor bobinaj	Cupru profilat, cu izolație textilă (sticlă cu siliconi) sau email cl. F	—	—	—	—
	2 Izolația mânunchiului	Sticlomicobandă cu siliconi	0,20	2	0,80	1,60
	3 Izolația între mânunchiurile aceluiasi strat	—	—	—	—	—
	4 Teaca izolată a mânunchiului	Bandă de țesătură de sticlă lăcuită cu siliconi, nesuprapus	0,15	1	0,30	0,60
	5 Izolația între straturi	Micanită	0,50	1	—	0,50
	6 Izolația creștăturii	Izolație mică între două țesături din fier de sticlă cu siliconi	0,45	1	—	0,45
	7 Izolația la fundul creștăturii	Micanită	0,5	1	—	0,5
	8 Izolația sub pană	Micanită	0,5	1	—	0,5
	9 Pană	Sticlotextolit	—	—	—	—
La capete de bobine	2 Izolația mânunchiului	Sticlomicobandă cu siliconi, jumătate suprapus	0,2	2	0,8	0,8
	3 Izolația între spirele mânunchiurilor vecine	—	—	—	—	—
	4 Teacă izolantă continuă	—	—	—	—	—
	5 Izolația la suprafață	Bandă din țesătură de sticlă, jumătate suprapus	0,15	2	0,60	0,60

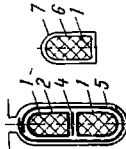
**ANEXA IV** (continuare)

Domeniul de utilizare		14. Înășurări în două straturi, cu bobine rigide, cu teacă izolantă închisă, creștări deschise, pentru tensiuni pînă la 520 V, izolație clasa F. (v. fig. IV-4)				
Pozitie	Reper	Denumirea materialului	Grosime mm	Număr de straturi	Grosimea materialului în creștări mm	
					Lățime	Inălțime
În creștătură	1 Conductor bobinaj	Cupru profilat, cu izolație textilă (sticlă cu siliconi) sau email cl. F	—	—	—	—
	2 Izolația mănușchiului	Sticlocicanită flexibilă cu siliconi	—	—	—	—
	3 Izolația între mănușchirile acelaiași strat	Sticlocicanită cu siliconi	0,3	1	—	0,3
	4 Teaca izolată a mănușchiului	Bandă din ţesături de sticlă lăcuită cu siliconi, nesuprapus	0,15	1	0,30	0,60
	Izolația între straturi	Micanită (sau sticlocicanită)	0,5	1	—	0,5
	6 Izolația creștăturii	Izolație mică între două ţesături din fire de sticlă cu siliconi	0,45	1	—	0,45
	7 Izolația la fundul creștăturii	Micanită	0,5	1	—	0,5
	8 Izolația sub pană	Micanită	0,5	1	—	0,5
	9 Pană	Sticlotextolit	—	—	—	—
La capete de bobine	2 Izolația mănușchiului	Sticlocobandă jumătate suprapus	0,20	2	0,8	0,8
	3 Izolația între spirele mănușchirilor vecine	—	—	—	—	—
	4 Teacă izolantă continuă	—	—	—	—	—
	5 Izolația la suprafață	Bandă din ţesătură de sticlă, jumătate suprapus	0,15	2	0,60	0,60

**ANEXA V**

Sisteme de izolație (clasa A și B) pentru înfășurări de curent alternativ de joasă tensiune, folosite în construcția rotoarelor asincrone.

**Schita**



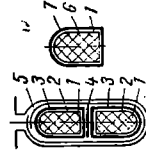
Domeniul de utilizare

1. Înfășurări în două straturi, cu conductor profilat special, pentru tensiuni pînă la 300 V, izolație clasa A.

Poziția	Reper	Denumirea materialului	Grosime mm	Număr de straturi	Grosimea materialului în crestături mm		
					Lățime	Inălțime	
1	Conductor bobinăj	Cupru cu profil special, neizolat	—	—	—	—	
2	Izolația mănușchiului	Hîrtie telefonică lăcută	0,07	6	0,84	1,68*	
3	Izolația mănușchiului	—	—	—	—	—	
4	Izolația între straturi	Carton electrotehnic impregnat	0,5	1	—	0,5	
5	Izolația crestăturii	Carton electrotehnic	0,2	1	0,4	0,6	
Portfurnea din crestături							
6	Izolația barei	—	—	—	—	—	
7	Izolația la suprafață	Bandă tata, jumătate suprapus	0,18	1	0,72	0,72	
Cap de bobină							

**ANEXA V (continuare)**

(vezi figura exemplul 1)



2. Înășurări în două straturi, cu conductor profilat special, pentru tensiuni cuprinse între 300 V și 500 V, izolație clasa A

3. Înășurări în două straturi, cu conductor cu profil special, cu izolație fină și pentru tensiuni pînă la 300 V, izolație clasa A

poz.	Denumirea materialului	Grosimea materialului în creșătură mm	Număr de stra- uri lațime	Denumirea materialului	Grosimea materialului	Număr de stra- uri	Grosimea materialelui în creșătu- ră mm	lațime	Ină- șime
					înă- șime				
1	Cupru cu profil special, neizolat	—	—	—	—	Cupru cu profil special, neizolat	—	—	—
2	Hîrtie telefonică lăcuită	0,07	10	1,40	2,80	—	—	—	—
3	—	—	—	—	—	Hîrtie telefonică lăcuită	0,07	8	1,12
4	Carton electrotehnic im- pregnat	0,5	1	—	0,5	Carton electrotehnic im- pregnat	0,5	—	0,5
5	Carton electrotehnic	0,2	1	0,4	0,6	Carton electrotehnic	0,15	1	0,3
6	Bandă lăcuită jumătate suprapus	0,2	1	0,80	0,80	Micabandă jumătate su- prapus	0,13	1	0,52
7	Bandă bumbac, jumă- tate suprapus	0,15	1	0,60	0,60	Bandă de batist, $\frac{1}{2}$ su- prapus	0,12	1	0,48

(vezi figura exemplului 3)

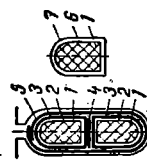
(vezi figura ex. 6-7)

4. Infășurări în două straturi, cu conductor, cu profil special, cu izolație întărită, pentru tensiuni cuprinse între 300 V și 500 V, izolație clasa B

5. Infășurări în două straturi, cu conductor, cu profil special, crestături semilinchișe pentru tensiuni cuprinse între 550 V și 750 V, izolație clasa B

Poziție	Denumirea materialului	Grosime mm	Număr de straturi	Grosimea materialului în creșături mm	Denumirea materialului	Grosime mm	Număr de straturi	Grosimea materialului în creșături mm	Inalțime mm
								Inalțime	
1	Cupru cu profil special neizolat	—	—	—	Cupru cu profil special, neizolat	—	—	—	—
2	Micabandă jumătate suprapus	0,13	1	1,52	1,04 Micabandă, jumătate suprapus	0,13 Micafoliu, parțial suprapus	1	0,52 $2\frac{1}{4}$	1,04 0,8
3	Hirtie telefonică lăcuită	0,07	6	0,84	1,68 Carton electrotehnic (leteroid)	0,2 Carton electrotehnic (leteroid)	1	0,3	1,6 0,6
4	Carton electrotehnic impregnat Leteroid	0,5	1	—	0,5 Carton electrotehnic (leteroid)	0,50 Carton electrotehnic (leteroid)	1	—	0,5 0,4
5		0,2	1	0,4	0,6 Carton electrotehnic (leteroid)	0,2 Carton electrotehnic (leteroid)	1	0,4	0,60 0,60
6	Micabandă, jumătate suprapus	0,13	1	0,52	0,52 Micabandă, jumătate suprapus	0,13 Banda taftă, jumătate suprapus	1	0,52 1	0,52 0,72
7	Banda taftă, jumătate suprapus	0,18	1	0,72	0,72 suprapus	0,18 Banda taftă, jumătate suprapus	1	0,72	0,72

**ANEXA V (continuare)**



**6. Infășurări în două straturi, cu conductor cu profil special, creștării semicirculare, pentru tensiuni cuprinse între 750 V și 1000 V, izolație clasa B**

**7. Infășurări în două straturi, cu conductor cu profil special, creștării semicirculare, pentru tensiuni cuprinse între 1000 V și 1500 V, izolație clasa B**

poz.	Denumirea materialului	Grosimea materialului în creștării mm		Denumirea materialului		Grosime mm	Număr de straturi	Grosimea materialului în creștării mm	Număr de straturi	Grosimea materialului în creștării mm
		Grosime mm	Număr de straturi	Grosime mm	Inalțime					
1	Cupru cu profil special, neizolat	=	—	—	—	Cupru cu profil special neizolat	—	—	—	—
2	Micabandă, jumătate suprapus	0,13	1	0,52	1,04	Micabandă, jumătate suprapus	0,13	2	1,04	2,08
2	Micafoliu parțial suprapus	0,2	3 1/4	1,20	2,40	Micafoliu, parțial suprapus	0,2	4 1/4	1,6	3,20
3	Carton electrotehnic (Ieteroid)	0,15	1	0,2	0,6	Carton electrotehnic (Ieteroid)	0,15	1	0,30	0,60
4	Carton electrotehnic	0,50	1	—	0,5	Carton electrotehnic	0,50	1	—	0,50
5	Carton electrotehnic	0,5	1	—	0,5	Carton electrotehnic	0,5	1	—	0,50
6	Micabandă, jumătate suprapus	0,13	2	1,04	2,08	Micabandă, jumătate suprapus	0,13	3	1,56	3,12
7	Bandă de tuftă, jumătate suprapus	0,18	1	0,72	0,72	Banda de taftă jumătate suprapus	0,18	1	0,72	0,72

## Model de fișe tehnică

(1)	Fișă tehnică a înfășurării (2)	F.T. Nr.	(3)
A. Caracteristicile măsinii : (4)			
B. Cauzele care au determinat <u>executarea</u> <u>repararea</u> înfășurării : (5)			
a. Constatări în funcționarea mașinii :	b. Încercări efectuate, rezultate obținute :		
c. Concluzii :			
C. Caracteristicile înfășurării :			
a. Tipul înfășurării :			
b. Caracteristicile nominale de funcționare : (7)			
c. Conductorul de bobinaj : (8)			
d. Date de bobinaj : (9)			
e. Schema electrică desfășurată a înfășurării : (10)			
f. Schema electrică de conexiuni a mașinii :	g. Alte date caracteristice ale înfășurării :		
Întocmit de :	Verificat de :	Data întocmirii fișei :	
		196.	

## ANEXA VI (continuare)

(1) : : : : : :	FIŞA TEHNICĂ A INFĂŞURĂII	F.T. Nr. . pag. 2/2
-----------------	---------------------------	---------------------

D. Construcție și dimensiuni: (11)  
I. Dispunerea infășurărilii

Schita crestăturii: Dispunerea de-a lungul crestăturii și capetele de bobine:

3. Elementele izolației în crestătură: (12)

Reper	Denumirea izolației	Materialul		Modul de așezare	Dispunerea în crestătură				
		Denumirea, natura	Caracteristici		pe lățime		pe înălțime		
					număr de straturi	grosime (mm)	număr de straturi	grosime (mm)	
1	Conductor								
2	Izolație conductor								
3	Izolație între spire								
4	Izolație mănușchiului								
5	Izolație între straturi								
6	Izolație (teaca) crestăturii								
7	Izolație la fundul crestăturii								
8	Izolație sub pană (sub bandlerul de consolidare)								
	Pana izolantă pentru inchiderea crestăturii								

Dimensiunile crestăturii rezultate din dispunerea mănușchiurilor în crestătură:

$$b_c =$$

$$h_c =$$

3. Elementele izolației la capetele de bobine: (13)

Conductor								
Izolație conductorului								
Izolație între spire								
Izolație pe suprafața mănușchiului								
Izolație între straturi (etaje)								
Izolație (coturi) între faze (la infășurări de curent alternativ)								
Izolație suportuinală capului de bobină								
Izolație față de diapozitivul de consolidare (la rotoare)								
Izolație legăturilor								

Dimensiunile mănușchiului la capete de bobine

$$b_m \text{ cb} =$$

$$h_c =$$

E. Altele elemente ale izolației: (14)

Izolația colectoarelor în cele de contact		Izolația periferică		Izolația legăturilor la borne		Izolația bornelor		Impregnare:	
Materiale	Dimensiuni	Materiale	Dimensiuni	Materiale	Dimensiuni	Materiale	Dimensiuni	Tipul lacului	...
								Fabricant	...
								Uscare	... °C : ... h
								Nr. de impregnări	...
								Acoperire:	
								Tipul lacului	...
								Uscare	... °C : ... h

Intocmit de . . . . . | Verificat de . . . . . | Data întocmirii fișei . . . . .

## **ANEXA VI (continuare)**

. (1) Denumirea întreprinderii, atelierului sau organizației unde se întoarce fișa tehnică a înfășurării în vederea executării sau reparării înfășurării.

(2) Denumirea înfășurării (de exemplu : înfășurarea indușului motorului de tractiune tip TV2 ; înfășurarea statorului generatorului sincron GL-2 000 kW etc.).

(3) Se înscrie numărul de ordine al fișei. Se recomandă ca fișele să fie grupate pe tipuri de înfășurări și numerotarea să se facă în ordinea completării. De exemplu : Folosind pentru numerotare un sistem cu două grupe a cîte două cifre și însemnind cu :

10 — înfășurările tip induș de curent continuu ;

20 — înfășurările de curent alternativ repartizate, așezate în statore ;

30 — înfășurările de curent alternativ repartizate, așezate în rotor ;

40 — înfășurările din statorul motoarelor monofazate etc., la fiecare din acestea putind fi stabilite subgrupe (pentru tipuri reprezentative de mașini sau domenii de utilizare, de exemplu : în cadrul grupăi 10 să se folosească : numărul 11 pentru mașini de curent continuu de uz general, numărul 12 pentru mașini de curent continuu de tractiune urbană, numărul 13 pentru mașini de curent continuu de tractiune Diesel-electrică etc., iar grupa a două de două cifre fiind pentru numărul de ordine, notarea în final pentru a 15-a fișă întocmită pentru înfășurarea indușului unui motor de curent continuu pentru tramvai (tractiune urbană) se notează cu : „F.T. Nr. 12—15“.

(4) Se înscriu în mod obligatoriu :

— datele de pe plăcuța indicatoare a mașinii (tipul mașinii, seria de fabricație, uzina sau fabrica producătoare, puterea în kW, tensiunea în V, curentul în A, turăția în rot/min, frecvența (la mașinile de curent alternativ) în Hz, tensiunea în rotor în V, curentul rotoric în A etc. ;

— locul și destinația mașinii în exploatare ;

— de cînd este în exploatare.

(5) Se vor înscrie observațiile din exploatare la scoaterea (defectarea) mașinii ; de asemenea, se vor înscrie rezultatele încercărilor efectuate pentru stabilirea defectului, observațiile din timpul efectuării acestor încercări și concluziile privind înfășurarea.

(6) Se va indica tipul înfășurării folosind indicațiile din capitolele 3, 4, 5, 6 și 7. De exemplu : înfășurare de curent alternativ, trifazată, de tensiune joasă, statorică.

(7) Se vor indica caracteristicile nominale de funcționare ale înfășurării în funcționarea mașinii, respectiv tensiunea nominală (în V), și curentul nominal (în A).

(8) Se va indica tipul conductorului de bobinaj izolat, materialul din care este realizat conductorul de bobinaj (cupru sau aluminiu), dimensiunile conductor neizolat, natura materialului izolant și în cazul izolațiilor din benzi, fire sau țesături cu sau fără peliculă de lac electroizolant, să se indice modul în care este așezată izolația pe suprafața conductorului.

(9) Se vor trăce datele de bobinaj indicate în capitolele 3, 4 și 5.

De exemplu, la o înfășurare de curent alternativ în două straturi se vor indica: numărul de creștări Z, numărul perechilor de poli p, numărul de creștări pe pol și fază q, numărul de spire în serie pe fază w etc.

(10) Pentru întocmirea schemelor desfășurate ale înfășurărilor se folosesc indicațiile din capitolul 4 (4.2.2. pentru înfășurările tip indus de curent continuu) și din capitolul 5 (5.2.2.c pentru înfășurările de curent alternativ).

(11) În fiecare caz în parte soluția cu dispunerea în creștătură se întocmește conform recomandărilor din capitolul 10 (10.3.2, 10.3.3, 10.3.4, 10.3.5). Este importantă păstrarea notării elementelor izolației în creștătură conform indicațiilor din 10.3.2 și care corespund cu notatiile din tabela conținută de fișă.

(12) Se completează numai pentru elementele izolației în creștătură care rezultă din schița creștăturii; dimensiunile  $b$  și  $h$  care se obțin prin însumare, corespund notatiilor din fig. 10.33.

(13) Se completează numai pentru elementele izolației la capul de bobină, conform indicațiilor din capitolul 10 (10.3.2) și care corespund disponerii înfășurării de-a lungul creștăturii și la capetele de bobine; dimensiunile  $b_{mcb}$  și  $h_{mcb}$  corespund notatiilor din fig. 10.33.

(14) Se referă la toate elementele izolației circuitului electric al înfășurării. Se atrage atenția asupra importanței completării datelor privind: impregnarea și acoperirea înfășurării.

*ANEXA VII*

**Sirme de cupru rotunde pentru bobinaj (extras din STAS-685-58 ; 542-59 ; 543-59).**

*d* — diametrul conductorului, în mm;

*s<sub>c</sub>* — aria secțiunii conductorului, în mm<sup>2</sup>

<i>d</i> mm	<i>s<sub>c</sub></i>	<i>d'</i>	<i>s<sub>c</sub></i>	<i>d</i>	<i>s<sub>c</sub></i>
(0,03)	0,00071	(0,36)	0,1018	1,50	1,767
(0,04)	0,00126	(0,37)	0,1075	1,55	1,887
(0,05)	0,00196	0,38	0,1134	1,60	2,011
(0,06)	0,00283	(0,39)	0,1195	1,65	2,138
0,07	0,00385	0,40	0,1257	1,70	2,270
0,08	0,00503	0,42	0,1385	1,75	2,405
0,09	0,00636	(0,43)	0,1452	1,80	2,545
0,10	0,00785	0,45	0,1590	1,85	2,686
0,11	0,00950	(0,47)	0,1753	1,90	2,835
0,12	0,01131	0,48	0,1810	1,95	2,984
0,13	0,01327	0,50	0,1964	2,00	3,142
0,14	0,01539	0,55	0,2376	2,10	3,464
0,15	0,01767	0,60	0,2827	2,20	3,801
0,16	0,02011	0,65	0,3318	2,30	4,155
(0,17)	0,02270	0,70	0,3849	2,40	4,524
0,18	0,02545	0,75	0,4418	2,50	4,909
(0,19)	0,02835	0,80	0,5027	2,60	5,309
0,20	0,03142	0,85	0,5675	2,70	5,726
(0,21)	0,03464	0,90	0,6362	2,80	6,158
0,22	0,03801	0,95	0,7088	2,90	6,605
(0,26)	0,05309	1,00	0,7854	3,00	7,069
(0,27)	0,05726	1,05	0,8659	3,10	7,548
0,28	0,06158	1,10	0,9503	3,20	8,043
(0,29)	0,06605	1,15	1,030	3,30	8,553
0,30	0,07069	1,20	1,131	3,40	9,079
(0,31)	0,07548	1,25	1,227	3,50	9,621
0,32	0,08043	1,30	1,327	3,60	10,18
(0,33)	0,08553	1,35	1,431	3,80	11,34
(0,34)	0,09079	1,40	1,539	4,00	12,57
0,35	0,09621	1,45	1,651		

Sirne de cupru dreptunghiolare (extras din STAS 2873-55).



## BIBLIOGRAFIE

- R. Richter*, Înfăşurările maşinilor electrice. Bucureşti, Editura tehnică, 1958.
- Gheorghiu, I. S.* Maşini electrice, vol. I. Maşini de curenț continuu și transformatorul. Bucureşti, Tipografia învățământului, 1957.
- Gheorghiu, I. S.* Maşini electrice, vol. II. Maşina asincronă. Bucureşti, Tipografia învățământului, 1958.
- Gheorghiu, I. S.* Maşini electrice, vol. III. Maşina sincronă. Bucureşti, Editura didactică și pedagogică, 1961.
- Gheorghiu, I. S.* Maşini electrice, vol. IV. Maşini de curenț alternativ cu colector. Bucureşti, Editura didactică și pedagogică, 1964.
- Gheorghiu, I. S.* Maşini electrice. Probleme, vol. I și II. Bucureşti, Editura tehnică, 1966.
- Lazu, C.* Maşini electrice. Bucureşti, Editura didactică și pedagogică, 1966.
- Ghiță, N., Răduț C. și Niculescu, E.* Maşini electrice. Bucureşti, Editura didactică și pedagogică, 1961.
- Niculescu, E. și Răduț, C.* Maşini electrice fabricate în R.P.R. Bucureşti, Editura tehnică, 1965.
- Ghemke, R. G.* Defectele maşinilor electrice. Bucureşti, Editura tehnică, 1960.
- Jerve, G. K.* Încercările industriale ale maşinilor electrice. Bucureşti, Editura tehnică, 1961.
- Jerve, G. K.* Cum se calculează înfăşurarea motorului asincron. Bucureşti, Editura tehnică, 1961.
- Vinogradov, N. V.* Executarea secțiilor și bobinelor mașinilor și aparatelor electrice. Bucureşti, Editura Energetică de Stat, 1954.
- Vinogradov, N. V.* Fabricarea mașinilor electrice. Bucureşti, Editura tehnică, 1964.
- Rivlin, L. B.* Motoare electrice și exploatarea lor. Bucureşti, Editura tehnică, 1953.
- Rivlin, L. B.* Cum se determină defectele motorului asincron. Bucureşti, Editura Tehnică, 1961.

**Redactor responsabil: Ing. CONSTANTIN RUȘANU  
Tehnoredactor: MARIA IONESCU**

**Dat la cules: 03.09.1966. Bun de tipar: 07.03.1967. Apărut  
1967. Tiraj 9.500+15 leg. 7z pinza. Hirtie Tip B, 63 g/m<sup>2</sup>.  
670×860/16. Coli editoriale 39.11. Coli de tipar 41.25. Planșe  
tipar 1. A. 1341/1966. C.Z. pentru bibliotecile mari 621.313.  
C.Z. pentru bibliotecile mici 621.**

**Tiparul executat sub comanda nr. 376 la Intreprinderea Poli-  
grafia Banat, Republica Socialistă România.**

**Lei 26.—**

**EDITURA TEHNICĂ**